



التجهيزات الطبية (2)

السنة الرابعة

القسم الهندسة الطبية





التجهيزات الطبية / 2

تأليف:

الدكتور المهندس
أيمن الصابوني
مدرس في قسم الهندسة الطبية

الدكتور المهندس
محمد فراس الحناوي
أستاذ مساعد في قسم الهندسة الطبية

1433 - 1432 هـ
2012 - 2011 م

جامعة دمشق



رقم الصفحة	الفهرس
17	الفصل الأول: أجهزة أشعة X الطبية
19	1.1. مقدمة
19	1.2. مفهوم توليد أشعة X
21	1.2.1. العلاقة بين تيار الفتيل وتيار الأنابيب
24	1.2.2. طبيعة أشعة X
26	1.2.3. امتصاص أشعة X
29	1.2.4. التباين بين الأنسجة
30	1.3. أنابيب أشعة X
31	1.3.1. المحيط
33	1.3.1.1. الأنابيب ذات شبكة للتحكم
33	1.3.2. المصعد
33	1.3.2.1. الأنابيب ذو المصعد الثابت
35	1.3.2.2. الأنابيب ذو المصعد الدوار
39	1.3.3. الأنابيب الزجاجية (الغلاف)
39	1.3.4. الغلاف الخارجي لأنابيب أشعة X
40	1.3.5. نافذة أنابيب أشعة X (فتحة الأنابيب)
40	1.3.6. لحام الإلكترونيات المعدنية على الأنابيب الزجاجية
40	1.4. أنواع أنابيب توليد الأشعة السينية المختلفة
42	1.5. أعطال أنابيب أشعة X
44	1.6. المخطط الصنوفي لجهاز أشعة X البسيط التقليدي
47	1.6.1. مولدات الطاقة لأنابيب أشعة X
57	1.6.2. أنابيب الأشعة
59	1.6.2.1. التعرضات الأحادية
61	1.6.2.2. سلسلة من التعرضات

62	استخدام مخططات تبريد المسبع	1.6.2.3
63	حرارة غلاف الأنبوب	1.6.2.4
64	استخدام مخططات تبريد الغلاف	1.6.2.4.1
66	المسبد أو موجة الأشعة	1.6.3
68	طاولة المريض	1.6.4
69	مخطط بوكي	1.6.5
70	بارامترات مخطط بوكي	1.6.5.1
72	أنواع الشبكات	1.6.5.2
72	بحسب ترتيب شرائط الرصاص	1.6.5.2.1
75	الشبكات المتحركة	1.6.5.2.2
76	قطع الشبكة	1.6.5.3
79	X. كاشف أشعة X	1.6.6
80	منصة التحكم	1.6.7
82	التحكم الآلي بالتعريض	1.6.7.1
85	تصحيح الكثافة البصرية	1.6.7.2
85	التصوير المقطعي التقليدي	1.7
86	التصوير الشعاعي الرقمي	1.8
94	جهاز التنظير	1.9
98	مقاييس مختلف الصور	1.9.1
99	مكبات الصورة ثنائية وثلاثية الحقل	1.9.2
101	التحكم الآلي بالتعريض للتصوير التنظيري	1.9.3
108	جهاز الأشعة الفضائية	1.10
114	جهاز التصوير الشعاعي الفضالي للتنظيري الفوسي	1.11
117	التصوير الشعاعي السندي	1.12
122	جهاز التصوير البليتورامي السندي	1.13
131	الفصل الثاني: التصوير الطيفي المحوري المحوسبي	

131	2.2. النظرية الأساسية في التصوير الطيفي المحوري
131	2.3. معاملات التخادم لأشعة X
133	2.4. تطور المساحات
133	2.4.1. الجيل الأول: حس敏 واحد ، مساحات انتقالية دورانية
134	2.4.2. الجيل الثاني: عدة حساسات ، المساحات الانتقالية الدوارة
135	2.4.3. (الجيل الثالث: المساحات الدورانية
136	2.4.4. الجيل الرابع: دوران فقط حساسات ثابتة للمساحات
136	2.4.5. الجيل الخامس: مساحات القلب
137	2.4.6. الجيل الجديد: التصوير الطيفي المحوري ذو الحزمة الإلكترونية
138	2.5. أجزاء جهاز الطيفي المحوري
139	2.5.1. طاولة المريض
139	2.5.2. القنطرة
140	2.5.3. الحساسات
143	2.5.4. الحاسوب
143	2.6. مبادئ طرق بناء الصورة في التصوير الطيفي المحوري
144	2.6.1. الطريقة الأولى
145	2.6.2. الطريقة التكرارية
146	2.7. تطور مساحات الجيل الثالث
151	الفصل الثالث: التصوير الشعاعي للثدي
151	3.1. مقدمة
151	3.2. مبادئ التصوير الشعاعي للثدي
152	3.3. كيفية تشكيل الصورة
155	3.4. المخطط الصندوقى لجهاز التصوير الشعاعي للثدي :
158	3.4.1. منبع الأشعة
161	3.4.2. ترشيح حزمة أشعة X

163	3.4.3. أجهزة الضغط على الثدي
163	3.4.4. الشبكة المضادة للتبعثر
163	3.4.5. مستقبلات الصورة
166	3.5. الضجيج والجرعة
166	3.6. التحكم الآلي بالعرض
166	3.7. ضبط الجودة
166	3.8.أخذ الخزع
167	3.9. تصوير الثدي الرقمي
175	الفصل الرابع: أنظمة التصوير فوق الصوتية
175	4.1. الأمواج فوق الصوتية التشخيصية
176	4.2. فيزيائية الأمواج فوق الصوتية
176	4.2.1. طول الموجة و السرعة
178	4.2.2. ظاهرة الانعكاس والانكسار
180	4.2.3. الممانعة المميزة
182	4.2.4. تاخادم الأمواج فوق الصوتية:
186	4.2.5. سرعة الانتشار
187	4.3. مبدلات الأمواج فوق الصوتية
190	4.3.1. طبقة توافق للممانعة الرباعية
192	4.3.2. خصائص البلورة الكهروإيجهدية
193	4.3.3. تردد الرنين
194	4.3.4. عامل Q للمبدل
197	4.3.5. الحقن القريب والبعيد في المبدلات الفوق صوتية:
200	4.3.6. دقة التمييز
202	4.3.7. تحرق حزمة الأمواج فوق الصوتية
209	4.3.8. مبادئ مبدلات المصفوفات المستخدمة في التصوير بالأمواج فوق الصوتية:

209	4.3.9. المصفوفة المتتالية الخطية
210	4.3.10. المصفوفات الخطية المحينة
210	4.3.11. المصفوفات الطورية الخطية
210	D 1.5 4.3.12. المصفوفات
210	4.3.13. المصفوفة الطورية ثنائية البعد
212	4.4. تقنيات القيلس في أجهزة الأمواج فوق الصوتية
212	4.4.1. زمن العبور للبعد
214	4.4.2. سرعة (زمن العبور
216	4.4.3. سرعة وتدفق زمن العبور
218	4.4.4. معادلة دوببلر
221	4.5. أنواع أجهزة المسح بالأمواج فوق الصوتية:
221	4.5.1. جهاز الصدى الأساسي:
229	4.5.2. جهاز تصوير صدى المطال (A-Scan)
233	4.5.2.1. تطبيقات المسح (A)
233	4.5.2.1.1. تطبيق (1) : تصوير الدماغ بمبدأ الصدى المطال
235	4.5.2.1.2. تطبيق (2) : تصوير العين :
236	4.5.3. جهاز تصوير الصدى السطحي
240	4.5.4. جهاز تصوير الصدى الحركي
241	4.5.4.1. تطبيق : تحضير صدى القلب
243	4.5.5. أنظمة التصوير فوق الصوتية بالزمن الحقيقي
244	4.5.6. أنظمة التصوير فوق الصوتية بطريقة دوببلر
247	4.5.7. أنظمة التصوير فوق الصوتية بطريقة المسح المزدوج
248	4.5.7.1. تطبيق : التصوير الوعائي
249	4.5.8. أنظمة التصوير فوق الصوتية بطريقة المسح المستمر
250	4.6. الإظهار ثلاثي الأبعاد

255	4.7. المجهر الصوتي
261	الفصل الخامس: نظام التصوير بالرنين المغناطيسي
261	5.1. مقدمة
262	5.2. ظاهرة الرنين المغناطيسي :
265	5.3. الحركة الابدارية (Precession) :
266	5.4. فيلمن مخططة الأنسجة:
269	5.5. أزمنة الاسترخاء T2 و T1 :
273	5.6. الاسترخاء *T2 :
274	5.7. المبادئ الكامنة لأزمنة الاسترخاء:
277	5.8. كيف توفر أزمنة كل من T1, T2 على شدة الإشارة:
278	5.9. مبادئ تجهيزات التصوير بالرنين المغناطيسي:
280	5.9.1. المغناطيس:
281	5.9.2. ملفات الراديوية (RF Coils) :
282	5.10. تصميم تجهيزات التصوير بالرنين المغناطيسي:
286	5.10.1. المغناطس المستخدمة في جهاز التصوير بالرنين المغناطيسي :
287	5.10.1.1. أنواع المغناطس :
293	5.10.2. حقول التهديد:
293	5.10.3. ملفات التدرج:
297	5.10.4. الملفات الراديوية:
298	5.10.4.1. نظام المرسل RF:
299	5.10.4.2. نظام الكشف:
302	5.10.4.3. نظام التدرج من أجل الترميز الحيزي:
306	5.10.5. تحجيم التردد للراديو:
307	5.10.6. تحجيم المغناطيس:
308	5.11. تقنيات إعادة بناء الصورة

309	5.11.1. أساسيات بناء الصورة:
316	5.11.1.1. طريقة النقطة المترافقية (الحساسة) :
316	5.11.1.2. طريقة الخط المتتالي:
318	5.11.1.3. طريقة المستوى المتتالي:
321	5.11.1.4. الفيابن المترافق :
323	5.12. التأثيرات البيولوجية للتصوير بالرنين المغناطيسي النووي
323	5.12.1. التسخين بسبب طاقة RF:
323	5.12.2. الحقل المغناطيسي الساكن:
323	5.12.3. تحريرض التيار الكهربائي بسبب التغير السريع في الحقل المغناطيسي:
323	5.13. ميزات نظام التصوير بالرنين المغناطيسي النووي
329	الفصل السادس : المنظار العيني
329	6.1. مقدمة
329	6.2. المنظار العيني المباشر
332	6.3. العوامل المؤثرة على شدة مكhan تمرير الانعكاس
332	6.3.1. الزاوية بين محوري الإضاءة والنظر
332	6.3.2. المسافة بين الطبيب والمريض
333	6.3.3. مقاييس فتحة مرور الإضاءة
333	6.3.4. مقاييس فتحة الرؤوية
333	6.3.5. تطابق حقل الرؤوية وحقل الإضاءة
334	6.4. المنظائر العينية الغير مباشرة
337	6.4.1. المنظار العيني الغير مباشر ذو الفتحة الواحدة
338	6.4.2. المنظار العيني الغير مباشر ذو الفتحتين
339	6.4.3. كاميرا قاع العين
345	الفصل السابع : منظار الشبكية
345	7.1. مقدمة

346	7.2. مبادئ تنظير الشبكية
350	7.3. تقرير محور الانحراف بواسطة منظار الشبكية
350	7.3.1. تنظير الشبكية النقلي
351	7.3.2. تنظير الشبكية الشرطي
353	7.4. تصميم الجهاز
353	7.5. أهمية بعض المواقف على دقة منظار الشبكية
354	7.6. أخطاء مناظير الشبكية
354	7.6.1. تأثير التحادي
355	7.6.2. التشوهات المكروية
355	7.6.3. التشوهات اللونية
355	7.6.4. موقع المنعكس
359	جدول المصطلحات

مقدمة الكتاب

من خلال مسيرة عملنا في التدريس بجامعة دمشق، كان لابد من تتوسيع هذا الجهد بتأليف كتاب يضم تقنيات تجهيزات التصوير الطبي الأكثر شيوعاً في العالم لطلاب الهندسة الطبية والمهندسين والمهتمين بهذا الحقل.

لقد سعينا أن يحتوي كتابنا على أهم الأفكار التي يحتاجها المهندسون الطبي في حياته العملية وذلك من خبرتنا العملية التي مساعدتنا في توجيه كتابنا كونه مرجعاً نظرياً وعملياً في آن واحد.

اعتمد مؤلفنا على عدد لا يامن به من أحدث وأهم المراجع العلمية العالمية المتخصصة في تجهيزات التصوير الطبي وتقنياتها، وهو أول مؤلف أكاديمي باللغة العربية يغطي هذا الحقل، كما دعم الكتاب بعدد كبير من الأشكال التوضيحية لجعل إمكانية فهم الأفكار الواردة فيه سهلاً.

يتألف الكتاب من سبعة فصول:

- الفصل الأول: أجهزة أشعة X الطبية

ينطلق هذا البحث من المبادئ الأساسية لتمويل الأشعة السينية بشكل مبسط ودون الخوض في تعقيدات فزيائتها ومن ثم يذهب ليتعمق في أجزاء أجهزة الأشعة بشكل عام وأختلاف مبادئ التصوير البسيطة عن التصوير التظيري، يتطور البحث للولوج إلى التجهيزات المختلفة المستخدمة في التصوير وأختلافاتها، كما تم التركيز على التقنيات الرقمية في هذه التجهيزات.

- الفصل الثاني : التصوير الطيفي المحوري المحوسب

نظراً لأهميتها التشخيصية فقد أفرزتنا بحثاً خاصاً لهذه الأجهزة حيث تم ذكر الأجيال المختلفة ومن ثم الجيل الثالث الذي اعتمد عالمياً وتطورت تقنياته ليخدم أهدافاً طبية متعددة بدلاً من كونه محدوداً.

- الفصل الثالث: التصوير الشعاعي للثدي

بالرغم من أن هذه الأجهزة ما تزال تدرج تحت أجهزةأشعة X الطبية إلا إن خصوصيتها في دقة التشخيص المطلوبة منها واختلاف الطيف الشعاعي الذي تستخدمه والمدورة الذي تتعبه في إنقاذ حياة الكثير من السيدات في الكشف المبكر لسرطان الثدي، جعلنا نذهب لتصحيف فصل خاص بها.

- الفصل الرابع: أنظمة التصوير فوق الصوتية

إحدى تقنيات التشخيص الآمنة والتي يعتمد عليها الكثير من الأطباء في عياداتهم، لذا كان لا بد من العودة والتطرق لهذا الموضوع. دخل البحث في المبادئ الفيزيائية للأمواج فوق الصوتية ومن ثم البنية الأساسية للمبدل والذرارات الرئيسية للإرسال والاستقبال، أنظمة التصوير المختلفة، المبدلات بأنواعها المختلفة والتصميم الأساسي للتجهيزات.

- الفصل الخامس نظام التصوير بالرنين المغناطيسي

تعتبر ظاهرة التصوير بالرنين المغناطيسي من الظواهر الحديثة والصعبة في تصور حدوثها، يعرض هذا الفصل هذه الظاهرة بأسلوب مبسط ومن ثم يذكر التقنيات المستخدمة في التصوير، ولا شك أجزاء الجهاز ووظائفها.

- الفصل السادس: المنظار العيني

لا تخلو أي عيادة عينية من هذا الجهاز حتى إن بعض الأطباء الداخليين يستخدمونه، لذا كانت الفكرة بإدراج هذا الجهاز ضمن خطتنا من خلال أنواعه المختلفة واختلاف تصميمها وتطبيقاته المختلفة.

- الفصل السابع: منظار الشبكية

هو أحد الأجهزة المتخصصة في العيادة العينية، أدرج هذا البحث بالتعريف بالجهاز وأجزائه ومهامه المختلفة في كشف الخطأ الانكساري بشكل يدوي.

مع كل ما توصلنا إليه فإننا نعتقد أن الوصول للكمال هو أمر مستحيل وبما يزال هذا العمل متواضعاً، لذا نرجو من السادة القراء لفت نظرنا لكل ما يجدون أنه من المفيد أن تتحويه الطبعة الثانية من إضافات لم تعطيها الطبعة الأولى.

نرجو من الله أن تكون قد وفقنا في هذا المؤلف وأن يكون بداية لمجموعة من المؤلفات التي سنصدرها قريباً في مجال الهندسة الحلبية "التجهيزات الطبية" المختلفة.

المؤلفان

الدكتور المهندس
محمد فراس الحناوي

الدكتور المهندس
أيمن الصابوني



الفصل الأول

أجهزة أشعة X الطبية

المؤلف: د.م. محمد فراس الحناوي



أجهزة أشعة X الطبية

1.1. مقدمة:

يعود اكتشاف أشعة X إلى العالم رونتجن (1895) والذي كان مفاجأة كبيرة في ذلك الوقت حيث أنه كان يبحث عن طريقة ليرى من خلال الجسم بدون عمل جراحي. ولكنه كان يتحرى الأشعة المهيكلية الثانية الأنابيب المفرغ عندما لاحظ تغيرات على المواد الفوتوغرافية والتي لم تكون مستخدمة في تجاربه بشكل مباشر.

ومن خلال تلك التجارب اكتشف أن أشعة X تقوم بما يلي:

- تتسبيب في إصدار إشعاعاً لمادة سيليدين البلاتين - باريوم.
- تؤثّر على الطبقة الحساسة المستخدمة في التصوير الفوتوغرافي.
- تجعل بعض المولا شفافة.
- يمكن تسلیدها (جعلها متوازية) من خلال فتحات صغيرة جداً.
- يمكن تولیدها بواسطة أنابيب الأشعة المهيكلية عالي الطاقة.

بعد أسبوعين من اكتشاف أشعة X تم استخدامها في المجال الطبي التشخيصي، وقد انصبت الجهد تطوير أشعة X من حيث:

- تحسين نوعية الخيال.
- زيادة مجال التباين بين الأنسجة المختلفة.
- تحسين دقة ووضوحية الصورة الناتجة.
- تخفيف جرعة أشعة X المستخدمة على المريض.

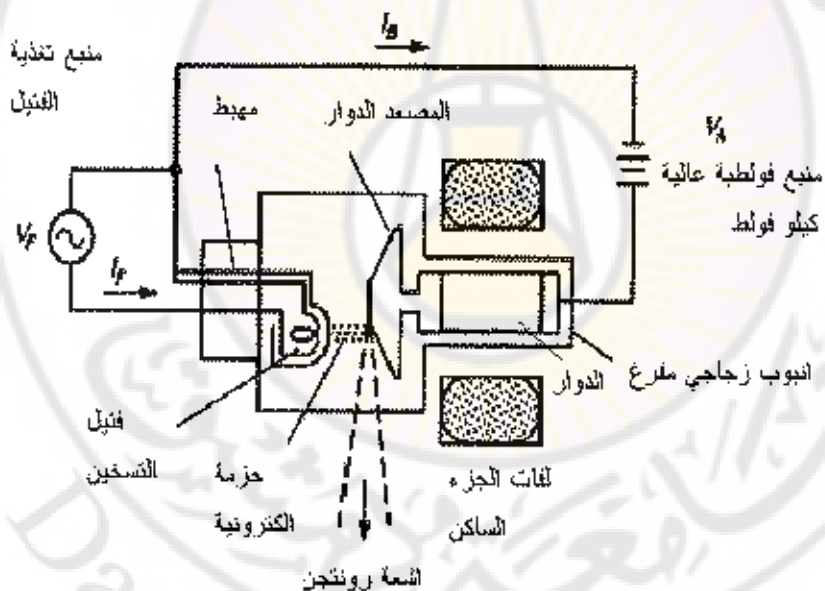
1.2. مفهوم توليد أشعة X:

قبل التحدث عن طبيعة أشعة X من الهام أن نتعرّف على طريقة توليدها. إن الجزء المسؤول عن توليد أشعة X هو الأنابيب حيث يمكن تشبيهه على أنه أنبوب ثانوي مفرغ من الهواء مختلف بالزجاج حيث يتّألف من مهبط ومصعد، المهبط يتّألف من باعث للإلكترونات بشكل حراري، والمصعد يجذب هذه الإلكترونات، وغطاء زجاجي مفرغ يحيط بالأجزاء المختلفة.

وكما هو مبين في الشكل (1-1) فإن منبع جهد الفتيل V_f يتسبب في تدفق التيار I_f عبر وشيعة الفتيل وبالتالي تسخين المهبّط، بحيث تتدفع الإلكترونات من المهبّط إلى الخلاء وبما أن جهد المصعد V_A ذو قيمة عالية تكفي لتمكن الإلكترونات من العبور إلى المصعد مكونة تيار الحزمة I_B ، حيث يكون هذا الجهد من مرتبة KV 100 بحيث يسبب هذا الجهد إلى قسّارع الإلكترونات بشكل كبير .

وبشكل تقريبي فإن 1% من هذه الإلكترونات الوارثة إلى المصعد ترتطم مع الذرات المكونة لمادة المصعد منتجة فوتونات أشعة X التي يتم إصدارها إلى الوسط الخارجي.

لفهم عملية تكون فوتونات أشعة X فإنه من الضروري أن نأخذ بعين الاعتبار التيار الكهربائي الذي يمر خلال فتيل المهبّط وتسبّب تسخين المهبّط بفعل الإثارة الحرارية، وهذا يسبب تشكّل قوى الارتباط لهذه الإلكترونات في المهبّط (داخل الأنبوّب المفرغ)، وندعى هذه الطاقة بالفعل الوظيفي (Work function) E_W .



الشكل (1-1) : يبيّن المبنية العامة لأنبوب الأشعة السينية.

وهي تختلف من معدن لأخر . والجدول 1-1 يبيّن معلمات المواد لأنبوب المهبّط في أنبوب أشعة X.

وحيث أن I_B هو التيار بالأميري تبعاً للإثارة الحرارية ويعطى بالعلاقة:

$$I_B = c_0 A_e T^2 e^{-\frac{11600 E_w}{T}} \quad 1-1$$

A_e - مساحة المهبط بالمتر المربع.

c_0 - معامل مادة المهبط.

T - درجة الحرارة.

إن المعادلة (1-1) تحسب تيار الحزمة فقط ، ويفرض أن V_A هي فولطية المصعد وهي كبيرة كافية لتس暮ح لكل الإلكترونات الصادرة عن المهبط عبر الخلاء.

الجدول 1.1 : معاملات مواد مهبط أنبوب أشعة X وجهد العمل E_w .

Cathode's material	$c_0 (\frac{A}{m^2 K^2})$	$E_w (eV)$
Tungsten	60×10^4	4.52
Thoriated Tungsten	3×10^4	2.63
Oxide Coated	0.01×10^4	1

1.2.1. العلاقة بين تيار الفتيل وتيار الأنبوب:

ينتفق التيار الكهربائي في أنبوب الأشعة. إن تيار الفتيل هو تدفق الإلكترونات عبر الفتيل لرفع درجة حرارته وتحرير الإلكترونات. أما التيار الكهربائي الثاني فهو تدفق الإلكترونات المتحررة من الفتيل إلى المصعد غير أنبوب الأشعة. ويدعى هذا التيار تيار الأنبوب ويكون في مجال الميلي أمبير.

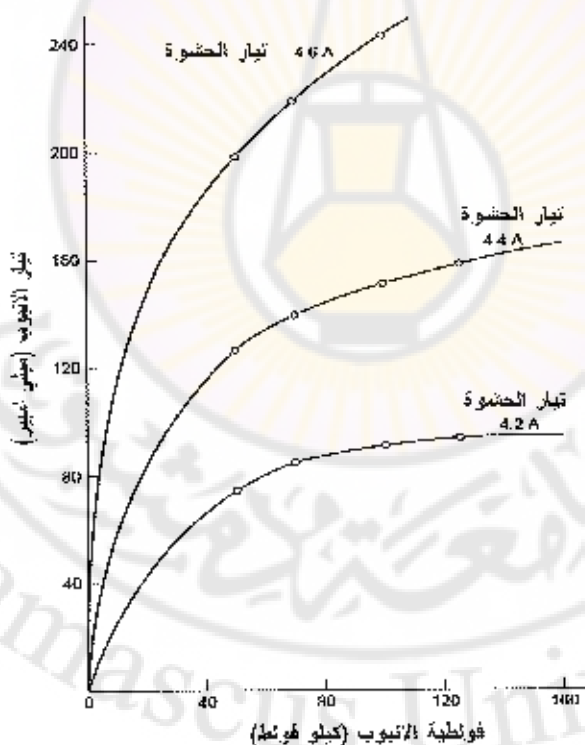
إن كلا التيارين متصلان لكن مرتبطين بعضهما. أحد العوامل التي تربطهما مع بعضهما هو الشحنة الفضائية. ففي حال انخفاض فولطية الأنبوب فإن الإلكترونات المتحررة من المهبط تكون أكبر من تلك المتجهة نحو الهدف، وبالتالي تتشكل سحابة إلكترونية تدعى بالشحنة الفضائية وتتراكم حول فتيل المهبط ، وتعمل هذه السحابة على ممانعة تحرير الإلكترونات إضافية من الفتيل.

يبين الشكل (1-2) تأثير فولطية الأنابيب وتيار الفتيل على تيار الأنابيب، فعند تغيرات منخفضة للفتيل، تصل الفولطية إلى حد أعلى من الإشباع بحيث إن تيار الأنابيب لا يتغير مع زيادة الفولطية.

عند فولطية الإشباع فإن تيار الأنابيب يكون محدوداً بمعدل تحرير الإلكترونات من الفتيل.

أي أنه فوق فولطية الإشباع يمكن زيادة تيار الأنابيب بزيادة درجة حرارة الفتيل وذلك لزيادة معدل الإلكترونات المتبعة. في هذه الحالة يقال إن تيار الأنابيب محدود انتهاكاً لفتيلاً أو محدود حرارياً.

للحصول على تيارات أنابيب عالية وطاقات أشعة مفيدة للتشخيص، يجب أن تستخدم تيارات فتيل عالية وفولطية بين 40-400 كيلوفولت. أي أنه بحال تيارات فتيل عالية وفولطيات أنابيب منخفضة، فإن الشحنة الفضائية تحد من تيار الأنابيب وبالتالي يقال إن أنابيب الأشعة محدود الشحنة الفضائية (Space-Charge Limited).



الشكل (1-2) : العلاقة بين فولطية الأنابيب وتيار الأنابيب باختلاف تيار الفتيل

مثال (1-1): أنبوب أشعه X ليس له شحنة فضائية حول المهيـط . المـهيـط مـصـنـوع من مـادـة التـنـغـسـيـن وله مـسـاحـة سـطـح $1cm^2$ والمـطلـوب:

- اـرـسـمـ مـخـطـطـ العـلـاقـةـ بـيـنـ تـيـارـ الحـزـمـةـ مـعـ الـحرـارـةـ.

حل المثال (1-1):

بالعودة للجدول رقم 1-1 لمادة التـنـغـسـيـن وـيـتـطـبـقـ المـعـادـلـةـ 1-1 نـجـدـ:

$$I_B = (60 \times 10^4) A_c T^2 e^{(-\frac{11600X4.52}{T})}$$

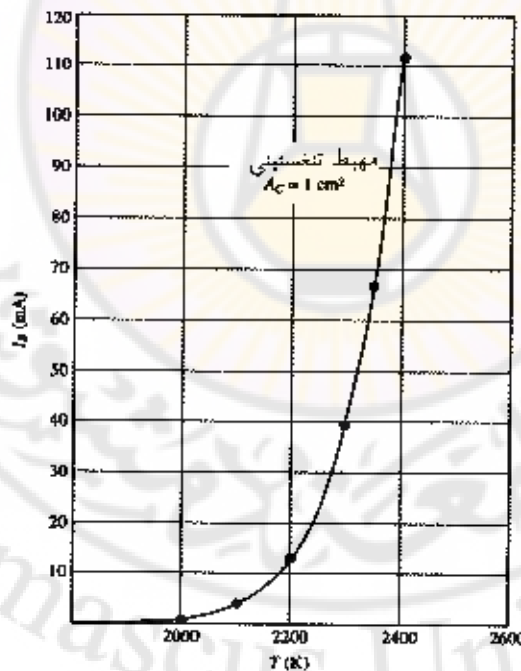
$$A_c = 1cm^2 = 10^{-4} m^2$$

وحيـثـ إـنـ المسـاحـةـ

$$I_B = 60T^2 e^{(-\frac{52432}{T})}$$

أـيـ لـنـ تـيـارـ الأنـبـوبـ

وـالـشـكـلـ (1-3) يـبـيـنـ مـخـطـطـ العـلـاقـةـ بـيـنـ تـيـارـ الحـزـمـةـ مـعـ الـحرـارـةـ (المـهيـطـ) . ولـلـتـحـكـمـ بـدـرـجـةـ حرـارـةـ المـهيـطـ يـعـدـ إـلـىـ تـغـيـيرـ فـوـلـطـيـةـ الحـزـمـةـ هـذـاـ يـسـمـحـ لـلـمـسـتـخـدـمـ أـنـ يـغـيـرـ تـيـارـ الحـزـمـةـ بـيـنـماـ يـرـفـيـ فـوـلـطـيـةـ المـصـبـعـ ثـابـتـةـ.

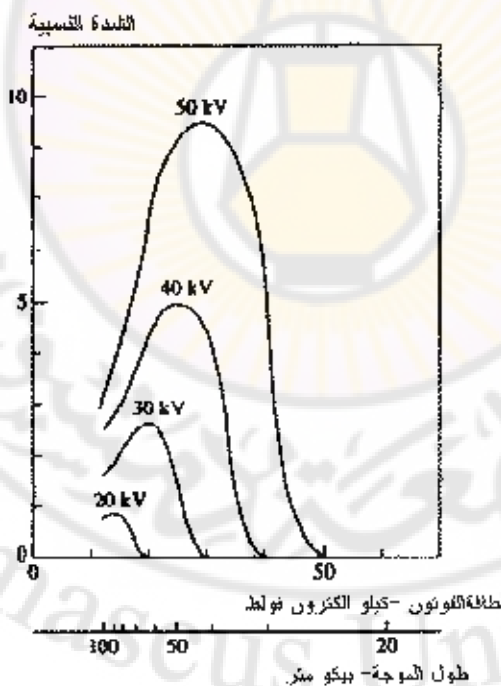


الـشـكـلـ (1-3): منـ الـعـلـاقـةـ بـيـنـ تـيـارـ الحـزـمـةـ المـحـدـودـ حرـارـيـاـ مـعـ حرـارـةـ المـهـيـطـ (المـهـيـطـ مـنـ التـنـغـسـيـنـ).

١.٢.٢ طبيعة أشعة X

تنتج أشعة X عن حزمة إلكترونية عندما تصطدم بحدى الإلكترونات مع ذرة في المصعد. إن الاصطدام يسبب لأحد الإلكترونات المدارية للذرة أن يتم افلالع الكترون من الطبقة الداخلية للذرة ويحل مكانه إلكترون من طبقة أعلى باعثاً فوتونات أشعة X المميزة. ومن ثم يعود لحالته الأصلية باضاً فوتون أشعة X . هذا يعرف بالإشعاع المميز الانزياحات الطاقوية مبينة بالشكل (٤-١) ، تمثل انزياحات مدارية مختلفة في الذرة. ويستخدم الإشعاع المميز لدراسة المركبات الذرية للمواد.

وهناك نوع آخر من الاصطدامات يبعث الإلكترونات الساقطة وينتج حليف من إشعاعات X تدعى بالإشعاعات الانكابحية (Bremsstrahlung). هذا الإشعاع يتسبب بالتغييرات في سرعة العزم الإلكترونية والتي تخفض طاقتها الحرارية بعامل مساو للطاقة في أشعة X . إن الإشعاعات الانكابحية تحوي على أكثر طاقة أشعة X ، ولهاذا فهو هام في التطبيقات الطاقية والتي تعتمد على امتصاص الطاقة والمختلفة عن غيرها المعتمدة علىقياس أطوال موجية معينة كما في الحالة بدراسة علم البليورات باستخدام أشعة X .



الشكل (٤-١) - بين علاقة المشدة النسبية بطول الموجة (طاقة المقوتون).

وهناك علاقة بين فولطية المصعد مع طاقة الفوتون المنبعثة كما هو مبين بالشكل (I-4). بزيادة كموم المصعد تيار حزمه ثابت يولد إلكترونات عالية الطاقة في الحزمة. في الحقيقة فإن طاقة الإلكترون عندما ترتفع الإلكترونات بالمصعد تعطى بالعلاقة:

$$E_E = eV_A \quad I-2$$

حيث e هي الشحنة الإلكترونية ($e = 1.602 \times 10^{-19} \text{ Coulomb (C)}$) E_E تفاس بالإلكترون فولط (eV).

يعرف الإلكترون فولط بأنه الطاقة المكتسبة من الإلكترون يتسارع من خلال فولط واحد. عندما يصطدم الإلكترون مع ذرة في المصعد فإنه ينتج فوتون من أشعة X يملك طاقة متناسبة مع الميكانيك الكمي ويعطى بالعلاقة:

$$E_F = h \times f \quad I-3$$

حيث:

$$(h = 6.625 \times 10^{-34} \text{ J.S}) \quad h - \text{ثابت بلانك}$$

f - تواتر الفوتون.

مثال (I-2): أوجد طاقة الفوتون العظمى لأشعة X المنبعثة ، وبفرض أن فولطية المصعد هي .40KV

حل المثال (I-2): الطاقة الأعظمية في الإلكترون الحزمة هي 6V وبالتالي فإن طاقة الإلكترون العظمى تعطى:

$$E_E = 1.602 \times 10^{-19} (40 \times 10^3)$$

$$E_{F_{\max}} = 6.408 \times 10^{-15} \text{ J}$$

و لفوتونات أشعة X تواتر معطى بالعلاقة:

$$f = \frac{c}{\lambda} \quad I-4$$

c - سرعة الضوء ($3 \times 10^8 \frac{\text{m}}{\text{s}}$)

λ - طول موجة الإشعاع بالمتر.

متتابعة المثال السابق:

أوجد أقصر طول موجة موجودة في حزمة أشعة X .

الحل:

بضم كل من المعادلتين ٣-١ و ٤ - نجد:

$$E_{\nu_{\min}} = \frac{h \times C}{\lambda_{\min}} \Rightarrow \lambda_{\min} = \frac{h \times C}{E_{\nu_{\max}}} \\ \lambda_{\min} = \frac{6.625(10^{-34})(3)(10^8)}{6.408(10^{-15})} = 0.3101 \times 10^{-10} m = 0.31 \text{ Å}$$

١.٢.٣. امتصاص أشعة X :

يتم التصوير بأشعة X عادة بتطبيق الأشعة على السطح من الجسم ومن ثم قياس الكمية المارة عبره، وبالتالي فالكمية الممتصصة من قبل الجسم تقادس بأخذ الفرق بين طاقات الإشعاع الداخلة والخارجة.

عملية امتصاص أشعة X هي الآلية الوحيدة للتفرير بين أعضاء الجسم الداخلية الخاضعة للمراقبة، فالألياف العظمية تمتص كمية أكبر من أشعة X بالمقارنة مع العضلات وبالتالي فإنه من السهل التفرير بينهما، ويتم حساب كمية امتصاص أشعة X من الأنسجة المختلفة بواسطة قانون لامبرت ويعبر عنه رياضياً:

$$\frac{dI}{I} = -\mu \times \rho \times ds \quad 1-5$$

ρ - كثافة الوسط ($\frac{\text{g}}{\text{cm}^3}$) .

S - المسافة عبر المادة وتقدر بالـ cm.

μ - ثابت تناصي ويدعى معامل تخدام الكثافة ووحدته ($\frac{\text{cm}^2}{\text{g}}$) .

أما الرمز dI فيمثل التغير النسبي لشدة أشعة X ،
 ds التغير النسبي للمسافة.

بن حل المعادلة السابقة يعطي بالعلاقة :

$$I = I_0 e^{-\mu \rho s} \quad (1-6) \quad \text{حيث:}$$

I -- شدة أشعة X الخارجة بعد اختراق التشاجر.

I_0 - شدة أشعة X الساقطة على التسبيح.

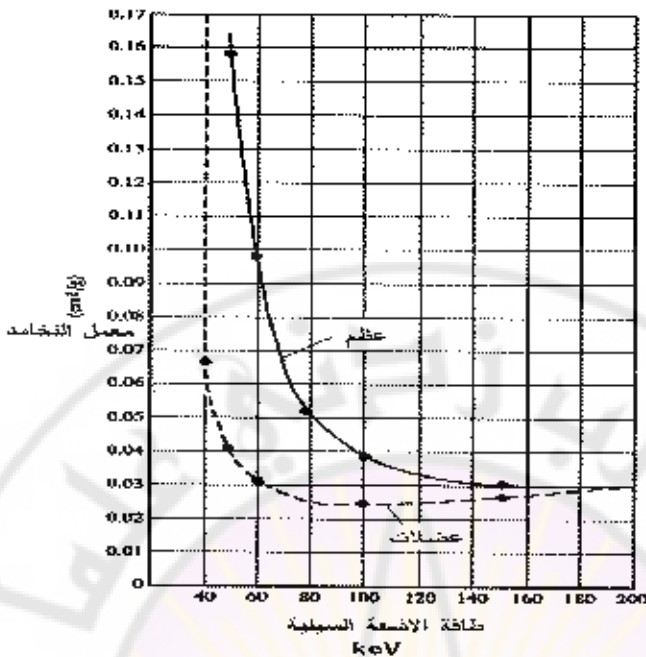
الشكل (5-1) يبين قيم μ ، لكل من العظام والعضلات. إضافة إلى أن الكثافات المختلفة للأنسجة الحيوية تعطى بالجدول (1-2) . فمن الواضح عندما يراد دراسة البنية العظمية يجب أن يستخدم فولطية منخفضة لل المصعد حوالي KV 60 حتى يكون من السهل التفريق عن البنية العضلية.

من ناحية أخرى إذا كان الطبيب يرغب أن يعتم على العظم للتفرق بين أنسجة العضلات عن الدهون فان من المتوجب عليه أن يستخدم فولطية عالية لل المصعد KV 200 .

الجدول رقم (1-2)- يبين الكثافات لمواد حيوية مختلفة.

المادة	الكثافة ($\frac{g}{cm^3}$)
هواء	0.0013
ماء	1.0
* عضلات	1.06
* دهون	0.91
عظم	1.85

يتضح من الجدول رقم (1-2) بأن الكثافات للأنسجة الرخوة ليست مختلفة تماماً ، بالإضافة إلى أن قيم μ هي متساوية تقريباً. ولذلك فإنه من الصعب الحصول على درجة تفاوت بين الأنسجة الرخوة باستخدام أشعة X .



الشكل (١-٥) يبين العلاقة بين معامل التخادم مع طاقة فوتونات أشعة X.

مثال (١-٣): بفرض أن كثافة أشعة X الساقطة على الماء هي $1 \frac{W}{cm^2}$

أحسب الكثافة والتي تنتج عن وعاء من الماء بسمك 2 cm (من الماء). وطاقة الفوتون

$$= 0.523 \frac{cm^2}{g} \text{ و التخادم الكلي } 20 \text{ KeV}$$

حل المثال (١-٣):

$$I_{H_2O} = 1 \times e^{-0.523 \times 1 \times 2} = 0.3513 \frac{W}{cm^2}$$

مثال: بفرض أن أشعة X الساقطة على العظم هي $1 \frac{W}{cm^2}$. قارن الطاقة المنبعثة من العظم

بكثافة 1.2 . ويمثل نفس الأبعاد المفروضة في المثال السابق، والنتيجة

$$I_{H_2O} = 0.3513 \frac{W}{cm^2}$$

عندما 20 KeV وعامل التخادم الكلي للعظم هو $2.51 \frac{cm^2}{g}$

الحل:

$$I_B = 1 \times e^{-2.51 \times 1.2 \times 2} = 0.0024 \frac{W}{cm^2}$$

$$\frac{I_B}{I_{H,0}} = \frac{0.0024}{0.3513} = 0.0068$$

يتضح معنا من المثالين السابقين أن شدة أشعة X المتبعة عن الماء هي أكبر بكثير من تلك المتبعة عن العظم . هذا يعني بأن العظم يمتص طاقة أكثر من أشعة X المار عبر الماء. وهو ما يعكس بالنتيجة على الطبيعة الحساسة حيث ينتج تباين في الصور المستقبلة.

1.2.4. التباين بين الأنسجة :

يعرف التباين في الصورة على الطبيعة الحساسة لنوعين . إن الأنسجة بأسرها مدي شدة الأشعة (X) والتي تصل للفيلم الحساس.

I_1 هي شدة أشعة X المتبعة من النسيج 1 .

I_2 هي شدة أشعة X المتبعة من النسيج 2 .

يعرف التباين بين النسيجين بالمعادلة:

$$C_{12} = 10 \log \frac{I_1}{I_2} \text{ (dB)} \quad 1-7$$

بتطبيق المعادلة (1-6) نحصل على:

$$C_{12} = 10 \log \frac{I_0 e^{-\mu_1 \rho_1 s_1}}{I_0 e^{-\mu_2 \rho_2 s_2}} \quad ... 1-8$$

حيث s_1 و s_2 هي ثخانة النسيج 1 و 2 بالتسلالي.

نجد أنه:

$$C_{12} = 10 \log \cdot e^{(\mu_2 \rho_2 s_2 - \mu_1 \rho_1 s_1)} \quad ... 1-9$$

$$= 4.3429 (\mu_2 \rho_2 s_2 - \mu_1 \rho_1 s_1) \text{ dB}$$

من المعادلة السابقة نستنتج أن التباين بين النسيجين يعتمد على معامل التحامد الكلي والكتافة والسمكية.

1.3. أنبوب أشعة X (X-ray tube):

هو عنصر يحافظ على الإهتمام ويطلب تغيير لمرة واحدة في السنة في الأجهزة كثيرة الاستخدام. ويكون الاهتمام في مادة التنجستين في المهيكل، والتي تصل إلى مرحلة الغليان حتى يتم إنتاج الحرارة الإلكترونية.

يتكون الأنابيب من ثلاثة أجزاء رئيسية:

-المهيكل.

-المصدر.

--الغلاف الزجاجي الحاوي لكل من المصعد والمهيكل عالي التفريغ.

وتقسم الأنابيب إلى:

* حسب أنواع المصعد المستخدم بها:

آ- أنبوب أشعة X ذو المصعد الدوار.

ب- أنبوب أشعة X ذو مصعد ثابت.

حسب شكل المهيكل:

ا-أنبوب أحادي التركيز.

ب-أنبوب ثائي التركيز.

مهما اختلفت الأنابيب بتنوعها يجب أن تتحقق:

أولاً- إمكانية تشكيل منبع ناري دون آثار ضارة بسبب الحرارة المرافق لإنتاج الصورة الشعاعية
بوضوح وتفاصيل دقيقة.

ثانياً- يمكن التحكم بها بدقة لتأمين الكمية والنوعية المطلوبة من الإشعاع لاختراق الجزء المصور وذلك لإنتاج كثافة الصورة المراددة بالصقر وقت ممكن، وذلك لإهمال تأثير حركة المريض، كما يجب أن تنتج نفس الكمية والنوعية من الإشعاع في كل مرة عند نفس المعاملات المختلفة.

ثالثاً- غلاف لمنبع الأشعة يؤدي العمل التالي:

ـ يسمح للإشعاع فقط بالمرور من خلال فتحة الدرع المحيط بالمنبع ومن الضروري أن يكون هناك إمكانية تغيير قباس الفتحة لتجديد المنطقة المغطاة من قبل الحزمة والتي هي تحت الفحص.

ـ سهل الحركة لأي وضع يحتاج إليه ويحافظ على ثباته بالوضع المطلوب.

ـ سهولة الصيانة والتنظيم.

ـ آمن كهربائياً.

لما عن آلية عمل الأنابيب فهي على الشكل التالي:

1.3.1. المهبط (Cathode)

لهذه وظيفة ثلاثة فهو يعمل كالكترونود مثال المصمام ويكتسب متحكم به للحرارة الإلكترونية والتي بعد أن تحصل على طاقة كبيرة بالتسريع تتفاعل مع المصعد (الهدف) لتنتج نبضة أشعة X . إن الإلكترونات المنتجة بتسلق سلك من التغصتين يعرف باسم الفتيل.

إن حرارة الفتيل هي التي تحكم في كمية الإلكترونات المتحركة من الأبعاد الحراري، ودرجة حرارة الفتيل تزداد أو تنخفض بتغيير التيار المار بداخلها، والتحكم في وحدة أشعة X لتغيير التيار يتم عن طريق ناخب mA . إن الناخب يعبر عن تيار الأنابيب ويعتمد على عدد الإلكترونات المارة من المهبط إلى المصعد، والتي يدورها تعتمد على عدد الإلكترونات المختلفة من الفتيل.

إن الحرارة المطلوبة لتحرير الإلكترونات عالية جداً وسبب تأخر التغصتين من الفتيل (كلما ارتفع التيار بزيادة mA المختار كلما ازداد التأخير) من الهام إيقاف معدل التأخير بالسرعة الممكنة لزيادة عمر الأنابيب لذلك ما إن ينتهي الفحص بأشعة X حتى تطفأ الوحدة فوراً. وعندما يعاد الفحص يجب أن ترفع درجة حرارة الفتيل إلى القيمة المطلوبة بأقصر وقت ممكن، عندما تعمل الوحدة فإن الفتيل له درجة حرارة منخفضة بحيث يكون التأخير أصغرى ولا يتم التصوير إلا عندما تقوم وحدة التحكم برفع حرارة الفتيل إلى قيمتها الصحيحة.

- المنبع الإلكتروني - رأس المهبط :

الرأس مصنوع من النikel الصافي، والفتيل من أسلاك التغصتين.

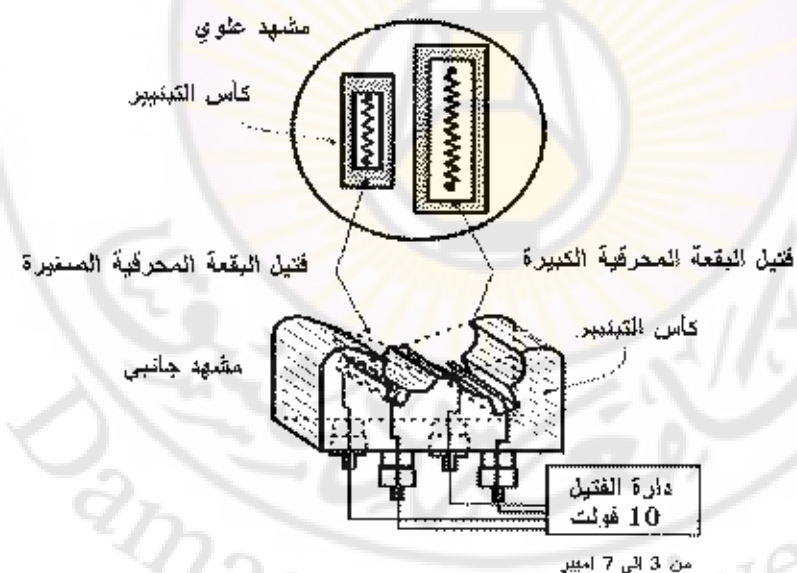
وتنقسم الأنابيب حسب شكل رأس المهبط كما في الشكل (1-6) :

- أنابيب أحادي التركيز: لها فتحة مركزية مفردة و يتوضع الفتيل المحازن داخل الأخوند.

-- أنبوب ثانوي التركيز: يوجد فتحتان مستطيلتان كأحدودين أحدهما للتركيز الخشن والأخر للتركيز الدقيق.

ففي الفتيل ذو التركيز الثنائي قد يتوضع أحدهما فوق الآخر، أو جنباً إلى جنب أو متوضعين بزاوية بحيث أن التدفق الإلكتروني الناتج يسقط على نفس النقطة من المصعد. إن هذا الترتيب يضمن أن أشعة X تنتج عن بقعة محرقة عن المصعد والتي هي في نفس الموقع لكلا المتبفين. أما عندما يتوضعن الواحد فوق الآخر فإن التدفق الإلكتروني الذي ينتجه موجه إلى موضع هذين مختلين على المصعد.

إن محسن الأنبوب ثانوي التركيز أنه يسمح باختيار مجال عريض، والاختبار قائم بين بقعة محرقة صغيرة تنتج صورة أقل ضبابية وبالتالي حدة في الوضوح أو زيادة في عدم الوضوح مقابل تركيز عريض. وكلما كان قطر الحزمة الساقطة على المصعد كلما اضطررنا لتخفيض زمن اللقطة وبالتالي عدم وضوحية الصورة. ويصنع الفتيل المحظوظ من أسلاك التبغتين التي المسحوب إلى أقطار دقيقة، ولبعد الفتيل مع عوامل أخرى تحدد صغر أو كبير قياس بقعة المحرق وتعزل نهاية الفتيل عن أجزاء الرأس المهيطي.



الشكل (6-1)- كيفية توضع الفتيل المزدوج على مهبط أنبوب لأشعة

والسبب في استخدام التبغتين:

- 1 - يمكن أن يسحب إلى أسلال دقيقة جداً وقوية وتحافظ على شكلها عندما تلف لتشكيل القليل المحازن.
- 2 - له درجة انصهار عالية $^{\circ}\text{C} 3370$ يجعل لاستعماله ممكناً عند درجات الحرارة العالية الضرورية لإطلاق الإلكترونات بالمعدل المطلوب.
- 3 - له معدل تبخر منخفض.
- 4 - له تحمل ميكانيكي جيد يسمح بتحمل حركة الأنبواب الازمة أثناء استخدامه.
- 5 - يوقف إصدار الإلكترونات تحت $^{\circ}\text{C} 2200$.

1.3.1.1. الأنابيب ذات شبكة تحكم:

عادة يخذى كأس تركيز المحيط بتوتر انحراف إضافي مما يجعله يعمل على أنه شبكة تحكم .

و عمل توتر الانحراف هو زيادة القوة الإلكتروستاتيكية حول الفتحة المستطيلة التي تحتوى على القليل، والشحنة المترددة قد تسبب لحرمة الإلكترونات عجز عن مغادرة المحيط وبذلك تتصرف كمفتوح، قد لا تكون كبيرة بما فيه الكفاية لتوقف التدفق ولكنها تضيق الإلكترونات وبذلك تسبب مساحة هدف حقيقية أصغر (أنابيب الأجهزة الصناعية).

1.3.2. المصعد (Anode):

له وظيفتان رئيستان فهو الإلكرود الموجب للصلام ويتصرف كهدف لحرمة الإلكترونات القادمة من المحيط وإضافة لذلك فهو مصمم لإنتاج الحرارة الازمة بالسرعة الممكنة.

1.3.2.1. أنبوب الأشعة ذو المصعد الثابت:

إن المصعد الثابت له هدف من التبغتين و البرينيوم المدموج مع النحاس، إن الدمج يتم باللحام بالقضبة لتؤمن بزاوية الحرارة الناتجة في منطقة الهدف حيث أن القضبة لها معامل تمدد بين المعدين (حرارة الذوبان للنحاس $^{\circ}\text{C} 800$ و للتبغتين $^{\circ}\text{C} 2200$) والجزء النحاسي له قطر كبير وطول قصير ما أمكن لزيادة الناقلة الحرارية، تعطى الحرارة المنقولة خارج المصعد بالعلاقة:

$$H = -KA \frac{dT}{dL} \quad \text{Cal/s ... 1-10}$$

حيث

dT - تغير الحرارة .

Δ - مساحة المقطع.

K - معامل النقلية الحرارية.

L - طول وسط النقل.

وحيث أن تدرج الحرارة dT/dL موحد عبر الوسط كما في المصعد النحاسي فيكون:

$$\frac{dT}{dL} = \frac{\Delta T}{L} = \frac{T_2 - T_1}{L} \dots 1-11$$

وبالتالي يكون النقل الحراري :

$$H = KA \frac{(T_2 - T_1)}{L} \dots 1-12$$

T_1 - درجة الحرارة المجاورة للهدف.

T_2 - درجة حرارة الهدف.

$Cm = L$

. Cal/cm.s. °C = K

$cm^2 = A$

. ° C = T_1

$$H_{wall} = 4.1844 KA \frac{T_2 - T_1}{L} \dots 1-13$$

أي أن زيادة النقلية يتم بتكبير A (مساحة السطح أي القطر) ويتخفيض L (طول المصعد).

عادة يضاف إلى التنسينين كمية من الرينيوم (10%) مما يجعل الخلبيطة ذات:

○ درجة انصهار عالية.

○ عدد ذري كبير.

○ كثافة عالية.

○ امتصاص كافي للحرارة.

○ نقلية عالية للحرارة.

○ تحمل ميكانيكي جيد.

○ إفراط من مخاطر تشقق السطح نتيجة الرينيوم.

إن المصعد ذو زاوية مائلة بين 10° - 20° والزاوية المثلثية 15° - 16.5° وبهذا يمكن تطبيق دخل كبير على الهدف بينما يبقى محافظين على بقعة محرقة صغيرة لإنتاكس المستوى العام من عدم الوضوح في الصورة الشعاعية. وعادة تكون مقاييس البقع المحرقة 0.1, 0.3, 0.5, 0.6, 1.0, 1.2, 1.5, 2.0 mm . وبين الجدول (1-3) انه يتغير مقاس البقعة المحرقة يمكن الحصول على طاقة اشعة أكبر. يتراوح قطر المصاعد من 3-4إنش (7.5 إلى 12 سم). وفي المصاعد الدوارة يتم تدوير المصعد قبل تطبيق الفولطية العالية بثانية واحدة لضمان عدم قصف الهدف قبل التوران بالسرعة المطلوبة.

الجدول رقم(3-1)- يبين العلاقة بين معدل الطاقة المطبقة مع مقاس البقعة المحرقة

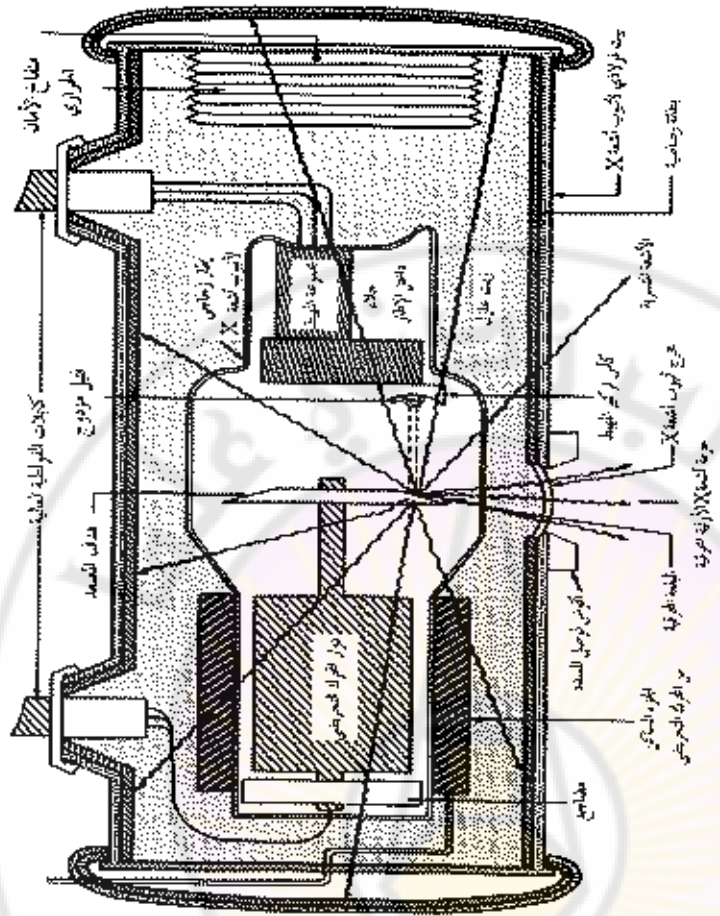
معدل الطاقة (كيلو واط) البقعة المحرقة (مم)

1.2-1.5	80-125
0.8-1.0	50-80
0.5-0.8	40-60
0.3-0.5	10-30
≤ 0.3	1-10
≤ 0.1	<1

1.3.2.2. الأنابيب ذو المصعد الدوار:

لزيادة خرج أشعة X وفي نفس الوقت المحافظة على بقعة مركزية فعالة صغيرة فان المصعد الثابت قد استبدل الأنابيب ذو المصعد الدوار، و يصل عدد الدورات من 3600- 10000 rpm وبدوران المصعد فإن الحرارة المتولدة تنتشر على منطقة أكبر مما يسمح بمضاعفة القيمة العظمى للدخل الحراري مما كانت عليه في الأنابيب ذو المصعد الثابت والتي يمكن تطبيقها على مساحة الهدف قبل أن يصل إلى حدود تحمله الحراري. والشكل (1-7) يبين الأنابيب ذو المصعد الدوار .

أما المهيكل فهو مشابه لنظيره في الأنابيب ذو المصعد الثابت إلا أن له شكل كأس ضابط لبؤرة المهيكل. وهذا الكأس مركب على داعمة من النikel متمركزة على المحور المركزي لأنابيب وبذلك فان التدفق الإلكتروني موجه إلى حافة قرص الهدف.

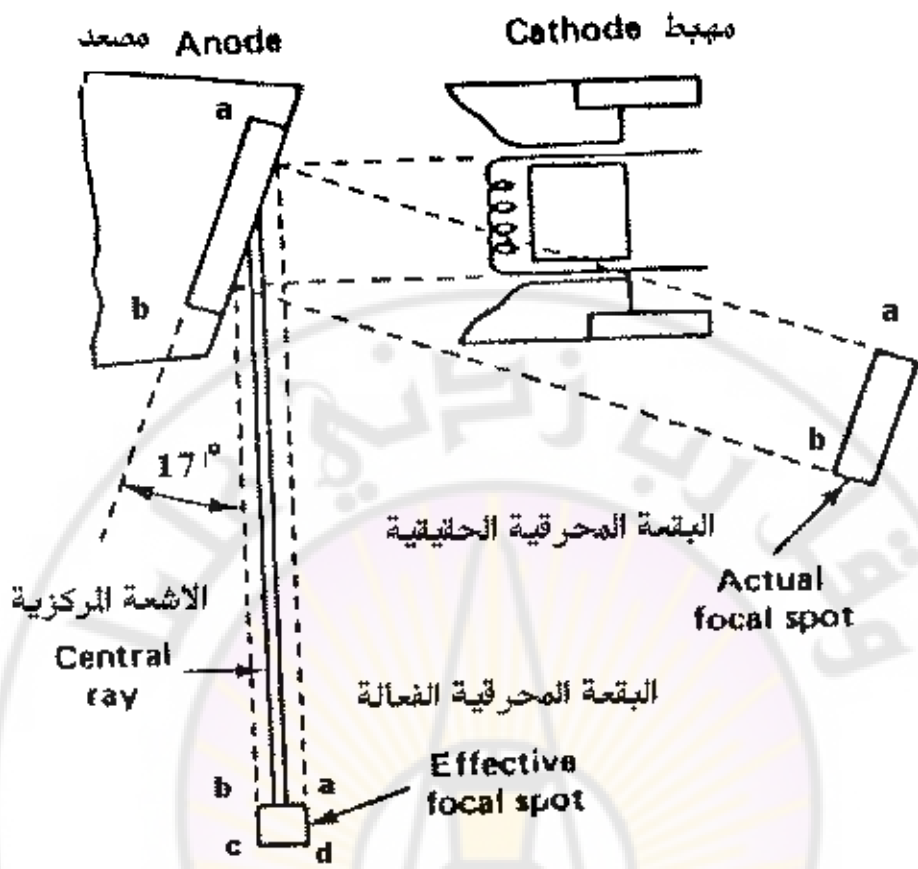


مخطط أنبوب أشعة X يظهر الأجزاء الأساسية فيه

الشكل (1-7) - يبين أجزاء أنبوب الأشعة السينية

مثال (1-4):

محيط يبث حزمة إلكترونية بأبعاد $2\text{mm} \times 2\text{mm}$ الواقعة الفعالة ذو زاوية هدف 17° وقطر المصعد الدوار 100 mm قارن بين المساحة التي تتعرض للحرارة في كل من نوعي المصعد.



الشكل (1-8) - بين البقعة المحرقة

حل المثال (1-4) :

من الشكل - نجد بأن الهدف يميل بزاوية وبالتالي فإن الضلع الذي يشكل المستطيل يمكن إيجاده من العلاقة:

$$\sin \alpha = \frac{cd}{ab} \Rightarrow ab = \frac{cd}{\sin \alpha} = \frac{2}{\sin 17^\circ} = 6.8 \text{ mm}$$

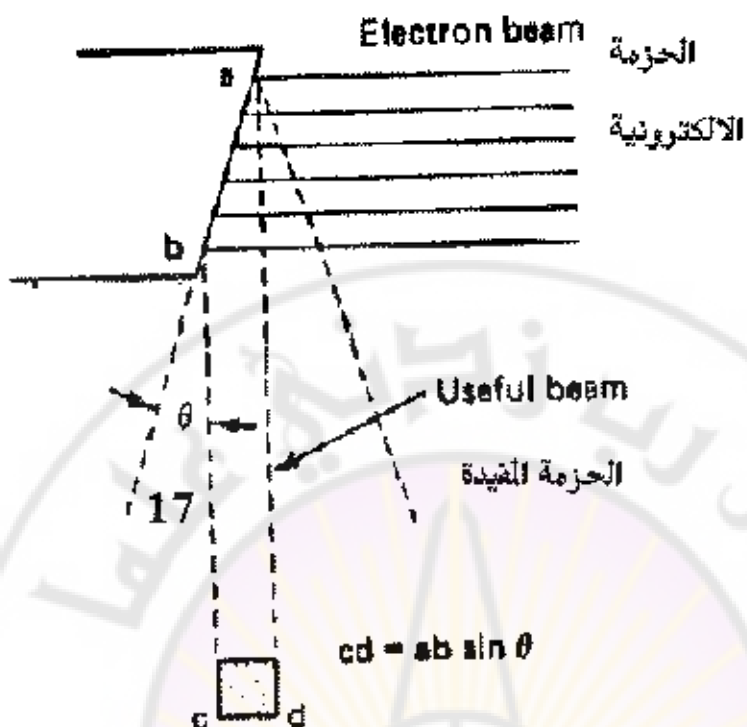
وبالتالي مساحة بقعة الهدف.

في حالة المصعد الثابت:

$$2 \times 6.8 = 13.6 \text{ mm}^2$$

في حالة المصعد الدوار:

فإن مساحة بقعة الهدف عبارة عن شريط دائري.



الشكل (9-1) إبعاد البقعة المفرقة

$$2 \times \pi \times r \rightarrow \text{محيط الدائرة} \\ 2 \times \pi \times 50 = 314 \text{ mm}$$

وبالتالي المساحة الكلية:

$$6.8 \times 314 = 2135 \text{ mm}^2$$

وبذلك فإن المساحة التي تستقبل حمل الدخل على أنبوب ذي مصعد دوار تساوي 157 مرة أكبر من الأنابيب ذي المصعد الثابت.

لما سطح الهدف فهو من مادة التنجستين مع 10% من الرينيوم، والطبقة مقواة من الموليبيديوم والذي يسبب ناقليته الحرارية المنخفضة بمنع بعض الحرارة الناتجة على المسطح من الانتقال إلى أجزاء سطوح الارتكاز، وتختلف أحجام الأفران من 80 - 100 mm وزوايا الهدف 6-17°.

1.3.3. الأنبوية الزجاجية (الغلاف):

تتم برشمة كل من المهيكل والمصعد داخل أنبوب زجاجية عالية التخلية. أما نوع الزجاج فيختار بمعامل تعدد مخفيض مما يجنبنا للتغير في القياس الناتج عن المجال العريض جداً من درجات الحرارة والتي يتعرض لها الأنبوب خلال حياته ومن أهمها زجاج البيركس - Pyrex.

وغالباً ما يضعف جدار الأنبوب الزجاجي الحرمة عند مغادرتها للخارج وبشكل جزء من الترشيح الملائم لأنبوب. ففي الأنابيب المنخفضة الطاقة يمكن إنفاس هذا الترشيح عن طريق تحجيف سماكة الزجاج في المنطقة التي تخرج منها الحرمة المفيدة.

وبالتالي فإن وظائف الغلاف الزجاجي هي:
 -احتواء الإلكترونيات.
 -تأمين جو الخلاء.

-الحفاظ على العلاقة بين الإلكترونيات كل واحد بالآخر بدقة كبيرة وبخاصة في توضع البقعة المحرقة بشكل دقيق جداً.

-عزل الإلكترونيات كهربائياً كل واحد عن الآخر وعزلهم عن بيت الأنبوب.
 -المساعدة في تبديد الحرارة من المصعد وفتيل المهيكل.
 -السماح بالترصيص الكهربائي مع الأقطاب.

-تأمين ترشيح منتظم للغرفة بتشكيل جزء من الترشيح اللازم لأنبوب الأشعة.

1.3.4. الغلاف الخارجي لأنبوب أشعة X:

يصنع الغلاف الخارجي من سبيكة من خليطة معدنية من الألمنيوم على شكل أسطوانة سميكة الجدران تحتوي أنبوب الأشعة والزيت المحيط به، وقد دخل الألمنيوم في الخليطة لتؤمن الصلابة والتحمل وقليلته للسحب والطرق، يضاف ثقب للكابلات ، ولتأمين الوقاية الضرورية من الإشعاع فإنه يبطن بصفائح من الرصاص.

يملاً الزيت الفراغ الموجود بين الغلاف الزجاجي والغلاف المعدني لأنبوب . وعند طرف المهيكل يكون الزيت محظوظ بخشاء من لا يسمح بتسرب الزيت من حوله وبسبب مرونته يمكن أن يغير شكله ليلاً حجم الزيت في الحجرة. بازدياد حرارة الزيت يزداد حجمه وبالتالي يؤدي إلى الضغط على العشاء المرن والذي بدوره يضغط على مفتاح ميكروي مما يؤدي إلى قطع التغذية الكهربائية عن الأنبوب وتوقف إنتاج الأشعة حتى يعود الأنبوب لبارد.

1.3.5. نافذة أنبوب أشعة X (فتحة الأنبوب):

شكل أشعة X المفيدة مخروط الإشعاع الموجه نحو نافذة الأنبوب، أما الأشعة المتبعثرة في كل الاتجاهات فتخدم من قبل حجرة الأنبوب بينما تكون نافذة الأنبوب هي المنطقة التي يكون فيها التخميد أصغرياً.

يستخدم البلاستيك أو الألمنيوم الرقيق لتشكيل نافذة الأنبوب وهي على شكل القبة حيث ينقص عمق الزيت بذلك المنطقة مما يقلل من تخدام الحزمة.

1.3.6. لحام الإلكترونيات المعدنية على الأنبوية الزجاجية:

إن لحام الزجاج مع المعدن مطلوب على كل أطراف الأنبوية، هذا اللحام صعب التحقيق مع اختلاف معاملات التمدد للمعدن والزجاج، لذلك يتم اللجوء إلى تقنية لحام الزجاج من خلال ثلاث حلقات زجاجية ترتفع في معامل تمددها بشكل بسيط حتى الوصول إلى معامل تمدد قريب من ذلك الخاص بالمعدن. ويخالف تصميم الأنابيب حسب اختلاف تصميم المصاعد.

1.4. أنواع أنابيب توليد الأشعة السينية المختلفة:

بالإضافة إلى التصنيف الرئيسي لأنابيب الأشعة السينية بحسب مصعدها إن كان ثابتاً أو دواراً فإن هناك عدة تصنيفات تدرج تحتها الأنابيب المولدة للأشعة تبعاً بما لتصميمها الداخلي أو لتحملها الحراري أو لطاقة الأشعة المولدة من خلالها للتصوير.

1.4.1. أنابيب التصوير الشعاعي الثابتي:

للتمكن من الرؤية العظمى للأنسجة الرخوة للثدي فإنه من الضروري أن يكون هناك وضوح كبير للصورة مع تباين واضح (Clear Contrast) ، لذلك فإن الأنبوب يجب أن ينتج حزمة أشعة X بطاقة منخفضة مع تركيز دقيق ويزمن تعرض قصير وجرعاً للمريض منخفضة قدر الإمكان.

1.4.2. مصاعد أنابيب أشعة X ذات العمل الشاق (Heavy Duty) :

مصعد أنبوب أشعة X ذو العمل الشاق له سعة تخزين حراري كبيرة جداً. لتم زيادة التحميل بزيادة قطر قرص الهدف لتکبير طول مسار الهدف كما يصنع القرص من عدد من المواد المختلفة لتشكيل ما يسمى قرص مركب. ويتم اختيار المواد تبعاً لخصائصها الفيزيائية، التيتانيوم والريبيتوم كمادة لوجه الهدف، الموليبيديوم مع كمية قليلة من التيتانيوم والزيركونيوم كقسم مركزى و الغرافيت كصفحة خلفية.

1.4.3. الأنابيب أشعة X ثنائية الزوايا:

مثل هذه الأنابيب يكون وجه الهدف لها مشطوف الحافة لتأمين زاويتين مختلفتين ، توجه الإلكترونات المهيمن من أحد الفتيلين إلى زاوية و الإلكترونات من الفتيل الآخر إلى الزاوية الأخرى.

من محسن هذا الأنابيب أنه يؤمن الخيار بتحميل عالي مع مقاييس البقعة المحرقة متوسط أو تحميل أقل مع بقعة محرقة فعالة أصغر.

من المفروض أن تتوضّع الفتايل الواحدة فوق الأخرى بحيث بين البقعتين المحرقتين لن تتوضّعا بنفس المكان داخل الأنابيب.

1.4.4. الأنابيب التصوير الشعاعي المجمّم:

يعتمد مبدأ التصوير الشعاعي المجمّم عن طريق تحريك محور الإشعاع لأنبوب عادي . وأنبوب الأشعة هو ثانٍ للفتيل أحدهما يتوضع جانب الآخر . وحزمة الإلكترونات من كل قسم موجهة إلى منطقة هدف مختلفة بحيث أن حزمة أشعة X المتولدة من أحد أقسام الفتيل ينتج صورة من جهة معينة والقسم الآخر ينتج صورة من جهة أخرى، عندما نرى هاتين الصورتين عبر زجاج ثلاثي الأبعاد فإنه يمكن رؤية منظر مجسم العضو تحت التصوير.

1.4.5. الأنابيب التصوير الطيفي المحوري:

يتطلب أنابيب التصوير الطيفي المحوري زمن تعريض أطول من ذلك المستخدم لأغراض التصوير الشعاعي العامة. فالأنبوب ذو مصعد دوار (ذو العمل الشاق) مع سعة تخزين حرارية كبيرة . بعض الأنابيب يمكن التحكم بها عن طريق جعل الإشعاع نبضي .

كما أن الإشعاع البوزي الإضافي يقلل من إمكانية إعادة تركيب الصورة لذلك يجب إنقاذه إلى الحد الأصغر عن طريق حزمة مسددة وضيقة جداً ويتحقق هذا باستخدام مصعد على شكل قبة لامتصاص أي الإلكترونات ضالة.

1.4.6. الأنابيب ذات التبريد القسري:

يستخدم التبريد القسري بحيث يمكن تطبيق تحميل عال على الأنابيب ، مما يزيد حياة الأنابيب . ويتم تأمين التبريد القسري عن طريق :

آ- مروحة خارجية: لتحريك دوران الهواء حول غلاف الأنابيب بقوة.

ب- مبادل حراري: يستخدم حين تطلب تقنيات أشعة X تعرضات ذات تحميل عال

(Cineangiography) وهو مثال جيد عن هذه التقنية حيث يخرج الزيت إلى دارة خارجية وتحصل عملية المبادلة إلى 1000 وحدة حرارية بالدقيقة.

ـ الأثابيب ذات المصعد الثابت المبرد بالماء: يتم عن طريق ضخ الماء البارد وخلال خطوط رفيعة خلف وجه الهدف.

1.5. أخطاء وعيوب أنابيب أشعة X :

1.5.1. ثقب الغلاف الزجاجي:

يطلب من الغلاف الزجاجي أن يتصرف كغاز لتأمين العزل الكهربائي بين المهيكل والمصعد ولكن إذا ترسب التبغتين على السطح الداخلي للزجاج فسيحدث نقص في العازلة، وسيصبح للجهاز شحنة سالبة أقل، وبالتالي فإن الإلكترونات تقوم بقصف الجدار وبزيادة ترسب التبغتين فإن الوضع يتداعى إلى أن تصل إلى مرحلة يكون الزجاج تحت قصف الكترونني ثابت كبير عند التعرض. وبزيادة معدل الغاز المنتحر داخل الغلاف في الفراغ الضيق بين كتف الجزء المتحرك والغلاف مما قد يتسبب بتحطم الأنابيب أو ثقب الزجاج مما يؤدي إلى دخول الزيت المحيط بالأنبوب. وكذلك فإن الغاز سيسبب تزايد تيار الأنابيب mA بالتزامن بشكل غير متحكم به وينتهي الأمر بصورة شعاعية شديدة التعرض ويوصف الأنابيب بأنه غازي.

يمكن تشخيص ثقب الأنابيب من قبل المستخدم عندما يمتص الزيت داخل الأنابيب ويسمع بسهولة.

1.5.2. نشوءات المصعد:

كل تعريض (تصوير) يؤدي إلى تسخين المصعد. تطبيق الحرارة على سطح الفرسن ليصبح أكثر سخونة من الطبقة الأعمق ، هذا يؤدي لاختلاف في معاملات التمدد وبالتالي إلى شق السطح والشق يؤدي إلى نقص الخرج الإشعاعي وزيادة في انحسار المصعد وزيادة في عدم وضوح الصورة إذا لم يبدأ المصعد بالدوران أو انتهى من الدوران خلال التعريض فإن كل الحرارة منطبق على مساحة صغيرة ستتصهر وتتحرر الغاز.

1.5.3. الجزء المتحرك وسطوح الارتكاز:

يمكن تشخيص تداعي سطوح الارتكاز بزيادة الضجيج عند الدوران وبعمر فترة الإبطاء بعد انتهاء التعريض، وأحيانا قد تنسك سطوح الارتكاز عن الحركة ويصبح التعريض واقعا على مصعد ملائكة مما يؤدي إلى تعطل الأنابيب. يمكن إيقاف حركة التأكيل بإيقاف دوران

المصعد لأقل زمن ضروري وبناءً على كبح الإنفصال السريع حالما تنتهي السرعة العالية المطلوبة للتعریض.

1.5.4. كسر الفتيل:

قد يحصل كسر في الفتيل بسبب التبخر أو أضرار ميكانيكية مع الزمن، يعتمد رفع درجة الفتيل على معدل التبخر الذي يتعلّق بدرجة الفتيل والزمن الذي يبقى به في هذه الحرارة. ويمكن زيادة حياة الفتيل بقيادته إلى درجة الحرارة العالية لأقصر زمن ممكن وتتجنب زيادة mA ما لم يكن ضرورياً. ويمكن كثافة في الأنابيب ثانية التركيز فإذا عمل الفتيل الآخر وبالتالي يكون العطل عادةً للفتيل الأول ، أما إذا كان العطل متقطعاً وبالتالي يعود ذلك إلى دارة الفتيل.

1.5.5. أعطال غلاف الأنابيب وبلغات الجزء الساكن:

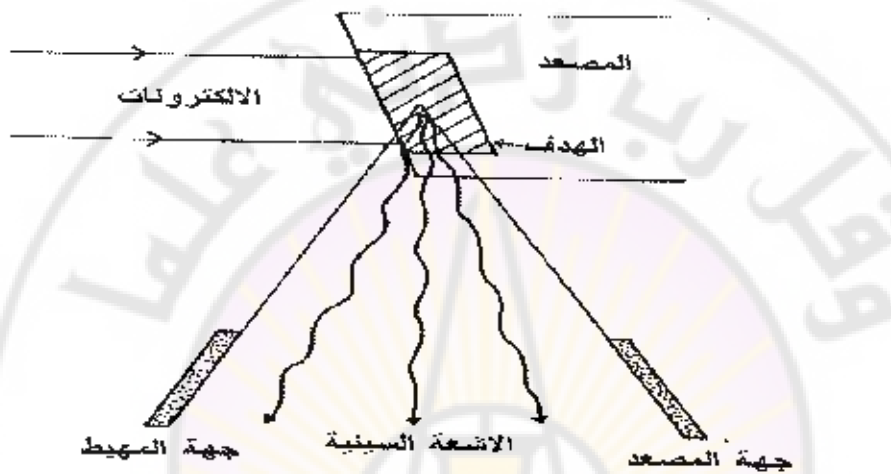
قد تتحطم برشمة الغطاء الذي يحصر الزيت مما يسمح للزيت بالتسرب من الغلاف يمكن ملاحظة العطل بصرياً.

أما فيما يتعلق بلغات الجزء الساكن أو كبل التغذية فإن انقطاعهما ينبع عن عدم دوران أو الدوران المتقطع للمصعد وكلا الأمرين يضر بالهدف. وأكثر الأعطال عموماً هو انقطاع كبل التغذية الذي يخضع لضغط محسوس ويعرض للاهتزاز الناتج عن دوران المصعد وتغيير وضعية الأنابيب.

1.5.6. التأثير الكعبي:

إن الأشعة السينية منخفضة الطاقة المتولدة من الهدف التفصيلى تستخدم بشكل كبير عند اصطدامها من الهدف. ففي الأهداف ذات الزويايا الصغيرة يكون التخاذل كبير للأشعة المتولدة من نهاية المصعد عن تلك المتولدة من جهة المهيكل كما هو مبين بالشكل (10-1) . وبالتالي تختفي كلية الأشعة السينية بالتدرج من اعتباراً جهة المهيكل إلى جهة المصعد. يدعى هذا التغير في كثافة الأشعة بالتأثير الكعبي (Heel Effect). ويلاحظ هذا التأثير بشكل واضح لاحزام الأشعة المستخدمة في التشخيص الشعاعي، وبخاصة تلك المتولدة عند فولطية منخفضة، وذلك بسبب كون طاقة الأشعة السينية منخفضة نسبياً وزاوية الهدف منحدرة. للتعويض عن هذا الأثر يتم تركيب فلتر في بيت الأنابيب قرب مخرج حزمة الأشعة السينية. تزداد تباينة مثل هذا الفلتر بالتدرج اعتباراً من جهة المصعد إلى المهيكل. إن وجود القسم الآخر من جهة المهيكل يعوض عن التأثير الكعبي.

يزداد التأثير الكعبي مع شدة انحدار زاوية الهدف. هذه الزيادة تحد من مقاييس الحقل المغذى الأعظمي الممكن الحصول عليه من زاوية هدف معينة. فعلى سبيل المثال فإن زاوية هدف لا يزيد انحدارها عن 12 درجة مفيدة لتصوير أفلام 14^*17 إنش (1إنش = 2.54 سم) وبمسافة 40إنش عن أنبوب الأشعة. بينما الأهداف ذات درجات الانحدار الكبيرة 7 درجات يمكن استخدامها لمقاييس حقل لا تزيد عن 10^*10 إنش ولنفس المسافة.



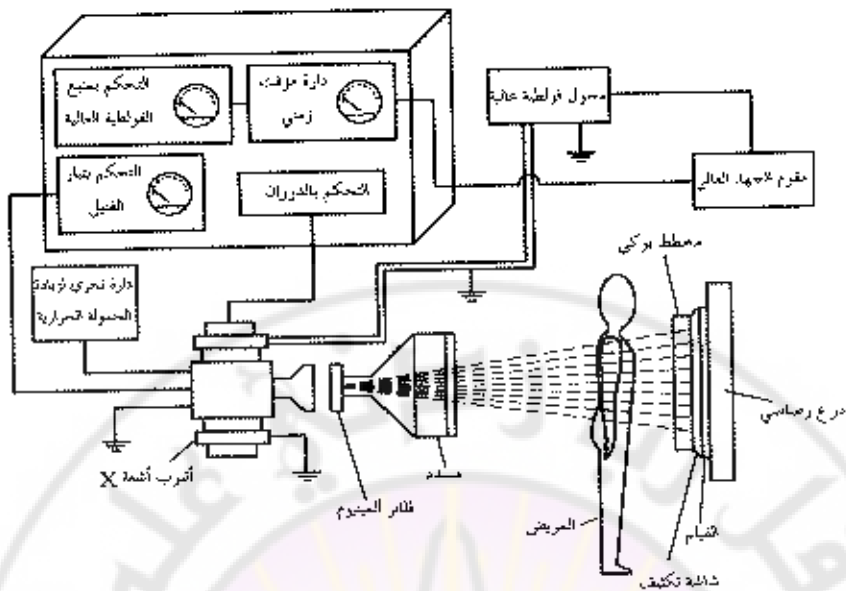
الشكل (10-1) بين جهة التأثير الكعبي

1.6. المختلط الصندوقى لجهاز أشعة X البسيط التقليدى :

إن الهدف الأساسي من جهاز أشعة X هو الحصول على صورة ذات كثافة عالية ونبالين جيد ووضوح ويقظة على الطبقة الحساسة أو آية أجهزة إظهار أخرى .

ويتحقق هذا الهدف بحيث لا تزيد جرعة الإشعاع عن حد معين، كما أن كثافة الصورة تتاسب مع كمية أشعة X التي تخترق الفيلم الحساس وتزداد متناسبة مع تيار حزمة أنبوب أشعة X .

كما أن الحدة أو التركيز (sharpness) أو وضوح الحواف (edges) تتحفظ في الصورة وذلك بسبب التشويه في حزمة أشعة X وهي ثمر من الأنابيب إلى المريض.



الشكل (11-1) عجلت صندوقى جهاز أشعة X

من الضروري وجود منبع فولطية عالية (الشكل 11-1) من 20 إلى 200 كيلو فولط حتى يتسللى إنتاج أشعة X في مصعد أنبوب الأشعة. على كل حال ، فإن الفترة الزمنية لتطبيق فولطية عالية على الأنابيب يجب أن تكون محدودة وبحذر وذلك تجنباً لأن يتعرض المريض إلى جرعة عالية من الإشعاع، وكذلك حتى لا يزداد زمن تعرض الفيلم للأشعة، بالإضافة إلى زيادة درجة حرارة أنبوب أشعة X.

وكما أن أنبوب الأشعة يجب أن يعمل بمجاله المحدود حرارياً ، فإن كثافة أشعة X بالمواط لكل متر مربع بحيث يتم تعديلها بواسطة تيار الفيزي. وكحماية ضد زيادة التحميل الحراري فإنه يتم مراقبة الحرارة بواسطة محس حراري فإذا ازدادت الحرارة عن حد معين كذلك يتم التبؤ عنه ويطفو منبع الفولطية العالية أوتوماتيكياً وبالتالي إطفاء منبع الأشعة (الأنابيب).

أغلب المصاعد تدار بفعل محرك تحربي وهي لذلك تترك الحزمة على نقطة واحدة ولتساعد على توزيع الحمل الحراري. كما ترفع فولطية التغذية القادمة من المنبع الألماسي بواسطة محول فولطية عالية إلى مستوى 20 إلى 200 kV ومن ثم يتم تقويمها وتمريرها إلى أنبوب الأشعة والذي سيممر تيار تقليدي باتجاه واحد من المصعد إلى المحيط .

إن أشعة X المولدة عن المصعد الأنبوبي أما أن يتم امتصاصها بالرصاص أو سددها عبر فتحة أنبوب أشعة X . وحيث أن معظم الطاقة في أشعة X الطبية هي الإشعاعات الانكابحية فإنها تتضمن مجالاً واسعاً من التواترات، وبالتالي فالأشعة في التواترات الغير مرغوب بها تزيد فقط من الجرعة التي يتعرض لها المريض وتختفي من تباين الصورة، وبالتالي فلن هناك مرشحات المتباينة وسمادات متباينة تمنع أشعة X ذات التواترات المنخفضة وتقلل من هذه التأثيرات السلبية (الأشعة الطيرية).

تنتشر أشعة X داخل المريض متبايرة مما يؤدي إلى ضبابية في الصورة، ولامتصاص هذه الأشعة المتبايرة وحذف الضبابية تستخدم لوحة رصاصية متدرجة التخفيق تسمح بمرور الأشعة المطلوب سقوطها على المريض وتنزع المتبايرة من العبور وتدعى هذه اللوحة بشبكة بوكى Bucky Grid.

يتكون جهاز التصوير بأشعة إكس البسيط من الأجزاء الأساسية التالية كما في الشكل (12-1):
1- مولد الطاقة.

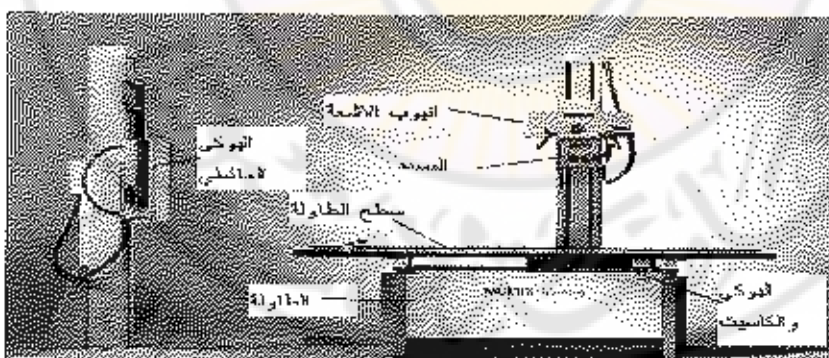
2- أنبوب الأشعة السينية.

3- منصة التحكم.

4- السدد.

5- الطاولة.

6- البوكي وحامل كامبيت الأفلام .

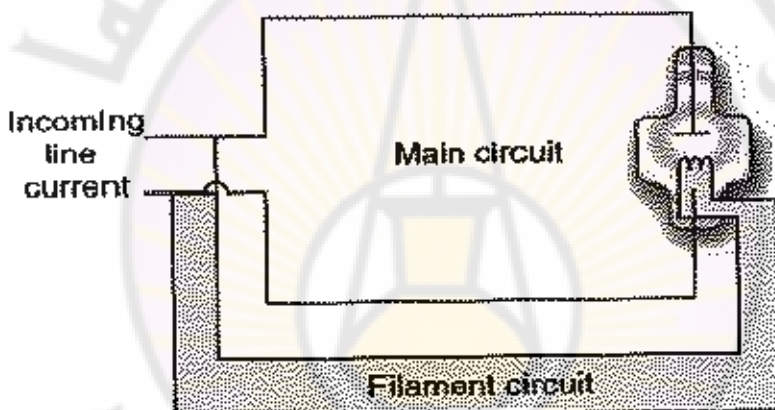


الشكل (12-1)- يبين أجزاء جهاز التصوير الشعاعي التقليدي مع البوكي الخانطي

١.٦.١. مولدات الطاقة لأنابيب أشعة X

:(Power Generator for X-ray tube)

مما سبق نستنتج بأن مولد الطاقة يتالف من دارتين كما يوضح الشكل (١٣-١)، الأولى هي دائرة القليل تقوم بمهمة تزويد قليل أنبوب الأشعة بتيار كي يتم رفع درجة حرارته إلى درجة مناسبة مؤدياً إلى إثارة الإلكترونات ويزاده هذا التيار يزداد عدد الإلكترونات المهاجرة من القليل (المهبط) باتجاه المصعد أي زيادة كمية الأشعة كناتج نهائى، أما الدارة الرئيسية الخاصة بال EH (المصعد) فمهنتها رفع فولطية المصعد بشكل يمكنه Hn ينفذ الإلكترونات الساقطة عليه بقوة مما يؤدي إلى إعطائها قدرة حركية كبيرة سامحاً لها باختراق المواد وكلما زادت الفولطية (الكمون) المطبقة على المصعد كلما زادت قدرة الأشعة السينية على الاختراق.

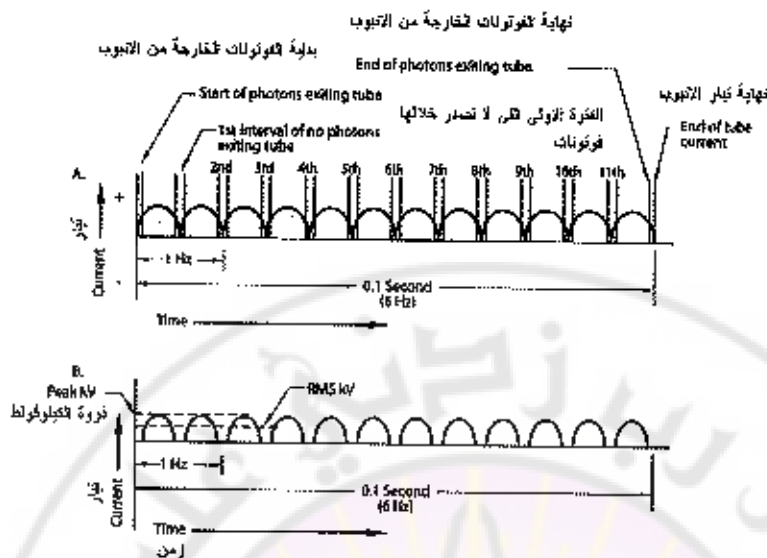


الشكل (١٣-١)- بين خطوط سبط ثداري القليل والدائرة الرئيسية

عادة ما يكون التيار المتناوب مؤلفاً من موجة جيبية لها مطال أعظمي موجب ثارة ومطال أصغرى سالب ثارة أخرى. إن إبقاء مصدر الطاقة متارجحاً في خرجه ليزود أنبوب الأشعة يؤدي إلى إمكانية عمل الأنبوب فقط على جانبى القمة الموجية الموجية للموجة (الشكل ١٤-١) في حين تتوقف بعد هذه الحدود، كما يسبب هذا التأرجح اختلاف الطيف الترددى للأشعة السينية المترددة وهذا يعكس سلباً على الصورة الناتجة.

لذا فقد تطورت مولدات الطاقة بحسب تعقيد تصميمها وأدائها وفيما يلى ندرج أنواعها

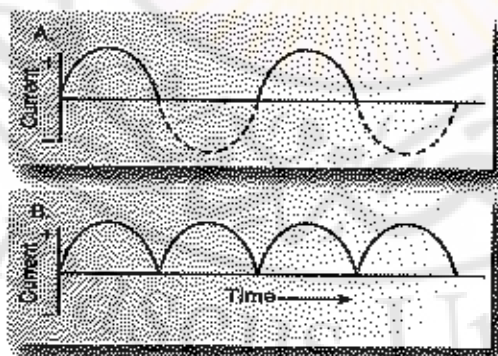
المختلفة:



الشكل (1-14)ـ يبين فترات إصدار فوتونات والفترات التي تتوقف عن الإصدار بعدها لشدة التيار والفترات

1.6.1.1. مولد أحادي النبضة أحدى الطور (Single Phase One Pulse Generator)

في هذا النوع من مولدات الطاقة ينبع عنه نبضة فولطية لكل دورة من فولطية خط التغذية كما هو موضح بالشكل (1-15) لشكل الموجة قبل وبعد التقويم، و هي مناسبة للطاقات أقل من 2 كيلو واط و تستخدم لكل من الأجهزة المدنية وأجهزة أشعة X النقالة الصغيرة حيث لا تستخدم لفترات طويلة و يمكن استخدامها لفترض واحد خلال فترة زمنية قصيرة جداً.



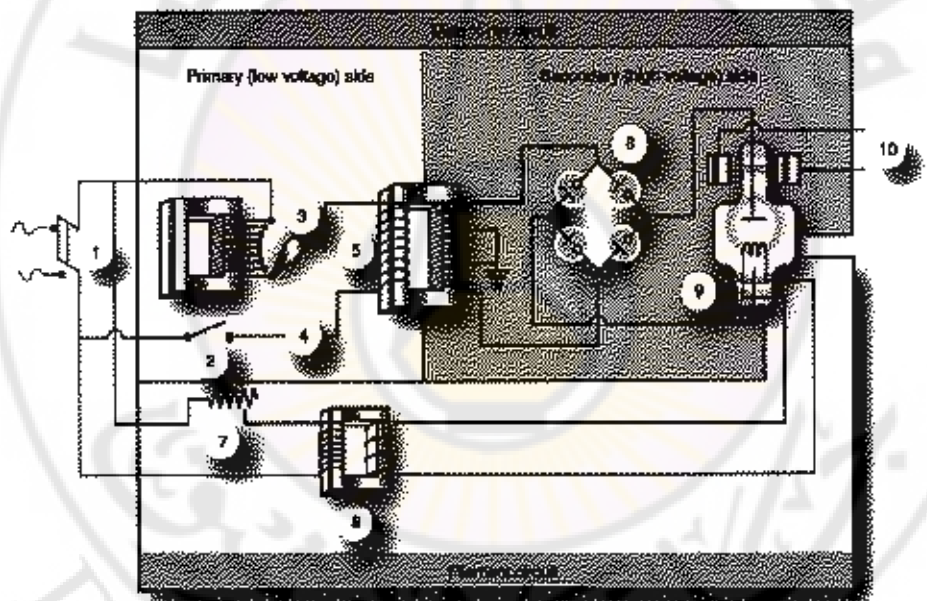
الشكل (1-15)ـ يبين الموجة المولدة من مولد أحادي الطور أحدى النبضة (A) بينما (B) أحدى الطور ثالثي الموجة.

1.6.1.2. مولدات ثنائية النبضة -أحادية الطور :

(TWO-PULSE GENERATOR)

يتم في هذا النوع من المولدات تعديل الموجة الجيبية بحيث يتم قلب القسم السالب ليصبح موجاً أي تنتج موجة نبضات ثنائية. ويختلف هذا النوع من مولدات الطاقة كما في الشكل (16-1):

- 1- قاطع رئيسي: من هنا حيث يأتي التيار المتناوب لزيادة الدارة بالطاقة
- 2- مفتاح تصوير: عندما يتم الضغط على هذا الزر يبدأ التصوير
- 3- المحول الأوتوماتيكي: وهذا يتم تعديل معدل الفولطية من أجل التصوير.
- 4- دارة التوقف: هذا الجزء من الدارة يوقف التصوير.
- 5- محول رفع الفولطية العالية: يرفع الجهد عالياً لجعل الإلكترونات ذات طاقة عالية لتشكيل الأشعة.



الشكل (16-1)- بين الأجزاء المقنية لمولد الطاقة أحادي الطور ثباني النبضة

- 6- دارة تصحيح شكل الموجة ذات الأربع نيوذات: هذه الدارة تجعل التيار يذهب باتجاه واحد في الأنابيب.
- 7- المقاومة المتغيرة لدائرة القتيل: هذه المقاومة المتغيرة تعديل التيار المار بالقتيل.
- 8- المحول الخافض لجهد القتيل: هذا المحول يخفض الجهد وبالتالي يرفع التيار.

٩- أنبوب الأشعة.

١٠- ثابت المحرك التحربي لدور الممداد.

عموماً فإن الأجهزة المناسبة لمثل هذه المولدات كانت استطاعتها أقل من ٥٥ كيلو واط.
بين الشكل (١-١٧) الدارة التفصيلية لمولد طاقة ثانوي النبضة أحادي الطور.

يمكن توليد الجهد العالي بواسطة محول جهد عالي ثابت T_H ، و أما فيما يتعلق مسخن الفتيل فيتم التحكم به بواسطة محول خافض T_F .

بتتعديل نسبة عدد اللفات N_4 يحدد I_A ، و تيار الحزمه ، لأنبوب أشعة X بزيادة حرارة الفتيل وبالتالي اثارة عدد الإلكترونات أكثر للتيار المحدود حرارياً .

بالافتراض أن كل من المحوّلات T_H ، T_B ، T_A نموذجية فإن علاقات الفولطية هي :

$$V_2 = \frac{N_2}{N_1} V_1 \quad 1-14$$

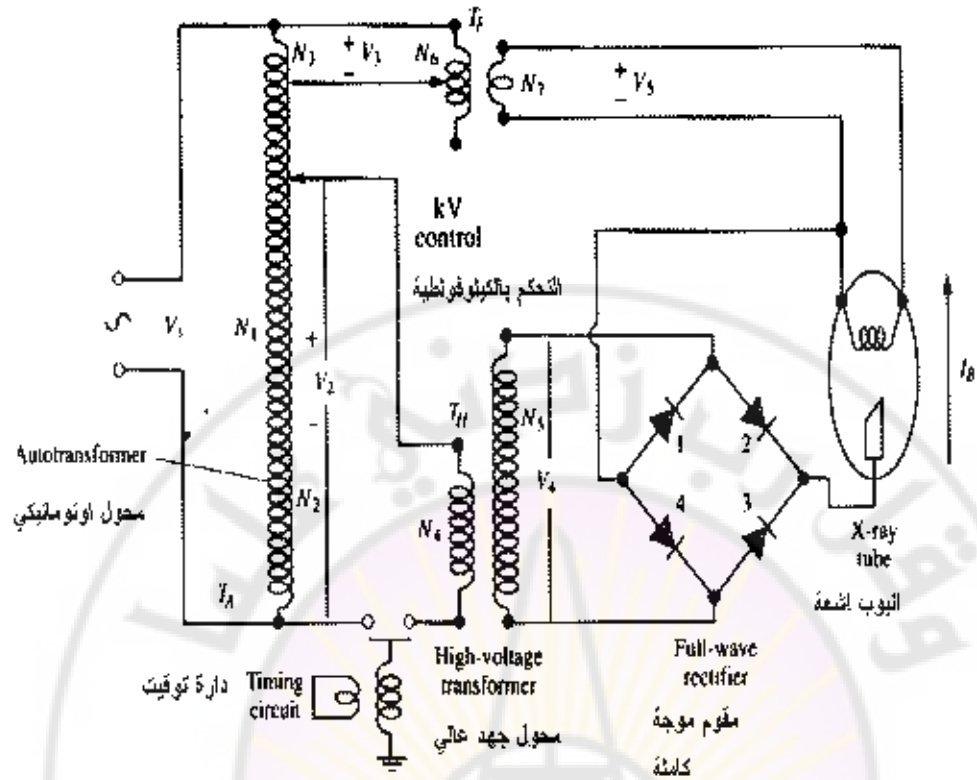
$$V_3 = \frac{N_3}{N_1} V_1 \quad 1-15$$

$$V_5 = \frac{N_5}{N_6} V_7 \quad 1-16$$

$$V_4 = \frac{N_4}{N_2} V_2 \quad 1-17$$

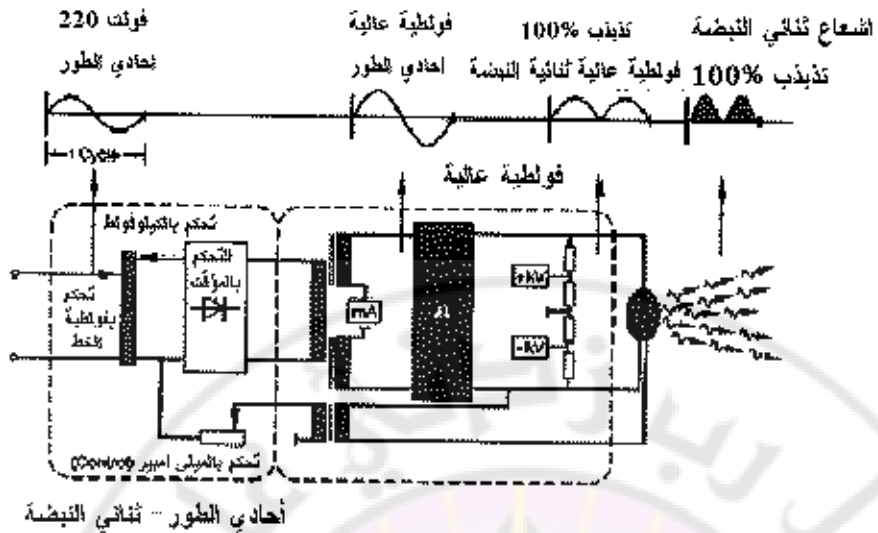
يبين الشكل كيف تثوم الموجة حيث يمرر الديودان ٢,٤ التيار . و عندما يكون الجهد V_4 موجباً مشكلاً تياراً أنبوبياً موجباً I_B .

عندما يصبح V_4 سالباً فإن الديودان ١,٣ سيمرر ان التيار . و يكون التيار I_B في نفس الاتجاه .



الشكل (1-17)- يبين دارات تحويل الجهد وتقويم الموجة لمولد أشعة يسبيط أحادي المطور الثاني الموجة.

أي إن الدارة مقسمة إلى عدة مراحل، كما في الشكل (1-18) مرحلة التحكم وفيها يتم استقبال تيار التغذية العائمة من الشبكة في هذه المرحلة يقوم المشغل بضبط قيمة الجهد المطلوب بالكيلو فولط (kV Control) الخاص بمصعد الأنابيب، كما يتم ضبط الزمن اللازم لإبعاد الأشعة (زمن النقطة) من خلال التحكم بالمؤقت (Timer Control) وكذلك تغيير تيار تسخين فنيل المهيbit بالميتي امير (mA Control) وهذا في هذه المرحلة يبقى التيار متتابعاً.



الشكل (18-1)- يبين دارات تحويل الجهد وتقسيم الموجة لمرصد أشعة بسيط أحادي الطور ثالثي النبضة.

المرحلة الثانية وفيها يتم رفع الجهد بالنسبة لفولطية المصعد من خلال محول راقع للجهد وتخفيفه قيمة التيار (من خلال محول خافض للجهد). ومن ثم يقوم التيار حيث يكون الناتج موجة ثالثية النبضة موجبة، هذا الخرج يذهب إلى الأنابيب لإنتاج الأشعة. والمشكلة الأساسية في دارة المرحلة الكلمة المصحة أحادية الطور هو التذبذب (التارجح) 100% وينتج الإشعاع المغذى خلال 66% من زمن التصوير وتنصل لفترة وجبرة لقيمة الاعظمية.

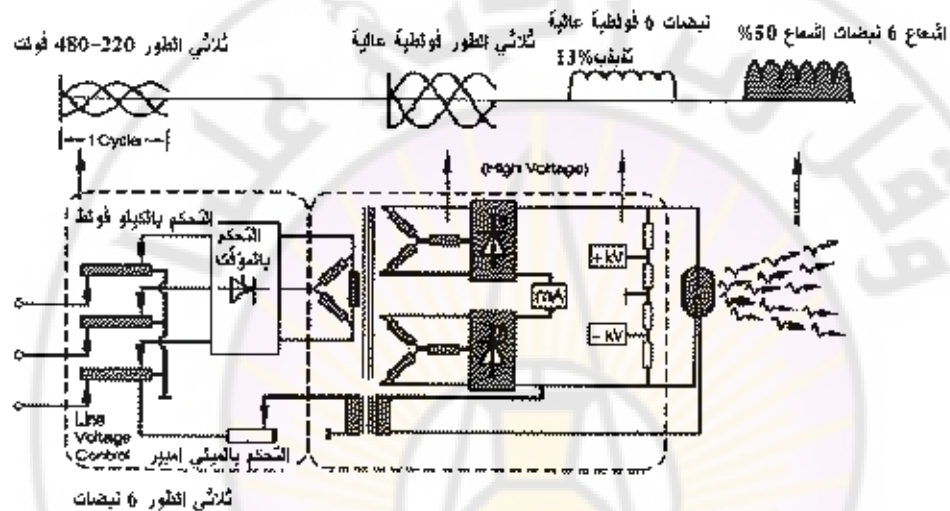
أما من حيث أرمنة التصوير فهي محدودة بتوانز المنابع لأنها من الضوري بدء وإنهاء التصوير عند الفولطيات الصفرية أي نصف الموجة. وبالتالي فإن أرمنة التصوير تكون من مضاعفات أرمنة أقصاف الموجات (فعلى سبيل المثال فإن زمن تصوير 0.01 ثانية هو محدود بزمن 0.02 ثانية). والطاقة الاسمية لخرج الجهاز هو 15 كيلو واط وعادة ما يكون الأنابيب ذات سرعة دوران منخفضة مزدوجة البورة المحرقية.

1.6.1.3. مولدات سداسية النبضات - ثلاثة الطور :

:(Six pulses- Three Phases Generator)

وقد كانت مثل هذه المولدات مناسبة للاستطاعات أقل من 100 كيلو واط.

كما يظهر من الشكل (I-19) فالخطوات هي نفسها كما سبق وأوضحتنا في الفقرة السابقة إلا أن التيار هو ثلثي الطور ويكون محول رافع الجهد مؤلفاً من ملف أولي ذي تشكيلة مثلثية أما الملف الثانوي فهو عبارة عن ملفين نجميين موصولين على التسلسل، ومن ثم مرحلة التقويم التي تنتج موجة بستة نبضات متتالية يكون نسبة التأرجح فيها للجهد 13% عن قيمة الجهد الأساسي، إن إنتاج الأشعة السينية في هذا النموذج سيشهد تراجعاً لطاقة الأشعة بمقدار .%50



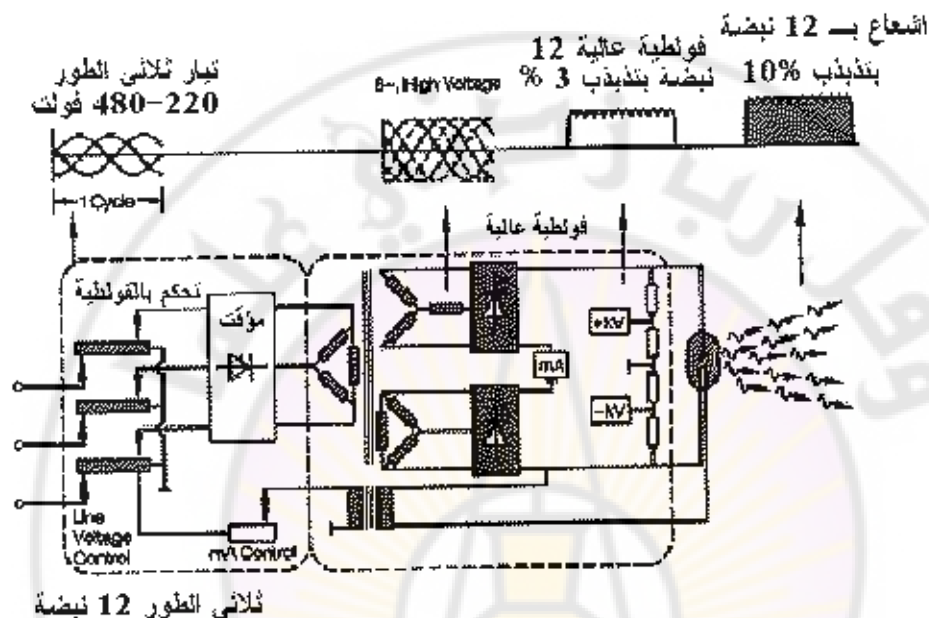
الشكل (I-19)- يبين دارات تحويل الجهد وشفرة الموجة لمولد أشعة ثلاثي الطور سادسي الموجة وشكل الموجة.

1.6.1.4. مولدات ذات الثنائي عشرة نبضة -ثلاثي الطور :

(Twelve pulses- Three Phases Generator)

كذلك في هذه المولدات ذات الثنائي عشرة نبضة (الشكل (I-20)) فإن التيار هو ثلثي الطور ويكون محول رافع الجهد مؤلفاً من ملف أولي ذي تشكيلة مثلثية أما الملف الثانوي فهو عبارة عن ملفين أحدهما نجمي والأخر مثلثي موصولين على التسلسل، ومن ثم مرحلة التقويم التي تنتج موجة بثنائي عشرة نبضة متتالية يكون نسبة التأرجح فيها للجهد 63% عن قيمة الجهد الأساسي، إن إنتاج الأشعة السينية في هذا النموذج سيشهد تراجعاً لطاقة الأشعة بمقدار .%10.

مما سبق نلاحظ أن نسبة أو تذبذب (ripple) في المولد أحادي النبضة هو 100% وهذا يضع إجهاداً على الأنوبب نتيجة تأرجح الجهد المطبق على المصعد من قيمة صفر إلى قيمة عليا ومن ثم عودة لصفر، أما في المولد ذي الست نبضات فتخفض نسبة التذبذب إلى 13% أما في المولد ذي الالنتي عشرة نبضة فيصل التذبذب إلى 3,4%.



الشكل (1-20)- يبين دارات تحويل الجهد و يقوم الموجة بولد أشعة ثلاثي الطور 12 موجة وشكل الموجة.

1.6.1.5. المولدات عالية التردد :

: (High Frequency Generator)

تم مؤخراً تطوير ما يسمى مولدات عالية التردد (مولدات متعددة النبضات) كما يوضح الشكل (1-21) و هي تتضمنها:

1. يمكن أن يكون خط التغذية أحادي الطور أو ثلاثي الطور (220 V أو 440 V).
2. مولدات متتحكم بها أو غير ذلك لفولطية التيار المستمر ذي المرحلة المتوسطية .
3. عدد من دارات القالبات المتحكم بها (inverter) و التي تولد تيارات متداويبة عالية التردد من فولطية للتيار المستمر.

4. يمكن تشغيل و إطفاء فولطية الأثيرب في أي وقت.
5. الاستجابة الزمنية $250\mu m$.
6. تناسب مع القانون :

حيث :

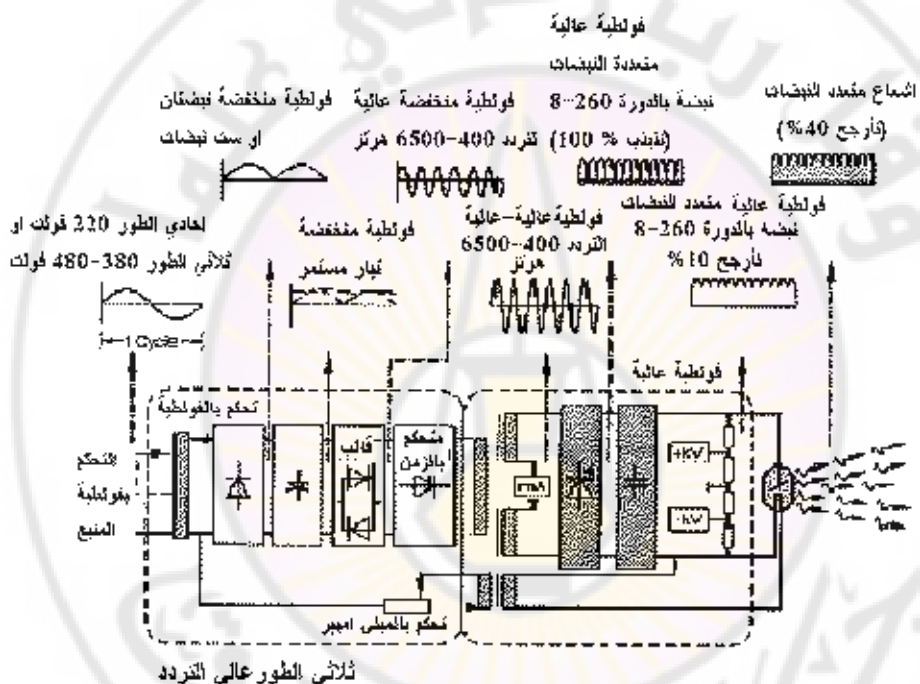
$A \sim n F$

1-18

A : مقطع الفرازة المختاليسية .

n : عدد الثفات .

F : تواتر العمل .



الشكل (1-21) بين دائرة ثلثي أضلاع X على الفرد لمتبع أحادي الطور.

نلاحظ من الشكل أن المولد يتتألف من قسمين :

- أ- قسم القولطية المنخفضة (أي مساوية لفولطية منبع التغذية) حيث يتتألف من مقوم الموجة مرحلة أولى (يتم جعل التيار مستمراً بثباتين أو 6 نبضات)، أما المرحلة الثانية فهي فلترة لإشارة التيار المستمر، يدخل خرج الإشارة المنعمة إلى كاشف محولاً التيار المستمر إلى تيار متذبذب بتوتر كبير (من 400-6500 هرتز) والذي يخضع

إلى التحكم بمدته الزمنية المقررة من خلال لوحة التحكم مع فولطية المصعد وقياس القليل.

بـ- قسم الفولطية العالية: وهذا تعبير الموجة الناتجة عبر محول رافع للجهد (بالنسبة للفولطية المعدة للمقصد) إلى مقوم يقوم بإنتاج موجات موجية يصل عددها من 8- 260 بالثانية ومن ثم تمر بمرحلة فلترة جديدة (تعييم) منتجة موجة عالية التردد موجية ذات تأرجح منخفض مقارنة مع مثيلاتها من مولدات الطاقة الأخرى، وفي حالة التيار أحادي الطور تصل قيمة التأرجح إلى 10% مقارنة مع المولدات أحادية الطور ثنائية النسبة التي يصل فيها التأرجح إلى 100%.

يؤثر تذبذب الفولطية على عمل الأثواب. فهو أولاً يؤثر على سرعة الإلكترونات عبر أنابيبأشعة X:

في الموجة ذات النبضتين ترتفع الفولطية إلى الذروة . من ثم تهبط إلى الصفر مما يؤدي إلى ارتفاع و انخفاض الفولطية المسببة لقدرة الحركة للإلكترونات عبر الأليوب تتعذر تماماً لذلك .

(إذا تم تطبيق فولطية قدرها 100 V_p على الأنبيوب ، فإن القدرة الحركية للإلكترونات سوف تتراوح من الصفر إلى 100 V_p عندما تكون الفولطية بقيمتها العظمى).

و بالتالي نحصل على النقاط التالية :

١) الطاقة المزودة إلى الأليوب في نظام ثلاثي الطور تكون أكثر استخداماً لإنقاص أشعة x واحدة الزمن هو، وبالتالي زمن أقصر للتصوير.

(2) بسبب أن فولطية الأكيوب لنظام ثلاثي الطور لا تقل عن 13% لنظام ذي 6 نبضات و 63,4% من الفولطية العظمى لـ 12 نبضة ، فإن كثافة الإشعاعات البيئية الناتجة عن كل منها هي أكبر بكثير من النظام الأحادي.

(3) إن كمية إنتاج أشعة \times soft الطيرية هي قليلة في النظام ثلاثي الطور ،
 (4) إن فولطية الأنابيب ثلاثي الطور هي أكثر فاعلية في استخدام بسعة الحراري الخزفيية
 للمسعد ، حيث إن الهدف ليس معرضاً إلى إلكترونات منخفضة الطاقة و التي تنتج حمولة

٥) بين الحلة المثلثي هي استخدام المولدات عالية التردد.

1.6.2. أنبوب الأشعة:

إن أهم جزء في جهاز الأشعة السينية هو أنبوب الأشعة، وهو باهظ الثمن فقد يصل ثمنه إلى 10000 عشرة آلاف دولار أمريكي. ونظراً للإجهادات التي يعر بها هذا الجزء وحرصاً على اطالة عمره فقد طورت عدة تقنيات ودراسات مهمتها تطوير مختلطات أنابيب أشعة X التي تجمع معلومات التصميم المتعلقة بالمصدع والمحيط، مثل تيلر وفولطية المصعد، قياس البقعة المحرقة، القطر، الكثافة، الناقلة، سرعة الدوران التي تحتاجها للحصول على عمر أعظمي لأنبوب. بعد كل تعرض تطلق حرارة يقوم باختزانها أجزاء مختلفة منها المصعد، وغلاف الأنابيب وكل منها له معدل تبريد ، ولشرط الوحيد الذي يجب تحفظه لا تتجاوز هذه الحرارة قيمة حدية تؤدي إلى تخرّب أحدهما.

نعطي الاستطاعة المبددة في الأنابيب بالعلاقة:

$$P = kV_p \times mA \quad 1-19$$

لما من جهة القدرة الحرارية الناتجة فتعطى بالعلاقة:

$$E_t = kV_p \times mA \times t \quad 1-20$$

ووحدة الناتج هي الواط الثانية، أو الجول.

من أجل تقييم مشكلة الحرارة في أنابيب الأشعة، فإنه من الواجب أن نفرق بين ثلاثة مقاييس فيزيائية والعلاقة بينها كما يبين الشكل (22-1):

- (1) الحرارة (Heat).
- (2) درجة الحرارة (Temperature).
- (3) السعة الحرارية (Heat Capacity).

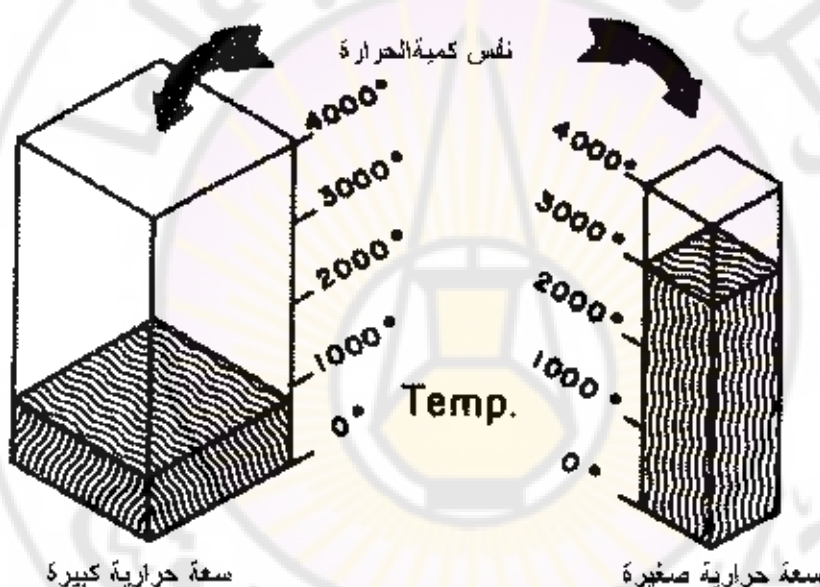
فالحرارة هي شكل من أشكال القدرة والتي يعبر عنها بأي من وحدات القراءة، وهي أجهزة الأشعة يعبر عنها بالجول (واط-ثانية) أو وحدات حرارية.

أما درجة الحرارة فهو مقدار فيزيائي مرتبط بالجسم والذي يشير إلى محتواه الحراري النسبي ووحدتها هي الدرجة، فالتغيرات الفيزيائية مثل الانصهار أو الغليان أو التبخر ترتبط بدرجة حرارة الجسم أكثر من محتواه الحراري.

ولجسم ما فإن العلاقة بين درجة الحرارة ومحنوى الحرارة يدخل فيما يلي كمية ثالثة تدعى السعة الحرارية ، وهي مميزة للجسم، وتكون العلاقة كما يلي:

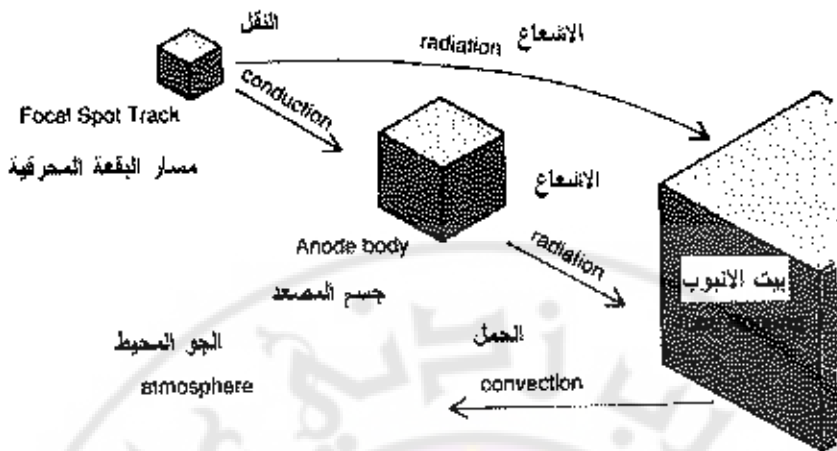
١-٢١ درجة الحرارة/ السعة الحرارية

إن السعة الحرارية لجسم ما هي متناسبة أقل أو أكثر لحجمه، كثافته، أو ميزات المادة المعروفة بالحرارة النوعية (Specified Heat). كلما أضيفت حرارة إلى الجسم تزداد درجة الحرارة بما يتاسب مع كمية الحرارة المضافة. عندما تضاف كمية محددة من الحرارة إلى جسم ما فإن زيادة الحرارة تكون متناسبة عكساً مع السعة الحرارية للجسم. ففي الأجسام ذات السعة الحرارية الكبيرة تزداد درجة الحرارة بشكل أقل من الأجسام ذات السعة الحرارية الصغيرة. وبعبارات أخرى فإن درجة الحرارة لجسم ما تقرر بالعلاقة بين محتواه الحراري وسعته الحرارية.



الشكل (١-٢٢) يبين العلاقة بين كمية الحرارة، درجة الحرارة، والسعه الحرارية.

في أنابيب الأشعة المسينية فإن الهدف هو عدم زيادة درجات الحرارة عن القيمة الحرية والتي تؤدي إلى تضرر أنابيب الأشعة. هذا يتم من خلال إبقاء المحتوى الحراري أقل من قيمة حرية معينة مرتبطة بالسعه الحرارية .



الشكل (23-١) بين طرق النقل الحراري في أنبوب الأشعة

في أنابيب الأشعة هناك ثلاثة مناطق متميزة ذات سمات حرارية حرجية كما هو مبين في الشكل (23-1). المنطقة الأولى ذات السعة الأصغر وهي مساحة البقعة المحرقة، أو المسار وهنا تنشأ الحرارة في الأنبوب. من هذه المنطقة تنتقل الحرارة بواسطة الحمل عبر جسم المصعد وبالإشعاع إلى غلاف الأنبوب. نزول الحرارة من بيت الأنبوب بانتقالها إلى الجو المحاط. ويحدث التضرر لأنبوب في حال زاد المحتوى الحراري عن السعة الحرارية الأعظمية.

من وجة نظر النقل الحراري، فإنه لاحظ أن العملية الآمنة لأنبوب أشعة X هي محدودة حرارياً. وزيادة الحرارة في المصعد هي فعل لدخل القدرة على المصعد ومعدل تبديد القدرة الحراري الكلي. باستخدام النقل والإشعاع إلى الأنابيب للمحيطة . وعادة يدرس المصعد مواصفات الحمولة الحرارية لأنبوب أشعة X وفقاً للمحددات التي خصصها المصنع و إلا فلن التفريغ سيكون مصير الأنبوب.

وعادة ما تميز بين نوعين من الحمولات الحرارية وذلك بناء على عدد التعرضات

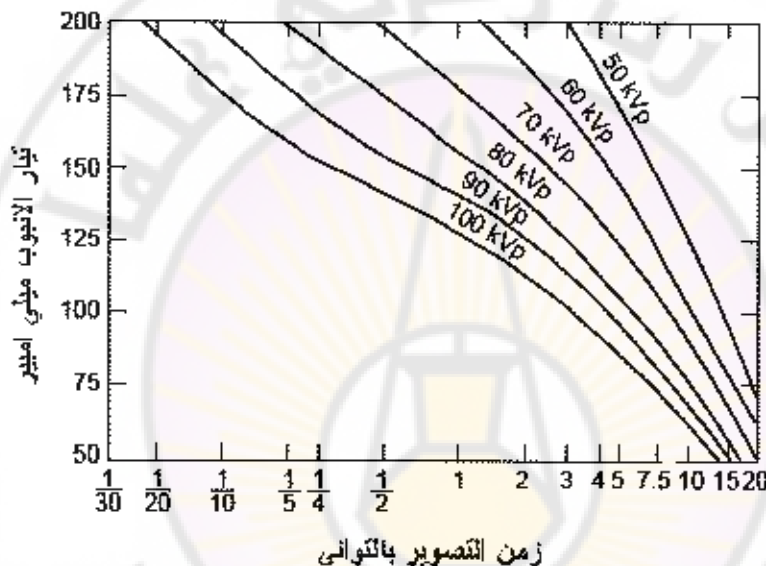
1.6.2.1 : Single Exposure

مخططات تسبب التحميل للتعرضات الوحيدة تعتمد على افتراض أن المصعد عند بداية التعرض هو بدرجة حرارة الغرفة ويدور بسرعة طبيعية.

- وتطبق هذه المخططات بافتراض أن أنبوب الأشعة يعمل على:
- تواتر 50 إلى 60 هرتز.
 - منبع طاقة التغذية أحادي أو ثلاثي الطور.

لاستخدام المخططات المذكورة، نوجد تقاطع اثنين من معاملات التعرض الثالثة (على سبيل المثال $mA \cdot kV_p$ ، الزمن) ومن الملاحظ أن الثالث هو أقل قيمة من الذي تقاطع عنده العوامل.

على سبيل المثال وبالاعتماد على الشكل {1-24} .



الشكل {1-24} بين منحني علاقة زمن التصوير مع نبار الأنبوب مع فرطية المصعد

مثال (1-5):

بافتراض أن هناك أنبوب ذو بقعة محرقة 2 mm ويعمل عند تواتر 50 Hz وبموجة كاملة ومنبع طاقة أحادي الطور، فإذا تم اختيار نبار 200 mA ولفترة زمنية قدرها 0.2 ثانية فإن نقطة التقاطع تتوافق مع $80kV_p$ وهي قيمة kV_p الأعظمية التي يمكن استخدامها مع هذه العوامل.

من جهة أخرى إذا كان النبار المستخدم 200 mA عدد $90kV_p$ فإن زمن التعرض

$$\text{الأعظمي أصغر من } S = \frac{1}{10}$$

وبشكل مشابه فإذا كان زمن التعرض أقل من $\frac{1}{20}$ عدد $100KV$ فلن التيار الأعظمي المسموح به هو $200mA$.

أما فيما يتعلق بالحملة الحرارية المتراكمة من تصوير أحادي وهي عادة ناتج جداء :

$$KV_p \times mA \times seconds \quad 1-21$$

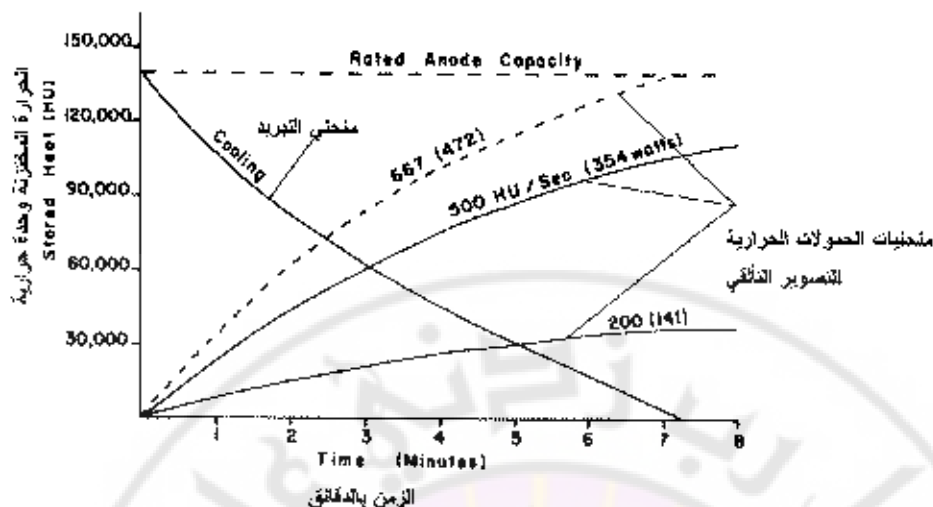
وتكون واحدة الناتج هي وحدة حرارية، ويمكن أن يتم مقاطعة الحرارة المختزنة في المصعد مع منحني التبريد (الشكل (1-25)) وبالعودة إلى محور الزمن الأولي. بعد الانتظار لمدة تتم إضافة الوقت المنتظر بالدقائق إلى المدة البدائية وبعدها عند الزمن النهائي نرفع عموداً ليقطط مع منحني التبريد ومن ثم رسم مستقيم أفقى ينقطط مع محور الحرارة المختزنة للنهائية. ويجب أن نلاحظ أن العلاقة السابقة تصلح للأذنيب الواحدة من مولدات تستخدم منبع تغذية أحادي الطور ، من أجل منبع تغذية ثلثي الطور (6 فحصات) فيجب أن نضرب الناتج بـ 1.35 (35 % حرارة زائدة). ومن أجل ذلك ذات الـ 12 دقيقة لكل دورة فلن الناتج يضرب بـ 1.41 وفي حال مولد عالي التردد 1.44.

1.6.2.2 : Series of Exposure

حيث إن هناك عدد من التعرضات خلال 7-8 min مثل حالة التقطير وبالتالي يمكن لل المصعد أن يراكمها وبأمان ، حيث يتم حساب جداء :

$$. KV_p \times mA \quad 1-22$$

إن الناتج يعبر عن منحني التحميل الحراري (انظر الشكل (1-25)) للتصوير التقطيري (وحدة حرارية بالثانوية)، بالختار المنحني المناسب وبمقاطعة الزمن معه يمكن رسم مستقيم أفقى من نقطة التقاطع لحساب الحرارة المختزنة.



الشكل (1-25) بين منحنى التبريد والتحويل الحراري لمصدر الأنبوب الأشعة مع الزمن.

1.6.2.3 - استخدام مخططات تبريد المصعد:

يستخدم مخطط تبريد المصعد لتقرير فيما إذا كان من المسموح به إحداث عدة تعرضات خلال فترة زمنية محددة (الشكل 1-26).

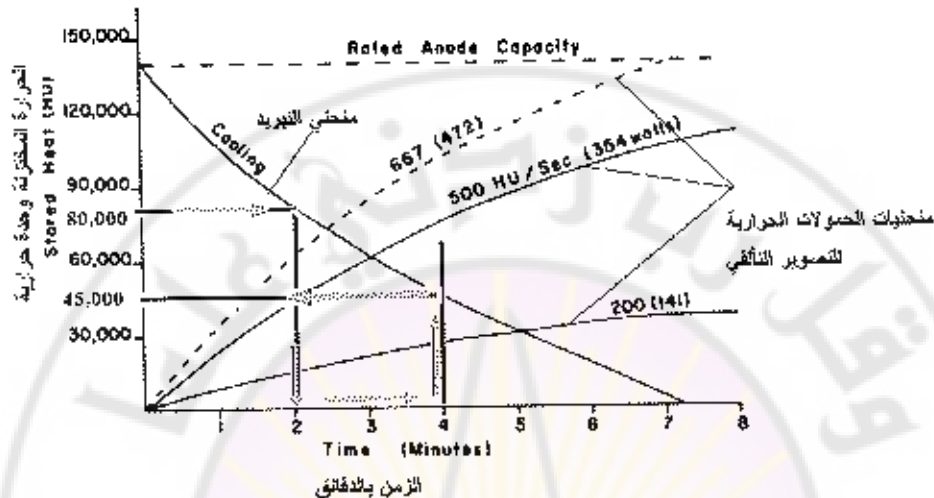
مثال (1-6):

بفرض أن هناك تعرضات (لقطات) بمجموع 80,000 وحدة حرارية على أنبوب ذي قدرة (سعة) تخزين حرارية قدرها 140,000 وحدة. وبعد دقيقةين فإن هناك تعرض عند 82 KV_p و 300 mAS . ما هو الزمن اللازم الذي يجب انتظاره قبل الضلوع بعمل تصوير عند 75 KV_p و 150 mAS .

حل المثال (1-6):

بالعودة لمنحنى تبريد المصعد للأنبوب الشكل (1-26) ويملاحظة أن هناك 80,000 وحدة حرارية عند زمن تبريد قدره 2 min ، وبعد دقيقةين (أي كمجموع 4 min) فإن المصعد سيبرد إلى قيمة 45,000 وحدة حرارية أما اللقطة الثانية فإن الوحدات الحرارية الناتج عنها 24,600 وحدة حرارية (82×300) . وبالتالي بعد هذه اللقطة فإن مجموع حرارة المصعد سوف تصبح 69,600 وحدة حرارية (أي $45,000 + 24,600$) .

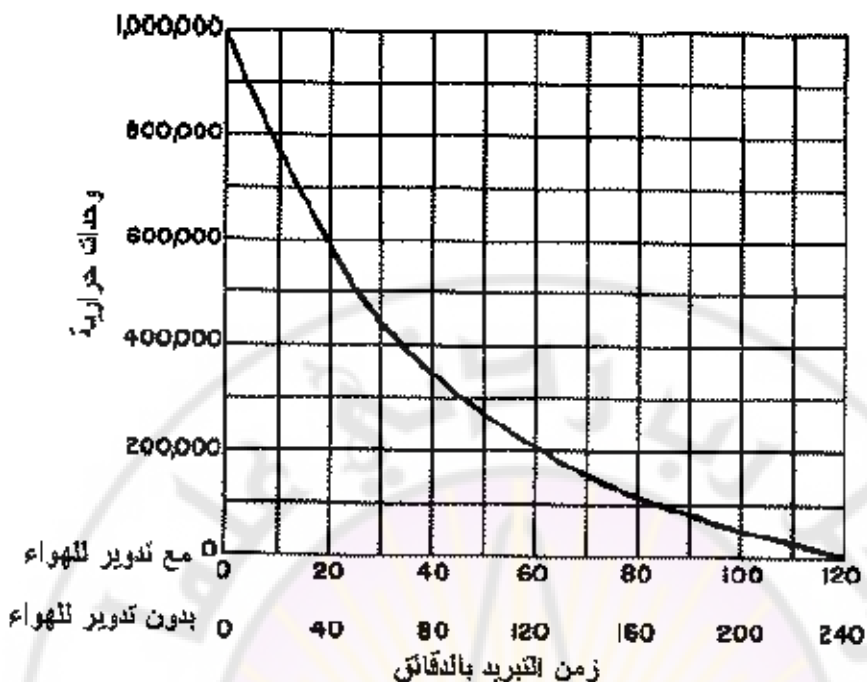
أما اللقطة الثالثة فتطلب 11,250 وحدة حرارية (75×150) وبالتالي فإن التخزين الحراري للمصعد الكلي سوف يصبح 80,850 وحدة حرارية ($69,600 + 11,250$) وهو أقل من 140,000 وحدة حرارية، أي سعة تخزين الأنابيب. لذلك فإن اللقطة يمكن أخذها بدون أي انتظار.



الشكل (26-1) يبين منحني التبريد والتحليل الحراري لمصعد أنبوب الأشعة مع الزمن للمثال رقم (1-6)

1.6.2.4. حرارة غلاف الأنابيب: Tube Housing Temperature

العامل الثالث الذي يجب أخذه بعين الاعتبار في تفريير مخططات الانقطاع المسموح به هو سعة التخزين الحراري للغلاف (الشكل (1-27)) و هي حوالي 1250000 وحدة حرارية. هذا المعدل يجب متابعته لمنع زيادة حرارة الزيت إلى درجة حرارة مرتفعة و لا يكون بإمكانه بعدها إزالة الحرارة المتبقية من المصعد و كذلك لمنع التضرر للأجزاء الداخلية لمجموعة الأنابيب مثل تولب التمدد و عوازل الكبلات.



الشكل (1-27) يبين منحني التبريد لغلاف الأنابيب.

1.6.2.5 استخدام مخططات تبريد الغلاف:

لتوضيح استخدام مخطط تبريد الغلاف (سعة التخزين الحراري و معدل التبريد) .

مثال (1-7):

بفرض أنه لدينا أفلام تحري صدرية mm 70 ، سوف تستخدم باستخدام لقطات معدلها $\frac{2}{5} \text{ sec}$ (mAs) بمعدل 4 بالدقيقة .

حل المثال (1-7):

من مخطط معدل التصوير الراديوي (1-24) نلاحظ أن التعرض الفردي هو بمعدل sec 0.75 و تخزين الحرارة الكلية للمصعد هو 6300 وحدة لكل تعرض (90X60) و 25200 بكل دقيقة (4X6300)

و حيث إن معدل تبريد المصعد هو عموماً حوالي 30000 وحدة/دقيقة على الأقل ، فهذه التقنية مسموح بها .

على كل حال و بعد 40 دقيقة $(25200/1.000000)$ فإن سعة تخزين الحرارة للغلاف الكلية تزيد عن 1000000.

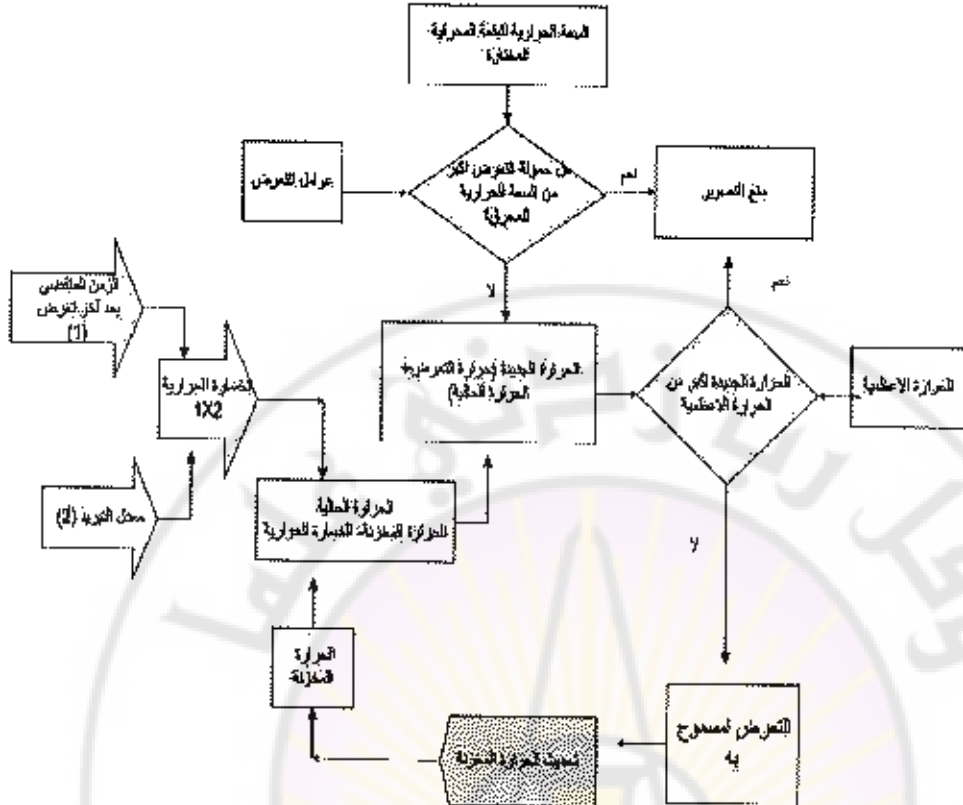
عندما نصل إلى الحد الأعظمي فإنه من الضروري تخفيض معدل الدخل الحراري إلى معدل تبريد أعظمي للغلاف (لاحظ المعدل الحراري) أو أقل (الشكل (1-27))، بما بإضافة دوران هوائي أو بتحفيض عدد اللقطات مفترضين أن معدل التبريد الكلي الأعظمي 15000 وحدة (و الذي هو صحيح بالنسبة لمعظم أغلفة الأنابيب بدون دوران هوائي) و حيث إنه في هذه الحالة فإن وحدات الحرارة لكل لقطة هو 6300 فإن لقطتين بالدقيقة تكون $12600=6300\times 2$ يمكن إنجازها بأمان.

إذا افترض أنه بعد العمل لفترة 39.6 دقيقة بالمعدل الأصلي فقد سمح للأنبوب بالتبريد لمدة 20 دقيقة ، و من مخطط تبريد الغلاف يخفض الحرارة إلى حوالي 600000 وحدة. فإنه يمكن استمرار العمل لـ 15.9 دقيقة.

$$\text{دقيقة } 15.9 = \frac{(1000000-600000)}{25200}$$

بعد هذا الوقت تعود حرارة الغلاف لحدتها الأعظمي و من الضروري تخفيض اللقطات لمعدل تم وضعه سابقاً .

ومع تقدم صناعة أجهزة الأشعة وتطور الحواسيب في قيادة التجهيزات الطبية فيلجاً إلى قيام الحاسوب بقيادة الجهاز لمنع وصوله إلى ساعات حرارية حدية تفوق السعة الحرجة من خلال الخوارزمية المنوّه عنها في الشكل (1-28) حيث يبدأ البرنامج باختيار السعة الحرارية للبقة المحرقة المختارة للتصوير حيث ينتقل بعدها لحساب الحصولة المحتملة للتصوير القائم فيما إذا كانت ستزيد عن السعة الحرارية للمحرق فإذا كان ذلك سيحدث يمنع التصوير حتى تكون البارامترات المختارة لا تزيد السعة الحرارية الحدية عن الحد الخطير، فإذا تم التصوير جمعت كل من الحرارة الحالية مع الحرارة الناتجة عن التعرض.



الشكل (28-1)- بين خوارزمية البرنامج الداخلي لعمل جهاز الأشعة اعتماداً على التحفيض الحراري

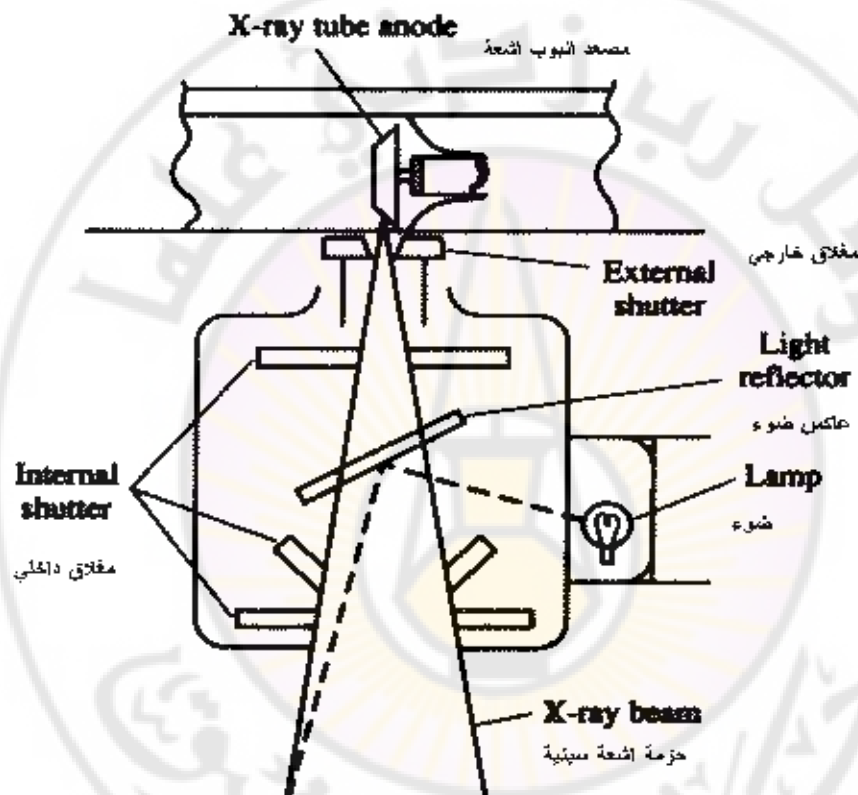
1.6.3. المسند أو موجه الأشعة : (The Collimator)

من أجل تخفيف جرعة أشعة X التي يتعرض لها المريض ، فإن على الأشعة أن لا ترتطم بمكان آخر غير الضروري للدراسة. لذلك يستخدم المسند أو موجه الأشعة كما في الشكل (29-1) والشكل (30-1) الذي يرتبط مع أنبوب الأشعة بحيث إن الأشعة الصادرة عن الأنابيب تمر عبر المسند من خلال فتحة (shutter) .

بعد أن يتم تسييد ضوء عادي (Lamp) باستخدام مرآة أو عاكس (light reflector) على المنطقة المراد تصویرها حيث تغير الفتحة المطلوبة قبل التصوير بأشعة X.

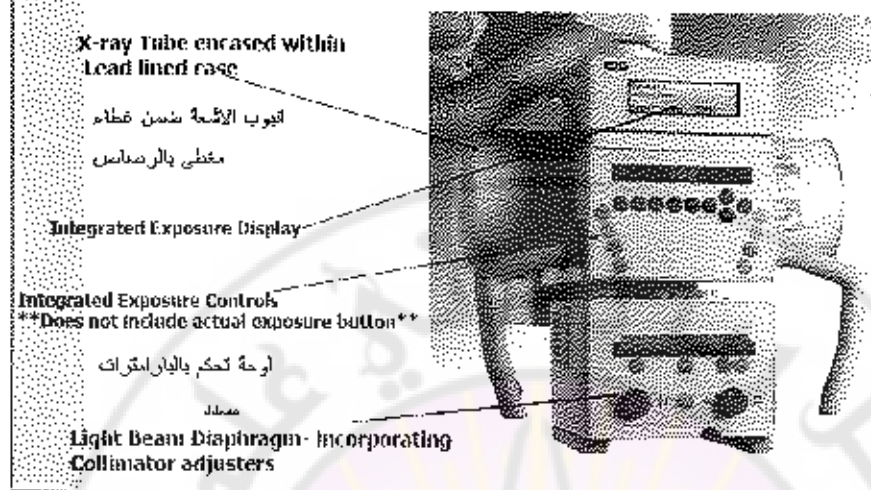
يقوم المستخدم قبل التصوير بتشغيل المسند بحيث يشغل المصباح (Lamp) الذي يسقط ضوءه على عاكس الضوء (Light Reflector) ويعدل المغاليل الداخلية (Internal

(Shutter) المصنوعة من صفائح من الرصاص ملائمة مرور الأشعة عبرها، وحيث تتطابق البقعة الساقطة من انعكاس الضوء من على عاكسن الضوء (الذي يقع على نفس محور مرور الحزمة الشعاعية) مع المنطقة المراد تصويرها وبالتالي مع الحقل المخصص للفيلم الموجود في الكمبيوتر وعندما يتتأكد من ذلك يطفئ المصباح. ويقوم بالتصوير حيث يدور عاكسن الضوء خارجاً عن حقل التصوير ساماً للأشعة بالمرور إلى جسم المريض.



الشكل (29-١) يبين بنية المسدد

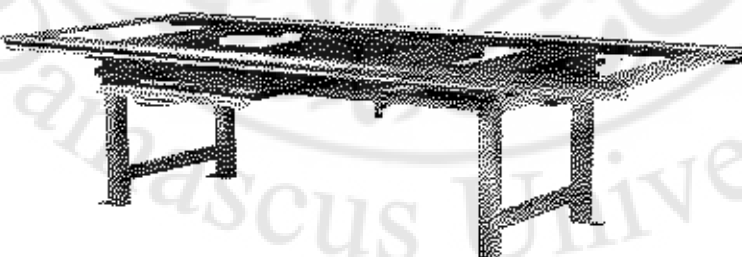
Integrated Diagnostic X-ray units



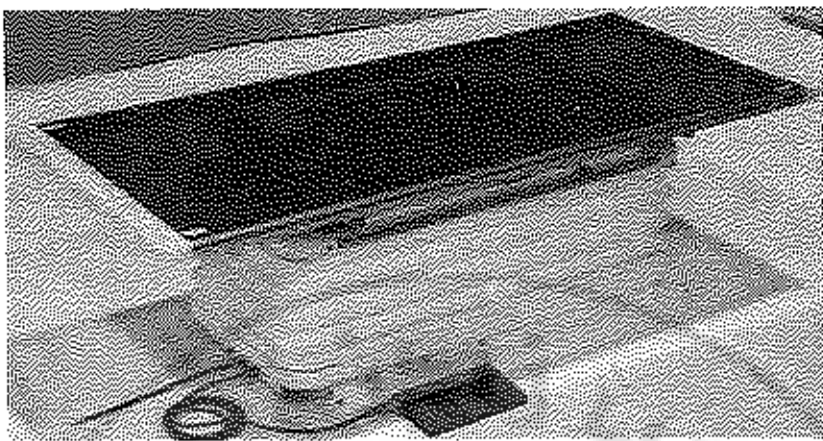
الشكل (1-30) - بين شكل وتركيبة الأنابيب والسداد ولوحة التحكم بaramرات التصوير

1.6.4. طاولة المريض (Patient Table)

هي طاولات مخصصة للتصوير الشعاعي بحيث يكون سطحها مصنوع من مادة لا تغدو الأشعة الساقطة عليها وتسمح لها بالمرور إلى الفيلم الموجود بالكاسيت. وعادة ما تصنع من الـ، كربونية أو مادة الأكريليك. يمكن أن تكون الطاولة بسيطة الشكل (1-31) بشكل لا تذكر، وهي سطح يمكن أن يرقد عليه المريض ولا تتحرك بأي اتجاه أو تكون مابحة لدوران. تتحرك بأربع اتجاهات أفقية في نفس المستوى، أو سابحة قابلة للارتفاع والانخفاض مما يعني أنها كهربائية (مجذرة بمحرك يرفعها ويخفضها) الشكل (1-32).



الشكل (1-31) - بين شكل طاولة سابحة جهاز تصوير شعاعي بسيط غير قابلة لتعديل ارتفاعها.



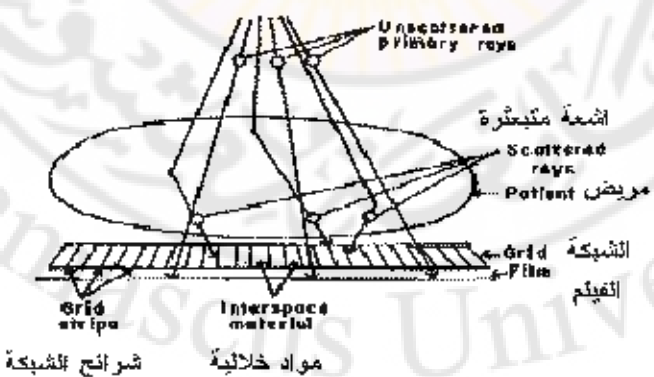
الشكل (1-32) - يبين شكل طاولة م Savage جهاز تصوير شعاعي بسيط قابلة لتعديل أرتفاعها - كهربائية.

١.٦.٥ . مخطط بوكى (Bucky Grid) :

بعد دخول أشعة X إلى المريض ، انحرف بعض الأشعة عن مسارها المستقيم و يدعى هذا بالتبغز ويسدّد تشويش الصورة عند الأطراف و يؤدي لظهور وضوحيتها . يمكن تحسين الصورة باستخدام شبكة (مخطط) Bucky كما هو موضح بالشكل (1-33) .

يتالف المخطط من فتحات متزايدة و منتظمة تتصلها مسافات متساوية الرصاص كما هو مبين بالشكل (1-34)) بحيث إن الأشعة المارة بخط مستقيم من أنبوب الأشعة سوف ترتطم بالطبقة الحساسة، بينما الإشعاعات المتبعثرة سوف ترتطم بالأعمدة الرصاصية و يتم امتصاصها مما يمنع الأشعة المتبعثرة من الوصول إلى الفيلم .

أشعة أولية غير متبعثرة



الشكل (1-33) يبين مخطط تخيلي لشبكة البوكي

أما المواد التي تدخل لغافل الرصاص فيمكن أن تكون الالمنيوم، اللياف، أو بلاستيك، علماً بأن كل من اللياف والبلاستيك تمرر الفوتونات الأولية بدون أي تحميد تقريباً، لكن اعتمد الالمنيوم لعانته، كما أن استخدام الالمنيوم كمادة خلالية سوف يساعد على زيادة فعالية تحميد الأشعة المتباعدة التي كانت قد نجت من لغافل الرصاص ليقوم بامتصاصها.

1.6.5.1. بارامترات شبكة بوكي

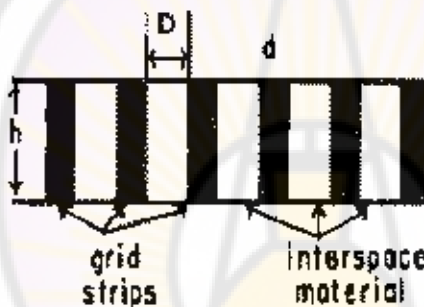
نلاحظ أن البارامترات التي تميز شبكة بوكي هي:

D: عرض المولود السامحة للأشعة بالمرور.

d: عرض الشرائح المخدمة للأشعة المتباعدة.

h: هو ارتفاع الشرائح المخدمة للأشعة.

ومن هذه البارامترات نحصل على :



$$r = \frac{h}{D}$$

الشكل (1-34) بين خطوط ثيلي لشبكة بوكي الصدر بين بارامترات

ما يسمى نسبة الشبكة (Grid ratio) r

$$r = \frac{h}{D} \quad 1-23$$

وكذلك: عدد الخطوط (عدد الشرائح بواحدة الطول) : N

$$N = \frac{1}{d + D} \quad 1-24$$

ومنه محتوى الرصاص بواحدة الطول L₀:

$$p = dhN \frac{1}{L_0} \quad 1-25$$

مثال (1-8):

عادةً ما تكون قيمة البارامترات السابقة: $D=0.18 \text{ mm}$, $h=1.4 \text{ mm}$.

حل المثال (1-8):

لإيجاد نسبة المخطط هي $1.4:0.18 = 8$ وعدد الخطوط هي:

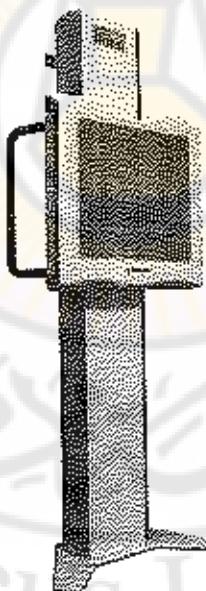
$$\frac{1}{0.18 \text{ mm} + 0.07 \text{ mm}} = 4 \text{ خطوط/mm}$$

أو 40 خط/mm.. ويكون محتوى الرصاص في البولي يواحدة الطول:

$$0.07 \times 1.4 \times 4 = 0.4$$

0.4 mm رصاص بكل 1 mm مخطط. أي 40%.

بشكل مثالي فإن ثلاثة الشرائط في شبكة تصوير الأشعة يجب أن تكون أصغر مما يمكن حتى لا تظهر في صور الأشعة الناتجة. إضافة إلى ذلك يجب أن تكون الشرائط عالمة تماماً (حاجبة) للأشعة المتغيرة ولا تحرر إلا الأشعة السينية المميزة (characteristic x-rays) بسببية حادثة التأثير الشبكي وذلك من خلال امتصاص فوتونات الأشعة السينية.



الشكل (1-35) يبين عجلة غليفي لشبكة بولي الصدر

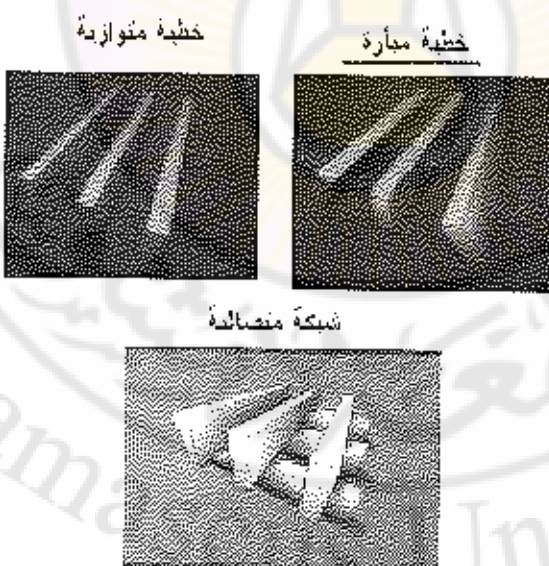
يمكن أن يتم توفير هذه المتطلبات من خلال لفافة رصاصية بثخانة لا تتجاوز 0.05 مم وهي المادة المستخدمة في شرائح الشبكات في أجهزة التصوير الشعاعية السينية المستخدمة للأفلام. ويكون البوكي إما بوكي الطاولة أو بوكي الجدار أو الصدر (الشكل 35-1).

1.6.5.2. انواع الشبكات (Grids):

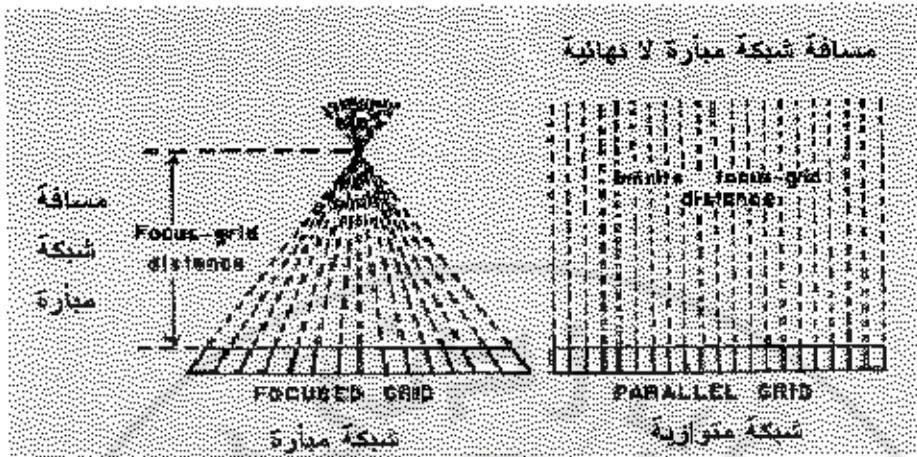
1.6.5.2.1 بحسب ترتيب شرائح الرصاص:

تتوفر الشبكات تجاريًا بشرائح متوازية (parallel) أو مبارأة (focused) أو خطية (linear) أو متعددة متضالية (crossed) كما يوضح الشكل (36-1). عندما تتوضع شبكة مبارأة على مسافة صحيحة من الهدف لأنبوب أشعة سينية، فإن الخطوط العابرة لشريحة الشبكة تتوجه إلى نقطة أو محرق على الهدف (الشكل 37-1).

وتكون المسافة بين الشبكة والمحرق تنتهي إلى اللانهاية في الشبكة ذات الشرائح المتوازية. لذلك بوجود شبكة متوازية متوضعة على مسافة محددة من أنبوب الأشعة ، يؤدي إلى تضليل أشعة أولية (مفيدة) على الأطراف من المركز للصورة. وبالتالي تختفي الكثافة البصرية للصورة من المركز باتجاه الأطراف. ويمكن تحسين الكثافة البصرية للصورة ذات الشبكة للمبارأة شرط أن تتوضع الشبكة بشكل صحيح.



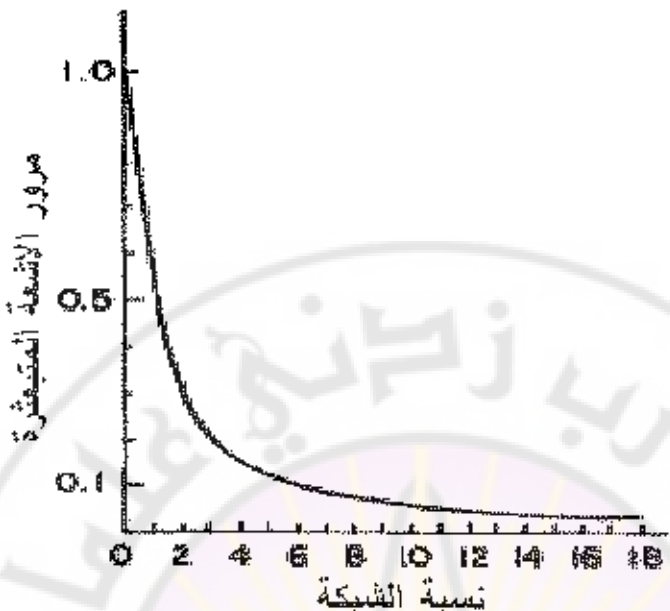
الشكل (36-1) بين علطط تدلي لشبكة البوكي بأنواعها المختلفة



الشكل (٣٧-١) بين مخطط ثيفي لمثير لشبكة البوكي بوعيها

تصنيع الشبكة الخطية بشرط مبارأة أو متوازية كما في الشكل (٣٦-١)، بينما تصنف الشبكة المتصلبة بحيث يتم وضع شبكة خطية فوق الأخرى، بحيث تكون الشرائح متعمدة الواحدة مع الأخرى. على كل حال فإن الشبكة المتعمدة تزيد إشعاعات متغيرة أكثر من الخطية المتوازية ذات نسبة المخطط نفسه وذلك لأن الشبكة الخطية لا تنتص الفوتونات المتغيرة للموازية لشريحة الشبكة. على كل حال فإن استخدام الشبكة الخطية هو أسهل في الحالات التي يكون فيها صعوبة في تحاذي كل من أنابيب الأشعة والشبكة وكامبيت الفيلم.

إن نسبة الشبكة في الشبكة المتصلبة هي $12 + 21 + 2$ حيث 21 و 2 هي نسب الشبكة لكل من الشبكات الخطية المستخدمة لتشكيل الشبكة المتعمدة. توفر شبكات أجهزة التصوير بشكل تجاري حتى نسبة شبكة تصل إلى 16. لكن الشبكات من 8 إلى 12 تستخدم بشكل أكثر وذلك لأن إزالة الأشعة المتغيرة لا تزيد بشكل كبير بعد تلك النسبة كما يوضح الشكل (٣٨-١). كما إن الشبكات ذات النسب العالية صعبة التحاذي وتطلب تعرضاً أكبر للمريض من الأشعة.



يبين الشكل (1-38) تغير مرور الأكمدة المبعثرة تبعاً لتغير نسبة الشبكة.

الجدول رقم (1-4) - يبين أثر أنواع الشبكات ونسب الشبكة في تحسين التباين والزيادة في التعرض

نوع الشبكة ولدتها Type of Grid and Grid Ratio	تحسين في تباين Improvement in Contrast			زيادة في التعرض Increase in Exposure		
	70 kVp 95 kVp 120 kVp			70 kVp 95 kVp 120 kVp		
	1	1	1	1	1	1
None	1	1	1	1	1	1
5 linear	3.5	2.5	2	3	3	3
8 linear	4.75	3.25	2.5	3.5	3.75	4
12 linear	3.25	3.75	3	4	4.25	5
H linear	5.75	4	3.25	4.5	3	6
5 cross	5.75	3.5	2.75	4.5	5	5.5
8 cross	6.75	4.25	3.25	5	6	7

يظهر الجدول رقم (1-4) التحسن في تباين الصور الشعاعية التي تقدمه الشبكات مع تدبر مختلفة من الشبكات، ويظهر واضحاً بأنه:

- أ) كل الشبكات تقوم بتحسين تباين الصور الشعاعية بشكل واضح.

- (2) تزداد فعالية الشبكة في تحسين الصور الشعاعية مع زيادة نسبة الشبكة.
- (3) إن التحسن في التباين للصور ينبع مع زيادة الفولطية.
- (4) تقوم الشبكة المتصالبة بإزالة كمية أكبر من الأشعة المتباعدة بالمقارنة مع الشبكات الخطية ذات نفس النسبة.
- (5) تزيد نسبة التعرض للأشعة مع ازدياد نسبة الشبكة. يجب زيادة التعرض بسبب إن الفيلم أقل عرضة لفوتوныات الأشعة المتباعدة، كما إن شرائح الشبكة تقوم بامتصاص كمية أكبر من الأشعة الأولية.

إن معامل تحسين التباين للشبكة هو حاصل قسمة التباين الذي ينتفع عن وجود الشبكة على التباين الأعظمي الناتج بدون وجود الشبكة. يستخدم معامل تحسين التباين لمقارنة فعالية شبكات مختلفة لإزالة الأشعة المتباعدة. إن معامل تحسين التباين للشبكة معينة يختلف مع خذانة المريض ومع مساحة المقطع العرضي والطاقة لجزمة الأشعة السينية. عادة يقاس معامل تحسين التباين بواسطة فاندام ثالثاته 20 قسم مملوء بالماء ويتم تشغيله بواسطة حزمة أشعة سينية مولدة عند 100 كيلو فولط.

إن الانقاضية للشبكة هي النسبة بين الإشعاعات الأولية إلى المتباعدة المنتقلة من الشبكة. كما إن كفاءة الشبكة في إزالة الأشعة المتباعدة توصف عادة بقدرة الشبكة على الترشيح. توصف الشبكات بأنها ناقلة أو خفيفة اعتماداً على محتوى الرصاص. كما أن هناك بارامتر آخر لوصف فعالية الشبكة هو معامل البوكي يعرف بأنه التعرض للفيلم بدون الشبكة مقسومة على التعرض على الفيلم بوجود الشبكة ومعرض لاحق أشعة سينية عبرة لمريض بدين.

1.6.5.2.2. الشبكات المتحركة:

تكون خيالات شرائح الشبكة مشتقة للمرأقب، كما إن تداخل تلك الخيالات مع محاولة التعرف على البنى الصغيرة مثل الأوعية الدموية البنى العظمية، لذلك قام كل من العالمين بوكي و بوتر ببدائلات 1900 بتطوير الشبكة المتحركة التي أصبحت تعرف بـ مخطط بوكي - بوتر (Potter-Bucky)، والتي تقوم بإزالة الخيالات المشوشة للصورة من خلال إعطاء ضبابية لصورتهم على الفيلم. وقد كان يتحرك المخطط باتجاه واحد. أما المخططات الحديثة فهي تتحرك بشكل تردد يحيط تتحرك الشبكة ذهاباً وإلياً خلال الصورة الواحدة.

إن المسافة الخطية التي تنتقل فيها الشبكة صغيرة تتراوح بين ٥-١ سم وتحتاج باستخدام الشبكة المبارأة. يجب أن لا تكون حركة الشبكة موازية لشراائح الرصاص ويجب أن تكون سريعة كافية لأن تحرك الخيال على عدد من الشراائح عبر كل موقع على الفيلم خلال التصوير. يجب أن تعدل حركة الشبكة بحيث يمنع التزامن بين موقع شرائح الشبكة والمعدل النبضي للأشعة السينية. ويتغير اتجاه حركة الشبكة بشكل سريع جداً عند حدود الحركة لشبكة ، ويكون زمن السكون للشبكة عند تلك الحدود ضئيلاً.

و غالباً لاستخدام عادة الشبكات المتماءدة كشبكات متحركة (مهترة). تستخدم الشبكات المتماثلية المعينية الشكل (Rhombic) في المخططات الترددية ذات السرعة الفائقة حيث تقوم بإزالة ممتازة للأشعة المتتالية دون أن يظهر أي خيال لشراائح الشبكة على الصورة. أغلب طلولات التصوير الشعاعي الثابتة تحتوي على مخطط بوكي-بورر الترددي (recipromatic Potter-Bucky). على كل حال فإن تطور الشبكات ذات الكثير من الشراائح بالائش قد خفضت الحاجة للشبكات المتحركة. إن تكالفة الصيانة للشبكات الترددية وكفاءتها الفقيرة لإزالة خيال شرائح الشبكة خلال الصور ذات أزمنة التصوير القصيرة يزيد من جذب الشبكات الثابتة التي تحتوي على شرائح عديدة بالائش. يعتمد خيار شبكة التصوير الشعاعي لفحص معين على عدة عوامل مثل:

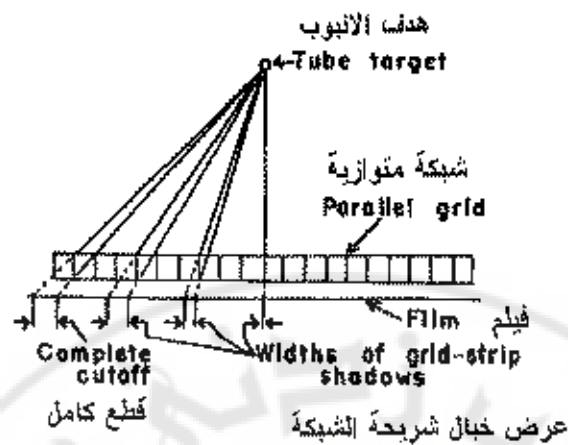
أ- كمية الأشعة الأولية والثانوية الخارجة عن المربيض.

ب- طاقة الأشعة السينية في الحزمة الشعاعية.

ث- تنوع تقنيات التصوير الشعاعي المتوفرة في مولد الأشعة.

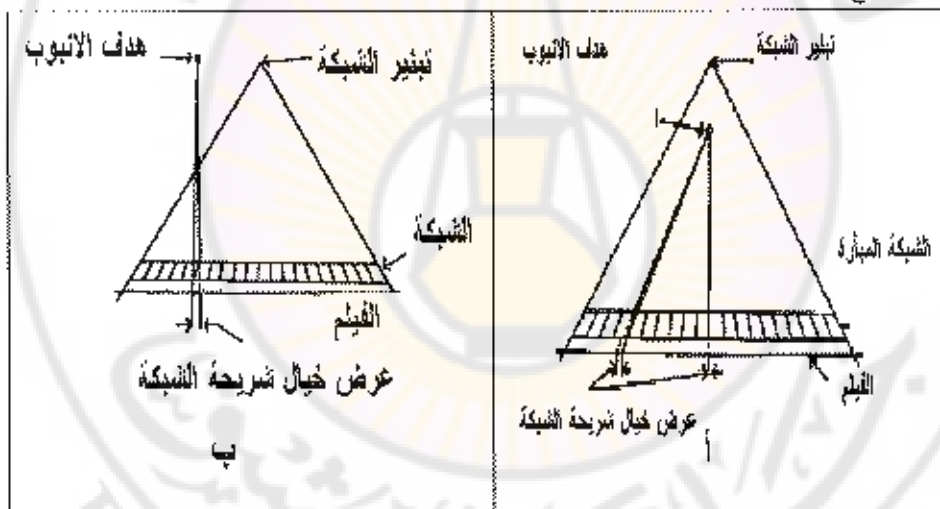
: ١.٦.٥.٢.٣ قطع الشبكة (Grid Cutoff)

يستخدم هذا التعبير لوصف الخسارة في الأشعة الأولية التي يتسببها عدم التحادي المناسب لشبكة التصوير الشعاعي. يحصل القطع الشبكي في الشبكات المتوازية بالقرب من الحواف لحقل كبير وذلك بسبب منع شرائح المخطط عدد من الفوتونات الأولية الوصول إلى الفيلم (موضح بالشكل (١-٣٩)) وذلك على أطراف الحزمة الشعاعية. ويزيد عرض خيال شرائح الشبكة في الشبكة المتوازية مع المسافة من مركز الشبكة.



يبين الشكل (39-1) بين القطع الذي تعانه حزمة الأشعة بمرورها في الشبكة المتوازية .

كما إن استخدام الشبكة المباردة (Focused grid) عند مسافة غير صحيحة بين الهدف و الشبكة يسبب قطع الشبكة.



يبين الشكل (40-1) بين القطع الذي تعانه حزمة الأشعة بمرورها في الشبكة المباردة نتيجة:
عدم التمركز المحوري بـ - عدم التمركز العمودي.

ويدعى هذا التأثير عدم التمركز المحوري (de-centering) أو التقطيع خارج المسافة (off-distance cutoff) كما في الشكل (40-1). وتختفي الكثافة البصرية لصور الأشعة (التي عانى التقطيع خارج المسافة) من المركز إلى الخارج. وتزداد

تغيرات الكثافة البصرية مع ازياح الشبكة عن المسافة الصحيحة بين الهدف والشبكة. على كل حال لا يكون هذا التأثير ملحوظاً حتى يزداد ازياح عن حدود المسافة بين الهدف والشبكة المخصصة للشبكة. ونكون حدود مسافة الهدف-الشبكة ضيقة الشبكات ذات النسبة العالية وأعرض للشبكات ذات النسب المنخفضة.

الفجوة الهوائية:

يمكن تخفيض كمية الأشعة المنتبعثة الوارضة إلى فيلم الأشعة أو مجموعة الشاشة - فلم بزيادة المسافة بين المريض والفيلم. تدعى هذه المسافة الفجوة الهوائية أو الشبكة الهوائية (Air Grid or Air Gap). ستستخدم الفجوة الهوائية في تقنيات تكبير الصور وزيادة في عدم وضوحية التضاريس.

1.6.5.2.4 التكبير في التصوير الشعاعي:

إذا ولدت الأشعة السينية من نقطة وحيدة في الهدف لأنبوب الأشعة فإن التكبير للصورة الشعاعية يكون:

$$1-26 \quad \text{التكبير} = \frac{\text{مقدار عوامل التكبير على الصورة}}{\text{مقدار عوامل التكبير على فيلم}} = \frac{\text{مسافة بين الملف - فيلم}}{\text{مسافة بين الملف - الجسم}}$$

فإذا كانت المسافة بين هدف، أنبوب الأشعة والفيلم ثابتة فإنه يمكن زيادة نسبة مقاس الصورة إلى الجسم المصور وذلك بتحريك الجسم باتجاه أنبوب الأشعة. تدعى هذه الطريقة لتكبير الخيال على الصورة التكبير بانزياح الجسم المصور (object-shift enlargement). أما في الحالة الأخرى عندما تكون المسافة بين الهدف للجسم المصور ثابتة فيمكن تكبير الصورة بتحريك الفيلم بعيداً عن الجسم المصور وتدعى هذه التقنية بالتكبير بانزياح الصورة (Image-Shift Enlargement).

يمكن تقرير كمية التكبير الممكنة دون أن يصاحبها خسارة واضحة في تفاصيل الصورة. فعندما يكون مستقبل الصورة قريب من جسم المريض فإن العامل الرئيسي الذي يلعب دوراً في عدم وضوحية الصورة هو عدم دقة شاشة التكبير. وبزيادة المسافة بين الشاشة

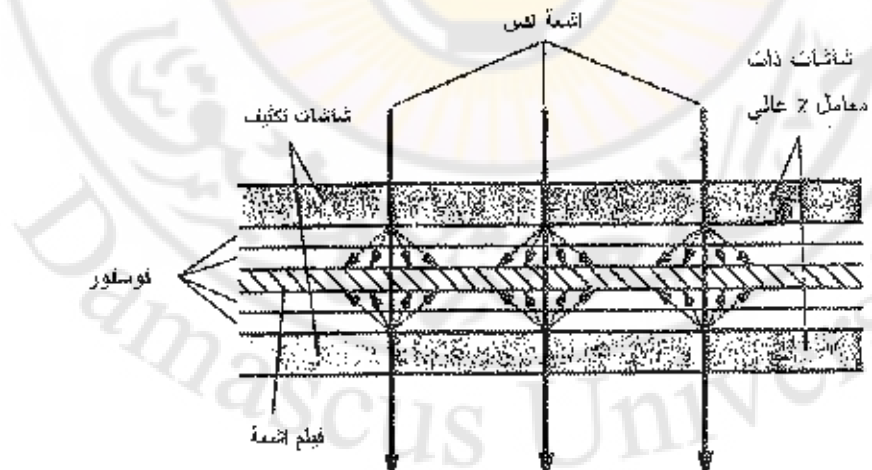
والمريض من خلال التكبير بزاوية الجسم أو التكبير بزاوية موقع الصورة، فلا يحدث أي تغيير عما سبق وذكرنا لكن يدخل عامل جديد على عدم الوضوحية وهي عدم الوضوحية الهندسية (التشوه الهندسي) ويزداد بزيادة المسافة بين المريض ومستقبل الصورة.

و عند مسافات محددة بين المريض ومستقبل الصورة فإن عدم الوضوحية الهندسية تمثل عدم الوضوحية الناتجة عن شاشة التكبير. وبعد ذلك بعد تراجع تفاصيل الصورة حيث يطغى بالتأثير وبشكل متزايد التشوه الهندسي على عدم وضوحية الصورة (ردايتها). لذلك وكقاعدة عامة يجب عدم تكبير الصورة بعد تلك النقطة التي يتساوى فيها مقدار التشوه الهندسي مع عدم الوضوحية الناتجة عن الشاشة.

وهنالك إمكانية أخرى للتکبير من خلال التكبير البصري لصور الأشعة المعالجة، حيث يمكننا هذه التقنية من تحسين رؤية التفاصيل لكن لا تقدم أي تحسين على التفاؤلة الداخلية للصورة. لذلك يلتجأ إلى طرق التكبير التي تستخدم التكبير الهندسي للصورة وتفضل عن البصرية.

1.6.6. كاشف أشعة X (X-Ray Detector):

يتكون كاشف أشعة X (الشكل 1-41) من طبقة مركزية من Silver Bromide و طبقات محاطة بهذه الطبقة من الطرفين من Phosphor و من الخارج يحيط بالطبقات التوسغورية من الطرفين ما يسمى بـ Intensifying screen و هي مصنوعة من Calcium tungstate بمجرد سقوط أشعة X على شاشات التكبير (Intensifying screen) يودي إلى تقلورها و تحولها لضوء مرئي يقع على طبقة الفيلم الحساس.



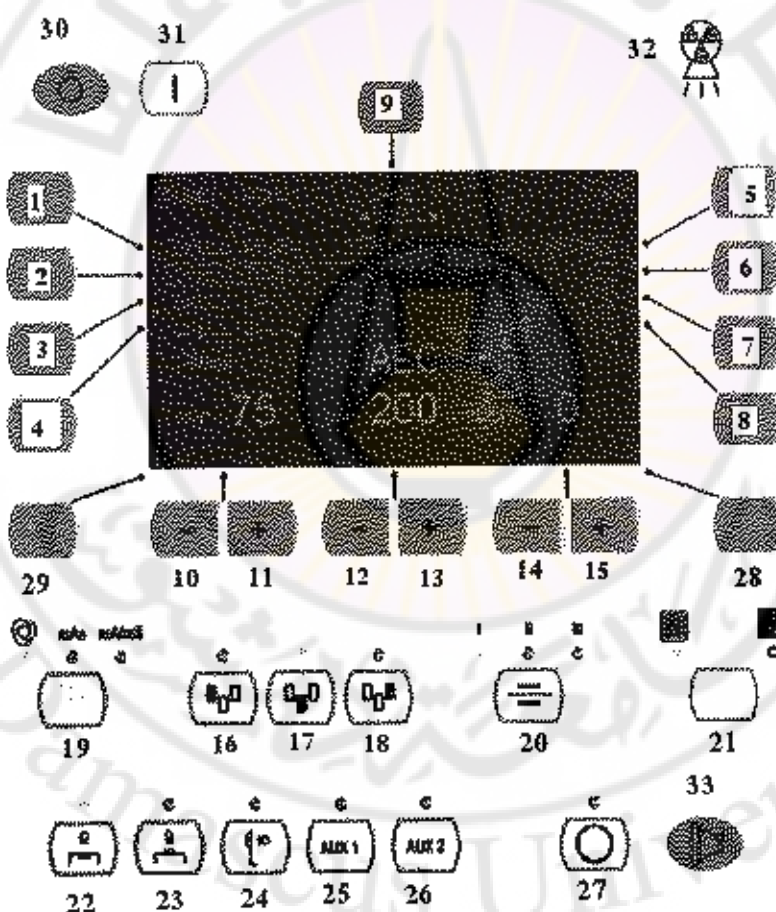
بيان الشكل (1-41) بيان بنية الفيلم المستخدم في التصوير الشعاعي السيني

٤.٦.٧ منصة التحكم:

وعادة ما يكون من شاشة كما بين الشكل (42-I) تظهر البارامترات التالية:
الأزرار:

- من ١ إلى ٨ فهي برامج تصوير جاهزة البارامترات محددة تشريحياً لفاظ من الجسم تدعى البرامج التشريحية (Anatomical Programs).
- رقم ٩ لحفظ بارامترات التصوير المبرمجة.
- ١١-١٠ لـ kVp.
- ١٢ و ١٣ لاختيار mA في حالة التصوير الآلي، أو بين خيارين mA أو mAs في حالة التصوير اليدوي.
- ١٤ و ١٥ لاختيار الكثافة البصرية في حالة التصوير الآلي، بينما لاختيار الزمن ms في حال اختيار نظام العمل اليدوي باختيار البارامترین mA,ms لاما في حالة اختيار نظام العمل اليدوي باختيار mA مباشرة فيخرج هذان الزرلان عن العمل.
- ١٦-١٧-١٨ عند تفعيل آلية التحكم الآوتوماتيكي بالعرض (AEC) فيمكن اختيار أي من الحساسات الثلاث يمكن تفعيله من خلال الأزرار المذكورة والتي يعبر كل واحد منها عن مكان توضع حجرة التأمين بالنسبة للرئة اليمنى أو اليسرى أو في الوسط.
- ١٩ الاختيار بين نظام التشغيل الآلي (AEC Automatic Exposure Control) أو اليدوي ذي الحالتين: إما باختيار البارامترین mA,ms أو باختيار بارامتر واحد mAs.
- ٢٠ يستخدم في حال اختيار النمط الآلي (AEC) وذلك لمعايرة كمية الأشعة الساقطة بحسب نوعية شاشة التكثيف الموجودة في تركيب كاسيت الأشعة، وعادة ما يكون لها ثلاثة أنماط عمل.
- ٢١ الاختيار بين بقعتين محركتين الصغيرة والكبيرة.
- ٢٢ الكاسيت تحت الطاولة.
- ٢٣ الكاسيت فوق الطاولة.
- ٢٤ الكاسيت ضمن بوكي الحائط.
- ٢٥ و ٢٦ أنماط اختيارية يمكن برمجتها.

- 27- بالضغط على هذا الزر يبدأ الجهاز بتهيئة الجهاز للتصوير حيث يبدأ البوكي (الشبكة) بالاهتزاز ويتوهج الفيلم إلى مرحلة إصدار الإلكترونات لإطلاق الأشعة.
- 28- و 29- وهما مسؤولان عن الانتقال إلى قائمة لاحقة أو سابقة.
- 30- إطفاء الجهاز.
- 31- تشغيل الجهاز.
- 32- تحذير بإطلاق الأشعة.
- 33- إطلاق الأشعة وفيه يطبق الجهد العالي بين المصعد والمحيط للفترة الزمنية التي تم تحديدها.



يُبيّن الشكل (٤٢-١) يُبيّن لوحة التحكم لجهاز التصوير الشعاعي المُسيط

٤.٦.٧.١ التحكم الآوتوماتيكي بالتلعرض :

وتلخص فكرة التحكم الآوتوماتيكي بالتلعرض : Automatic Exposure Control

في أن المنطقة من الجسم التي هي محطة اهتماماً بالتصوير تدعى بالمهيمن (dominate) لذلك فإن تصوير هذه المنطقة بالأشعة يتطلب المحافظة على مدى كثافة بصرية محددة، لذا يجب أن يضع حساساً في طريق الأشعة بما الذي لم تصل بعد إلى الفيلم أو بعد خروج الأشعة من الفيلم وتحولها إلى ضوء، وقياس الحقل للحساس الذي سيقيس كمية الأشعة (حجرة التأين، حسان أشعة ذو حالة صلبة ، أو مضاد ضوئي) يجب أن يتوافق مع المهيمن (العضو المراد تصويره) عندما يأخذ المريض وضعية التصوير. لهذا فإن نظمة التحكم بالتلعرض الآوتوماتيكية هي مناسبة لكافة أنواع التلعرضات بحيث تسمح للتجهيزات بالتحادي لكل من الحقل المقاس والمهيمن، وبالتالي فإن حقل الأشعة السينية لا يكون أصغر من الحقل المقاس.

و عادة ما تتطلق جميع هذه التقنيات من قانون أساس يربط بين الجرعة الإشعاعية اللازمة لإنتاج الفيلم (D) و معابر أخرى يعبر عنها بالعلاقة :

$$D = K_g \cdot U^n \cdot I \cdot T \quad 1-27$$

حيث K_g عامل يعتمد على كل من الجسم المستقبل للأشعة، فولطية الأنابيب ، الفلترة الأولية على مذيع الأشعة و مستقبل الصورة و الجهاز.

(a) عامل الرفع n هو حقل لفولطية الأنابيب فعدن 150 كيلو فولط فإن $n=3$ و ينقصان الفولطية بزداد عامل الرفع ، فعدن 50 kV تصل n إلى 5 .

إن فولطية الذروة الأنابيب تقرر طيف الإشعاع و وبالتالي مواصفات الصورة. لهذا فإن فولطية الأنابيب تختار بالأذن بعين الاعتبار العرض الطبيعي و تقرر بالعملية المطلوبة، ما هو الجسم المراد فحصه؟

(b) ما هي درجة التباين الضرورية التشخيص؟.

على سبيل المثال ، إن التعرف على التقصص الصدرى يتطلب 66 كيلو فولط كي يمكن تشخيص البنية العظمية، بينما يتطلب صورة المصدر على الأقل 125 كيلو فولط لتشخيص بنية الرئة، نتيجة كونها ترقد خلف الأضلاع، تساهم قيمة الذروة لفولطية الأنابيب بشكل كبير بتشكيل الصورة. لهذا فإن على مولد الأشعة إنتاج فولطية أنابيب بترددات منخفضة و ذلك لإبقاء نسبة الإشعاعات منخفضة الطاقة مخغرة.

تناسب الجرعة مع كل من التيار I و زمن التعرض T . لهذا فإن قيمة $(mAs) Q$ تختار و يتم وصفها بالاعتماد على الجسم المفحوص.

$$Q = \int_0^T I(t) \cdot dt \quad 1-28$$

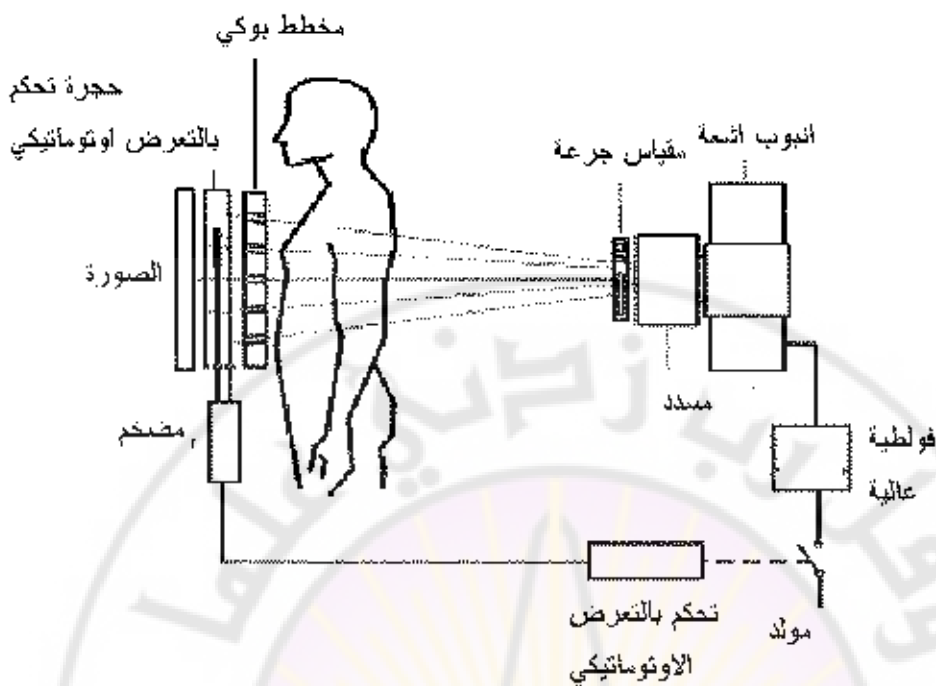
يبين الشكل (1-43) والشكل (1-44) والشكل (1-45) دائرة نظام التحكم بالتعرض الأوتوماتيكي إما بواسطة حجرة التأين أو الحساس الإشعاعي ذي الحالة الصلبة.

تعمل أنظمة التحكم بالتعرض الأوتوماتيكية على مبدأ قياس معدل الجرعة بواسطة التكامل، إن الإشارة المستحصلة و التي هي متناسبة للجرعة الحقيقة D_{actual} و تراكم عند أي نقطة مع الزمن. إن قيمة الجرعة المرجعية المختارة مثاباً تأتي الضرورة في تقدير mAs ، والتي يمكن أن تختار من قبل المشغل في نظام التشغيل اليدوي معتمداً على خبرته في تقدير شفافية المريض.

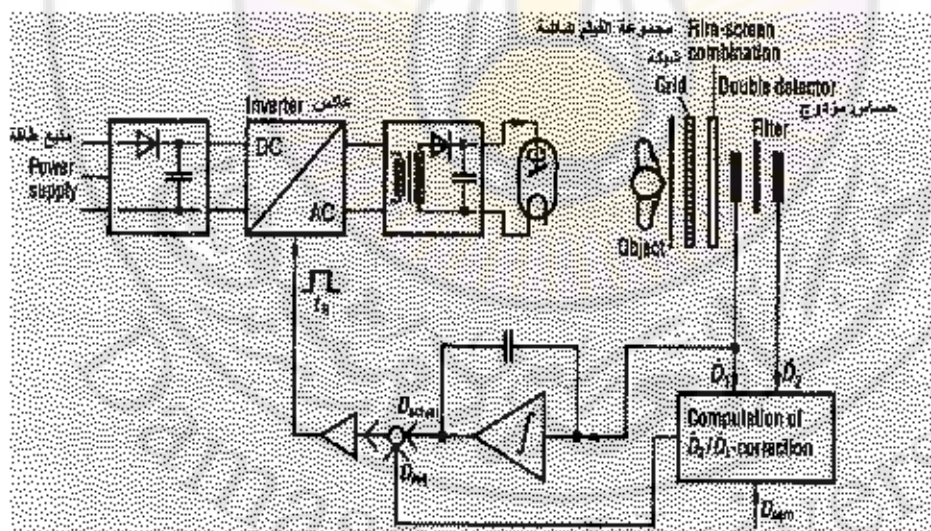
و توضع حجرة التأين قبل المنطقة التي تستقبل الصورة بين البوكي والفيلم (الشكل (1-43)). ويكون التيار الذي يشحن المكثفة متناسباً مع معدل الجرعة D المولدة بالإشعاع في السعة الهوائية المشحونة بقولطية من 300 إلى 1000 فولط . إن تيار التأين يكون بحدود 10-12 Pico Ampere . و تكون حجرة التأين ضيقة قدر الإمكان ، و يجب أن لا تسبب أي خيال أمام الفيلم.

أما الحساس الإشعاعي ذو الحالة الصلبة ((SSRD) Solid State Radiation Detector فهو يتوضع خلف الكاسيت الحامل للفيلم (1-44) و ذلك لأنه يؤدي إلى تكوين خيال على الفيلم إذا كان أمامه. و من مزاياه بأن الجرعة يمكن أن تحفظ عند مستوى أقل و ذلك لاستهلاص المنخفض أمام الفيلم (على سبيل المثال تصوير التبفين ، الأطفال).

يكون تيار SSRD متناسباً مع معدل الجرعة خلف الكاسيت و ليس ذلك في مستوى الفيلم. و لهذا فإن الكثافة البصرية لا تكون متناسبة مع تيار SSRD.

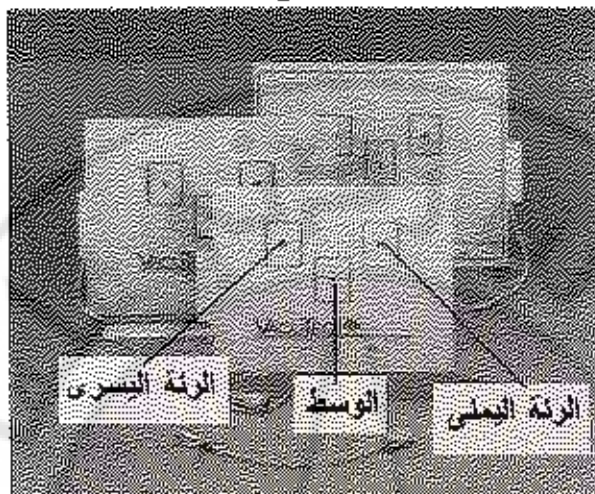


الشكل (١-٤٣) يبين توضع حجرة التحكم الارتو ماتيكي بالعرض بين الشبكة والقلم



الشكل (١-٤٤) لظام التحكم بالعرض اوتوماتيكي لتصوير التدین على عملية تعديل المشافلية اوتوماتيكيًّا

وعادةً ما يتم وضع حجر التلرين خلف البوكي في ثلاثة مواضع (الشكل (1-45)) تتناسب مع موقع الرئة اليمنى أو الرئة اليسرى (الشكل (1-42)) حيث يقوم المشغل باختيار أي من المناطق مهمته تصويرها من هاتين المنطقتين أو يختار الوضعية الوبسطية (الأزرار 17-18-19) في حال أراد تجسس الصورة بين الجميع.



الشكل (1-45) بين إشكال تصميم حجر التحكم الآوتوماتيكي بالعرض

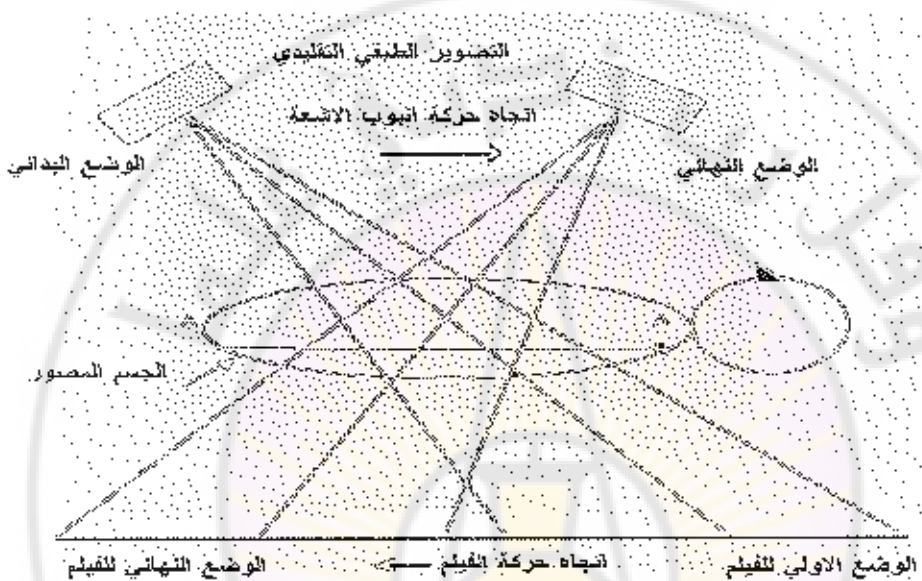
1.6.7.2. تصحيح الكثافة البصرية:

يتاسب الإشعاع المتبادر مع الحجم المعرض للإشعاع ، و تكثُر الإشعاعات المتبادرّة في الأجسام الخفينة ، يقيس حساس نظام التحكم بالعرض الآوتوماتيكي الإشعاع الكلي الناجم عن الجسم . وتتضمن الإشعاعات المتبادرّة ، و لهذا فإن قيمة الجرعة المرجعية تتصل بشكل سريع في الأجسام الخفينة . و بالتالي فإن الفيلم يظهر كثافة بصرية أقل من تلك التي تمت معايرته عليها . و الأطباء و الفنانون و الخبراء في ذلك يغيرون من قيمة الجرعة المرجعية D_{ref} بواسطة مفتاح تعديل الكثافة البصرية معتمدين على الجسم المراد فحصه . و المفتاح مدرج بنقاط تعرف موجبة و سالبة . أما في تقنيات التعرض المعتمد على الأعضاء فإن هذا التعديل يكون مبرمجة أصلًا بواسطة الزر الدفل على العضو . و يجب أن تمنع الأفضلية للعمليات المبرمجة أصلًا لأن خيار الحساس متضمن .

1.7. التصوير المقطعي التقليدي (Classical Tomography):

عادةً ما تضمن الشركات الصناعية لتجهيزات التصوير الشعاعي البسيط ميزة إضافية في أجهزتها هي التصوير المقطعي التقليدي وهي آلية يمكن التركيز فيها على تصوير منطقة محددة

بحيث يتم التركيز عليها وتسلیط الأشعة. عندما يعطي الجهاز أمراً ببدله هذا النوع من التصوير يتحرك الأتيوب بزاوية في حين يتحرك كاسيت أفلام الأشعة بشكل معاكس (الشكل ٤٦) من وضعيه البدائي، بمجرد بدایة التصوير يتم التصوير بثلاث وضعيات جميعها تكون مبارزة في نقطة واحدة (منطقة الاهتمام) وتكون الصورة الناتجة هي عدة نقطات لنفس الكثالة (منطقة الاهتمام) لما المناطق المحيطة تكون ضبلية.



الشكل (٤٦) يبين مبدأ التصوير المقطعي التقليدي وكيفية تحرك أتيوب الأشعة والفيلم

١.٨. التصوير الشعاعي الرقمي (DIGITAL RADIOPHOTOGRAPHY)

هناك عدد من التقنيات الموجودة للحصول على الصور الشعاعية رقمياً أو لتحويل الفيلم المستحصل عليه تمثيلاً إلى الشكل الرقمي. حتى إن أنظمة شاشات الفيلم التقليدي الذي نستخدمه في التصوير ليست تمثيلية بشكل حقيقي وذلك بسبب مقاس الحبيبات في الفيلم ومقاس الكريستالات في شاشات التألق (fluorescent screens).

إن المنظومات ذات أتابيب الأشعة المهميطة و محدوديات زمن النقل وتخزين المعلومات للكميات الكبيرة من المعلومات الموجودة في الصور هي محددة.

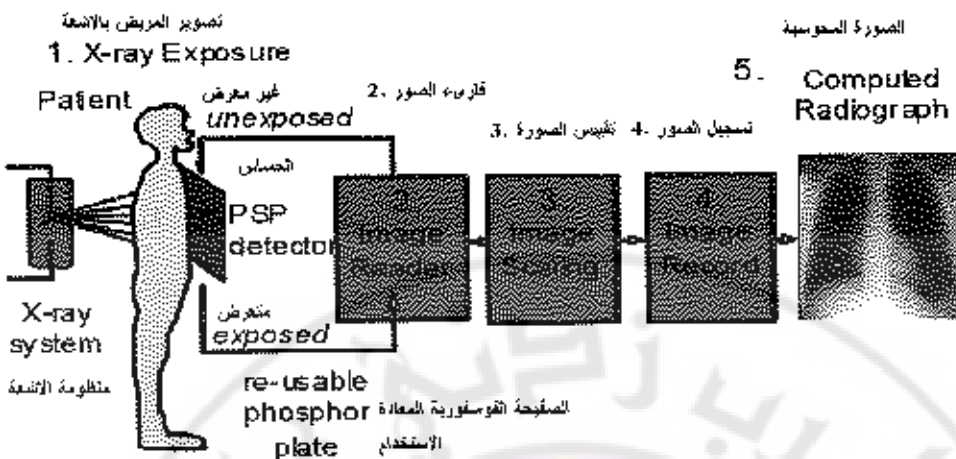
إضافة لذلك فإن القطع المنفصلة لأجهزة لستحصل الصورة التقليدية لا يمكن التلاعب بها أو تعديلها فردياً، وقد انتقل عدد من التقنيات المبتكرة للاهتمام مؤخراً من البحث إلى مجال الاستخدام السريري.

1.8.1. الحساسات الرقمية المنفصلة:

إن استخدام مصقوفة من الحساسات هو روبيتي لكل من التصوير بالأمواج فوق الصوتية والتصوير الطيفي المحوري. كما إن حدة كثافة المعلومات للفيلم تتفق الحاجة لمثل هذه التجهيزات في التصوير الشعاعي حتى يتم التعريف بمتطلبات التصوير الشعاعي. تتضمن هذه المتطلبات المجال الحركي (dynamic range) المشاهدة الآلية بأماكن متعددة واستخدام المعالجة الرقمية للصور من أجل تحسين الصور. إن هذه المتطلبات الجديدة قد بدأ بتحقيقها من قبل الإمكانيات التقنية، فعدد من الحساسات المنفصلة والتي تنتج إشارات الكترونية والتي من السهل رقمتها قد استخدمت، بما فيها الكريستال الثنائي مثل يود الصوديوم (sodium iodide) و جرمانت البزموت (bismuth germanate)، وديودات ضوئية، وأجهزة شبه ناقلة مختلفة. إن الفكرة من الحساسات المنفصلة أو مجموعات من الحساسات تعترض وبشكل ضيق حزم أشعة مباردة من أجل تخفيض أثر الغربولات المبعثرة على تشكيل الصورة وذلك من خلال منظومات التصوير الخطي (الشعاعي) والتصوير النقطي. تم معالجة المجال الحركي من خلال التصوير المتساوي المسح (scanning equalization radiography). تتضمن هذه المنظومة آلية تغذية خلقيّة راجعة بحيث إن مقدار الإشارات من الحساسات تسبب تعديل أوتوماتيكي لخرج أنبوب الأشعة. إن تعديل خرج أنبوب الأشعة فيمنظومة التصوير المتساوي المسح يخفض مجال معدلات التعرض التي يجب أن يستجيب لها الحسامن.

1.8.2. التخزين الفوسفورى الرقمي (Digital Phosphor):

طريقة أخرى للتصوير الرئيسي هو الحصول على الصورة ضمن وسط مستمر، مصمم خصيصاً لرقمنته. ففي تقنية التخزين الفوسفورى (الذي يُدعى أيضاً بالتصوير الشعاعي المحوسب Computer Radiography) يتم تحصيل الصورة على صفيحة تحتوي على الفوسفور المثار ضوئياً (الشكل (1-47)). تستخدم مادة مثل بروميد الباريوم الفلوري (Barium Flouro Bromide) وهو قادر على تخزين الطاقة من التعرض للأشعة السينية.



الشكل (٤-٤٧) يبين مبدأ التصوير الشعاعي المحوسب (Computed Radiography).

وعندما يتعرض للضوء القوي بطول موجة مناسب، ، يعود الفوسفور المثار ضوئياً لبث الطاقة كضوء مرئي يمكن التقاطه من أنبوب المضاعف الضوئي. ولهذا فإن صفات التخزين الفوسفورية تسجل صوراً كاملة يمكن قرايتها بوقت لاحق بعد التصوير. يمكن تحقيق عملية القراءة من خلال منبع ضوئي مكثف ومبار بشكل جيد مثل ليزر هليوم-نيون (الشكل (٤-٤٨))، بحيث إن مقاس المنطقة المثارة على الصفيحة يبقى صغيراً للحصول على دقة جيدة. ومن ثم يمكن رقمنة الإشارات الكهربائية من المضاعف الضوئي من خلال مبدل تمثيلي رقمي. وبمجرد تخزين الصورة يمكن عرضها على شاشة ذات نقاوة عالية أو تطبع على فيلم. إن إحدى ميزات صفيحة الفوسفور المثارة على النظام التقليدي هو تحسين المجال الحركي. نعمل أفلام التصوير الشعاعي على تعرضات محتملة تتراوح بين التعرض المطلوب للوصول على كتف المريض الممierz إلى ذلك المطلوب لأعلى من القيمة (T_{oe}). هذا المجال يسبب فروقات في التعرضات من مرتبة 100. أما المجال الحركي للتخزين الفوسفور من مرتبة 10000. ولهذا فإن التخزين الفوسفور له مجال أكبر إذا ما تم التصوير خطأ. لحفظ على المعلومات الواردة في هذا النطاق الديناميكي الواسع، يجب أن يكون لدى المحوسب التمثيلي إلى رقمي ما يكفي من البتات (bits).

إن منظومة قراءة التخزين الفوسفور لها قدرة على رقمنة 2000×2000 مصفوفة بيكسلات (عناصر صورة) أو أكبر، بحيث يأخذ كل بيكسل واحدة من قيم 1024^2 ، ومن

ثم تتم معالجة الصور الناتجة لترجمات رمادية في طريقة مماثلة التي تتبعها أجهزة التصوير الطبي المحوري المحوسب أو التصوير بالرنين المغناطيسي.

إحدى مميزات منظومات التخزين الفوسفورى عن النظام التقليدى (فilm-شاشة) هي تخفيف التعرض للمرء. كما يتميز النظام عن التصوير الرقمي بحيث إن الصفيحة الفوسفورية تستبدل الكامپيت الفيلم و لا تمثل تغيراً واضحاً في وضعيّة المريض أو إجراءات التصوير.

مثال (١-٩):

احسب الدقة الحيزية لمنظومة تصوير شعاعي محوسب (Computed Radiography) بحيث تتم رقمنة صفيحة فوسفورية in 14X17 بمقاس مصفوفة بابعاد 2000X2510

حل المثال (١-٩)

إن مقاس البكسل أو النقاوة

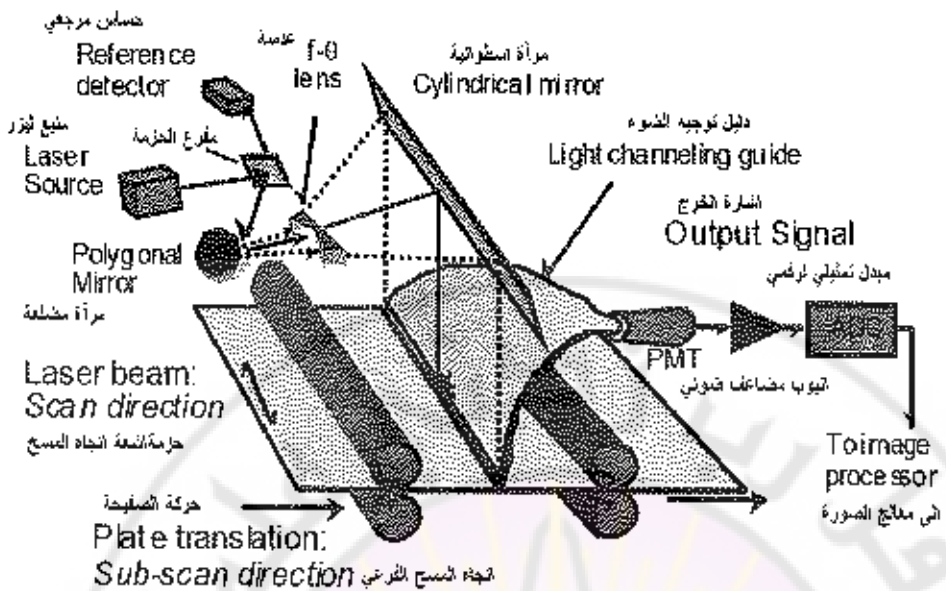
$$r_{14} = \frac{14 \text{ in}}{2000} = 0.007 \text{ in} = 0.18 \text{ mm}$$

$$r_{17} = \frac{17 \text{ in}}{2510} = 0.007 \text{ in} = 0.18 \text{ mm}$$

لهذا فإن مقاس دقة العنصر هو واحد بالاتجاهين. ويكون عدد أزواج الخطوط بالمليمتر التي يمكن عرضها متساوية لأزواج البكسلات بالمليمتر.

$$\frac{\text{ازواج الخطوط}}{\text{م}} = \frac{1}{2(r)} = \frac{1}{2(0.18 \text{ mm})} = 2.8$$

نلاحظ أن النقاوة الحيزية لمنظومات التخزين الفوسفورى هي أقل من 6 إلى 10 أزواج خطوط في الملم.



الشكل (٤-٤٨) يبين مبدأ قارئ اللوحات التiformورية لجهاز التصوير الشعاعي المحسوس

.(Computed Radiography)

: ١.٨.٣. ماسح الأفلام (Film Scanner)

يمكن رقمنة أفلام الأشعة بعد التقاطها من خلال منظومة تقليدية. في جهاز رقمنة أفلام الأشعة ، يقوم شعاع ليزري بمسح الفيلم. تقوم الكافحة الضوئية بتعديل الضوء النافذ من الفيلم. ويقوم حساس ضوئي بتحويل ضوء الليزر العابر إلى إشارة كهربائية تتم رقمتها بواسطة محول رقمي. إن التقواة الحيزية لماسح الفيلم تقرر بمقياس بقعة الشعاع الليزري المساقطة على الفيلم. أغلب الاستخدامات السريرية تستخدم 100 ميكرومتر أو أكبر وتوفر بقع بمقياس 50 ميكرو متر. إن تصغير القطر إلى النصف يتطلب زمن مسح أكبر بـ 4 مرات. وتتوفر ماسحات أفلام الأشعة بمقياسات مصنوفات على الأقل 2000X2000 بـ 10 إلى 12 bits).

لامسحات الأفلام ميزات واضحة عن التصوير الرقمي تتلخص في أنها لا تتطلب تغييراً في نظام التصوير التقليدي وتنظل نفس الإجراءات المتتبعة فيها (التقنيات، وضعية المريض، اظهار الفيلم). أما سلبياتها فهي عدم إمكانية تصحيح التغيرات الكبيرة في كثافة الأفلام أو المسويات الرمادية، ضرورة التعامل مع أفلام منفصلة بالزمن المستغرق للمسح.

مثال (١-١٠):

أوجد العدد الكلي للبيانات المخزنة بنظام مسح الفيلم بمصفوفة 2048X2048 بـ 8 بتات، استخدم مبدل تمتثيلي إلى رقمي 8 بتات.

حل المثال (١-١٠):

$$2048 \times 2048 \times 8 \text{ bits} = 33,570,000 \text{ bits}$$

على كل حال فإن:

$$1 \text{ byte} = 8 \text{ bits}$$

$$\frac{33,570,000 \text{ bits}}{8 \text{ bits/byte}} = 4,200,000 \text{ byte} = 4.2 \text{ M bytes}$$

٤.٨.٤. مستقبلات الصور الرقمية ذات المساحة الكبيرة للتصوير الشعاعي:

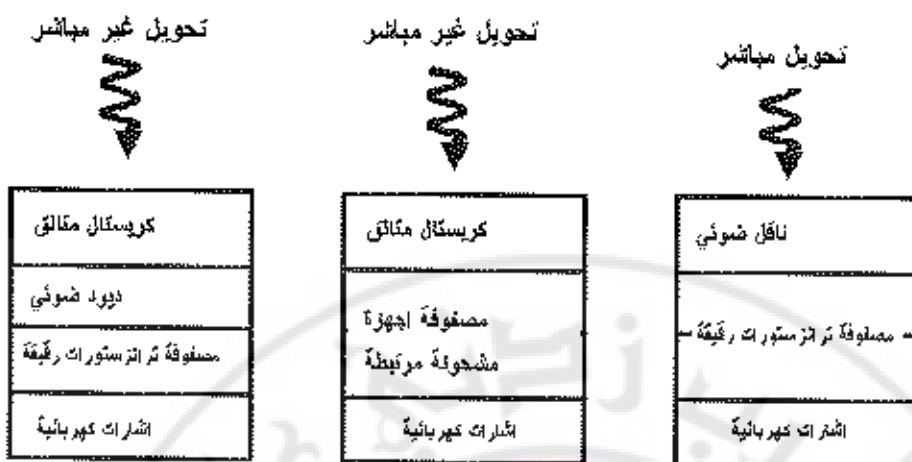
(Large-Area Digital Image Receptors)

يتم العمل على الحساسيات الرقمية ذات المساحة الكبيرة (35 سم × 43 سم) منذ 30 عاماً، بدأ العمل بتطوير أجهزة الربط بالشحنة (charge-coupled devices (CCDs)) يحول هذا الجهاز الضوء المرئي إلى إشارات كهربائية.

إن المتطلبات الأساسية في التقاويم والضجيج المنخفض والمجال الديناميكي العالي في التصوير الشعاعي الطبيعي تشكل تحديات تقنية في تطبيقات الحساسيات الرقمية في التصوير. خلال العقدين السابقين فإن الوعود بالحصول على حساسات رقمية كان خارج الإمكانيات نظراً لأنها وتكلفتها العالية. إن استخدام الحساسات الرقمية يعطينا إمكانية قراءة الصور مباشرة دون الحاجة للذهاب عدة رحلات داخل القسم لجهاز التحبيب أو فراغة اللوحات الفوسفورية وكذلك إمكانية معالجة الصورة.

لقد تم تطوير لوحة حساسات كبيرة المساحة (Large-area Flat Panel detectors) ومن مميزاتها الفعالية الكمية العالية للتحسس وتحويل الأشعة السينية إلى رقمية بضجيج منخفض مقبول عبر مجال كبير للتعرض، ولفوژجين الأساسين لكلا الأنظمة المتحسبة للأشعة السينية ذات اللوحة الكبيرة المساحة المسطحة هي كما يبين الشكل رقم (٤٩-١):

- . التحويل المباشر (Direct Conversion).
- . التحويل غير المباشر (Indirect Conversion).

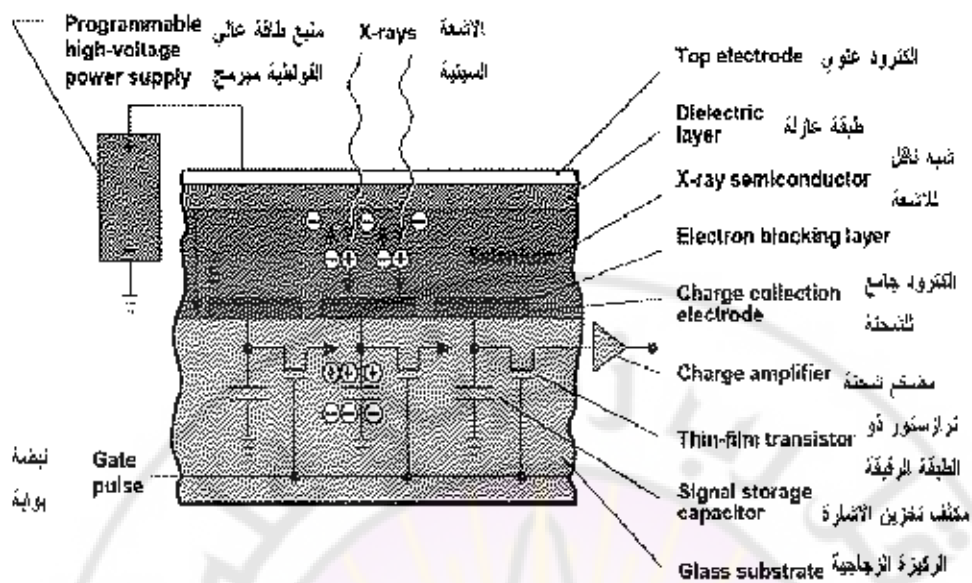


الشكل (I-49) يبين مبدأ لوحة حساسات كبيرة المساحة بأنواعها المختلفة

أما من حيث التحويل المباشر فهو يعتمد على تحويل طاقة الأشعة السينية إلى إشارة كهربائية في طبقة وحيدة لمادة تدعى ناقل ضوئي وهذا عدّة مواد مثل : السيلينيوم الغير مستبلور ، تيلوريد زنك الكلاديوم وبيود الرصاص.

عندما تضرب الأشعة صفيحة التحويل للناقل الضوئي تتشكل أزواج من الحفر الإلكترونية (الشكل (I-50)). بتطبيق حقول كهربائية بين السطوح الأمامية والخلفية للناقل الضوئي ليجبر على انفصال أزواج الحفر الإلكترونية وتحولها إلى سطوح مشحونة كل سطح هو مصفوفة من ترانزستورات ذات طبقة رقيقة وبالتالي يمكن قراءة شبكة من الترانزستورات لتقرير كمية الشحنة الكهربائية فوق كل ترانزستور .

عادة ما يرتبط عدد الترانزستورات مع عدد البكسلات في الصورة النهائية. لحساسات الصفيحة المسطحة مقاسات بكسل في مجال 200 ميكرومتر (2.5 خط/مم دقة) متوفرة للتصوير الصناعي كما أن هناك جيل جديد من الحسّاسات بدقة حيزية من 50-100 ميكرومتر (10-5 خط/مم) متوفّر لتصوير الثدي.



الشكل (٥٠-١) يبين مبدأ لوحة حساسات كبيرة المساحة ذات التحويل المباشر.

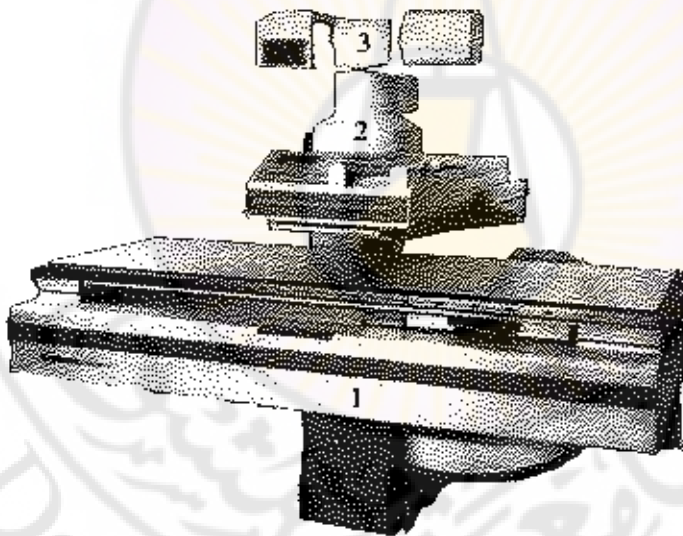
أما في التقنيات غير المباشرة فإن المواد المختلفة تحول طاقة فوتونات الأشعة إلى ضوء مرئي، أما المواد المختلفة التي تستخدم لهذا الموضوع فهي السيليكون الغير متبلور بود السيرزيوم. يمكن قراءة الضوء المتولد عن هذه الصفيحة من خلال ناقل ضوئي ليتحول الضوء الناتج إلى إشارات كهربائية أما النوافل الضوئية المستخدمة في هذا النوع فهي (CCD) ومواد مثل السيليكون الغير متبلور المرتبطة (Coupled) ومصفوفات الترانزistor ذات الطبقة الارقية (TFT).

من أهم مميزات الجيل الجديد من حساسات الصفيحة المسطحة هي فعالية حساسيتها العالية الكمية (DQE) وهو مقياس لفعالية الحساسية التي تتضمن الضجيج بالإضافة إلى الدقة عند ترددات حيزية مختلفة. وعادة ما يكون حوالي 66% للحساسات الرقمية ذات الصفيحة المسطحة بينما تكون لأنظمة التخزين الفوسفورية حوالي 35%， في حين لأنظمة شاشة فيلم 25%. وبسبب أن حساسات الصفيحة المسطحة لها قيمة فعالية حساسية كمية (DQE) عالية فالمتوقع أن تستخدم الجرعة الإشعاعية بشكل فعال أكثر، وأن تعطي ضجيج أقل على مجال من الترددات الحيزية المستخدمة في التصوير الطبي.

1.9. جهاز التقطير : (Fluoroscopy System)

في إجراءات طبية مختلفة ، يُعد الأطباء إلى التقطير الفوري لصور الأشعة X وبهذا يكون بإمكانهم مراقبة حركات الأعضاء وأشياء أخرى داخل جسم الإنسان .
ففي عمليات القسطرة القلبية ، فإن الطبيب يرغب بمراقبة حركة القسطر داخل الأوردة والأذينتين ، أو عندما يتم تغيير حصبة كلوبية بواسطة الأمواج فوق الصوتية حيث يمكن مراقبتها باستخدام أشعة X . مثل هذه الصور الفورية و التي تستخدم المكشاف الفوري تدعى بالصور الآتية (بالرغم من الحقيقي) كما يمكن مراقبتها في شاشات التلفاز و بشكل حي كما في الشكل (1-51).

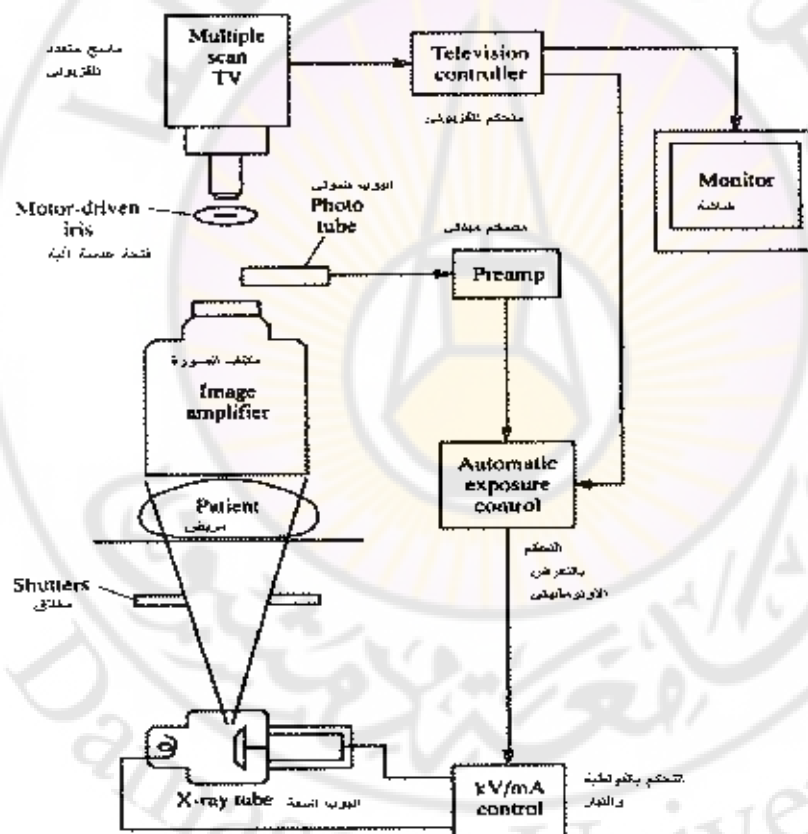
و الأجزاء الرئيسية لجهاز التقطير (الشكل (1-51)) هي أنبوب أشعة X - طاولة المريض - مكثف الصورة (2) - الدارة التلفزيونية - دارة التحكم بالعرض الآلي - منصة التحكم - شاشات العرض داخل غرفة الجهاز و عند منصة التحكم - مولد الطاقة .



الشكل (1-51) يبيّن شكل جهاز التصوير التالفزيوني . 1- الطاولة 2- مكثف الصورة 3- الدارة التلفزيونية .
يتم تمديد المريض على الطاولة ، بينما يقف المستخدم للجهاز مرتدياً درعاً رصاصياً ،
مراقباً للصور الشعاعية على شاشة تلفزيون الذي بدوره يلتقطه كاميرا تليفزيونية من مكثف
الصورة (2) الذي يكبر الخيال و يحول أشعة X إلى ضوء .

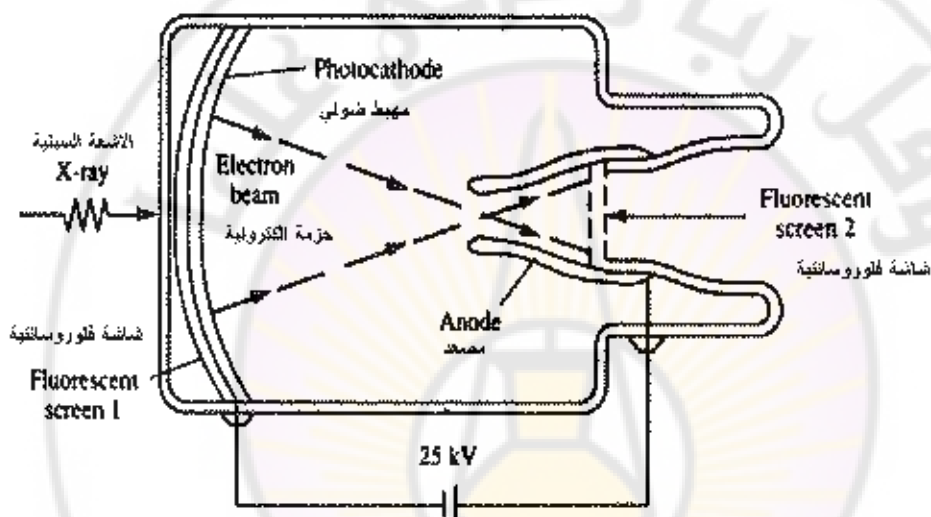
يبين الشكل (1-52) مخططاً صنديقياً لنظام تصوير فلورة ، في هذا النظام يتم تغذية نظام تحكم للتعرض بمعلومات حول كثافة الصورة بحيث أنه في حال بداية الصورة بالاختفاء فإن تيار الحزمة على أنبوب أشعة X سوف يزداد أوتوماتيكياً .

القطعة الفريدة من نوعها في نظام التقطير هي مكثف الصورة (Image Intensifier) كما هو مبين بالشكل (1-53) والتي تحول أشعة X إلى ضوء عند شاشة الخرج، حيث ترتفع أشعة X بالشاشة الفلوروسانتية (1) المنتجة فوتونات ضوئية، و من ثم تغير للمهبط الضوئي، و الذي يدور و ينبع إلكترونات حيث تسرع الإلكترونات بواسطة جهد قيمته 25 kV، مما يؤدي إلى تركيز الحزمة الإلكترونية المسرعة على الشاشة الفلوروسانتية (2) مصدرة ضوءاً متزايداً و صورة أكثر.



الشكل (1-52) يبين مخطط انتظاري لجهاز التصوير التالفي.

يمكن التقاط هذه الصورة الضوئية أو تصويرها بواسطة كاميرا تلفزيونية . تتألف الشاشات الفلوروسكانية (الشكل (1-53)) من عدة كريستالات فوسفورية بشحنة $2 - 3 \mu m$ والتي تبث ضوء عندما تتصادم بجزيئات الطاقة. على سبيل المثال ينبع ضوء أزرق مستمر و متوسط سطحي باستخدام كريستالات ZnS:Ag(Ni) في حل ارتطام فوتونات ضوئية و بقدرة كافية بمحبط ضوئي يسوز تبعث الإلكترونات تعرف بالإلكترونات الضوئية (Photoelectrons). تتألف المهابط الضوئية من مواد أو خليطة من الفصدير و السيريوم (Cs).



الشكل (1-53) يبين مخطط قنطرة لمكثف الصورة.

إن وظيفة مكثف الصورة هي تكثيف أو زيادة سطوعية الصورة عبر الـ:

- 1- التضييق ، بحيث تبعث عدد محدد من الفوتونات الضوئية من منطقة أصغر .
 - 2- الربح التدفقى ، بحيث تتسارع الألكترونات من خلال الفولطية العالية المنتجة كمية ضوء أكبر .
- باصطدامها بالشاشة الفلوروسكانية.

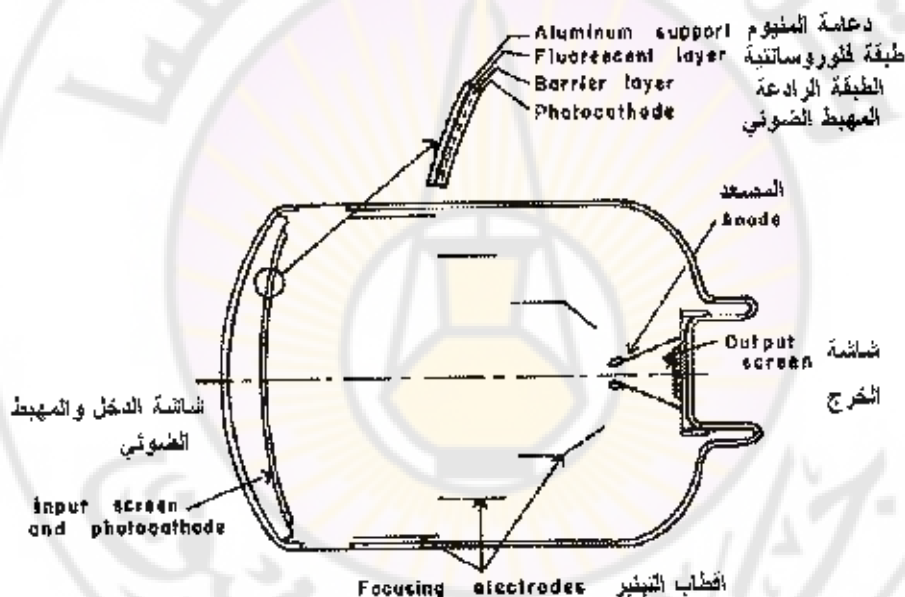
تقراوح الشاشة الفلوروسكانية من 4 إلى 16إنش بالقطر وهي محدبة قليلاً.

وقد تطورت المادة المصنوعة منها بحيث أصبحت من مادة يود السيريوم (CsI) . إن تفوق هذه المادة عن سولفاید كادميوم الزنك (ZnS:CsI) يكمن في

زيادة امتصاص الأشعة بسبب وجود مركبات الزنك الأعلى في CsI الفوسفورى والكافافة الانصهاعية لجزيئات CsI في حبيبات الفوسفور.

فكل فوتون أشعة يتم امتصاصه بـ 2000-3000 فوتون ضوئي من قبل الشاشة، وبسقط الضوء على مهبط ضوئي يحوي على عنصر الانتيمون ((antimony) Sb) مثل أوكسيد سيريوم الانتيمون $\text{antimony cesium oxide}$ (Sb-CsO).

إن الفوتونات الضوئية المتحررة في الاتجاه بعيداً عن المهبط الضوئي تتعكس باتجاه المهبط الضوئي (الشكل (1-54)) بواسطة دعامة المعنیوم عاكسة موجودة على السطح الخارجي لشاشة الدخل. فإذا تطابقت الحساسية الطيفية للمهبط الضوئي مع طول موجة الضوء المنبعثة من الشاشة، فإنه يتم قذف 15-20 الكترون من المهبط الضوئي لكل 100 فوتون من الضوء المستقبل.



الشكل (1-54) يبين مخطط تفيلي لبة مكثف الصورة.

يعتمد عدد الإلكترونات المتحررة من آلة منطقة من المهبط الضوئي على عدد الفوتونات الضوئية المباغطة على تلك المنطقة. تتسارع الإلكترونات من خلال فرق جهد من 25 إلى 35 كيلو فولط بين المهبط والمصعد لأنبوب مكثف الصورة، ومن ثم تعبر الإلكترونات فجوة كبيرة في المصعد وتضرب شاشة مفلورة صغيرة (شاشة الخرج) مركبة على دعامة زجاجية مسطحة. إن الطبقة الحساسة على شاشة الخرج تشبه إلى حد كبير شاشة الدخل ما عدا أن حبيبات

الفلوروسايت أصغر بكثير. تترواح أحاطار شاشات الخرج من 0.5إنش إلى 1إنش، فتستخدم مكثفات الصورة ذات شاشة الخرج الصغيرة لنظام التصوير الفلوروسكوبى التلفزيونى نظراً لصغر قطر شاشة الدخل للكاميرا التلفزيونية. يتم ترميمب مادة معدنية من الألمنيوم على شاشة الخرج لمنع دخول الضوء من خارج مكثف الصورة. كما ينطبق المعدنية تزيل الإلكترونات المترافقمة من خلال شاشة الخرج.

٤.٩.١. مقاس مكثف الصورة:

يتراوح قطر شاشات الدخل لمكثف الصورة من 4 إلى 16إنشاً. إن مكثفات الصورة ذات شاشات الدخل الصغيرة هي سهلة في المناوره وأقل ثمناً.

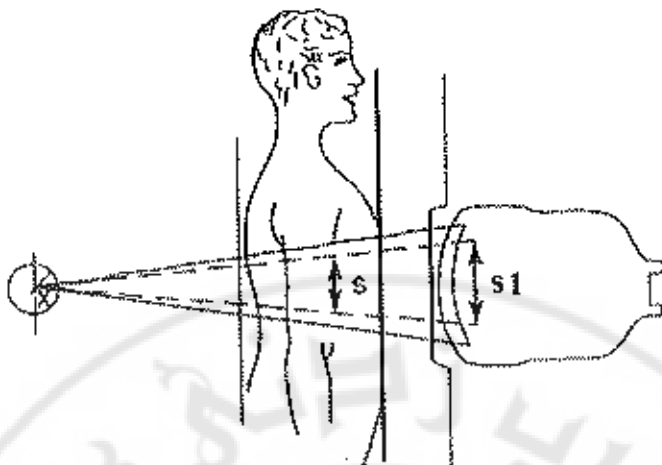
حتى إن مكثف الصورة الصغير له بيكانية تحسين الادقة بسبب إن الالكترونيك الناتجة عن المهدب الضوئي ترتفع بشاشة الخرج بدقة أكبر. على كل حال فإن المنطقة من المريض المغطاة بشاشة الدخل هي محظوظة بمكثف صغير. أما مكثف الصورة الأكبر فهو أعلى ثمناً وأضعف بالمناوره لكن تقدم حقل رؤية أكبر وكذلك فرصة أكبر لنكبير الصورة.

إن قطر شاشة الدخل لمكثف الصورة هو أكبر من قطر المنطقة قيد الدراسة داخل المريض. ففي الشكل (٥٥-١) فإن طول العضو المراد تصويره هو d له طول s_1 على الصورة لشاشة الدخل. فإذا كانت المسافة من هدف أنبوب الأشعة إلى الجسم d ، و l هي المسافة من الهدف إلى شاشة الدخل. وبالتالي يمكن حساب الطول s_1 للعضو للطول الحقيقي s

$$s_1 = s \left(\frac{d}{d-s} \right) \quad 1-29$$

وبالتالي يعرف التضخييم بالعلاقة التالية:

$$M = \frac{s_1}{s} \quad 1-30$$



الشكل (1-55) بين علاقة التضخيم الضوئي .

مثال (1-11):

يتوضع أنبوب أشعة 45 سم تحت طاولة التظير . قطر شاشة الدخل لمكثف الصورة 15 سم وترتفع عن الطاولة 30 سم . ما هو أكبر طول أعظمي S للعضو الذي يمكن احتواه كاملاً على الشاشة؟ ما هو التضخيم للصورة S_1 العضو على ارتفاع 10 سم فوق الطاولة؟

حل المثال (1-11):

$$S_1 = S \left(\frac{d_1}{d} \right)$$

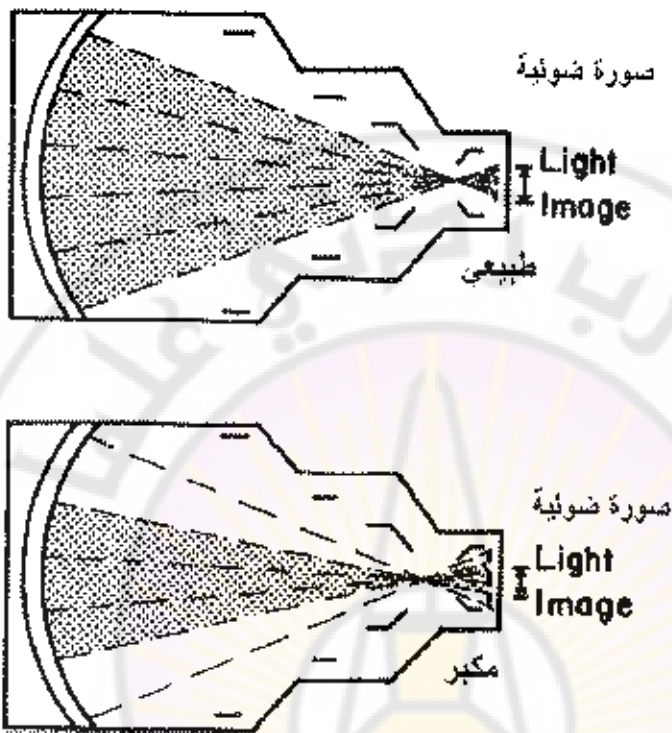
$$S = S_1 \left(\frac{d}{d_1} \right) = \frac{(15\text{cm})(10\text{cm} + 45\text{cm})}{(30\text{cm} + 45\text{cm})} = 11\text{cm}$$

$$M = \frac{S_1}{S} = \frac{15\text{cm}}{11\text{cm}} = 1.36$$

1.9.1.1. مكثفات الصورة ثنائية وثلاثية الحقل:

تسمح العديد من مكثفات الصورة بتكبير الروية لمنطقة المركزية من شاشة الدخل . تدعى مكثفات الصورة هذه **بالمكثفات ثنائية الحقل** إذا تم تجهيزها بإمكانية بنسط تكبير حقل واحد ، كما تدعى بالمكثفات **ثلاثية الحقل** إذا تم تجهيزها بنسط تكبير حقل ثانوي يوضح الشكل (1-56) مكثفات الصورة ثنائية الحقل ، ففي نظام الرؤية الطبيعي ، فإن الإلكترونات من المصعد الضوئي تتركز عند نقطة التقاطع الإلكتروني عند موقع أقرب مما يمكن من شاشة الخرج

وتحسب فقط المنطقة من شاشة الخرج المقطعة بالكاميرا التلفزيونية. وفي هذه الحالة يراقب المشاهد كامل المشهد الذي سقط على شاشة الدخل.



الشكل (1-56) بين علاقة المضخم الضوئي والتكبير الحقل.

وعندما يعمل مكثف الصورة على نمط التكبير تتغير الفولطية المطبقة على أقطاب التكبير ، وتنقارب الإلكترونات للتلاقي عند نقطة تقاطع أبعد من النقطة السابقة. تحت هذا الطرف فإن الإلكترونات المتولدة عن الأطراف من شاشة الدخل ترتفع خارج المنطقة التي تخطها الكاميرا التلفزيونية. وبالتالي تتم فقط رؤية المنطقة المركزية من شاشة الدخل، وترى هذه المنطقة كصورة مكبرة. ففي مكثف الصورة ذي المقاس (9إنش) ثلثي الحقل ، فإن المنطقة المركزية فقط 15 سم (6إنش) من شاشة الدخل يمكن مشاهدتها مكبرة.

إذا تم تغيير فولطية أقطاب التكبير مرة ثانية، فإن الإلكترونات (من المحيط الضوئي) تجبر على التقارب للتلاقي في نقطة تقاطع أبعد من النقطة السابقة عن شاشة الخرج. وبهذه الطريقة يمكن للمشاهد أن يحصل على نمط ثالث من التكبير. يدعى مكثف الصورة ذو نمط

التكبير بمكفت الصورة ثلاثي الحقل، إن العديد من مكفات الصورة ثلاثة الحقل ذات المقاس 22.5 سم تعطينا رؤية للصورة ل كامل مشاشة الدخل، صورة في المركز 15 سم (6إنش) و 11 سم (4.5إنش) لشاشة الدخل خلال الرؤية المكثرة.

في النمط التكبيري، فإن الصورة لشاشة الخرج تنتج فقط من المنطقة الوسطى لشاشة الدخل، بسبب إن عدد أقل من الألكترونات يستخدم لإنتاج الصورة، مما يؤدي إلى تنفس مستوى الإضاءة للصورة ما لم يتم زيادة معدل التعرض لشاشة الدخل. هذا النوع من الزيادة يتم بشكل أوتوماتيكي ما إن يتم التغيير من النمط الطبيعي إلى نمط التكبير.

مثال (1-12):

قدر زيادة معدل التعرض اللازم لإبقاء سطوعية الصورة عندما ينخفض حقل الرؤية لمكفت الصورة من 9إنش إلى 6إنش كفطر.

حل المثال (1-12)

بما إن المسطوعية للصورة تعتمد على مساحة مكفت الصورة فإن الزيادة تقرر بالنسبة بين مربع كل الأقطار:

أي

معدل التعرض لـ 6إنش / معدل التعرض لـ 9إنش

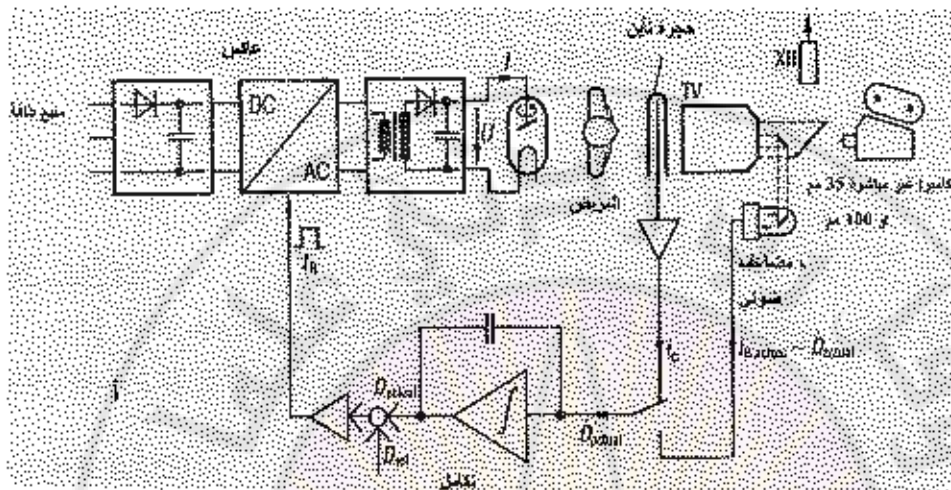
$$\frac{(9 \text{ in})^2}{(6 \text{ in})^2} = \frac{\text{معدل التعرض 6إنش}}{\text{معدل التعرض 9إنش}} = 2.25$$

وبالتالي فإن معدل التعرض يزداد بمعامل 2.25 عندما ينخفض حقل الرؤية من 9 إلى 6إنش.

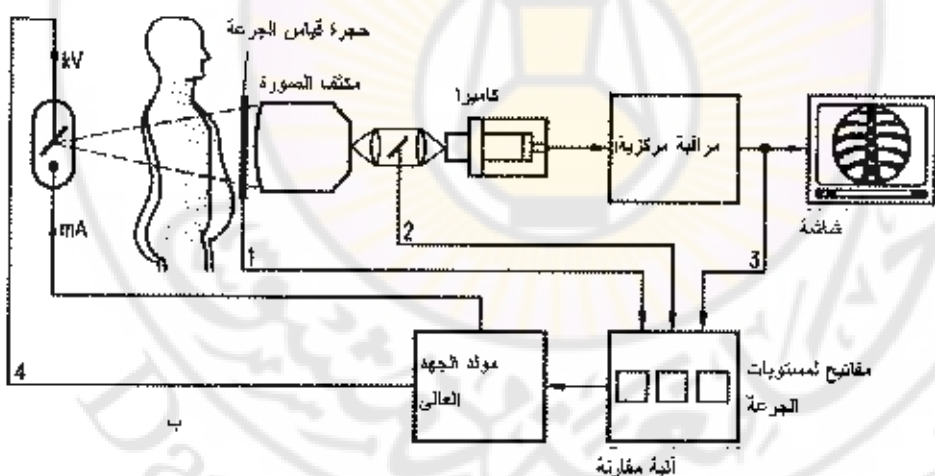
1.9.2. التحكم الآوتوماتيكي بالتلعّب التصويري التظيري:

ت تكون آلية التحكم الآوتوماتيكي بالتلعّب التصويري التظيري من أنابيب مضاعف ضوئي يكون خرجه مرتبط مع مكامل (الشكل 1-57 أ) وبالنهاية مع آلية للتحكم بالفوطة والتيار. ويظهر الشكل الآلات المختلفة المستخدمة في التحكم الآوتوماتيكي بالتلعّب، فيما يتم بوضع حجرة ذاين أمام مكفت الصورة أو يلجم إلى أنابيب مضاعف ضوئي يكون دخله هو جزء من خرج أنابيب مكفت الصورة. إن خرج أي من هاتين العصاين كتيار مقاس يتاسب

مع مشتق الجرعة المطبقة وبالتالي إذا تم تحرير هذه القيم على دارة متكاملة فإن الناتج يعبر عن الجرعة الحقيقية المطبقة وبمقارنتها مع الجرعة المرجعية اللازمة لمثل هذا التصوير يمكن التبيؤ بالزمن اللازم للنبع المطبقة على مولد الأشعة لإنتمام العملية بشكل صحيح.



مريض ثمين أو نحيف ثقب الأشعة



الشكل (1-57) يبين مخطط الآلية : أ- التحكم بالعرض الآليوماتيكي البسيط بـ تصحيح الكثافة البصرية .

الشكل المطور من آلية التحكم الآليوماتيكي بالجرعة لجهاز التصوير التلقائي (الشكل 1-57 ب) بحيث تكون حجرة ثمين (Ionization Chamber) متوضعة بين المريض وعكفت

الصورة كما يوضع مضاعفين ضوئيين الأول بين مكثف الصورة والكاميرا والثاني بين المرآبة المركزية والشاشة وخرج الحساسات الثلاثة يدخل إلى معالج للمقارنة ومن ثم خرج المعالج بذهب ليعدل خرج مولد الفولطية.

يعلم أنبوب المضاعف الضوئي على مبدأ أنبوب المضاعف الإلكتروني، فالتيار المضاعف هو مناسب بشكل مباشر مع معدل الجرعة على دخل الشاشة لمكثف الصورة وبالتالي إلى شدة إضاءة شاشة الخرج لمكثف الصورة.

تتغير تقنية تصوير الأوعية الدموية (Angiography) تشخيصية وكذلك علاجية لجهاز الدوران، يتم تعليم الوعاء قيد الدرامة من خلال حقن مادة ظليلة. ومن ثم يتمأخذ عدة صور شعاعية متتالية لجريان المادة الظلية عبر الوعاء ويتم هذا في جناح القسطرة القلبية أو تنظير الأوعية.

إن الحاجة للمادة الظلية لتعليم البنى الوعائية بسبب أن تباين الصور الشعاعية للدم هي نفسها للأنسجة الرخوة. تتألف المواد الظلية من مركب يحتوي على مادة اليود ($Z=52$) ، وبتركيز لمادة اليود 350 ملغم بالستنتر المكعب. وقد طورت تقنية حديثة تدعى تقطير الأوعية بواسطة الطرح الرقمي (Digital Subtraction Angiography DSA) حيث يتمأخذ صورة لوعاء قبل تغول المادة الظلية عليه (القناع MASK) ومن ثم يتمأخذ لقطات لوعاء بعد امتنانه، يتم طرح الصورة الجديدة من القناع، مما يؤدي إلى حذف العناصر التشريحية الثابتة من الصورة (أي زيادة التباين). والمهدى من هذه التقنية كشف التضيقات بعينة وضع شبكات وعائية.

تتطلب أنظمة تصوير الأوعية نظام أشعة سينية عالي الطاقة لستطيع توليد نبضات أشعة سينية قصيرة ومركزة كي تستطيع إنتاج صور للأوعية المتحركة. زمن التصوير من 100 إلى 200 ملي ثانية للدراسات الدماغية ومن 1 إلى 10 ملي ثانية للدراسات القلبية. يستخدم لهذا الغرض مولدات عالية التردد متوسطة بطاقة بين 80-100 كيلو واط ويجب أن تكون قادرة على توليد نبضات مربعة الشكل بعرض 5 ملي ثانية أو أكبر لإبقاء أنبوب الأشعة بجهد بين 70-90 كيلو فولط.

كما يجب أن تكون المسافة الحرارية لأنبوب الأشعة بحدود 1 ميغا وحدة حرارية أو أكبر، ويفضل نظام التبريد بالسوائل لأنبوب ومقاسات البقع المحرقة 0.6 و 1.2 مم ويفضل المقاسات الصغيرة 0.3 و 1.0 مم للدراسات ذات النفق الحرية العالية.

أما التطبيق الآخر المستخدم في التصوير القلبي فهو التصوير الشعاعي السينمائي (Cineradiography) وذلك باستخدام كاميرا تصوير متحركة مقاس 35 مم مربوطة بصرياً مع خرج مختلف الصورة (الشكل 1-58).

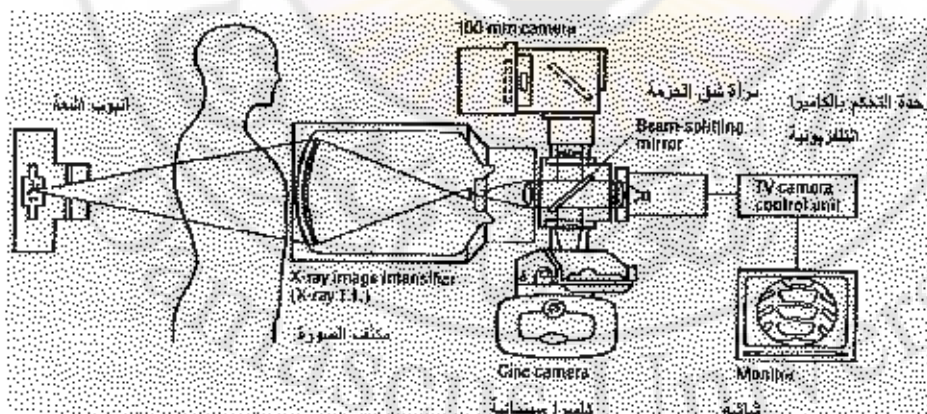
والتطبيق الأساسي لهذه التقنية هو تصوير الأوعية التاجية والبطينات. وخلال هذه التقنية يتم توثيق نبضات الأشعة السينية مع فتح مغلق الكاميرا السينمائية. وللحذر من الضبابية المنسوبة من الحركة فإنه من المرغوب به إبقاء نبضات الأشعة قصيرة قدر الإمكان بحيث لا تزيد عن 10 ملي ثانية.

يتم التصوير خلال فترة 5-10 ثانية وبمعدل 30-60 إطار بالثانية.

تستخدم مخطوطات معدل التصوير السيني السينمائي لتمرير الستطاعة الاعظمة المسماو بها من نبضة الأشعة، أو تمرير الزمن بالثانية من خلال استطاعة محددة لإجراء تصوير سينمائي. لذلك لا بد من توضيح بعض التعريفات الازمة لذلك:

الزمن بالثانية: هو الزمن الكلي للتصوير السينمائي وعادة بين 5 إلى 10 ثانية.

معامل المهمة (DF%) (Duty Factor in Percent) وهو الزمن الفعلي لأنبوب الأشعة الذي تنتج فيه أشعة خلال ثانية واحدة. فإذا اخترنا نبضة عرضها 4 ملي ثانية مع عدد تعرضات قدرها 60 بالثانية فإن أنبوب الأشعة سوف يعمل بمجموع 240 ملي ثانية كل ثانية أي 24 % من الزمن. وكلما كبر معامل المهمة كلما زاد الحمل على أنبوب الأشعة. كما أنه ينبع عن طاقة النبضة العظمى وتقدر بـ 10 واط وهي الطاقة العظمى لكل نبضة سينمائية.



الشكل 1-58) يبين مخطط جهاز التصوير الشعاعي ودارة التصوير السينمائي وكذلك تصوير الأوعية.

على سبيل المثال 80 كيلو فولط عند 400 ملي أمبير يساوي: 32000 واط او 32 كيلو واط.

مثال (13-1): قرر الحمولة الأعظمية المسموح بها بالكيلو واط للمعاملات المعروفة التالية:

عرض النبضة الأعظمي: 4 ملي ثانية.

عدد التعرضات بالثانية 60. و زمن إجراء التصوير الميداني 10 ثواني.

حل المثال (13-1):

نحسب معامل المهمة:

$$DF \% = \frac{Pulse Width (mSec) \times Frames Per Second}{10} \quad 1-31$$

$$DF \% = \frac{4 msec \times 60 exp/sec}{10} = \frac{240}{10} = 24\%$$

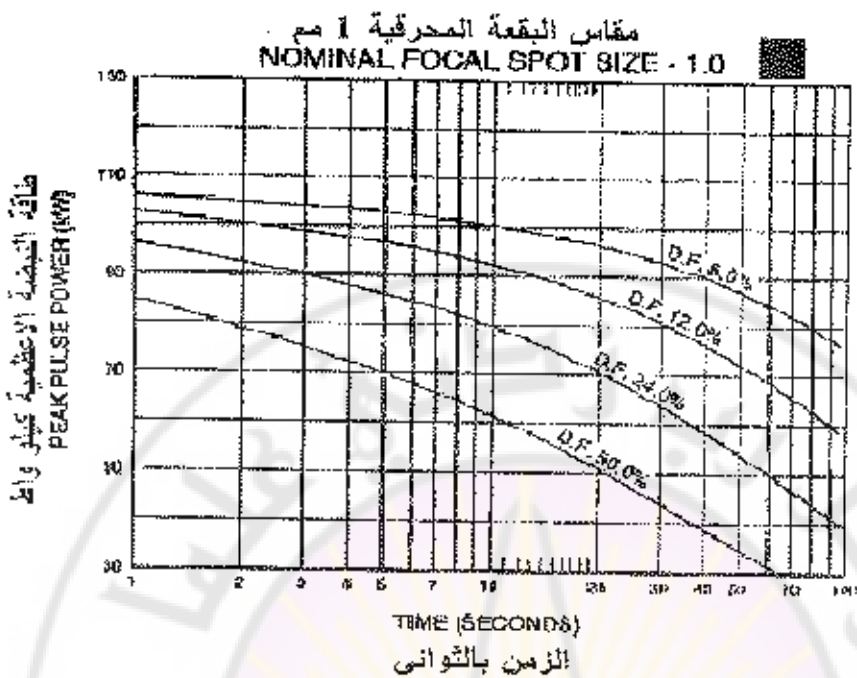
بالعودة للمنحنى بالشكل (1-59) وي اختيار خط ا - 10 ثواني. نتحرك شاقوليًا مع منحنى معامل المهمة 24%. نعود أفقاً إلى اليسار ونجد أنه يمكن استخدام 80 كيلو واط.

أما من جهة استخدام مخططات تصوير الشرابين فإن حقيقة تصوير الشرابين يضع حمولة حرارية كبيرة على التربوب الأشعة وذلك تبعاً للعدد الكبير من التعرضات (التصوير) وبنطلي سريع. حتى أن الفواصل الزمنية بينها قصير جداً وتابت لدرجة إنه لا يستطيع لمسار المصعد أن يبرد إلى أي درجة خلال التعرضات المتتالية، مما أدى إلى التلفير المسبق لقيم الاستطاعة المستخدمة لمنع المصعد من التأرجب.

كما ان لهذه التطبيقات مصطلحات منها:

عدد الصور المتتالية: عدد الصور المانقطة خلال حقن جرعة مادة ظليلة واحدة.

معدل التصوير: عدد الصور المأخوذة خلال ثانية واحدة. وعندما يتغير معدل التصوير فيجبأخذ المعدل الأعظمي على سبيل المثال اذا تم التصوير 10 صور خلال ثانية و40 صورة خلال 4 أربع ثواني فستستخدم معدلات الكيلو واط عند 40 صورة بالثانية عند عمود 4 ثواني كمعدل.



الشكل (٥٩-١) يبين خطوط علاقة طالة البقعة مع الزمن ومعامل المهمة .

زمن الصورة: هو الزمن بالثانية لكل صورة .

مثال (١-١٤) :

إذا كان لدينا أنابيب أشعة ثلاثي الطور ذو بقعة محرقة ١ مم فقر الاستطاعة المسموحة بها بالمعاملات التالية:

- ١- عدد الصور الاعظمي ٤٠.
- ٢- زمن الصورة ٥٠ ملي ثانية.
- ٣- عدد الصور بالثانية ٤ .

حل المثال (١-١٤)

من الجدول رقم (١-٥) نجد منطقة ٤٠ وعلى اليسار مباشرة من المنطقة وتحت معدل الصور بالثانية نختار ٤ صور بالثانية. نجد ٠.٠٥ ثانية أعلى الخط. بتناطع كل من خط ومعدل التصوير مع زمن التصوير. نجد أن الاستطاعة هي ٧٧.٤ كيلو واط.

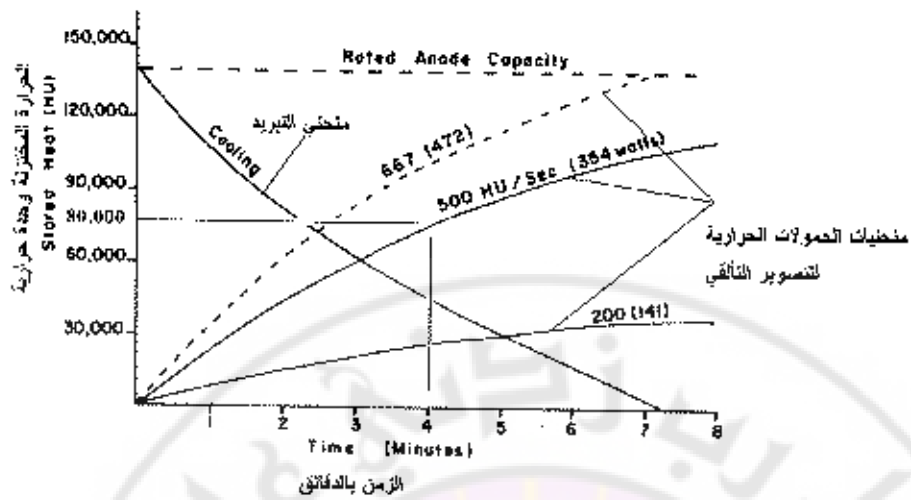
الجدول رقم (1-5) يبين علاقة بين عدد الصور بالثانية مع زمن النبضة وعدد الصور المتسلسلة لإيجاد الاستطاعة الممكن استخدامها

EXPOSING RATE PER SECOND	TUBE LOAD (KV) AS A FUNCTION OF THE EXPOSURE TIME (SEC.) OF THE INDIVIDUAL RADIOPHOTOGRAPHS OF THE SERIES												NUMBER OF EXPOSURES IN SERIES		
	0.010	0.020	0.030	0.040	0.050	0.060	0.100	0.120	0.140	0.160	0.180	0.200	0.225	0.250	
1	104.9	100.7	97.5	94.9	92.6	90.5	86.9	83.7	81.0	78.5	76.2	74.1	72.2	70.0	68.0
2	104.4	99.6	96.1	93.1	90.4	88.1	84.0	80.4	77.3	74.6	72.1	69.0	67.7	65.4	63.2
3	103.8	98.6	95.7	91.4	88.5	85.9	81.4	77.5	74.2	71.2	68.6	66.2	—	—	10
4	103.4	97.8	93.6	90.0	86.8	84.6	79.1	74.9	71.4	68.3	—	—	—	—	
8	101.8	95.1	89.8	85.4	81.6	78.3	—	—	—	—	—	—	—	—	
15	99.8	91.7	85.4	80.1	—	—	—	—	—	—	—	—	—	—	
30	97.3	87.4	—	—	—	—	—	—	—	—	—	—	—	—	
1	104.2	99.3	95.3	92.4	89.6	87.1	82.7	79.0	75.7	72.7	70.1	67.7	65.4	62.9	60.5
2	103.5	98.0	93.8	90.2	87.1	84.3	79.4	75.3	71.7	68.5	65.7	63.1	60.8	58.1	55.0
3	102.8	96.8	92.1	88.2	84.8	81.7	76.5	72.0	68.2	64.9	62.0	59.3	—	—	20
4	102.2	95.7	90.7	88.5	85.8	82.5	75.9	71.9	67.2	64.2	—	—	—	—	
8	100.1	92.2	86.8	80.9	76.5	72.7	—	—	—	—	—	—	—	—	
15	97.3	87.5	80.1	74.1	—	—	—	—	—	—	—	—	—	—	
30	93.1	81.0	—	—	—	—	—	—	—	—	—	—	—	—	
1	102.8	96.8	92.1	88.1	84.7	81.6	76.2	71.6	67.7	64.3	61.2	58.4	55.9	53.2	50.7
2	101.9	95.3	90.1	85.8	82.0	78.6	72.8	68.0	63.8	60.1	57.1	54.3	51.8	49.0	46.3
3	101.1	93.9	88.3	83.6	79.3	75.9	69.8	64.8	60.5	56.9	53.7	50.9	—	—	40
4	100.4	92.7	86.7	81.7	77.4	73.6	67.2	61.9	57.6	53.0	—	—	—	—	
8	97.9	88.6	81.4	75.5	70.5	66.3	—	—	—	—	—	—	—	—	
15	94.4	83.0	74.5	67.8	—	—	—	—	—	—	—	—	—	—	
30	88.9	76.9	—	—	—	—	—	—	—	—	—	—	—	—	

1.9.3. استخدام مخططات التحميل الحراري والتبريد لعملية التصوير التظيري:
 كما سبق وتوهنا إيه في كل مرة يتم استخدام الجهاز في التصوير الشعاعي التقليدي فإن كمية من الحرارة في الأنابيب تولد وتترافق مع ما هو متبقى من حرارة لم تزد بعد، وكذلك الحال فإن التصوير التظيري يراكم كمية من الحرارة تتناسب مع الفولطية المطبقة والتيار المدار في الأنابيب وكذلك الفترة الزمنية التي يتم تطبيق البارامترات السابقة فيها، ولشرح هذا الموضوع نعمد إلى المثال التالي.

مثال(1-15):

يفرض أن هناك تعرضات (قططات) لمدة أربعة دقائق بتصوير تلقائي ببارامترات 100 كيلو فولط و 5 مليـ أمبير لأنابيب جهاز أشعة ذي مولد أحادي الطور ذي قدرة (سعة) تخزين حرارية قدرها 140,000 وحدة . هل يمكن القيام بالتقاط صورة شعاعية ذات بارامترات عند $82 KV_p$ و $300 mAs$ ؟



الشكل (٦٠-١) يبين منحني التبريد والتحميم الحراري لمصدر أشعة مع الزمن للمعدل رقم

حل المثال (١٥-١):

بالعودة لمنحنى تبريد المصعد للأنبوب الشكل (٦٠-١) وبملاحظة أن الحرارة المختزنة في مصعد الأنبوب بعد استخدام الجهاز لمدة ٤ دقائق للقيام بتوصير تظريي من خلال استخدام المنحنى :

$$100 \text{ KVp} \times 5 \text{ mA} = 500 \text{ HU/Sec}$$

بمقاطعة الزمن المذكور ٤ دقائق مع المنحنى المذكور نجد أن الحرارة المختزنة في المصعد هي بحدود 80,000 وحدة حرارية.

نقوم الآن بإضافة الحرارة المتوقع تولدها من التصوير المباشر إلى القيمة السابقة فنجد أن المجموع هو :

$$80,000 + 24,600 - 104,600 = 140,000 \text{ و هو أصغر من } 140,000 \text{ وبالتالي يمكن الضلوع بالتصوير دون أي انتظار.}$$

١.١٠. جهاز الأشعة التقال (Mobile X-ray) :

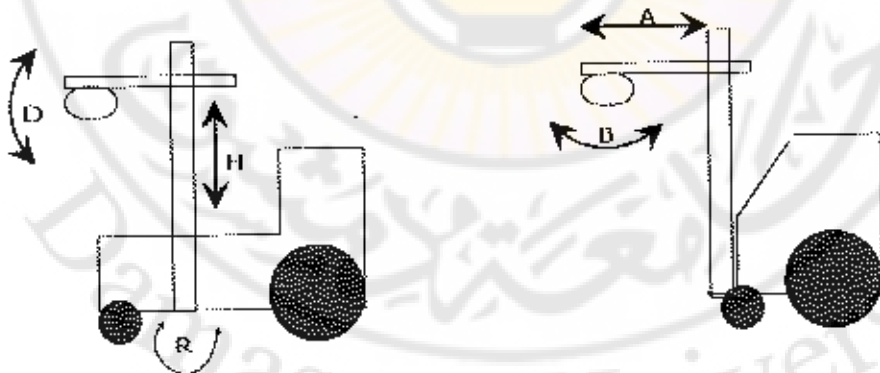
تستخدم هذه الأجهزة لتصوير المرضى الموجودين في غرفهم ويكون من الصعب نقلهم لقسم الأشعة نتيجة مرضهم الشديد أو ارتباطهم بالأسرة بأجهزة شد عظمية أو خلال عملية جراحية.

وهناك ثلاثة أنواع من أجهزة الأشعة التقالة تبعاً للطاقة التي تنتجها:

- منخفضة الطاقة: تعمل عند تيار أقصى 10-30 ملي أمبير وب مجال $90-40 KV_p$.
- متوسطة الطاقة: تعمل عند تيار أقصى 50-60 ملي أمبير عند فولطية عظمى KV_p 90 أو 100-150 ملي أمبير عند فولطية عظمى KV_p أو 40-50 ملي أمبير عند فولطية عظمى KV_p 120.
- عالية الطاقة: تعمل عند تيار أقصى 300 ملي أمبير عند فولطية عظمى $125 KV_p$.

ويتألف الجهاز (الشكل 1-61 والشكل 1-62) من مولد الطاقة الذي يتحرك على قاعدة بعجلات كبيرة وهناك مساعد يعلق عليه أنبوب الأشعة مع المسند. ولسهولة المناورة والتصوير يفضل أن يتحقق الجهاز للحركات التالية:

- الدوران حول مركز العمود (R).
- الحركة العرضية لامتداد الذراع الحامل لرأس الأنابيب بعيداً عن مركز العمود (A).
- الدوران حول محور الذراع العرضي (D).
- التزاوي عبر المحور الطولي لرأس الأنابيب (B).
- الحركة الشاقولية للأعلى والأسفل على العمود الرئيسي (H).



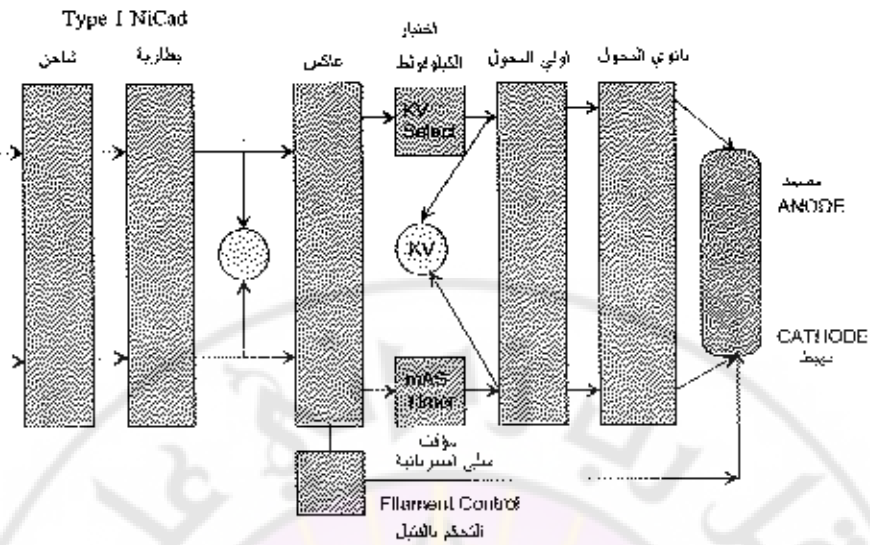
الشكل (1-61) يبين مخطط تفصيلي للحركات التي يقوم بها جهاز التصوير الشعاعي المتنقل.



الشكل (62-1) بين صور جهاز التصوير الشعاعي النقال.

كما تصنف أجهزة التصوير الشعاعية النقالة بـأطبيعة منبع التغذية التي تزود به فئتها التي تحصل على طاقتها من بطاريات (Battery Powered) ومنها ما تستخدم المكباتات لتخزين الشحنة وتفرغها في دارة توليد الموجة اللازمة (Capacitor Discharge).

وفي النموذج العامل بالبطارية الشكل (63-1) تستخدم عموماً بطارياتnickel Cadmium (Type I NiCad) وهذا لا يحتاج للثبار الكهربائي إلا لشحن البطاريات فقط وعادة ما يحتاج الجهاز لنظام تحكم بتعديل انخفاض فولطية البطاريات خلال الاستخدام، لأن هذه البطاريات لها قيمة صغيرة جداً لانخفاض الفولطية خلال الاستخدام العادي. يتم تحويل التيار المستمر المزود من البطاريات 130 أو 220 فولت وبتيار 10000 ملي أمبير ثانية إلى فولطية متناوبة تذهب باتجاه محول رافع الجهد يعمل على تردد 500 هرتز. يتم تقييم التذبذب إلى أقل من 5% من خلال مكثف تتعيم متواضع في الدارة الثانوية. أما المؤقت الزمني فيتم التحكم به من خلال مراقبة الموجة ذات 500 هرتز واستخدام جزء من هذا التواتر يصل إلى 0.001 ثانية. يكون التيار العامل ثابت عند 100 ملي أمبير. ويكون الأنابيب عادة مزدوج الن نقاط المحرقية. وللجهاز استطاعة اسمية 10 كيلو واط.



الشكل (٦٣-١) يبين مخطط تغذية لجهاز التصوير الشعاعي التقال المعتمد على البطاريات التي تغذى.

عادة ما تحتاج البطاريات المستخدمة إلى عزلية وصيانة، فإذا ما ثمت صيانتها بشكل جيد فإنها تظل محتظة بحياة عملها الكامل لمدة سنتين:

(١) يجب أن تظل الوحدة موصولة على التغذية الكهربائية ٢٢٠ فولت:

- a. كل ليلة.
- b. خلال عطل نهاية الأسبوع.
- c. بكل وقت لا تكون فيه الوحدة عاملة.

عندما تشحن بشكل كامل يضيء ضوء (على غطاء البطارية) والذي يشير إلى اكتمال شحن البطارية.

(٢) يجب تفحص مستوى الحسوض كل أسبوعين، وفي حال انخفاضه إضافة الماء المقطر.

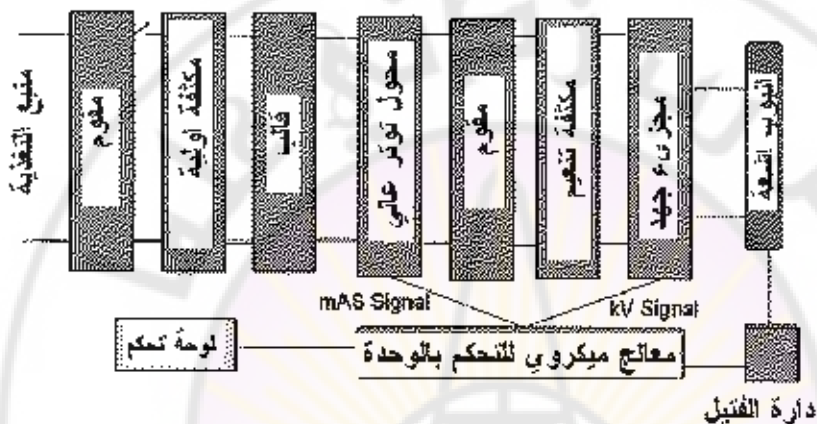
أما النموذج المعموي (Type 2 Primary Capacitor) (الشكل ٦٤-١) (الشكل ٦٤-١) عادة ما يكون الجهاز ذو استطاعة عالية ومعقد التصميم. تخزن طاقة التصوير في سعة كبيرة أولية والتي تشحن من منبع التغذية. يقوم العاكس (القاب) (Inverter) بتحويل خرج المستمر للتيار من المكثفة والتي تشحن بين نقطات التصوير إلى قيام متناوب ٤.٥ كيلو هرتز مزوداً مولد الأشعة من خلال محول ذي توتر عالي.

لمثل هذه الوحدات ميزات كونها قادرة على تخزين القدرة الكهربائية (الطاقة) على شكل مسحون كهربائية لاستخدامها في التصوير لاحقاً. لذلك يمكن استخدام هذا الجهاز في:

- الأماكن التي لا يتوفر فيها تغذية كهربائية.

- الأماكن التي لا تحتوي طاقة كهربائية كافية لتشغيل الجهاز بشكل مباشر.

- الأماكن التي تعاني الفولطية من انخفاض في قيمها.



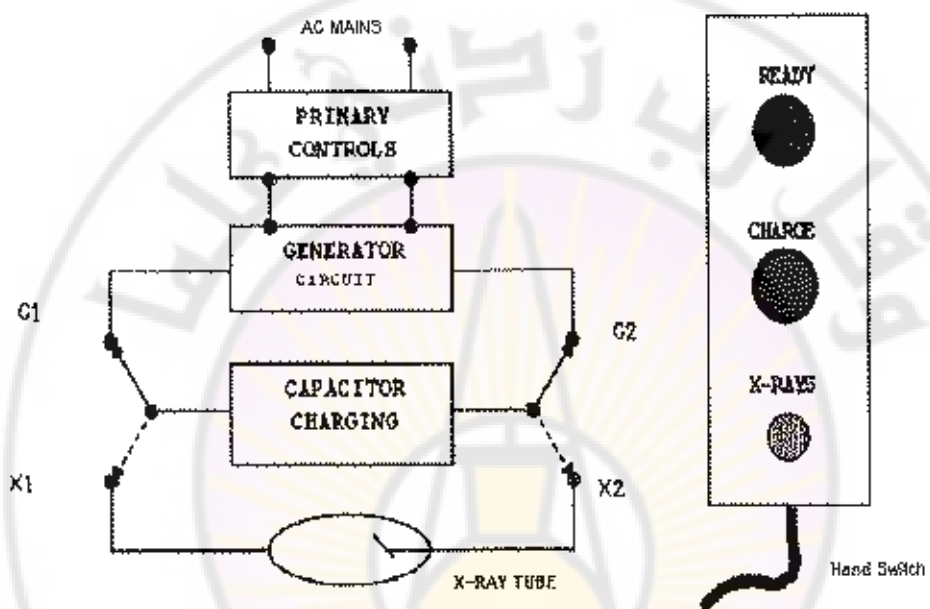
الشكل (١-٦٤) يبيّن مخطط تغليي جهاز التصوير الشعاعي المقال المعتمد على مكثفات لشحنه.

وبالتالي فإن للوحدة ميزة تزويد خرج أشعة عالي (عادة ميلي أمبير عالي) وبالتالي أ زمنة تعرض أصغر، وهي بسيطة في التشغيل. وعادة ما يكون منبع طاقة الدخل هو 240 فولت أحادي الطور أو 110 فولت أحادي الطور، ويمكن أن تعمل عند فولطيات أقل من 240 فولت، على سبيل المثال 220، 220، 110، 100، 90، 80، 60 فولت إلخ (إي تعمل بالرغم من تذبذب منبع الطاقة)، وليس لها جهاز مؤقت نظراً لكون الاختيار أو التحكم فقط سیتم mAs و kVp . وبقرينة المكثفة تتحفصن mAs و كذلك kVp .

تعمل وحدة التفريغ السعوي المتحركة على مبدأ استخدام دائرة خاصة لشحن المكثفة إلى مستوى الكيلو فولطية المطلوب. وتكون المكثفة في هذه الحالة (وليس المحول ذو الجهد العالي كما هو الحال في وحدات التصوير الشعاعية التقليدية) هي المنبع الرئيسي للقدرة. بالضغط على زر التصوير (الشكل ١-٦٥) تفصل المكثفة عن دائرة الشحن وترتبط بأتوب الأشعة لتنتج اللقطة.

إن تفريغ المكثفة عبر أنبوب الأشعة ينتج للصورة mAs .

بالضغط على زر الشحن على لوحة التصوير، فإن المكثف سوف تشحن من خلال متبع التوتر العالي عند المفاتيح C1 و C2. عندما تصل قيمة kVp إلى القيمة المطلوبة (والتي تم اختيارها من منصة التحكم)، فإن آلية الشحن تتوقف أوتوماتيكياً وبطيء ضوء أحضر مشيراً إلى حالة الاستعداد.إن شحن المكثف من 0 إلى 60 kVp يأخذ 5 ثوانٍ فقط لينتهي بينما يتطلب 15 ثانية ليشحن 0 إلى 100 kVp.



الشكل (٤-١) بين مخطط تبليغي لعمل جهاز التحكم المستخدم في جهاز التصوير الشعاعي النقال المعتمد على مكثفات تشندر.

عندما يبدأ التصوير بالضغط على زر التعرض ، فإن المكثف سوف توصل للأثير الأشعية عند النقاط X1 و X2 للقيام بالتصوير. بالإضافة إلى المقومات ذات الحالة الصلبة (نموذج سيلينيوم) فإن عمل المكثفة الشاحنة هو :

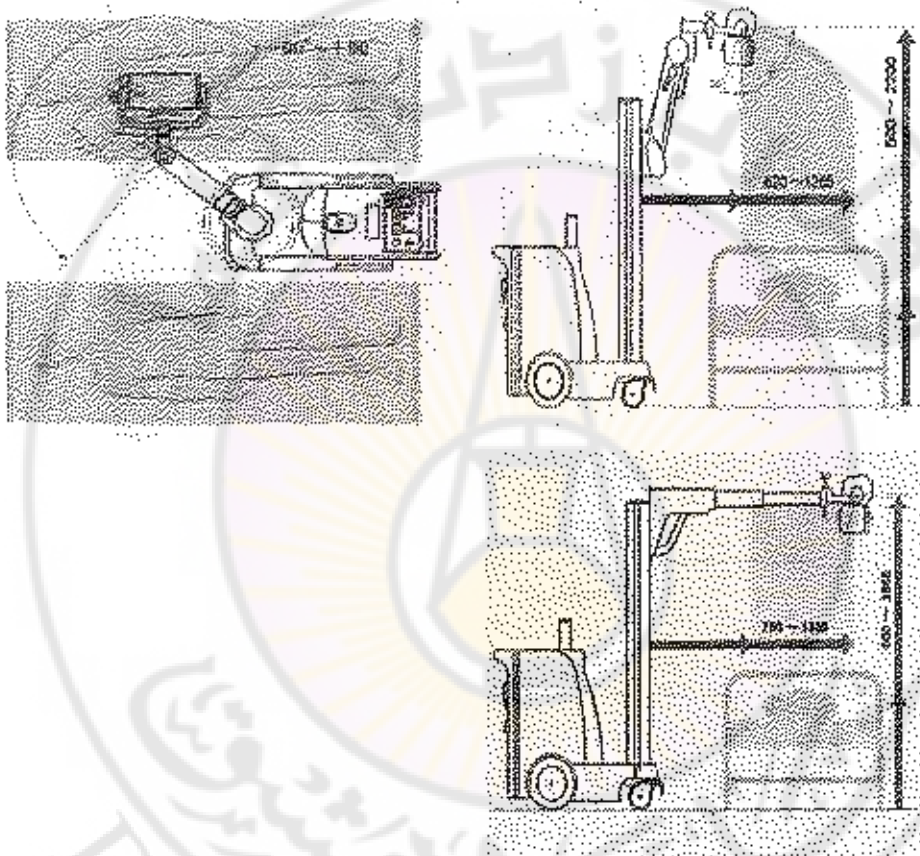
- 1 - جهاز تخزين للقدرة (الطاقة).
- 2 - مضاعف للفولطية (KV).

وبالتالي خلافاً لأجهزة التصوير التقليدية فإن وحدة التفريغ السعوي ويكون محول التوتر العالي ذا حجم صغير وبالتالي يمكن أن يكون جزء من دارة مدمجة مع الأثير فيما يدعى Mono-block أي لها ميزات إيجابية:

١- توفير المكان.

٢- أقل ثقلًا وضخامة.

نلاحظ من الشكل (١-٦٦) قدرة جهاز الإشعة التقال على المناورة بعدة اتجاهات وسهيل وضعيات تصوير مختلفة.

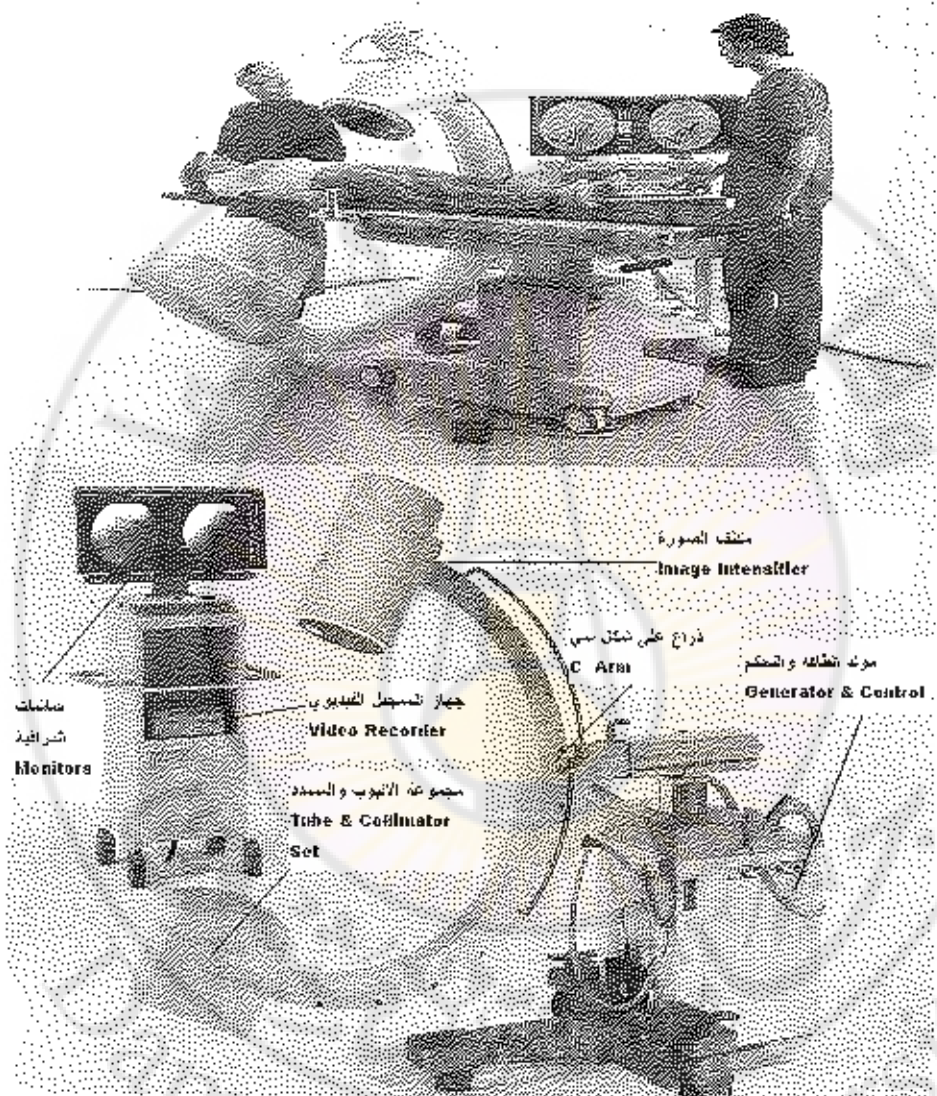


الشكل (١-٦٦) بين خططاً لأبعاد مجالات حرارة جهاز التصوير الشعاعي التقال.

١.١١. جهاز التصوير الشعاعي التقال التقطيري القوسى (C-Arm Mobile):

وهو جهاز تصوير شعاعي يعتمد مبدأ التصوير التقطيري يمكن تحريكه بين غرف العمليات، وكما نرى من الشكل (١-٦٧) له ذراع على شكل حرف (C) يحمل مجموعة مكثف

الصورة في جهة والأتيوب مع المسدود في جهة أخرى. والغاية من هذا الشكل القوسى أن يتمكن المستخدم من زلق الجهاز بحيث يمكن أن يتوضع بشكل يغطي الجهة والجهة المقابلة من المنطقة المراد تصويرها.



الشكل (٦-٦٧) بين خطوط لأجزاء جهاز التصوير الشعاعي القوسى:

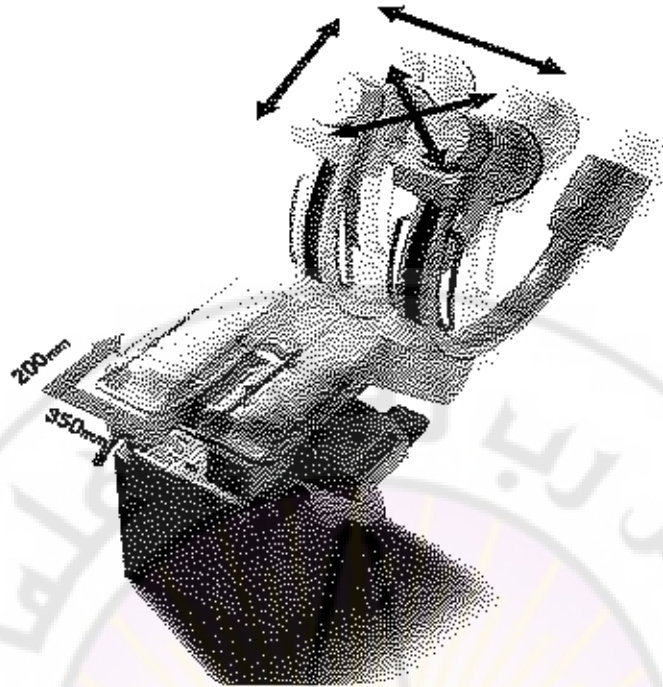
- 1- في الأعلى كيف يتوضع الجهاز بالنسبة لطاولة العمليات
- 2- أجزاء الجهاز.

- يتكون الجهاز من الأجزاء التالية:
- a. أنبوب الأشعة (X-Ray Tube)
 - b. المسنن (Collimator)
 - c. مكثف الصورة (Image Intensifier)
 - d. الدارع الحامل القوسى (C-Arm) لكل من الأنابيب والمسنن في جهة ومكثف الصورة بجهة أخرى.
 - e. مولد الطاقة والتحكم (Generator & Control)
 - f. شاشات المراقبة (Monitors)
 - g. جهاز التسجيل الفيديو (Video Recorder).
 - h. جهاز للتحكم عن بعد (Remote Control Unit).
 - i. عربة حاملة لكل من مجموعة الأنابيب ومكثف الصورة والمولد والذراع.

يستخدم الجهاز في عدة أماكن:

غرف العمليات عندما يكون هناك حاجة لمشاهدة صور مستمرة كما في حالة العمليات العظمية أو غرف تقويم الحصيات.

يبين الشكل (1-68) اتجاهات الحركات الميكانيكية التي يفترض أن يتمتع بها جهاز التصوير الشعاعي النقال التظيري القوسى، وكذلك محدودياتها.



الشكل (٦٨-١) يبين مخطط مجال حركة جهاز التصوير الشعاعي الفوسي.

١.١٢. التصوير الشعاعي السنوي (Dental X-ray)

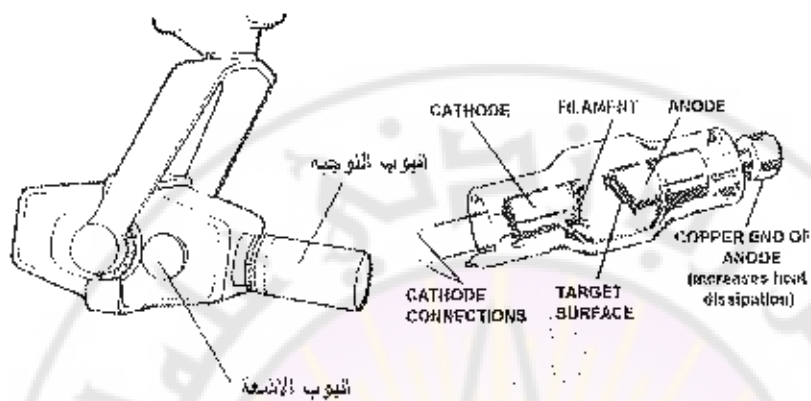
يحتاج طبيب الأسنان لتصوير المرضى المرجعين لعدة أسباب أهمها:

- a. التixer بين الأسنان و حول الحشوات القيمة
 - b. خسارة العظم المتسببة من خلل أمراض اللثة.
 - c. الالتهابات العظمية والخلل في البنية.
 - d. الأسنان التي تكون مغمورة تحت اللثة مثل أسنان الحكمة (العقل).
 - e. جذور الأسنان الطويلة والتي تحتاج عملية خاصة مثل قناء الجذر (Root Canal).
 - f. اضطراب المفاصل الصدغية {Tempromandibular Joint disorder}
- ولتحقيق هذه الأهداف فإن هناك نوعين من أجهزة التصوير الشعاعية التي تساعد في ذلك:
- التصوير الشعاعي السنوي (Dental X-ray Unit) والذي يكشف التixer بين الأسنان أو تصوير مجموعة من الأسنان أي تتركز مهمته في منطقة محددة من الفم.

ويتألف جهاز التصوير السيني البسيط الموجود عادة داخل العيادة المتنية من الأجزاء التالية (الأشكال رقم 1-69، 1-70، 1-71) :

أنبوب الأشعة داخل بيت محجب.

- أنبوب التوجيه.

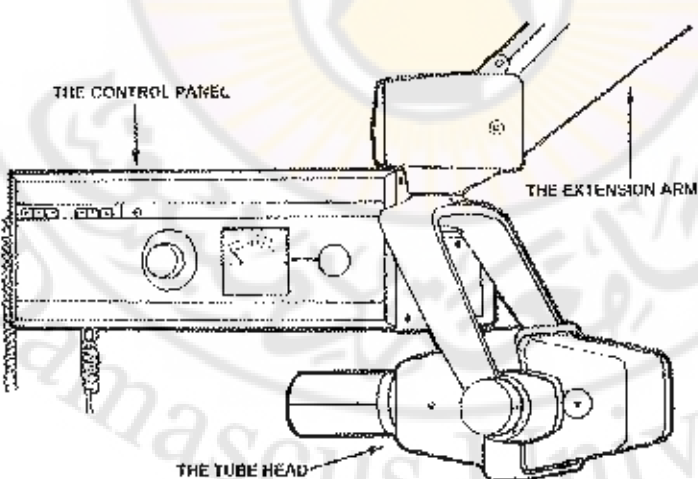


الشكل (1-69) يبين أجزاء أنبوب ومجهاز التصوير الشعاعي السيني:

- ذراع من قابل للمد والذي يرتبط به أنبوب الأشعة.

- لوحة التحكم.

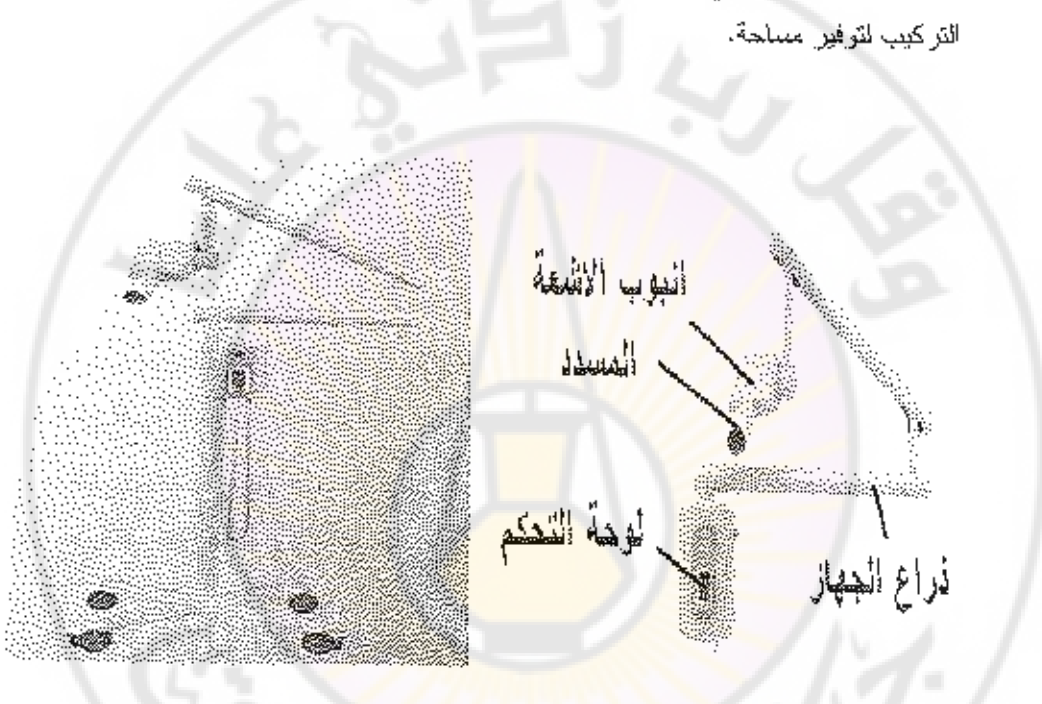
- لوحة التحكم عن بعد بالتصوير.



الشكل (1-70) يبين أجزاء التصوير الشعاعي السيني:

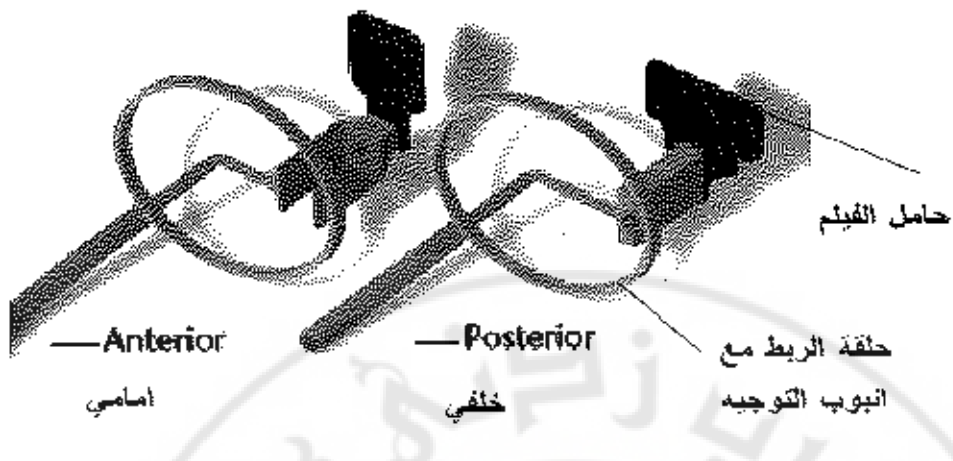
وعادةً ما يكون المصدع من النوع الثابت لهذا الجهاز كما يتم استخدام مبدأ شبكة التحكم لتحديد حزمه الإلكترونات الصادرة عن المهبط وبالتالي تحديد دقة حزمه الأشعة السينية الصادرة نظراً لصغر الحقل قيد التصوير.

وعادةً ما يكون الجهاز حائطي التركيب أو متعرجاً على عجلات كما في الشكل والفرق بينهما كون الثاني يمكن نقله من مكان إلى آخر وهو جيد عندما يكون هناك عدة عيادات فتشارك بين بعضها في جهاز واحد، أما في حال عيادة واحدة فالأفضل استخدام الحائطي التركيب لتوفير مساحة.



الشكل (١-٧١) يبين جهاز التصوير الشعاعي السنخي الجناري والمتحرك على قاعدة.

وهناك طريقتان لحمل فيلم الأشعة إما باستخدام حوامل الأفلام (Film holders) (الشكل (١-٧٢)) بحيث تدخل الحلقة الخاصة بحامل الأفلام مع أنبوب توجيه الأنابيب (الأشعة)



الشكل (1-72) بين حوامل الفلام جهاز تصوير الشعاعي السنوي المخارجية.

وعادة ما يطلب من المريض إدخال حامل الفيلم داخل فمه بحيث يتوضع إما أمام أو خلف السن المراد تصويره حسب توضع أنبوب الأشعة (الشكل 1-73).

الطريقة الثانية لحمل فيلم التصوير هو ما يدعى الأجنحة المعرضة (Bitewings) وعادة ما يطلب من المريض إدخالها بشكل كامل إلى فمه حيث يضع على الجناح



الشكل (١-٧٣) يبي حوامل أفلام جهاز التصوير الشعاعي السنوي الداخلية

١.١.٣. جهاز التصوير البانورامي السنوي (Dental Panoramic):

جهاز البانوراما السنوية هو جهاز يعتمد على أشعة X في تصوير الفك والأسنان المتعلقة به، بحيث يؤمن لطبيب الأسنان للاحظه توزع جميع الأسنان على الفك، و ذلك على فلم خاص بهذا الجهاز. وهذا التصوير يؤمن التفاصيل العامة للأسنان وتوزعها. يمكن أن تتم عملية التصوير البانورامية على المريض إما واقفاً أو جالساً أو مستلقاً، ولكن الأكثر انتشاراً هو عملية التصوير واقفاً. وفي جميع هذه الحالات تأخذ جميع الشركات المصنعة احتياطاتها بحيث تسعد المريض على تثبيت رأسه أثناء دوران لالتقط الصورة حول رأس المريض.

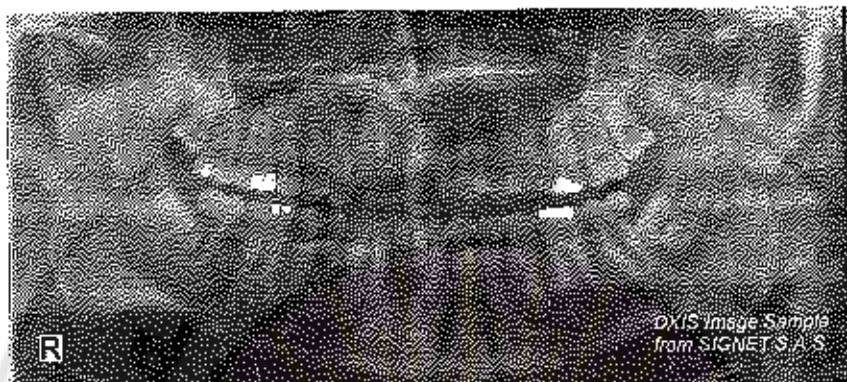
وعادة ما تكون أجزاء الجهاز (الشكل (١-٧٤)) هي:

- ١- أنبوب الأشعة.
- ٢- حامل كاسيت الأفلام أو الحساس الرقمي (وكلاب الأنابيب وحامل الكاميرات مركبة على قطرة واحدة بحيث يدوران مع بعضهما البعض).
- ٣- القطعة الفموية لثبت الفك.
- ٤- منادات تثبيت الرأس.
- ٥- لوحة التحكم على الجهاز.
- ٦- مرآة صغيرة.



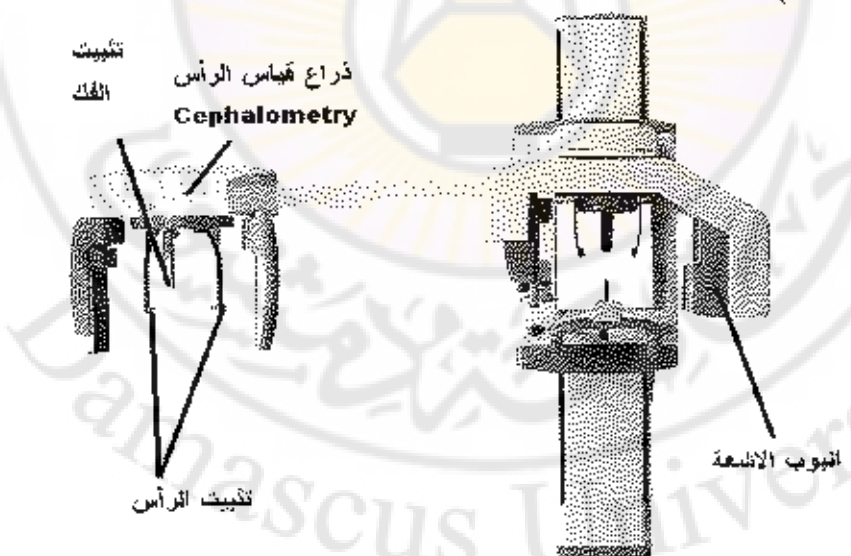
الشكل (١-٧٤) بين أجزاء جهاز التصوير الشعاعي البانورامي

وتتربع الصورة من خلال دوران منبع الأشعة مع الفيلم على عدة وضعيات بحيث يتم تعریض جزء صغير من الفيلم كل مرة يتم فيها التصوير وحجب الجزء الباقي للتباين للقطات على الأجزاء التي لم تتعرض سابقاً حتى ينهي الأنابيب دورانه بزاوية محددة متوجهاً الصورة حسب الشكل (١-٧٥)

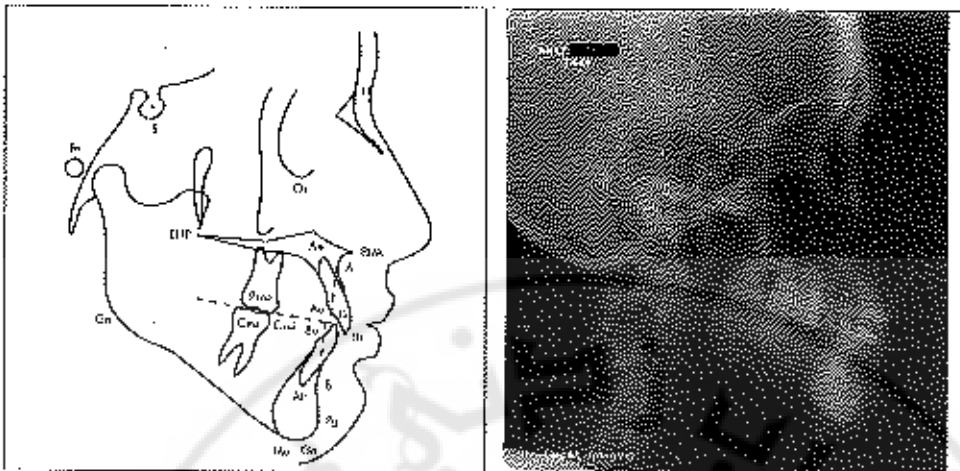


الشكل (١-٧٥) يبيّن الصورة الشعاعية الناتجة عن جهاز التصوير الشعاعي البانورامي

يتم إضافة جزء على جهاز البانوراما بحيث يصبح الجهاز قادرًا على إنتاج صورة جانبية للفك (Cephalometry) وذلك ليتمكن المختص من إجراء عدة فحوص فيما يتعلق بالفك (الشكل ١-٧٦).



الشكل (١-٧٦) يبيّن جهاز التصوير الشعاعي البانورامي وقد تم تركيب ذراع التصوير لقياس الرأس.



الشكل (1-77) بين صورة شعاعية ناتجة عن جهاز التصوير الشعاعي البانورامي بعد تركيب ذراع التصوير لقياس الرأس وكيف تربط هذه الصورة مع الأبعاد التشريحية للمريض.

يقوم الجهاز بالتصوير بحيث يدور أنبوب الأشعة حركة نصف دائرة ومعه مجموعة الحساسات الموجودة حول الرأس ويقوم جهاز الكمبيوتر المسؤول مع الجهاز بإعادة بناء الصورة لينتج صورة للرأس (أمامي-خلفي) (الشكل (1-77)). وقد تطور هذا الجهاز بحيث أصبح يعتمد تقنية رقمية مما يمكنه من بناء الصور حسب خوارزمية مماثلة للتصوير الطيفي المحوري المحاسب.

أسئلة:

- س ١-١: ما هي العلاقة بين تيار الفتيل وتيار الأنبوب؟
- س ١-٢: ما مهمة أنبوب الأشعة؟ ما هي أجزاؤه؟ وإختلافاتها؟
- س ١-٣: ما هي أجزاء جهاز الأشعة البسيط التقليدي؟ مبدأ عملها؟
- س ١-٤: يعتبر مولد الطاقة لجهاز الأشعة عالي التردد من أفضل أنواع مولدات الطاقة نافش اختلاف المولد مع المولدات الأخرى السابقة من حيث العمل والأداء؟
- س ١-٥: نافش مبدأ عمل المسدد وأجزاءه المختلفة؟
- س ١-٦: يعتبر مخطط البوكي من أهم أجزاء جهاز التصوير الشعاعي تحدث عن عمله وبمارائه واختلافها بتأثيرها على الصور الناتجة؟
- س ١-٧: عادة ما يكون التصوير الشعاعي بدوياً باعتماد الجيب على خبرة المستخدم أو الآلة، ناقش فكرة التحكم بالتصوير الآلي؟ واختلافها بين جهاز التصوير الشعاعي البسيط وجهاز التصوير التقطيري؟
- س ١-٨: ما هي مبادئ آليات التحول من التصوير الشعاعي التقليدي إلى رقمي، وما هي آلياته؟
- س ١-٩: ما هي أجزاء جهاز التصوير التقطيري؟
- س ١-١٠: ناقش فكرة مكثفات المقدمة أحادية الحقل ومتعددة الحقول؟
- س ١-١١: ما هو الفارق بين أجهزة القنطرة القلبية وأجهزة تصوير الأوعية الدموية؟
- س ١-١٢: ناقش فكرة اختلاف تصميم أجهزة الأشعة الفضائية؟
- س ١-١٣: ما هي أجزاء جهاز التصوير الشعاعي القومي المنقال وطريقة عملها؟
- س ١-١٤: مبدأ عمل وأجزاء جهاز التصوير الباتورامي السنبي؟ ما الفارق بينها وبين جهاز التصوير السنبي البسيط؟
- س ١-١٥: استنتج علاقة تربط بين تغير زاوية الهدف بين 6 و 17 درجة وبين تغير مقاييس البقعة المرئية الحقيقية علماً بأن مقاييس البقعة الفعالة هي 1 مم؟ وما هو تأثيرها على مساحة بقعة الهدف في حال المصعد الثابت والدوار والنسبية بينهما؟
- س ١-١٦: ذكر دفتر شروط الموصفات التالية لجهاز تصوير شعاعي بسيط:

مطلوب جهاز تصوير شعاعي بسيط لمختفي ، ذو مولد طاقة ، أنبوب الأشعة ، يتم التصوير.....، الطاولة.....، الطاولة مجهزة بمixer بوكي.....، منصة التحكم.....، والمطلوب: ناقش هذه الأفكار ليكون دفتر الشروط لجهاز ذي مواصفات عالية أــما هي الأمور التي سترجحها لكل بند من البنود السابقة لتحقق ذلك؟

بــفي حال كان المطلوب أن يكون الجهاز رقمياً يعتمد على آلية التصوير الرقمي المحوسبة (Computed Radiography) ما هي التجهيزات المرافقـة التي تحتاجـها مع الجهاز المذكور؟

References:

- [1] Feinberg B.N., "Applied Clinical Engineering" Prentice Hall Professional Technical Reference, **1985**.
- [2] Webster. J.G., ' Encyclopedia Of Medical Devices And Instrumentation", 4 Volume Set, 1st edition. Wiley-inter-science, **1988**.
- [3] Aston. R. " Principles of Biomedical Instrumentation and Measurement" Merrill Pub. Co., **1990**.
- [4] Krestel. E, "Imaging Systems for Medical Diagnosis": Wilcy-VCH 1st edition **1990**.
- [5] Shroy, R. E. Jr., Van Lysel, M.S., Yaffe, M. J. "X-Ray." *The Biomedical Engineering Handbook: Second Edition.* Ed. Bronzino J, Boca Raton: CRC Press LLC, **2000**.
- [6] Hendee, W. R., Ritenour E. R, " Medical Imaging Physics" Fourth Edition, John Willey & Sons INC., Publication, Wilcy-Liss, Inc., New York. PP: 217-262, **2002** .
- [7] Blanchard. S, Bronzino. J, "Introduction to Biomedical Engineering" Second Edition. Ed. Enderle. J.D. Elsevier Academic Press Amsterdam Boston Heidelberg London New York Oxford Paris San Diego San Francisco Singapore Sydney Tokyo PP: 857-920; **2005**.
- [8] Webster. J.G., ' Encyclopedia Of Medical Devices And Instrumentation", 6 Volume, Set, , 2nd Edition, Wiley-inter-science, **2006**.



الفصل الثاني

**التصوير الطبي الـخوري المحوسب
(Computed Tomography)**

المؤلف: د.م. محمد فراس الحناوي

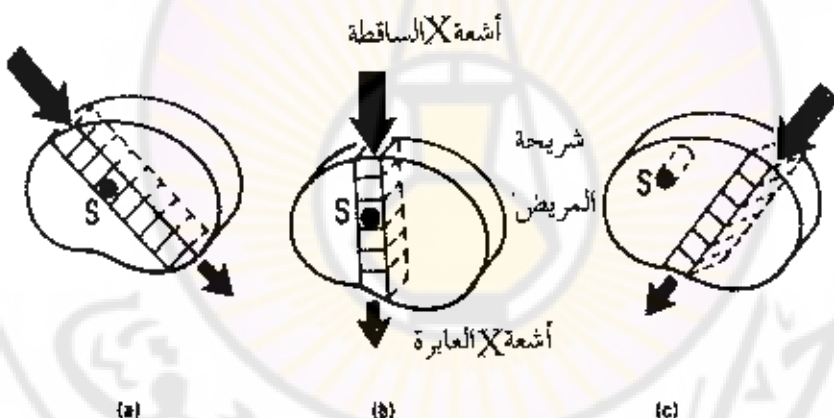


التصوير الطبي المحوري المحوسب (Computed Tomography)

2.1 النظرية الأساسية في التصوير الطبي المحوري:

إن أشعة X المسددة ويشكل دقيق إلى شريحة من المريض من عدة اتجاهات كما هو موضح بالشكل (2-1) . ويؤثر على تخدام هذه الأشعة طول المسار الذي تعبّر عنه الحال بين الشكل (2-1 a) والشكل (2-1 b) ، وكذلك كثافة النسيج الذي تعبّر الأشعة فبمرورها عبر نسيج عظمي يؤدي إلى تخدامها بشكل أكبر من مرورها بنسج أقل كثافة كما هو مبين في الشكل (2-1 c) ، حيث إن الأشعة لا تعبّر نفس البنية كما في الشكلين (a-2) و (b-2) وبالتالي يكون تخدامها أقل من الحالتين.

إن المشكلة الأساسية للتصوير الطبي المحوري المحوسب هو تقرير معلمات التخدام للحجوم الصغيرة من الأنسجة في شريحة المريض.



الشكل (2-1) - يبين أشعة X المتغلبة عبر شرائح مختلفة الأبعاد والبني.

2.2 معلمات التخدام لأشعة X :

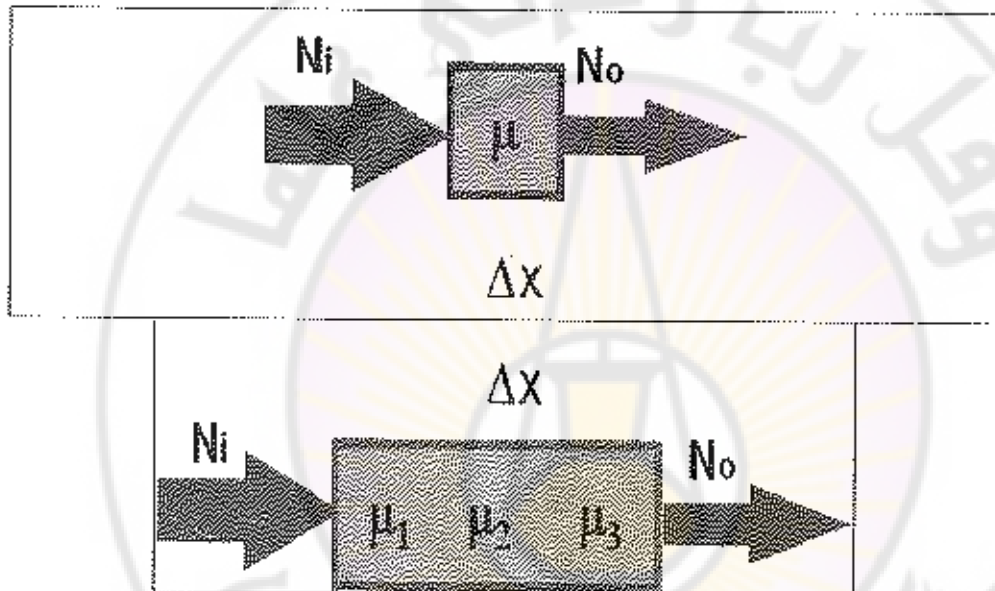
من أجل أشعة X ذات طاقة وحيدة أحادية اللون فإن مواصفات التخدام يمكن وصفها بالمعادلة :

$$I_t = I_o e^{-\mu x} \quad 2-1$$

I_0 - كثافة الأشعة الواردة.

I_1 - كثافة الأشعة المارة غير نسيج ثخانته X ومعامل تخامده μ .

إذا كان لدينا قطعة من أنسجة متغيرة فلابد أن نقسمها إلى مفاسع كل لها معامل تخامد μ حيث زنرمز له إلى رقم المقطع، وكما موضح بالشكل (2-2)، فإن الإشعاع الوارد على المقطع الأول ذا العرض Δx يتخامد تبعاً للمعادلة (1) بمعامل $e^{-\mu X}$. والإشعاع المنقول من المقطع الأول I_1 يكون هو إشعاع وارد للمقطع الآخر I_2 وبتحفيض أكبر لكتافة الحزمة و بتخدامد



الشكل (2-2) بين الأشعة الماءية لعدة أنسجة .

$$I_{t_1} = I_0 e^{-\mu \Delta x}$$

$$I_2 = I_{t_1}$$

$$I_{t_2} = I_2 e^{-\mu_2 \Delta x} = (I_0 e^{-\mu_1 \Delta x}) e^{-\mu_2 \Delta x} = I_0 e^{-(\mu_1 + \mu_2) \Delta x}$$

$$I_{t_3} = I_3 e^{-\mu_3 \Delta x} = I_0 e^{-(\mu_1 + \mu_2 + \mu_3) \Delta x} e^{-\mu_3 \Delta x}$$

$$I_{t_4} = I_4 e^{-(\sum_j \mu_j) \Delta x}$$

$$\frac{I_t}{I_0} = \exp\{-(\sum_j \mu_j) \Delta x\} \dots\dots 2-2$$

وبإعادة كتابة المعادلة السابقة بطريقة مغایرة:

$$\sum_j \mu_j = \frac{1}{\Delta x} \ln \left(\frac{I_0}{I_j} \right) \dots\dots \quad 3-2$$

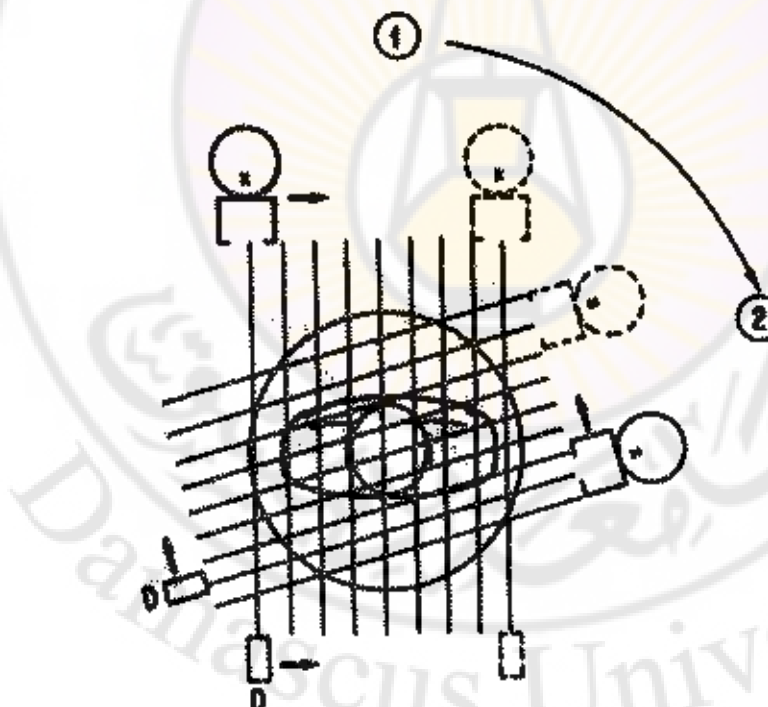
ويمكن ملاحظة أن مجموع عوامل التخادم المقطع لكل اتجاه حزمة أشعة يمكن تعبيتها تجريبياً لعرض مقطع معين، لكن يبقى كل معامل تخادم للمقطع الجزيئي غير معروف. على كل حال فإن الهدف هو استخدام مجموع معاملات التخادم التي حصلنا عليها من قياسات الشدة في كل الاتجاهات بحساب معامل التخادم لكل مقطع جزئي.

2.3 تطور المساحات (Scanners Development)

إن الاهتمام الأول بتطوير تقنية المسح لأجهزة التصوير الطيفي المحوري هو تخفيف زمن التعرض للتصوير على حساب زيادة التعقيد والمصاريف، ومن ثم الحصول على معلومات كافية لمعالجتها.

2.3.1 الجيل الأول: حساس واحد ، مساحات انتقالية دورية

(Single detector, Translate- Rotate Scanners)

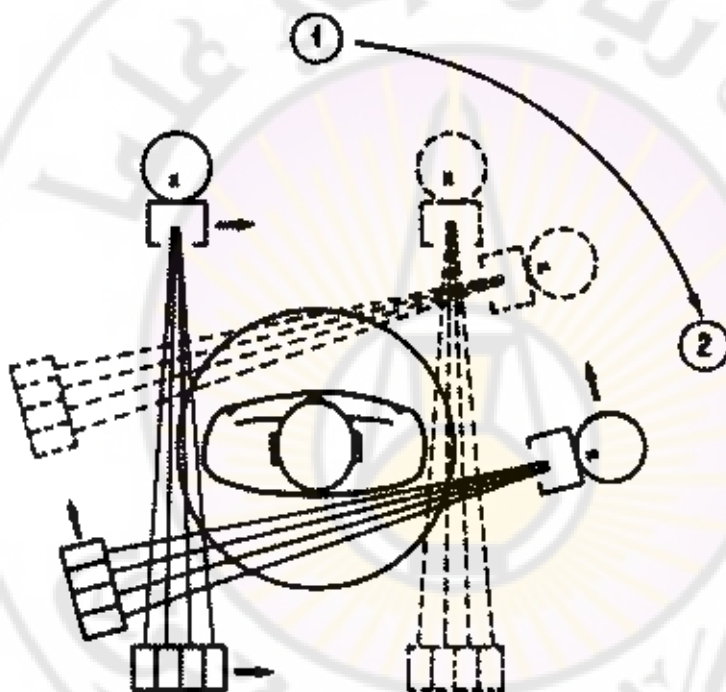


الشكل (3-2) يبين الجيل الأول من المساحات .

حيث إن هناك حزمة قلمية ضيقة تولد بمنبع أشعة X مسدد وموجه باتجاه الحساس D متواجد في الطرف الآخر من المريض (الشكل (3-2)). يحرك كل من المنبع والحساس بحركة انتقالية عبر المريض حتى يتم الحصول على عدد من العينات على خط مستقيم ، يتم دوران الحامل إلى زاوية (وضعية 2) لكي يتم التصوير مرة أخرى. إذا كان الدوران عبارة عن 1° بين كل حركة انتقالية ، فإن زمن المصح يتطلب زماناً لعدة دقائق.

الجبل الثاني: عدة حساسات ، المساحات الانتقالية الدوارة 2.3.2

:Second Generation: Multiple-Detector, Translate- Rotate



الشكل (4-2) يبين الجبل الثاني من المساحات .

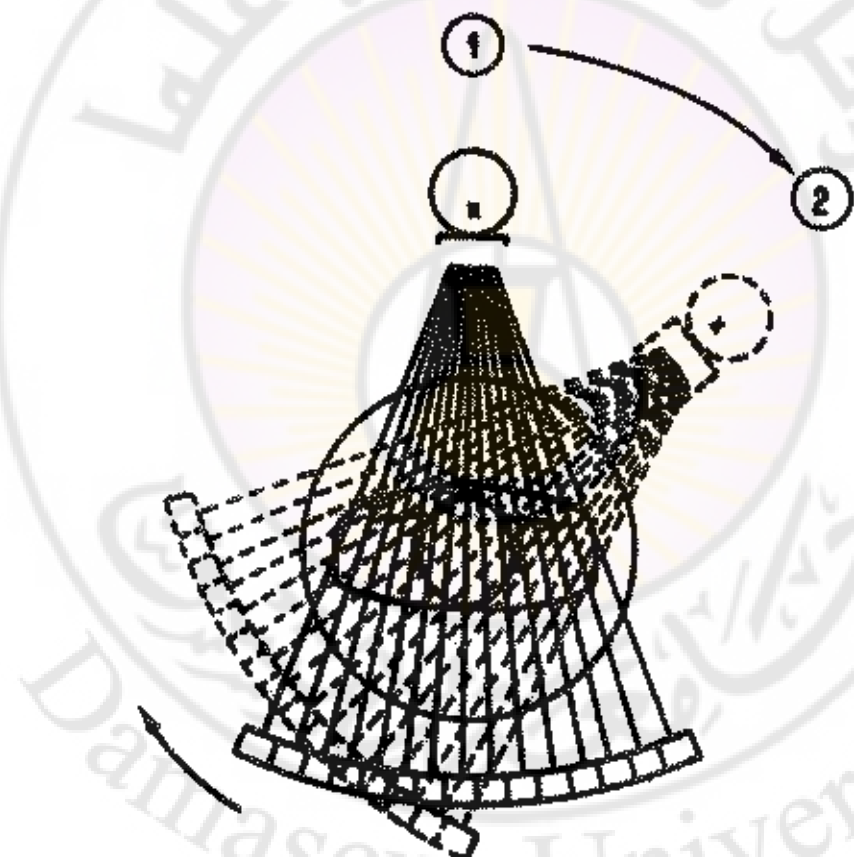
يوضح الشكل (4-2) تصميم مساحات أجهزة التصوير الطيفي المحوري وهو الجبل الثاني حيث إن هناك منبع أشعة يقابلها عدة حساسات في الطرف الآخر متوضعة على خط مستقيم. وبالتالي فإن كل تعرض يعقبه استقبال من عدة حساسات للمشهد من عدة زوايا ويتم التتابع بانتقال كل من المنبع والحساسات بحركة خطية ومن ثم يدار الحامل من الوضعية (1) إلى الوضعية (2) ويتم التصوير بنفس التقنية المذكورة سابقاً.

2.3.3 الجيل الثالث: المسحات الدورانية

(Third Generation : Rotational Scanners)

يكون في هذا النوع من الأجهزة منبع الأشعة يقابلها عدد كبير من الحساسات متوضعة على قوس دائري وكلأ من المدفع والحساسات متمركزة حول حقل الرؤية.

في هذا الجيل فإن كل مشهد ناتج عن مجموعة من عينات الأشعة اللامتوازية ملحوظة بزوايا مختلفة حول المريض، ويتم دوران الحامل ليغطي 360° وبانتقال متساوي إلى 1,5 من عرض الحسان للحصول على مساقط مختلفة كما في الشكل (2-5).

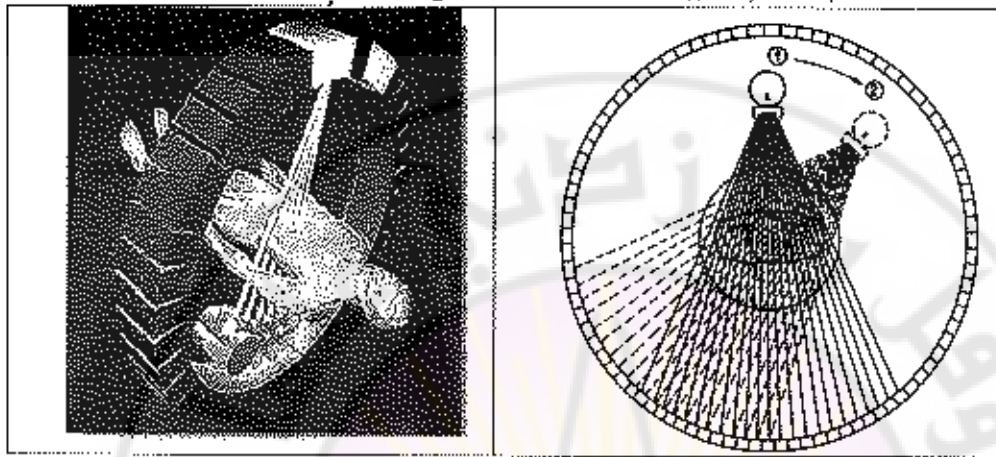


الشكل (2-5) يبي الجيل الثالث من المسحات .

2.3.4 الجيل الرابع: دوران فقط حساسات ثابتة للمساحات

Rotate- Only Stationary Detectors Scanners

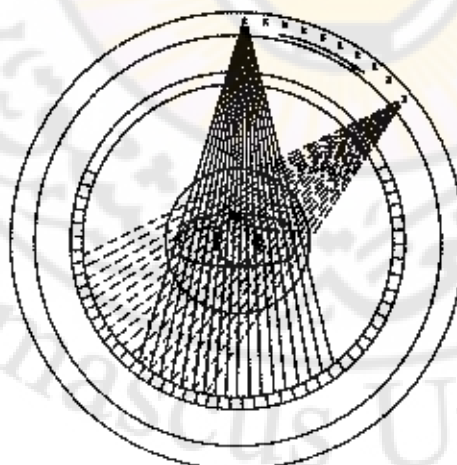
في هذا الجيل تتوضع الحساسات على دائرة 360° والحركة الوحيدة هي لمنع الأشعة حول المريض (الشكل (6-2))، ولا يتجاوز زمن المسح عدة ثوانٍ أو أقل.



الشكل (6-2) بين الجيل الرابع من المساحات .

2.3.5 الجيل الخامس: ماسحات القلب (Cine - CT)

في هذه المساحات (الشكل (7-2)) فإن زمن المسح الكلي يخفيض وذلك لتصوير القلب المتحرك من خلال استخدام عدة منابع للأشعة وحساسات ثابتة. وزمن المسح هو حوالي 33 - 100 ملي ثانية.

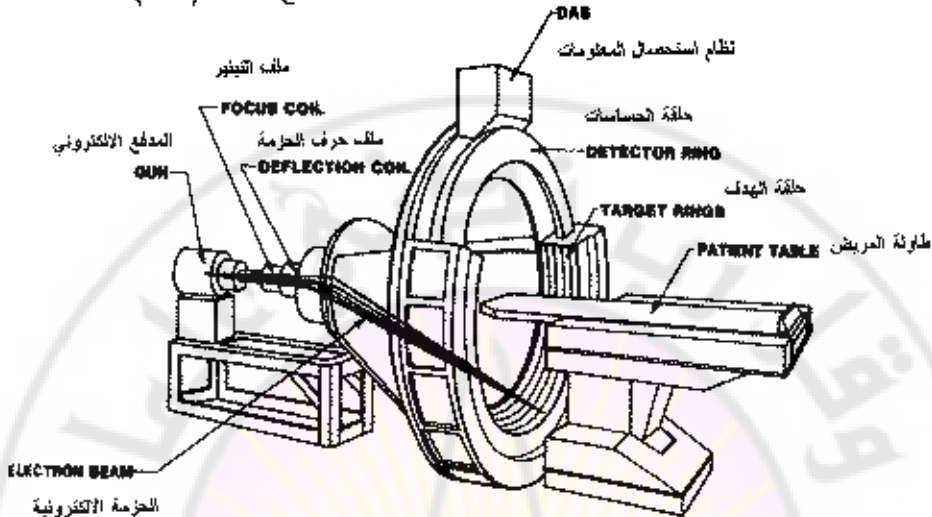


الشكل (7-2) بين الجيل الخامس من المساحات .

2.3.6 الجيل الجديد : التصوير الطيفي المحوري ذو الحزمة الإلكترونية

(Electron Beam Tomography EBT)

وهو من لنوع التصوير المحوسب ذي السرعة الفائقة كما يوضح الشكل (8-2).



الشكل (8-2) بين جيل الطيفي المحوري ذي الحزمة الإلكترونية من المساحات .

وفيه يتم توليد الأشعة السينية بطريقة مختلفة عن استخدام أنبوب الأشعة التقليدي حيث يتكون الجهاز من مدفع الكتروني (Electron Gun) يقوم بتوسيع تيار الكتروني وبعد توليد الإلكترونات يتم تثبيت الحزمة الإلكترونية عن طريق ملف تثبيت كهرومغناطيسي (Focus Coil) تمر فيه تيارات تحريضية متساوية في جميع الاتجاهات، بعدها تمر الحزمة المبارأة عبر ملف آخر كهرومغناطيسي (Deflection Coil) يدعى ملف الانحراف يتم تمرير التيار فيه بشكل متتالي مما يؤدي إلى توليد حقل كهرومغناطيسي حول الملف الدائري مجبأً الحزمة على الدوران وبشكل سريع جداً.

الحزمة الخارجة من هذه المرحلة تقوم بقصف حلقات الهدف المصموعة عادة من التنسجين (Target Rings) ناتجاً عن ذلك توليد الأشعة السينية التي تتجه إلى طاولة المريض (Patient Table) وبالتالي المريض (Patient) ، والأشعة الخارجة من المريض تتجه إلى حلقة الحساسات (Detectors Ring) التي تلقط هذه الأشعة وتحولها إلى أشعة ضوئية مرئية وذلك بدوره إلى خرج كهربائي (فولطية) يتم قياسه ويتحول خرجه إلى نظام تحويل المعلومات (Data Acquisition System DAS). إن قصف حلقة الهدف ينتج عنه حرارة عالية ما لم

يتم تبديدها سريعاً إلى نتائج غير جيدة في عمل الجهاز لذا تم تصميم دارة تبريد بغاز المليوم الذي يمر خلف الحلقة سامحاً للغاز بالقيام بالتبديد بعيداً عن التغصين إلى مستوى معتدل بعد انتهاء قصبة.

أجزاء جهاز التصوير الطيفي المحوري:

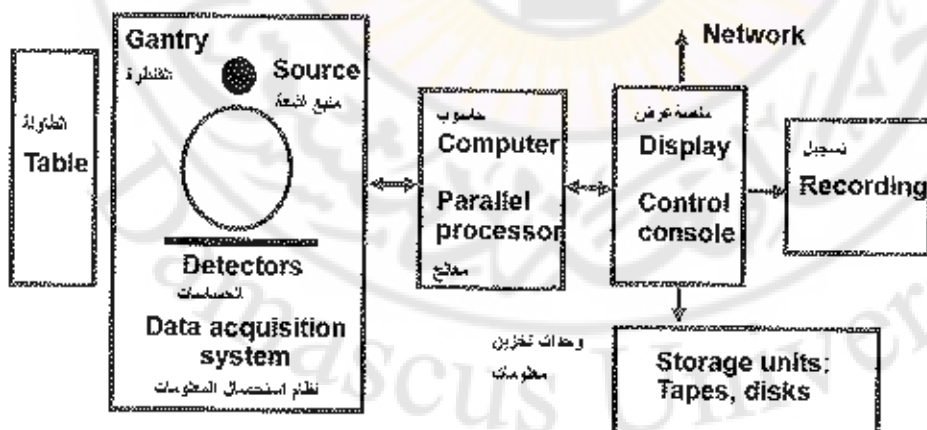
لعيت عدة عوامل في اختيار الجيل المناسب لاعتماده في التصوير الطيفي المحوري لذا وقع الاختيار على الجيل الثالث الذي يعتمد منبع أشعة واحد يدور حول المريض ومجموعة حساسات تقابلة موجودة على قوس دائري كما هو موضح في الشكل (2-5).

يتكون الجهاز من عدة أجزاء كما يبين الشكل (9-2) و الشكل (10-2) أهمها:

- 1- طاولة المريض (Patient Table).
- 2- القنطرة (Gantry).
- 3- الحاسوب (Computer).
- 4- منصة عرض الصور والتحكم (Display and Control Console).
- 5- آليات التسجيل ووحدات التخزين (Recording).

مسعٌ ملبي محوري
المالي

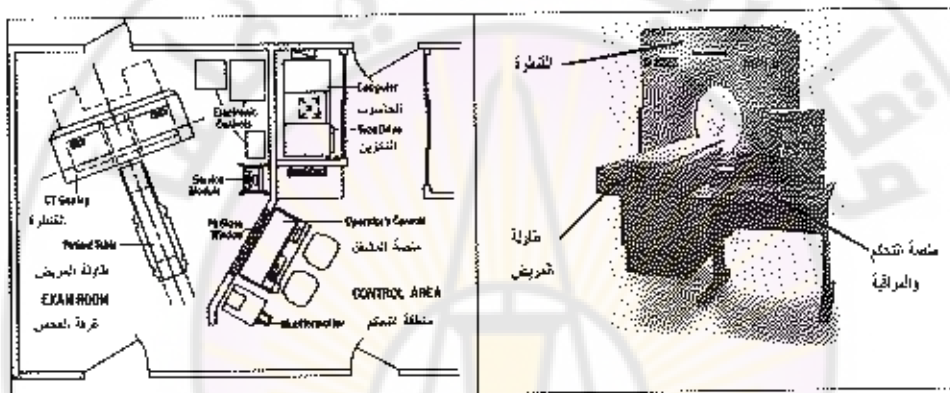
Spiral CT Scanner



الشكل (9-2)- يبين مخططياً تفاصيلاً لجهاز التصوير الطيفي المخوري المحوسب (CT) من الجيل الثالث

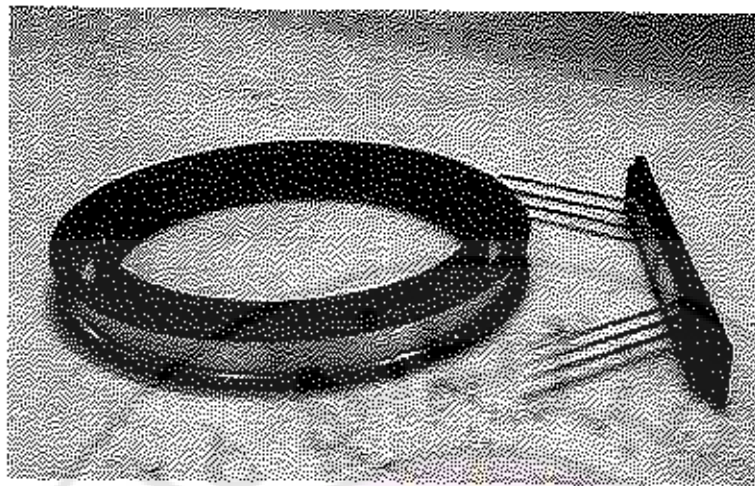
2.4.1 طولية المريض: تصنع الطولولة من مواد لا تؤدي إلى تضليل الأشعة السينية، كما تكون كهربائية التشغيل فتتم رفعها وخفضها حسب رغبة المستخدم، أما زلقها إلى داخل القنطرة وخارجها فهو مرتبط ببرمجيات وبروتوكولات التصوير.

2.4.2 القنطرة (Gantry): وتحوي القنطرة على الأجزاء التالية: أنبوب الأشعة، فتحة دخول الطولولة داخلها، الحساسات، نظام استحصال المعلومات، آليات تدوير الأنابيب والحساسات.



الشكل (2-10) - يبين أجزاء جهاز التصوير الطيفي المخروطي (CT) من الجيل الثالث

باستخدام الحلقة المترلقة ذاتية التزييت (Self-Lubricating slip-ring) والتي سهلت التوصيل الكهربائي للعناصر الدوارة (يُبيّن الشكل (2-11) شكل الحلقة والفراشي المعدنية) وإلا كانت مختلف الكابلات وستمتع الدوران المستمر لمتبع الأشعة والحساسات بآن واحد وبشكل مستمر دون الضرورة لعودتها في الاتجاه المعاكس كما كانت عليه سابقاً. وعوضت الفراشي (Brushes) التي تقوم بلامسة الحلقة بشكل مستمر بنقل التغذية إلى أنبوب الأشعة ونقل المعلومات من الحساسات.



الشكل (11-2) - بين أجزاء الخلقة المركبة ذاتية التزبست مع الفراشي المستخدمة في جهاز التصوير الطيفي المخوري الخوب (CT) من الجيل الثالث

عادة ما تكون أبعاد البقعة المحرقة 1.5×0.5 مم و 1.0×2.5 مم، كما تستخدم مجموعة مسدود للتحكم بعرض الحزمة بين 1 إلى 10 مم والتي بدورها تحكم بعرض الشرحة المحسورة. عادة ما تكون الطاقة المطلوبة لهذه الأنابيب هي 120 كيلو فولت عند 200-500 ملي أمبير. منتجة حزمة أشعة بطاقة 30-120 كيلو إلكترون فولط. كما إن المولد يكون بتوانتر بين 5-50 كيلو هرتز.

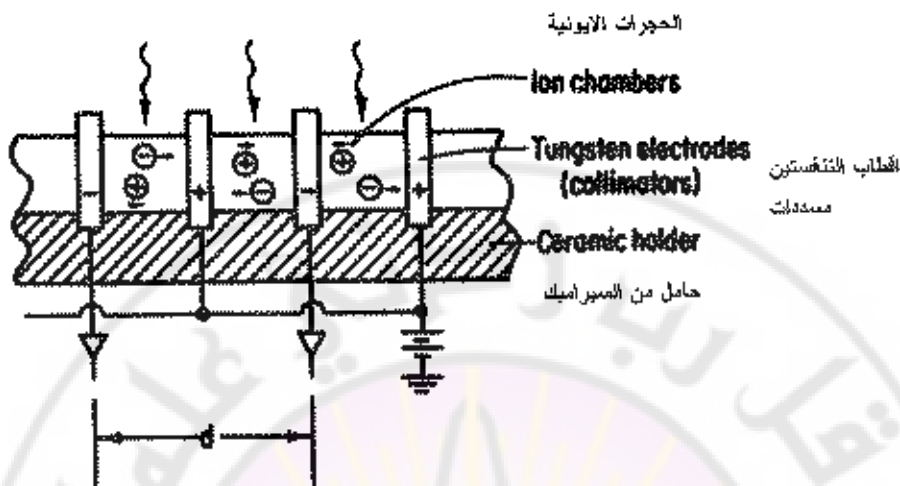
2.4.3 الحساسات (الكواشف):

تتوسط مجموعة من الكواشف (Detectors) على مسافة حوالي 40 cm عن مركز المحور لأجهزة الجيل الثالث و 90 cm لأجهزة الجيل الرابع. وقد تم تصميم نوعين مختلفين من الحساسات:

2.4.3.1 الحساسات الأيونية (Ion Detector)

تتكون الحساسات الأيونية من حجرة تكون مضغوطة بغاز من Xenon ويفصل بين الحجرات إلكترودات من التنجستين كما يبين الشكل (2-2). حيث يخدم التنجستين كمسدد ومagnet للبعثر دأدخل الحساسات. إن سقوط الأشعة العابرة للمريض إلى الحساس تنتص من الغاز، مشكلة أيونات ذات شحنة موجبة وسلبية، والتي عندما تجذب من قبل الإلكترودات المشحونة (Spatial Resolution) بشكل متناسب مما يتسبب بتدفق التيار. وعادة تكون النقاوة الحيزية (Spatial Resolution)

مساوية في العرض لمسافتين أي المسافة بين إلكترودين من نفس الإشارة أي حوالي .
1.2 mm



الشكل (12-2)- بين بيئة الحساسات الأيونية

يضغط غاز الزيون Xenon إلى حوالي 25 ضغط جوي وحوالي 50% من الأشعة التي تصل إلى الحساس حيث يتم امتصاصها وتسجيلها.

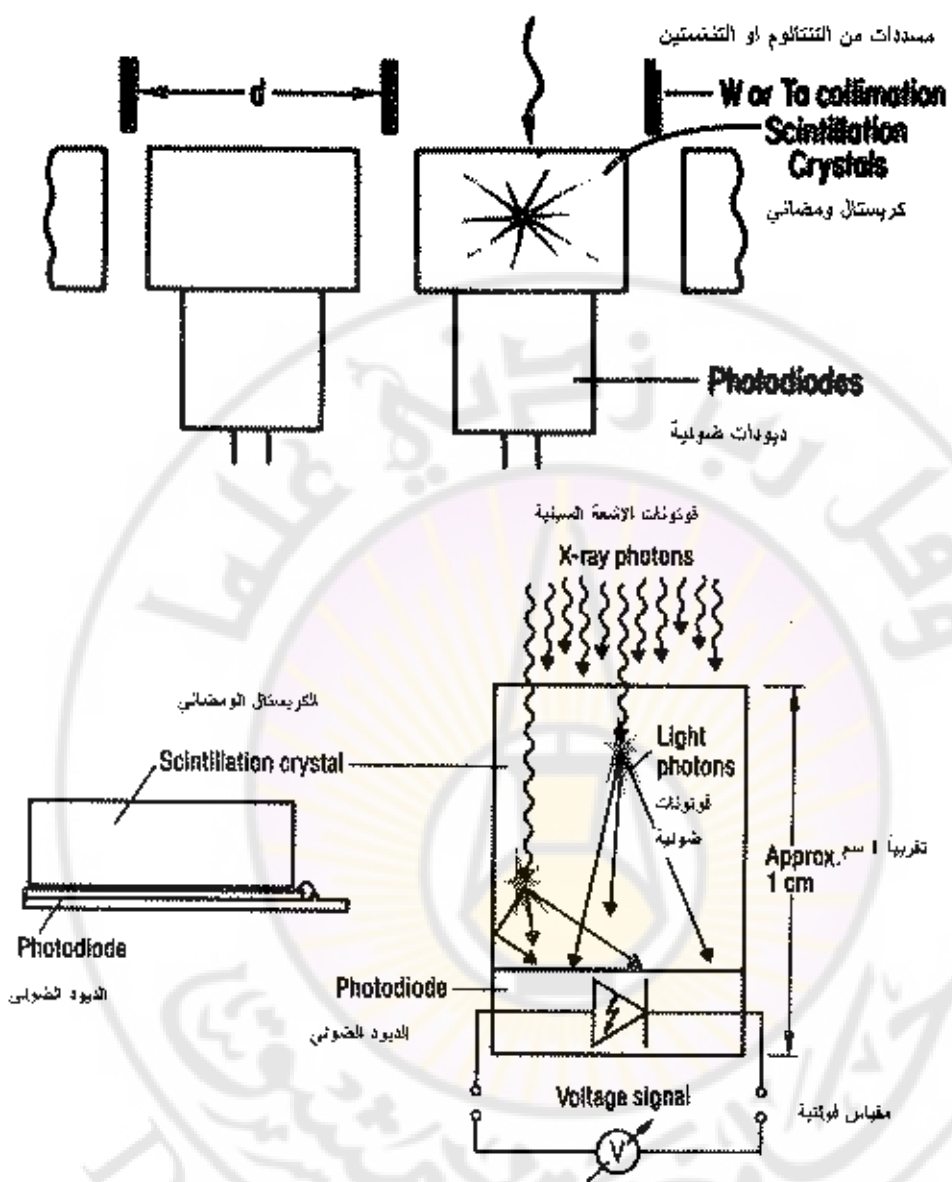
2.4.3.2 الحساسات الومضانية (Scintillation Detectors)

في حين تتألف الحساسات الكريستالية الومضانية كما يوضح الشكل (13-2) و الشكل (2-14) من:

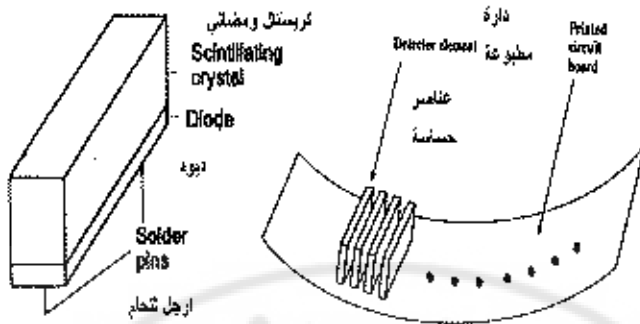
أ- الكريستال الحساس من تغصنات الكلاديوم $\{Cd WO_4\}$ والتي تمنص كل لشعة X الواردة على سطحها.

بـ أما للعناصر التي تتوارد بين الكريستالات فهي تعمل كممددات ومانعة لتبخر الأشعة وتصنع من التلسكوبين (Tungsten (W) أو التتالوم Ta. وعرض الكريستالة الومضانية هو بحدود .4 mm

يتحول قسم من الأشعة المنصنة إلى ضوء مرئي والتي يتم تحمسها بصرياً بواسطة الديودات الضوئية المربوطة معها والتي بدورها تعطي خرج كهربائي لدارة الفيس.



الشكل (13-2)- يبين بنية المحسسات الكريستالية



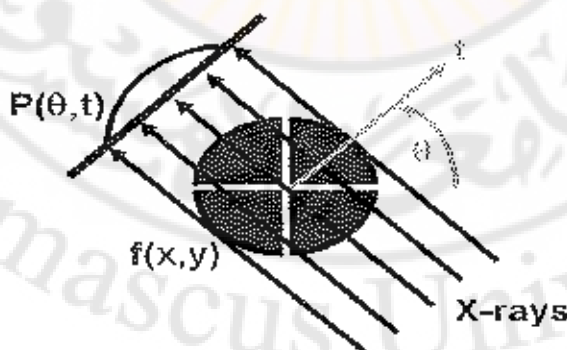
الشكل (2-14)- يبين كيفية تركيب المساسات الكريستالية على نصف دائرة.

2.4.4 الحاسوب (Computer): ومنصة عرض الصور والتحكم (Display)

(and Control Console): وجميعها تكون موجودة خارج غرفة التصوير حيث يراقب من خلالها المستخدم الصور الناتجة ويدخل بارامترات التصوير، حيث تخصص شاشة لإدخال المعلومات من خلال لوحة مفاتيح الحاسوب وشاشة أخرى لعرض الصور التي تم التقاطها ومعالجتها من قبل الحاسوب.

2.5 مبادئ طرق بناء الصورة في التصوير الطيفي المحوري:

كما سبق وبيننا أن المبدأ الرئيسي لجهاز التصوير الطيفي المحوري وكذلك الشكل (2-15) هو إرسال مجموعة من حزم الأشعة السينية باتجاه الجسم المصوّر واستقبال الأشعة المنخامية من الطرف الآخر، والنتيجة هي قيم لمعاملات التخادم الكلية مربطة مع زاوية التصوير وكذلك الزمن.



الشكل (2-15)- يبين المبدأ الرئيسي للتصوير الطيفي المحوري الخرس.

2.5.1 الطريقة الأولى : Back Projected Additives Method

مثال (1-2): بفرض أن لدينا بنية ذات معاملات التخادم:

0	2
3	4

حل المثال (1-2): في المرحلة الأولى بفرض أن التصوير سيتم بالاتجاه العمودي كما في الشكل:

0	2
3	4

المصفوفة النهائية الناتجة عن التصوير

3	6
3	6

أما من جهة التصوير الأفقي:

$$\begin{array}{l} \Rightarrow \begin{array}{|c|c|} \hline 0 & 2 \\ \hline 3 & 4 \\ \hline \end{array} \\ \Rightarrow \begin{array}{|c|c|} \hline 2 & 2 \\ \hline 7 & 7 \\ \hline \end{array} \end{array}$$

أما عن حالة التصوير المائل السفلي:

$$\begin{array}{l} \Rightarrow \begin{array}{|c|c|} \hline 0 & 2 \\ \hline 3 & 4 \\ \hline \end{array} \\ \Rightarrow \begin{array}{|c|c|} \hline 4 & 2 \\ \hline 3 & 4 \\ \hline \end{array} \end{array}$$

المصفوفة النهائية الناتجة عن التصوير

0	5
5	4

المصفوفة النهائية الناتجة عن التصوير

$$\begin{array}{l} \Rightarrow \begin{array}{|c|c|} \hline 0 & 2 \\ \hline 3 & 4 \\ \hline \end{array} \\ \Rightarrow \begin{array}{|c|c|} \hline 0 & 5 \\ \hline 5 & 4 \\ \hline \end{array} \end{array}$$

وجمع جميع المصفوفات الناتجة عن عمليات التصوير المختلفة:

$$\begin{array}{|c|c|} \hline 3 & 6 \\ \hline 3 & 6 \\ \hline \end{array} + \begin{array}{|c|c|} \hline 2 & 2 \\ \hline 7 & 7 \\ \hline \end{array} + \begin{array}{|c|c|} \hline 4 & 2 \\ \hline 3 & 4 \\ \hline \end{array} + \begin{array}{|c|c|} \hline 0 & 5 \\ \hline 5 & 4 \\ \hline \end{array} = \begin{array}{|c|c|} \hline 9 & 15 \\ \hline 18 & 12 \\ \hline \end{array}$$

الآن نطرح من المصفوفة الناتجة مصفوفة مكونة من أصغر رقم في المصفوفة لجعل أحد الخانات صفر كما يلي:

$$\begin{array}{|c|c|} \hline 9 & 15 \\ \hline 18 & 21 \\ \hline \end{array} - \begin{array}{|c|c|} \hline 9 & 9 \\ \hline 9 & 9 \\ \hline \end{array} = \begin{array}{|c|c|} \hline 0 & 6 \\ \hline 9 & 12 \\ \hline \end{array}$$

و من ثم نقسم على عامل قسمة مشترك:

$$\begin{array}{|c|c|} \hline 0 & 6 \\ \hline 9 & 12 \\ \hline \end{array} \div \begin{array}{|c|c|} \hline 3 & 3 \\ \hline 3 & 3 \\ \hline \end{array} = \begin{array}{|c|c|} \hline 0 & 2 \\ \hline 3 & 4 \\ \hline \end{array}$$

و بالتالي حصلنا على معاملات التخادم بهذه الطريقة.

في هذه الطريقة لا نصل إلى نتائج دقيقة من أجل مصفوفات أكبر من المصفوفة ثنائية البعد و بالتالي تم اللجوء إلى طرق أخرى .

2.5.2 الطريقة التكرارية : Iterative method

مثال (2-2):

$$\begin{array}{|c|c|} \hline 0 & 2 \\ \hline 1 & 3 \\ \hline \end{array} \xrightarrow{\quad} \begin{array}{|c|} \hline 2 \\ \hline \end{array}$$

$$\begin{array}{|c|c|} \hline 0 & 2 \\ \hline 1 & 3 \\ \hline \end{array} \xrightarrow{\quad} \begin{array}{|c|} \hline 4 \\ \hline \end{array}$$

$$\begin{array}{|c|c|} \hline 1 & 5 \\ \hline \end{array}$$

الآن نقوم بجمع العناصر الأساسية للمصفوفة و نقسم على عددها العنصر لتحصل على مصفوفة جديدة:

$$0+2+1+3=6$$

$$6 \div 4 = 1.5$$

$$\begin{array}{|c|c|} \hline 1.5 & 1.5 \\ \hline 1.5 & 1.5 \\ \hline \end{array}$$

الآن نأخذ فرق مجموع سطورة المصفوفة القديمة والجديدة كما يلي :

Old (مجموع سطور المصفوفة القديمة)	New	Difference الفرق
2	3	$\frac{2-3}{2} = \frac{-1}{2}$
4	3	$\frac{4-3}{2} = \frac{1}{2}$

نضيف الناتج الذي حصلنا عليه للصفوف الجديدة:

$$\begin{array}{|c|c|} \hline 1.5 & 1.5 \\ \hline 1.5 & 1.5 \\ \hline \end{array} + \begin{array}{|c|c|} \hline -0.5 \\ \hline 0.5 \\ \hline \end{array} = \begin{array}{|c|c|} \hline 1 & 1 \\ \hline 2 & 2 \\ \hline \end{array}$$

الآن نأخذ فروق الأعمدة للمصفوفة القديمة وآخر مصفوفة حصلنا عليها :

Old	1	5
New	3	3
Difference	$\frac{1-3}{2} = -1$	$\frac{5-3}{2} = 1$

$$\begin{array}{|c|c|} \hline 1 & 1 \\ \hline 2 & 2 \\ \hline \end{array} + \begin{array}{|c|c|} \hline -1 & 1 \\ \hline -1 & 1 \\ \hline \end{array} = \begin{array}{|c|c|} \hline 0 & 2 \\ \hline 1 & 3 \\ \hline \end{array}$$

الآن آخر مصفوفة حصلنا عليها نضيف لعمودها الأول 1 - وعمودها الثاني 1 + فنحصل على القيم الأساسية .

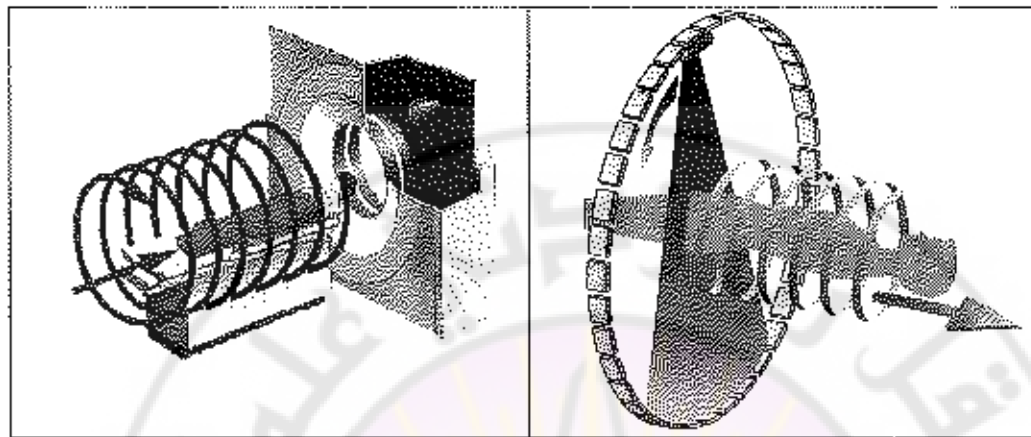
إن هذه الطريقة قد لا تعطي قيمة دقيقة عندما تكبر القيم و لابد من وجود طريقة تجمع بين الطريقتين وتضعها في قالب واحد .

2.6 تطور ماسحات الجيل الثالث: (Third Generation Development)

شهد العقد الماضي تطور هذا الجيل من هذه الأجهزة فيما يلي الحديث عن التصوير الاهليجي (Helical Scan). وفي هذه الحالة يتم التصوير بشكل متواصل بينما تنتقل الطاولة داخل أو خارج المنصة وتحصيل المعلومات كلها بأن واحد كما يوضح الشكل (16-2).

أما من أجل تسريع التقاط الصور وخاصة تطوير الأجهزة لتصوير القلب أثناء حركته فقد عمد إلى زيادة عدد مصفوفات الحساسات مما أدى إلى ما يدعى الطيفي المحوري متعدد

الشريان (Multi Slice CT) انطلاقت الفكرة من شريحتين إلى أربعة، ومن ثم ثمانية، 16، 32، 64 ووصل العدد إلى 128 شريحة



الشكل (16-2)- يبين علاقة حركة طاولة المريض بالنسبة لحركة كل من أنبوب الأشعة والحساسات للتصوير الإهليلجي.

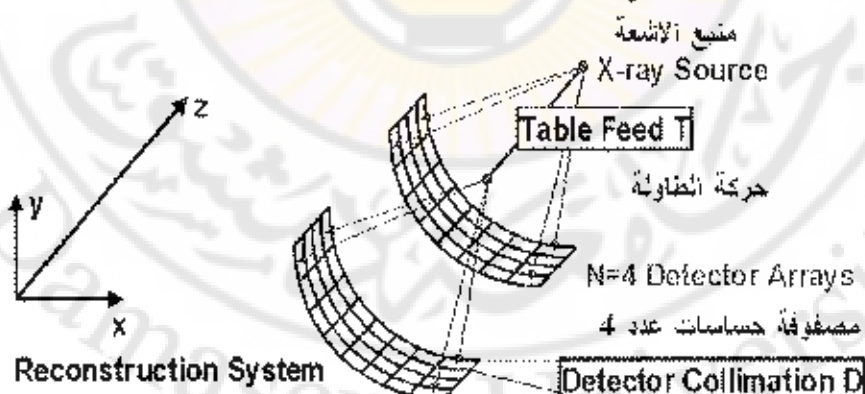
ويعتمد النظام (حسب الشكل (17-2)) على بارامترات وهي:

D: عرض التسديد للحساس.

T: انتقال الطاولة

N: عدد الحساسات في مصفوفة.

. $P=T/D$ وبالتالي تعرف الخطوة (Pitch) بأنها:



الشكل (17-2)- يبين العلاقة بين انتقال طاولة المريض وعدد صفوف الحساسات في أجهزة التصوير الطبي المقطعي متعدد الشرائح.

أسئلة:

من 1-2: تطورت أجيال التصوير الطيفي المقطعي المحوسب، ناقش هذه الفكرة مع ذكر كل جيل ومميزاته ومساواته؟

من 2-2: تطور الجيل الثالث من أجهزة التصوير الطيفي المحواري المقطعي المحوسب ليصبح ذات قدرة على تصوير مقاطع كبيرة وبسرعة كبيرة قادرة على تصوير القلب، ناقش هذه الفكرة؟

من 3-2: بفرض أن لدينا جسمًا مكون من تربع خلايا بين كيف يستنتج جهاز التصوير الطيفي المحواري المحوسب إعادة بناء صورة الجسم؟ حيث إن:

2	0
3	4

س 4-2: بين الفرق بين الحساسات المستخدمة في أجيال أجهزة الطيفي المحواري المحوسب؟

References:

المراجع

- [1] Webster, J.G., ' Encyclopedia Of Medical Devices And Instrumentation", 4 Volume Set, 1st edition. Wiley-inter-science, 1988.
- [2] Aston, R. " Principles of Biomedical Instrumentation and Measurement" Merrill Pub. Co., 1990.
- [3] Krestel, E, "Imaging Systems for Medical Diagnosis": Wiley-VCH 1st edition 1990.
- [4] Shroy, R. E. Jr., Van Lysel, M.S., Yaffe, M. J. "X-Ray." *The Biomedical Engineering Handbook: Second Edition*. Ed. Bronzino J, Boca Raton: CRC Press LLC, 2000.
- [5] Hendee, W. R., Ritenour E. R, " Medical Imaging Physics" Fourth Edition, John Willey & Sons INC., Publication, Wiley-Liss, Inc., New York. PP: 217-262, 2002 .
- [6] Webster, J.G., ' Encyclopedia Of Medical Devices And Instrumentation", 6 Volume, Set, , 2nd Edition, Wiley-inter-science, 2006.

الفصل الثالث

التصوير الشعاعي للثدي

Mammography

المؤلفان: د.م. محمد فراس الخناري

د.م. أيمن صابوبي



Mammography

3.1. مقدمة:

يستخدم التصوير الشعاعي للثدي (Mammography) لفحص الثدي والتلعرى ولتشخيص ورم محتمل أن يكون سرطانى أو خبيث، ويمكن أن يستخدم لتحديد منطقة الجراحة في حالة الجراحة أو تحديد مكانأخذ خزعة أبيرة لفحص نسيج كتلة ورمية في الثدي، إن سرطان الثدي هو أحد الأسباب الكبرى لوفاة النساء عبر العالم.

تمثل صورة الثدي الشعاعية، الطريقة الأنسنة للتلعرى والكشف المبكر عن سرطان الثدي وهنالك أربع مؤشرات على وجود ورم خبيث من الصورة الشعاعية للثدي وهي :

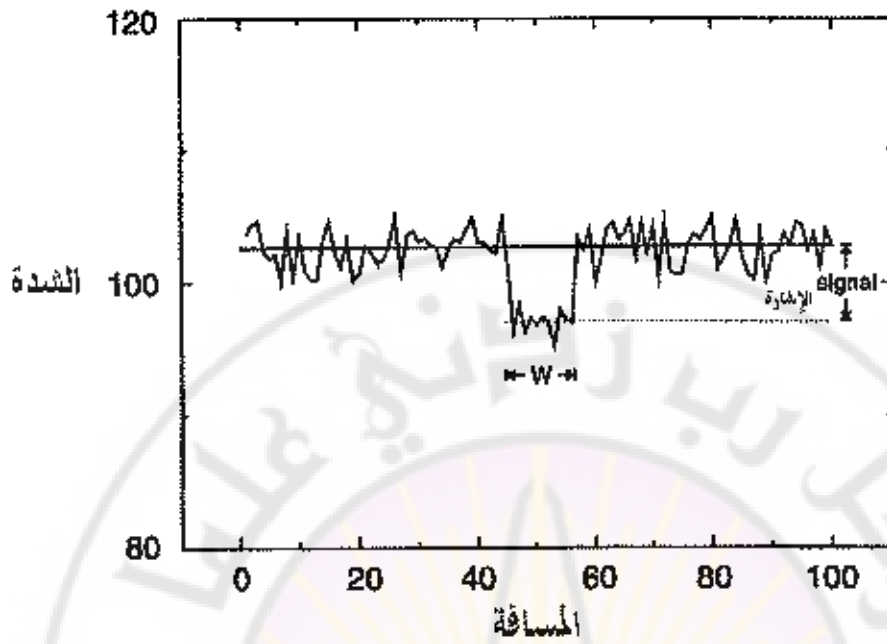
1. الشكل التشخيصي والبنبوى لكتلة الورم.
2. ترسبات (تكلسات) بعض الشوارد المعدنية على الكتلة الورمية.
3. تشوه في شكل أحد الثديين (غير منتظم).
4. عدم التطابق بين مناطق متاظرة من صور الثديين.

3.2. مبادئ التصوير الشعاعي للثدي :

إن الصورة الشعاعية للثدي عبارة عن صورة أشعة X-Ray المشكّلة عندما تُشعّع X الصابورة من منبع أشعة نقطي يشعّع الثدي والأشعة العابرة تسجل عن طريق لاقط صورة، إن الإشارة المتقطعة تكون متاخمة حسب اختلاف في معاملات تفامد أشعة X خلال مسار هذه الأشعة والتي تَعبر من خلال بنية الثدي ووفقاً لقانون بير-لامبرت فإن جودة الصورة أحادية البعد يمكن أن تعطي فكرة عن شكل الثدي من خلال استخدام برمجيات وعتاد لإعادة بناء الصورة.

الشكل (3-1) يوضح آلية الحصول على صورة لنسج الثدي السليم والنسيج الورمي (Lesion) أو تكلسات تتبع إلى قانون بير-لامبرت

يوضح شكل (3-2) منطقة تمرير منخفضة متوافقة مع مكان الاهتمام كالورم أو التكلسات أو كتل سليمة للغدد أو العقد اللمفاوية.



شكل (I-3) : شكل الصورة الشعاعية للأذني (أحادية البعد) لشرح دور التباين الحسلي والضجيج على الصورة.

يجب أن تمتلك أنظمة التصوير تمييزاً حيزياً كافياً لتحديد الحواف الدقيقة للكتلة في الأذني القاصصيل الدقيقة للأذني الأصغر من $50\text{ }\mu\text{m}$ فعندما لا تظهر بشكل دقيق هذا يؤدي إلى انخفاض التباين في الصورة. ويعتبر أن الأذني حساس للإشعاع المتأين وهذا يمكن أن يسبب سرطان الأذني إذا تجاوزت جرعة الإشعاع المتأين قيمة معينة مع العلم أن التشيعي تركمي في الجسم كذلك من المفضل استخدام الحد الأدنى من الجرعة الشعاعية للحصول على الدقة المطلوبة للصورة.

3.3. كيفية شكل الصورة :

في الشكل (3-2) بين النموذج الوسطي لتركيبة بنية الأذني والتي هي 50% للنسج و 50% للأقنية البدنية والعقد المغلوية والتسميط ففترض أن طاقة X-Ray هي طاقة أحادية E وعدد فوتونات أشعة X المسجلة في منطقة محددة من الصورة متتناسب مع العلاقة التالية :

$$N_B = N_0(E) \cdot e^{-\mu T} \quad (3-1)$$

في المنطقة الخلفية للصورة

$$N_C = N_0(E) e^{-[\mu(T-t)+\mu' t]} \quad (3-2)$$

$N_0(E)$: عدد الفوتونات الكلية في الحزمة الشعاعية.

N_B : عدد الفوتونات X-Ray النافذة من خلال الثدي بدون وجود كتلة ورمية.

N_C : عدد الفوتونات X-Ray النافذة من خلال الثدي مع وجود كتلة ورمية.

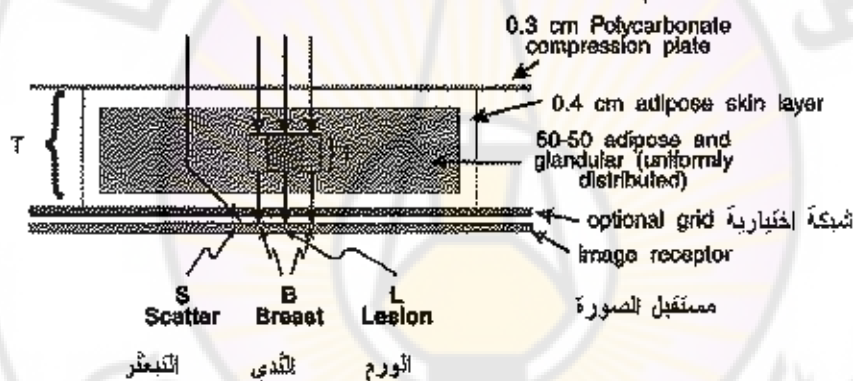
μ : معامل التخادم لنسج الثدي (cm^{-1}).

μ' : معامل التخادم لنسج منطقة الورم (cm^{-1}).

T : سمك الثدي (cm).

t : سمك الورم (cm).

صفحة ضاغطة من البولي كاربونات ذات
سمك 0.3 سم



الشكل (3-2) : خوذج مبسط محوسب لآلية تحصيل صور الثدي الشعاعية.

في منطقة الإهتمام الكتلة أو بنية مختلفة أخرى تتبع المعادلتين (3-1) ، (3-2)

وياعتبر أن μ و μ' معاملات التخادم لنسج الثدي ولورم الثدي. T هي سمك الثدي و t سمك

الورم.

فإن الاختلاف في الأشعة السينية العابرة تحدد وضوحاً العنصر (الصورة) والتي تعطى

بالعلاقة :

$$C_0 = \frac{N_B - N_C}{N_B + N_C} \quad (3-3)$$

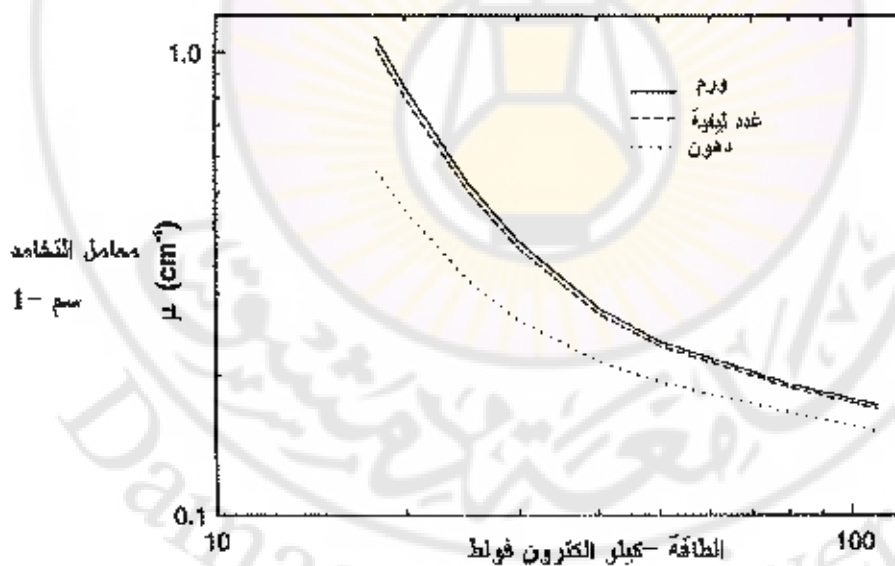
من أجل أشعة سينية أحادية الطاقة وبإهمال التبعثر فإن العلاقة تصبح :

$$C_0 = \frac{N_o(E) \cdot e^{-\mu T} - N_o(E) \cdot e^{-[\mu(T-t)+\mu't]}}{N_o(E) \cdot e^{-\mu T} + N_o(E) \cdot e^{-[\mu(T-t)+\mu't]}}$$

$$C_0 = \frac{e^{-\mu T} - e^{-[\mu(T-t)+\mu't]}}{e^{-\mu T} + e^{-[\mu(T-t)+\mu't]}} = \frac{e^{-\mu T} \left(1 - e^{\mu t} \cdot e^{-\mu't} \right)}{e^{-\mu T} \left(1 + e^{\mu t} \cdot e^{-\mu't} \right)}$$

$$C_0 = \frac{1 - e^{-(\mu - \mu)t}}{1 + e^{-(\mu - \mu)t}} \quad (3-4)$$

يمكن أن يعتمد التباين فقط على سمكية الورم وعلى اختلاف في معاملات التخادم بين كل من الورم ومعامل التخادم لخلفية الصورة، يبين الشكل (3-3) قياس معاملات التخادم مع الطاقة لثلاثة أنواع من المواد الموجودة في الثدي (غدد ليمفاوية وورم سرطاني أو دهون).



الشكل (3-3) : معاملات التخادم بدلالة الطاقة للورم والدهون والمدد اللمفاوية للصورة المشعاعية للثدي.

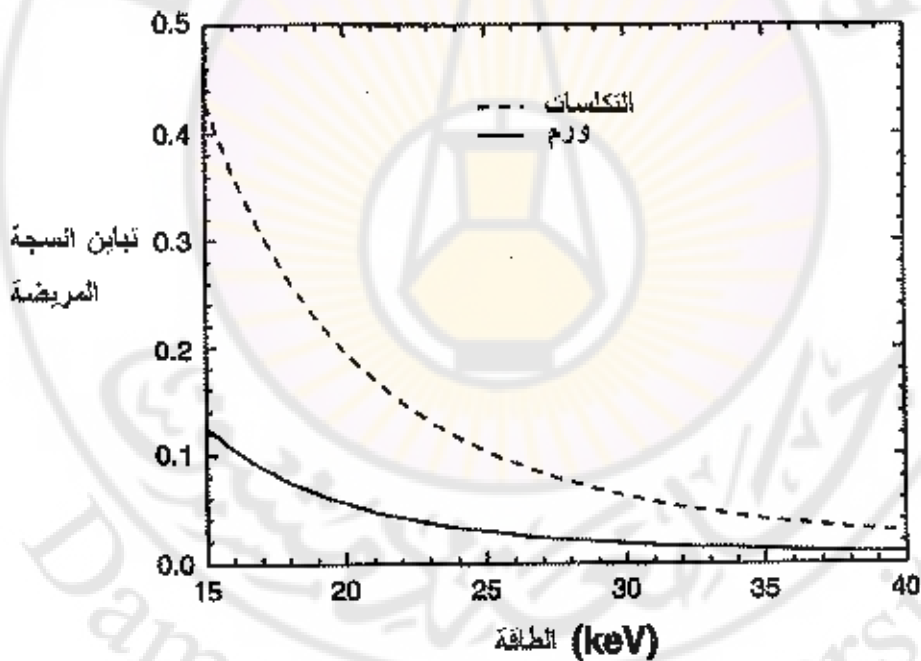
إن الفرق بين معامل التخادم ($\mu - 1$) ينقص بزيادة الطاقة (E). هذه المعاملات تتناقص مع زيادة الطاقة. وإن علاقة التباين مع الطاقة (الأشعة) تتناقص مع الورم أو التكيس كما هو واضح في الشكل (3-4). نلاحظ هنا فرقاً واضحاً وكبيراً بين وضوحية الورم وبين وضوحية التكيس مع العلم أن معاملات التخادم متقاربة لهما.

إن الشكل (3-4) والذي يعتمد على المعادلة (3-4) نلاحظ أن تباين العنصر لكل بقعة تكيس في الثدي تكون أكبر من صورة الكثافة الورمية مع التقويم إلى أن هناك اختلافاً في معاملات التخادم بين ثرات الكالسيوم (تكيسات) ونسج الثدي.

من أجل نظام الصورة المسجلة (صورة المستقبل) فإن قيمة التعرض تتناسب مع نسبة الذي ومع قيمة طاقة فوتونات أشعة X المطلقة من قبل المستقبل.

فإن قيمة (NB) تعطى بالمعادلة (3-5)

$$N_B = NB(E)e^{+\mu} \quad (3-5)$$



الشكل (3-4) : تباين صورة الثدي تعتمد على علاقة فوتونات أشعة X

3.4. المخطط الصندوقي لجهاز التصوير الشعاعي للثدي :

يتتألف الجهاز كما يوضح الشكل (3-5) من:

أ- مجموعة أنبوب الأشعة والمسند.

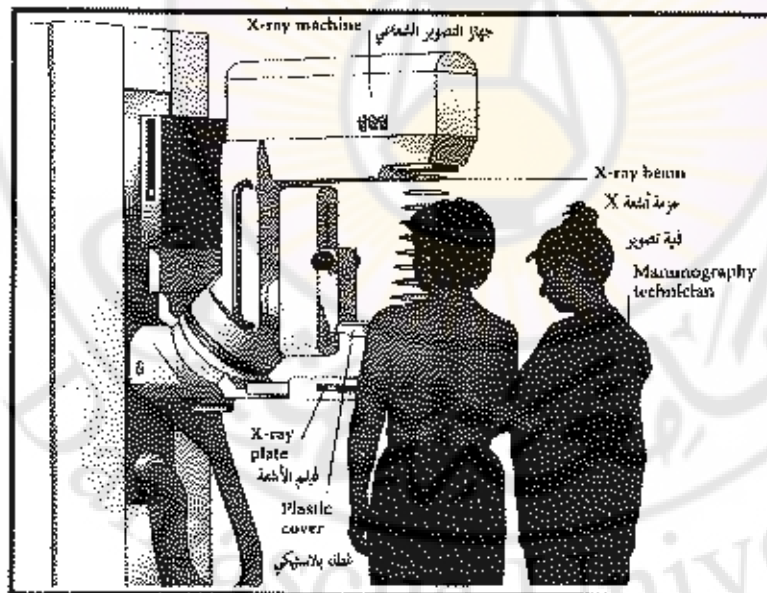
ب- صفيحة ضاغطة (Compression Plate) ومهماها ضغط الثدي كي يحل مساحة واسعة على صفيحة الفيلم مما يؤدي إلى انخفاض تخلة الثدي وهذا يساعد على الحصول على صورة واضحة للثدي نتيجة لاختراق أشعة X لنسج الثدي بشكل أسهل.

ت- صفيحة للفيلم حيث تحتوي على الفيلم الشعاعي داخل الكامبيت.

ث- شاشة حماية يقف خلفها المستخدم والمكونة من زجاج مرصص لحماية المشغل.

ج- لوحة التسجيل والتحكم.

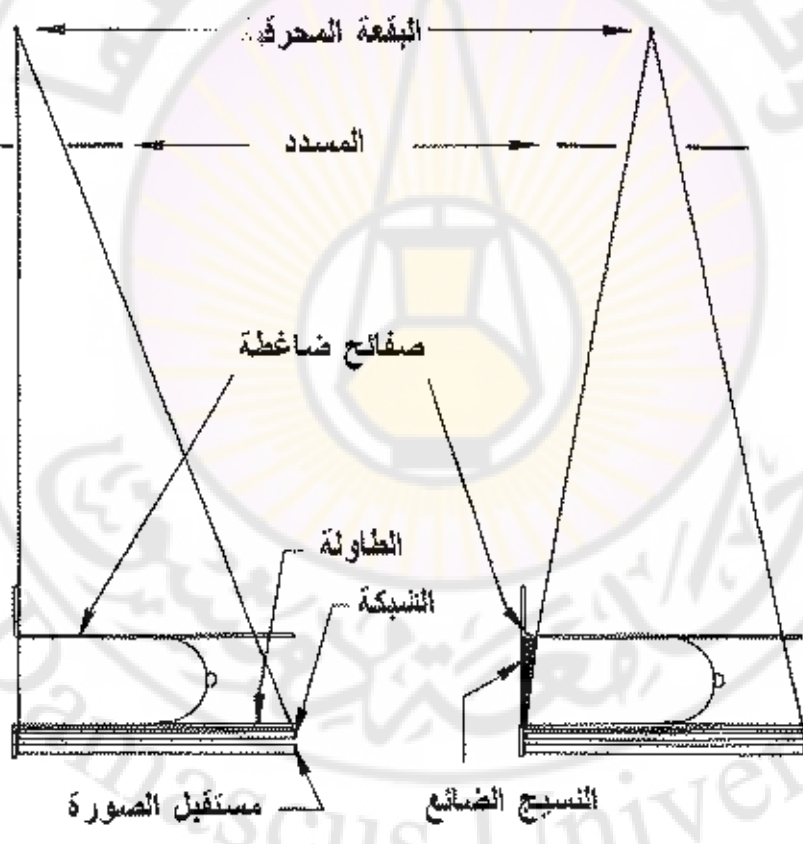
أي إن وحدة التصوير الشعاعي للثدي تتالف من أنبوب أشعة X ولاقط صورة تتوضع في الجهة المقابلة لأنبوب الأشعة ومتراوحة معه بالية وصل ميكانيكية تدعى الغانtry (Gantry) ولأن الثدي يجب أن يصور بوضعيت (زوايا) مختلفة وبالارتفاعات المختلفة فإن هناك آلية لضبط الارتفاع على المحور الشاقولي والضبط على المحور الدوراني الأفقي ويوضح الشكل 3-5 بنية وشكل جهاز التصوير الشعاعي للثدي.



الشكل (3-5) : المخطط الصنوري لمعدة التصوير الشعاعي للثدي.

تصمم أغلب تجهيزات التصوير الشعاعي للحصول على حقل صورة في مركز وحدة الأظهار. في أنظمة التصوير الشعاعي التي موضع بالشكل 6-3 أ مع تحاذي صحيح للخط الشاقولي لحزمة أشعة X. بينما يوضح الشكل 6-3 ب يوضح التحاذي الغير صحيح للخط الشاقولي لحزمة أشعة X للثدي.

تمر حزمة أشعة X الصادرة من أنبوب الأشعة خلال مرشح معدني يحدد فتحة وبعد وشكل الحزمة الشعاعية التي سوف تستخدم لتصوير الثدي وهذا المرشح يستخدم لمنع تبعثر الحزمة ولكي تصل جميع فوتونات أشعة X العابرة للمرشح إلى اللافط علماً بأن هناك جزء من الفوتونات يصل إلى اللافط بدون التفاعل مع التسبيح والذي يتم معالجته من خلال وحدة التحكم بالتعرض الإشعاعي الآلي.



الشكل (6-3) : التردد الفراغي لنظام التصوير الشعاعي للثدي (أ) التوضع المتماثل الخفي الصحيح، (ب) التوضع المخاطي.

3.4.1. أنابيب الأشعة :

يختلف أنابيب الأشعة في جهاز تصوير الثديين عن باقي أنابيب التصوير الشعاعي بما يلي :

(1) هدف المصعد مزلف من مادة الموليبيديوم وليس التتفستين، حيث إن صفات

الموليبيديوم الإشعاعية تنتج فوتونات أشعة X بطاقة 29 KeV

استخدام جهود منخفضة بين KV 40 - 20 لزيادة التباين.

(2) إنتاج أشعة X بطاقة KeV 29 أكبر بسبب أن فوتونات X التي لن تنتج من

هدف التتفستين حتى تتجاوز الفولطية KV 69.

(3) زاوية هدف أنابيب التصوير الشعاعي للثدي تتضمن لكون حقل التصوير (تحت الاختبار) صغيراً، وهذا يعطي تركيزاً جيداً مع تحمل حراري مقبول.

(4) تركيز جيد بسبب توسيع المصعد والمحيط بمسافة أكثر من 1 cm.

(5) تستخدم نافذة من البريليوم عوضاً عن الزجاج بسبب تخفيف لجزمة أشعة X المفيدة.

(6) يصمم الدرع لإنقاص كمية الزيت بداخله والتي يجب أن تخترقها الجزمة بالحد الأدنى.

(7) يستخدم فلتر من الموليبيديوم بدل فلتر الألمنيوم لأن فلتر الألمنيوم يضعف جزمة أشعة X المفيدة ذات الطاقة المنخفضة بشكل كبير.

(8) توسيع محتويات وشكل الأنابيب ليلاطم المريضة.

(9) وحدات التصوير الشعاعي للثدي تستعمل أنابيب ذات مصعد ثابت،

(10) يبرد المصعد بالماء.

في الأجهزة المتطوره فإن أبعاد البقعة المحرقة تكون بحدود (0.3 mm) وكلما كانت

حجم البقعة المحرقة أصغر كلما كانت الصورة تحتوي على معلومات أكثر، وحالياً هناك أنابيب

أشعة ذو بقعة محرقة بحدود (0.1 mm) .

إن مقاس البؤرة (البقعة) المحرقة الاسمي يتحدد بشكل ثسيبي بعلاقتها بمقاس البقعة

المحرقية الفعالة عند المحاور المرجعية كما هو موضح بالشكل (3-7) هذه المحاور المرجعية

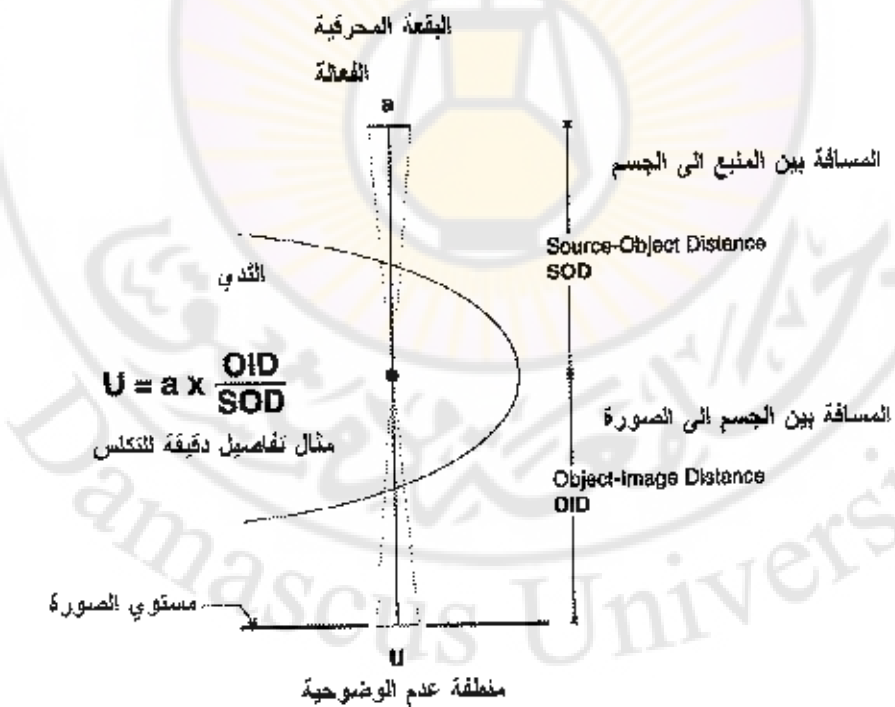
يمكن أن تتغير من شركة تصنيع إلى شركة تصنيع أخرى، وعادةً توصف بالنقطة الوسطى في الصورة.

زيادة المقاس الفعال للبؤرة المحرافية يحصل عند زيادة المسافة بين المصعد والمهبط لحقل التصوير.

عادةً تصنع أنابيب الأشعة السينية في أجهزة التصوير الشعاعي للثدي (الماموغرام) بحيث يكون المهبط ملائماً لصدر المرأة خاصةً أن الشدة الأكبر للأشعة السينية تكون عند المهبط مباشرةً وتحامد الأشعة يكون أكبر بالقرب من جدار الصدر على الصورة.

يمكن تحديد الدقة الحيزية لنظام التصوير بشكل جزئي بالمقاس الفعال للبؤرة المحرافية ودرجة التكبير للبنية التشريحية عند أي مستوى للثدي. وهذا موضح في الشكل (3-7) عن طريق المثلثات المتشابهة، فإن المناطق الغير واضحة تحدث بسبب الحجم المتناهي في البؤرة المحرافية والذي يتاسب خطياً مع المقاس الفعال للبؤرة والضريبة لكل من المسافة بين الجسم والفيلم (OID) إلى المسافة بين أنابيب الأشعة والجسم (SOD).

وبسبب أن الثدي له بنية ثلاثة الأبعاد فإن هذه النسبة وكذلك عدد الوضوحية سوف يختلف من مستوى إلى مستوى آخر داخل الثدي.



الشكل (3-7) : أختهاد وضوحة الصورة على مقاييس البقعة الحرارية ومعامل التضخيم يحدد مقاييس البقعة الحرارية لمكابدات الحمولة الحرارية لهدف أنبوب الأشعة. فمن أجل بقع محرافية صغيرة، فإنه يجب تخفيض تيار الأنابيب، مما يؤدي لضرورة زيادة أزمنة التصوير وإمكانية خسارة الدقة بسبب حركة الأعضاء التشريحية.

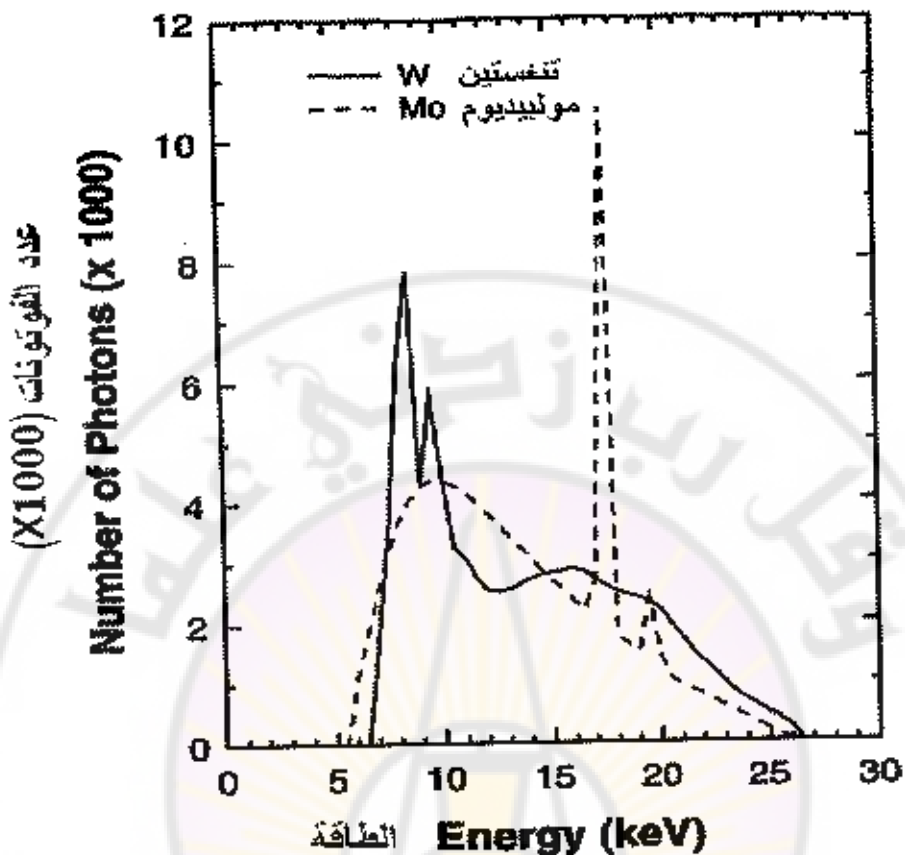
يمكن التحكم بخسارة الدقة المكانية بشكل جزئي عن طريق تغيير المسافة بين الجسم والفيلم ومسافة المنبع (الأنابيب) من الجسم، فعلى سبيل المثال من خلال تصميم الجهاز بمسافة كبيرة بين منبع الأشعة والثدي، أو بتخفيض المسافة بين الثدي والفيلم، وبضغط الثدي لتخفيض ثخانته الكلية.

يحدد التضخيم عادةً بواسطة نسبة الإشارة إلى الضجيج للصورة. يمكن تخفيض (SOD) و/أو زيادة (OTD) للتضخيم الصورة (عدةَ بعد المحرقي الحدي بحدود 0.1 mm). وباعتبار أن طاقة فوتونات الأشعة السينية ليست وحيدة الطاقة فإنه من الضروري تحديد العلاقة بين طيف الطاقة وبيان الصورة.

ويمكن التحكم بهذه العلاقة عن طريق ضبط الجهد العالي واختيار مادة الهدف وعلى شكل ونوع المرشح المتوضع بين أنبوب الأشعة السينية والثدي ويكون الجهد الأنسبي هو بين 18-23 KeV) معتمداً على بنية الثدي.

مثال : استخدام مادة الموليبيدينيوم (Molybdenum) تعطي قيمتين للجهد الأولى 17.4 KeV والثانية 19.6 KeV. يعطي صورة بدقة عالية ولهذا السبب فإن مادة الهدف لأنبوب الأشعة السينية تستخدم الموليبيدينيوم في معظم أجهزة التصوير الشعاعية للثدي.

وكل ذلك أغلب هذه الأجهزة تستخدم نافذة لخروج فوتونات أشعة X من مادة البرليوم (Beryllium) لغلافتها العالية لفوتوتات أشعة X المعيدة. الشكل (3-8) يوضح الفرق بين أنبوبيين أشعة X الأول يستخدم مادة الهدف من التغستين والثاني من مادة الموليبيدينيوم مع نافذة من مادة البرليوم.



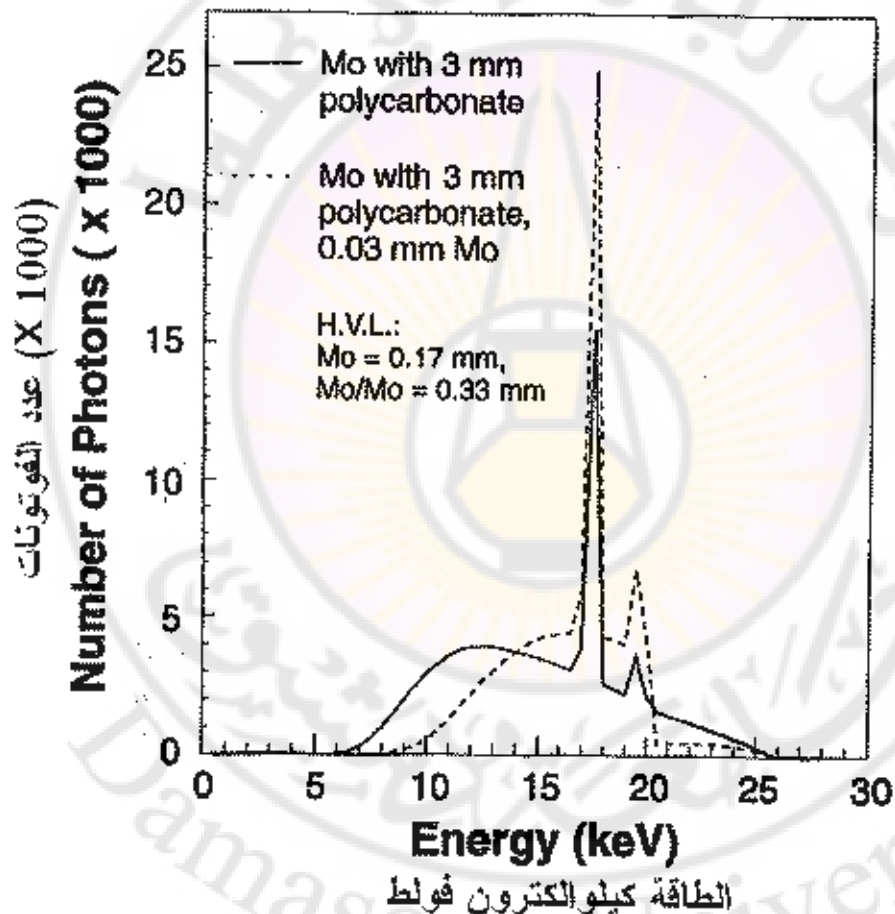
الشكل (3-8) : مقارنة بين كل من هدف المولبديوم والتنجستين على طيف الأشعة السينية.

3.4.2. ترشيح حزمة أشعة X :

في الأشعة التقليدية تصنع الفلاتر من الالمونيوم كي تستطيع حنف فوتونات المنخفضة الطاقة للأشعة السينية من الحزمة قبل أن تصل إلى المريض. في تصوير الثديين وخاصة عند استخدام مصعد من المولبديوم، يتم استخدام فلتر من المولبديوم بسماكة من 20 إلى 35 ميكرومتر. يقوم هذا الفلتر بتحميد أشعة X ذات الطاقة المنخفضة وفوتوونات ذات طاقة أكبر من حافة امتصاص K (أشعة X المقيدة) تعبر من خلال الفلتر بفعالية عالية.

فكما يوضح الشكل (3-9) فإن فلترة الحافة K ينتج عنه طيف غني بفوتوونات أشعة X في مجال 17 إلى 20 كيلو إلكترون فولت.

على الرغم من مناسبة هذا الطيف لتصوير الثدي إلا أنها ترحب ببطاقات أعلى لتصوير الأنسجة ذات الكثافة الأعلى (الأذاء). وبسبب أن طيف هدف المolibديوم يتأثر وبشكل كبير بخصائص فوتونات أشعة X، فإن الزيادة في الكيلو فولط لوحده لا يغير بشكل كبير في طيف فوتونات أشعة X. يمكن تقسيم الحزمة باستخدام فلاتر ذات أرقام ذرية أعلى من المolibديوم، على سبيل المثال الروديوم (رقمه الذري 45) وله معامل حلة K عند 23 كيلو إلكترون فولط، وهو له تخميد قوي لكل من أشعة X ذات الطاقة الأعلى وذلك التي هي أقل من ذلك بكثير. يستخدم مع هدف المolibديوم لأنبوب الأشعة ويزيد بشكل قليل الفولطية، مما يعطينا طيف بزيادة الاختراق (بجرعة مخفضة) مقارنة مع مجموعة مolibديوم / مolibديوم.



الشكل (3-9) : طيف الهدف من مادة المolibديوم والمرشح بواسطة طبقة بسمكدة 0.03mm من الموليبيديوم.

ومن الممكن زيادة تحسين أداء التصوير من خلال مواجهة الطاقة الطيفية الفعالة من خلال استخدام مواد أخرى للهدف مع إبقاء استخدام الفلاتر ذات حافة K المئوية. لقد قام أحد مصنعي التجهيزات باستخدام أنبوب أشعة ذي أهداف من الموليبديوم والروديوم، وبحيث يمكن توجيه الحزمة الإلكترونية إلى إحدى هذه المواد. وبهذا النظام يمكن أن تتغير الفلاتر لتناسب الهدف الذي تم التقاءه.

3.4.3. أجهزة الضغط على الثدي :

أغلب أجهزة التصوير الشعاعية للثدي تستخدم أجهزة لضغط الثدي (Compression Device) بالجهة العلوية من الفيلم وأجهزة الضغط تعطي أيضاً انخفاضاً ملحوظاً في قيمة نسبة التبعثر، ومن فوائد أجهزة الضغط أيضاً تخفيف من تخدام فوتونات أشعة X وهذا بدوره يمكن أن يقلل من قيمة الجرعة الإشعاعية التي تتعرض لها المريضية. الشكل (3-5) يوضح آلية عمل هذه الأجهزة.

3.4.4. الشبكة المضادة للتبعثر :

عادة ما تكون طاقة الفوتونات المستخدمة في التصوير الشعاعي للثدي أقل من أشعة X للتصوير الشعاعي العادي، وعند قيم الطاقة المنخفضة هذه تكون احتمالية التفاعل بين الفوتون - الإلكترون داخل نسيج الثدي ممكناً ولها دلالة معينة، وإن هذا يؤدي إلى انخفاض قيمة التباين حسب المعادلة :

$$C_s = \frac{C_0}{1 + SPR} \quad (3-6)$$

حيث C_s : تمثل التباين لصورة الثدي الحقيقة.

حيث C_0 : تمثل التباين لصورة الثدي بغياب الأشعة المتباعدة وتعطى بالمعادلة (3-6).

Scatter-to-Primary X-Ray Ratio : SPR نسبة تبعثر فوتونات أشعة X إلى الفوتونات الأولية الصادرة من أنبوب الأشعة في منطقة الاهتمام من الصورة.

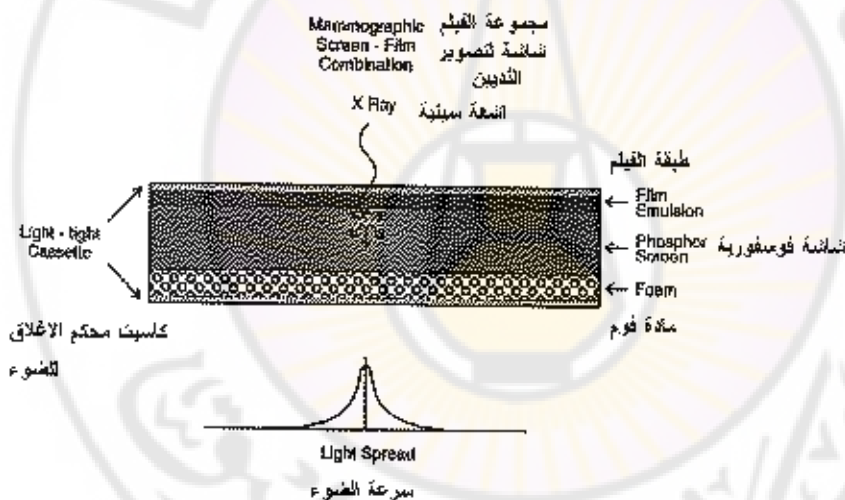
في غياب الشبكة المضادة للتبعثر فإن (37-50%) من الطاقة الكلية لفوتونات أشعة X يتم وصولها إلى مستقبل الصورة. وهذا يمكن أن يعطي قيمة SPR محدودة (0.6:1).

إن الشبكة المضادة للتبعثر تتكون من شبكة من حاجز رصاصي وهذه الشبكة ليست متوازية تماماً لمسار فوتونات أشعة X ولكن لها محرك مركزي، وتكون قيمة C_s تتراوح بين (3.5:1) و (5:1).

3.4.5. مستقبلات الصورة : Image Receptor

إن شاشات الفلورة تستخدم في التصوير الشعاعي للثدي من أجل تحسين عامل الدقة الحيزية، وهذه الشاشات تحول فوتون أشعة X إلى صورة ضوئية مرئية مع العلم أن هذه الشاشات تكون ملتصقة بطبقة الفيلم الحساسة ويبين الشكل (10-3) بنية نظام فيلم-شاشة. تستخدم الشاشة المفلورة لتبديل صورة الثدي الشعاعية إلى صورة بصرية وهذه الشاشة تستخدم طبقة من فيلم شعاعي حيث تحقق المواصفات المبينة بالشكل السابق وغالباً ما تكون الطبقة المفلورة مؤلفة من مادة أكسيد الكبريت الخادلوبوم ($Gd_2O_2 S$).

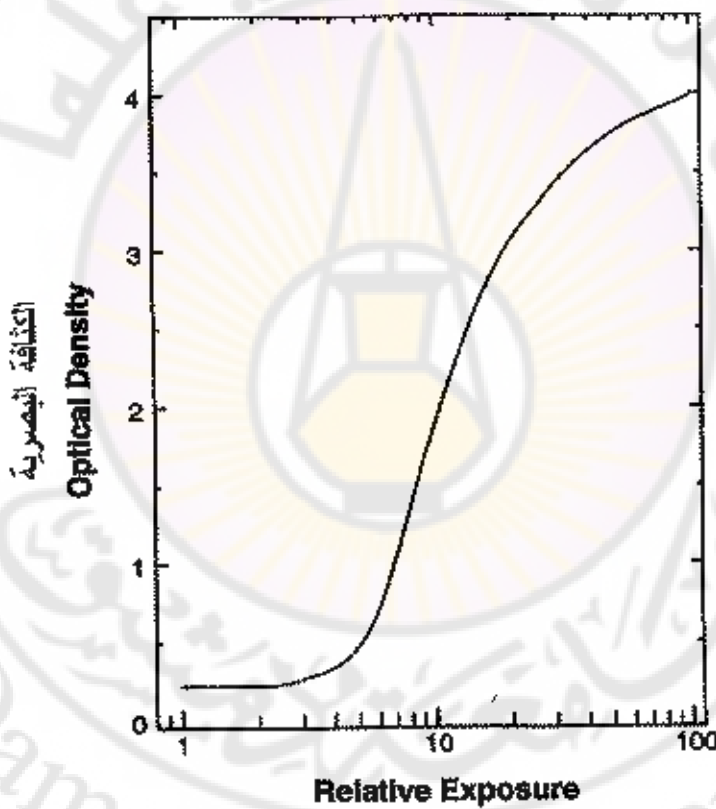
ونكون كثافة الفوسفور (7.44 g/cm^3) وبالتالي تكون الفعالية الكمية (Quantum efficiency) (نسبة الأشعة الماسقطة التي تتفاعل مع الشاشة) جيدة (بحود 60%). كما تكون فعالية التحويل (Quantum efficiency) للمادة الفوسفورية (نسبة طاقة الأشعة الممتصصة المتحولة إلى ضوء) عالية نسبياً. ويكون الضوء المنبعث من شاشة المفلورة وبشكل رئيسي ذا علاقة خطية مع كمية الأشعة الماسقطة على الفيلم.



الشكل (10-3) - تصميم لطبقات الصورة في نظام فيلم-شاشة لتصوير الثدي.

تصميم الطبقة الحساسة لفيلم التصوير الشعاعي للثديين من مناطق خصائصي كما هو مبين بالشكل (10-3) والذي هو مخطط لعلاقة الكثافة البصرية (العاتمة) التي يعطيها الفيلم المعالج مع لوغاريتم التعرض الإشعاعي الساقط على الشاشة. يعطي الفيلم خصائص تحويل لا خطية بين الدخل والخرج. يتحكم الميل المخطى لهذا المنحنى بدرجة التباين التي يستطيع الطبيب الشعاعي تمييزها. عندما يكون الميل قليلاً فإن أي زيادة في التعرض الشعاعي لا تعطي سوى

قدر صغير من التباين البصري، وبالتالي فإن بناء الصورة عند هذا القسم من المنحني يكون صعب الرؤية. بينما وفي مجال الميل الشديد للمنحني، يستطيع الفيلم إنتاج تباين ممتاز للصورة، ويعرف المجال الذي يكون فيه التباين جيداً بـ (Latitude of the film) عمل الفيلم. يبين الشكل (3-11) منحني خواص مستقبل الصورة فيلم-شاشة في التصوير الشعاعي للثدي ويسير أن الفيلم محدود بين قيمتين للكثافات البصرية: القيمة القاعدية وكثافة الضبابية للفيلم، وعندما لا يكون هناك أي تصوير شعاعي متعدد وتعتمد الكثافة على الطبيعة الحساسة، لذا يكون هناك حل وسط بين الميل الأعظمي للفيلم والمدى الذي يعطيه، لهذا السبب فإن بعض المناطق التي تنتج عن تصوير الثديين تكون إما زائدة التعرض أو منخفضة التعرض للأشعة مما يعني بناء صورة من تباين أقل من المثالى.



الشكل (3-11) - منحني خواص مستقبل الصورة فيلم-شاشة في التصوير الشعاعي للثدي.

3.5. الضجيج والجرعة :

إن مصدر الضجيج والجرعة (Noise and Dose) في أجهزة التصوير الشعاعية للثدي يأتي من مصادرتين. الأول من الامتصاص العشوائي لفوتوونات أشعة X والثاني يأتي من الترابط بين الشاشة-فيلم، فالضجيج الأول يسمى بالضجيج الكمي وبحكم هذا الضجيج قوانين بواسون الإحصائية.

أما الضجيج الثاني يأتي من كمية الإشعاع التي تتشكل منها الصورة بوحدة المساحة وهذا يعتمد على معامل الفعالية الكمي المرتبط بمعامل التخادم الناتج عن طبقة الفوسفور وسمكية الشاشة ويحدد قيمة هذا العامل ما يسمى بمعامل الفعالية الكمي.

3.6. التحكم الآلي بالتلعرض :

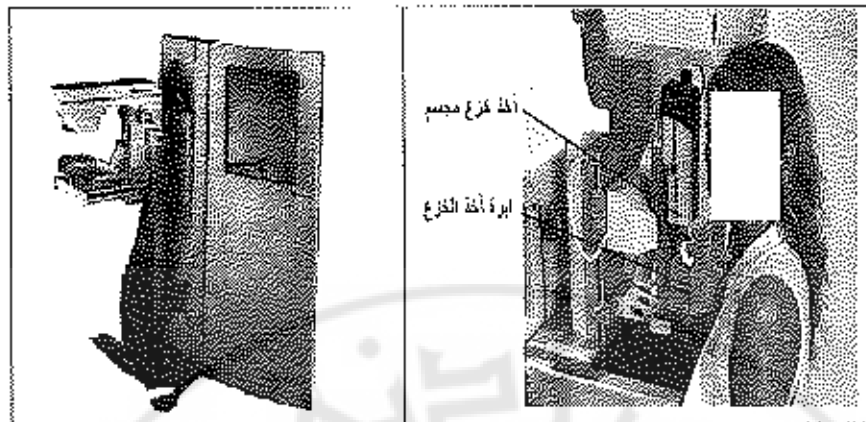
من الصعب على التقني تقدير معامل تخادم الثدي في أجهزة التصوير الشعاعي للثدي الحديثة وهناك وحدة للتحكم الآلي بالتلعرض (AEC) وهذه الوحدة لها حساس متوضع خلف مستقبل الصورة وخرج هذا الحساس يحدد قيمة الجهد العالي اللازم للتصوير بناء على فراغة أولية لقيمة خرج مستقبل الصورة.

3.7. ضبط الجودة :

إن جميع أجزاء نظام التصوير الشعاعي للثدي يجب أن تعمل بشكل جيد كل على حداه ويجب أن تعمل مجتمعة أيضاً بشكل جيد لذا يعد برنامج ضبط الجودة (Quality Control) أساسياً. لذلك يغير برنامج اختبارات يومية وشهرية.

3.8. أخذ الخزع :

ويضاف إلى الجهاز خيار إضافي للتمكن من أخذ خزعة من نسيج الثدي عن طريق جهاز أخذ الخزع (Biopsy Stereotactic).



الشكل (12-3) : يبين خطط لأجزاء جهاز آخذ الخزع في جهاز تصوير الثديين.

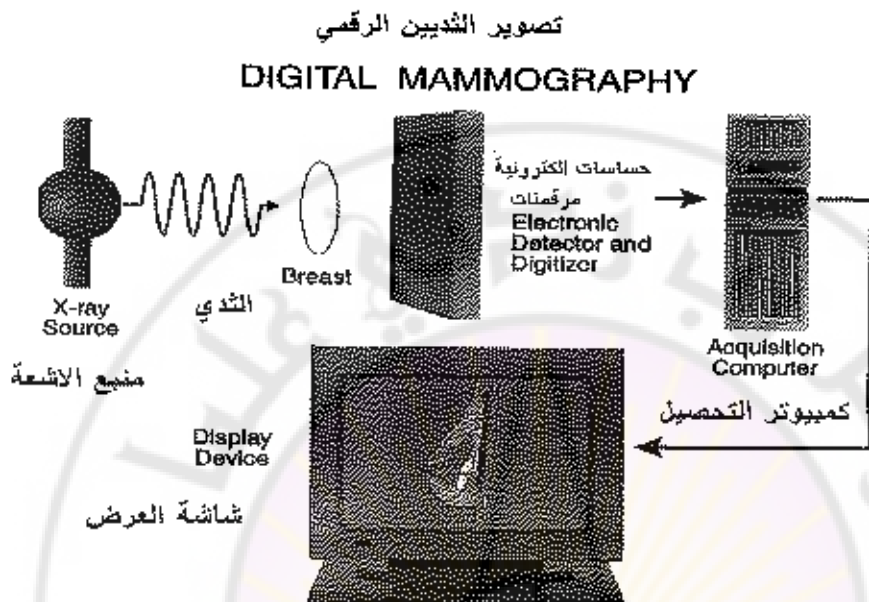
ومهمة آخذ الخزع هو آخذ عينة من النسيج المشكوك فيه ليتم إرساله إلى مخبر التحليل النسيجي لمعرفة فيما إذا كانت بنية نسيج الخزع خبيثة أم لا. وتقام هذه العملية تحت تخدير موضعي ويفضل بوضعيه تكون فيها المريضة مسترخية إما جالسة أو مستلقية ويكون جهاز آخذ الخزعات مرتبطاً بشكل مباشر مع حاسوب جهاز التصوير (الشكل (12-3)) حيث يفترض أن يكون جهاز التصوير رقمياً ويتم آخذ عدة صور للثدي بوضعيت مختلفة وحساب إحداثيات المنطقة المراد آخذ العينة منها حيث تتم قيادة آخذ الخزع إلى المنطقة المطلوبة.

3.9. تصوير الثدي الرقمي : Digital Mammography

هناك عدة عوامل تقنية تترافق مع استخدام نظام التصوير الشعاعي للثدي فيلم-شاشة والتي تحدد إمكانية إظهار بشكل دقيق أو بتفاصيل للصورة أكبر. ولإنتاج صورة بعامل فعالية كبير، فإنه يجب شرط جرعة شعاعية كبيرة للمريضة، وفي نظام فيلم-شاشة يجب استخدام تحصيل صورة اللاقط وبخريذها بشكل جيد، وباعتبار أن مدى الصورة على الفيلم محدود، وإذا كان الورم موجوداً في منطقة أكثر ظلمة على الفيلم من منطقة الورم هذا ربما يعود سببه إلى منحني التدرج (الاستجابة) للفيلم ويمكن أن يحدث هذا في منطقة تحتوي على عقدة لمفاوية متراكزة مما يؤدي إلى صورة ثدي كثيفة وذات ظلمة أكبر.

محدودية أخرى للفيلم وهي متعلقة بطبيعة الجبيبات المشككة لطبقة الفيلم الحساسة التي تعطي ضجيجاً على الصورة المسجلة على الفيلم. وأيضاً وجود تكتسات ميكروية وتجمادات دقيقة وكثيفة للنسج في الثدي أيضاً يعطي صورة غير واضحة بسبب وجود ضجيج بواسوني فيها.

كل هذه الميئات لنظام التصوير الشعاعي للثدي التقليدي يمكن التغلب عليها كلها باستخدام نظام رقمي للتصوير ويبين الشكل (3-13) نظام تصوير شعاعي للثدي رقمي.



شكل (3-13) : عجلة مندوبي لنظام تصوير شعاعي رقمي للثدي.

في هذا النظام الرقمي وبكل مرحلة تحصيل صورة أو إظهارها أو تخزينها لها عدة إجراءات منفصلة وغير مترابطة لتحسين عمل كل مرحلة من هذه المراحل للوصول إلى نظام أفضل مع صورة أدق وأوضح تفاصيل في جميع عمليات التشخيص المطلوبة من عملية التصوير الشعاعي للثدي، ويمكن بالنظام الرقمي الوصول إلى تحصيل معطيات من الصورة بأقل ضجيج ممكن وبخطوة عالية وتخزين الصورة وإعادة إظهارها رقمياً وبشكل غير مرتبط بخواص اللواقط.

إن تقنيات معالجة الصورة الرقمية مفيدة جداً من تعديل، ترشيح، تحسين الدقة الجزيئية، التباين، الهيستوغرام،.....

إن نظام التصوير الشعاعي للثدي الرقمي يعتمد بشكل رئيسي على استخدام كواشف رقمية أو وحدات إظهار بدقة عالية (عدد عناصر الصورة، التمعان، السرعة،.....) وهذه الكواشف يجب أن تتمتع بالخصائص التالية :

1. كفاءة امتصاص عالية لفوتوныات أشعة X.
2. منطبي استجابة خطى لمجال عريض من طلقات فوتونات أشعة X.
3. صحيح داخلي قليل.
4. دقة حيزية أكبر من (50 μ m) cycles/mm .
5. حجم حقل على الأقل (18X24 cm) أو {24X30 cm}.
6. زمن استجابة سريع ويتحمل للحمل الحراري الكبير لأنبوب الأشعة.

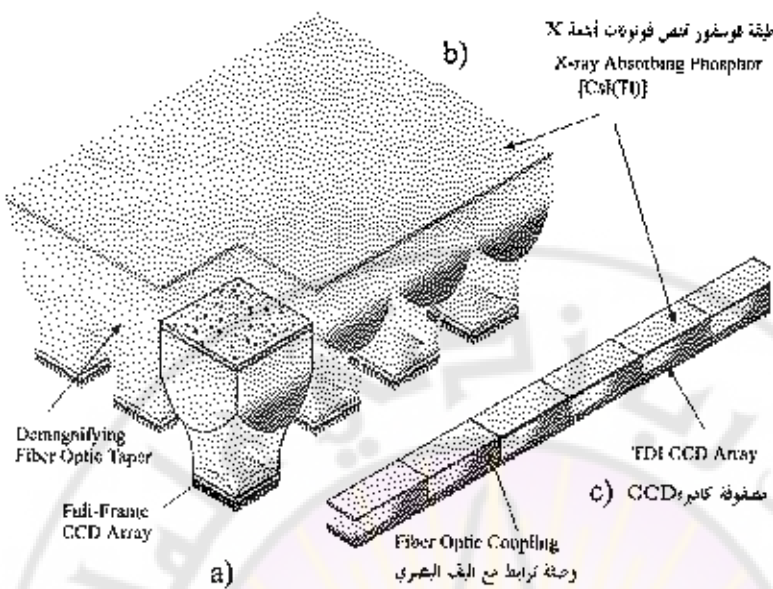
لتصميم نظام تصوير شعاعي رقمي كامل للثدي يجب أن يكون هناك تقنيات كواشف من نوع (CsI) على شكل مصفوفة مربعة بحدود (2048) عنصر من الثنائيات الضوئية مرتبطة بطبقة رقيقة من الترانزستورات المتوضعة على صفيحة من السيلكون، وعند امتصاص فوتون أشعة X من قبل كاشف فإنه يتحول الكاشف من حالة عدم فعالية إلى الحالة الفعالة.

يمكن استخدام كاميرا رقمية (CCD) كاشف وتعطي على خرجها الصورة.

الشكل (14-3) يبين نظام تصوير شعاعي للثدي رقمي بكاشف صغير وبعدة كواشف وبمصفوفة كواشف.

إن كاشف (3X4) مبينة بالشكل (14-3)ب للحصول على صورة لمنطقة محددة من الثدي، وفي الشكل (14-3)ج يمكن ربط CsI مع CCD بواسطة ألياف بصيرية ويمكن استخدام حزمة شعاعية مروحة لأشعة X.

إن التصوير الشعاعي للثدي يتطلب تقنيات تصوير بدقة عالية من أجل التقليل من عدد الوفيات بسبب الإصابة بمرض سرطان الثدي وهذا يتطلب تطوير تقنيات معالجة وتحصيل وإعادة إظهار لصورة الأشعة باستخدام نظام تصوير شعاعي رقمي.



الشكل (3-14) : (أ) نظام تصوير يكافئ صغير، (ب) نظام تصوير بـ 12 كاشف،
 (ج) نظام تصوير يمتصفون كاملاً من الكواشف.

الاستئناف:

س 1-3: ما هي التغيرات التي ثُمِّت على أنابيب الأشعة المستخدمة في أجهزة تصوير الثديين الشعاعية؟

س 2-3: يعبر مقياس البقعة المحرقة ذا علاقة وطيدة بدقة الصورة الناتجة ناقش هذه الفكرة؟

س 3-3: ما الغاية من تغيير مادة الهدف وكذلك مادة باندنة الخروج في أنابيب الأشعة لجهاز تصوير الثديين؟

س 4-3: ما الهدف من تغيير مادة الفلاتر المستخدمة في ترشيح الأشعة لجهاز تصوير الثديين؟

س 5-3: تم اعتماد تقنية تصوير الثديين الرقمية، ناقش الفكرة وشروطها؟

المراجع

References:

- [1] Feinberg B.N., "Applied Clinical Engineering" Prentice Hall Professional Technical Reference, 1985.
- [2] Krestel. E, "Imaging Systems for Medical Diagnosis": Wiley-VCH 1st edition 1990.
- [3] Shroy, R. E. Jr., Van Lysel, M.S., Yaffe, M. J. "X-Ray." *The Biomedical Engineering Handbook: Second Edition*. Ed. Bronzino J, Boca Raton: CRC Press LLC, 2000.
- [4] Hendee, W. R., Ritenour E. R, " Medical Imaging Physics" Fourth Edition, John Willey & Sons INC., Publication, Wiley-Liss, Inc., New York, PP: 217-262, 2002 .
- [5] Blanchard, S, Bronzino, J, "Introduction to Biomedical Engineering" Second Edition. Ed. Enderle, J.D. Elsevier Academic Press Amsterdam Boston Heidelberg London New York Oxford Paris San Diego San Francisco Singapore Sydney Tokyo PP: 857-920: 2005.
- [6] Webster. J.G., ' Encyclopedia Of Medical Devices And Instrumentation", 6 Volume, Set, , 2nd Edition, Wiley-inter-science, 2006.



الفصل الرابع

أنظمة التصوير فوق الصوتية

ULTRASONIC IMAGING SYSTEMS

المؤلف: د.م. أين صابوني



أنظمة التصوير فوق الصوتية

ULTRASONIC IMAGING SYSTEMS

4.1. الأمواج فوق الصوتية التشخيصية Diagnostic Ultrasound

يعتبر التصوير بالأمواج فوق الصوتية ذا أهمية كبيرة في التصوير الطبي كأداة تشخيص أساسية كونه غير جراحي وإلى الآن لم يثبت أي تأثير ضار لتفاعل الطاقة الصوتية أو فوق الصوتية مع النسج الحيوية التي يتم تصويرها بهذه الأمواج وكذلك مقدرة التصوير بالأمواج فوق الصوتية على تمييز سطوح التماس *interfaces* بين النسج الرخوة.

أما التصوير بالأشعة السينية والطب النووي. تكمن أهميتها الرئيسية كوسيلة تصوير في إعطاء الاختلافات في تخدام طاقة الأشعة السينية في النسج والتي تعتمد على بنى المكتن الذرية للمواد وهذا يتطلب أحياناً حقن مواد وسيطة (ظليلة) لتعطي تبايناً أكثر لهذه الكتل ولزيادة التمييز بين الأنسجة الرخوة ذاتها. بشكل مثابه تقييم تقنيات الطب النووي الامتصاص النووي للناظائر المشعة والتي تثبت على أعضاء حيوية محددة الهدف حسب نوع النظير المشع المستخدم لإعطاء معلومات وظيفية للعضو الحيوي المراد تصويره. وهكذا فإن التصوير بالناظائر المشعة (الطب النووي) وبالأشعة السينية يعتبر طرفاً جراحيه بالإضافة إلى تأثيراتها المختلفة ومن أهم الآثار السلبية لها ما يسمى بالسمية الشعاعية حيث أن الأشعة السينية هي أشعة تراكمية في الجسم ولا تطرح من الجسم بعد امتصاصها من قبل النسيج الحيوي وهذا التراكم للأشعة السينية يمكن أن يصل إلى حد يؤثر على حياة الإنسان وقد يؤدي في بعض الحالات إلى الوفاة وهذا ما يسمى بالسمية الإشعاعية.

يتم تطبيق الأمواج فوق الصوتية التشخيصية للحصول على صور كاملة وواضحة للأعضاء الداخلية في منطقة البطن مثل الكلية والكبد والطحال والبنكرياس والمثانة وأوعية الدم الرئيسية والجنين خلال جميع فترات الحمل. وتشتمل الأمواج فوق الصوتية التشخيصية للحصول على صور للمعدة البرقية والعين والتباين ومختلف النسج الرخوة السطحية والدماغ.

والتصوير بالأمواج فوق الصوتية يمكن أن يسمح بدراسة ديناميكية تدفق وجريان الدم في الجهاز القلبي الوعائي بدقة، من ناحية ثانية فإن المحدودية الرئيسية للأمواج فوق الصوتية هو أنها تتعكر بشكل كلي تقريراً عن الحدود الفاصلة مع العادة الغازية وهذا يشكل محدودية كبيرة لإمكانية التصوير بطريقة الأمواج فوق الصوتية لفحص الأعضاء التي تحتوي على مواد غازية.

4.2. فيزيائية الأمواج فوق الصوتية Physics of Ultrasonic Waves

إن الأمواج فوق الصوتية هي أمواج صوتية متراقبة مع ترددات فوق المجال الصمعي أكبر من 20 كيلو هرتز. تبدي الأمواج فوق الصوتية نفس الخصائص الفيزيائية للأمواج الصوتية المسموعة ولكنها مقصورة لواحد أو أكثر من الأسباب التالية:

- ١- الأمواج فوق الصوتية هي أمواج موجهة ويمكن تركيزها للحصول على حزم أشعة ضيقة لتصوير أعضاء صغيرة بدقة عالية.
 - ٢- الأمواج فوق الصوتية مناسبة للتطبيقات غير المسموعة.
 - ٣- الأمواج فوق الصوتية تتمكن من دراسة الخصائص البنوية للكتل الصغيرة باستخدام الأمواج فوق الصوتية عالية التردد (أمواج قصيرة). وذلك لكشف الكتل حيث ينبغي أن تكون أطوال الأمواج المستخدمة من نفس مرتبة أبعاد الكتل.
 - ٤- إن المعلومات الديناميكية التي يتم الحصول عليها بواسطة الأمواج فوق الصوتية لا يمكن الحصول عليها بواسطة آلية تقنية تقليدية أخرى.

يمكن أن يحدث انتقال الموجة فوق الصوتية بانسياط مخالفة للحركة. ويمكن أن تكون حركة الموجة طولية أو عرضية أو قصبة في الوسط الفيزيائي مثل الوسط الغازي، السائل أو الصلب. من ناحية ثانية يُستخدم عادة من أجل التطبيقات التشخيصية بالأمواج فوق الصوتية الطبية نمط الانتشار الطولي للموجة، بالإضافة إلى أن هذه الأمواج تستطيع أن تنتشر في جميع الأوساط، الصلبة والسائلة والغازية. تتذبذب جزيئات الوسط بالأمواج الطولية للأمام والخلف باتجاه انتشار الموجة مودية إلى مناطق متباينة من الانضغاطات والتخلخلات (عقد وبطون).

4.2.1. طول الموجة و السرعة Wavelength and Velocity

تبين العلاقة التالية للأمواج فوق الصوتية العامة بين طول الموجة والتتردد والسرعة للأمواج فوق الصوتية المحطة بواسطة المعادلة (4.1) :

$$V = \mu \dots \quad 4.1$$

جبل

V = سرعة انتشار الصوت في الوسط (m/s)

- فردد الأمواج فوق الصوتية (Hz)

- طول الموجة (λ)

و يمكن للمعاملة (4.1) أن تتعطى بشكل آخر بواسطة المعاملة (4.2) كما يلى :

$$V = \frac{\lambda}{T} \dots \quad 4.2$$

V - سرعة انتشار الصوت في الوسط (m/s)

$T =$ دور الأمواج فوق الصوتية (8)

٢- طول الموجة (m)

إن مجال الترددات فوق الصوتية المستخدمة في التطبيقات الطبية هي من (1-23 MHz) يتطلب هذا التردد أيضاً مع الترددات الراديوية (rf). من ناحية ثانية يوجد اختلاف أساسي بين الترددات الراديوية والطاقة فوق الصوتية، حيث يتم إرسال الأمواج فوق الصوتية كاهتزازات ميكانيكية بينما ستكون طاقة الأمواج الراديوية على شكل إشعاعات إلكترومغناطيسية، ليس من الضروري وجود وسط لانتشار طاقة الأمواج الراديوية وبناء عليه سوف تغير حتى من خلال الفراغ المخلوي من الهواء، من ناحية أخرى سوف تغير الأمواج فوق الصوتية فقط من خلال وسط ما.

الجدول (4.1) يبين بعض قيم الاختلافات سرعات انتشار الأمواج فوق الصوتية في بعض النسج الحيوية.

الجدول 4.1: كثافات بعض النسج الحيوية وسرعات انتشار الأمواج فوق الصوتية في هذه النسج عند درجة حرارة 25°C

النوع	(g/cm ³) المكتسبة	(m/sec) المسماة
هواء	0.001	330
عظام	85.31	3360
عضلات	1.06	1570
دهون	0.93	1480
دم	1.0	1560

مثال (4.1)

إن تردد الأمواج فوق الصوتية في نسيج بشري حيوي يبلغ (kHz) 2500 وطول

الوحة يبلغ $(m) 6 \times 10^{-4}$ والمطلوب حساب سرعة انتشار الأمواج فوق الصوتية بالنسيج؟

الحل :

$$V = f\lambda$$

$$V = (2500 \text{ kHz}) \times (6 \times 10^{-4} \text{ m})$$

$$V = (1500) (\text{m/s})$$

وهذه السرعة لها قيمة مقبولة في النسج الحيوية البشرية في الأجهزة التي تعمل على الترددات بين $(MHz) 2-3$.

مثال (4.2) :

إن تردد الإشارة الكهربائية الموصولة مع المبدل المولد للأمواج فوق الصوتية في نسيج بشرى حيوي يبلغ $(kHz) 2000$ والمطلوب :

١- حساب طول موجة الأمواج فوق الصوتية المتولدة في المبدل إذا كانت سرعة انتشار الأمواج فوق الصوتية تبلغ $(m/s) 1500$ ؟

٢- حساب طول موجة الأمواج الكهرومغناطيسية إذا كانت سرعة انتشارها تبلغ $(m/s) 3 \times 10^8$ ؟

٣- مقارنة طولي الموجتين السابقتين؟

الحل :

$$\lambda_1 = \frac{V}{f} = \frac{1500 \text{ m/s}}{2 \times 10^6 \text{ Hz}} = 7.5 \times 10^{-4} \text{ m} \quad V = f\lambda \quad -1$$

$$\lambda_2 = \frac{V}{f} = \frac{3 \times 10^8 \text{ m/s}}{2 \times 10^6 \text{ Hz}} = 150 \text{ m} \quad V = f\lambda \quad -2$$

٤- طول الموجة الكهرومغناطيسية اللازمة لتوليد الموجة فوق الصوتية عند تردد 2000 kHz تكبر 2000 مرة عن طول الموجة فوق الصوتية المتولدة عند التردد نفسه (2000 kHz)

$$\left(\frac{\lambda_2}{\lambda_1} \right) = \frac{150 \text{ m}}{7.5 \times 10^{-4} \text{ m}} = 2000$$

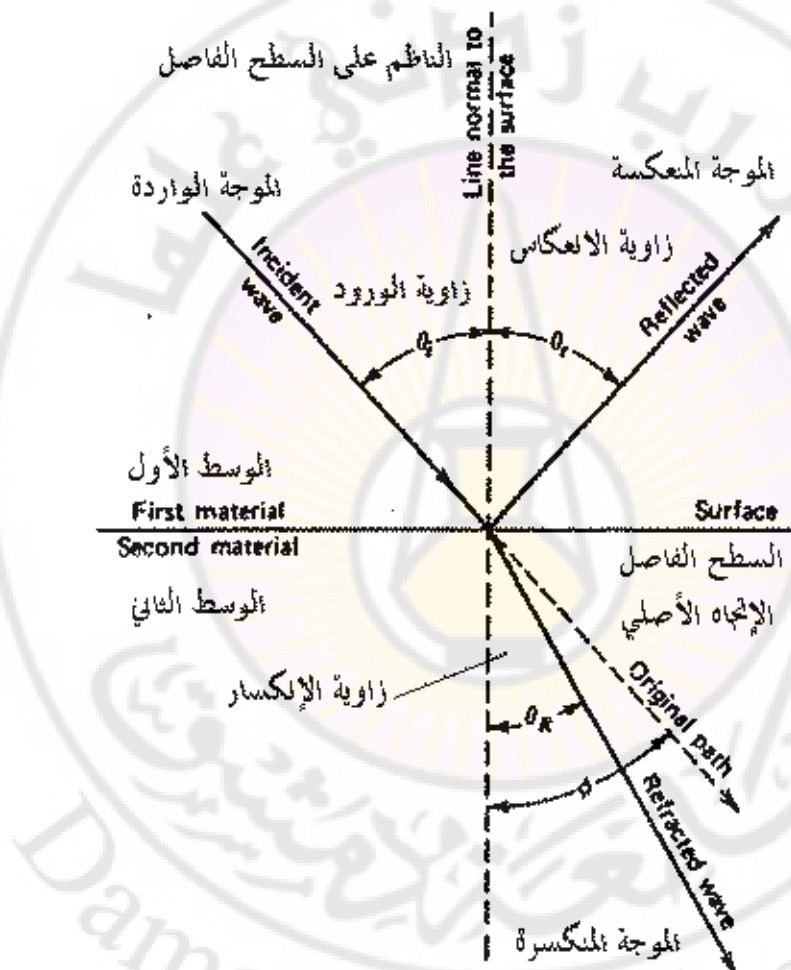
حسب المعادلة التالية :

4.2.2 ظاهرة الانعكاس والانكسار

Reflection and Refraction Phenomena

إن ظاهري الانعكاس والانكسار تحدث لانتشار جميع أنواع الأمواج وهذا يحدث عندما

تصطدم الأمواج بسطح فاصل بين وسطين مختلفين بالكثافة المادية (الصوتية، الصوتية، الذرية، الحجمية,...) بالنسبة إلى الأمواج فوق الصوتية تتعكس حزمة الأمواج فوق الصوتية بعكس اتجاه انتشارها عندما تسقط بشكل عمودي على السطح الفاصل بين وسطين صوتيين مختلفين بالمقدمة الصوتية. وتتعكس حزم الأمواج (الأشعة) للوليدة عن السطح الفاصل بين وسطين مختلفين بالكثافة الصوتية (مقدمة صوتية) بزاوية انعكاس تساوي زاوية الورود على السطح الفاصل بالنسبة إلى الناظم (العمودي) على هذا السطح الفاصل كما هو مبين بالشكل (4.1).



الشكل ٤٠.٤ : انعكاس و انكسار الأمواج فوق الصوتية عند سطح التبادل interface between two materials with different acoustic densities.

4.2.3. الممانعة المميزة :Characteristic Impedance

تحدد الممانعة المميزة لوسط صوتي أو الممانعة الصوتية للتوعية لوسط ما بـ حاصل ضرب كلثة الوسط بسرعة الصوت في نفس الوسط حسب المعادلة (4.3).

٢٤

γ = المماسة الصوتية النوعية (g/cm².s)

$$\rho = \text{كتافة الوسط (g/cm}^3\text{)}$$

٧- سرعة انتشار الصوت في الوسط (cm/s)

مثال (4.3)

المطلوب حساب الممانعة الصوتية للماء إذا كانت سرعة انتشار الصوت في الماء هي 1500 وكتافة الماء هي 0.99 g/cm^3 (m/s)

الخطب

$$z = \rho V$$

$$z = (0.99) \left(g / cm^3 \right) x (1500 \times 100) \left(cm/s \right)$$

$$z = 148500 \left(g / cm^2 \cdot s \right) = 1.5 \times 10^5 \left(g / cm^2 \cdot s \right)$$

تحدد الممانعة المميزة أو الممانعة الصوتية النوعية لوسط بدرجة الانعكاس والانكسار عند سطح التفاس بين وسطين صوتيين، تُعطى النسبة المئوية لطاقة الموجة الواردة إلى المتعكسة من خلال المعادلة (4.4) :

3613

P_r = الطاقة المنعكسة بين الوسطين

- الممانعة المصعدة للوسط

= المعايير الصوتية للوسط 2.

مثال (4.4) :

المطلوب حساب معامل الانعكاس للأمواج فوق الصوتية للسطح الفاصل بين الهواء 1.5×10^{-5} و والنسيج مع العلم أن ممانعة الهواء هي $(g/cm^2.s)$ 50 وممانعة النسيج هي $(g/cm^2.s)$.

الحل :

$$\left(\frac{Z_1 - Z_2}{Z_1 + Z_2} \right)^2 \times 100\% = \left(\frac{50 - 150000}{50 + 150000} \right)^2 \times 100\% = 99.9\%$$

نلاحظ من المثال السابق أن معظم الطاقة الصوتية الصادرة من المنبع للأمواج فوق الصوتية تتعكس من السطح الفاصل بين وسطين صوتيين لهما ممانعتين صوتيتين فيما يختلف كبير لقيمها وهذا ما يتضح ضرورة استخدام مادة صوتية وسيطة لتأمين التوافق في الممانعات الصوتية وهذه الحالة من أهم الحالات التي تحد من استخدام تقنية الأمواج فوق الصوتية بالاستخدام. ولهذا السبب يتم استخدام وسط توافق مثل الجل الخاص بالتصوير بالأمواج فوق الصوتية لتقليل هذا الانعكاس للطاقة إلى الحد الأدنى من خلال تأمين مرور خالٍ من الهواء بين المبدل فوق الصوتي والجلد.

مثال (4.5) :

المطلوب حساب معامل الانعكاس للأمواج فوق الصوتية للسطح الفاصل باستخدام الهلام (جيل) لمتوافق الممانعة الصوتية من المثال السابق 4 وإلغاء وجود فقاعة الهواء بين النسيج 1.5×10^{-5} والمتابع مع العلم أن ممانعة للهلام هي $(g/cm^2.s)$ 148000 وممانعة النسيج هي $(g/cm^2.s)$.

الحل :

$$\left(\frac{Z_1 - Z_2}{Z_1 + Z_2} \right)^2 \times 100\% = \left(\frac{148000 - 150000}{148000 + 150000} \right)^2 \times 100\% = 0.67\%$$

نلاحظ من المثال السابق أن معظم الطاقة الصوتية الصادرة من المنبع للأمواج فوق الصوتية تعبر من خلال السطح الفاصل بين وسطين صوتيين إلى التسخين الحيوي وهذا ما يشرح ضرورة استخدام مادة صوتية وسيطة لتأمين التوافق في المماثلات الصوتية هلام (جيبل).

4.2.4. تخامد الأمواج فوق الصوتية: Attenuation Of Ultrasound

عندما تخترق موجة فرق صوتية وسلا، فإنه يتم نزع طاقة من الحزمة من خلال الامتصاص، التبعثر، والانعكاس.

يقصد بالتخامد في الأمواج في الصوتية على أنه الآلة التي تنتزع الطاقة من حزمة الأمواج فوق الصوتية، تختص الأمواج فوق الصوتية من قبل الوسيط إذا تحول جزء من الحزمة إلى شكل آخر من الطاقة، مثل زيادة في الحركة العشوائية للجزيئات.

تعكس الأمواج فوق الصوتية إذا كان هناك انعكاس منظم لجزء أو كل الحزمة، فإذا غيرت حزمة الأمواج فوق الصوتية اتجاهها بمنطأ أقل تنظيماً فإن هذه الحالة تدعى التبعثر.

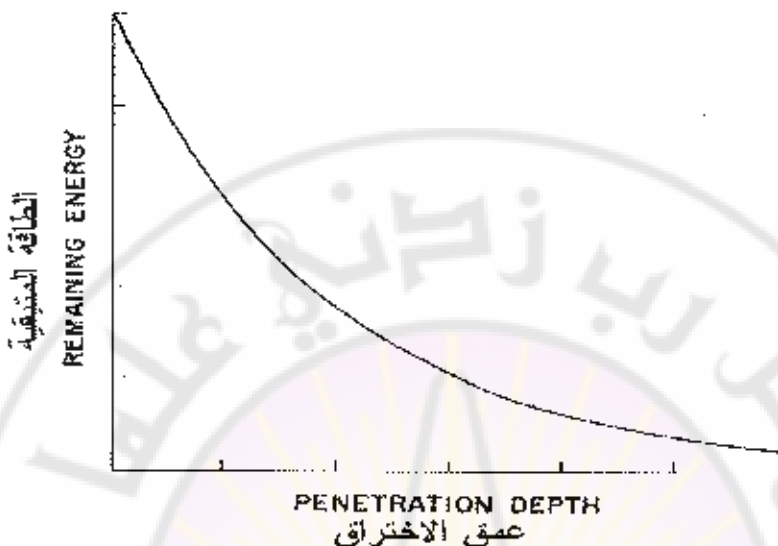
تعتمد سلوكية الحزمة الصوتية عندما تواجه عائقاً على مقاييس العائق مع طول موجة الصوت، فإذا كان مقاييس العائق كبيراً مقارنة مع طول موجة الصوت (وإذا كان العائق ناعماً نسبياً)، فيالتالي تبقى الحزمة على سالمتها عندما تغير اتجاهها، ينعكس جزء من الحزمة الصوتية والباقي ينتقل عبر الحاجز كحزمة بشدة أقل.

أما في حال كون مقاييس العائق يساوي أو أصغر من طول الموجة فوق الصوتية، فإن العائق سوف يبعثر الطاقة في اتجاهات مختلفة، يعود بعض من طاقة الفرق صوتيات إلى المنبع الأنسامي بعد تبعثر برأس (Specular) ولكن ليس بعد أن تتم عدة حوادث تبعثر.

في التصوير الطبي، يسمح الانعكاس البراق لرؤية الجدود بين الأعضاء، بينما الانعكاس الغير برأس لرؤية نسيج الرئة الأسفنجي (parenchyma). أما البنى في الأنسجة مثل ألياف الكولاجين والتي هي أصغر من طول موجة الأمواج فوق الصوتية، مثل هذه البنى تسبب تبعثراً يعود إلى المبدل من خلال طرق متعددة.

ويكون الصوت العائد إلى المبدل من هذه الانعكاسات الغير برأس هو ليس بحزمة مترابطة، إنه مجموع لأمواج مركبة منتجة بمذبح مركب من التداخلات البناءة والهادمة عائدة إلى المنبع، يعرف هذا التداخل بالطخة ذات مظاهر مميزة للأنسجة المعقدة مثل الكبد.

وكما هو موضح بالشكل (4-2) فإن الطاقة المتبقية في الحزمة تتناقص بشكل تابع لأسى مع عمق اختراق الحزمة للوسط.



الشكل 4.2 : بين علاقة عمق اختراق الأمواج فوق الصوتية مع خسارة الطاقة الأساسية.

مثال (4.6)

أُوجد نسبة انخفاض الشدة لحزمة أمواج فوق صوتية ذات تردد 1 MHz تعبر مادة بمسافة 10 سم والمادة ذات معامل تخادم I dB/cm .
بحسب الانخفاض في الشدة :

$$dB = (1 \text{ dB/cm})(10 \text{ cm}) = (-10 \text{ dB})$$

بالمقارنة مع الشدة المرجعية، والتي في هذه الحالة هي شدة الصوت قبل دخولها للمادة المخدمة.

$$\begin{aligned} dB &= 10 \log I/I_0 \\ \log I/I_0 &= 10 - 10 \\ \log I/I_0 &= 1 \\ I/I_0 &= 10 \\ I &= I_0/10 \end{aligned}$$

أي إن هناك تخفيف بالشدة 90%.

لحسب التخفيف في الشدة إذا كان تواتر الفوق صوتي 2 MHz.

بسبب أن التخادم يزداد بشكل خطى مع التواتر فإن معامل التخادم عند 2 MHz سوف يكون أي كتيبة 20 dB/cm أي تخفيف 99%.

الجدول رقم 4-4 يبين التخادم في الأمواج فوق الصوتية في المادة عند 1 ميغا هرتز

المادة	α (dB/cm)	المادة	α (dB/cm)
دم	0.18	رئة	40
دهون	0.6	كبد	0.9
عضلات (على عرض الألياف)	3.3	دماغ	0.85
عضلات (على طول الألياف)	1.2	كلية	1.0
الخلط المائي والزجاجي للعين	2.0	عمود فقري	1.0
عظم الفخذ	20	ماء	0.0022

يبين الجدول أن التخادم في العظم هو كبير جداً. هذه الخاصية مع معامل الانعكاس للوسط الفاصل بين النسيج والعظم، تجعل من الصعب رؤية البني الموجودة خلف العظم. وكثفريبي أولى فإن معامل التخادم للأنسجة هو 0.9 v حيث v تواتر الأمواج فوق الصوتية بواحدة MHz. هذا التعبير يؤدي إلى نتيجة مفادها أن التخادم يزداد مع ارتفاع تردد الأمواج فوق الصوتية في الأنسجة الحيوية. أي كلما زاد التواتر زاد التخادم وأنخفضت الاختراقية.

مثال (4.7) :

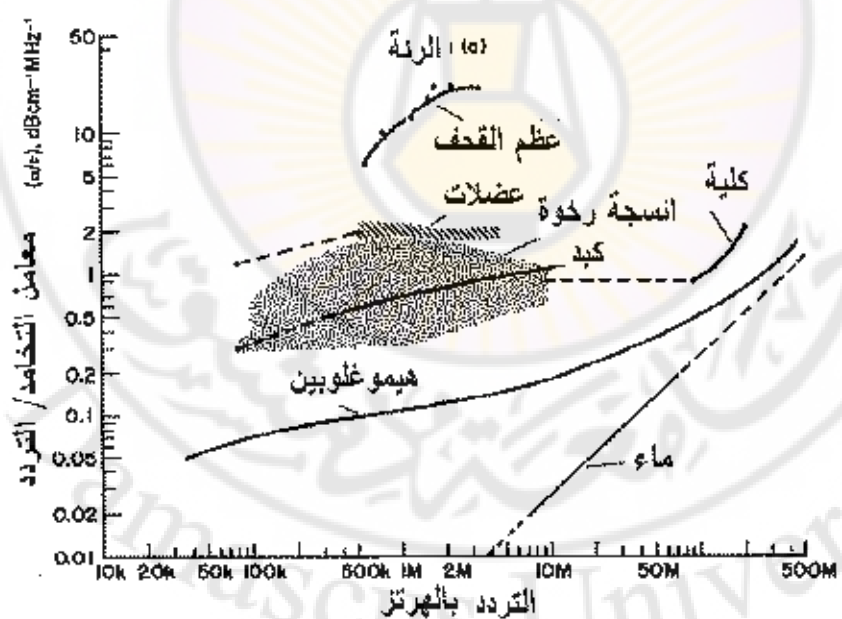
افتراض أن جسماً مولفاً من الأنسجة 2 سم دهون ، 3 سم عضلات و 4 سم كبد. ما هو خسارة الطاقة الكلية:

خسارة الطاقة الكلية = خسارة الطاقة في الدهون + خسارة الطاقة في العضلات + خسارة الطاقة في الكبد.

$$= (0.6 \text{ dB/cm})(2 \text{ cm}) + (1.2 \text{ dB/cm})(3 \text{ cm}) + (0.9 \text{ dB/cm})(4 \text{ cm}) \\ = 1.2 \text{ dB} + 3.6 \text{ dB} + 3.6 \text{ dB} = 8.4 \text{ dB}$$

الجدول رقم 3-4 يبين للتغيرات في معامل التخادم في الأمواج فوق الصوتية في المادة تبعاً للتوافر في الميغا هرتز حيث α_1 معامل التخادم عند 1 ميغا هرتز

المادة	التغير في التردد	المادة	التغير في التردد
دم	$\alpha = \alpha_1 \times \nu$	رئة	$\alpha = \alpha_1 \times \nu$
دهون	$\alpha = \alpha_1 \times \nu$	كبد	$\alpha = \alpha_1 \times \nu$
عضلات (على عرض الألياف)	$\alpha = \alpha_1 \times \nu$	دماغ	$\alpha = \alpha_1 \times \nu$
عضلات (على طول الألياف)	$\alpha = \alpha_1 \times \nu$	كلية	$\alpha = \alpha_1 \times \nu$
الخلط المائي والازجاجي للعين	$\alpha = \alpha_1 \times \nu$	عمود فقري	$\alpha = \alpha_1 \times \nu$
عظم الفخذ	$\alpha = \alpha_1 \times \nu^2$	ماء	$\alpha = \alpha_1 \times \nu^2$



الشكل 4.3 : يبين علاقة تردد الأمواج فوق الصوتية مع معامل التخادم لعدة مواد حيوية.

4.2.5 سرعة الانتشار Velocity of Propagation

يتم إرسال الطاقة فوق الصوتية خلال وسط ما كموجة حركية ميكانيكية وبناء عليه من غير المتوقع حدوث حركة كاملة للوسط. تُحدّد سرعة الانتشار لهذه الموجة من خلال كثافة وصلابة الوسط الذي تنتقل من خلاله الموجة. إن كثافة وصلابة المواد الحيوية ثابتة نسبياً عند درجة حرارة وضيق ثابتة، ولذلك تكون سرعة انتشار الصوت فيها ثابتة أيضاً.

الجدول (4.2) يبين بعض قيم مماثلات وسرعات انتشار الأمواج فوق الصوتية في بعض النسج الحيوية.

الجدول 4.4 : سرعات انتشار الأمواج فوق الصوتية في بعض النسج الحيوية.

المماثلة الصوتية (g/cm ² .s) X 10 ⁻⁵	السرعة (m/s)	المادة
0.0004	331	هواء
1.38	1450	دهن
19.7	1450	زنبق
1.40	1500	زيت غذائي
1.54	1540	ماء
1.63	1540	نسج حيوي رخو
1.58	1541	دماغ
1.65	1549	كب
1.62	1561	كتينة
1.61	1570	الدم
1.70	1585	عضلات
1.84	1620	خشبة العين
29.3	3780	PZT-5A
30.0	4000	PZT-4
7.80	4080	عظم الجمجمة
38.0	4490	عظم الساعد
15.2	5740	الكورتر
16.5	6400	الألمنيوم

إن معرفة سرعة الصوت في وسط محدد مهمة في حساب العمق الذي تخترق الموجة

الصوتية قبل لمعكبسها. إذا أمكن فياس الوقت الذي تستغرقه موجة فوق الصوتية للتحرك من مصدرها خلال وسط ما، ولتعكس عن سطح التفاس تعكس بجهة المصدر، ويعطي عمق الاختراق بواسطة:

$$4.5 \quad \text{عمق الاختراق} = \frac{\text{(سرعة الصوت في الوسط} \times \text{الزمن)}}{2}$$

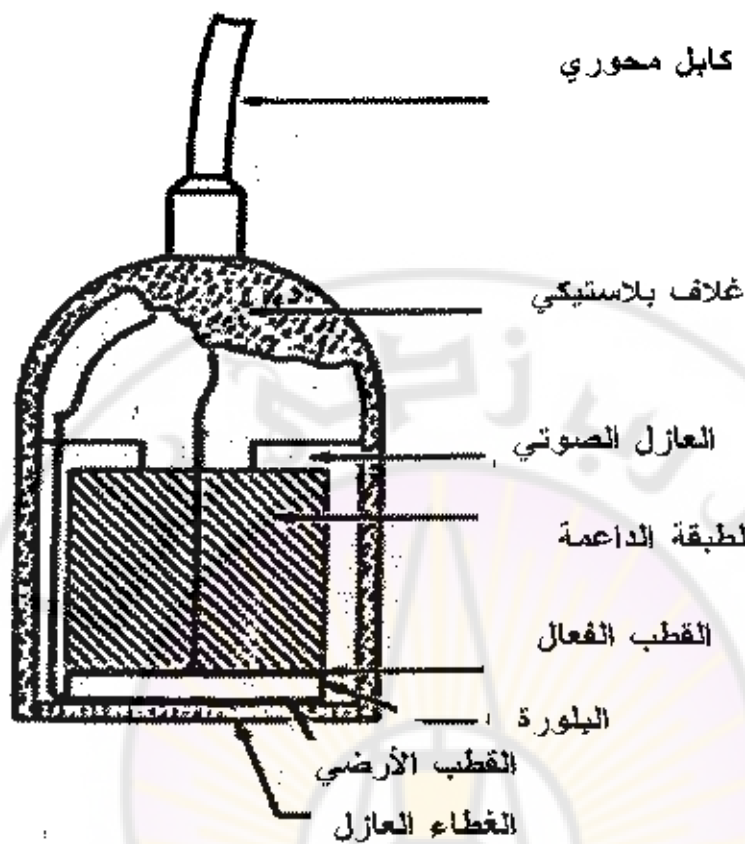
إن سرعة الأمواج فوق الصوتية ثابتة في جميع أنسجة الجسم تقريباً. لذلك يمكن قراءة عمق الاختراق مباشرةً من موقع نبضة الصدى على محور الزمن للشكل على راسم إشارة.

4.3. مبدلات الأمواج فوق الصوتية **Ultrasound Transducers**:

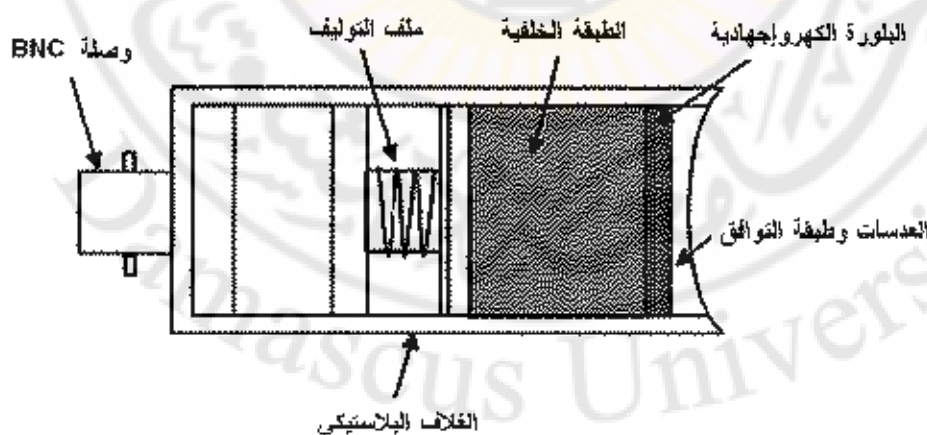
المبدل بالتعريف هو جهاز يبدل نوع من أنواع الطاقة إلى نوع آخر من أنواع الطاقة، والمبدلات فوق الصوتية تستخدم لتبديل الطاقة الكهربائية إلى طاقة صوتية التي ترسل إلى النسيج الحيوي وأيضاً المبدلات فوق الصوتية تستخدم لتبديل الطاقة الصوتية المرتدة من النسيج الحيوي إلى طاقة كهربائية.

بنية المبدل للأمواج فوق الصوتية موضحة بالشكلين (4.4) و (4.5) والعنصر الأكثر أهمية في هذه البنية هو طبقة من حولي (0.5mm) من بلورة كهروإيجاهادية متوضعة بالقرب من وجه المبدل. الطبقة الأمامية والطبقة الخلفية مغطاة بطبقة سميكة من مادة ناقلة جيدة للكهرباء لتأمين اتصال جيد بالقطبين اللذين يدوراًهما بؤمنان التيار (الطاقة) الكهربائي للبلورة الكهروإيجاهادية. إن سطح البلورة يطلى بمادة الذهب أو الفضة وتستخدم كقطب داخلي والقطب الخارجي يكون مورضاً لمنع حدوث صدمة كهربائية للمريض أثناء استخدام جهاز التصوير بالأمواج فوق الصوتية (الإيكو) والقطب الخارجي يكون عادة مطلياً بمادة عازلة للماء وغير قابلة للانحلال أو الذوبان فيه.

القطب الداخلي يكون محمياً بمادة سميكة من مادة ماصة للطاقة فوق الصوتية عادة من مادة بلاستيكية قوية، لامتصاص الأمواج المرتدة من سطح المبدل. ويعلق المبدل بالكامل بمادة من المطاط الخاص لحماية المبدل بالكامل.



الشكل 4.4 : بنية مبدل الأمواج فوق الصوتية.



الشكل 4.5 : بنية مبدل الأمواج فوق الصوتية ببلازما واحدة.

بعض المواد لها خاصية الأثر الكهروإجهادي مثل الكوارتز ويمكن أن تصنع هذه المواد وتسمى أيضاً بالمواد الكهروحديدية مثل تيتانيوم الباريوم ومثل زيركونات التيتانيوم والمعروفة بالرمز (PZT) ويوجد أنواع مختلفة من هذه المادة حسب طريقة معالجتها كيميائياً وجارياً وغيره.

الميزة الكبرى لهذه البليورات هو قابليتها على التشكيل بمختلف الأبعاد والأشكال حسب التطبيق المقصم له ويمكن أن ترسم البليورة لتهتز بشكل قطري أو طولي والشكل (4.6) يوضح آلية اهتزاز البليورة بشكل قطري أو طولي.

في التطبيقات الطبية للأمواج فوق الصوتية يصمم للعمل على مبدأ الاهتزاز الطولي. بعد تصنيع البليورة تعرض إلى حقل كهربائي كبير ودرجات حرارة عالية محددة تدعى درجة حرارة كوري من أجل استقطاب الذرات (ثنائيات الأقطاب) لكي تتمتع بخاصية الكهروإجهادية ولكن إذا زادت درجة الحرارة عن درجة حرارة كوري فإن البليورة تفقد الكثير من خاصية الاستقطاب وبالتالي تفقد الكثير من خاصية الكهروإجهادية ولهذا السبب يمنع تعقيم المبدل بالمغعمات الرطبة. وينزد بعدها البليورة بشكل بطيء وتدرجياً للمحافظة على الاستقطاب. وبين الجدول (4.3) درجات حرارة كوري لبعض المواد المشكلة لمبدلات المستخدمة في التصوير بالأمواج فوق الصوتية.



THICKNESS MODE
الموضع الطولي

الموضع العرضي



RADIAL MODE

الشكل 4.6 : آلية اهتزاز البليورة بشكل قطري أو طولي.

الجدول 4.5 : درجة حرارة كوري لبعض مواد المبدلات.

درجة حرارة كوري	المادة
573 °C	كوارتز
100 °C	الألミニوم الباريوم
328 °C	PZT-4
365 °C	PZT-5A

4.3.1 طبقة توافق الممانعة الرباعية Quarter-Wave Matching

من المثالين السابقين نلاحظ أهمية وجود طبقة توافق الممانعة الصوتية بين المبدل والنسيج الحيوي وبالتالي تتم إضافة مادة من بودرة ذرات الألミニوم ضمن طبقة من الإيبوكسي بريزبن لتأمين توافق الممانعة ويسعى بتوافق الممانعة الرباعية أي تضاف طبقة على الوجه الخارجي للمبدل شاوي رباع طول الموجة وتحسب من المعادلة (4.6) التالية :

$$Z_{matching} = \sqrt{Z_{transducer} \times Z_{tissue}} \quad \dots\dots\dots \text{4.6}$$

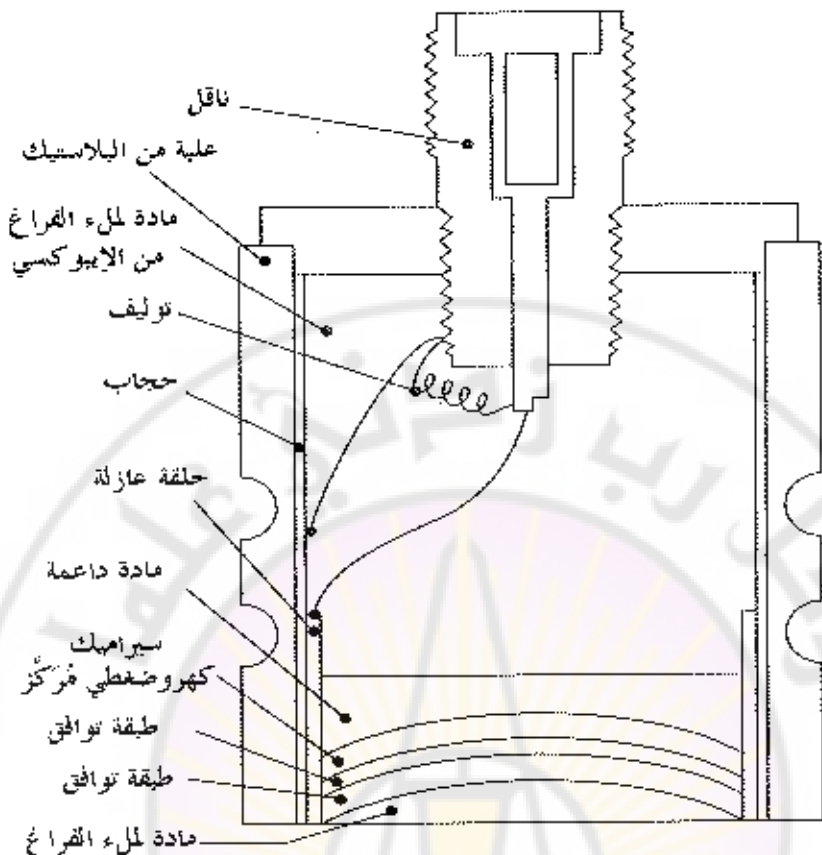
حيث:

- الممانعة الصوتية اللازمة لتوافق الممانعة (الرباعية)، $Z_{matching}$

- الممانعة الصوتية للمبدل، $Z_{transducer}$

- الممانعة الصوتية للنسيج الحيوي، Z_{tissue} .

يبين الشكل (4.7) مبدأً لـ طبقة التوافق رباع طول موجة متعددة الطبقات ويتم اختيار مادتين بممائعت صوتية بين قيم الممانعات للمبدل والنسيج، يسمح الانتقال التدريجي للممانعة من حوالي $30 \times 10^5 \text{ g/cm}^2 \cdot \text{s}$ للمبدل إلى حوالي $1.5 \times 10^5 \text{ g/cm}^2 \cdot \text{s}$ للنسيج، يملا الفجوة بعادة سفالة صوتياً ما أمكن وبالتالي إنتاج مبدل يواجه قافية ومسطحة من أجل تلامس جيد مع المريض في حين تؤثر بشكل أصغرى على الحزمة فرق الصوتية.



الشكل 4.7 : توافق متعدد الطبقات لمبدل كهرواجهادي.

: مثال (4.8)

إذا كانت الممانعة الصوتية للمبدل هي $Z_{transducer} = 30 \times 10^5 \text{ (g/cm}^2.\text{s)}$ و ممانعة النسيج الحيوي هي $Z_{tissue} = 1.5 \times 10^5 \text{ (g/cm}^2.\text{s)}$ والمطلوب حساب الممانعة الصوتية اللازمة لتوافق الممانعة (الرباعية) $Z_{matching} = ?$

: الحل :

$$Z_{matching} = \sqrt{Z_{transducer} \times Z_{tissue}}$$

$$Z_{matching} = \sqrt{30 \times 1.5 \times 10^5 \left(\text{g/cm}^2.\text{s} \right)}$$

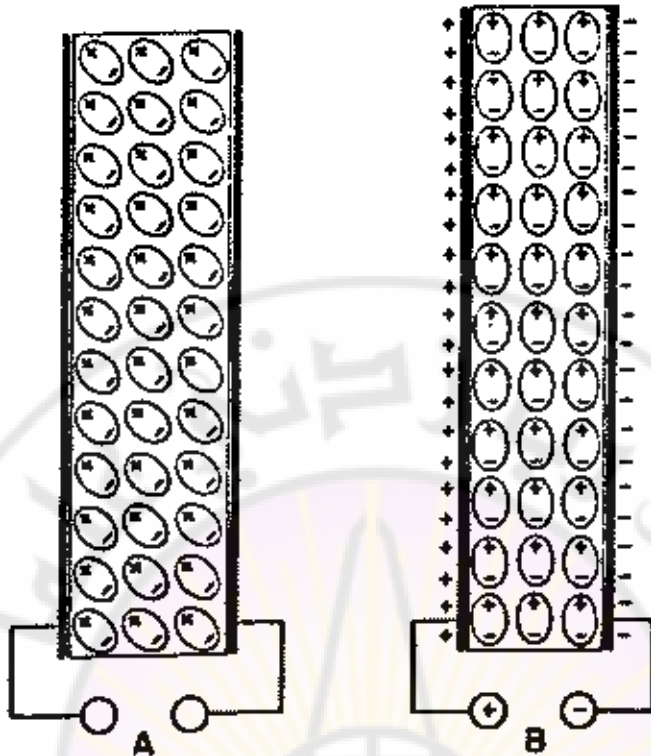
$$Z_{matching} \cong 6.8 \times 10^5 \left(\text{g/cm}^2.\text{s} \right)$$

4.3.2. خصائص البلورة الكهروإجهادية :Characteristics Of Piezoelectric Crystal

بعض المواد عند تطبيق حقل كهربائي عليها فإن الحقل الكهربائي يغير في أبعاد هذه المادة والعكس بالعكس صحيح فعند تطبيق قوة على المادة مسبباً تغيراً في أبعادها الفيزائية فإن حقلًا كهربائياً يتولد هذه الخاصية الفيزائية تدعى بالأثر الكهروإجهادي للمادة وأول من عرف هذا الأثر هما العالمان بير وجاك كوري عام 1880.

ونكون المادة الكهروإجهادية مؤلفة من عدد من ثالثيات الأقطاب موزعة بشكل منتظم وهندسي والشكل (4.8) يبين توزع هذه الأقطاب في المادة الكهروإجهادية تحت تأثير وبدون تأثير للحقل الكهربائي.

فعد عدم تطبيق حقل كهربائي فإن ثالثيات الأقطاب المكونة للمادة تكون موزعة بشكل منتظم كما هو مبين في الشكل (4.6 A) وتكون ثالثة المادة لها قيمة معينة وعند تطبيق حقل كهربائي على هذه المادة فإن ثالثيات الأقطاب تتوزع بشكل منتظم ولكن باتجاه آخر مسبباً تغيراً في الأبعاد الفيزائية للمادة وعند تطبيق تيار كهربائي بتردد معين فإن هذا التيار يسبب حقلًا كهربائياً له نفس تردد التيار وبالتالي ثالثيات الأقطاب المكونة للمادة ستتوزع بالوضعية A و B بالتناوب وبتردد يساوي تردد التيار والحقن الكهربائي المسبب لهذه للتغيرات على ثالثيات الأقطاب المشكلة للمادة الكهروإجهادية وبالتالي فإن المادة الكهروإجهادية تغير من أبعادها بالتناوب وبالتالي تولد الأمواج الاهتزازية بتردد الحقن الكهربائي وإذا كان تردد الحقن الكهربائي أكبر من الترددات الصوتية فإن حزمة الأمواج المتولدة تكون أمواجاً فوق صوتية.



الشكل 4.8 : توزيع المقطبات في المادة الكهروإيجاهدية تحت تأثير وبدون تأثير للحقن الكهربائي.

4.3.3: Resonant Frequency

يصمم مبدل الأمواج فوق الصوتية بأكبر حساسية ممكنة عند جميع الترددات المستخدمة لتطبيق معين، وتحدد تخانة بلورة الكهروإيجاهدية التردد المستخدم للمبدل وهذا ما يدعى بتردد الرنين للمبدل وهو مرتبط أيضاً بنصف طول موجة الأمواج فوق الصوتية المطلوب توليدتها من المبدل. وتصمم علادة بلورة للكهروإيجاهدية بحيث تكون تخانة البلورة متساوية تماماً إلى نصف طول موجة التردد المطلوب توليدتها من المبدل وهذا التردد يدعى بتردد الرنين الأساسي للمبدل.

مثال (4.9) :

المطلوب حساب تردد الرنين الأساسي لمبدل من نوع بلورة (PZT-4) مع العلم أن له تخانة (0.001 m) وسرعة الأمواج فوق الصوتية لمادة المبدل هي (4000 m/s).

الحل :

ثانية البلورة تساوي نصف طول حزمة الأمواج فوق الصوتية المولدة من هذا المبدل

وبالتالي :

$$\lambda = 2 \times 0.001 = 0.002 \text{ m}$$
$$V = f\lambda \Rightarrow f = \frac{V}{\lambda} = \frac{4000(\text{m/s})}{0.002(\text{m})} = 2 \times 10^6 (\text{Hz})$$
$$f = \frac{V}{\lambda} = 2(\text{MHz})$$

وبالتالي بلورة الكهروإجهادية (PZT-4) بتردد رنين أساسى يساوى (2 MHz) يجب أن تكون ثخانتها متساوية لـ (1 mm) وبشكل مماثل بلورة الكهروإجهادية (PZT-4) بتردد رنين أساسى يساوى (1 MHz) يجب أن تكون ثخانتها متساوية لـ (2 mm) وبالتالي عند تصميم بلورة الكهروإجهادية ت العمل بتردد رنين أساسى كبير فهذا يعكس على قلة ثخانتها.

من أهم سمات استخدام التصوير بالأمواج فوق الصوتية هو أن كل تطبيق يحتاج إلى تردد محدد وبالتالي يجب استخدام مبدل خاص بهذا التردد وهذا بحد ذاته مكلف جداً من الناحية المادية، بينما في التصوير بالأشعة (X) يتطلب تغير بارامترات التصوير إلى تغير في قيمة الجهد العالي لو التيار عن طريق كبسات أزرار في لوحة التحكم لا أكثر.

4.3.4. عامل Q للمبدل : Transducer Q Factor

إن العامل (Q) للمبدل يعبر عن خصائصين من خصائص المبدل. الخاصية الأولى وهي عبارة عن درجة نقاوة حزمة الأمواج فوق الصوتية المولدة من هذا المبدل فعندما يكون عامل (Q) للمبدل كبير هذا يدل على أن المبدل يولد حزمة أمواج فوق الصوتية بترددات محددة تماماً وبعرض حزمة ضيقة جداً والعكس صحيح وعندما يكون عامل (Q) للمبدل صغيراً نسبياً فهذا يدل على أن المبدل يولد حزمة أمواج فوق الصوتية بطيء واسع من الترددات.

ويمكن حساب العامل (Q) للمبدل بطريقة حسابية معبرة عن درجة نقاوة حزمة الأمواج فوق الصوتية المولدة من هذا المبدل فعند تطبيق الجهد الكهربائي فإن المبدل سوف يهتز بترددات متساوية إلى تردد الرنين الأساسى وترددات أكبر وأصغر من هذا التردد والعامل (Q) يعكس الاستجابة التردودية لهذا المبدل والشكل (4.9) يوضح منحني العامل (Q) المميز للمبدل.

الترددات (f_1, f_2) هما ترددان ينحددان عند انخفاض شدة مطال الأمواج فوق الصوتية عند ترد المرين (f_0) إلى النصف والمعادلة المميزة لعامل (Q) للمبدل تكتب الموضحة بالمعادلة (4.7) كما يلى :

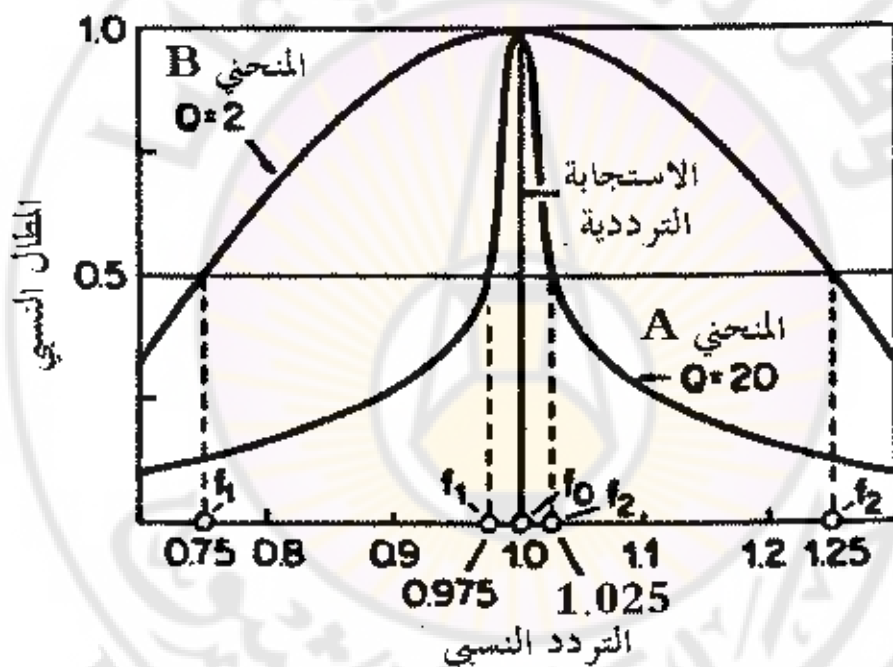
$$Q = \frac{f_0}{f_2 - f_1} \quad \dots \quad 4.7$$

حيث Q : عامل

f_0 : تردد الرنين الأساسي للمبدل.

f : التردد عند انخفاض مطالع شدة تردد الرينين بمقدار النصف من جهة المسار ،

f₂ : التردد عند انخفاض مطال شدة تردد الرنين بمقدار النصف من جهة المعاين.



الشكل 4.9 : صنف الميزة للعامل (Q) لمدخل المعنى A عامل (Q) كبير والمعنى B عامل (Q) صغير.

الشكل (A.9) يبين عامل Q بقيمة عالية وتساوي (20) وهذه القيمة للعامل Q تعطي عرض حزمة ضيقة لتردد الرنين الأساسي وأيضاً تعطي فترة اهتزاز للبلورة الكهروإجهادية طويلة نسبياً وتسمى (Long Ring Down-Time) وهذا مناسب جداً للاستخدام في التصوير بالأمواج فوق الصوتية بطريقة دوببلر، والشكل (B.9) يبين عامل Q بقيمة منخفضة

ونساوي (2) وهذه القيمة للعامل Q تعطي عزم حزمة عريضة لتردد الرنين الأساسي وأيضاً تعطي فترة اهتزاز للبلورة الكهروإيجاهدية قصيرة نسبياً وتسمى (Short Ring Down-Time) وهذا مناسب جداً للاستخدام في التصوير بالأمواج فوق الصوتية بطريقة دوببلر التبضيعية لتصوير الأعضاء، الجدول (4.4) يبين بعض قيمة لمعامل Q لبعض مواد المبدلات.

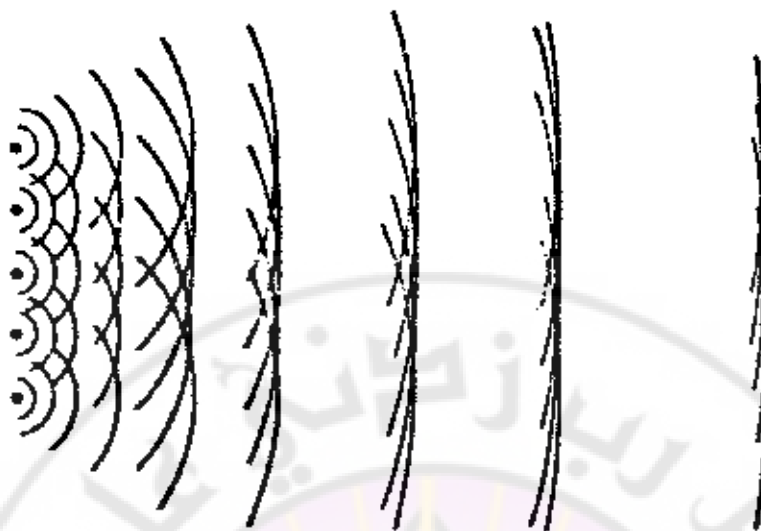
الجدول 4.5 : معامل Q لبعض مواد المبدلات.

معامل Q	المادة
<	كوارتز
25000	
3	بيزرو-سوليمير
500 <	PZT-4
75	PZT-5A

إن الطبقة الداعمة الخلفية للمبدل تتألف من خليط من التغستين والمطاط متوضعة في مزيج من الريزين الإيبوكسي وتعمل هذه الطبقة الداعمة إلى تخادم حزمة الأمواج فوق الصوتية المرتدة خلافاً من البلورة وتساعد على استقرار انتشار حزمة الأمواج فوق الصوتية بالجهة الأمامية للبلورة باتجاه العضو المراد تصويره. وتكون وسطياً نسبة المادة المطاطية 5% والتجستين 10% والباقي من الريزين وهذا يعطي تخادم بقيمة $5.6-8.0 \text{ dB.Cm}^{-1}$ عند تردد (1MHz).

وكلقاعدة عامة فإن قيمة عامل Q كبيرة تعطي فعالية كبيرة للمبدل في إرسال حزمة الأمواج فوق الصوتية بينما عندما يكون قيمة عامل Q صغيرة تعطي فعالية كبيرة للمبدل في استقبال حزمة الأمواج فوق الصوتية.

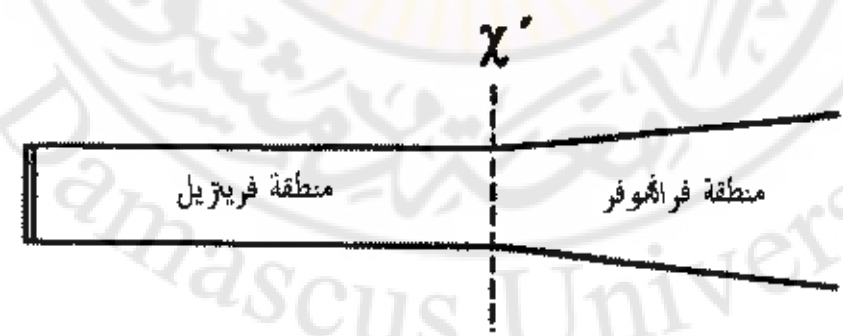
إن الموجة فوق الصوتية الصاردة من المبدل ليست متجانسة ولا تشكل حلقة مغلقة على البلورة الكهروإيجاهدية ويبين الشكل (4.10) طريقة انتشار حزمة الأمواج فوق الصوتية من الجهة الأمامية من المبدل والتي تتألف من خمسة بلورات كهروإيجاهدية.



الشكل 4.10 : انتشار حزمة الأمواج فوق الصوتية من الجهة الأمامية من مبدل يحتوي على خمسة بلورات كهروإجهادية.

4.3.5. الحقل القريب والبعيد في المبدلات فوق صوتية:

تأخذ انتشار حزمة الأمواج فوق الصوتية الصادرة عن المبدل شكل سطح المبدل وتنتشر في المرحلة الأولى على شكل حزمة شبه متوازية لمسافة محددة تدعى بمنطقة فريزيل (Fresnel Zone) أو ما يسمى أيضاً بمنطقة الحقل القريب. ثم تندرج حزمة الأمواج فوق الصوتية وتنشر بعدها على شكل مخروط وتتباعد الطاقة الصوتية بشكل منتظم في كل مقطع عمودي على محور الانتشار ومن نهاية منطقة الحقل القريب أو منطقة فريزيل تبدأ منطقة الحقل البعيد أو منطقة فراونهوفر (Fraunhofer Zone) والشكل (4.11) يبين انتشار حزمة الأمواج فوق الصوتية ومنطقتي الحقل القريب (فريزيل) والحقن البعيد (فراونهوفر).



الشكل 4.11 : انتشار حزمة الأمواج فوق الصوتية من الجهة الأمامية من مبدل يحتوي على خمسة بلورات كهروإجهادية.

يحدد طول منطقة الحقل القريب (فرنيل) بقطر المبدل وبطول موجة الأمواج فوق الصوتية الصادرة والمعادلة (4.8) توضح العلاقة بين الحقل القريب وطول الموجة وقطر المبدل :

حيث x : طول الحقل المقرب (cm)

r : قطر المبدل (cm)

٢: طول موجة الأمواج فوق الصوتية (cm)

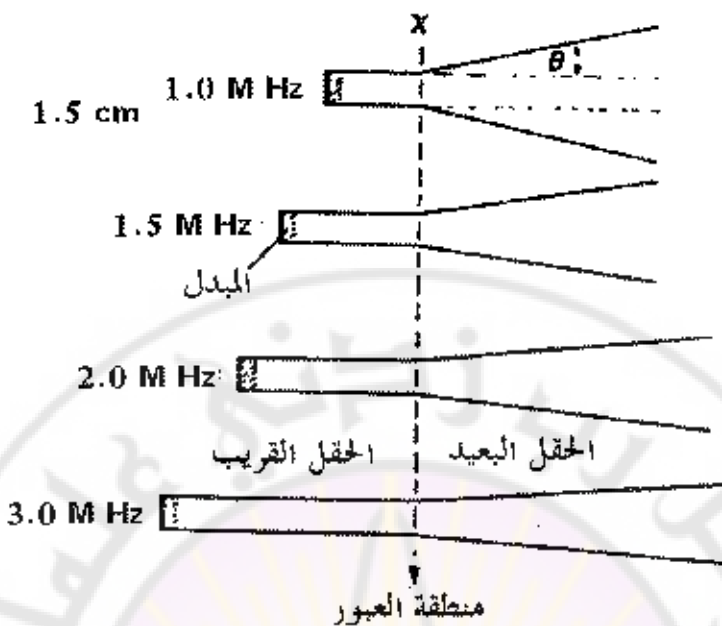
فيما يلي الجدول (4.5) طول الحقل القريب لأطوال موجة مختلفة وأقطار مبدلات مختلفة باعتبار أن مسرعة انتشار الموجة فوق الصوتية تساوي 1540 m/s .

الجدول 4.6 : طول الحقل القريب لأطوال موجة وأقطار مبدلات مختلفة (السرعة هي 1540 m/s).

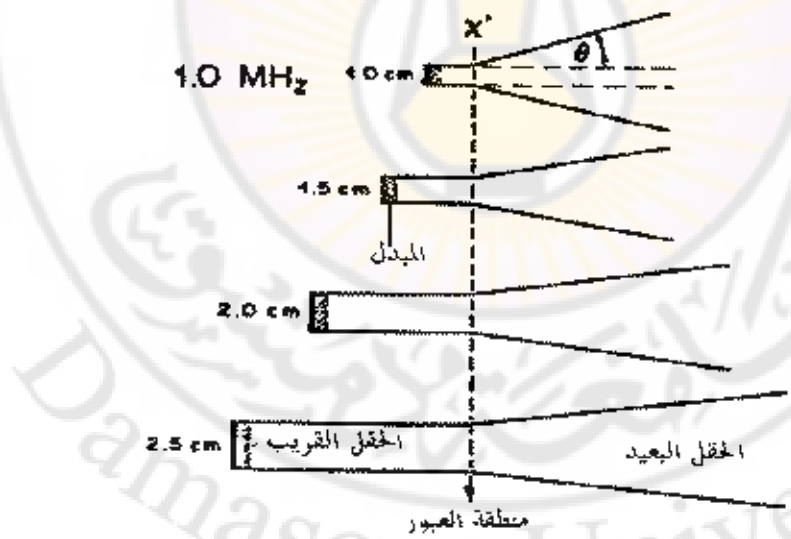
M Hz تردد	0.5	1.0	1.5	2.0	2.5	قطر المدخل (cm)
1.0	0.37	1.6	3.4	6.5	10	طول عينفة قرنيل Cm
1.5	0.58	2.4	5.1	9.7	15	
2.0	0.79	3.2	6.8	13.0	20	
2.5	1.01	4.0	8.5	16.0	25	
5.0	2.01	8.1	17.0	32.0	50	
7.5	2.97	11.9	25.0	48.0	75	
1540 m/sec						

من الجدول السابق نلاحظ أن طول الحقل القريب يزداد بازدياد قطر المبدل وبازدياد التردد المستخدم ويبين الشكل (4.12) تغير الحقل القريب باختلاف التردد مع ثبات قطر المبدل في حين تتغير زاوية انفراج الحقل البعيد.

أما الشكل (4.13) فيبين علاقة تغير قطر المبدل مع ثبات الفردد حيث تزداد معاقة الحقل القريب مع زيادة قطر المبدل.



الشكل 4.12 : الحقل القريب والبعيد لزمرة الأمواج فوق الصوتية من الجهة الأمامية لقطر مبدل 1.5 cm وبترددات مختلفة.



الشكل 4.13 : الحقل القريب والبعيد لزمرة الأمواج فوق الصوتية تبدل ي العمل على 1 MHz وباقطوار مبدل مختلفة.

لأن زاوية الانفراج (θ) وبالشكل (4.13) تعطى بالمعادلة (4.9) التالية:

حيث θ : زاوية الانفراج للحقل البعيد $(^{\circ})$.

λ: طول موجة الأمواج فرق الصوتية (cm).

، قطر المبدل (cm)

مثال (4.10)

إذا كان قطر المبدل يساوي (10 mm) وطول حزمة الأمواج فوق الصوتية هي (1 mm) أو ما يعادل تردد (1.5 MHz)

١-المطلوب حساب زاوية الانفراج للحقل القريب؟

2-إذا تغير طول حزمة الأمواج فوق الصوتية إلى (0.5 mm) أو ما يعادل تردد (3 MHz)
مع بقاء قطر المبدل (10 mm) فماذا تصبح زاوية الانفراج؟

الحل :

$$\sin(\vartheta) = 1.22 \times \frac{\lambda}{r} = 1.22 \times \frac{1.0}{10} = 0.122$$

$$\text{arc}(\sin(\vartheta)) = \text{arc}(0.122) = 7^\circ$$

$$\vartheta = 7^\circ$$

$$\sin(\vartheta) = 1.22 \times \frac{\lambda}{f} = 1.22 \times \frac{0.5}{10} = 0.061$$

$$\vartheta = 3.5^\circ$$

وبالتالي كلما زاد التردد كلما نقصت زاوية الانفراج للحقل البعيد.

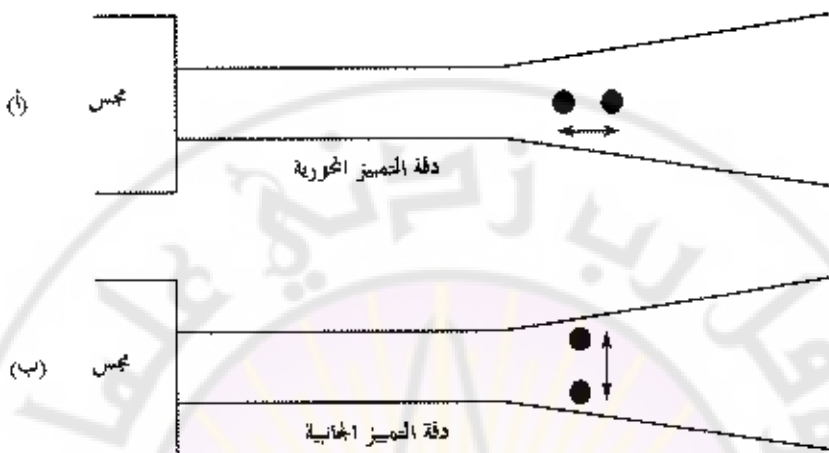
Resolution 4.3.6 دقة التمييز

يمكن أن تُعرف دقة التمييز لنظام أمواج فوق الصوتية بأنها قدرة النظام على التمييز بين النسخ المختلفة مع بعضها البعض بشكل وثيق. تُقسم دقة التمييز بشكل عام إلى دقة تمييز محوريات وجيئن.

دَقَّةُ التَّمِيزِ الْمُحْوِرِيَّةِ:

إن دقة التمييز المحوري هي أصغر مسافة (على أو موازية) لمحور الانتشار للأمواج فوق الصوتية، والت يمكن للنظام التمييز فيها بين نسبتين مختلفتين منفصلتين، متجلعتين. تحدد

دقة التمييز المحورية من خلال طول موجة النبضة المرسلة. هذا يعني أنه كلما كان طول الموجة أصغر كان التردد أعلى ودقة التمييز المحورية أفضل ويبين الشكل (4.14-أ) دقة التمييز المحورية للأمواج فوق الصوتية.



الشكل 4.14 : (أ) دقة التمييز المحورية (ب) دقة التمييز الجانبية.

* دقة التمييز الجانبية:

إن دقة التمييز الجانبية هي لأصغر مسافة جانبية (متعددة) مع محور الانتشار للأمواج فوق الصوتية، والتي يمكن للنظام التمييز فيها بين نسيجين مختلفين منفصلين ومتجلوريين، تحدد دقة التمييز الجانبية من خلال شكل وتباعد حزمة الأمواج فوق الصوتية المرسلة التي يتم إنتاجها بواسطة الموجس، ويبين الشكل (4.14-ب) دقة التمييز الجانبية للأمواج فوق الصوتية. القواعد العامة التي تطبق على التردد:

\uparrow التردد \uparrow دقة التمييز المحورية \uparrow دقة التمييز الجانبية \downarrow الاختراق

\downarrow التردد \downarrow دقة التمييز المحورية \downarrow دقة التمييز الجانبية \uparrow الاختراق

\uparrow التردد \uparrow تباعد الحزمة \uparrow دقة التمييز الجانبية

\downarrow معدل التباعد \downarrow A.E.D. \uparrow دقة التمييز الجانبية

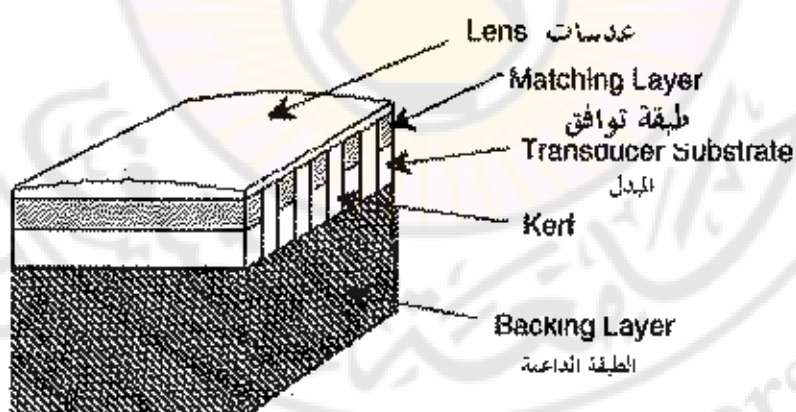
الجدول 4.7 : يبين تواتر البروبيات المستخدمة وتطبيقاتها وعمق التشخيص

التطبيقات Application	التواتر Frequency	العمق Depth
القلبي Cardiac	2 – 7 MHz	2 – 18 cm
الباطنية Abdomen	3 – 5 MHz	2 – 16 cm
الوعائي Vascular	5 – 10 MHz	1 – 5 cm
النسائية OB / GYN	3 – 7 MHz	3 – 12 cm

4.3.7. تمحرق حزمة الأمواج فوق الصوتية

Focusing Ultrasound Beam

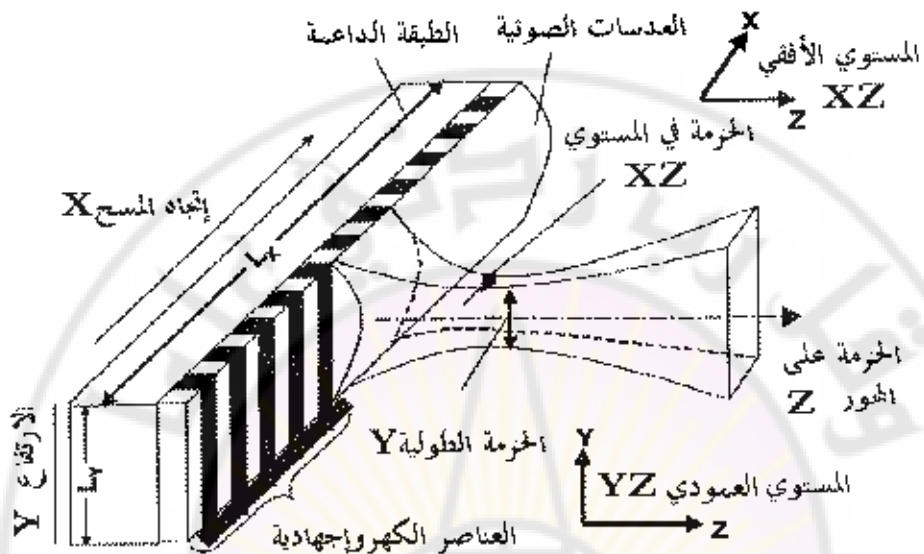
يبين الشكل (4.15) بنية مبدل أمواج فوق الصوتية خطياً على شكل مصفوفة خطية أحادية البعد مؤلفاً من خمسة عناصر (بلورات كهروإجهادية) ينتج حزمة من الأمواج فوق الصوتية ذات مقطع لخط مستقيم.



الشكل 4.15 : مقطع في مبدل خططي يحتوي على خمسة (5) بلورات كهرو[جهادية].

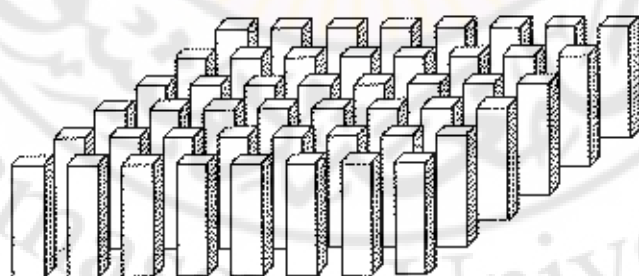
كذلك الشكل (4.16) يبين بنية مبدل أمواج فوق الصوتية خطياً على شكل مصفوفة خطية أحادية البعد مؤلفاً من مجموعة من العناصر (بلورات كهروإجهادية) تنتج حزمة من

الأمواج فوق الصوتية ذات مقطع لخط مستقيم وتتفرق في المستويين الأزموت ($X-Z$) والعمودي ($Y-Z$) على مستوى الانتشار وهذا المبدل يعطي حزمة صوتية تتفرق على مسافة متساوية للحقل القريب عن طريق عدسات صوتية.

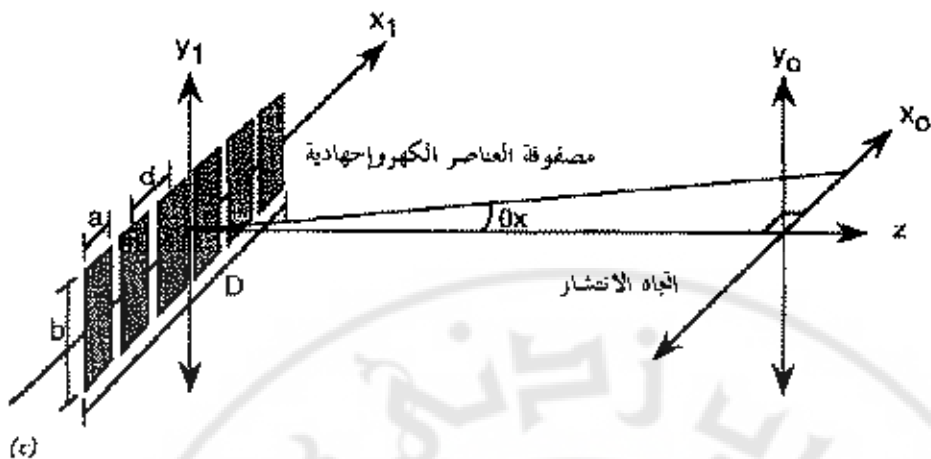


الشكل 4.16 : تغاريق مبدل خطى على المستوى آزيموت ($X-Z$), والمستوى المتعامد أو الارتفاع ($Y-Z$).

في حين يبين الشكل (4.17) بيئة مبدل أمواج فوق الصوتية خطى على شكل مصفوفة خطية ثنائية البعد مؤلف من مجموعة من العناصر (بلورات كهروإيجاهادية) تنتج حزمة من الأمواج فوق الصوتية ذات مقطع مستوي.



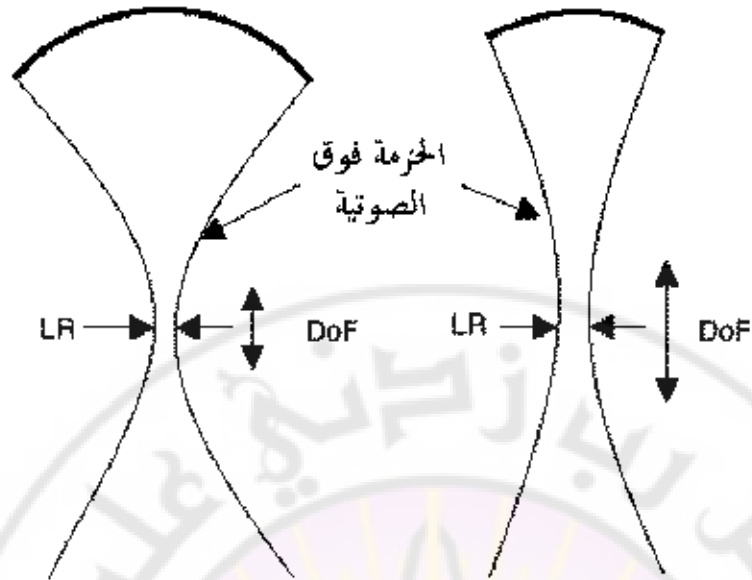
الشكل 4.17 : مقطع في مبدل خطى يحوي على مصفوفة بلورات كهروإيجاهادية.



الشكل 4.18 : مقطع في مبدل خطى يحتوى على مصفوفة بلورات كهروإجهادية.

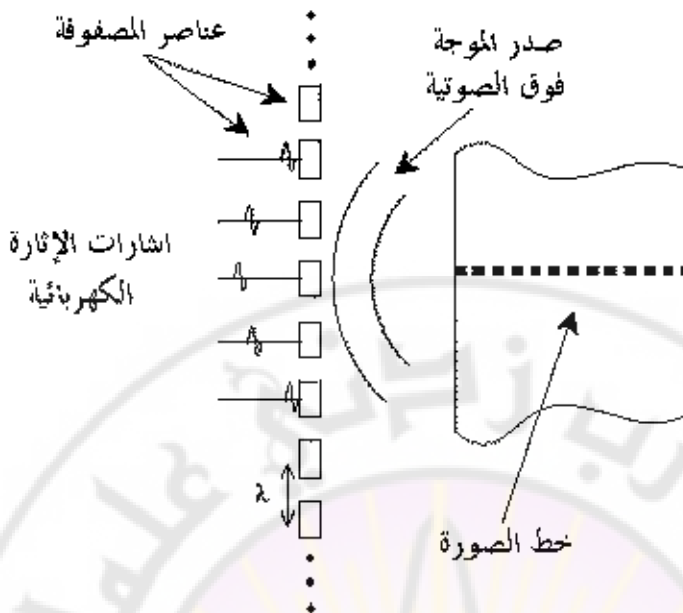
الشكل (4.18) يبين بيئة توضيحية للمبدل المبين بالشكل (4.18) مبدل أمواج فوق الصوتية خطى على شكل مصفوفة خطية ثنائية البعد مؤلف من (128) عنصر كهروإجهادي من مادة (PZT-5H) تعمل على تردد رنين يساوى إلى (5 MHz) بأبعد (5) بآبعاد ($0.1 \times 5 \times 0.3$ mm) والم المسافة بين كل عنصرين كهروإجهاديين ($d=0.15$ mm) وفتحة (وجهة المبدل الأمامي) التصوير تكون ($D=128 \times 0.15=193$ mm).

إن مبدل الأمواج فوق الصوتية المبين بالشكل (4.19) هو مبدل منحن نتائجه لـ توضع عنصراته (بلوراته) على شكل قطاع من قوس دائري من أجل تحرق حزمة الأمواج فوق الصوتية الصادرة عنه بمنطقة تبعد عن سطح المبدل بمسافة متساوية للحقل القريب ومن الشكل تتضح العلاقة بين النقاوة الجانبية ودرجة تغير القوس المتوضعة عليه عنصر المبدل فكلما كان التقوس أكبر كلما كان التحرق ضيقاً أكثر والمنطقة التي تعطي معلومات واضحة للتصوير الدقيق محدودة في منطقة التحرق ولذا يدعى عمق الحقل أيضاً مربطة بدرجة تقوس توضع عنصر المبدل فكلما كان التقوس أكبر كلما كان عمق الحقل أصغر والعكس صحيح كلما كان التقوس أصغر كلما كان عمق الحقل أكبر وهذا ينعكس على نوع النسيج المراد تصويره وما هي المعلومات المطلوب الحصول عليها من التصوير وبالتالي ينعكس على اختيار نوع المبدل ومواصفاته.



الشكل 4.19 : العلاقة بين التمير الجانبي وعمل حقل الأمواج فوق الصوتية وعلاقة التمثيل مع التمير الجانبي وعمق المدخل.

أما المبدل المعين بالشكل (4.20) هو مبدل ذو مصفوفة خطية تنتج حزمة الأمواج فوق الصوتية على الشكل المطلوب حيث إن الحزمة تتشر على شكل قوس تتعدد درجة تغيره بالتحكم بزمن تحريض عناصر المبدل فتم إثارة العنصر المركزي وبالزمن ($t_1=0$) وبعد فترة زمنية قصيرة تساوي (Δt) تتم إثارة العنصر الأعلى مباشرة والأقل مباشرة من العنصر المركزي وبالزمن ($t_2=t_1+\Delta t$) وبعد فترة زمنية قصيرة تساوي (Δt) أيضاً تتم إثارة العنصر الأعلى التالي والأقل التالي وبالزمن ($t_3=t_2+\Delta t=t_1+2\Delta t$) وهكذا وبعد مسح مجموعة العناصر، المشكلة لإطار الصورة أو لخط من الصورة، إلى الأعلى والأسفل تنتج لدينا حزمة الأمواج فوق الصوتية على شكل قوس من دائرة يدعى صدر الموجة وتتمحraq الحزمة حسب درجة تقويم صدر الموجة المنتحكم به بالفترات الزمنية ($t_i, \Delta t$). تعطينا خطأ من الصورة وبعد إزاحة محور المجموعة من العناصر إلى الأعلى (ينتقل مركز المجموعة إلى الأعلى بمقدار الإزاحة) تتم إعادة الإثارة بنفس الطريقة للحصول على الخط (الإطار) التالي للصورة وهكذا إلى أن تتم مسح الصورة بالكامل ثم نحصل بعدها على الصورة كاملة بعد معالجتها برمجياً ببرمجيات معالجة الصورة.



الشكل 4.20 : تشكيل حزمة الأمواج فوق الصوتية من مبدل مصفوفة خطى (زمني) وتحريفها.

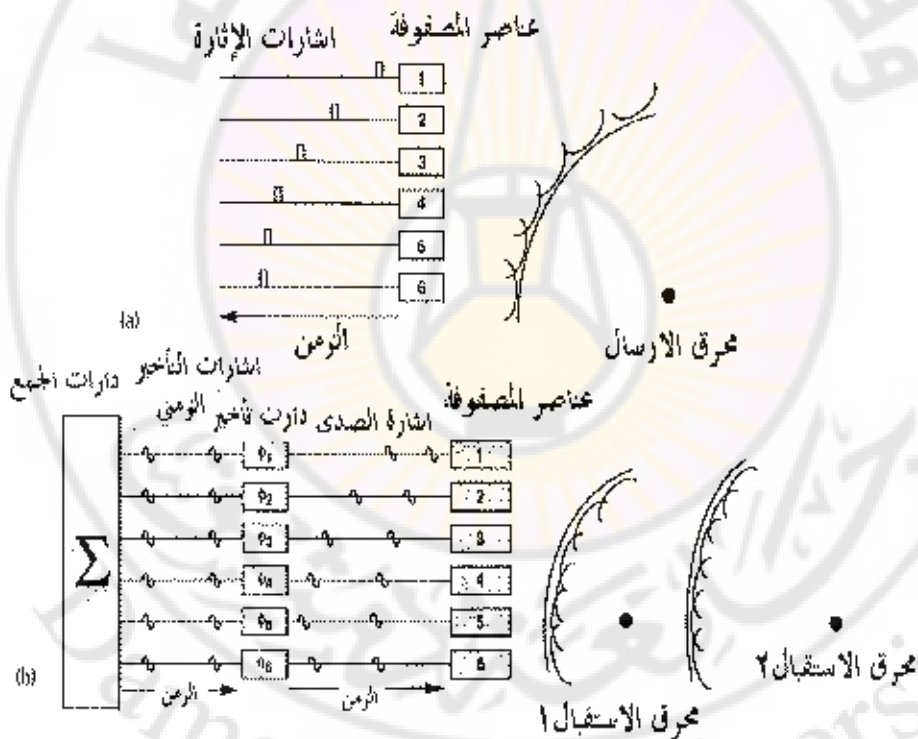
المبدل المعين بالشكل (4.21) هو مبدل ذو مصفوفة خطية تنتج حزمة الأمواج فوق الصوتية مطابق للمبدل الموضح بالشكل (4.20) ويعمل بنفس الطريقة ولكن بتغيير الفاصل الزمني (Δt) والفترقة الزمنية بين إثارة عنصرين من المبدل (Δt) تنتج لدينا حزمة أمواج فوق الصوتية لها صدر موجة يشكل قوس من دائرة مائل على الأعلى أو إلى الأسفل حسب التطبيق المستخدم.



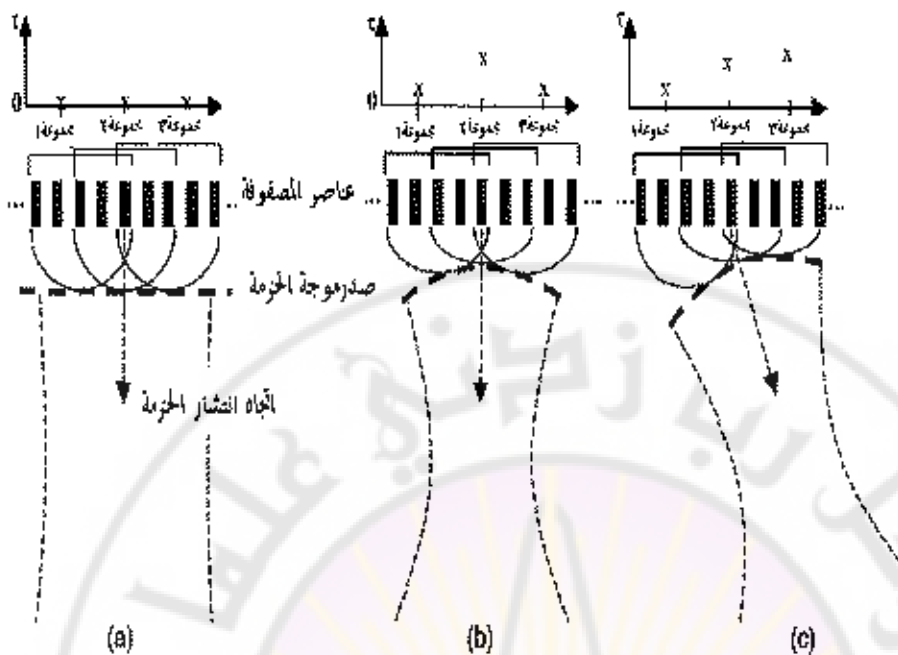
الشكل 4.21 : حزمة الأمواج فوق الصوتية لمبدل مصفوفة طوري (طوري) وتحريف هذه الحزمة.

كما في الشكل (4.22) يبين آلية عمل المبدل الموضع بالشكلين (4.20) و (4.21) في حالة الإرسال وحالة الاستقبال ولعدة نقاط من الاستقبال حسب تحرق كل نقطة على حداه. كذلك في الشكل (4.23) يبين آلية تحرق المبدل.

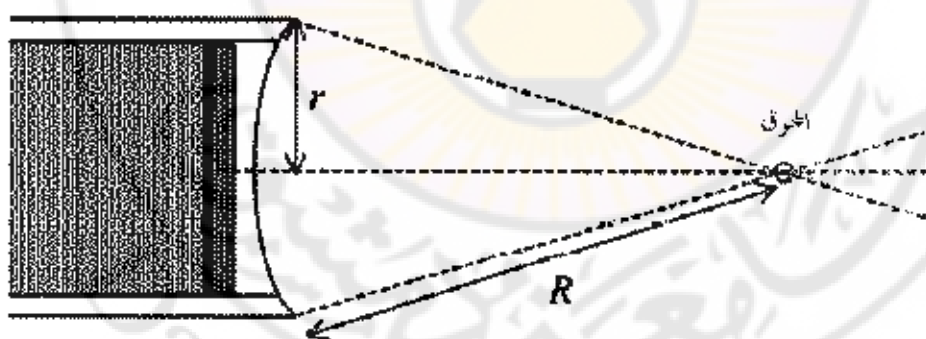
المبدلات ذات المصفوفة الخطية يتم التحكم بتحرقها عن طريق التحكم بزمن إثارة عناصرها والفترات الزمنية بين إثارة وإثارة أي زمنياً، بينما هناك أنواع من هذه المبدلات يتم التحكم بعناصرها عن طريق التحكم بازاحة الطور بدلاً من الزمن ابتداءً من مركز مجموعة عناصرها إلى الأطراف وبفارق طوري متساوية لتحصل على تحرق لهذه الحزمة ونستخدم الإزاحة الطورية لسهولة معالجة المعلومات التي تحصل عليها ببرمجيات معالجة الصورة بمستوى التردد عوضاً عن معالجة الصورة بالنوع السابق بمستوى الزمن.



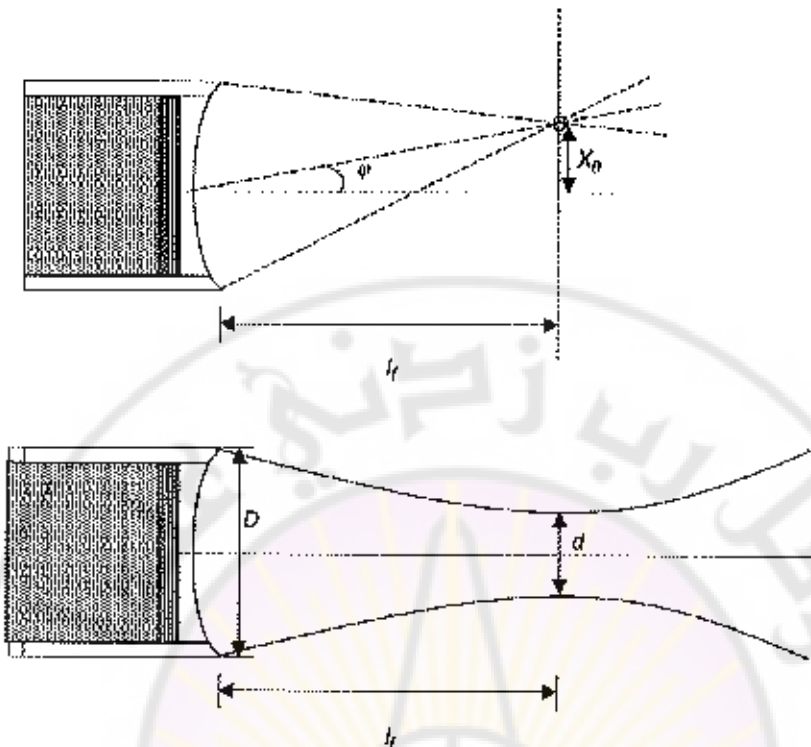
الشكل 4.22 : تحرق حزمة الأمواج فوق الصوتية بالإرسال والاستقبال لمبدل مصفوفة خطى (زمي) ذي مست (6) بلورات.



الشكل 4.23 : تشكيل حزمة الأمواج فوق الصوتية من مبدل مصقرفة خطلي (زمني) ومحرقها على أغور العمودي لانتشارها، فوق الصوتية.



الشكل 4.24 : حقل الرذايا لمبدل متعين يتصف قطر (R).



الشكل 4.25: عدستات المبدل الأعلى لها عرق تغطي على مسافة (x_0), بينما المبدل الأسفل له بقعة محرقة يقتصر (d).

الشكلين (4.24)، (4.25) يبيّنان مبدلين للأول نقطة محرقة والثاني بقعة محرقة.

4.4. مبادئ مبدلات المصفوفات المستخدمة في التصوير بالأمواج فوق الصوتية:

نقسم المبدلات المستخدمة في التصوير بالأمواج فوق الصوتية بحسب طريقة ترتيب عناصرها الكهربائية وطريقة تصويرها.

4.4.1. المصفوفة المتتالية الخطية (Linear Sequential Arrays):

المصفوفات المتتالية الخطية 512 عنصر في الأجهزة الحالية. تعمل مجموعة من العناصر حوالي 128 عنصر بوقت محدد. كما هو مبين بالشكل 4.26 a وتوجه خطوط المسمى بشكل مباشر ومتعمد على وجة المبدل، وتبارز الحزمة ولكن لا تدور. تمثل هذا النوع من المصفوفات ميزة أن لها حساسية عالية عندما توجه الحزمة بشكل مباشر. أما السيئة هو أن حقل الرؤية له محدود إلى المنطقة المستطيلة أمام المبدل مباشرةً. ولهذه المبدلات مساحة تغطية كبيرة للتصوير.

4.4.2. المصروفات الخطية المحنية (Curvilinear Arrays)

المصروفات الخطية المحنية أو المختوية لها شكل مختلف عن المصروفات المستالية الخطية لكن تعمل بنفس الأسلوب. ففي كلتا الحالتين فإن خطوط المسح توجه بشكل متعمد على وجه المبدل. وهي تسمح حقل رؤية أوسع بسبب شكلها المحدب كما هو موضح بالشكل 4-26b

4.4.3. المصروفات الطورية الخطية (Linear Phased Array)

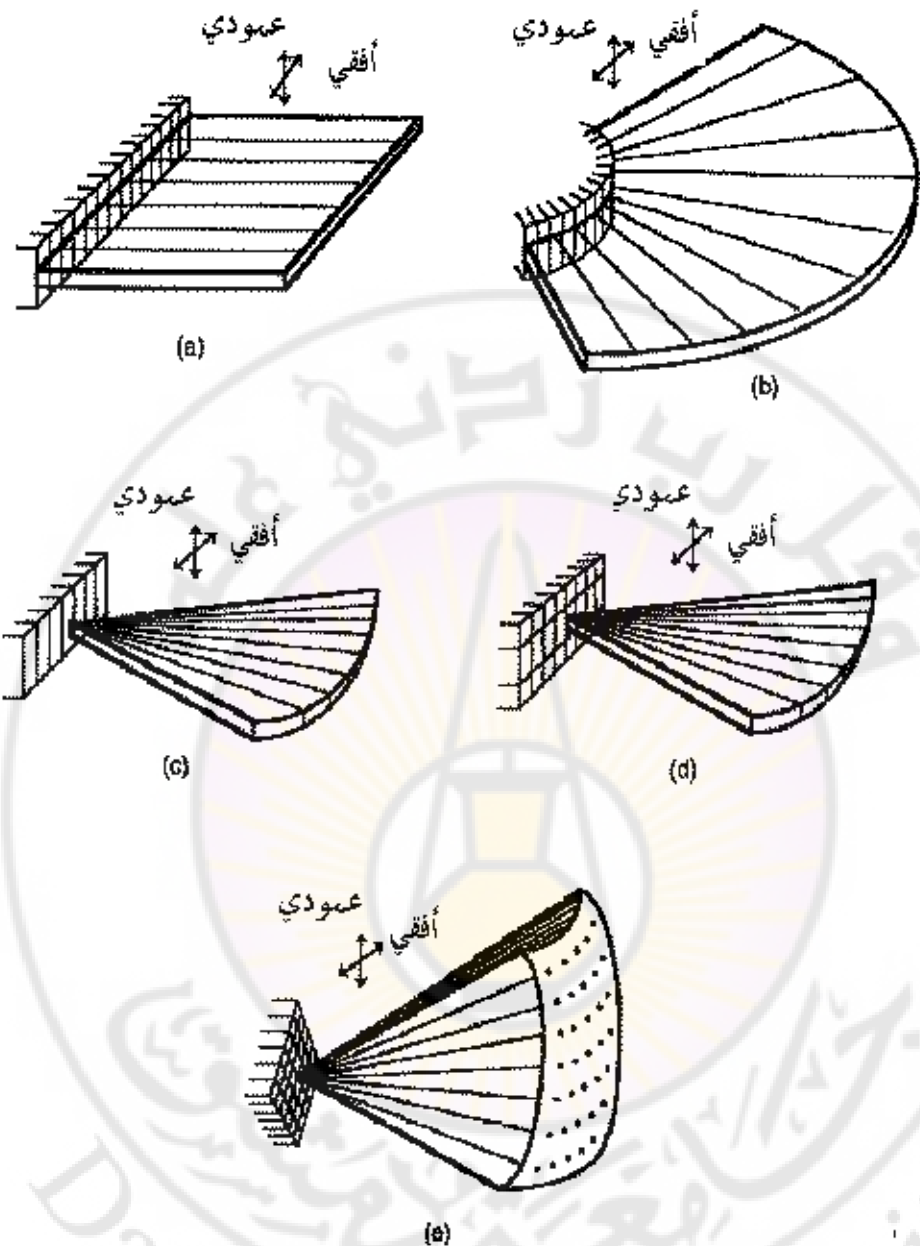
يتكون المبدل من 128 عنصر، كل هذه العناصر تستخدم بإرسال واستقبال كل خط من الصورة. كما هو مبين بالشكل 4-26c، يتم تدوير حزمة الأمواج على منطقة قطاعية في المستوى الأفقي. يمكن لمساحة المصروفه الطوريه أن يسمح مساحة أكبر من المبدل، مما يجعل المبدل مناسباً لتصوير نوافذ صوتية ضعيفه الوصول إليها. ونتيجه فإن هذه المبدلاته هي مثالية للتصوير القلبي، حيث يجب التصوير من خلال ثاقفة صغيرة للتجنب العاونق مثل ريش الصدر والرئتين (الهوا).

4.4.4. المصروفات 1.5D (1.5D Arrays)

وهو مشابه لتصميم المصروفه ثنائية الأبعاد، لكن تعمل مصروفه احادية البعد، بحتوي المبدل على عناصر في كل من المستوى الأفقي والشاقولي. يمكنه أن يقوم بالتبديل الديناميكي والتصحيح الطوري بحيث يمكن تطبيقهما في كلا الاتجاهين لتحسين نوعية الصورة. ولما كان عدد العناصر في المستوى الشاقولي (3 إلى 9 عناصر) هو أقل من الأفقي لذا لا يمكن تدوير الحزمة في ذلك الاتجاه. الشكل 4-26d يبين التصوير بالنمط ظلالمصروفه المنكورة. كما إن التصوير المتتابع الخطى هو ممكن في هذا المبدل.

4.4.5. المصروفه الطوريه ثنائية البعد (2D Phased Arrays)

للمبدل الطوري ثنائي البعد عدد عناصر كبير في كلا الاتجاهين الأفقي والشاقولي. ولهذا يمكن للمبدل أن يizar ويدور الحزمة الصوتية في كلا الاتجاهين. باستخدام معالجة الاستقبال المولازى، يمكن للمصروفه ثنائية البعد تصوير منطقة على شكل هرم بالزمن الحقيقي لانتاج صورة حجمية كما هو مبين بالشكل 4-26e



الشكل 4.26 : مدللات (a) مدلل مصغورة خطية يمسح منطقة بشكل مستطيل، (b) مدلل مصغورة منحنية يمسح منطقة بشكل قطاع عريض، (c) مدلل مصغورة منحنية طورية يمسح منطقة بشكل لطاع، (d) مدلل مصغورة ثانية البعد منحنية طورية يمسح منطقة بشكل قطاع، (e) مدلل مصغورة ثانية البعد منحنية طورية يمسح منطقة بشكل هرمي.

4.5. تقنيات القياس في أجهزة الأمواج فوق الصوتية

Techniques of measurement in Ultrasound instrumentation

4.5.1 : Transit-Time Dimension

إن أول تطبيقات للتصوير بالأمواج فوق الصوتية في المجال الطبي كانت في قياس أبعاد النسج عن طريق إرسال نبضة من مبدل يصدر حزمة الأمواج فوق الصوتية التي تصطدم بالنسج وتتعكس حيث يتم استقبالها من قبل نفس المبدل بعد إضافة دارات إلكترونية لتزامن عمله في حالتي الإرسال والاستقبال بدون حدوث أي تداخل بينهما، أو تستقبل النبضة المنعكسة من قبل مبدل آخر وعن طريق دارات حساب الزمن بين الإرسال والاستقبال التي تحقق المعادلة التالية حيث يحسب زمن الإرسال والاستقبال من المعادلين (4.10) و (4.11) التاليتين:

$$t_{1\text{way}} = \frac{d}{c} \quad \dots \quad .4.10$$

$$t_{2\text{way}} = \frac{2 \cdot d}{c} \quad \dots \quad .4.11$$

حيث :

$t_{1\text{way}}$: زمن الإرسال (sec).

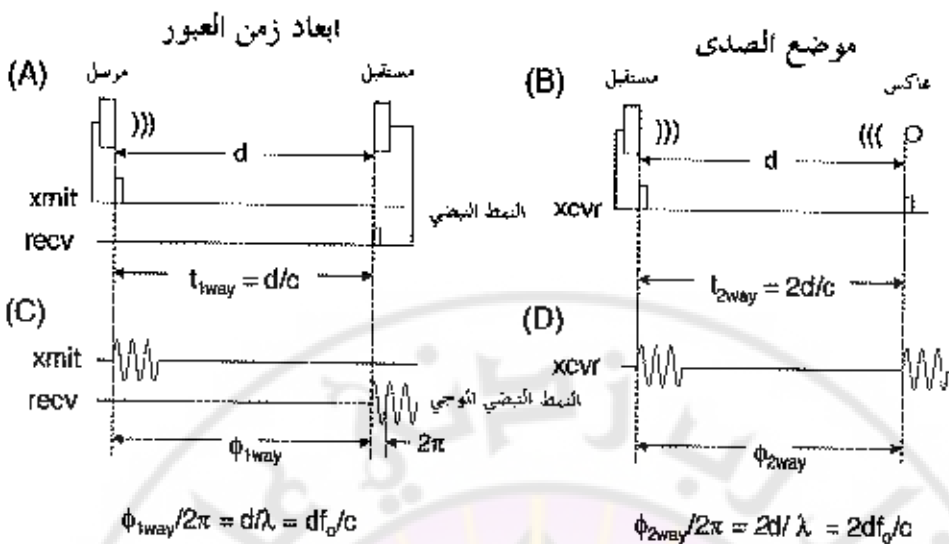
$t_{2\text{way}}$: زمن الاستقبال (sec).

d : طول مسار موجة الأمواج فوق الصوتية بالإرسال (cm).

c : سرعة انتشار حزمة الأمواج فوق الصوتية بوسط الإرسال (cm/sec).

والمعادلين (4.10) و (4.11) ممثلين بالشكل (4.27) حيث يمثل القسم (A, C) طريقة حساب زمن العبور للبعد (Transit-Time Dimension) في حالة الإرسال ويمثل القسم (B, D) طريقة حساب زمن صدى العبور (Dimension) في حالة الاستقبال.

من الشكل (4.27) (C) يوضح طريقة حساب فرق الطور في قسم الإرسال حيث يمثل الفرق بالطور بين المبدل المرسل والقسيح المستقبل ($\phi_{1\text{way}}$) وبعدها طول موجة واحدة لحزمة الأمواج فوق الصوتية تسلوي بالطور (2π) فيمكن كتابة المعادلة (4.12) وكذلك في حالة الاستقبال يمثل الفرق بالطور بين المبدل المرسل والمبدل المستقبل ($\phi_{2\text{way}}$) تكون مضاعفة لفرق الطور في حالة الإرسال أي المعادلة (4.13).



الشكل 4.27 : (A, C) يوضح آلية قياس المسافة بطريقة زمن العبور . (B, D) صدى العبور في قسم الاستقبال .

حيث :

طور الإرسال (rad) : $\phi_{1\text{way}}$

طور الاستقبال (rad) : $\phi_{2\text{way}}$

d : طول مسار موجة الأمواج فوق الصوتية بالإرسال (cm).

c : سرعة انتشار حزمة الأمواج فوق الصوتية بوسط الإرسال (cm/sec).

f_0 : تردد انتشار حزمة الأمواج فوق الصوتية بوسطي الإرسال والاستقبال (Hz).

λ : طول موجة انتشار حزمة الأمواج فوق الصوتية بوسطي الإرسال والاستقبال (cm).

يستخدم هذا المبدأ بتصوير بتردد (5 MHz) أبعد البطين القلبي، أبعد العضلة القلبية، وسمكية الجدار القلبي.

4.5.2 سرعة زمن العبور : Transit-Time Velocity

إن من تطبيقات التصوير بالأمواج فوق الصوتية في المجال الطبي في قياس سرعة حركة السوائل الحيوية عن طريق إرسال نبضة من مبدل يصدر حزمة الأمواج فوق الصوتية التي يتم استقبالها من قبل مبدل آخر أو يتم استقبال إشارة الصدى من قبل نفس المبدل بعد إضافة دارات إلكترونية لتزامن عمله فيHallty الإرسال والاستقبال بدون حدوث أي تداخل بينهما، والمعادلتان (4.14) و (4.15) اللتان تتحققان المعادلة Hallty الإرسال والاستقبال التاليتين :

١٦٣

٤- زمن الإرسال في حالة جريان حزمة الأمواج فوق الصوتية من المرسل إلى المستقبل، (sec)

٤-٢-١: زر من الاستقبال في حالة جريان حزمة الأمواج فوق المصوّبة من المستقبل إلى المرسل .(sec)

٤: طول مسار موجة الأمواج فوق الصوتية بالإرسال (cm).

c : سرعة النتشار حزمة الأمواج فوق الصوتية بوسط الارسان (cm/sec).

∇ : سرعة حركة السائل الحيوي (cm/sec)

$$\Delta t = t_{i+2} - t_{i+1} = \frac{d}{(c-V)} - \frac{d}{(c+V)} = \frac{2 \cdot dV}{(c-V)(c+V)}$$

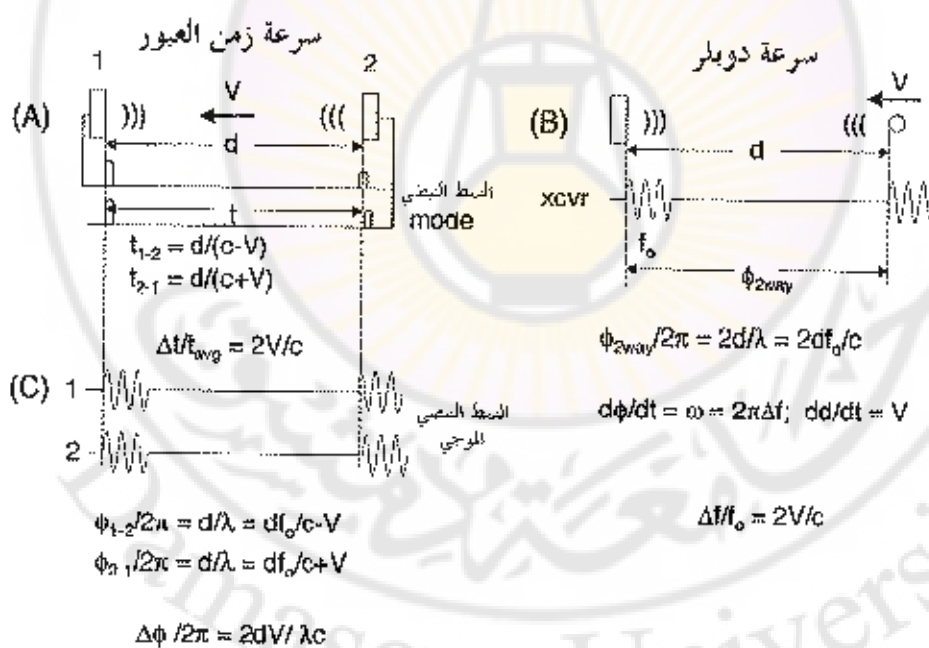
$$t_{avg} = \frac{t_{1-2} + t_{2-1}}{2} = \frac{(c - V)}{2} + \frac{(c + V)}{2} = \frac{dc}{(c - V)(c + V)} - 2dV$$

$$\frac{\Delta t}{t_{avg}} = \frac{(c - V)}{dc} \frac{(c + V)}{(c - V)(c + V)} = \frac{2V}{c}$$

وعلقة تغير الزمن مع السرعة تعطى بالمعادلة (4.16) التالية :

وبنفس الطريقة نحسب المعادلات التوروية حسب المعادلات (4.17) و (4.18)

و (4.19) کما یلی:



الشكل 4.28 : (A, C) يوضح آلية قيام المساعدة بخطوة (من العبرة (B, D) ضد العبور في قسم الاستقبال.

من الشكل (4.28) (C) يوضح طريقة حساب فرق الطور في قسم الإرسال حيث يمثل الفرق بالطور بين المبدل المرسل والتبسيط المستقبل ($\phi_{2\text{way}}$) وبعدها طول موجة واحدة لحزمة الأمواج فوق الصوتية تساوي بالطور (2π) فيمكن كتابة المعادلة (4.20) وكذلك في حالة الاستقبال يمثل الفرق بالطور بين المبدل المرسل والمبدل المستقبل ($\phi_{2\text{way}}$) تكون مضاعفة لفرق الطور في حالة الإرسال أي المعادلة (4.21).

$$\frac{\phi_{2\text{way}}}{2\pi} = \frac{2.d}{\lambda} = \frac{2.d \cdot f_0}{c} \quad .4.20$$

$$\frac{d\phi}{dt} = \omega = 2\pi \cdot f \quad .4.21$$

حيث :

$\phi_{2\text{way}}$: طور الاستقبال (rad).

d : طول مسار موجة الأمواج فوق الصوتية بالإرسال (cm).

c : سرعة انتشار حزمة الأمواج فوق الصوتية بوسط الإرسال (cm/sec).

f_0 : تردد انتشار حزمة الأمواج فوق الصوتية بوسطي الإرسال والاستقبال (Hz).

λ : طول موجة انتشار حزمة الأمواج فوق الصوتية بوسطي الإرسال والاستقبال (cm).

وعلقة تغير التردد مع السرعة (V) تعطى بالمعادلة (4.22) التالية :

$$\frac{dd}{dt} = V$$

$$\frac{\Delta f_0}{f_0} = 2 \cdot \frac{V}{c} \quad .4.22$$

4.5.3. سرعة وتدفق زمن العبور : Transit-Time Velocity and Flow

إن من تطبيقات التصوير بالأمواج فوق الصوتية في المجال الطبي في قياس سرعة حركة وتدفق السوائل الحيوية عن طريق استخدام مبدل يحصل على قنطرة يوضع داخل المسار أو الوعاء أو يوضع في كم نفع الضغط. كما هو موضح في الشكل (4.29) (A) حيث يتم استخدام مبدلتين متقابلتين بشكل قطري ومن كلتا الجهتين للوعاء الدموي، أما في الشكل (4.29) (B) يتم استخدام مبدلتين في جهة واحدة من الوعاء الدموي مع عاكسين في الجهة المقابلة للوعاء الدموي وإجراء الحساب للوضع الجديد يستلزم تعديل المعادلة (4.19) لحساب الزاوية (فرق

الطور) بين انتشار حزمة الأمواج فوق الصوتية واتجاه جريان السائل لتصبح المعادلة (4.23)

كما يلي :

$$\frac{\Delta \phi}{2\pi} = \frac{2L}{\lambda} \cdot \frac{V}{c} \quad \dots \dots \dots \quad 4.23$$

ومعادلة التدفق تعطى بالمعادلة (4.24) كما يلي :

$$Q = \frac{V \cdot \pi \cdot D^2}{4} \quad \dots \dots \dots \quad 4.24$$

حيث :

$\Delta \phi$: طور الاستقبال (rad).

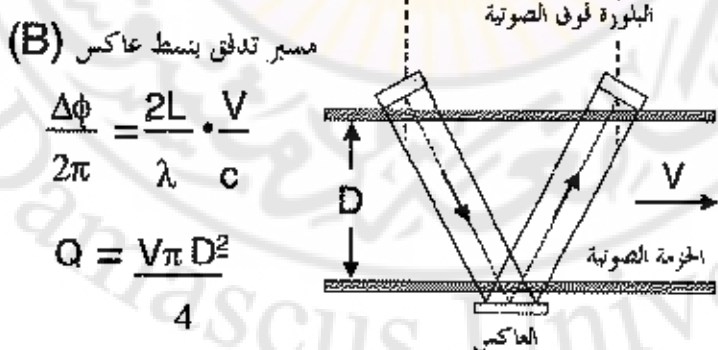
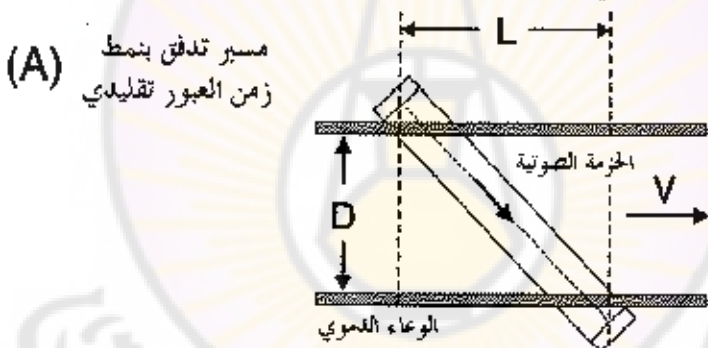
L : طول الوعاء الدموي بين المبدل المرسل والمبدل المستقبل (cm).

V : السرعة الوسطية لحركة السائل الحيوي داخل الوعاء (cm/sec).

c : مسرعة انتشار حزمة الأمواج فوق الصوتية بوسط الإرسال (cm/sec).

λ : طول موجة انتشار حزمة الأمواج فوق الصوتية بالسائل الحيوي (cm).

D : القطر الوسطي للوعاء الدموي ضمن منطقة القياس (cm^2).



$$\frac{\Delta \phi}{2\pi} = \frac{2L}{\lambda} \cdot \frac{V}{c}$$

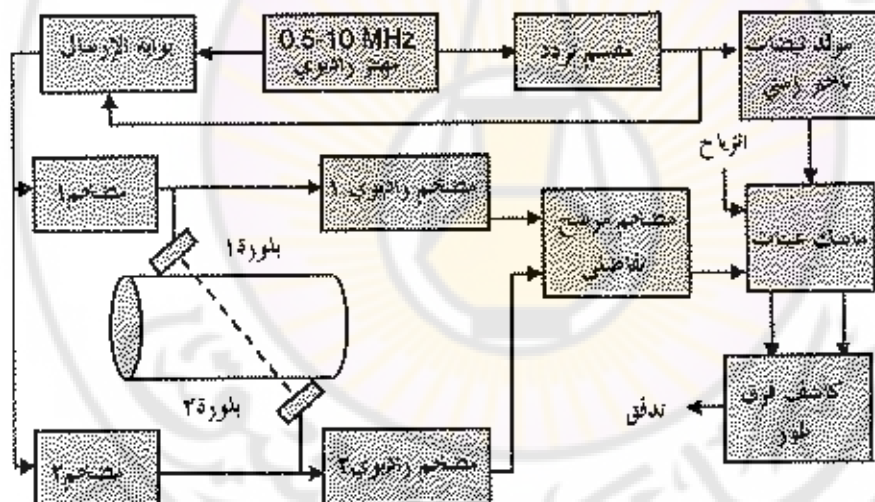
$$Q = \frac{V \pi D^2}{4}$$

الشكل 4.29 : (A) يوضح آلية قياس التدفق بطرقة زمن العبور (B) يوضح آلية قياس التدفق بطريقة الانعكاس.

يتم حساب التدفق عن طريق قياس سرعة جريان الدم بالوعاء واعتبار أن قطر الوعاء مكان التصوير يعتبر وسطياً ثابتاً ومتجانساً، أو يتم قياس قطر أو مقطع الوعاء واعتبار المسرعة الوسطية للدم ثابتة ومتجانسة أو بطريقة ثالثة يحسب التدفق من خلال استخدام مبدأ دوببلر النبضي.

ويبين الشكل (4.30) المخطط الصندي لقياس تدفق الدم عن طريق قياس فرق الطور بالطريقة المباشرة (مبدلين متقابلين) وبعد التقاط الإشارة وترشيحها تكون هذه الإشارة متذبذبة مع التدفق.

بعد زمن العبور القصير، تستقبل التبضة بنفس الوقت، بقارن طورها وتعلين. بعد التكبير والفلترة لإزالة تردد الإعادة النبضي، تعرض إشارة التدفق وتسجل. ما يجب ملاحظته هو إضافة عتبة للتبعيض عن أي فوارق في مرتكبات المبدلات في معبر الإشارة. ففي خطوة أكثر عملية تضاف مفافية الكترونية لتعكس توصيلات الكريستالات أو الكاشف الطوري محاولة ليلغي أي فوارق في الكريستالات أو في مسارات الإشارة.



الشكل 4.30 : المخطط الصندي لقياس تدفق الدم عن طريق قياس فرق الطور بالطريقة المباشرة (مبدلين متقابلين).

4.5.4. معادلة دوببلر : Doppler Equation

ويبين الشكل (4.31) رسمياً توضيحاً لمبدأ قياس دوببلر حيث المبدل يصدر حزمة من الأمواج فوق الصوتية لتنتافع مع الدم بزاوية تساوي (0) خلال جريانه باتجاه (أو عكس

الاتجاه) لارتداد صدى هذه الحزمة للأمواج فوق الصوتية من الدم الذي يجري بسرعة (V). ومن خلال تفاعل حركة الدم مع الحزمة الأمواج فوق الصوتية يؤدي إلى تغير في قيمة التردد عن تردد الإرسال بقيمة تسلوی إلى ($\pm\Delta f$) وذلك حسب اتجاه جريان الدم ويكون التغير في التردد (Δf) موجياً إذا كان اتجاه جريان الدم بنفس اتجاه انتشار الحزمة فوق الصوتية والعكس يكون التغير في التردد (Δf) سالباً إذا كان اتجاه جريان الدم عكس اتجاه انتشار الحزمة فوق الصوتية.



الشكل 4.31 : مبدأ دريلر لقياس جريان الدم في الوعاء الدموي.

$$\frac{\Delta f}{f_0} = 2 \cdot \frac{V}{c} \cdot \cos (\theta) \dots \dots \dots \dots \dots \quad .4.25$$

حيث :

θ : الزاوية بين جريان الدم ضمن الوعاء ووجهة انتشار الحزمة فوق الصوتية (rad).

V : السرعة الوسطية لحركة السائل الحيوي داخل الوعاء (cm/sec),

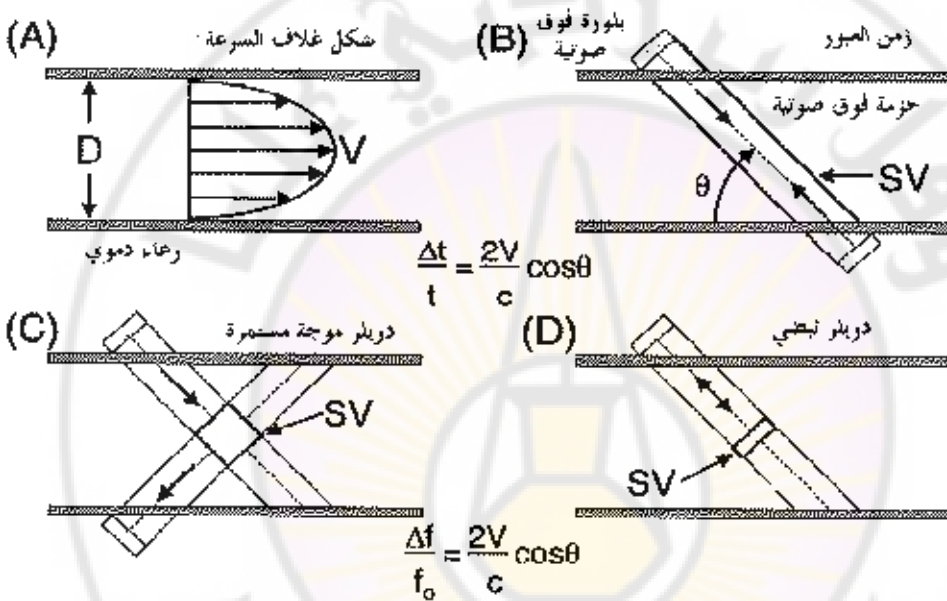
c : سرعة انتشار حزمة الأمواج فوق الصوتية بوسط الإرسال (cm/sec),

f_0 : تردد انتشار حزمة الأمواج فوق الصوتية ضمن الوعاء (Hz).

Δf : تغير تردد حزمة الأمواج فوق الصوتية المستقبلة عن المرسلة بسبب جريان الدم (Hz).

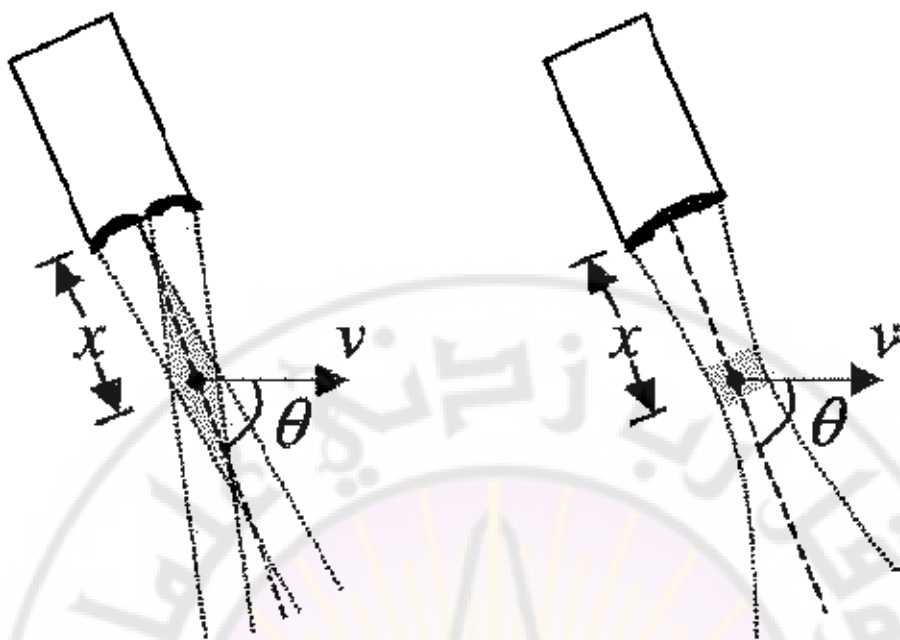
من المعادلة (4.25) نلاحظ علاقة تناسب طردية (مباشر) بين تغير التردد (بين تردد الإرسال وتردد الاستقبال المنعكس من السائل مع ثبات زاوية المبدل مع الوعاء) وبين سرعة جريان السائل ضمن الوعاء.

الشكل (A) (4.32) يبين شكل حركة الدم الصفارنجية في الوعاء الدموي، وفي الشكل (B) يوضح استخدام مبدلين متقابلين بشكل قطري ومن كلتا الجهازين للوعاء الدموي لقياس سرعة تدفق الدم بطريقة زمن العبور، أما الشكل (C) (4.32) يوضح استخدام مبدلين متقابلين بشكل متاظر بالنسبة للوعاء الدموي من كلتا الجهازين للوعاء الدموي لقياس سرعة تدفق الدم بطريقة دوبلر بالموجة المستمرة، وفي الشكل (D) (4.32) يوضح استخدام مبدل وحيد داخل الوعاء الدموي لقياس سرعة تدفق الدم بطريقة دوبلر النبضي.



الشكل 4.32 : (A) شكل جريان الدم الصفارنجي في الوعاء الدموي، (B) قياس جريان الدم بطريقة دوبلر عن طريق زمن العبور باستخدام مبدلتين متقابلين، (C) قياس جريان الدم بطريقة دوبلر المستمر باستخدام مبدلتين متقابلين، (D) قياس جريان الدم بطريقة دوبلر النبضي باستخدام مبدل وحيد. SV (Sample Volume). حجم عينة القياس.

والشكل (4.33) نوعين لمبدلات دوبلر موجة أمواج فوق الصوتية مستمرة وبصريّة المستخدمة في المسح.



الشكل 4.33 : ميدل (يمين) ميدل موجة مستمرة، (يسار) ميدل موجة بصري.

4.6. أنواع لجهاز المسح بالأمواج فوق الصوتية:

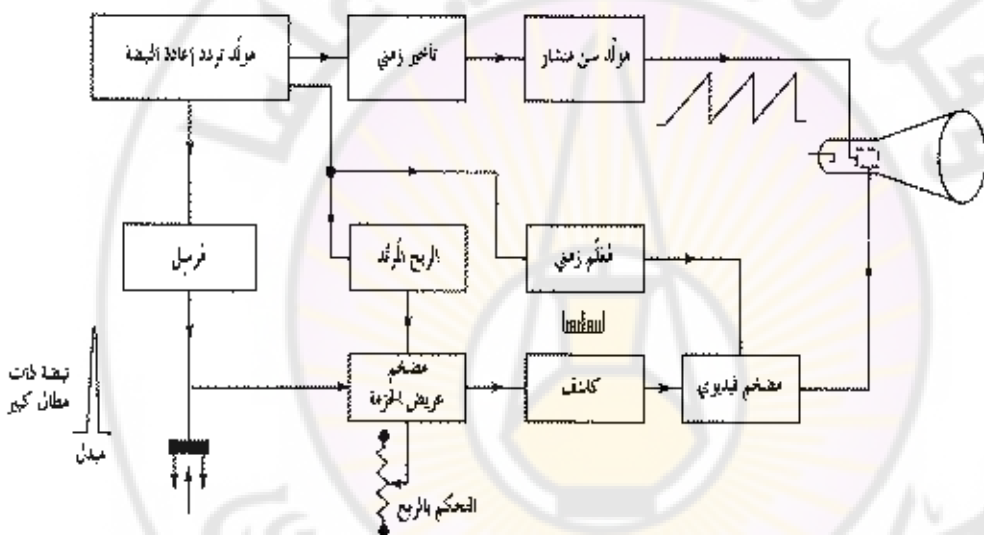
4.6.1. جهاز الصدى الأساسي : Basic Echo Instrumentation

إن أغلبية التجهيزات التشخيصية فوق الصوتية الحديثة مصممة على أساس التقنية النبضية، تستخدم لكشف وتحديد موقع العيوب أو الشُّدُوذات في النسج. وهذا ممكن لأنه يمكن قياس زمن انتقال النبضة بسهولة أكثر من الأمواج المستمرة. إن جهاز تحطيط صدى الدماغ وجهاز تحطيط صدى القلب والمبدلات فوق الصوتية من أجل التصوير أغلبها مصممة للعمل على التقنية النبضية.

تتألف تقنية صدى النبضة بشكل أساسي من إرسال حزمة من النبضات فوق الصوتية فصيرة إلى النسيج واستقبال الطاقة المتعكسة عن هذا النسيج أو الحد الذي يفصل وسطين لهما مقانعات صوتية مختلفة.

الشكل (4.34) يوضح المخطط الصندوقى لجهاز إيكو عام حيث يتم توليد قطار من النبضات الفصيرة الكهربائية بترددات فوق الصوتية محددة بواسطة مولد تردد النبضات (PRF).

Pulse Repeat Frequency) صوتية بواسطة البلورة الكهروإجهادية والتي تمثل مبدل إرسال، يتم التقاط الأصداء المنعكسة من النسيج الحيوي بواسطة نفس المبدل وتضخيمها بشكل مناسب للإظهار على أنبوب الأشعة المهبطية. حيث يتم تطبيق إشارة زمنية على شكل إشارة سن منشار على المدخل X لأنبوب الأشعة المهبطية (CRT) لحظة إصدار المبدل المرسل لنبضات حزمة الأمواج فوق الصوتية. بهذه الطريقة يكون مكان صدى النبضة فوق الصوتية متناسباً مع الزمن الذي تستغرقه هذه النبضة لتنقل ذهاباً إلى النسيج الحيوي وإليها من النسيج الحيوي إلى المبدل ثانية. يمكن تقدير هذه المسافة بمعرفة سرعة الأمواج فوق الصوتية وسرعة الحركة الأفقيّة للرسم على الـ .CRT



الشكل 4.34 : مخطط صادفي لنظام الصدى الأساسي.

* مولد تردد النبضة التكرارية PRF Pulse Repeat Frequency :

تنتج هذه الوحدة مجموعة من نبضات التحكم الكهربائية للتحكم وقيادة مكونات الجهاز. وتكون PRF عادة على بين 500 هرتز و 3 كيلو هرتز.

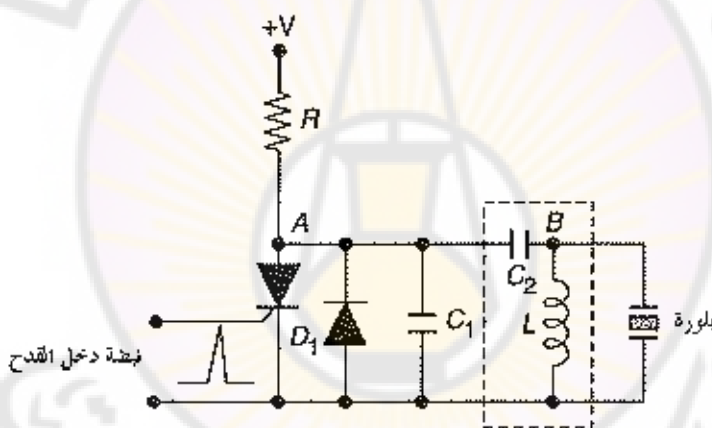
توجد دارات قياسية متعددة لتوليد شكل الأمواج المطلوبة. يمكن أن تكون هذه الدارات مولدة ذبذبات أو بعض أشكال هزازات عديمة الاستقرار. غالباً ما يفضل النوع الأخير. لأنه يمكن تغيير فترة النبضة بشكل دقيق وبسيط.

ينبغي أن يكون عرض نبضة الخرج الكهربائية من مولد PRF صغيراً جداً، ويفضل أن يكون من مرتبة المايکرو ثانية، لتوليد نبضة أمواج فوق صوتية قصيرة. إن دارات عديمة الاستقرار تستخدم لتوليد هذه السلسلة من النبضات وبالتردد المطلوب ليتم استخدامها في فتح مهتز أحادي الاستقرار يعطي نبضات بالعرض المطلوب.

يتم بواسطة النبضات القصيرة والمكرر بمعدل ١ كيلو هرتز لفتح مبدل الإرسال لبرسل نبضة الأمواج فوق الصوتية لبضعة مایکرو ثانية ويعمل بعدها كمسقبل.

* المرسل:

تتم قيادة بلورة الإرسال بواسطة نبضة من مولد ال PRI وتستخدم لفتح دارة ال SCR التي تفرغ شحنة المكثف خلال البلورة الكهروإجهادية في المبدل ليولد الإشارة فوق الصوتية. إن الدارة المستخدمة بشكل نموذجي مبينة في الشكل (4.35).



الشكل 4.35 : خطط دارة لرسل مستخدم في جهاز صدى النبضة الأساسي.

إن ال SCR قاطع في الشروط العادية. يمكن شحن المكثف C_1 من خلال المقاومة R إلى الجهد $+V$. إذا تم تطبيق نبضة موجبة قادحة قصيرة على بوابة ال SCR فسوف تُفتح وتوصل لزمن قصير. بناءً على ذلك سيهبط الجهد عند النقطة 'A' بسرعة مسبباً نبضة بمدة قصيرة ذات جهد عالي عند 'B'. تظهر هذه النبضة عبر البلورة التي تولّد نبضة فوق صوتية قصيرة المدة. ولأجل إنتاج نبضة ذات مدة قصيرة جداً من الضروري استخدام SCR بزمن "إغلاق" سريع ومقدرة تيار تحويل عالية تستطيع تحمل جهد التغذية المطلوب. يمكن استخدام

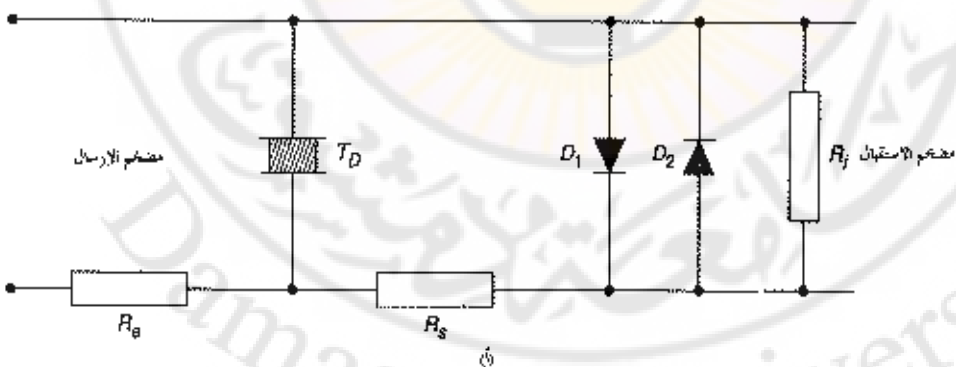
دارة SCR2N4203 بسبب مواصفاتها التالية: جهد انحصار ألمامي بحدود (700 فولت) ومقدرة تيار بوابة عالي (100 أمبير) وزمن الإغلاق السريع (100 نانو ثانية).

- * **المُستقبل:**

إن وظيفة المُستقبل (مبدل) الحصول على إشارة الصدى لجزمة الأمواج فوق الصوتية بأفضل شكل ممكن. ولتجنب تخفيض دقة التمييز المحورية يجب أن تكون عرض جزمة الاستقبال تساوي ضعف عرض جزمة المبدل الفعال.

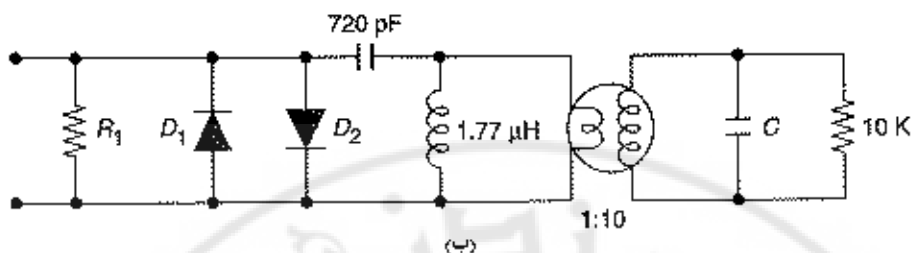
- * **توافق المرسل - المستقبل:**

تستخدم أنظمة صدى النبضة فوق الصوتية بشكل عام بثورة المبدل نفسها لإرسال الطاقة فوق الصوتية والاستقبال الصدى المتعken معًا. يسمح هذا بأن تحتوي الأنظمة على مبدل مدمج وأن تنتج أيضًا شكل جزمة متناهٍ ومحدد بشكل جيد. من ناحية ثانية فإن استخدام مستقبل- منبع عام للأمواج فوق الصوتية يعني أنه يجب حماية مرحلة الدخل الحساسة لمضمون الاستقبال من نبضة الإرسال عالية الجهد. يتم عادة تأمين مثل هذه الحماية بواسطة دارة مبنية في الشكل (4.36) فأثناء الإرسال تكون المقاومة التسلسنية R_s فعلية على التوازي مع المبدل وتمتص جزءاً من نبضة الإنارة، وكذلك إذا كان المبدل متوفقاً بالطاقة مع مضمون الاستقبال، فإن اختيار R_s عندئذ هو الحل الوسط بين التحميل أثناء الإرسال وضياع الإشارة أثناء الاستقبال. من الأفضل اختبار R_{TD} حيث $R_{TD} = R_s$ (حيث R_{TD} هي ممانعة المبدل).



الشكل 4.36 : دارة تقابلية لحماية الدخل من النبضة المرسلة ذات المطال الكبير في المستقبل.

الشكل (4.37) يبين دارة محسنة لتأمين توافق أفضل بين المبدل في حالتي الإرسال والاستقبال.



الشكل 4.37 : دارة توافق الدخل للمرسل والمستقبل.

• مضخم الحزمة العريضة:

إن إشارات الصدى المستقبلة بمبدل الاستقبال هي على شكل تردد حامل معدل ومن المحتمل أن تكون صغيرة ومساوية لبضعة ميليكرو فولت. تحتاج هذه الإشارات إلى تضخيم كافٍ قبل أن تُؤخذ إلى دارة الكاشف لاستخلاص إشارات التعديل التي تحمل المعلومات المفيدة. يتم تحقيق ذلك بواسطة مضخم الحزمة العريضة، الذي يكون عريضاً كفالةً لإعادة إنتاج الأصداء المستقبلة بشكل صحيح ولپنج استخدام المبدلات المختلفة العاملة عند ترددات مختلفة متعددة. إن الربح المرغوب فيه لمضخم الحزمة العريضة هو من مرتبة 80-100 ديسيل. ويجب أن يملك أيضاً مجالاً ديناميكياً عريضاً جداً بحيث لا يعمل المضخم في المناطق غير الخطية بسبب إشارات الدخل الكبيرة.

يجب أن يملك المضخم مستوى ضجيج منخفضاً أيضاً لاستقبال أصداء من الأهداف العميقية. إن مضخم الدخل في الأجهزة الحديثة هو عادةً بوابة MOSFET ثنائية البوابة وهي مناسبة جداً للإشارات ذات التردد العالي وتؤمن ممانعة دخل عالية للإشارات من المبدل. يتم عادة استخدام مضخم لوغاريتمي بسبب المجال الديناميكي العريض لمطارات الصدى المحتواة في الصورة فوق الصوتية. إن جهد الخرج في هذا المضخم متاسب مع لوغاريتم جهد الدخل. يستطيع المرء باستخدام المضخم اللوغاريتمي أن يشاهد الاختلافات النسبية الصغيرة في الأصداء ذات المطال المنخفض والأصداء ذات المطال العالي في نفس الصورة معاً.

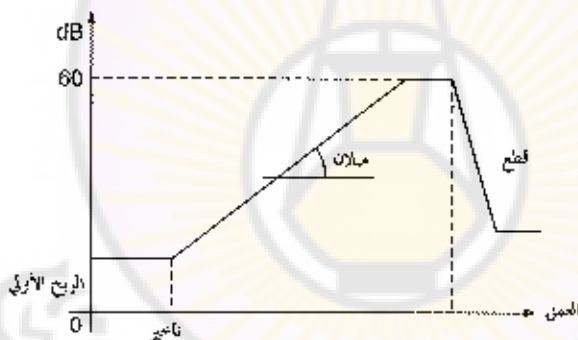
• التحكم بالربح المرتفع

إن الأصداء المستقبلة من المناطق القريبة أقوى من الأصداء المستقبلة من المساج

العميقة. يستطيع مضمون الاستقبال أن يقبل مجالاً محدوداً فقط من إشارات الدخل بدون تحويل زائد وتشويه، إن التغيرات الحادة في خصائص التسليح التي تزيح الممانعة الصوتية يمكن أن تسبب تغيراً في مطاللات الصدى على مجال ديناميكي عريض، بين 40-60 ديسبل.

وهذا يخفض التضخيم للمسافات القصيرة الأولى لتسليح الجسم ويزيد الربح تدريجياً للأصداء الأضعف من المناطق الأبعد. يتم في بعض الأجهزة تنظيم الربح عن طريق تحكم متقطع بالربح مع الزمن، يسمح هذا بالتضخيم بشكل انتقائي أو برفض أصداء من نسج مختلفة متوضعه عند أعمق مختلفة.

تتضمن التقنية البسيطة الموضحة بالشكل 4.38 لتأمين تعويض تخدام التسليح عن طريق التحكم بربح المستقبل الأساسي للأصداء المنعكسة القريبة من سطح الجلد. إن مجال التحكم النموذجي هو من صفر إلى 60 ديسبل، يتم بعد ذلك ضبط معدل زيادة الربح مع العمق بواسطه "الميل" الذي يؤمن بشكل نموذجي زيادة ربح من صفر إلى 10 ديسبل/ستنتر، يتم التوصل إلى قيمة الربح الأعظمي بواسطة التحكم "باربح الأقصى" وعادةً بالمجال من صفر إلى 60 ديسبل أيضاً.



الشكل 4.38 : تقنية بسيطة لتأمين تعويض تضييف التسليح في الأنظمة صدى البصمة فرق الصوتية.

* الكاشف:

بعد التضخيم اللوغاريتمي يتم تقويم إشارات الصدى في دارة الكاشف. يمكن أن يكون الكاشف المستخدم من النوع (مكثف نبود) مع مرشح تحريري ليكون له ترشيح إضافي للتردد الحامل. يتم في عملية التقويم هذه تحويل أنصاف الأدوار العالية للموجة الكهربائية إلى أنصاف أدوار موجبة، يلي هذا دارة فك تعديل يتم فيها التخلص من إشارة التردد الأأساسي التي تم عليها تحويل معلومات مطال الصدى. إن خرج دارة فك التعديل هو على شكل غلاف للإشارة

الكهربائية للصدى. ومن الصعب تجاوز المجال الديناميكي من 25-30 ديبول بواسطة إشارة كهربائية للدخل تساوي 5 فولت.

ستستخدم دائرة فك تعديل متزامن المستخدم في فك تعديل الصوت HM في المستقبلات التلفزيونية. تتألف بشكل أساسي من (ديود - مكشاف) بالإضافة إلى مرشح عوسي Gaussian لفصل التردد الحامل عن الإشارة (فك التعديل واستخلاص الإشارات المعدلة التي تحمل معلومات مفيدة)، إن خرج دائرة فك التعديل هو مطال إشارة الصدى مؤخرة زمنياً عن بقية الإرسال.

• المضخم الفيديوي:

تحتاج الإشارة إلى تصحيح إضافي بعد فك تعديليها في دائرة الكاشف قبل أن تُعطى إلى المدخل Y لل CRT. إن خرج دائرة الكاشف النموذجي حوالي 1 فولت، ولكن للإظهار على الـ CRT يجب أن تُضخّم الإشارة إلى حوالي 100 إلى 150 فولت. بالإضافة إلى هذا يجب أن يكون للكاشف استجابة عابرة جيدة. إن أكثر المضخمات الفيديوية المستخدمة هي من النوع RC، والذي يملك محارضة على التغطيل مع حمل المجمع. تساعد المحارضة على توسيع الاستجابة الترددية للمضخم.

يتم إخضاع الإشارة الفيديوية الممثلة لغلاف الصدى لمرحلة معالجة أخرى من أجل "تحسين الحواف". ويتم تحقيق هذا بمضاعفة الإشارة جزئياً. مع إضافة جزء صغير من الإشارة المضاعفة إلى الإشارة الأصلية.

• وحدة التأخير الزمني:

إن وحدة التأخير الزمني مطلوبة في بعض الأحيان من أجل تطبيقات خاصة. تبدأ القاعدة الزمنية عادةً بتحريك البقعة عبرواجهة الـ CRT بنفس اللحظة التي يتم فيها قذف الـ SCR المعينة بالشكل (4.35). يمكن في حالات خاصة، إذا كان ذلك مرغوباً، تأخير بدء الرسم بواسطة وحدة التأخير الزمنية بحيث يمكن توسيع الرسم للحصول على إظهار أفضل وفحص الصدى البعيد.

• القاعدة الزمنية:

يتم ضبط سرعة القاعدة الزمنية بحيث تظهر الأصداء من النسيج الأعمق ذات الاهتمام على الشاشة قبل أن تثيرها العزمة كلية. إذا أخذت السرعة فوق الصوتية في النسيج الطرفي بحدود 1500 متر/الثانية، فيجب أن يُخصص زمن مقداره 13.3 مليكرو ثانية لكل سنتيمتر من

سطح التماس العاكس تحت السطح. تظهر في العديد من التطبيقات معلمات مسافة ملائمة لكل قاعدة زمنية على الشاشة مباشرةً تُبسط إلى حد كبير قياسات المسافة. تتتوفر دارات قياسية عديدة لتوليد شكل إشارة من المنشار لتأمين قاعدة زمنية ملائمة للآخراف الأفقي للبقعة على شاشة الـ CRT. يتم التحكم بمولد المسح الأفقي بواسطة مولد الـ PRF عندما يبدأ المسح باللحظة التي يتم فيها تطبيق نبضية الإرسال على المبدل.

• معلم الزمن:

ينتج معلم الزمن نبضات هي أجزاء زمنية معروفة، وبذلك، تتطابق مع أجزاء مسافات معروفة في الأنسجة البشرية. تُعطي هذه النبضات المعلمة إلى المضخم الفيديوي وبعد ذلك إلى المدخل Y لشاشة الإظهار بالإضافة إلى الأصداء.

• الإظهار:

تُعطي الإشارة بعد التضخيم في المضخم الفيديوي إلى المدخل Y الـ CRT. إن الـ CRT هو ليس فقط أداة تعمل بسرعة بل هو أداة تعطي عرضاً واضحاً لإشارات الأصداء المستقبلة أيضاً.

يوجد في الأجهزة العينية على أساس صدى النبضية تحكمان مهمان مستخدمان بتكرار اثناء مجموعة متنوعة من التصوير. وهي "الرفض" و"التخميد". يتحكم عادة بالرفض عن طريق عتبة امطال الإشارة ليكون مرئياً في المجال نظام المسح A ، وللكتابة على الإظهارات بالأمساط B و M. ترفض هذه العتبة الأصداء غير المهمة ذات المطالات الصغيرة والتي يمكن أن تُنتج إشارات ضجيج في الإظهارات أو التسجيلات. يتم التحكم بالتخفيد لمطال إشارة الإثارة الكهربائية لمبدل الإرسال أو الإشارة الكهربائية المطبقة على المبدل بقصد تخفيض خرج المبدل (حرمة أمواج فوق الصوتية). وهذا أحياناً مرغوب فيه لتحسين دقة تمييز الصدى لمقطع تماس الحقل القريب، لأن التخفيد لمطال إشارة الإثارة الكهربائية لمبدل الإرسال يقصر مدة النبضة الفعالة.

في نظام المسح (A) يعطي هذا النوع من المسح معلومات أحادية البعد فقط. حيث يتم تطبيق إشارات الصدى على المدخل Y الـ CRT بحيث يتم إظهارها كأنصوات مساطعة وأضفاف نبضات (blips) عمودية. يتطابق ارتفاع النبضات مع قوة إشارة الصدى ويتطابق مكانه على المحور الأفقي من اليسار إلى اليمين عبر الـ CRT مع عمق النقطة النسيج عن المبدل.

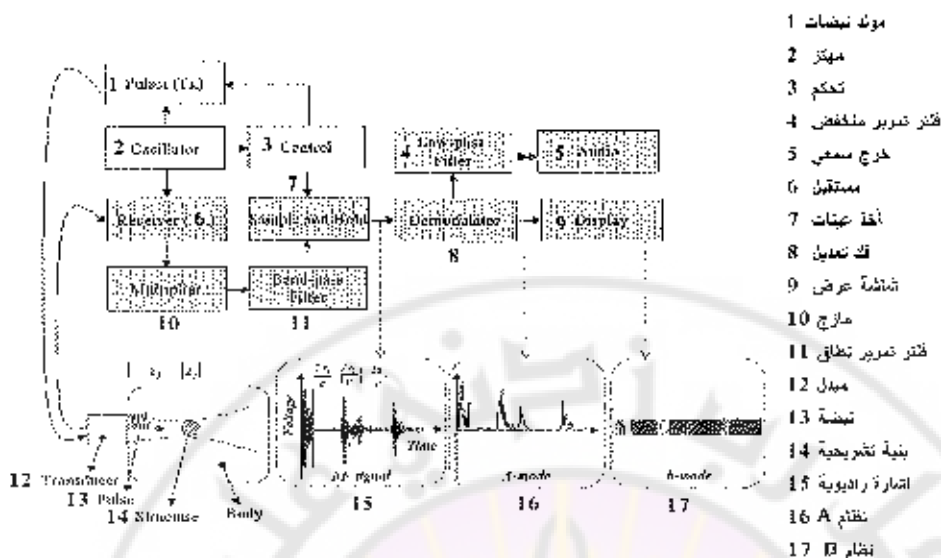
4.6.2. جهاز تصوير صدى المطالي

:Amplitude Scanner Echo(A-Scan)

إن أجهزة التصوير بمبدأ حزمة الأمواج فوق الصوتية تدعى بأجهزة الإيكو (Echography) أو الصوتية (Sonography) وعندما يعتمد تحصيلاً الصورة على مبدأ مطال إشارة الصدى تدعى هذه الأجهزة بالإيكو المطالية وبين الشكل (4.39) المخطط الصندي لجهاز تصوير إيكو المطالي ثبضي.

حيث يتم توليد إشارات قطرات من النبضات من المهتر إلى دائرة التحكم بالإضافة إلى إشارة التردد الحامل (لتعديل) لإشارة الإرسال التي تتصل مباشرةً مع مدخل المبدل عندما يعمل بحالة الإرسال، وكذلك يولد المهتر إشارة التردد الحامل (فك التعديل) لإشارة الاستقبال التي تتصل مباشرةً مع خرج المبدل عندما يعمل بحالة استقبال، بعدها يتم تضخيم وترشيح الإشارة بمرشح تمرير حزمة (تضخيم مع فك تعديل) ثم يتمأخذ عينات من الإشارة الم Incoming والمريحة والمضخمة عن طريق ماسك العينات حيث يكون خرجه عبارة عن إشارة كهربائية محملة على تردد عال حامل للإشارة ثم يتم حذف القسم السالب وأخذ غلاف الإشارة فقط من الإشارة عن طريق ثانوي حيث يكون خرج مرحلة التعديل بهذه غلاف إشارة الصدى بطريقة المسح المطالي باستخدام الإحداثيات الديكارتية أما للحصول على إشارة الصدى بطريقة المسح السطوعي يتم فقط التعديل في قسم الإظهار حيث يتم عرض الإشارة بالإحداثيات القطبية بدلاً من الإحداثيات الديكارتية في طريقة المسح المطالي.

أما إذا كان المطلوب إظهار صوتي متسلسٍ مع مطال إشارة الصدى يتم إضافة دائرة ترشيح تمرير منخفض بخرج مرحلة فك التعديل في قسم الخرج وتوصيل إلى وحدة إظهار صوتية.



الشكل 4.39 : المخطط الصدروقي لمدا التصوير المطالي (A Scan).

إن المبدلات المستخدمة في تصوير إيكو مطالي تعتمد على عمق النسيج المصور وعادةً لتصوير القلب أو الكلية أو الكبد تكون ترددات العمل للمبدل تتراوح بين (3-5 MHz) أما في حالة تصوير الغدة الدرقية أو الذي تصوير الجنين تستخدم مبدلات مبدلات بترددات تتراوح بين (4-10 MHz) أما في حالة المجالات الأوسع في التصوير البصري للعين تستخدم مبدلات بترددات تتراوح بين (7-15 MHz) كون النسيج أكثر سطحية (أقرب إلى سطح الجسم).

وعادةً تستخدم مبدلات نبضية تعمل هذه النبضات بترددات منخفضة (3-5 MHz) دوراً لتأمين دقة تمييز عالية وهذه المبدلات بعد تطبيق إشارة كهربائية حيوية نبضية (جيهد) على المبدل بمطالات تتراوح بين (50-500 V) تصدر هذه المبدلات حزمة الأمواج فوق الصوتية النبضية بترددات رباعين عناصر الكهروميكانيكية للمبدل.

في حالة تصوير النسيج الحيوي الساكنة (قليلية الحركة بفترة زمنية قصيرة) تستخدم موجة أو عدة أمواج نبضية بينما عند تصوير النسيج الحيوي المتحركة مثل الدم أو الكبد أو القلب تستخدم قطاراً من النبضات وتتحدد عن طريق دارات النبضات التكرارية (PRF) حسب عمق النسيج وتكون عادة ضمن المجال (1-3 KHz) أو تتبع المعادلة (4.26) التالية :

$$PRF \quad (KHz) = \frac{c}{2 \cdot D_{max}} \dots \dots \dots .4.26$$

حيث :

PRI : مولد النبضات التكرارية (Hz).

c : سرعة انتشار حزمة الأمواج فوق الصوتية بمتوسط الإرسال (cm/sec).

D_{max} : تردد انتشار حزمة الأمواج فوق الصوتية ضمن الوعاء (Hz).

بعد إرسال حزمة الأمواج فوق الصوتية من المبدل تصطدم بالنسيج الحيوي وتحكّم بجهة المبدل ويتم استقبالها وتتحول في خرج المبدل إلى إشارة كهربائية يتم تضخيمها عن طريق مضخم يتمتع بمواصفات عالية لتحسين نسبة الإشارة إلى الضجيج كون الإشارة المستقبلة إشارة ضعيفة نسبياً والمجال الرابع الديناميكي عادة له قيمة تتراوح بين (70-80) dB.

بعد ذلك تدخل الإشارة إلى دارة التحكم بالربح الزمني (Time-Gain Compensation TGC) وهذه الدارة تُعرض الخسارة في مطال الإشارة الذي يحدث نتيجة إلى تخدامدها في النسج الحيوية من خلال عبورها لهذه النسخة إلى أن تصل إلى النسخ المطلوب تصوّره وأيضاً من خلال عودة إشارة الصدى من على سطح النسخ المراد تصوّره إلى المبدل فكل هذه المسارات تسبب تخدامداً في مطال الإشارة المستقبلة ويتم تعويضها عن طريق دارة التحكم بالربح الزمني (TGC) وتكون قيمة الرابع الديناميكي تتراوح بين (40-50) dB مبينة بالشكل (4.39).

بعدها تذهب الإشارة إلى مهبط صمام الأشعة المهبطي المفرغ (CRT) تكون على شكل إشارات وتتبع الإشارة إلى تضخيم عن طريق مضخم إشارة لوغارتمية له قيمة ربح ديناميكي تتراوح بين (20-30) dB.

بعد مرحلة صمام الأشعة المهبطي تكون الإشارة على شكل درجات رمادية تدخل على مرشح للحصول على غلاف الإشارة ذي الترددات العالية ويدعى بمرشح هيلبرت وعلى خرجه تتعي هذه الإشارة بإشارة التصوير الصدى المطال (A Scan).

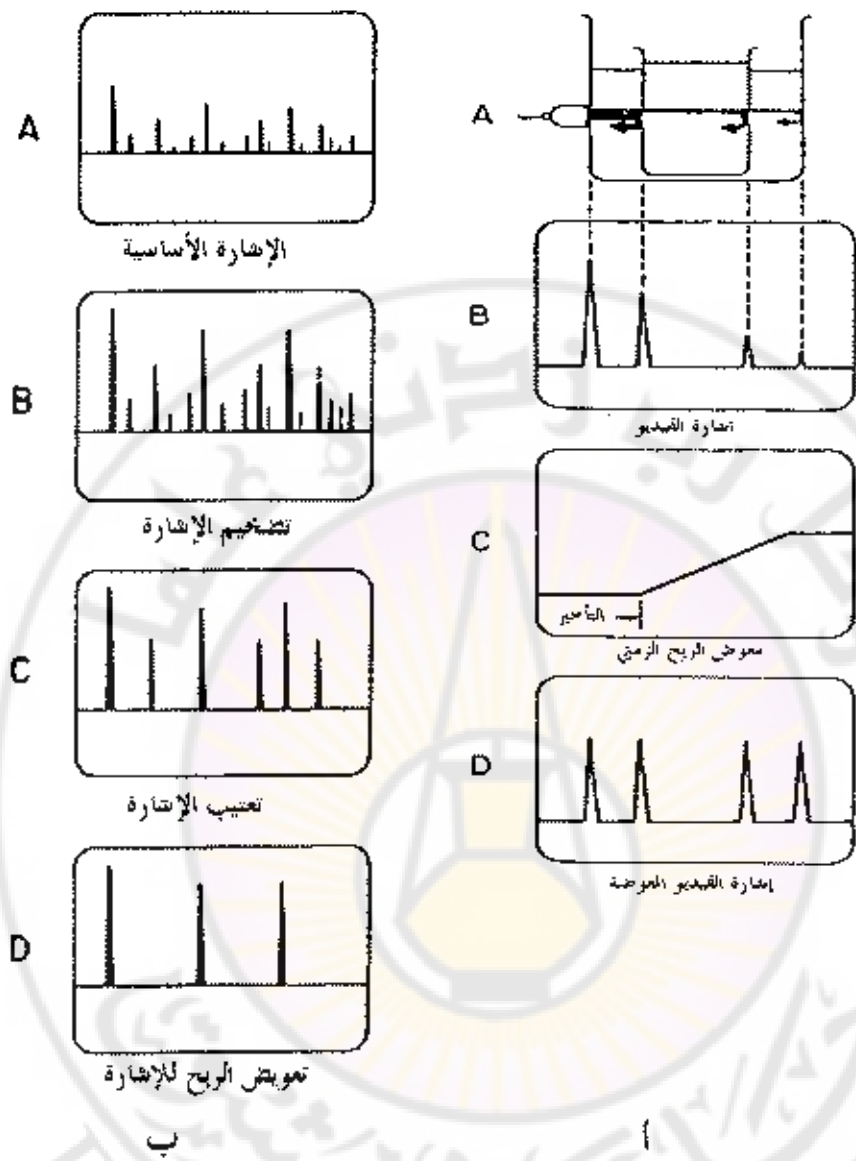
مثال (4.11) :

المطلوب حساب زمن الحصول على إشارة الصدى عندما تصور نسيج سرعة الأمواج فوق الصوتية فيه (1460 m/s) والنسيج موجود على عمق (10 cm).

الحل :

$$t = \frac{2 \times (10 \text{ cm})}{(1460 \text{ m/s})} = 137 \mu\text{s}$$

العدد 2 لأن الحزمة تقطع المسافة ذهاباً وإياباً.



(أ)- شكل إشارة الصدى بطريقة المسح المطالي (A) في مراحل التقطيع وتعريف التجااء TGC في Scan)

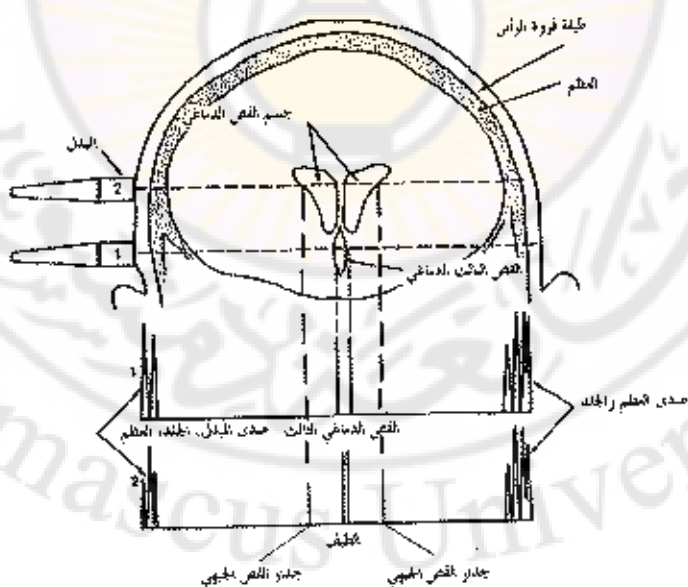
(ب)- شكل إشارة الصدى بطريقة المسح المطالي (A) في مراحل التقطيع، تقطيع، تحطيم في (A Scan).

4.6.2.1 . تطبيقات المسح (A) Scan : Applications of (A) Scan

4.6.2.1.1 . تطبيق (١) : تصوير الدماغ بمبدأ الصدى المقطالي

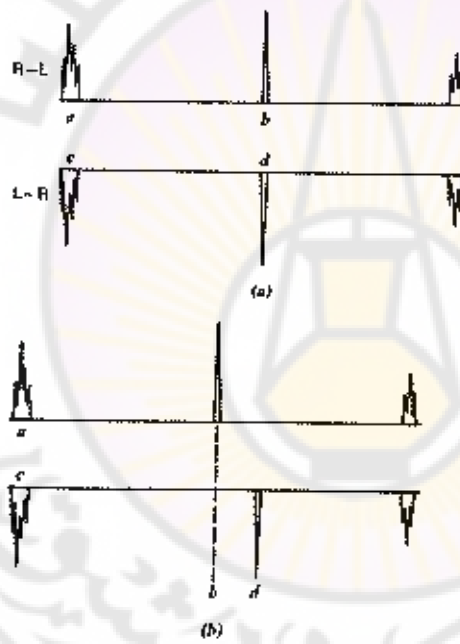
: (Echo-encephalography)

الشكل (4.41) يبين مبدأ تصوير الدماغ بمبدأ الصدى المقطالي (Echo-encephalography) حيث يتم استخدام مبدلين من أجل مقارنة نتيجة التصوير بهذين المبدلين حيث يتم ضبط المؤشرات على عرض نبضة الإشارة الكهربائية على ($1 \mu\text{s}$) بتردد (2-3 MHz) ويتزدّد النبضة التكرارية (PRI 500 Hz) فإن إشارة صدى الأمواج فوق الصوتية موضحة في الشكل 4.41 فالإشارة الكبيرة الأولى من اليسار توضح الانعكاس من على عظم الجمجمة (الجبهي) القريب من المبدل والإشارة الكبيرة الأولى من اليمين توضح الانعكاس من على عظم الجمجمة البعيد (الخلفي) عن المبدل وباقى الإشارات هي الانعكاسات مع على أجزاء (بطينات) الدماغ الجانبي والبطين الثالث للدماغ. تكون هذه الأصداء متوضعة بشكل منتظر بالنسبة إلى منتصف المسافة (الخط) بين الانعكاسين الكبيرين لجدار الجمجمة الأمامي والخلفي ويكون التغير الطبيعي ليس أكثر من ($\pm 2\text{mm}$) أما إذا كان الفرق بين مركز التناول ومركز الخط أكثر من ($\pm 3\text{mm}$) فهذه دلالة على وجود حالة مرضية تستوجب الدراسة (ورم أو تكيسات).



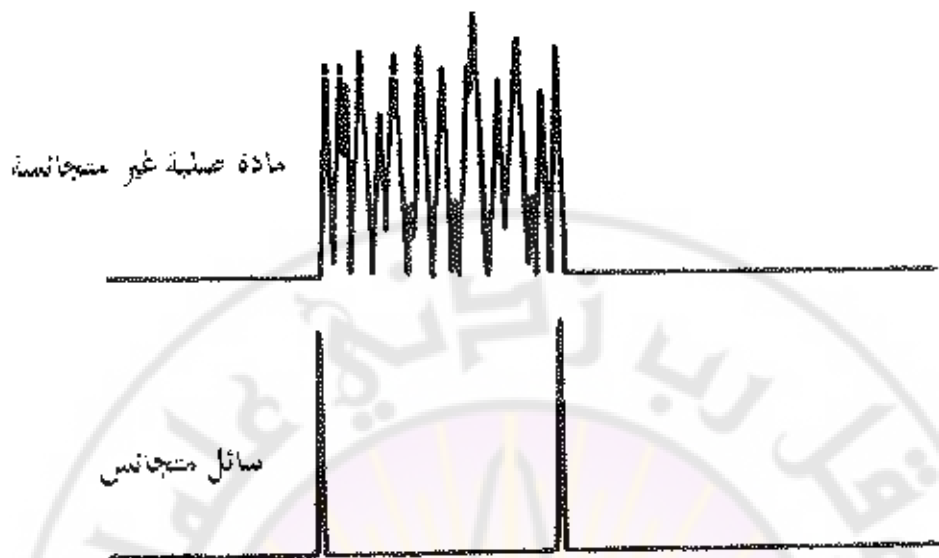
الشكل 4.41 : تصوير الدماغ بواسطة مبدلين مقارنة بمبدأ المسح المقطالي.

إن بعض أجهزة الإيكو التي تستخدم لتصوير الدماغ بمبدأ الصدى المطالي (Echo-encephalography) تعمل كما يلي : نستخدم مبدل من نقطة بالجهة اليمنى ونرسم الخط لإشارات الصدى من اليمنى إلى اليسار وثم نستخدم مبدل آخر أو نفس المبدل من نقطة بالجهة اليسرى، مقابلة للنقطة التي تم التصوير منها، من الجهة اليمنى ونرسم الخط لإشارات الصدى من اليسار إلى اليمنى والموضحة بالشكل (4.42) فعندما تتطابق محاور الخط مع إشارات الصدى ومن الجهازين يكون الدماغ سليماً من الناحية التشريحية أما في حال وجود أي اختلاف بين محاور الخط مع إشارات الصدى تكون هناك مشكلة تشريحية وتدل على وجود كتلة ورمية بالدماغ تستلزم تصوير أكثر دقة للتحري عن كثرة الورم.



الشكل 4.42 : تصوير الدماغ بمبدأ المسح المطالي وبطريقة اخطرين المتقابلين.

أما الشكل (4.43) يوضح إشارة الصدى لوجود كثافة ورمية صلبة أو سائلة.



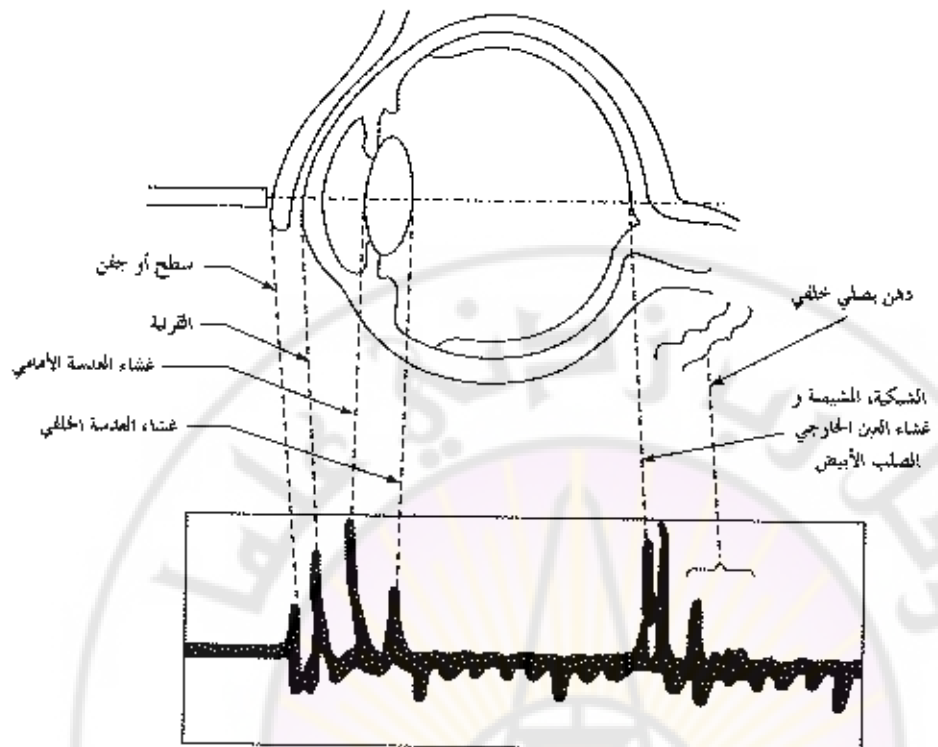
الشكل 4.43 : إشارة تصوير كثافة صلبة أو سائلة مبيناً التصوير بالسح المطالي.

4.6.2.1.2 تطبيق (2) تصوير العين :

لقد وجد أن التقنية فوق الصوتية بالنمط A مفيدة في طلب العيون لتشخيص انفصارات المبكية والأورام داخل العين وعاتمات (البقع العائمة) الجسم الزجاجي والأورام الخجاجية وخلع العدسة. إنه يساعد في قياس الطول المحوري عند المرضي ذوي قصر البصر التدريجي وتوضُّع الأجسام الغريبة داخل العين واستخلاص الأجسام الغريبة غير المغناطيسية.

يستخدم منظار صدى العين مبدلاً من النوع القلمي بتردد من 15-7.5 ميجا هرتز. ينبغي أن تكون النبضة المرسلة ذات عرض (بالنانو ثانية) ومجال صغيرين جداً.

صورة صدى العين مبيناً في الشكل (4.44)، نحصل على أصداء العين عند إجراء فحص أمامي خلفي على طول المحور البصري حيث سطح الجفن (المتطابق مع المعلم الصغرى الذي يظهر بشكل دائم على الرسم)، وسطح القرنية، ومحفظة العدسة الأمامية ومحفظة العدسة الخلفية والجدار الخلفي للكرة والدهن البصلي الخلفي.



الشكل 4.44 : صورة لأصداء العين باستخدام تصوير الإيكو ذاتي المسح المطالي .

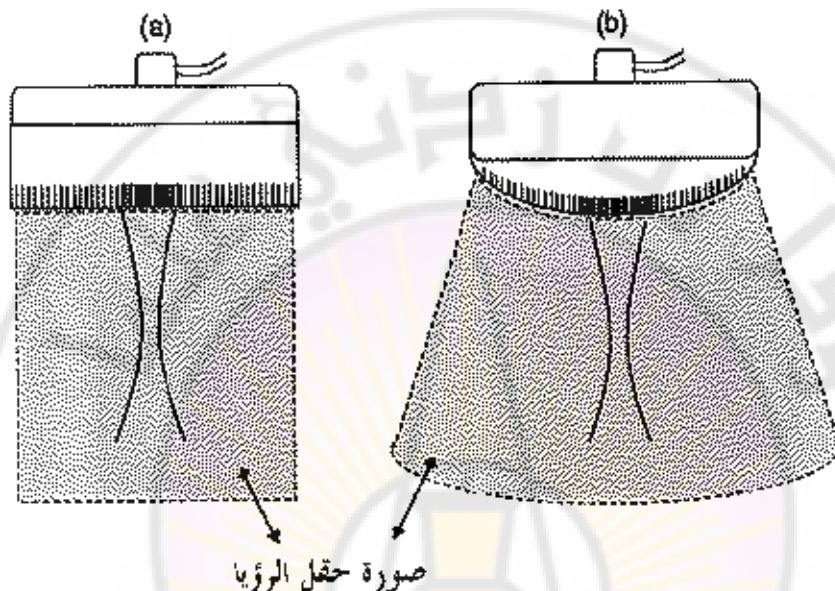
يمكن باستخدام معلمات المسافة على الرسم قراءة العمق والموضع النسبي لكل بنية مماثلة في الإظهار مباشره من الشاشة أو من الصورة الفوتوغرافية الناتجه . على سبيل المثال ، في الشكل (4.44) يظهر صدى القرنية عند 2 ميليمتر وصدى الجدار الخلفي عند 26 ميليمتر معطياً قياساً للطول المحوري العرضي يساوي 24 ميليمتراً . يبدو في هذه العين أن كلاً من عمق الحجرة الأمامية وسمكية العدسة يساوي 3 ميليمتر تقريباً .

4.6.3 جهاز تصوير الصدى المصطووعي

Brightness Scanner Echo (B-Scan)

من الواضح أن إظهار الصورة بطريقة المسح المطالي A صعب التفسير عند وصول عدة أصداء يوقت واحد وهذا يسبب ضياعاً في المعلومات المقيدة .
من الأمور المقيدة والتي تعطي معلومات أدق في الصورة هي إمكانية تحديد مكان

المبدل الفراغي وجهاً لانتشار الأمواج فوق الصوتية وهذا غير متوفّر بطريقة المسح المطالي A إلا عن طريق تحريك المبدل وبنوع مكاني، فتم تعديل هذه الطريقة لتحقيق هذا في طريقة المسح السطوي B الذي ينبع نقاط سطوية متناسبة شنتها مع مطال إشارة صدى الموجة المستقبلة التي تم الحصول عليها من مواقع واتجاهات متعددة للمجس لانتاج صورة التسليج.



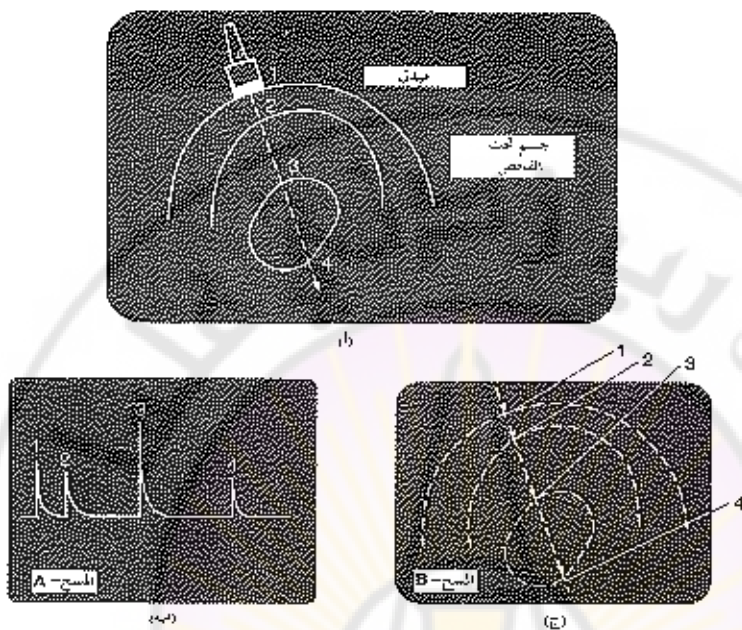
الشكل 4.45 : (a) مبدل ذو مصفوفة خطية، (b) مبدل ذو مصفوفة منحنيه للمسح السطوي.

الشكل (4.45) يوضح المبدل (a) ذو المصفوفة الخطية الذي يعطي صورة مستطيلة والمبدل (b) ذو المصفوفة المنحنيه (طوريه) الذي يعطي صورة قطاع دائري عادة المبدل (b) يستخدم في تصوير القلب.

يوضح الشكل (4.46) الفرق بين الصورة الناتجة عن التصوير بطريقة المسح A والتصوير بطريقة المسح B. الشكل (4.46) (ا) هو جسم افتراضي مع مبدل موضوع على سطحه. وقد تم وضع المجس بطريقة يرمي فيها حزمة بأشعة ماثل إلى داخل الجسم الافتراضي. تصادف حزمة الأمواج فوق الصوتية ثلاثة نسج وهمية مختلفة أثناء انتقالها.

يعطي التصوير بطريقة المسح A صورة ذات قسم عمودية (2 و 3 و 4) تستقبل كاصدقاء عند مبدل الاستقبال كاستجابة للنسبة المرسلة (1) مبينة بالشكل (4.46) (ب). بينما تظهر نفس

الصورة لنفس النسخ الافتراضية في التصوير بطريقة المسح B كنقط ضوئية يرتبط موقعها بسطح التماس الذي يصدر الصدى ضمن النسخ مبينة بالشكل (4.46) (ج).



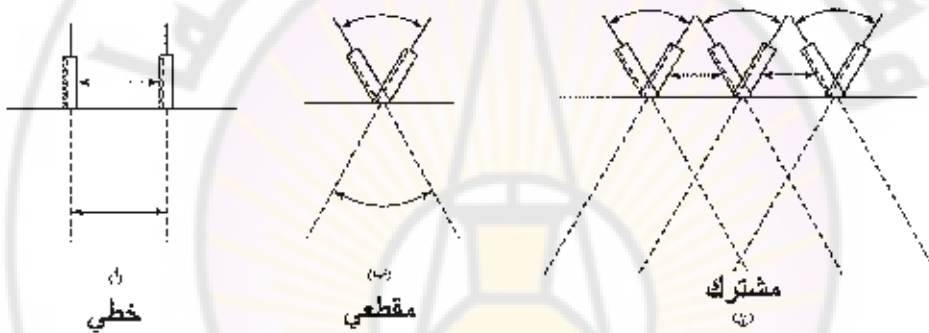
الشكل 4.46 : الاختلاف بين الصورة بطريقة المسح A والصورة بطريقة المسح B

الشكل (4.47) يبين المخطط الصندوفى لجهاز تصوير إيكو بمبدأ المسح السطوعي (B Scan).



الشكل 4.47 : المخطط الصندوفى لمبدأ التصوير السطوعي (B Scan)

تُستخدم ثلاثة أنواع من ترتيبات المسح لبناء صور مقاطع عرضية باستخدام الأمواج فوق الصوتية بالمسح السطحي (B Scan). وهي موضحة في الشكل (4.48). إن المسح الأكثر استخداماً على وجه العموم من أجل الدراسات الباطنية هو المسح الخطى المبين بالشكل (أ). إن المسح الخطى هو، عندما يبقى المبدل فوق الصوتى موازياً لسطح الجسم الذى يتم فحصه والحرزمه الصوتية عمودياً على حركة المبدل. يتم فقط تغيير موقع المبدل ولكن زاوية الحرزمه تبقى ثابتة. إن المسح الأكثر استخداماً على وجه العموم في تحطيط صدى القلب هو المسح المقطعي المبين بالشكل (4.48 ب). يتم إجراء المسح من خلال تأرجح المبدل حول نقطة ثابتة وهكذا تغطي الحرزمه الصوتية المقطع. إن المسح المركب المبين بالشكل (4.48 ج) هو مجرد اتحاد من المسح الخطى والمسح المقطعي.



الشكل 4.48 : أنواع ترتيب المسح. (أ) مسح خطى. (ب) مسح مقطعي. (ج) مسح مركب.

إن جهاز (B Scan) مبني على نفس المعلومات المتوفرة بواسطة جهاز (A Scan) الذي تستخدم لتعديل شدة الحرزمه الإلكترونية للـ CRT بدلاً من أن تحرفها عمودياً. ومن أجل الحصول على صورة مقطع عرضي ثنائية الأبعاد (B Scan) من الضروري معرفة موقع المبدل واتجاهه. لهذا الغرض يتم ربط المبدل بما إلى ذراع متصل يسمح بالمسح فوق المقطع وإما إلى قنطرة مستقيمة الخطوط تنتج مسحاً خطياً. يتم تحريك المبدل يدوياً على الجسم لمسح المنطقة ذات الاهتمام. يربط المبدل بواسطة عمود ترميز وحساسات موقع إلى مولد الإحداثيات بحيث يترابط مثناً الأصداء من تراكيب مختلفة في الجسم مع المسح.

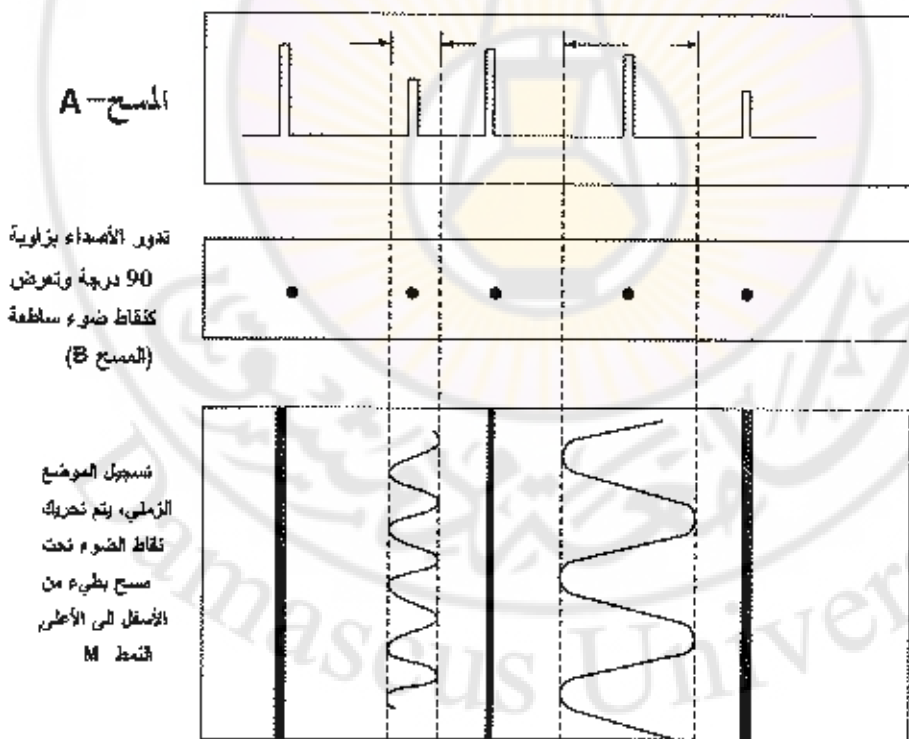
يعطى (B Scan) للأجسام السائكة صوراً ثنائية الأبعاد تسمح بتغيير الحجم والشكل وموقع النسخ المفتوحة. ومن ناحية ثانية إذا كان الجسم يتحرك فإن جودة الصورة ستختفي

ودرجة الانخفاض متناسبة مع مجال وسرعة الحركة. لذلك تم تطوير ماسحات بالزمن الحقيقي تعمل بسرعة لدراسة النسخ الساكنة والديناميكية معاً في الجسم البشري.

4.6.4. جهاز تصوير الصدى الحركي

Echo Motion Scan (M-Mode)

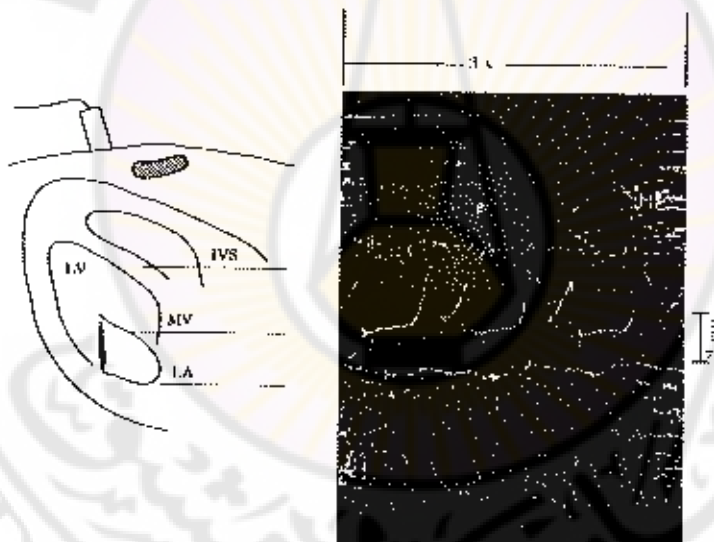
تنتج أجهزة أصداء الأمواج فوق الصوتية في الإظهار بطريقة المسح المطالي إزاحات على المحور العمودي على شاشة الإظهار CRT. إن مطال هذه الإزاحة متناسب مع شدة مطال الصدى، وتمثل المسافة على المحور الأفقي زمن انتقال حزمة الأمواج فوق الصوتية خلال النسخ الحيوي، وبذلك تعطي معلومات عن سمكية النسخ المصور. يمكن إظهار مطال لأصداء كنقط ساطعة على المحور الأفقي (المسح المسطوعي B) كما هو مبين في الشكل (4.49)، ويمثل المسافة بين هذه النقاط المساطعة سمكية النسخ وتمثل شدة سطوع النقاط شدة مطال الأصداء.



إذا كان أحد النسج المصورة بالمسح المطالي A نسيجاً متتحركاً مع الزمن، سوف تتحرك عددة نقاط صدى هذه النسج أيضاً. إذا تم جعل هذه نقاط الصدى تتحرك مع مسح إلكتروني، مع الحركة الشاقولية أي من أسفل إلى أعلى الشاشة عند معدل سرعة مختلف سابقاً (PRF)،سوف ترسم النقاطتابع الحركة للنسج المتحركة مع الزمن هذه الطريقة تدعى بالتصوير بالأمواج فوق الصوتية بالمسح الحركي (M-Mode) (Motion Mode)، أو المسح الحركي الزمني (TM-Mode) (Time Motion Mode).

4.6.4.1 تطبيق : تخطيط صدى القلب Echocardiograph (M-Mode)

يبين الشكل (4.50) تصوير الصمام التاجي للقلب بطريقة الزمن الحركي - (TM-Mode).

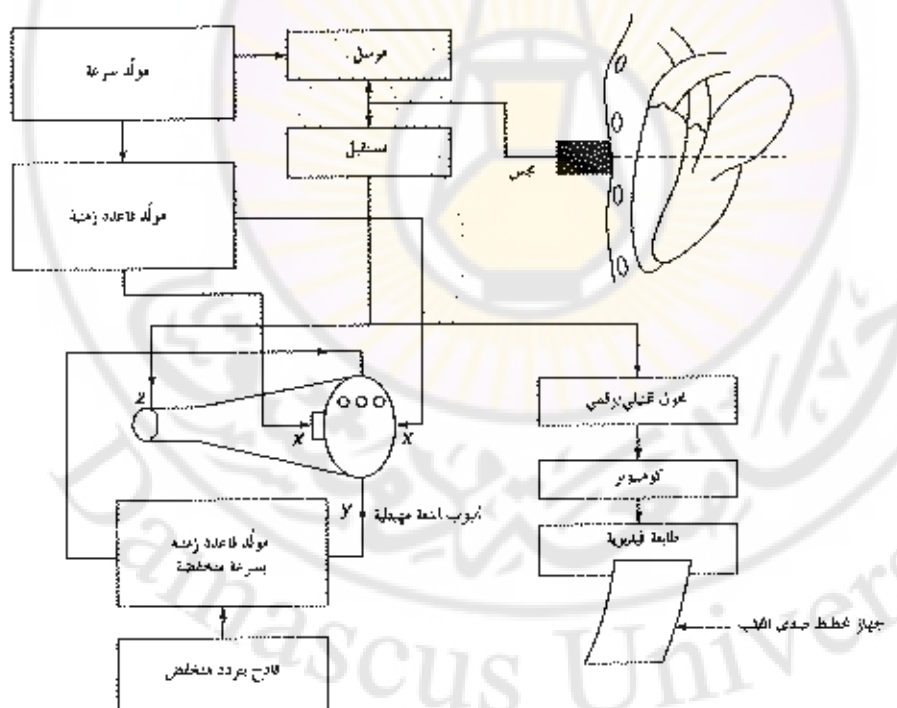


الشكل 4.50 : تصوير صمام القلب التاجي بطريق الزمن الحركي (TM-Mode)

يستخدم جهاز تخطيط صدى القلب على نطاق واسع لإجراء الفحص القلبي والتقدير للعديد من الأمراض القلبية، يقام الجهاز معلومات الحركة كتابع للزمن عن نسيج القلب وعندما يتم تراكب مخطط ال ECG على صورة القلب بالطريقة فوق الصوتية، فإنه يمكن ربط حركة النسج بالأمواج فوق الصوتية مع الدورة القلبية.

إن مخطط صدى القلب يستخدم لدراسة الصمام الأبهري والصمام الرئوي. إن الاستخدام الآخر المهم جداً هو في كشف الانصباب القلبي المحيطي الذي هو تجمع غير عادي للسائل بين القلب والكيس القلبي المحيطي.

يبين الشكل (4.51) مخططاً صنديوقياً لجهاز تحظيط قلب بطريقة صدى الأمواج فوق الصوتية. يتم في هذا النوع من الأجهزة التحكم بالإرسال والاستقبال للمبدل عن طريق دارات تزامن بالإضافة إلى التحكم بسرعة حركة المبدل بحيث تكون ثابتة السرعة في الإرسال والاستقبال، يتم إرسال حزمة الأمواج فوق الصوتية من المبدل وإعادة استقبال إشارة الصدى من قبل نفس المبدل ثم يتم إرسال إشارة الصدى إلى المدخل على المحور (Z) لصمام الأشعة المهبطية حيث تمثل هذه الإشارة مطال الإشارة المقطعة في لحظة زمنية محددة، ويتم تطبيق إشارة من منشار على مدخل لقاعدة الزمنية لتحديد المحور (X) على شاشة الصمام أما إشارة الزمن المتغير يتم تطبيقها على المدخل (Y) والتي تعطي البعد الثالث للا ظهار (الزمن، المساعدة أو الوقت) والتي في النهاية تعطي تغيرات الإشارة على المدخل (Z) مع الزمن في المدخل (Y).



الشكل 4.51 : مخطط صنديوقي للدارة جهاز تحظيط صدى القلب.

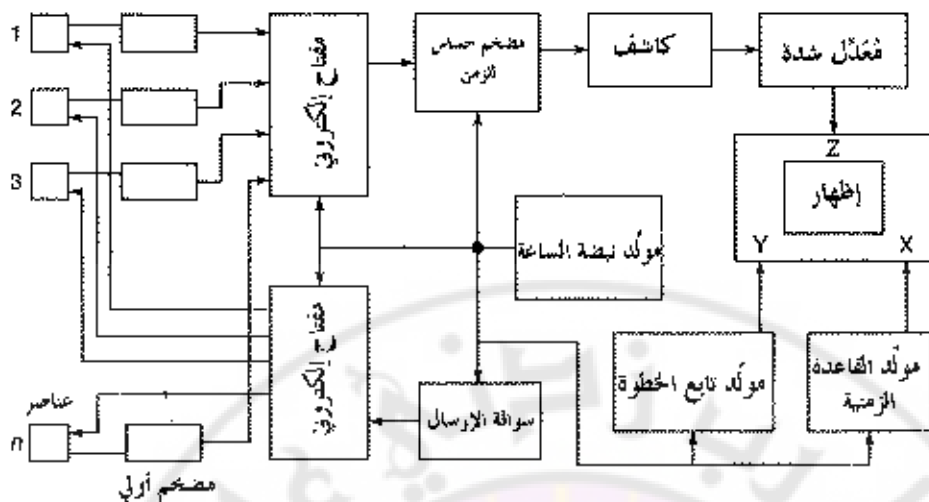
4.6.5. أنظمة التصوير فوق الصوتية بالزمن الحقيقي Real-Time Ultrasonic Imaging Systems

من العوامل السلبية لنظام المسح B هو طول زمن المسح مما يؤدي إلى عدم وضوح وتشويه في الصورة بسبب حركة العضو. إن التخلص من التشويشات الصناعية بسبب الحركة مهم في نظام المسح B.

يستخدم طرق إلكترونية تستعمل مصفوفات من المبدلات التي يمكن قطعها بالتعاقب أو في مجموعات كما تم شرحها في تبديل المبدلات الزمنية والخطورية. تسمح هذه الطرق الإلكترونية بمسح سريع في منطقة التصوير، مصفوفة المبدلات هذه تدعى بالمساحات بالزمن الحقيقي. إن الخاصية المميزة لتخفيط الصدى في الزمن الحقيقي هي زمن إعادة بناء الصورة القصير - (20) mscc).

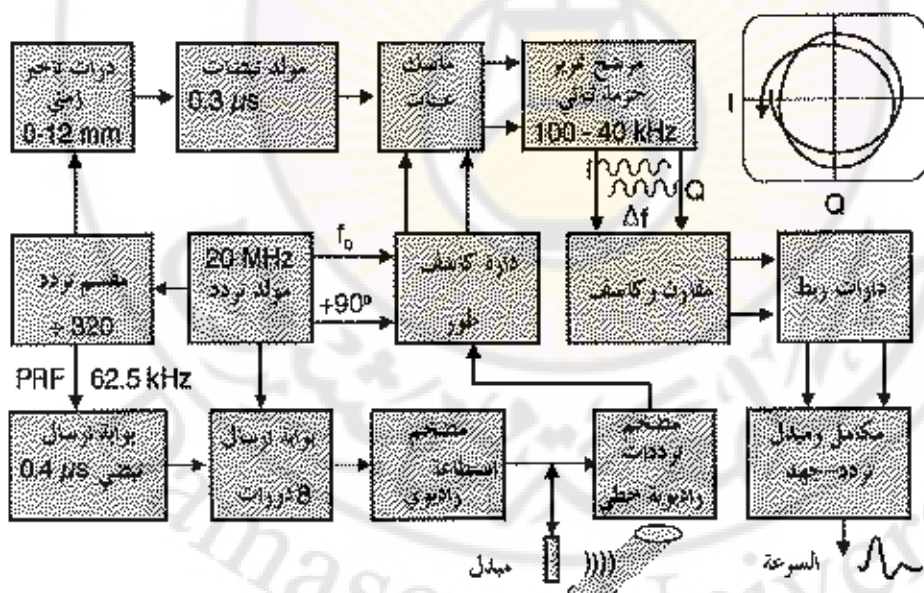
يبين الشكل (4.52) مخططًا صندوقياً لجهاز تصوير بالزمن الحقيقي متعدد العناصر. لقد مكنت التقنيات والإلكترونيات الحديثة من زيادة مجال تردد المبدلات فوق الصوتية لأكثر من 20 ميغا هرتز عن طريق استخدام مبدلات A/D تعمل على تردد 40 ميغا هرتز مما يحقق دقة تمييز حيزية تصل إلى (70 μm).

يبين الشكل (4.58) مخططًا صندوقياً لجهاز تصوير بالزمن الحقيقي متعدد العناصر، حيث يتم توليد نبضات التحكم للإرسال عن طريق دائرة مولد نبضات ومفتاح إلكتروني (ناخب) للإرسال ثمن عن طريق نفس مولد النبضات يتم التحكم بمفتاح الإلكتروني للاستقبال (ناخب) في القسم العلوي من السхنط لاستقبال إشارات المبدلات جميعها، حيث يتم تضخيم كل إشارة مبدل (قناة) من المبدلات بواسطة مضخم خاص بها و في حال كون النظام رقميًّا يتم تحويلها إلى إشارة رقمية عن طريق مبدل وهذا المبدل A/D المستخدم يملك سرعة تبديل تصل إلى (10nscc). أما في حال لم يكن النظام رقميًّا يتم تضخيم وتزسيح كل إشارة من إشارات المبدلات على حدة وبالتالي المكان المطابق وإدخالها إلى المدخل على المحور (Z) لصمام الأشعة المهبطية حيث تمثل هذه الإشارة مطال الإشارة الملتقطة في لحظة زمنية محددة، ويتم تطبيق إشارة من منشار على مدخل القاعدة الزمنية لتحديد المحور (X) على شاشة الصمام أما إشارة الزمن المنغير يتم تطبيقها على المدخل (Y) والتي تعطي البعد الثالث للاظهار (الزمن، الساعة أو الوقت) والتي في النهاية تعطي تغيرات الإشارة على المدخل (Z) مع الزمن في المدخل (Y).



الشكل 4.52 : مخطط صناعي لنظام تصوير بالزمن المتفاوت متعدد العناصر.

4.6.6. أنظمة التصوير فوق الصوتية بطريقة دوبلر Doppler Ultrasonic Imaging Systems



الشكل 4.53 : مخطط صناعي لنظام تصوير دوبلر يعمل على التردد (20 MHz) لقياس سرعة جريان الدم.

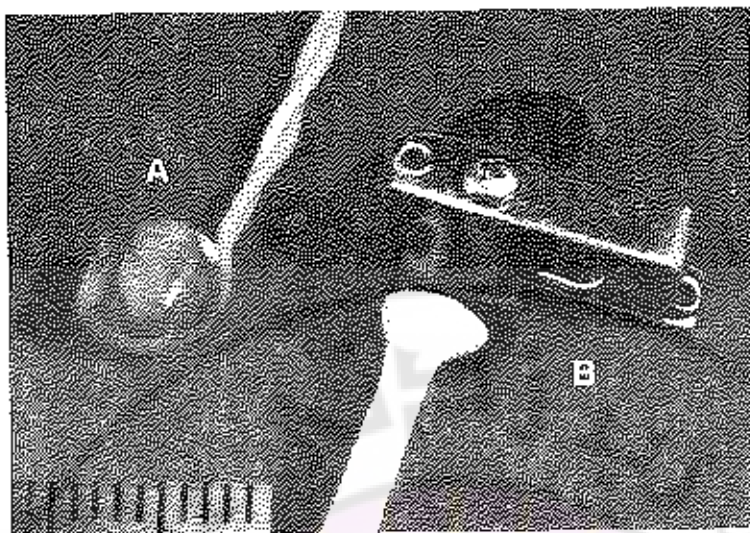
يبين الشكل (4.53) مخططًا صنديقًا لنظام تصوير دوبلر يعمل على التردد (20 MHz) لقياس سرعة جريان الدم بطريقة الطور الرباعي بعد الاعتياض والترشيع (Q , I) نحصل على إشارة دوبلر تظهر الإشارة على المداخل (X , Y) كتابع للطور والذي يدور بتردد دوبلر لقياس اتجاه تدفق الدم.

بعد الحصول على إشارة دوبلر تم معالجتها بما يحقق معادلة قيس دوبلر لتحديد علاقه فرق التردد بين الإرسال والاستقبال وسرعة جريان الدم حسب المعادلة 4.27 التالية :

إن إشارة دوبيلر تسلوي مجموع الإشارات الجزئية المتعكسة من الدم والثانية عن جميع عناصر المبدل المستخدم بتردد وزاوية محددة أيضاً من المبدل ومتى هذه الإشارة يحدد عن طريق مكان حجم عينة الدم المدروسة وبعد أن يتم الحصول على المعلومات المفيدة من إشارة دوبيلر عن طريق مبدل تردد جهد يمكن سماع صوت الإشارة فرق التردد أو مشاهدته على شاشة الأقطاب.

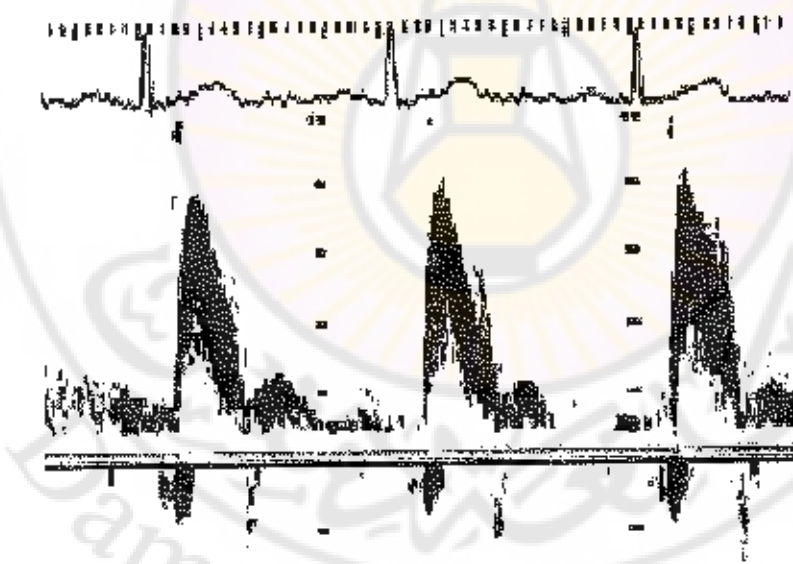
من الشكل (4.53) لدينا ميتر يعطي إشارة كهربائية بتردد ثابت مقداره (20 MHz) يزود به دارات مقسم جهد وإزاحة طور يتم قدر المبدل بتردد (62.5 KHz) (8 Cycles) بثانية أذوار و一波ة الصدى المقطعة تغير مع إشارتين مرجعتين الأولى بازياح طور مقدار (90°) عن تردد إشارة الإرسال والثانية بدون إزاحة طور وبعدها تردد يعطي إشارتين (I, Q) وترتسل إلى المدخلين (X, Y) لاظهارها بمحاور قطبية وتعطي بما يسمى شعاع دوبلر والذي يدور بسرعة تردد دوبلر حسب جهة تدفق الدم ويجب حساب زاوية السرعة واتجاه الحركة.

بين الشكل (4.54) صورة مبدل دوبلر الانبعاثي بحدود (4 mm).



الشكل 4.54 : مخطط صدروقي لنظام تصوير دوبлер يعمل على التردد (20 MHz) لقياس سرعة جريان الدم.

يبين الشكل (4.55) إشارة دوبлер متزقة مع إشارة القلب الكهربائية (ECG).



الشكل 4.55 : إشارة دوبлер متزقة مع إشارة القلب الكهربائية (ECG).

4.6.7 أنظمة التصوير فوق الصوتية بطريقة المسح المزدوج Duplex Ultrasonic Scanner Systems

إن المسح بدوبلر الصدى المزدوج مفید لقياس غير الجراحي المباشر للتدفق الشريانى المحيطي. يتم استخدام صورة الصدى لتعيين موضع الشريان ولتحديد موقع الجدران. بعد ذلك تستخدم صورة الصدى كدليل لخطيط حقل التدفق بواسطة الدوبلر. إن اندماج الصدى المعنصل ومبدلات الدوبلر في ماسح مزدوج ينبع عنه صور بدقة تفیر عالیة؛ يتم إرسال حزمة مبدل الصدى بشكل عمودي على جدار الشريان، بينما يكون مجس الجريان عند زاوية مناسبة لكشف إزاحة دوبلر.

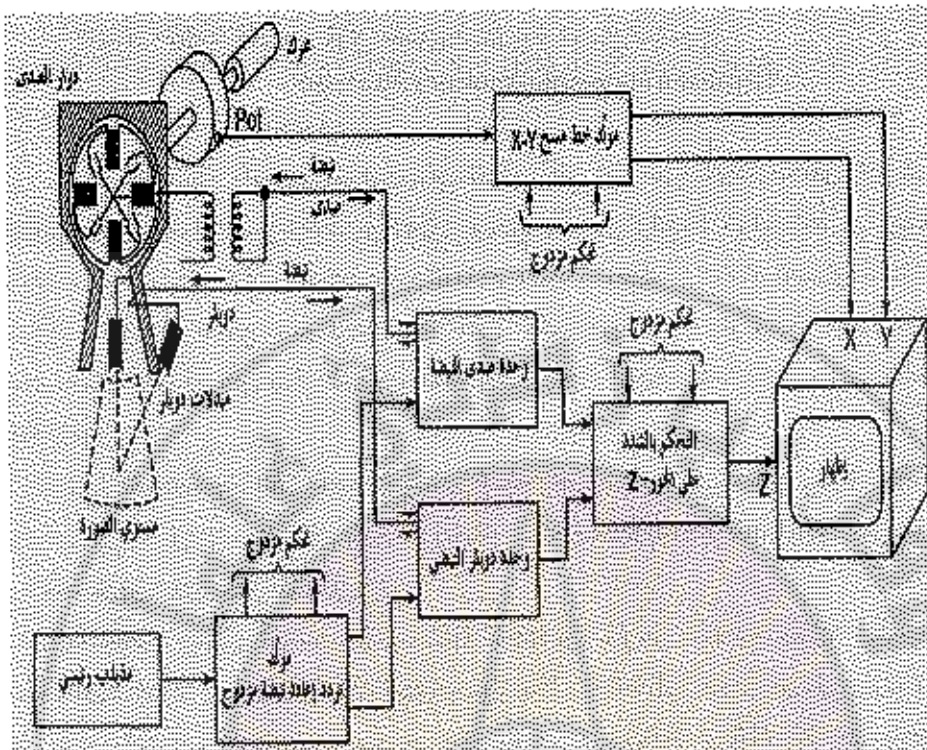
دوران الصدى: يتم إنجاز تصوير صدى النبضة من خلال تدوير المبدل ويتألف الجزء الدوار من أربعة مبدلات متطابقة ولكن عند بلحظة زمنية محددة يستخدم فقط المبدل الموضوع في اتجاه عمودي على جدار الشريان.

يتم اختيار المبدل المناسب آلياً بواسطة مغناطيس خارجي ومحاتج لميائة ميبلة في مخطط الجزء الدوار. ويوصل المبدل المناسب من خلال مفاتحة إلى محول دوري ومنه إلى وحدة صدى النبضة. يُقاد الجزء الدوار بواسطة محرك ثيار مستمر (DC) لذلك فإن تشغيل النظام يكون في معظم الأحيان منتفلاً عن سرعة المحرك.

مبدل دوبلر: يوجد مبدل دوبلر، قابلين للاختيار بواسطة مفتاح مركب على جدار الغلاف. عندما يكون المفتاح في الموقع المبين يتم وصل دوبلر - النبضة إلى المبدل الذي تكون حزمته محاطة ضمن مستوى الوعاء، ويتم تثبيته عند زاوية مقدارها 37.5 درجة بالنسبة للخط العمودي.

تتضمن وحدة صدى - النبضة مولد نبض ترانزستوري ومضخم حزمة واسعة مقدارها 5 ميغا هرتز مع ربع بازلمن وكاشف فيديو. وتعمل وحدة دوبلر - النبضة أيضاً عند تردد 5 ميغا هرتز، إن إشارة الخرج توصل إلى التحكم بالشدة على المحور Z.

يبين الشكل (4.56) المكونات الرئيسية للماسح المزدوج. يتضمن هذا الماسح بشكل أساسي على رأس المسح ووحدة صدى النبضة ووحدة دوبلر النبضة ووحدة التحكم المزدوجة والإظهار.

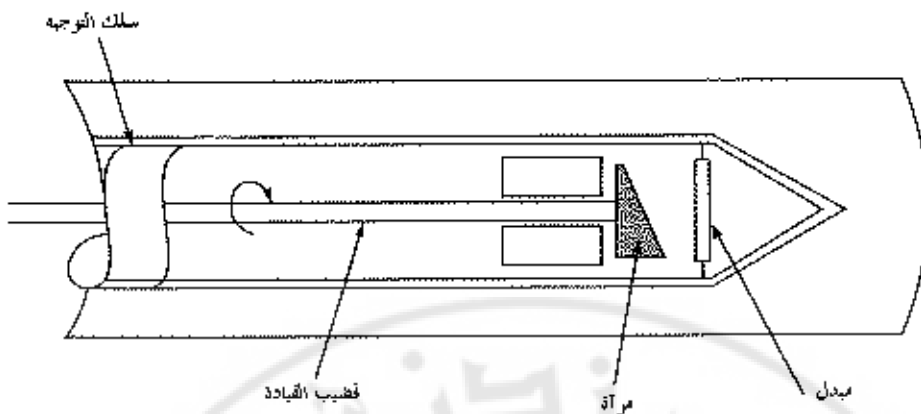


الشكل 4.56 : مخطط صندوقى لاسع مزدوج.

4.6.7.1 تطبيق : التصوير الوعائي Intravascular Imaging

التصوير بالأمواج فوق الصوتية الوعائية اهتماماً لأنه ينتج صوراً بدقة تميز عالية للوعاء ولجدار الوعاء.

يبين الشكل (4.57) مبدأ القطرار فوق صوتي داخل المعاة للتصوير ثالثي الأبعاد للشرايين التاجية. تتضمن الأداة عنصراً مبدأ ثابتاً في رأس القطرار وبمرأة دوارة مقادة ب بواسطة محرك خارجي وعمود إزاحة منن. يمكن من خلال استخدام هذه الأداة الحصول على صور مقطعيّة عرضية للشريان. بعد وضع سلك التوجيه في الشريان التاجي يتم تحرير القطرار بواسطة التحكم بسلك التوجيه إلى المنطقة المختارة من الشريان ووضعه فيها تحت التحكم بالتنقير التلقائي. إن القطر الخارجي النموذجي للقطرار هو 1.4 ميليمتر.



الشكل 4.57 : رسم تخطيطي لجهاز قنطرار فوق صوتي داخل المسبحة.

4.6.8. أنظمة التصوير فوق الصوتية بطريقة المسح المستمر

Continues Ultrasonic Scanner Systems (C-Mode)

إن نظام المسح المستمر أو C-Mode لا يستخدم كثيراً حالياً ويعتمد هذا النوع من المسح على وجود مبدلين واحد للإرسال والآخر للاستقبال من جهتين متقابلتين من التسبيغ المصور وبشكل متزامن معه حيث يتم التقاط إشارة الصدى من قبل مبدل الاستقبال مباشرة مع استمرار عمل مبدل الإرسال (مطابق للمبدأ الصوتي). ويتمقياس تفاصيل حزمة الأمواج فوق الصوتية وكذلك ممانعة التسبيغ عن طريق قياس مؤشر الممانعة الصوتية والذي يعطي بالمعادلة (4.28) الآتية :

$$n = \frac{CW}{c} \quad \dots \dots \dots \quad 4.28$$

حيث :

n : مؤشر الممانعة الصوتية،

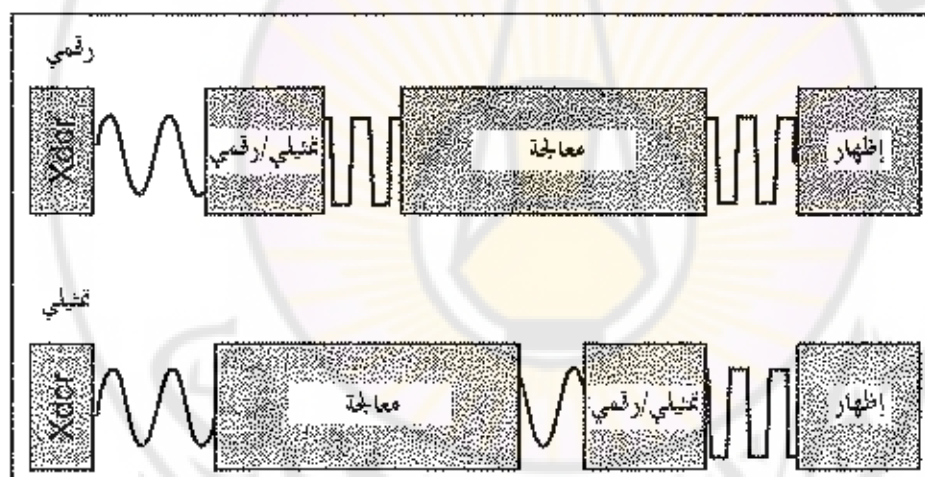
CW : سرعة انتشار حزمة الأمواج فوق الصوتية بالماء ($\text{g/cm}^2 \cdot \text{s}$).

c : سرعة انتشار حزمة الأمواج فوق الصوتية ضمن التسبيغ ($\text{g/cm}^2 \cdot \text{s}$).

ويستخدم التصوير بمبدأ المسح المستمر أو C-Mode عندما يكون التسبيغ متجانساً لعدم الحصول بغيره ولعكس الحزمة فوق الصوتية مثل تصوير الثدي للإناث.

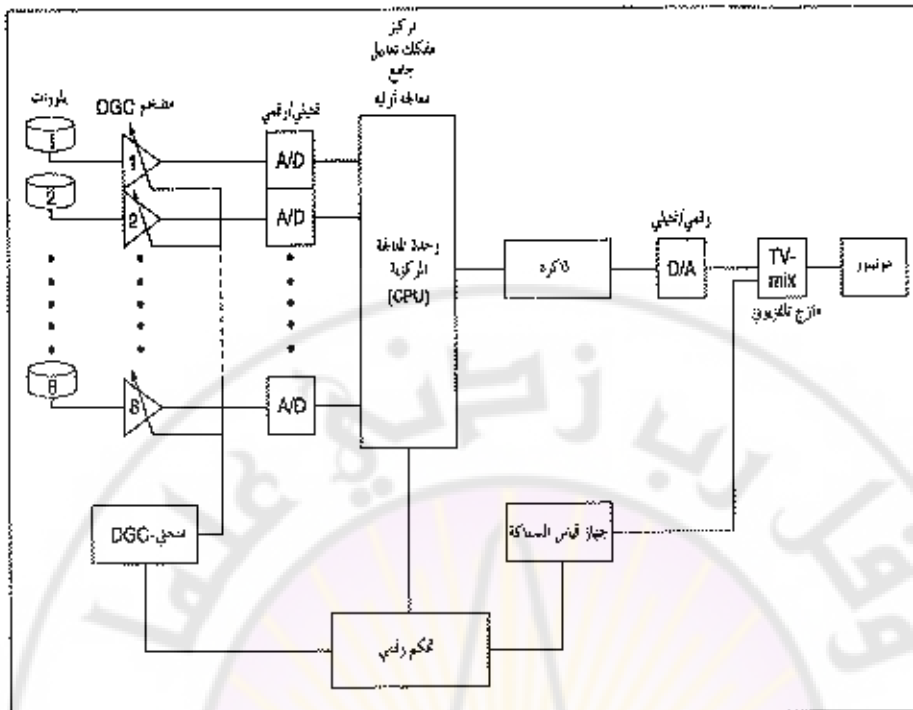
4.7 الإظهار ثلاثي الأبعاد Three-dimensional Display

إن أجهزة التصوير بصدق الأمواج فوق الصوتية تعتمد على المبدأ التمثيلي لمعالجة إشارة الصدى وإظهارها ويعتبر هذا النوع غير مناسب حالياً لتطور النظم والتقنيات الرقمية وخاصة في معالجة الإشارة ومعالجة الصورة لما تقدمه من سرعة ودقة في الإظهار ووثقية في الحصول ومعالجة المعطيات والمعلومات التي تستخلصها من الصورة ويبين الشكل (4.58) المخطط الصندي في نظام تمثيلي ونظام رقمي حيث يلاحظ بأن المبدل هو مبدل تمثيلي في النظام التمثيلي بينما يكون مبدل رقمياً في النظام الرقمي وكذلك المعالجة تمثيلية في النظام التمثيلي بينما هي رقمية في النظام الرقمي بعد تحويل الإشارة (الصورة) من تمثيلية إلى رقمية عن طريق مبدل تمثيلي رقمي أما المعالجة فهي تمثيلية في النظام التمثيلي بينما تكون رقمية في النظام الرقمي أما الإظهار يكون رقمياً في النظام الرقمي ورقمياً بعد تحويل الإشارة التمثيلية من خرج قسم المعالجة في النظام التمثيلي إلى خرج رقمي.



الشكل 4.58 : الاختلاف بين الأنظمة فوق الصوتية التمثيلية والرقمية.

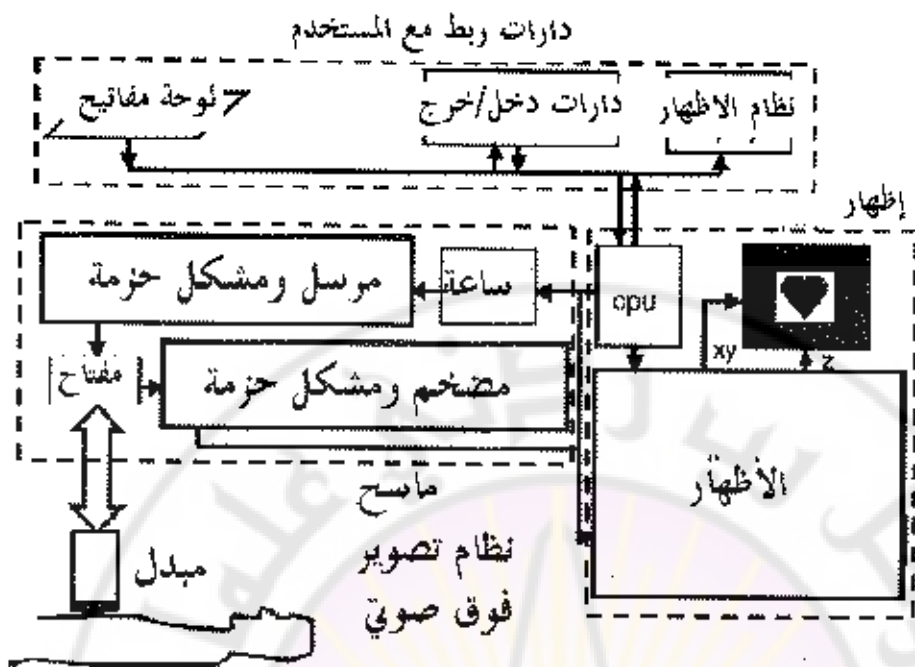
ويبين الشكلين (4.59)، (4.60) المخطط الصندي في نظام تصوير بالصدى رقمي حيث المبدل الرقمي مع وحدة تبديل ومعالجة رقمية عن طريق حاسب مركزي يتولى عملية قيادة التحكم بالنظام بالكامل.



الشكل 4.59 : مبدأ المساح المبني على أساس كمبيوتر بالزمن الحقيقي.

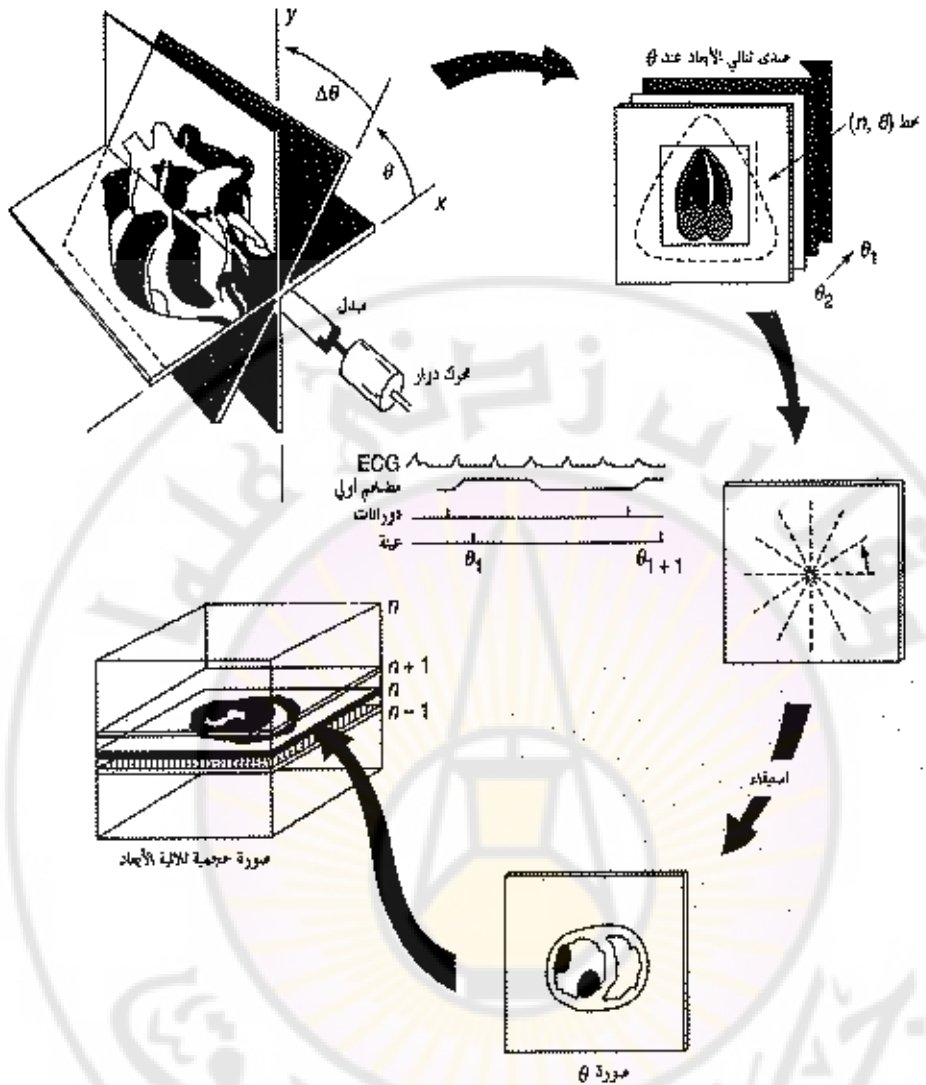
يبين الشكل (4.59) مخططها صندوقياً لجهاز تصوير بالزمن الحقيقي متعدد العناصر رقمي. حيث يتم توليد نبضات التحكم للإرسال عن طريق دائرة مولد نبضات (ناخب) للإرسال ثمن عن طريق نفس مولد النبضات يتم التحكم بالاستقبال (ناخب)، حيث يتم تضخيم كل إشارة مبدل (قناة) من المبدلات بواسطة مضخم خاص بها ثم يتم تحويلها إلى إشارة رقمية عن طريق مبدل وهذا المبدل A/D المستخدم يملك سرعة تبديل تصل إلى (10nsec). ثم تدخل إلى الحاسوب لمعالجتها وتخزينها ثم إعادة بثها أو تبديلها من إشارة رقمية إلى تمثيلية ثم تقاد إلى الإظهار حسب طريقة الإظهار المطلوبة.

غالباً تقاد إلى المدخل على المحور (Z) لصمام الأشعة المهبطية حيث تتمثل هذه الإشارة مطال الإشارة الملقطة في لحظة زمنية محددة، ويتم تطبيق شارة سن منشار على مدخل القاعدة الزمنية لتحديد المحور (X) على شاشة الصمام أما إشارة الزمن المتغير يتم تطبيقها على المدخل (Y) والتي تعطي البعد الثالث للإظهار (الزمن، الساعة أو الوقت) والتي في النهاية تعطي تغيرات الإشارة على المدخل (Z) مع الزمن في المدخل (Y).



الشكل 4.60 : المخطط الصندوقى لنظام تصوير بالصدى رقمي.

لما الشكل (4.61) فهو المخطط الصندوقى لنظام تصوير ثلاثي الأبعاد رقمي، في هذا النظام يحدد تردد التصوير الأعظمى بولاسطة سرعة استجابة المبدل تمثيلي-رقمي (A-To-D) (Analogue To Digital Converter) A/D. تستخدم في أنظمة التصوير التقليدية مبدلات A/D تعمل بتردد (20 MHz). وهذا يجعل تردد التصوير الأعظمى (10 MHz) وذلك حسب نظرية نيوكوست (Nyquist) لأخذ العينات. هذا يجعل تصميم وتنفيذ المبدل أصعب بإضافة لذلك تنقص قدرة الأمواج فوق الصوتية على اختراق النسيج الحيوي مع ازدياد فردد التصوير.



الشكل 4.61 : المخطط الصدوفي لنظام تصوير ثلاثي الأبعاد رقمي.

في هذا النظام يتم تعديل نظم التصوير الرقمي عن طريق تعديل تصميم المبدلات بحيث تكون عناصر الكهروإجهادية لهذه المبدلات متوضعة على شكل مصفوفة ثنائية البعد حيث يتمأخذ صورة مقطعية في مستوى معين (الأفقي مثلاً) وتخزن هذه الصورة المستوية بشكل صورة رقمية في وحدة المعالجة المركزية أو وحدة التخزين في الحاسوب وبعدها يتمأخذ صورة مستوية مقطعية أخرى على الاتجاه الشاقولي بمسافة محددة وثابتة وتخزن هذه الصورة أيضاً

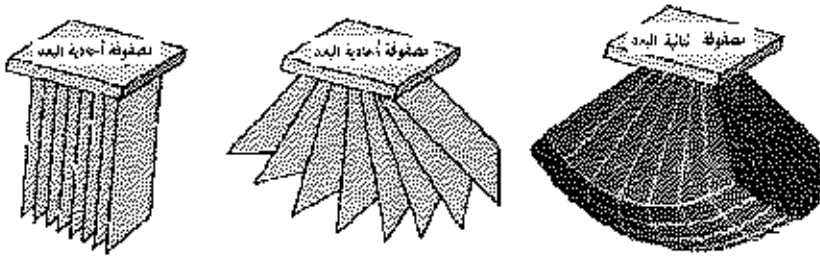
في وحدة المعالجة المركزية أو وحدة التخزين في الحاسوب وهكذا إلى أن يتم مسح الحجم المطلوب النصفي فيه عن الحالة المرضية، ومن ثم يتم إعادة بناء الصورة ثلاثية الأبعاد باستخدام برمجيات وتقنيات معالجة الصورة ثمن يتم إظهار النسيج المصور بشكل ثلاثي الأبعاد فراغي ومن ثم إجراء مقطع في الصورة وفي أي اتجاه مطلوب ويتم إظهار هذا المقطع لإنعام عملية التشخيص، والتصوير ثلاثي الأبعاد يستخدم حالياً في تصوير الجنين والقلب.

ويبيّن الشكل (4.62) صورة أمواج فوق الصوتية ثلاثية الأبعاد لرأس جنين.



الشكل 4.62 : صورة أمواج فوق الصوتية ثلاثية الأبعاد لرأس جنين.

ويبيّن الشكل (4.63) رسمًا توضيحيًا لمبدلات أحادية البعد المستخدمة في إظهار الصورة أحادية البعد وثنائية البعد ومبدلات ثنائية البعد المستخدمة في إظهار الصورة ثلاثية البعد.



الشكل 4.63 : في اليسار ميدل أحادي البعد لإظهار صورة أحادية البعد، في الوسط ميدل أحادي البعد لإظهار صورة ثلاثة البعد، في اليمين ميدل ثالثي البعد لإظهار صورة لثلاثية البعد.

4.8. المجهر الصوتي : Acoustic Microscope

الفرق الأساسي بين المجهر الصوتي والتصوير بحرمة أمواج فوق الصوتية ثلاثة الأبعاد هو بتردد العمل للمبدل والذي يصل إلى (1.5 GHz) ويدوره يزيد بشكل كبير بدقة وتمييز الصورة الذي يمكن أن يصل إلى مرتبة ($1\mu\text{m}$) ولكن تطبيقات هذه الأنواع من المجاهر محدود الاستخدام بسبب تخاذل الحرمة الصوتية بترددات من مرتبة الميجا هرتز على مسافة عدة ميكرونات من المتر من سطح النصيج. وبين الشكل (4.64) صورة ثلاثة البعد لغرض الشريان القلبي بمبدأ التصوير بمجهر صوتي.



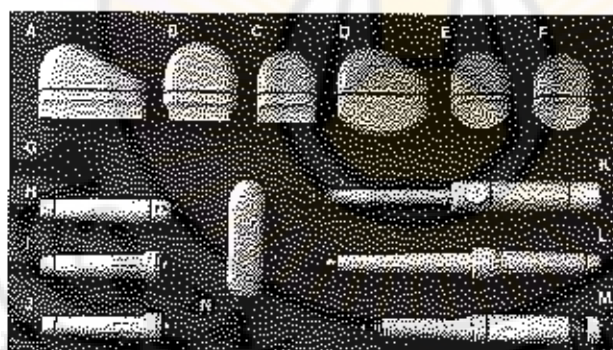
الشكل 4.64 : صورة ثلاثة البعد لغرض الشريان قلبي بمبدأ التصوير بمجهر صوتي.

الشكل (4.65) يبين صورة ثلاثة الأبعاد بالمجهر الصوتي يعمل عند تردد 1GHz لخلايا سرطانية من الكابة.



الشكل 4.65 : صورة ثلاثة الأبعاد بالمجهر الصوتي يعمل عند تردد 1GHz لخلايا سرطانية من الكابة.

أما الشكل (4.66) يبين مجموعة من المبدلات المستخدمة في التصوير باستخدام حزمة الأمواج فوق الصوتية



الشكل 4.66 : أنواع مختلفة لمبدلات فوق الصوتية المستخدمة للمسح بالزمن الحقيقي.

المبدلات :

A مجس بمصفوفة خطية 3.5 و 5/3.5 ميغا هرتز ، 12 سنتيمتر

B مبدل بمصفوفة خطية 7.5/5 ميغا هرتز ، 7.4 سنتيمتر

C مبدل بمصفوفة خطية 7.5 ميغا هرتز ، 6 سنتيمتر

- D مبدل بمصفوفة منحنية 5/3.5 ميغا هرتز ، R75
- E مبدل بمصفوفة منحنية 3.5 و 5/3.5 ميغا هرتز ، R40
- F مبدل بمصفوفة منحنية 5 ميغا هرتز ، R40
- G مبدل بمصفوفة خطية 7.5 ميغا هرتز ، 4 سنتيمتر
- H مبدل مقطعي متعدد الأزوايا 7.5/5 ميغا هرتز
- I مبدل مقطعي بمصفوفة حلقة 3.5 ميغا هرتز
- J مبدل مقطعي بمصفوفة حلقة 5 ميغا هرتز
- K مبدل شرجي متعدد المستويات 7.5/5 ميغا هرتز
- L مبدل مهلي 7.5/5 ميغا هرتز
- M مبدل مهلي متعدد المستويات 7.5/5 ميغا هرتز
- N مبدل بمصفوفة منحنية 7.5/5 ميغا هرتز ، R17

أسئلة:

- س 1-4: ما هي بنية مبدل الأمواج فوق الصوتية؟ وما هي وظيفة كل جزء منها؟ استعن بالرسم.
- س 2-4: لماذا تستخدم مادة الجل على الجلد قبل تطبيق بروب (المبدل) الأمواج فوق الصوتية؟ اشرح ذلك مستعيناً بالرسم والمعادلات اللازمة؟
- س 3-4: نظرياً فإن زيادة التردد يؤدي إلى زيادة عمق اختراق الأمواج فوق الصوتية في الجسم، ما الذي يغير صحة هذه الظاهرة في الحقيقة، نقاش هذه الفكرة؟
- س 4-4: إلى ماذا يرمز عامل Q للمبدل؟ اشرح ذلك مع الرسم؟
- س 5-4: تطلق حزمة الأمواج فوق الصوتية من المبدل متباينة بعد مسافة ومشكلة حقلين؟ ما هما الحقلان وما هي المعادلات التي ترمز لهما؟ وما هي العوامل التي تحكمهما؟
- س 6-4: يعتبر تأثير دوبرل أحد أهم تطبيقات الأمواج فوق الصوتية لقياسات التدفق في الأوعية الدموية؟ نقاش الفكرة مع الرسم؟
- س 7-4: تحدث عن الفرق بين أنواع تجهيزات المسح ذات الأنساط A, B, M مع الرسم؟

- [1] Feinberg B.N., "Applied Clinical Engineering" Prentice Hall Professional Technical Reference, **1985**.
- [2] Webster. J.G., ' Encyclopedia Of Medical Devices And Instrumentation", 4 Volume Set, 1st edition. Wiley-inter-science, **1988**.
- [3] Aston. R. " Principles of Biomedical Instrumentation and Measurement" Merrill Pub. Co., **1990**.
- [4] Krestel. E, "Imaging Systems for Medical Diagnosis": Wiley-VCH 1st edition **1990**.
- [5] Chachati. I., "Medical Electronics" Aleppo University Publication-Syria (In Arabic Language),, **1997**.
- [6] Richard L. Goldberg, R.L, Smith S.W., Mottley J.G, Whittaker Ferrara K. "Ultrasound,"*The Biomedical Engineering Handbook: Second Edition.* Ed. Bronzino J, Boca Raton: CRC Press LLC, **2000**.
- [7] Hende, W. R., Ritenour E. R, " Medical Imaging Physics" Fourth Edition, John Willey & Sons INC., Publication, Wiley-Liss, Inc., New York. PP: 217-262, **2002**.
- [8] Blanchard. S, Bronzino. J, "Introduction to Biomedical Engineering" Second Edition. Ed. Enderle. J.D. Elsevier Academic Press Amsterdam Boston Heidelberg London New York Oxford Paris San Diego San Francisco Singapore Sydney Tokyo PP: 857-920: **2005**.
- [9] Webster. J.G., ' Encyclopedia Of Medical Devices And Instrumentation", 6 Volume, Set, , 2nd Edition, Wiley-inter-science, **2006**.

الفصل الخامس

نظام التصوير بالرنين المغناطيسي

MAGNETIC RESONANCE IMAGING SYSTEM

المؤلفان: د.م. أيمن صابوبي

د.م. محمد فراس الحناوي



نظام التصوير بالرنين المغناطيسي

MAGNETIC RESONANCE IMAGING SYSTEM

5.1. مقدمة : Introduction

نشأ التصوير المقطعي بالرنين المغناطيسي النووي (NMR) كتقنية تصوير قوية في المجال الطبي بسبب مقدرها ذات دقة التمييز العالية وإمكانيتها للتصوير النووي الكيميائي. وبالرغم من تشابهها مع التصوير المقطعي المحوسب بالأشعة السينية (CT) إلا أنها تستخدم حقولاً مغناطيسية وإشارات ذات ترددات راديوية للحصول على معلومات تشريحية عن الجسم البشري كصور مقطعة في اتجاه مرغوب ويمكنها بسهولة التمييز بين النسج السليمة والمريضة.

في عام 1946 أعلن باحثان فيزيائيان هما بارسيل Parcell وبيلوخ Bloch عن اختراع كبير وهام وهو معرفة أثر سلوك النواة الذرية إذ بين بروتونات النوى والإلكترونات تمتلك مجالات مغناطيسية بالرغم من كون تأثير هذه المجالات النووية صغيراً جداً بالمقارنة مع المجال المغناطيسي المحيط بالأرض كما أنه من ناحية ثانية يمكن للنواة أن تتخذ اتجاهات محددة تحت تأثير حقل مغناطيسي خارجي قوي.

وهكذا ولد الرنين أو الظنين المغناطيسي الذي يرمز له علمياً بـ MRI أو (Magnetic Resonance Imaging) كأداة لعلم طيف جديد، والواقع إنه هناك قلة من الطرائق التحليلية التي تم تطويرها بمثل هذه السرعة من دراسة نظرية رقيقة إلى تطبيقات عملية تتراوح ما بين تحديد البنية التفصيلية لبعض المركبات الكيميائية والبيولوجية وبين تصوير أدق التفاصيل للأنسجة الرخوة في جسم الإنسان، والواقع إن هذه الصفة تقدمها نوى بعض المركبات فقط بمعنى إنه ليست كل نواة قادرة على إعطاء هذه الظاهرة ولا بد لهذه النوى أن تمتلك عزم دورانياً ذاتياً Spin.

ومن الملاحظ إن بعض الذرات تمتلك عدداً مفرداً من البروتونات أو النيترونات أو كليهما تمتلك عزماً دورانياً (Spin) أما بالنسبة للذرات الأخرى ذات العدد الكثلي والذري الزوجي فلنها لا تمتلك عزماً دورانياً (Spin).

إن صور الـ NMR بشكل أساسي هي خريطة لتوزيع كثافة نوى الميدروجين ومعاملات تحكم حركتها في السائل الخلوي والشحوم. إن التجنب الكلي للإشعاع المؤين وضعف المخاطر المعروفة والاختراق العظم والهواء بدون تضييف يجعلها تقنية تصوير غير

جراحية مرغوبة بشكل كبير، يؤمن لك CT تفاصيل حول العظام وبنية النسيج لعضو ما في حين تُسلط لك NMR الضوء على المناطق المشابهة للسوائل في تلك الأعضاء ويمكن أن تُستخدم أيضاً لكشف السوائل المتحركة مثل الدم، يمكن أن ينتج الماسح التقليدي بالأشعة السينية صورة عند زوايا قائمة على محور الجسم فقط، بينما يمكن أن ينتج ماسح لك NMR أي مقطع عرضي مرغوب، وهذا يقدم ميزة كبيرة إلى أخصائي الأشعة.

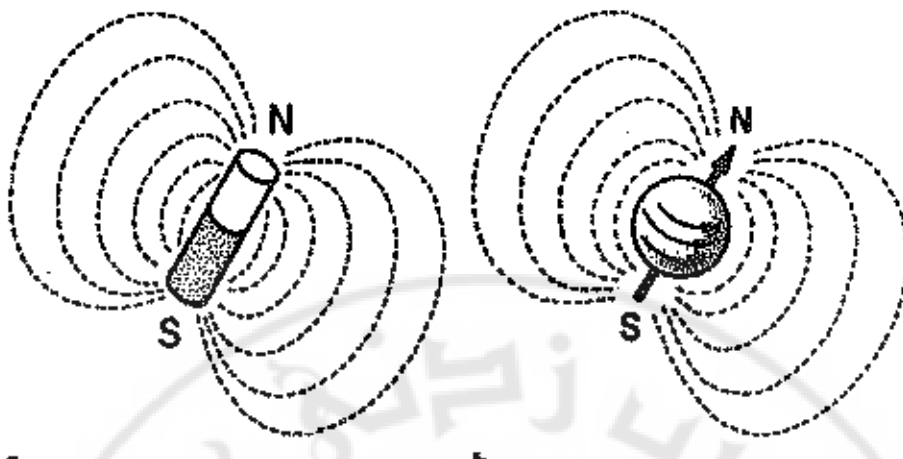
كل ماسح رنين مغناطيسي يستخدم مغناطيساً بحقل سلبي مع ملفات تدرج متعددة وملفات راديوية. إن الأجزاء الترجمية والراديوية يتم فتحها وإغلاقها بنموذج مؤقت بشكل دقيق. يتم استخدام متتابعات تبضيعية لاستخلاص معلومات مختلفة النموذج من المريض. تتصف صور الرنين المغناطيسي بتباين ممتاز بين الأنواع المختلفة للأنسجة للرخوة (الطريرية) داخل الجسم.

بالنسبة للمرضى الذين ليس لديهم أي أجسام قبلية للتقطف مزروعة داخل الجسم (مفاصل، نظام خطى، أسنان معدنية، ...) فإن التصوير بالرنين المغناطيسي هو آمن تماماً ويمكن تكراره كما نريد وليس له أي مخاطر. وهذه الميزة عن أجهزة التصوير الشعاعي والتصوير الطيفي المحوري، كما أن التصوير بالرنين المغناطيسي لا يمكن تحديد إمكاناته بسبب وجود مناطق هواء أو عظم ضمن منطقة تصوير الجسم وهذا يعطي التصوير بالرنين المغناطيسي ميزة عن التصوير بالأمواج فوق الصوتية، كما أنه بخلاف التصوير بالطريق النووي فإنه ليس من الضروري إضافة آلية مواد تشطة إشعاعياً (نظائر مشعة) للمريض.

5.2. ظاهرة الرنين المغناطيسي :

Phenomenon Of Magnetic Resonance

تشكل كل من البروتونات والنيترونات المكونات الأساسية للنيوتيون، ويتمثل عزوهما مغناطيسية مزدوجة القطبية بشكل مشابه للقضبان المغناطة الصغيرة (الشكل 5.1). أي إليها تنتفع حقوقاً مغناطيسية بحد ذاتها كما إنها تتعرض لعزم فائق عندما توضع في حقل مغناطيسي موحد.



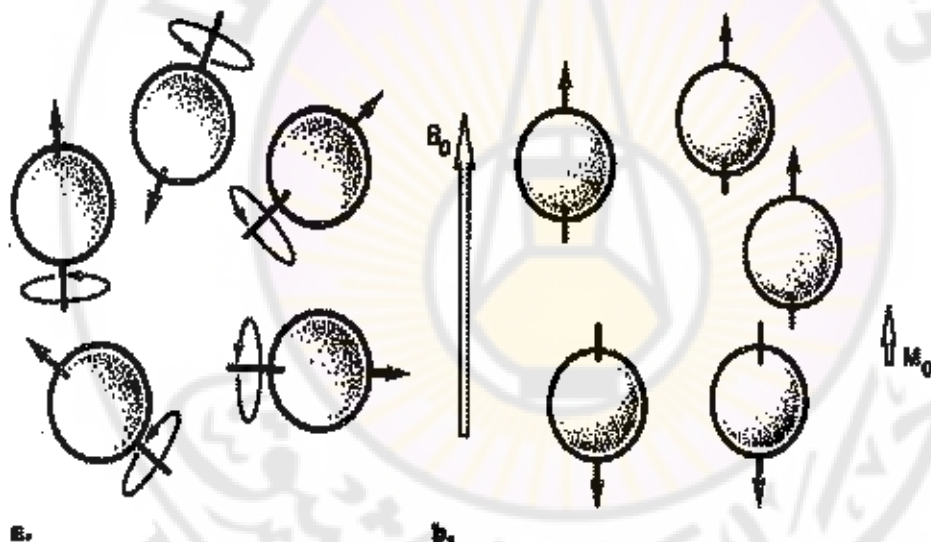
الشكل 5.1- بين الشكل (a)- مفاتيح على شكل قضيب والحقن المغناطيسي الذي يوكده.
 (b)- جزئية مشحونة تدور بشكل مغزلي مثل البروتون تولد نمذج حقل مغناطيسي خارجي مطابق، على الرغم من اختلاف المقياس والحجم والشدة لالمزدوجة القطبية المغناطيسية، واختلاف شدة الحقل المغناطيسي الناتج.

تجتمع كل من الأقطاب المغناطيسية للبروتونات والنيترونات على شكل أزواج البروتونات مع البروتونات والنيترونات مع النيترونات، ملغية تأثير كل من التأثير المغناطيسي بحداها للأخرى. ففي النواة حيث يكون العدد متساوياً بين البروتونات والنيترونات، يكون هذا التلازج كاملاً مما يسبب عدم وجود بقلياً عزوم قطبية مغناطيسية في النواة وبالتالي فإن النويات التي لها نفس عدد كل من النيترونات والبروتونات لا يكون لها عزم قطبى مغناطيسى، بينما النويات التي لا يتساوى فيها عدد النيترونات مع البروتونات يكون لها عزم قطبى مغناطيسى (dipole) يسمح لظاهرة الدين المغناطيسي بالحدوث، مثل هذه الحالة تكون وأضحة في الأنسجة الحية فالهيدروجين (له بروتون واحد وليس له نترونات)، أما الكربون 13 (ست بروتونات وسبع نترونات)، الصوديوم 23 (11 بروتون و 12 نترون)، الفوسفور 31 (15 بروتون و 16 نترون)، ويكون البروتون أو النيترون الوحيد الغير متلازج مع غيره هو الصبيب في زيادة العزم المغناطيسي للنويات ككل.

وحيث إن حوالي 100% من هذه المواد تتواجد في الطبيعة مثل الهيدروجين والصوديوم والفوسفور وبهذا الشكل كنظائر والتي لها عزوم مغناطيسي ثانوية القطب وأضحة. وحيث إن الكربون 12 (6 بروتونات و 6 نترونات) تتشكل طبيعياً وفي حين إن الكربون 13 يحدث أيضاً

طبعياً بنسبة 1.1 % (الكربون النظير) وهو يمتلك عزماً مغناطيسياً مزدوج القطبية، بينما تكون ذرة الهيدروجين التي لها بروتون واحد والتي لها عزم مغناطيسي مزدوج القطبية أقوى مما يمكن وتوارد أكثر ما يمكن في الماء والشحوم فهي سائدة في الجسم البشري. ففي كل 1 سم³ من الأنسجة الرخوة تحتوي على 10^{19} ذرة هيدروجين. وبما إن لهذه الذرة عزم مغناطيسي قوي وتوارد كبير في الأنسجة، فإن الإشارة من الهيدروجين في الجسم البشري هي أقوى بـ 1000 مرة عن أي نواة ذرة أخرى، ولهذا السبب تستخدم ذرة الهيدروجين كمagnet لقياس إشارة التصوير بالرنين المغناطيسي.

بدون تطبيق أي حقل مغناطيسي خارجي قوي، فإن الأقطاب المغناطيسية لنويات الهيدروجين تكون موزعة بشكل عشوائي، وناتج المغفلة الصافية للهيدروجين في عينة من الأنسجة هو الصفر (الشكل 5.2).



الشكل 5.2-(a)- في غياب الحقل المغناطيسي الخارجي، فإن البروتونات الدائرة الفردية في نويات الهيدروجين تكون متوضعة عشوائياً وبالتالي تكون المغفلة الصافية لكمبة هي صفر.

(b)- عندما توضع هذه البروتونات ضمن حقل مغناطيسي خارجي قوي B_0 ، فإن أكثر من نصف المزدوجات القطبية تتحادى مع اتجاه المغفلا، بينما عدد أقل منها يعاكس اتجاه المغفلا. إن عدم الانتظام هنا يؤدي لنشوء مغفلة صافية لكمبة يساوي $M_{||}$.

على كل حال وفي حال تطبيق حقل مغناطيسي خارجي قوي فإن أكثر من نصف الأزواج التووية تحاذي مع اتجاه الحقل الرئيسي B_0 . بينما الجزء البسيط منها يتوجه بالاتجاه المعاكس لحقل المغناطيسي.

إن الاختلاف العشوائي بين المزدوجات المغناطيسية والتويات الكبيرة المحبطية يسبب للمزدوجات المغناطيسية أن تتعكس اتجاهها ذهاباً وإلياً بين حالتى الطاقة المنخفضة (مولازية) والعالية (غير مولازية).

وفي حال كان الحقل المغناطيسي المطبق بحدود ١ نسلاً ، هذا يساعد علىبقاء الحالة مستقرة بين التويات الموجودة في الحالة ذات الطاقة المنخفضة وذلك ذات الطاقة العالية أي بحالة توازن.

5.3. الحركة البدارية (Precession):

بسبب الحركة المغزلية للبروتونات فإن لها عزماً تدوير (مزدوجة) بسبب الحقل المغناطيسي المطبق خارجياً والذي لا يتطابق مع محورها. وبدل ذلك فإن مركبات عزم المزدوجة تدور بحركة بدارية حولها. وبشكل مشابه للحركة البدارية كما في الشكل (5.3a). ففي تويات الهيدروجين فإن معدل الحركة البدارية (التوائز) يقرر بشدة الحقل المغناطيسي، فيزيادة الحقل المغناطيسي تكون الحركة البدارية أسرع (الشكل 5.3b). هذا التوازن للحركة البدارية W هو هام لأن توائز الإشعاع الكهرومغناطيسي الذي يجب إرساله داخل المريض لإثارة التويات، وهو التوازن الذي يجب أن تلتف عليه ملفات المستقبل لاستقبال الإشارات المستخلصية. وهذه العلاقة بين شدة الحقل المغناطيسي وتوائز الحركة البدارية تدعى شرط لازمور، والتوائز التابع للمزدوجة التووية تدعى توائز لازمور ويعبر عن توائز لازمور بالمعادلة:

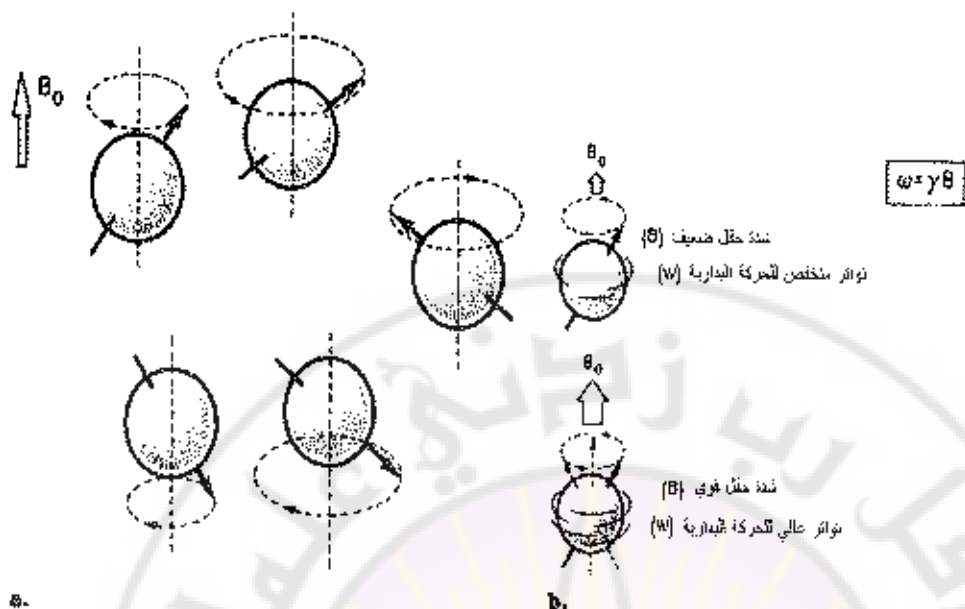
$$W = \gamma B_0 \quad 5-1$$

W - توائز الحركة البدارية (هرتز)

γ - ثابت (نسبة الحركة للجيو و سكوبية المغناطيسية).

B_0 - شدة الحقل المغناطيسي.

$\gamma = 42.6 \text{ MHz/T}$ للهيدروجين بينما هي $\gamma = 10.7 \text{ MHz}/\Gamma$ للكربون C13.

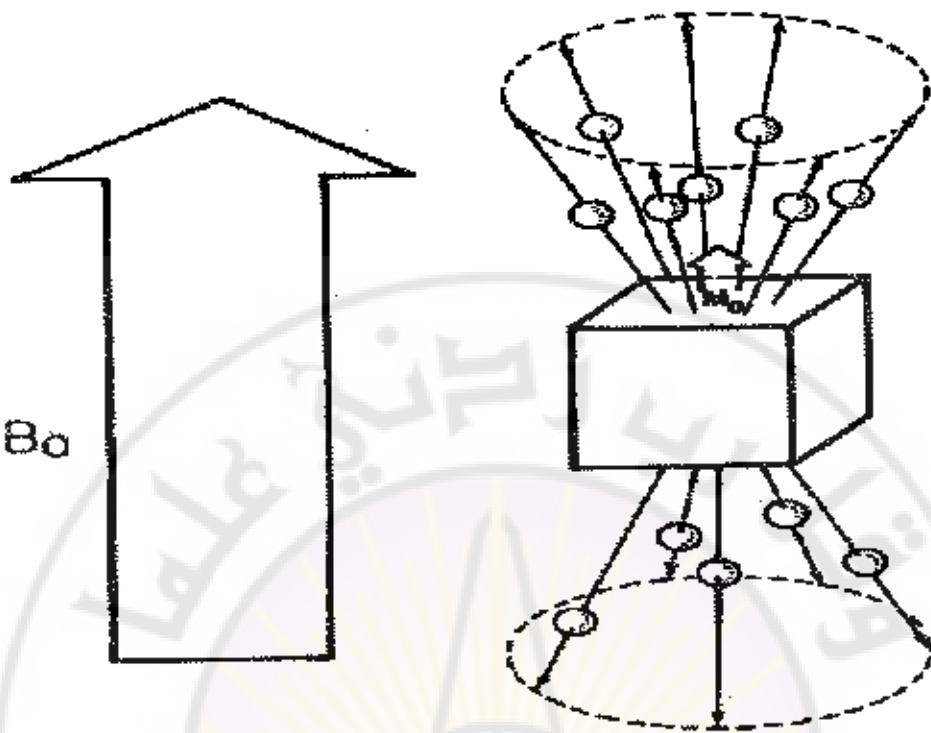


الشكل 5.3 - (a) - إن مركبة العزم المزدوجة القطبية المتحاذبة دور حotor حول المغناطيسي المخارجي . ولها إن توافر الدوران لنوبات محددة يقرر بشكل كامل بشدة المغناطيسي، فإنه تظهر إن كل المزدوجات القطبية لها نفس معدل الدوران.

(b) تعطى العلاقة بين شدة المغناطيسي وتوافر الدوران بمعادلة لامور. إن شدت المغناطيسي الأضعف تتبع معدلات أبطأ في الدوران، بينما شدة حقل مغناطيسي أكبر تتيح في توافرات دوران أكبر.

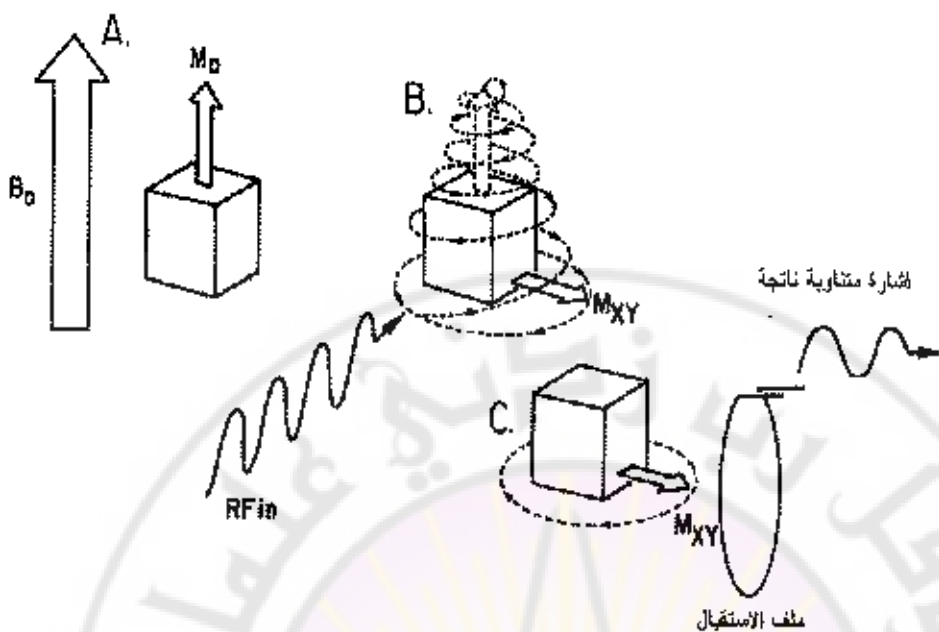
5.4. قياس مقطعة الأنسجة:

إن المركبة الجامحة لكافة أزواج الأقطاب المغناطيسية النوية للهيدروجين في حجم معين من النسبي هو صافي المقطعة للنسبي، حيث M بحد ذاتها هي مركبة كمية لها شدة واتجاه. بينما لا يكون النسبي ضمن حقل مغناطيسي تكون مقطعته تساوي الصفر. وعندما يوضع النسبي نسبياً ضمن حقل مغناطيسي B_0 لفترة كافية من الزمن تصل من 5 إلى 10 ثوان يكون صافي المقطعة للنسبي M تصل إلى قيمة التوازن M_0 ، والتي هي متناسبة مع الشدة B_0 . ويتوجه مركبة مقطعة التوازن باتجاه B_0 يرمز لهذا الاتجاه بالاتجاه الطولي (Longitudinal).



الشكل 5.4- تأثير المغناطيسة (M_0) من عدم التوازن بعدد المددوجات المقطالية لثويات الميدروجين المتجهة غير لكنها صغيرة بالمقارنة مع (B_0)

عندما تكون المغناطيسة الصافية متحاذية (متواقة بالاتجاه) مع الحقل المغناطيسي الرئيسي، فإنه من الصعب قياس الحقل المغناطيسي، بسبب أن الحقل الخارجي المطبق (B_0) هو أكبر بليون مرة من الحقل المغناطيسي المثار في الأنسجة (الشكل 5.5a). ولذلك يمكن قياس مغناطيسة الأنسجة بتدوير المغناطيسة الطولانية لمستوى متواز مع اتجاه (B_0) (المستوى المتبعad (المستعرض Transverse)) أو المستوى XY. يمكن قلب أو تدوير المغناطيسة الصافية عن الاتجاه الطولاني (Z) إلى المستوى العرضاني (XY) عن طريق إرسال أمواج كهرومغناطيسية راديوية (RF) بتوانز مناسب (توانز لارمور) يطبق بشكل متواز للحقل المغناطيسي الخارجي (الشكل 5.5b). أي قطر من نبضات RF بزاوية 90 درجة من الأمواج الراديوية بتوانز لارمور. وبقدرة مناسبة وكذلك بعدة مناسبة لقلب أو تدوير المغناطيسة الطولانية بزاوية 90 درجة إلى الحقل المتبعad حيث يمكن قياسها.



الشكل 5.5 - (A). في الحالة الاولى تكون المغناطة الصافية (M_0) ملائمة مترافقه مع المدخل المغناطيسي الرئيسي (B_0). وهي صغيرة جداً مقارنة مع B_0 . (B). يطبق حفلاً بتردد راديوي بموافر لارمور مما يؤدي إلى قلب المغناطة الانسجة إلى المستوى المعرضي، مزدوجاً إلى امكانية قياس المغناطة بالاتجاه (C. M_{xy}). (إمكانية قياس M_{xy} بسبب كونه يدور مما يتبع عنه تغير بالفيصل المغناطيسي المرتبط بوضع ملف استقبال. إن تغير الفيصل المغناطيسي داخل الملف يؤدي إلى حث تيار متزامن بموافر لارمور في ملف الاستقبال. ومن ثم يتم تكبير ورقمنة التيار المتزايد وتولدي يكون هو الناتج كإشارة التي تحصل منها على بناء الصورة.

إن قياس المغناطة في المستوى العرضي هو أسهل من قياس كمية صغيرة من المغناطة الطولانية سببين:

- لا يوجد هناك أي مغناطة تشويش في الاتجاه X أو Z إلا المغناطة العرضية في التصريح.
- وبمجرد أن يتم قلب أو تدوير المغناطة النسبية إلى المستوى العرضي، فإن المغناطة العرضية تتغير في حركتها البدارية ويتولدر لارمور. إنه من السهل قياس إشارة صغيرة تتراجع بتوتر معروفة عن قياس إشارة ثابتة من نفس الشدة. بحيث إنها ستؤدي إلى حث تيار متزايد (عند توائر لارمور) في ملف مستقبل متواضع بشكل مناسب (الشكل 5.5C).

وبينما ينبع إنتاج هذا التيار في الملف لفانون فرادي للحث، حيث يكون التيار المستحدث في حلقة من سلك هو متناسب مع التغير في التدفق المغناطيسي الواصل للحلقة، إن المنطقة من كل خلية حجمية (Voxel) من النسبي تنتج التدفق (الفيجن) المغناطيسي، فإذا ما وضعت الحلقة بشكل تكون حساسة لتغيرات الفيجن المغناطيسي، فإن ذلك يبحث على توليد تيار متذبذب.

5.5. أزمنة الاسترخاء T_1 و T_2 :

إن تأثير النبضة الراديوية بـ 90 درجة هو تدوير المنطقة الطولانية إلى المستوى العرضاني حيث يمكن قياسها. كذلك فإنه من المفيد متابعة سلوكية المركبات الطولانية والعرضانية بشكل منفصل لمنطقة النسبية بعد نبضة 90 درجة، وبعد النبضة 90 درجة مباشرة فإن المركبة الطولانية تكون قيمتها صفر.

من وجهة نظر الطاقة فإن نبضة الـ 90 درجة لها تأثير إعادة تمويض وبشكل متساوي لكل من حالات الأقل رغبة فيها ذات الطاقة الأكبر (الغير موازية) مع المفضلة ذات القدرة الأقل الموازية، وحيث إن هناك عدداً متساوياً من ثنائيات الأقطاب متوجهة للأعلى مع تلك المتوجهة للأأسفل، فإن المحصلة الشعاعية بالاتجاه Z (المغناطة الطولانية) تكون صفر بعد نبضة 90 درجة، ويتقدم الزمن تدريسي المغناطة الطولانية بالاتجاه Z. إن التلامي في الاتجاه Z يتبع إلى تحول الطاقة من مزدوجات هيدروجين مثار إلى جزيئات كبيرة. إن التحول في الطاقة يؤدي إلى قلب المزدوجات من مستوى الطاقة الأعلى (الغير موازية) إلى الطاقة الأدنى (المتوازية)، مخفضة عدد المزدوجات المثارة ذات القدرة الأعلى وزيادة عدد المزدوجات ذات الطاقة الأدنى المتوجهة باتجاه الحقل B_0 .

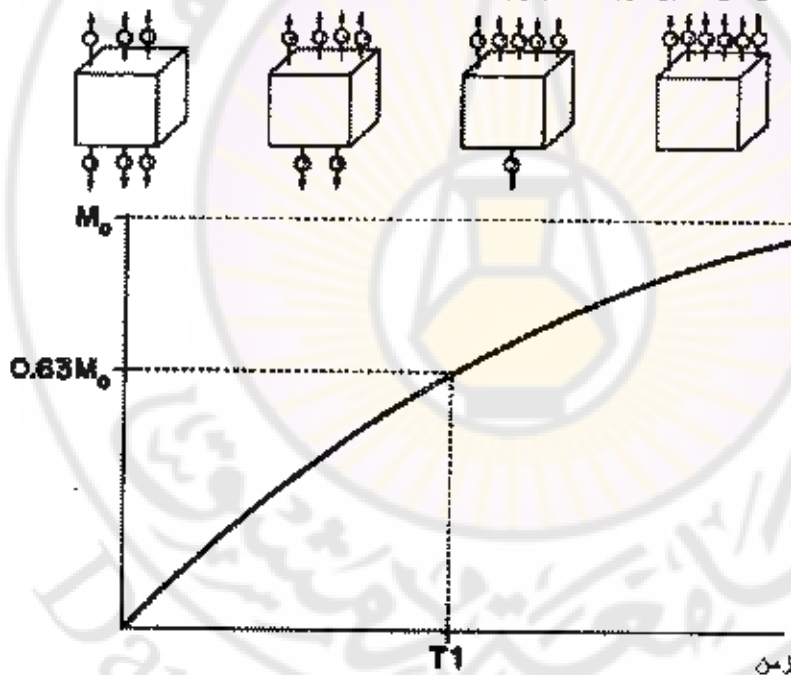
إن كل تحول بالطاقة وإعادة التوجيه للمزدوجة عبر B_0 يزيد من المغناطة الطولانية M، إن معدل العودة لـ M هو متناسب مع الفرق بين قيمة التيار و M وقيمة التوازن له M_0 (القيمة التي تصل لها M إذا ترك الحقل المغناطيسي ثابتاً لفترة زمنية طويلة).

بعد نبضة الـ 90 درجة، عندما يكون الفرق بين M و M_0 كبير، حيث يتم العودة للحالة الأساسية أكبر مما يمكن، حيث تصبح M قريبة من M_0 ، حيث تزداد M بشكل بطيء، لكن يكون المعدل الجذري للعودة للحالة الأساسية هو نفسه (الشكل 5.6).

إن معدل العودة إلى المغناطيسية الطولانية يوصف بزمن الاسترخاء T_1 . أي أن T_1 هو الزمن اللازم لعودة حوالي الثلثين من المغناطيسية الطولانية للعودة باتجاه الحقل المغناطيسي الساكن بعد نبضة 90 درجة.

بسبب إن الأنسجة المختلفة لها تراكيز مختلفة ومقاسات لجزيئات الكبيرة، فإن الأنسجة المختلفة لها معدلات عودة مختلفة T_1 تتراوح من 150-250 ملي ثانية للدهون بينما هي 2-3 ثانية لـ CSF.

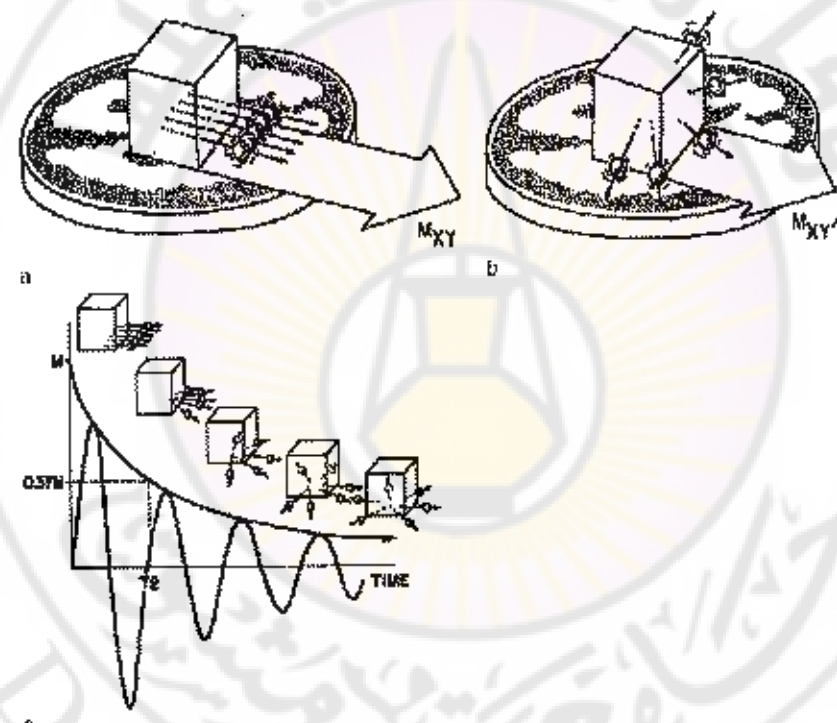
يعبر عن المغناطيسية المتعادلة (العرضانية) بالشاعر المحصل لكلا المزدوجات المنفصلة في خلية حجمية معينة، بعد نبضة راديوبو 90 درجة فإن المغناطيسية لها شدة بنفس المغناطيسية الطولانية قبل النبضة الراديوبو ذات الـ 90 درجة (الشكل 5.7a). بالإضافة إلى المغناطيسية العرضانية تدور بحركة بدارية حول المحور Z اتجاه B_0 . وبمرور الزمن ونظرأً للتفاعل بين كل مزدوجة وأخرى بين نويات الهيدروجين والجزيئات الكبيرة المجاورة،



الشكل (5.6)- زمن استعادة الحالة الأولية T_1 كتابع لزمن TR بعد نبضة الـ 90 درجة. وبما أن نبضة 90 درجة هي مزدوجات القطبية ذات الطاقة المائية (معاكسة جهية الحقل B_0 مجاهدة للأمسك)، تكون مساربة للمزدوجات القطبية ذات الطاقة المائية المخففة (موازية للحقل B_0 مجاهدة للأعلى). وبتحول الطاقة من الحالة المثارة للمزدوجات القطبية ذات الطاقة المائية إلى الجزيئات الكبيرة الطيفية لها فإن المغناطيسية الطولانية تقترب من حالة قيمة الموزن M_0 ، والتي هي الحالة الظمى للمزدوجات. يعرف الزمن T_1 لنسيج معين بأنه الناتج الزمني المطلوب بعد نبضة 90 درجة تعود 63% من مغناطيسية الأنسجة إلى اتجاه الحقل B_0 .

تختلف المزدوجات في أطوارها بين بعضها البعض، كما إن المركبات الشعاعية للمزدوجات المغناطيسية تتجه باتجاهات مختلفة أثناء حركتها البدارية.

وبالاختلاف الطوري للمزدوجات القطبية فإن المغناطة المتعامدة تقل في مطالها (الشكل 5.7b) ويدور انها (بحركة بدارية) بتوافر لارمور، فإن المغناطة العرضانية تتجه حفلاً مغناطيسياً متغيراً يمكن تحريكه بملف مستقيم وبزيادة الاختلاف الطوري إلى مرحلة يكون لكل مزدوجة قطبية متوجهة بأحد الاتجاهات لها واحدة متعلقة بها متوجهة بالاتجاه المعاكس في المستوى العرضاني، وبالتالي تكون المغناطة معاوية للصفر (الشكل 5.7c). يكون هناك فهم بسيط من تخدام المغناطة العرضانية متعلق بإعادة توجيه المزدوجات المغناطيسية عبر اتجاه الحقل المغناطيسي الساكن (استعادة T1 Recovery T1).



الشكل 5.7 - (a) مباشرة وبعد نبضة 90 درجة راديوية، فإن المزدوجات المغناطيسية للتربات المتصلة تدور بنفس الطور، ويكون مركبة المغناطة العرضانية M_{xy}

(b) بفقد الزمن فقد المزدوجات المغناطيسية الترابط الطوري. بعضها يدور بشكل أسرع وببعضها أبطأ. وتسبب الخسارة في الترابط الطوري تناقصاً بالمقدمة في المغناطة العرضانية بحيث تصبح $M_{xy} \neq M_{x'y'}$.

(c) وكثيجة للإشارة المسجلة من قبل ملف الاستقبال فإن التيار المسجل يتناقص أسيّاً بالمتطل.

يعرف الزمن T_2 بأنه الزمن اللازم لاستخدام المغناطة العرضانية إلى قيمة 37% من قيمتها الأصلية.

وفي الأنسجة، فإن المصدر الأكبر لخاتم الإشارة هو فقدان الترابط الطوري بين المزدوجات (dipole) المغناطيسية ضمن نفس العنصر الجمي (Voxel) الشكل (5.8).

للحصول على إشارة مغناطيسية عزمي عندما تكون

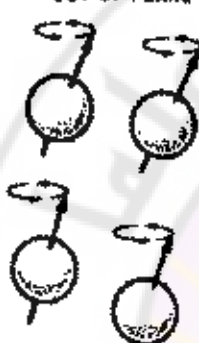
المزدوجات المغناطيسية المترادفة

أ- دوران في نفس المستوى العرضاني

ب- دوران بنفس الطور

عدم التوافق في المستوى

OUT OF PLANE



شبكة الدوران المغناطيسي

استجابة الوضعيّة الطولانيّة

T1

عدم التوافق في الطور

OUT OF PHASE



دوران مغزلي لمغناطيس

العرضاني

زمن التخدام

T2

الشكل 5.8 - لحصول على إشارة خرج اعظمية تعيينه متاردة عندما تكون كافة المزدوجات المغناطيسية المترادفة دوران كلها بعوائق طوري في المستوى العرضاني (xy). يحدث (زمن الاستخدام T1) عندما تعود لمتحادى في المستوى الأساسى للحقل المغناطيسى الرئيسي الساكن. (أ) يرجع عن ذلك عسارة في الإشارة بسبب الاختلاف في المستوى. يحدث (زمن الاستخدام T2) بتجدد المزدوجات المغناطيسية معاينة حسارة في الإشارة بسبب الاختلاف الطوري. عادة T2 هو الصغر بكثير من الزمن (أ) في معظم الأنسجة مما يعني أن الحسارة في الإشارة تحدث بشكل أسرع بتأثير إزالة الترابط عن الحسارة في الإشارة بسبب المواجهة لمتحادى مع الحقل المغناطيسى الرئيسي الساكن.

وهناك عدة أسباب محتملة لفقدان الترابط الطوري العرضاني أحدها هو عدم التجاوب في الحقل المغناطيسى الساكن B_0 . فإذا تغير الحقل المغناطيسى B_0 من جانب إلى جانب آخر في العنصر الجمي، فإن تواترات الدوران البداري سوف تتغير عبر هذا العنصر مؤدياً غير الازمن إلى فقدان الترابط الطوري في المزدوجات ضمن العنصر الجمي. والسبب الآخر هو تطبيق تدرج مغناطيسى (حقل مغناطيسى متغير بشكل معروف كفعل للتوضع الحرزي).

بتطبيق تدرج غير العنصر الججمي سوف يؤدي لوجود عدة تواترات في الدوران البداري غير العنصر الججمي، مسبباً لفقدان الترابط {إن عكس التدرج يعكس فقدان الترابط أو ينتج إعادة الترابط للمزدوجات ضمن العنصر الججمي هذه هي الفكرة خلف التصوير بتدرج الصدى حيث يتم تمثيل التواتر، بحيث يتم عكس التدرج بشكل معتمد ليشكل الصدى}. إن كلاً من عدم التجانس في الحقل المغناطيسي الساكن والتدرج المغناطيسي المطبق خارجياً على المريض هي مصادر لإزالة الترابط، ولا يعكس عدم الترابط الطوري المرتبط بمواصفات النسيج، بتطبيق النبضات الراديوية المذاتية أو عكس التدرج، فإن هذه المنابع لفك الترابط وهي عكوسية ويمكن تقليلها أو حذفها في الإشارة المقامة.

وال المصدر الثالث لإزالة الترابط والذي يعكس المواصفات الداخلية للأنسجة هو إزالة الترابط المتسبب من التفاعل باللغة الدقة بين المزدوجاتقطبية المغناطيسية والمحيط المحلي المغناطيسي المعدة من قبل الجزيئات أو الجزيئات الكبيرة والتي تتحرك ببطء كاف، وتكون هذه المصادر لإزالة الترابط الطوري غير عكوسية. وسببها تذبذب الأوساط المغناطيسية العشوائية على المستوى الميكروسكوبى، ولا يوجد أية طريقة لعكوسية الديناميكية المستوى الميكروسكوبى الجزيئي الذي يسبب تلك التفاعلات المتباينة.

ويكون معدل الخسارة الغير عكوسية في الإشارة بسبب التأثيرات الداخلية للأنسجة والذي يوصف بزمن الاسترخاء المغناطيسي . أي إن T_2 . هو زمن الاسترخاء وهو اللازم لتخفيض المغناطة المستعرضة إلى قيمة 37% من قيمتها الأساسية (والتي كانت بعد النبضة الراديوية ذات 90 درجة مباشرة) بتأثيرات إزالة الترابط الغير عكوسية بشكل كامل ($T_2 = 70$). وحيث أن للأنسجة أزمنة استرخاء مختلفة T_1 ، فإن لها أيضاً أزمنة T_2 مختلفة وذلك للأوساط الجزيئية الكبيرة.

ففي معظم الأنسجة تحصل إزالة الترابط الطوري للمغناطة المستعرضة بشكل أمرع من استعادة المغناطة الطولانية، وبهذا فإن T_2 أسرع من T_1 (عادة ما تكون قيمة $T_2 = 10-20\%$ من قيمة T_1). لا تتأثر قيمة T_2 وبشكل عام بشدة الحقل المغناطيسي المطبق على الأنسجة وبهذا فإن T_2 هو مستقل عن B_0 .

* 5.6. الاسترخاء T_2

في حالات التصوير حينما يكون التتابع النبضي غير مصمم لحذف الأسباب العكوسية لإزالة الترابط الطوري. فإن كلاً من المنابع العكوسية وغير العكوسية سوف تحدث. في مثل هذه

الحالات، فإن ثابت الزمن الذي يحكم إزالة الترابط الطوري لا يكون T_2 ، بل هو ثابت زمني أقصر $*T_2$.

يصف T_2^* معدل التناقص في المغفلة الاستعراضية بسبب كل من تأثير إزالة الترابط الغير عكوسه (Spin-Spin) و إزالة الترابط الطوري العكوس بسبب الالاحطيه في الحقل المغناطيسي وأي تدرجات غير عكوسه.

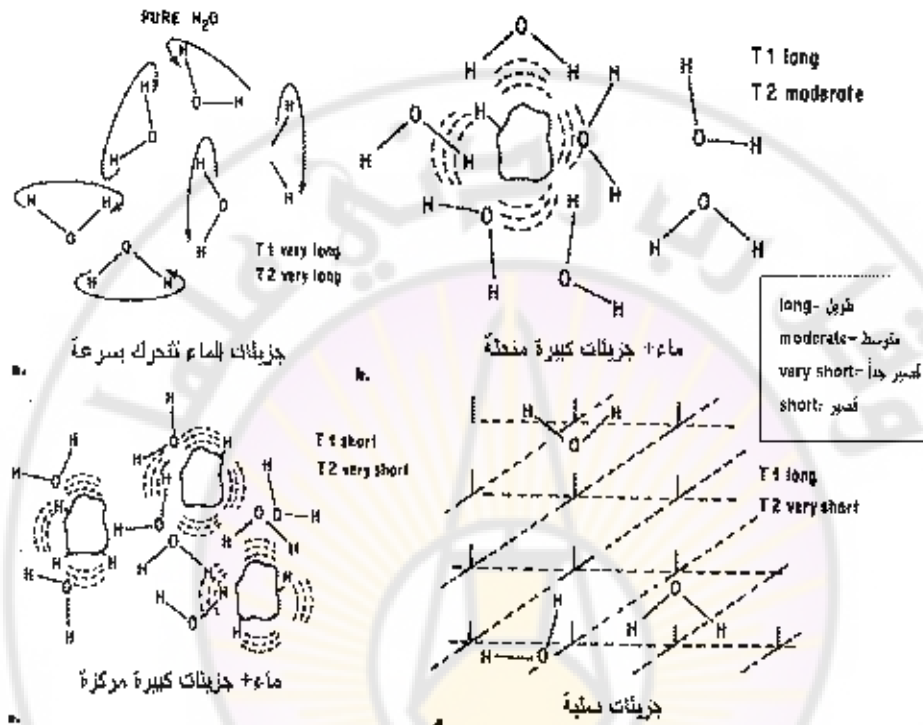
أي إن T_2 تصف الخسارة في المغفلة المستعرضة في التصوير SE (Spin Echo) بينما T_2^* هو البارامتر الذي يصف الخسارة في المغفلة المستعرضة (أو الإشارة المفاجمة) في التصوير اللا SE مثل التصوير بالصدى المتدرج (Gradient Echo) أو التخاذم المستحدث (Induction Decay Imaging).

5.7. المبادئ الكلمنة لأزمنة الاسترخاء:

إن الحقيقة الهامة والتي تكمن في كون إشارة الرنين المغناطيسي تأتي من نوبات الهيدروجين ذات المقاس ^{14}N . م. فإن أزمنة الاسترخاء T_2 , T_1 , T_2^* تحكم بشكل أساسي من خلال الجزيئات الكبيرة المحيطة ذات المقاس ^{14}N إلى ^{10}C إلى ^{9}F . إن هذه الحساسية لجزيئات الهيدروجين لأوساطها المحيطة (من خلال أزمنة T_2 , T_1) ذات الجزيئات الكبيرة والتي تزودنا ببيان بين أكثر الأنسجة الطبيعية وكذلك بين الأنسجة الطبيعية وغير الطبيعية.

يمكن وضع صورة مبسطة لتوضيح تأثير الجزيئات الكبيرة في كل من أزمنة T_2 , T_1 لنواة الهيدروجين. إن الماء المقطر أو CSF يتلف بشكل كبير من جزيئات الماء والتي هي خفيفة الوزن وتتحرك بسرعة نتيجة الطاقة الحرارية عند درجة حرارة الغرفة أو الجسم (الشكل 5.9a). ويسبب إن جزيئات الماء هي خفيفة الوزن فإنه لا تملك مستويات من الطاقة منخفضة لامتصاص طاقة نوبات الهيدروجين المثار. وبالتالي فإن احتمالية أن تعطى الهيدروجين المثار طاقتها الزائدة الصغيرة وتقلب من مستوى طاقة عاليًا إلى مستوى طاقة أدنى (موازي للحقل B_0) هو منخفض جدًا. ولهذا وفي الماء المقطر فإنه يتطلب زماناً كبيراً جداً للمغفلة الطولانية كي تعود لحالتها الأولية حتى ولو بشكل جزئي، هذا يعني إن زمان T_1 للماء المقطر هو كبير جداً حوالي 3 ثواني. كما أن زمان T_2 للماء المقطر هو طويلاً جداً لكن لأسباب مختلفة وذلك بسبب كون جزيئات الماء سريعة الحركة، فإن كل نوبية هيدروجين ترى على أنها حقل مغناطيسي غير واضح (لا تبقى أية جزيئة في مكانها لمدة كافية كي تشكل أي تدرج ملحوظ في الحقل المغناطيسي). وحيث إن كل نوبات الهيدروجين في الحقل المغناطيسي الموحد تدور

(حركة بذرية) عند نفس التواتر، فإن إزالة الارتباط الطوري لا يحدث لدرجة كبيرة وبالتالي يكون زمن T_2 كبيراً جداً. في حقيقة الأمر فإن إزالة الارتباط الطوري في المستوى المستعرض للماء المقطر يكون صغيراً جداً لدرجة تكون فيها الخسارة في المعنطة المستعرضة تتبع لزمن T_1 مما يجعل T_2 متساوياً ويشكل تقريري لـ T_1 .



الشكل 5.9 – (a) صورة جزيئية ساكنة للماء المقطر (b) صورة ساكنة تظهر الماء يوجد جزيئات كبيرة متجلدة (c) صورة ساكنة تظهر الماء يوجد جزيئات كبيرة مرکزة (d) صورة ساكنة تظهر الماء محاصراً بجزيئات صلبة.

تكون جزيئات الماء المقطر ذات التركيز الضعيف من الجزيئات الكبيرة (مثل) ستكون بأغلبيتها على شكل ماء حر بعيد جداً عن الجزيئات الكبيرة لكن بجزء أصغر من الماء في الطبقات المهدروجة المرتبطة مع أو في حيز لجزيئات الكبيرة (الشكل 5.9b). ويسبب وجود الجزيئات الكبيرة بالمقاييس الصحيح وبالطاقة المناسبة، بتزويد آلية لذوبان الهيدروجين المثاررة في الطبقات المهدروجة بالقرب من الجزيئات الكبيرة بالتكلص من طاقتها الزائدة وتسترخي، ومتدازية مع H_2O . أما نوبيات الهيدروجين البعيدة عن الجزيئات الضخمة

موف تبقى غير قادرة على الاسترخاء، على الرغم من أن الحركة الجزيئية السريعة لجزيئات الماء تنتج تبادل سريع بين الماء الحر والماء في طبقات الهرمة بالقرب من الجزيئات الكبيرة. يتناقض معدل الزمن T_1 مقارنة مع مثيله للماء المقطر بوجود المجموعة المذابة من الجزيئات الكبيرة لكن سيفي وبشكل نسبي طويلاً، كما أن الزمن T_2 سوف يقصر وبشكل ضئيل، بسبب أن الجزيئات الكبيرة المذابة تزود بيئه حقل مغناطيسي غير موجود سابقاً حيث يحدث تزايد في كميات التفاعل بين كل ثنائي القطب مع مثيله (dipole-dipole). هذا يؤدي بنهاية الهيدروجين المجاورة للجزيئات الكبيرة أن تدور (بحركة بدارية) بطورات مختلفة وبالتالي يزال ترابطها الطوري (dephase).

أما الماء المقطر ذو التركيز العالي من الجزيئات الكبيرة (الأنسجة الخلوية) التي تملك نسبة أكبر من الماء في الطبقات المهدورة في حيز الجزيئات الكبيرة (الشكل 5.9c)، ولهذا كلاً الزمانين T_1, T_2 يقصران. يقصر الزمن T_1 بسبب ازدياد احتمالية أن تنقل نوياً الهيدروجين المثارة طلقتها إلى الجزيئية الضخمة المجاورة وتستقر في B_0 . أما الزمن T_2 فيقصر بسبب حركة الجزيئية الأبطأ والتركيز الأكبر للجزيئات الضخمة مما يزيد التفاعل المغناطيسي المتبدال بين كل ثنائي القطب مع مثيله (dipole-dipole) والذي يؤدي إلى إزالة الترابط الطوري.

كما من المتوقع أنه بزيادة البنى المحيطة بجزيئات الماء (كما في المواد الصلبة الاحادية للماء)، فإن كلاً من الأزمنة T_2, T_1 يستمر في التصرّف. ففي حقيقة الأمر فإن الزمن T_2 يقصر في البنى الشبكية الأكثر صلابة حيث تربط الجزيئات الكبيرة مع بعضها بالمكان (كما في العضلات) (الشكل 9d). تسبب الجزيئات الصلبة بأوساط مغناطيسية محلية ثابتة والتي تؤدي إلى زيادة إزالة الارتباط الطوري الثانية قطب الهيدروجين. على كل حال فيزياء صلابة الشبكة المحيطة بالماء، يزداد زمن T_1 للهيدروجين عن أن تتفصّل. هذا يعود إلى الشبكة الصلبة الثابتة في المكان، مؤدية إلى عدد أقل من الأقطية لتبادل الطاقة من نوياً الهيدروجين المثارة للشبكة التي تسمح للاسترخاء T_1 .

ومن هذه الأشكال البسيطة فإنه من السهل فهم لماذا تكون الأنسجة المريضة أو المصابة لها أزمنة T_2, T_1 أكبر من تلك السليمة، وذلك بسبب كون الأنسجة المريضة أو المصابة تمتلك محتوى مائياً أكبر، موصداً إلى انخفاض نسبة الماء في حيز الجزيئات الكبيرة.

ولهذا يكون هناك احتمال منخفض في تبادل الطاقة الذي يؤدي إلى استعادة T_1 ، أي يكون T_1 أطول والديناميكية الجزيئية أسرع وعدم التجانس المغناطيسي أقل، مؤدياً إلى تخفيض فرصة أن تتعرض المزدوجات القطبية إلى التفاعل مع بعضها البعض أو مع الأوساط المغناطيسية المختلفة وبالتالي يكون T_2 أطول.

5.8. كيف تؤثر أزمنة كل من T_1 , T_2 على شدة الإشارة؟

تساهم كل من الأزمنة T_1 , T_2 وكذلك T_2^* على الإشارة من الأنسجة المحددة. تساهم T_1 بسبب أنها تحكم معدل العودة للتوازن، كما أن الزمن لا يسمح للعودة الكلية إلى حالة التوازن بين تكرار المتنباعات النبضية. فالتبسيج ذو زمن T_1 قصير له مغفلة طولانية أكبر عند زمن تعداد فيه المتنباعات (TR) عن التبسيج يملك زمن T_1 طويلاً، ومهما كانت المغفلة الطولانية فإن النسبة ذات 90 درجة تقلب المغفلة إلى المستوى المستعرض، حيث يمكن قياسها.

ففي الأنسجة ذات الزمن T_1 القصير، تعود فنتمو المغفلة الطولانية قبل الوصول لكل نسبية 90 درجة، وبالتالي يتم قلب مغفلة أكبر إلى المستوى المتعادم من خلال النسبة ذات الـ 90 درجة، مؤدياً إلى قياس كمية إشارة أكبر مباشرة بعد نسبة الـ 90 درجة. كلما كان هناك إشارة أكبر كلما كانت صور الرنين المغناطيسي مضيئة أكثر، وبالتالي فإن الأنسجة ذات قيم T_1 الفصيرة تظهر أكثر تلاقفاً في الصور المسيطر عليها T_1 .

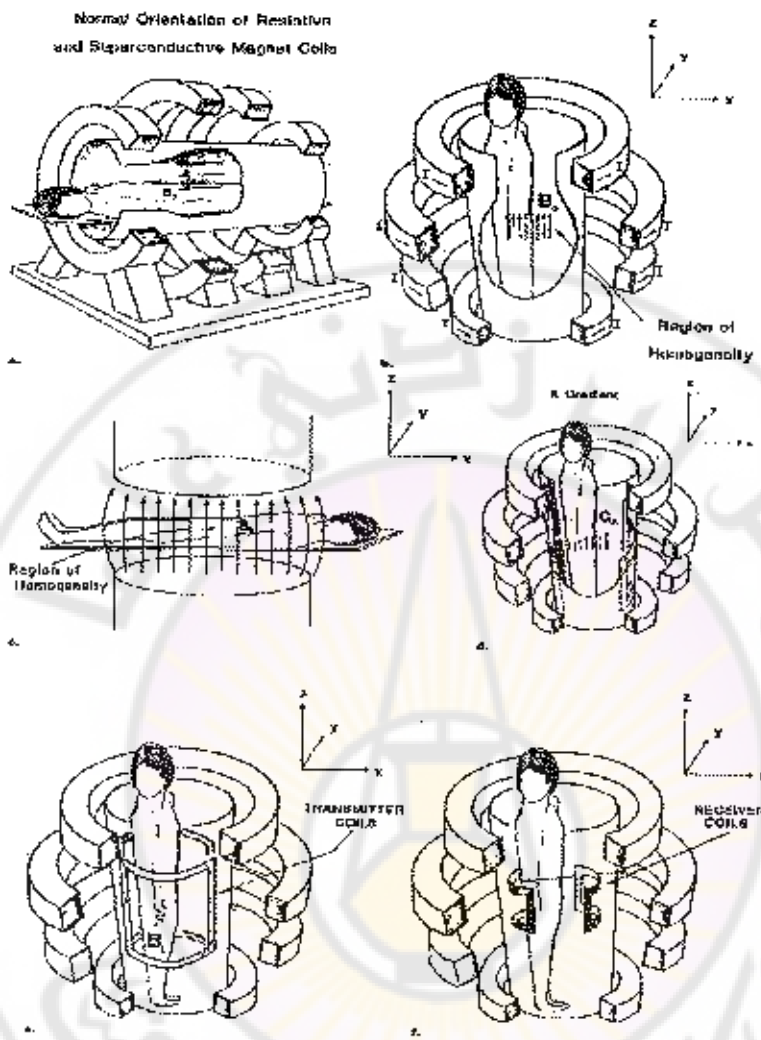
بعد أن تقلب النسبة 90 (درجة) المغفلة الطولانية إلى المستوى المستعرض. فإن تأثير T_2 و T_2^* يتولى الوضع. حيث إنه لا يمكن قياس المغفلة المستعرضة مباشرة بعد نسبة الـ 90 درجة (في التصوير بالرنين المغناطيسي وذلك بسبب الحاجة لتطبيق التدرج بين النسبة ذات الـ 90 درجة والإشارة المقاومة)، مما يؤدي إلى حدوث بعض الاسترخاء. ففي الأنسجة ذات قيم أزمنة T_2 الفصيرة يكون لها خسارة في الترابط أسرع، كثافة إشارة أقل، وبالتالي أكثر سواداً. وبهذا يعمل كل من T_2 , T_1 باتجاهات متعاكمة.

لتلخيص كل ما ورد: فإن زمن T_1 قصير يؤدي إلى إنتاج إشارة مقاسه ذات كثافة أقل (تبسيج أكثر بياضاً) بينما زمن T_2 قصير ينتج كثافة إشارة مقاسه ضعيف (ونسجاً أكثر سواداً). يمكن التعبير عن T_1 كون الريح (زمن أقصر يعني استعادة أسرع للمغفلة الطولانية

بعد الإثارة)، بينما T_2 يعبر عن خسارة (زمن أقصر لزمن T_2 يعني خسارة أسرع للإشارة في المستوى المستعرض). أي أن T_1 هي آلية استعادة أو عودة للحالة بينما T_2 هي آلية تخامد كما هو موضح بالشكل 5.6 والشكل 5.7. إن زمن الاسترخاء الذي يسود سوف يعتمد على أزمنة تأخير بين النبضات، والتي يمكن اختيارها لتؤكد على تأثيرات T_1 ، T_2 أو عدم تأثيرها (الصور المقلدة بالكتافة المغزلية). وبالعكس فإن الصور ذات الأنسجة ذات الزمن T_1 الطويل تظهر داكنة في المتتابعات المقلدة — T_1 ، بينما الأنسجة ذات الزمن T_2 تظهر فاتحة في المتتابعات المقلدة T_2 (CSF) هو نموذج أساسي للنبيغ لكل من الزمن T_1 طويل وزمن T_2 طويل .).

5.5. مبادئ تجهيزات التصوير بالرنين المغناطيسي:

إن أهم أنظمة التصوير بالرنين المغناطيسي هي المغناطيس الرئيسي، ملفات التدرج، ملفات الإرسال والاستقبال الراديوجيني، الحوسيب للتخزين ومعالجة المعلومات وإظهار معلومات الصور.



الشكل 5.10-(a) تصميم المغناطيس الملوبي، كما هو مستخدم في وحدات التصوير بالرنين المغناطيسي، يكون اتجاه المغناطيس على طول المريض، (b) تكي نورد وترتبط شكلها مع أشكالها السابقة التي تصور المغناطيسي الرئيسي بالإضافة الشافولي، ففرض أن المغناطيس هو شاقولي الاتجاه (+z axis). (c)- اتجاه المغناطيسي في نظام المغناطيس الداخلي هو عبر المحوz axis ويعتمد على طول المريض.

(d) يتيح تدرج المغناطيسي ∇B حقلًا مغناطيسيًا متجهًا عبر المحوz z ويغير بالشدة كثافة لوقود المحوz x .
 (e) تكون هياكل الإرسال الراديوية كبيرة وعلى شكل السرج حيث يتم إدخال المريض لتنبئ حقلًا راديوياً منظمًا وبالتالي تسمح زوايا قلب متقطمة عبر المنطقة المختارة.

(f) ملفات الاستقبال الراديوية هي منفصلة و لها شكل دائري لاستقبال الإشارات الضعيفة بسبب دوران المزدوجات القطبية في المريض، هنا تظهر ملفات الاستقبال على شكل ذووج من الملفات بشكل السرج لكن هناك أشكال أخرى ممكنة.

5.9.1 المغناطيس:

ينتاج المغناطيس الرئيسي حقلًا مغناطيسيًا موحدًا وقوياً (B) والذي هو ضروري بحث مغناطة قابلة لليقاس في الأنسجة. قد يكون المغناطيس دائمة، مقاومياً، أو فائق الناشرية.

ففي كل من المغناطيس الدائم والمقاومة فإن أعلى مجال لشدة الحقل المغناطيسي هو 0.4-0.3 تسللاً، بينما يمكن للمغناطس فائقة الناشرية المستخدمة للتطبيقات السريرية أن تصل شدة حقلها المغناطيسي حتى 2 تسللاً.

وحتى إن هناك المغناطس التي تستخدم في الأبحاث ل الكامل الجسم تصل لحقل أكبر من 4 تسللاً.

تحتوي المغناطس الفائقة الناشرية والمقاومة مجموعة من الملفات حاملة للتيار ، التي يتم من خلالها توليد حقل مغناطيسي ولكن موحد ثابت. معظم هذه المغناطس لها تصميم تولبي، بحيث يتعدد المريض عبر محور اللولب. في هذه الأنظمة يكون اتجاه الحقل المغناطيسي عبر طول المريض (الشكل 5.10a).

يستخدم هذا التصميم التولبي لأنه يؤمن حقلًا مغناطيسيًا في مركز المغناطيس، أي إن الحقل المغناطيسي الرئيسي موجه لفقياً. لكن بما أن معظم الرسوم التوضيحية التي تم استخدامها اعتمدت الوضع الشاقولي للحقل المغناطيسي الأساسي لهذا سنفترض أن المغناطيس هو شاقولي وأن المريض واقف داخله (الشكل 5.10b).

للمغناطيس الدائم شكل حدوة الحصان، أو شكل ثالثي القطب ويتمدد المريض بشكل معامد للحقل المغناطيسي (الشكل 5.10c). وتكون المغناطس الدائمة ضخمة الكثافة (حتى 100 طن) مقارنة مع المغناطس المقاومة أو فائقة الناشرية، لكن ما إن تركب فإن تكاليف صيانتها تكون منخفضة وذلك بسبب أنها لا تتطلب سواحل تبريد أو منبع طاقة لإبقاء الحقل المغناطيسي.

أما ملفات التسوية فهي مجموعة من ملفات كهرومغناطيسية إما مقاومية أو في بعض الحالات فائقة الناشرية والتي تستخدم للتوليف الدقيق لتجانس الحقل المغناطيسي الرئيسي في المنطقة المركزية للمغناطيس التولبي. كما تستخدم قطع إضافية من المعدن لتسوية أنظمة المغناطس الدائمة. ففي حقل مغناطيسي رئيسي عالي التجانس ، يمكن أن يكون الحقل المغناطيسي المعاكس يتغير 1 جزء من المليون على منطقة كروية بقطر 10-20 سم وتتغير بأجزاء من المليون قليلة على منطقة كروية بقطر 50 سم في معظم أنظمة التصوير بالرنين المغناطيسي المتداشة المستخدمة للجسم كله.

تستخدم ملفات التدرج للتغيير الحقل المغناطيسي ويشكل مقصود كفعل للمكان بطريقة منهجية على كل من المحاور الثلاثة (x , y , z) وبالتالي يمكن أن يتم تحديد مكان الإشارة، فعلى سبيل المثال: فإن التدرج في الاتجاه x ينتج حقلًا مغناطيسياً أصغر والذي يؤشر باتجاه الحقل المغناطيسي الرئيسي (عبر المحور z) لكن يختلف خطياً بالشدة كفعل لموقع x (الشكل 5.10d).

ويشكل مشابه فإن التدرج في الاتجاه y والموجه باتجاه المحور z لكن يختلف خطياً في الشدة كتابع للموضع y .

يجب أن تشغل وتطلب المترandas وبشكل سريع خلال المتتابعات النبضية للتزوير بالموضع. هذه الحاجة لتفعيل السريع تحد من شدة التدرج، جاعلة من شدة حقل التدرج صغيراً مقارنة مع الحقل المغناطيسي الرئيسي. على سبيل المثال يتغير الحقل المترادر من - 1 ميلي نسلا إلى 1 ميلي نسلا عبر مسافة 1 متر له تدرج بالشدة 2 ميلي نسلا بالметр. عادة ما يكون تدرج الشدة الأعظمي هو 10-15 مليـي نسلا بالـمـتر، وأزمنـة زـيـادـة التـدـرـج الأـعـظـمـي (الـزـمـن الـلـازـم لـزيـادـة التـدـرـج من قـيـمة الصـفـر إـلـى الـقـيـمة الـأـعـظـمـيـة) هو من مرتبـة 1 مـيلـي ثـانـيـة.

5.9.2. ملفات الراديوجية (RF Coils):

تستخدم ملفات الراديوجية لإذابة النوبات من خلال إرسال أمواج راديوجية خلال المريض (الشكل 5.10e). عادة يكون ملف الإرسال هو الملف الأكبر وهو موجود من جهة تجويف المغناطيس أو ملف الاستقبال للمريض. إنه من الضروري أن يكون الحقل الراديوجي المرسل (يرمز له الحقل B_1) موحداً بحيث تكون زوايا القلب (التدوير) موحدة عبر المقطع المختار أو الحجم؛ الملفات الأكبر تنتج حقول مرسلة B_1 أكثر توحاً.

أما ملفات مستقبلات الإشارات الراديوجية فهي تستخدم لقياس إشارة الرنين المغناطيسي من المريض (التغير في الفيصل المغناطيسي تبعاً لدوران (الحركة البدارية) في المستوى العرضاني (الشكل 5.10f)).

في العديد من الحالات يستخدم ملف إرسال أكبر محاط بالجسم كله مستخدماً مع ملفات مستقبلة متخصصة (ملف أكبر للجسم كله بينما ملفات صغيرة موضعية للرأس، للحوض، العمود الفقري، الركبة، المفاصل الخ). في بعض الحالات تربط ملفات الإرسال والاستقبال مع بعضها البعض، لبعض المناطق مثل الرأس، العمود الفقري، الأكتاف. وفي بعض الحالات تشكل

الملفات على شكل رباعي أو دائري مستقطب، إن الملفات التي ترسل وتحتقبل هي حساسة للحقل المغناطيسي الراديوى على طول كل من المحاور x و y في المستوى المستعرض، إحدى أهم الموصفات لملفات الاستقبال الموضعية الأصغر هي الربط القريب للمنطقة التشريحية ذات الاهتمام وحقل رؤيتها المحدود، إن الربط القريب ينتاج إشارة عالية من المنطقة ذات الاهتمام، بينما يخفي حقل الرؤية المحدود الضجيج من خلال استقبال الإشارات الواردة فقط من خلال حجم صغير من النسبي، النسبىج موضع الاهتمام.

5.10. تصميم تجهيزات التصوير بالرنين المغناطيسي:

تطلب أجهزة التصوير بالرنين المغناطيسي ثلاثة أنواع من الحقول: الحقل الرئيسي المغناطيسي أو الحقل الساكن (B2)، حقول المترجرات، وحقول التواتر الراديوى (RF) (B1). عملياً فإنه من الضروري استخدام الملفات أو المغناط التي تنتج حقول مليء (Shimming) لتحسين التوحيد الحيزى للحقل الساكن (B0).

لقد كان التحدى الأول لمبتكرى أجهزة التصوير بالرنين المغناطيسي هو تطوير جهاز يستطيع فحص جسم بشري كامل وقد ظهر أول نموذج عام 1970.

يبين الشكل 5.21 المكونات الرئيسية لنظام تصوير NMR، هذه المكونات هي:

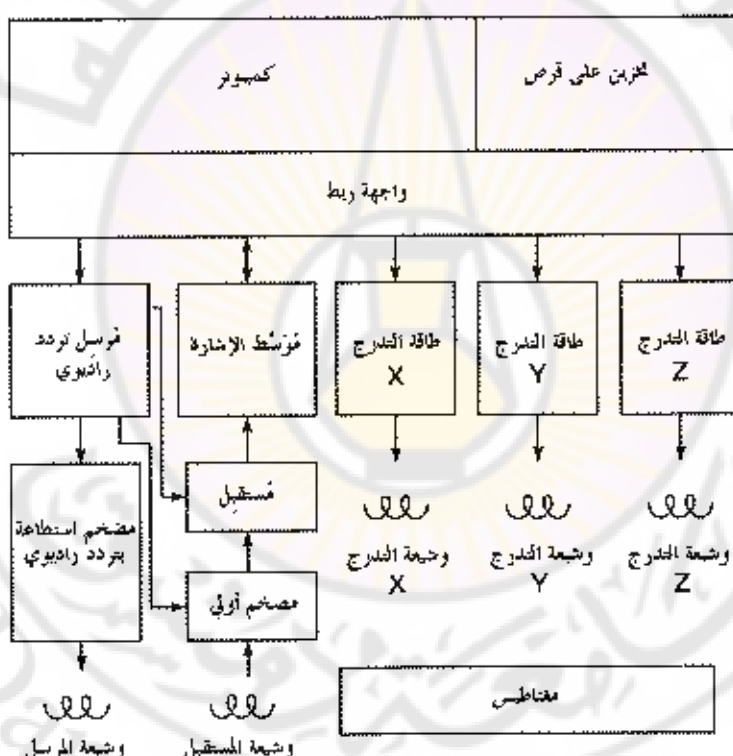
- مغناطيس، يؤمن حقلًا مغناطيسيًا B_0 منتظمًا بقوة ومستقرًا.
- مرسل RF، يزود حقلًا مغناطيسيًا بتردد راديوى إلى العينة.
- نظام تدرج، ينتاج حقولًا مغناطيسيًا متغيرة بالزمن.
- نظام كشف، ينتاج إشارة الخرج.

• نظام مصور، يتضمن الكمبيوتر الذي يعيد بناء الصور وإظهارها.

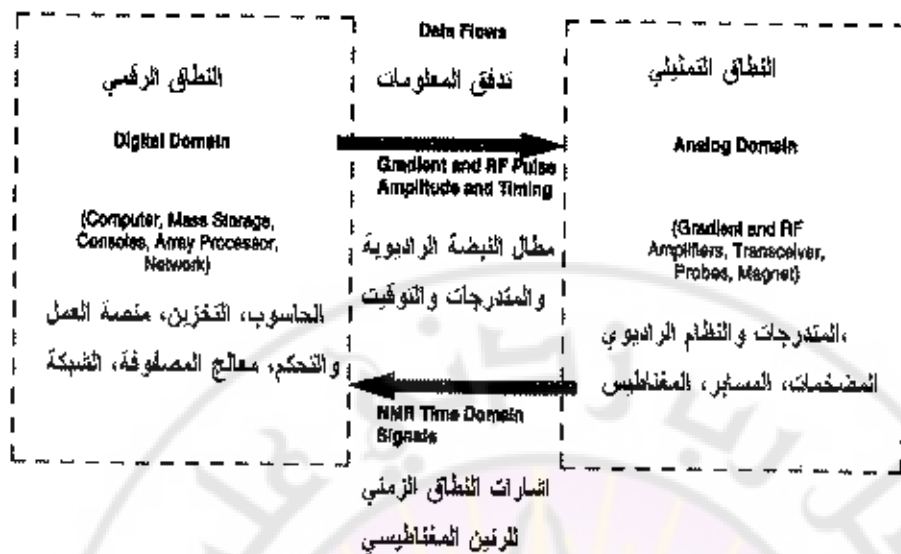
يتم تأمين تحالف التصوير في النظام بواسطة الكمبيوتر. إن جميع الوظائف مثل البيانات والأغلفة للبضائع NMR والفراغ للمضمون الأولى ومضمون الطاقة RF وأشكال أمواج حقول الجهد من أجل الحقول المغناطيسية المترجرة هي تحت التحكم البرمجي. ينجذ الكمبيوتر أيضًا مهام المعالجة للبيانات المتعددة متضمنًا تحويل فورييه وإعادة بناء الصورة وترشيح البيانات وإظهار وتخزين الصورة. بناء عليه يجب أن يحتوي الكمبيوتر على ذاكرة وسرعة كافية للتعامل مع مصفوفات صورة كبيرة ولمعالجة البيانات بالإضافة إلى الربط بين المرافق.

لقد كان نجاح الجهاز يعتمد التواصل مزدوج النتفق للمعلومات بين نظام تمثيلي ورقمي. فالمحاذطيس الرئيسي وملفات التدرج والراديوية، ومنابع تغذية كل من المتردجات والنظام الراديوى الذى تعمل بالمجال التمثيلي. ويتمركز النظام الرقمي على حاسوب متعدد الوظائف والذي يستخدم للتزويد بالمعلومات للتحكم (توقيت الإشارات والمطال) لمضخمات المتردجات والنظام الراديوى، وذلك لمعالجة معلومات إشارة التصوير بالرنين المغناطيسي في مستوى الزمن العائدة من المستقبل، ولقيادة إظهار الصورة وأنظمة التخزين، كما يمكن الحصول المستخدم من التحكم بأمور إضافية مثل حركة طولة المريض.

يبين الشكل 5.11 والشكل 5.12 النطاقات الرقمية والتتمثيلية لجهاز التصوير بالرنين المغناطيسي.

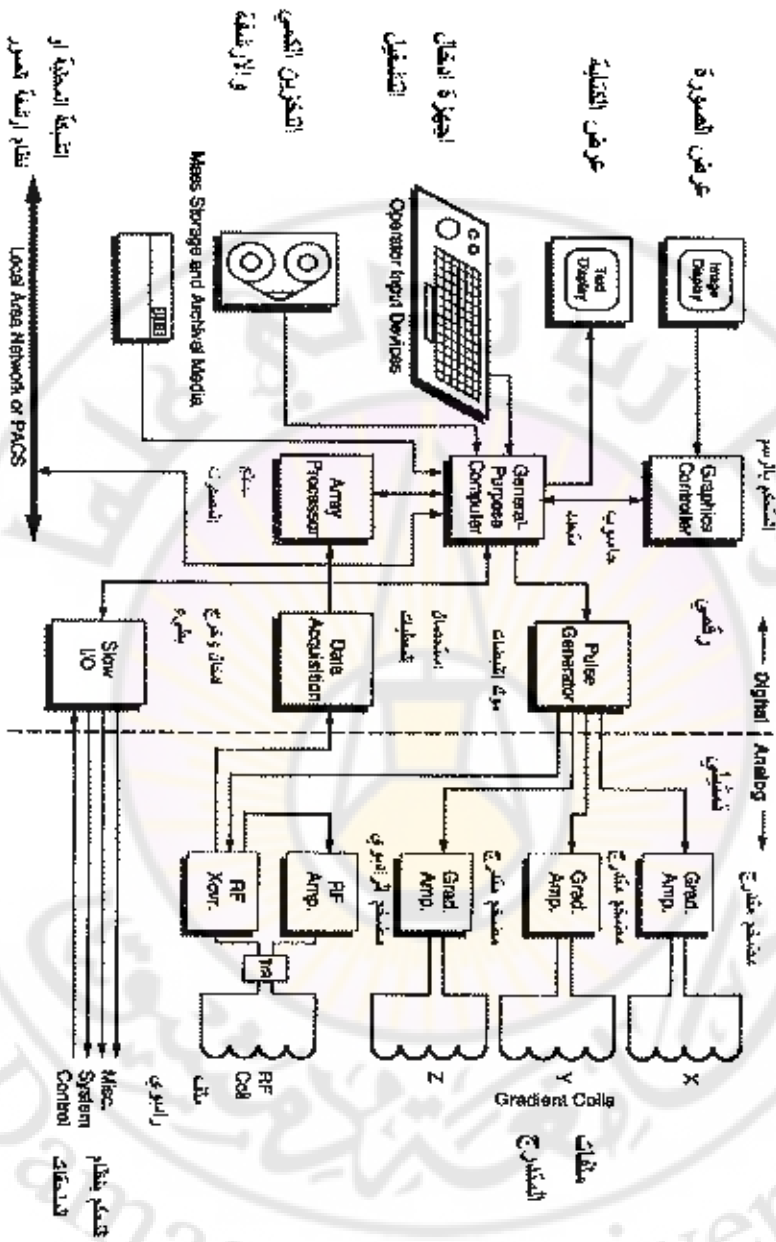


الشكل 5.11 : الأنظمة المجزأة لجهاز تصوير بالـ NMR لموجي.



الشكل 5.12 : النطاقات الرقمية والتمثيلية لجهاز التصوير بالرنين المغناطيسي.

يبين الشكل 5.13 مخططًا مبسطًّا صندوقياً لجهاز التصوير بالرنين المغناطيسي.



الشكل 5.13 : مخطط صندوقي لجهاز التصوير بالرنين المغناطيسي.

5.10.1. المغناطيس المستخدمة في جهاز التصوير بالرنين المغناطيسي :

* مقدمة :

إن مغناطيس الحقل الأساسي مطلوب لإنتاج حقل مغناطيسي ساكن مكثف وموحد بشكل كبير على كامل المنطقة المراد تصويرها. ولذلك مفيداً لأهداف التصوير، يجب أن يكون هذا الحقل موحداً بشكل كبير في الفضاء وثابت عبر الزمن. والتغيرات المجزية للحقل الرئيسي لجهاز التصوير ل الكامل للجسم يجب أن تكون أقل من المجال بين 1 إلى 10 أجزاء بـالمليون (ppm) على منطقة قطرها بشكل تقريري 40 سم. لاجاز مثل هذه المستويات من التجانس يتطلب الانتهاء الجيد لتصميم المغناطيس والتسامحات التصنيعية. لذا يتطلب أن يكون الارتفاع عبر الزمن (Temporal drift) لشدة الحقل لا يزيد عن 0.1 جزء من المليون/بالساعة (0.1 ppm/h).

توجد أربعة عوامل تميز أداء المغناط المستخدمة في أنظمة MR؛ وهي؛ قوة الحقل والاستقرار المؤقت والتجانس وحجم التجويف. لقد ثبت دراسة قوة الحقل المغناطيسي في وقت مبكر، إن الاستقرار المؤقت مهم؛ لأن عدم استقرار الحقل يؤثر عكسياً على دقة التمييز، يؤدي عدم التجانس العرضي إلى تشويه الصورة بينما يحد قطر التجويف من حجم أبعاد العينة التي يمكن تصوريها.

إن الوحدات المستخدمة في التعبير عن شدة الحقل المغناطيسي والأكثر شيوعاً هي الغلوبيں (Gauss G). لكن لالتسل (Tesla) تم اعتمادها مؤخراً كواحدة قياس عالمية لهذا السبب فهي المفضلة.

1 تسلا = 10000 غالون. إن قيمة الحقل المغناطيسي للأرض هي بحدود 0.05 ملي تسلا (5000 غالون). إن الحقل الساكن لأجهزة التصوير بالرنين المغناطيسي هي بالمجال بين 0.5 إلى 2 تسلا. إلا إن الماسحات المقيدة قد صنعت لتقطعي مجالاً من 0.02 إلى 8 تسلا. ويعرف بنسبة الإشارة إلى الضجيج (SNR) هي نسبة فولطية إشارة الرنين المغناطيسي النووي إلى فولطيات إشارات الضجيج المفاجدة ضمن المريض والأجزاء الإلكترونية لنظام الاستقبال.

إن نسبة الإشارة إلى الضجيج (SNR) هي ما تقرر إمكانات الأداء للمساحات. تزداد نسبة الإشارة إلى الضجيج (SNR) بشكل خطى مع شدة الحقل. ولذلك توجهت الجهود لإنتاج المغناط ذلت الحقل العالى في صناعة أجهزة التصوير بالرنين المغناطيسي.

5.10.1.1 أنواع المغناطيس :

يمكن إنتاج الحقول المغناطيسية من خلال استخدام التيار الكهربائي أو المواد الدائمة المغناطة كمنبع. وفي كلا الحالتين تتحفظ شدة الحقل بشكل سريع بالابتعاد عن المنبع. وبالتالي لإنتاج حقل قوي وموحد فإنه من الضروري إحاطة المريض بمغناطيسين. ويجب أن يكون مغناطيس الحقل الأساسي قوياً بشكل كاف. لذلك تم استخدام أربعة أنواع من المغناطيس في أجهزة التصوير منها:

المغناط الدائمة .permanent magnets

المغناط الكهربائية .Electromagnets

المغناط المقاومة .Resistive magnets

المغناط ذات الناقلة الفائقة

.Superconducting magnets

* المغناط الدائمة

إن كلا النوعين الأوليين من المغناط تستخدم مواداً ممغنطة لإنتاج الحقل المطبق على المريض. ففي المغناطيس الدائم يوضع المريض بين قطبي المغناطيس كما هو موضح بالشكل 5.14.

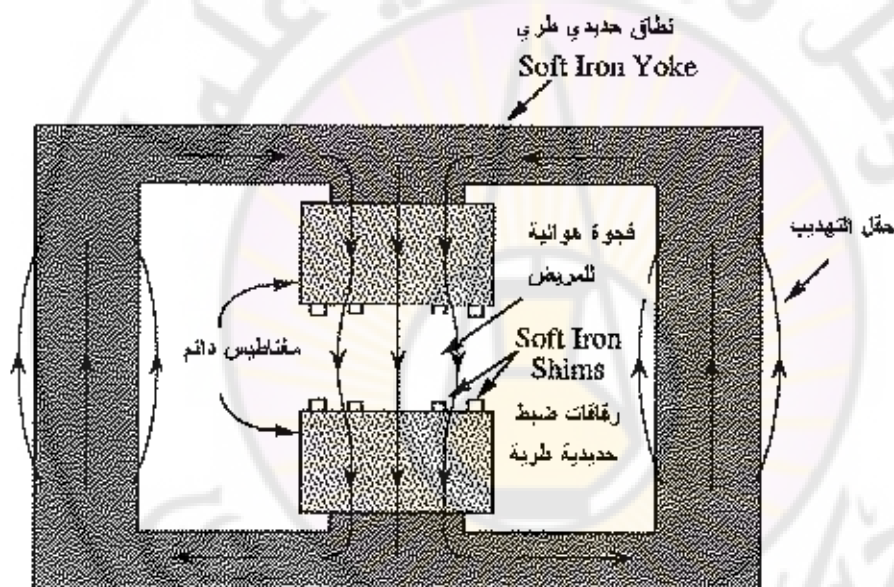
وتكون المواد المستخدمة لصناعة المغناط الدائمة إما الحديد عالي الكربون، الخلات مثل الالنيكو (Alnico) وهي سبائك مصنوعة من الألمنيوم والنيكل والكوبالت مع الحديد، السيراميك مثل خام الحديد مع الباريوم (Barium Ferrite)، والسبائك الأرضية مثل كوبالت الساماريوم Cobalt ((Samarium Cobalt).

وللمساحات المستخدمة للمغناط الدائمة بعض الميزات: فهي تتبع حقلأً تهديباً صغيراً نسبياً ولا تتطلب منبع طاقة. ولكن تميل إلى كونها ثقيلة جداً (حتى 100طن) وتتخرج حقولاً صغيرة بمحال 0.3 تسلسلاً أو أقل. كما إنها عرضة لازدياب الحقل الزمني الذي تسبب به اختلاف درجات الحرارة. وإذا صنعت أوجه الأقطاب من مواد ناقلة للكهرباء فإن تيارات أيدي (eddy currents) المسححة في أوجه الأقطاب من حقول المترadas النسبية يمكن أن تحدد من أدائها.

وقد تم وضع سبيكة من النوديميوم والببورون والحديد (Neodymium iron) لصنع مغناط دائمة للمساحات خفيفة الوزن

• المغناط الكهربائية Electromagnets

وستستخدم المغناط الكهربائية نفس المبدأ لكن تصنع أوجه الأقطاب من مواد مغناطيسية طرية والتي تسمعن فقط عندما تتأثر بملفات التيار الكهربائي المانعة حولها. وتتطلب المغناط الكهربائية استخدام منبع طاقة خارجي. وفي كل نوعي المغناط تكتمل الدارة باستخدام نطاقي حديدي طري يصل أوجه الأقطاب مع بعضها، ويجب أن تكون الفجوة بين أوجه الأقطاب كبيرة كافية لاحتواء المريض وملفات المترسج والراديوية.



الشكل 5.14 : المفاتيس الدائم المستخدم في أجهزة التصوير بالرنين المغناطيسي.

• المغناط المقاومة:

كانت أولى أجهزة تصوير كامل الجسم حيث تم تصنيعها بين 1970 إلى بدايات 1980 وقد استخدمت ستة ملفات كبيرة من أسلاك الألミニوم أو النحاس تحيط بالمرتضى. وقد تم تغذيتها بجهد كهربائي من 40 إلى 100 كيلو واط تيار مستمر. إن المقاومة الكهربائية للملفات

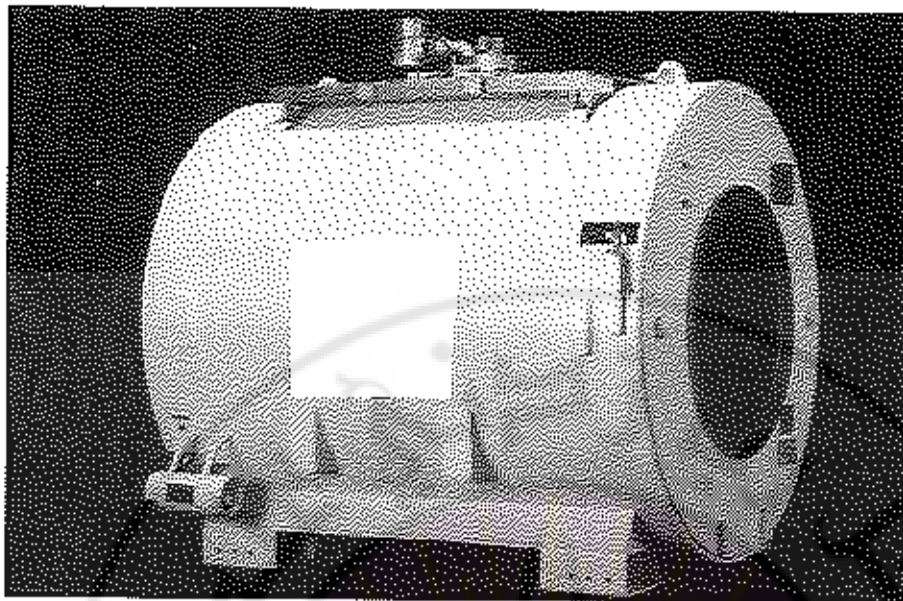
قد أدت إلى حرارات عالية ، وقد تم استخدام الماء الذي كان يمر عبر الملفات لمنع زيادة الحرارة. إن ارتفاع الحرارة كان مرتبطةً مع شدة الحقل، ولم يكن من الممكن بناء مغناطيس مقاومية تحمل عند حقول أعلى من 0.15 إلى 0.3 تسل. وفي وقتنا الحاضر فإنه من النادر استخدام مغناطيس مقاومية ما عدا من أجل حقول منخفضة الشدة من 0.02 إلى 0.06 تسل. وأغلب أجهزة الرنين المفتوحة هي ذات مغناطيسين من النوع المقاومي كما يبين الشكل 5.15.



الشكل 5.15 : المغناطيس المفتوح المستخدم في أجهزة التصوير بالرنين المغناطيسي.

• المغناطيس فائقة الناقلة:

منذ أوائل الثمانينيات فإن استخدام المغناطيس ذات الناقلة ذات التبريد إلى درجة حرارة قريبة من الصفر المطلق كانت أكثر حل مرض لمشكلة توليد حقل مغناطيسي ساكن لمساحات التصوير. قد اكتشفت بعض المواد التي تتمتع بخاصية مقاومة أومية لها تساوي الصفر عند درجات حرارة قريبة من الصفر المطلق،مثال على هذه المواد سبيكة النيوبيوم أو الليتيانيوم قد استخدمت بأكثر من آلاف المغناطيس التي هي أساس المساحات للجسم بأكمله.



منفذ نقل غاز الخطاة مغناطيس رلين مقناظيسي 1.5 تنسلا
البرودة الخارجية

1.5T MR MAGNET

OUTER COVER

CRYOGEN TRANSFER PORT

حجز الترددات

حجز الهليوم

VACUUM JACKET
ستارة سخنة

مفاتيح التثبيت
淑انة الدافعية

مفاتيح الحفل

الرئيسي

الأنيوب الداعم لل ملف

COIL SUPPORT TUBE

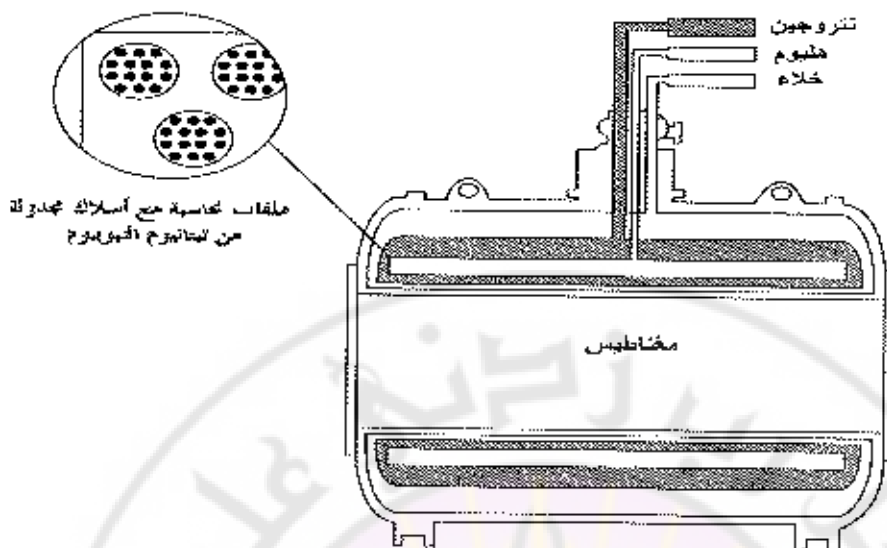
الطب

الشكل 5.16 : أ- مغناطيس فائق الباردة لجسم كنه 1.5 تنسلا، القطر الاصغر للمسحة الدائمة 1 مترا.

ب- محظط ثيفيلي للمغناطيس فائق الباردة يبقى بدرجة حرارة المليوم المسائل.

يوضح الشكل 5.16 أ و ب بنية مغناطيسين مستخدم بجهاز التصوير للكامل الجسم. ففي هذه الحالة توصل سلة ملفات من سلك فائق الناقلية على للسلسل حاملة تيار مكثف في مجال 200 أمبير لإنتاج حقل مغناطيسي 1.5 تسلا وتكون أطوال الأسانك بحدود 65 كم. ويجب أن يكون الطول الكلي لهذه الأسلاك بدون أي عيوب مثل لحام ناقص أو أي شيء يمكن أن يقطع خاصية الناقلية الفائقة. فإذا كانت الأسلاك بدون أي عيوب فيمكن أن يعمل المغناطيس في النظام الدائم أو المتواصل (Persistent mode) والذي تتلخص فكرته في أنه ما لأن يطبق التيار يمكن وصل النهايات مع بعضها البعض ويتتفق تيار متواصل بشكل لا نهائي طالما لم يفوت درجة حرارة الملفات تحت درجة حرارة التحول إلى الناقلية الفائقة. وتبلغ هذه الدرجة 10 كيلفن لسلك للتيلانيوم ثيوبيوم. ويتم إيقاء هذه الملفات عند هذه الدرجة المنخفضة بتغليفها بطبقة مزدوجة حافظة للبرودة (كما هو الحال في زجاجة التيرموس). هذا يسمح لها بالانعصار في الهليوم السائل عند درجة حرارة 4.2 كيلفن. أما الغليان المتدرج لسائل الهليوم المتبقي عن التسرب الحراري الذي لا يمكن ضبطه من خلال الطبقة العازلة يتطلب إعادة تغيير الهليوم أو تعبئته خلال فترات منتظمة. وكما إن هناك العديد من المغناطيس تستخدم تلبيسات مبردة والتي تخضع أو تزيل الحاجة إلى تعبئة خزان الهليوم السائل. إن الاستقرار الزمني لعمل المغناطيس الدائم فائق الناقلية هو شيء مميز في الاستخدام كمتابع للحقول المغناطيسية الرئيسية لأجهزة التصوير بالرنين المغناطيسي.

إن التوصيل للتغذية بالتيار في المغناطيس فائق الناقلية ضروري فقط من أجل رفع التزود بالطاقة إلى قوة الحقل المطلوبة. بعد هذا يتم فصل الوشاح بدارة ولا تحتاج إلى طاقة كهربائية إضافية. إن الحقل المغناطيسي مستقر مؤقتاً. بسبب تبخير الهليوم السائل والتنروجين السائل فإنه من الضروري القيام بتعبئة شهرية للهليوم وتعبئة أسبوعية للتنروجين. إن معدل التبخير في المساحات الدائمة كان حوالي 0.5 لتر / الساعة للهليوم السائل و 2 لتر / الساعة للتنروجين السائل. في الوقت الحاضر تستخدم عدة مغناطيسات مولدات للبرودة تخضع أو تغطي الحاجة إلى إعادة تعبئة خزان الهليوم السائل. بين الشكل 5.17 مخططًا توضيحيًا لمغناطيس فائق الناقلية. أصبحت المغناطيسات فائق التوصيل المصادر المفضل والأكثر استخداماً على نطاق واسع من أجل الحقول المغناطيسية الرئيسية لمساحات الـ MRI وذلك بسبب مقدرتها على تحقيق قوى حقول مغناطيسية مستقرة وقوية جداً بدون أي استهلاك مستمر للطاقة.



الشكل 5.17 : رسم تخطيطي لمغناطيس فائق التوصيل.

يتم الآن إنتاج مغناطيس رئيسي فائق النقاوة بقطر داخلي الفتحة يساوي 1 متر، كما هو مرغوب فيه من أجل فحوصات كامل الجسم، من أجل قوى حقول تصل حتى 2 تسلا. إن التيار المطلوب بالوشانع فائق التوصيل هو من مرتبة ± 200 أمبير وذلك في حقل مغناطيسى 1.5 تسلا نموذجي، إن قطر الوشانع هو حوالي 1.3 متر ويمكن أن يكون الطول الكلى لسلك 65 كيلو متراً. يتم تشغيل المغناطيس في النقط الدائم، هذا يعني أنه حالما يتم تأسيس التيار فمن الممكن أن يتم توصيل التهابات معاً، وسوف يجري تيار دائم ثابت بشكل غير محدود طالما أنه تتم المحافظة على حرارة الوشانع لذى من درجة حرارة التكول فائق التوصيل.

بالإضافة إلى الميزات التي لا تقبل الجدل والتي تملكتها قوى الحقول المغناطيسية العالية على جودة الصورة، فإنها تتضمن أيضاً تعقيدات فنية زائدة في بناء تجهيزات الرينين المغناطيسى بالإضافة إلى تقنية التردد الراديوى المطلوبة معاً. إن انتشار الحقل الثانوى الخارج لمغناطيس ما متناسب مع الجذر التكعيبى لقوة حقله. إذا تم بواسطة مغناطيس 0.2 تسلا تجاوز قوة حقل الأرض بعشرة أضعاف عند مسافة بحدود 6 أمتار عن المركز، فإن هذه القوة للحقل الثانوى تحدث عندذا بواسطة مغناطيس 2 تسلا عند مسافة 13 متراً. وهذا يمكن أن يؤثر جدياً على وظيفة التجهيزات الإكلينيكية القريبة مثل مكالمات الصورة.

إن قوة حقل تساوي 0.5 تسلا تعني أن المطلوب هو تردد رنين نووي يساوي 21.3 ميغا هرتز للبروتونات وقوة حقل تساوي 2 تسلا تعني أن هناك حاجة إلى 85.2 ميغا هertz. لا يمكن عند هذه الترددات العالية تطبيق وشائع ال�وائيات العادية الشكل المستخدمة من أجل الترددات المنخفضة؛ لأن السعة الذاتية للنوائل كبيرة جداً وتأثيرات الموجة المتنقلة تلعب دوراً هاماً. كذلك فإن طول النايل قابل للمقارنة مع ربع طول الموجة لحقل التردد الراديوي.

تتضمن أنظمة التصوير بالـ NMR عادة مغناطيس بكتافه جريان أعظمي من 0.5 تسلا إلى 1.5 تسلا. إن "التسلا" (T) في النظام الدولي للواحدات (واحدات آنـ SI) هي وحدة كثافة الجريان المغناطيسي. يتم في بعض البلدان استخدام وحدة "غوص" (Gauss' G) أيضاً. ومن أجل التحويل فإن $1 \text{ تسلا} = 100000 \text{ غوص} = 10 \text{ كيلو غوص}$.

تعتمد جودة صورة المسح بالـ NMR على انتظام الحقل المغناطيسي الساكن وعلى استقراره خلال مدة طويلة من الزمن. يجب أن يكون انتظام هذا المغناطيس على الأقل 20 جزء من المليون (ppm) ضمن منطقة المسح والاستقرار عند مستوى يساوي 2 أجزاء الفترات القصيرة وتحت الـ 10 ppm خلال الفترات الطويلة.

5.10.2. حقول التهذيب:

يلتقط المغناطيس القوي والكبير حقولاً مغناطيسياً قوياً في المنطقة المحيطة به كما في داخله. ويمكن أن يشكل خطراً محتملاً على الأشخاص ذوي الأجهزة الطبية المزروعة مثل نظام الخطى القلبي. ومن أجل السلامة فإنه من المفضل من ناحية الممارسة أن يتم تحديد الوصول إلى المنطقة التي يصبح فيها حقل التهذيب مكثفاً. وعادة ما تكون الحدود النظامية هي خطوط 5 غausس والتي تساوي بين 10-12 متر من مركز المغناطيس 1.5 تسلا الغير محجب. وعادة ما يكون التجبيب المغناطيسي على شكل صفائح من الحديد (التجبيب الفعال) أو ملفات خارجية تحمل تياراً في الاتجاه المعاكس لتيار الملف الرئيسي (التجبيب الفعال active shielding) والذي هو غالباً ما يستخدم للحد من المنطقة التي يكون فيها حقل التهذيب واضحاً.

5.10.3. ملفات التدرج (Gradient Coils):

هناك ثلاثة حقول تدرج، واحد لكل اتجاه في نظام الإحداثيات الديكارتية (Cartesian coordinate system) تستخدم لإعطاء معلومات كود مكانية في إشارة التصوير بالرنين

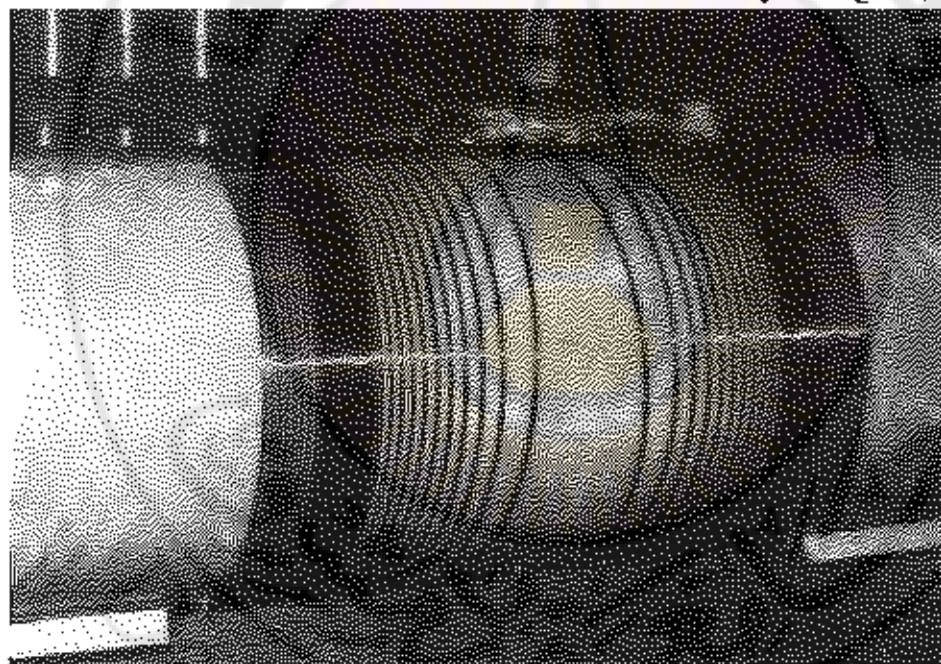
المغناطيسي ولتسهيل تصوير شرائط تفريجية رقيقة، وإضافة إلى حجمها الكبير، فإن استخدام ملفات المدرج هذه والتي تميز التصوير بالرنين المغناطيسي عن أنظمة الرنين المغناطيسي النموي المستخدم في الكيماء التحليلية. إن اتجاه الحقل الساكن على طول محور جهاز التصوير، هو تقليدياً يوحد اتجاه Z ، وهي المركبة الديكارتية الوحيدة للحقل المدرج في الاتجاه والتي تنتج في المساعدة الواضحة على الملوك الرينوي للفوائد. ولهذا فإن الحقول الثلاثة المترادفة النسبية هي :

$$G_x X = B_z$$

$$G_y Y = B_z$$

$$G_z Z = B_z$$

يوضح الشكل 5.18 ملف المدرج في الاتجاه Z تظهر الصورة لفات الملف الحلزوني على سطح أسطواني.



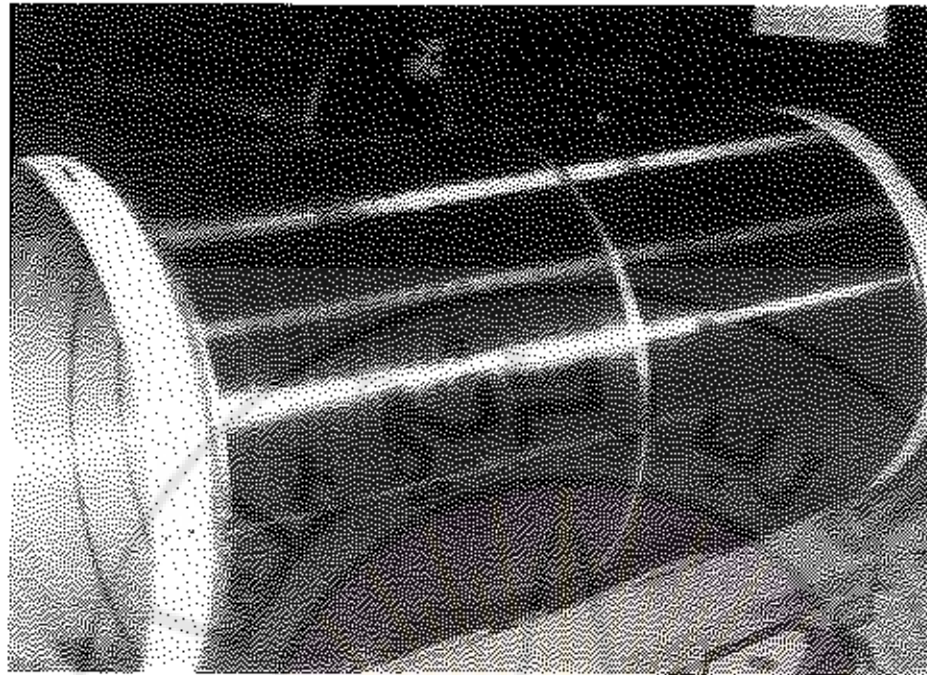
الشكل 5.18 : ملف المدرج في الاتجاه Z تظهر الصورة لفات الملف الحلزوني على سطح أسطواني.

يتم التصوير بالرنين المغناطيسي بتعريف النظم المغزلي (Spin System) لسلسلة من التدرج النبضي والحقول الرلايوية. لهذا فإنه من الضروري أن يكون هناك ثلاثة ملفات منفصلة، كل واحدة مخصصة لحقول التدرج المرتبطة بها وكل واحدة متبع الطاقة الخاصة بها وتحت تحكم حاسوبي منفصل. وعادة فإن أكثر طريقة عملية لإنشاء ملفات التدرج هي لها على شكل ملفات أسطوانية والتي تحيط بالمريض وتتووضع داخل التجويف الدافئ للمغناطيسي.

يمكن إنتاج حقل التدرج \mathbf{Z} بواسطة مجموعة من الملفات الدائرية حول الأسطوانة بحيث تعكس تيارات الملفات الموجودة على الطرفين المتقابلين من مركز المغناطيسي ($Z=0$). ولتفريح الانحرافات عن حقل التدرج الخطي الثنائي B_Z ، يمكن استخدام لف حلزوني بحيث يتم عكس اتجاه اللفات عند $Z=0$ كما يتم تقليص المسافات بين اللفات بالابعد عن مركز الملف. أما فيما يتعلق بإنتاج التدرجات على المستوى المتعامد $\{x \text{ and } y\}$ يتطلب الأمر نموذج تيار معدّ بشكل أكبر. وكما هو موضح في الشكل 5.19 حيث يبين ملف التدرج في المستوى المتعامد وتظهر الصورة نموذج الملف الخارجي لملف متدرج متعدد محجب بشكل فعال.

الحقول المتدرجة المتعامدة التي تنتج عن اللفات التي تستخدم نموذج تيار ذي أربع أرباع.

تطلب صور الرنين المغناطيسي تسلسلاً سريعاً لحقول التدرج المعتمدة على الزمن (على الثلاثة محاور)المطبقة على المريض. فعلى سبيل المثال فإن التصوير باستخدام التقنية الشائعة دور الارعاج (Spin-wrap) تستخدم نبضة تدريجية لانتقاء الشرائح (slice-selection) لانتقاء المغازل (spins) في شريحة رقيقة (3 إلى 10 مم) للمريض ومن ثم تطبق قراءات وتدرجات ترميز طوري (phase-encoding) في الاتجاهين المتعامدين لترميز المعلومات الحيزية ثنائية البعد في إشارة الرنين المغناطيسي النووي. يوضح الشكل 5.19 ملف المتدرج في الاتجاه المتعامد.



الشكل 5.19 : ملف التدرج في المستوى المتعامد.

ففي الأجهزة التموجية تمتلك ملفات المتدرج مقاومة كهربائية بحدود 1 أوم ومقاومة 1 ميلي هنري، ويمكن أن يحول الحقل المتدرج من 0 إلى 1 ميلي تيسلا بالметр (G/cm^2)(mT/m) في زمن بحدود 0.5 ميلي ثانية، وبحيث يتحول التيار من 0 إلى 100 أمبير خلال هذه المدة، وتكون الفولطية الآلية في الملفات ($L \cdot \frac{di}{dt}$) بحدود 200 فولت، ويكون تبديد الحرارة خلال فترة التحويل بحدود 20 كيلو واط. وفي عدد من التطبيقات الطبية والتي تكون متطلبة مثل التصوير القلبي فيصل حقل التدرج من 4 إلى 5 ميلي تيسلا بالметр وينحول بزمن 0.2 ميلي ثانية أو أقل. ففي هذه الحالة فإن الفولطية المطلوبة خلال تحول التدرج هي بحدود 1 كيلو فولط. وفي العديد من المتابعات النبضية، حيث تكون دورة أداء التحول منخفضة، وتسخين الملف ليس واضحاً. على كل حال فإن بروتوكولات التصوير السريعة تستخدم متدرجات كبيرة سرعة التحول (*very rapidly switched gradients*) عند دورة عمل عالية. هذا يضع متطلبات قوية على منابع التغذية، وغالباً ما نستخدم ماء تبريد لمنع تسخين فوق الحد لملفات التدرج.

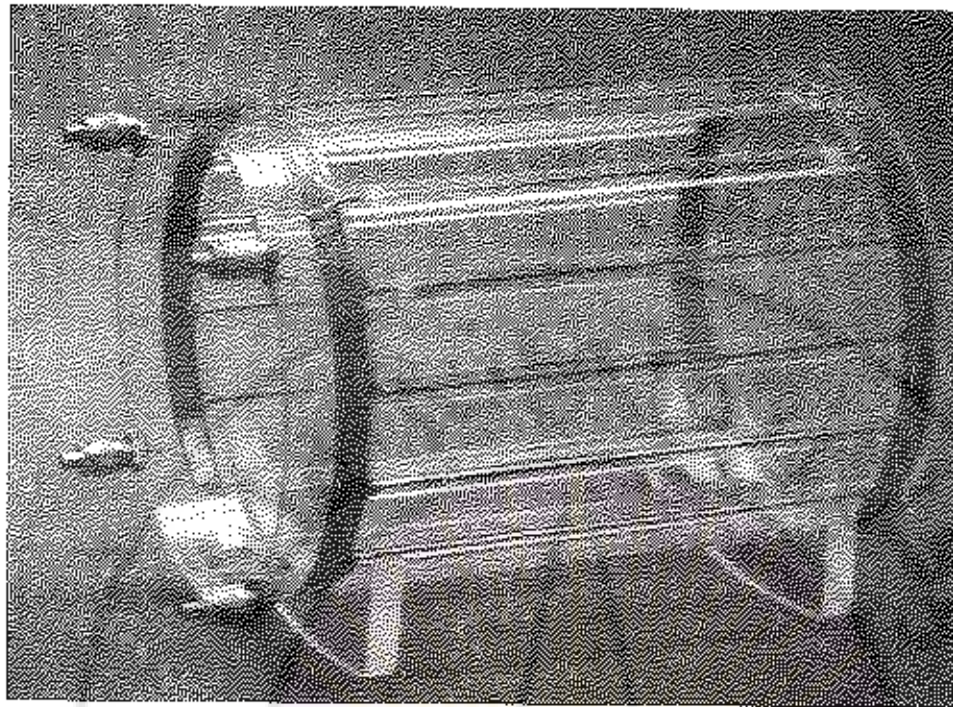
5.10.4 الملفات الراديوية:

إن الملفات الراديوية هي عناصر موجودة في كل جهاز تصوير وتستخدم لمدفرين أساسيين للإرسال والاستقبال عند توافر الطنين (الرنين) للبروتونات في المريض، تحدث حادثة المبيك (الدوران البداري) (Precession) عند توافر لارمور (Larmor frequency) للبروتونات، والتي تتناسب مع الحقل المغناطيسي الساكن. ففي Hz فإن هذا التوازن 42.58 ميغا هرتز، ولهذا فهي مجال شدات الحقل المستخدمة حالياً في ماسحات كامل الجسم (0.02 إلى 4 تسل) فإن توافر العمل يتراوح من 0.85 إلى 170.3 ميغا هرتز، فهي لجهاز التصوير الشائعة الاستخدام 1.5 تسل، يكون توافر العمل 63.86 ميغا هرتز.

إن أكثر حقل راديوبي فعال ينبع من الإثارة الرباعية (Quadrature Excitation)، والتي تتطلب ملفاً قادراً على توليد حقول بالاتجاهين X و Y وبانزياخ طوري قدره 90 درجة بينهما، وهناك ثلاثة تصنيفات لهذه الملفات الراديوية، ملفات الجسم (Body Coils) وملفات الرأس (Head Coils) وملفات السطح (Surface Coils) وهي شائعة الاستخدام في أجهزة التصوير بالرنين المغناطيسي. تتوسع هذه الملفات بالفراغ بين المريض وملفات المتردج.

عادة ما تكون ملفات الرأس والجسم كبيرة كفاية لتحيط بالمنطقة المراد تصويرها ومصممة لإنتاج حقل مغناطيسي راديوبي موحد عبر المنطقة المصورة، يتم إنشاء ملفات الجسم على أشكال ملفات أسطوانية ولها قطر كبير كفاية من 50 إلى 60 سم لتحيط بالجسم كله، بينما ملفات تصوير الرأس فلها قطر أصغر عادة 28 سم، بينما ملفات السطح فهي أصغر لتصوير منطقة محددة تشريحية، وتتأتى بأشكال ومقاسات مختلفة، حيث يمكن تطبيقها بالقرب على المنطقة المطلوب تصويرها، كما إنها تتفوق بنسبة الإشارة إلى الضجيج (SNR) عن ملفات الرأس والجسم للممناطق المحددة ولكن بسبب تصميمها الغير متوازنة فإنها لم يتم ذلك حساسية موحدة.

يبين الشكل 5.20 رنللة قفص بيرد Birdcage resonator مصممة للعمل في أجهزة المسح 4 تسل عند 170 ميغا هرتز، حيث يتم إنجاز الإثارة الرباعية (Quadrature excitation) وأداء المستقبل باستخدام اثنين من نهائين متحاورتين بانزياخ طوري 90 درجة بينهما.



الشكل 5.20 : دوامة فصوص برد **Birdcage resonator** مصممة للعمل في أجهزة المسح 4 تسلا عند 170 ميغا هرتز.
يتم الحاز الإتارة الرباعية (**Quadrature excitation**) وأداء المستقبل باستخدام التين من الهايبيون متحارررين بازياح
بلوري 90 درجة بينهما.

5.10.4.1 نظام المرسل :RF

بهدف تثبيط النوى بحيث تصدر إشارة مفيدة، يجب نقل الطاقة إلى العينة. وهذا ما يقوم به المرسل. يتألف النظام من مرسل RF ومضخم طاقة RF وملفات ناقلة RF. يتألف المرسل RF من مولد ذبذبات بلوري RF عند تردد لازمور. يتم تقويب الجهد RF بواسطة أغلفة نبضات من واجهة الربط الكمبيوترية لتوليد نبضات الـ RF التي تثير الرنين. يتم تضخيم هذه النبضات إلى مستويات تتغير من 100 وات إلى عدة كيلو وات معتمدة على طريقة التصوير ومن ثم تتم تغذيتها إلى ملف المرسل. إن مستويات الطاقة العالية ضرورية من أجل أحجام العينات الكبيرة التي يتم مصادفتها في تجارب كامل الجسم.

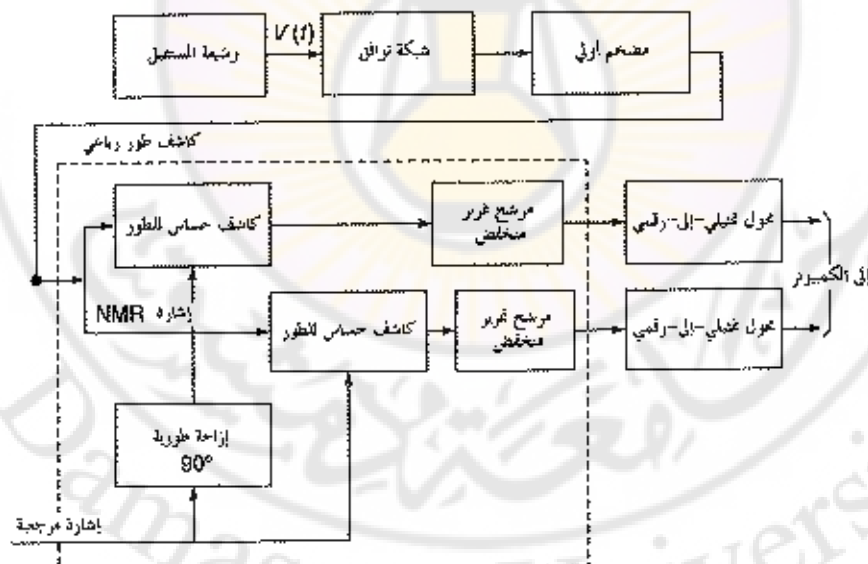
يمكن أن تكون وسائط الـ RF إما وحيدة وتخدم كمرسل ومستقبل معاً أو ملفين متخصصين متعاملين كهربائياً، يملك الترتيب الأخير ميزة اختراق النبضة المُخضبة إلى المستقبل

أثناء الفحصة. في كلتا الحالتين تفتح جميع الوشائط حقول RF متزامنة مع اتجاه الحقل المغناطيسي الرئيسي. إن الهندسة النموذجية لملفات RF هي وشائط RF التي تكون لولبية الشكل. يتم توليف الوشائط على تردد الـ NMR وتكون عادةً معزولة عن بقية النظام بوسائل سياج في قفص تحجيم الـ RF.

تهبط ترددات الرنين إلى حزمة التردد الراديوية وذلك للحقول المغناطيسية في المجال من 0.05 إلى 2 نسلاً والمستخدمة من أجل تصوير الجسم البشري. على سبيل المثال في حقل يساوي 1 نسلاً، تهتز ^{11}B عند 42.57 ميجا هرتز و ^{19}F عند 40.05 ميجا هرتز و ^{31}P عند 17.24 ميجا هرتز و ^{13}C عند 10.71 ميجا هرتز. ويكون الرنين عادةً حادًا جدًا. إن مجال 10 هرتز تكون نموذجية للأنظمة البيولوجية.

5.10.4.2. نظام الكشف:

إن وظيفة نظام الكشف (المستقبل) هي كشف المغناطة النوروية وتوليد إشارة خرج للمعالجة بواسطة الحاسوب. يبين الشكل 5.21 مخططًا صناعيًّا للمستقبل النموذجي.



الشكل 5.21 : مخطط صناعي لنظام كشف NMR.

يحيط ملف المستقبل عادة بالعينة و يعمل كهروائي لالتقاط المغادطة النوروية المتموجة للعينة و تحويلها إلى جهد خرج متوج (V) .

$$V(t) = - \frac{d}{dt} \cdot M(t, x) \cdot B_c(x) d_x \quad 5.2$$

حيث $M(t, x)$ هي المغادطة الكلية في حجم ما و $B_c(x)$ حساسية ملف المستقبل عند نقاط مختلفة في الفراغ، تصف $(B_c(x))$ نسبة الحقل المغناطيسي الذي يتم إنتاجه بواسطة ملف المستقبل إلى التيار في الملف.

إن تصميم ملف المستقبل وتوسيعها يكون بحسب نملة $B_c(x)$ أكبر مكون عرضي ممكن، يساهم المكون الطولي لـ $B_c(x)$ بمقدار صغير في جهد الخرج ويمكن تجاهله، وهذا لأن المشتق الزمني لـ $M_c(t, x)$ أقل بكثير من المشتق الزمني للمكون العرضي، فلذلك $M_c(t, x)$ أسيّاً بثابت زمني مقداره T_J ، نموذجيًّاً من 0.1 إلى 1 ثانية، بينما يكون المكون العرضي مُهتزأً بدور من 0.05 إلى 0.2 ميكرو ثانية بشكل نموذجي.

تشكل إشارات الـ RF المتغير المقلنس في التصوير المقطعي بالترنين المغناطيسي. إن هذه الإشارات ضعيفة جداً وتحتاج مطالاً في مجال الـ nV (نانو فولت) لذلك تحتاج إلى هوائيات RF مصممة خصيصاً لها، بناءً عليه تعتمد حساسية ماسح الـ MR على جودة هوائي استقبال الـ RF الخاص به، تعتمد نسبة الإشارة-إلى-الضجيج (SNR) عند المستقبل في الطريقة التالية على هوائي استقبال الـ RF وذلك من أجل مغادطة عينة ما وقوى حقول مغناطيسيّة ملائكة وحجم عينة مُعطاة.

$$\text{SNR} = K(Q/V_c) \quad 5.3$$

حيث K هو ثابت عددي خاص ب الهندسة الملف Q هو عامل مغادطة الملف و V_c هو حجم الملف.

يتضمن ذلك أنه يمكن تحسين الـ SNR للمسح بالـ MR من خلال زيادة نسبة المغادطة إلى حجم الملف إلى أقصى حد، بعض الوسائل المتوفرة عموماً هي:

• وشائع الجسم

مبنية على أشكال وشائع أسطوانية بقطر يتراوح من 50 إلى 60 سنتيمتر لتحيط بجسم المريض بشكل كامل.

* وشائع الرأس

مصممة فقط من أجل تصوير الرأس بقطر نموذجي يساوي 28 سنتيمتر.

* وشائع السطح

- ملف محجر العين/الأنف: ملف مسطح وخلفي الشكل مسطحة بقطر 10 سنتيمتر
- ملف الرقبة: ملف من وذات مسطح مستطيل الشكل ($10 \text{ سنتيمتر} \times 20 \text{ سنتيمتر}$) قادر على التكيف مع تشريح المريض الخاص.
- ملف العمود الفقري: ملف اسطواني أو خلفي الشكل بقطر 15 سنتيمتر.

* وشائع الأعضاء الداخلية

- ملف الصدر: ملف اسطواني أو خلفي الشكل بقطر 15 سنتيمتر
- ملف من نوع هيلمholtz-type: زوج من الوشائع الحلقية المسطحة لكل منها قطر 15 سنتيمتر بمسافة متغيرة بين الملفين من 12 إلى 22 سنتيمتر.

تتواءل ملف المستقبل شبكة توافق ترتيب ملف المستقبل مع المضموم الأولي بهدف زيادة نقل الطاقة إلى المضموم إلى أقصى حد. وتحتاج هذه الشبكة إزاحة طورية ϕ إلى طور الإشارة. فإن المضموم الأولي هو مضموم ذو ضجيج منخفض يضخم الإشارة وينذرها إلى كاشف طور تربيعى. يتقبل الكاشف إشارة π -NMR ذات التردد الراديوى (RF) التي تتألف من توزيع للترددات متمركز حول أو بالقرب من التردد المنقول ω_0 ويزيد الإشارة للأصفى بالنسبة إلى التردد بمقدار ω_0 . لا يتغير توزيع الترددات من خلال هذه العملية ما عدا أنه الآن متمركز حول الصفر.

تتقبل دائرة الكاشف المدخلين، إشارة π -NMR (π) والإشارة المرجعية، وتضاعفهما بحيث يكون الخرج هو حاصل الضرب للمدخلين. إن تردد الإشارة المرجعية هو نفس التردد لتبصمة π -RF المتقطعة. يتتألف خرج الكاشف الحساس للطور من مجموعة مكونين، أحدهما مجالاً ضيقاً من الترددات متركزاً عند ω_0 والأخر مجالاً ضيقاً متركزاً عند الصفر.

يزيل مرشح التمرير المنخفض الذي يتلو الكاشف الحساس للطور جميع المكونات ما عدا تلك المتركزة عند الصفر للإشارة. من الضروري تحويل الإشارة المعقدة (ثنائية) إلى إثنتين من الأعداد الرقمية بواسطة محوّلات تمثيلية- إلى - رقمية (A-D). يتم تمرير خرج المحوّل A-D على شكل بيانات تسلسلية إلى الكمبيوتر من أجل المعالجة.

5.10.4.3. نظام التدرج من أجل الترميز الحيزي:

يمكن الحصول على معلومات التوزع الحيزي من خلال استخدام الحقيقة بأن تردد الرنين يعتمد على قوة الحقل المغناطيسي، من الممكن اختيار منطقة العينة التي تم اشتقاق المعلومات منها على أساس تردد الإشارة بواسطة تغيير الحقل بطريقة معروفة من خلال حجم العينة.

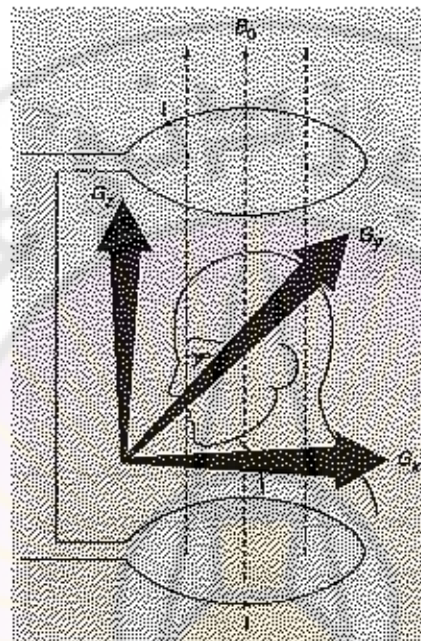
يمكن تفسير قوة الإشارة عند كل تردد بأنه كثافة نوى الهيدروجين في المستوى ضمن الجسم حيث يتطلب الحقل المغناطيسي مع التردد، تستغل طرق التصوير بالـ NMR هذه الخاصية من خلال تدرجات محددة بشكل جيد وتحكم بها بدقة لتعديل إشارة الـ NMR بطريقة معروفة بحيث يمكن لاحقاً فك ترميز المعلومات الحيزية ورسمها كصورة. يتم اختيار التدرجات نموذجياً بناءً على خصائص حيزية خطية بحيث يتطلب الطيف الترددي للـ NMR مباشرةً مع الموضع أو حتى مع واحد أو أكثر من محاور الإحداثيات الحيزية، تختلف طرق التصوير بشكل رئيسي في طبيعة التباعية الزمنية للتدرج (ساكن أو تابع للزمن بشكل مستمر أو تباضي)، كما تختلف في نوع متالية النسبة الـ NMR المستخدمة.

تم تقديم فكرة الحصول على معلومات حيزية وبناءً عليه الحصول على صور، لقد أحدثت تقدماً رئيسياً من خلال تركيب تدرج حقل مغناطيسي خطى على حقل مغناطيسي منتظم مطبق على الجسم الذي يتم تصويره. عندما يتم القيام بذلك فسوف تعتمد ترددات الرنين للنوى الدوار بشكل أولي على الموضع على طول اتجاه التدرج المغناطيسي. ينتج هذا بمقاطأة أحدي البعضين ثلثي الأبعاد. يمكن من خلالأخذ سلسلة من هذه الإسقاطات عند اتجاهات تدرج مختلفة إنتاج صورة ثنائية الأبعاد أو حتى ثنائية الأبعاد.

توجد طرق متعددة من أجل اختيار الشريحة، ولكن طريقة "الإشارة الانقاذية" في الوقت الحاضر هي الطريقة المستخدمة كثيراً وعلى نطاق واسع في كل مكان من العالم. تُعطي هذه الطريقة فقط المنطقة التي يتم عليها تطبيق نسبات لمواقيع راديوية لها نفس قيمة التردد الرئيسي، لأن التردد الرئيسي يتغير بنفس الاتجاه إلا أن التغير في وقت واحد على حقل ساكن منتظم وعلى حقل مغناطيسي متدرج يتغير خطياً في الاتجاه العمودي للطبيعة التي تتم متابعتها. سيتم تحديد الصفة المميزة للشريحة من خلال شكل النسبة وسيتم تحديد سماكة الشريحة بواسطة عرض ونرخ النسبة.

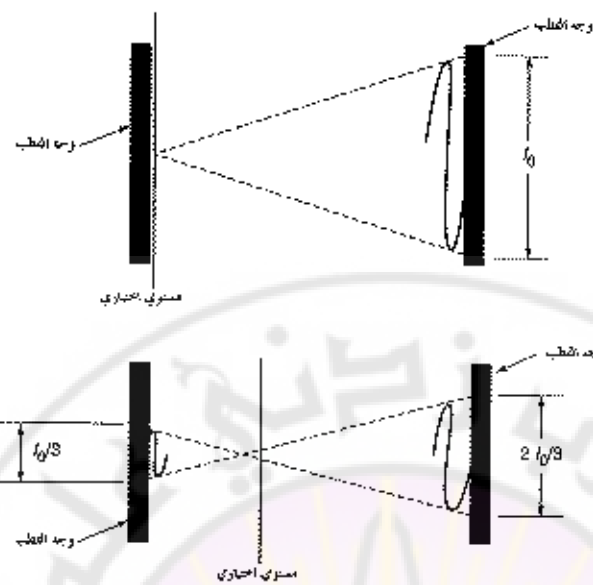
يتم في النهاية الـ NMR، من أجل تمييز الإشارات الصادرة بواسطة الجسم حيزياً، تغطية الحقل المغناطيسي المنتجنس الأبدائي B_0 في الأبعاد الحيزية الثلاثة كلها X وY وZ.

بواسطة حقول ذات تدرج - حقول مغناطيسية خطية صغيرة G . يتم تمثيل حقول التدرج هذه في الشكل 5.22 بواسطة أسمى ذات سماكة متزايدة لتوسيع الزيادة الخطية في قوة الحقل المغناطيسي. يتم إنتاج حقول التدرج بمساعدة وشائع حاملة للتيار ويمكن تشغيلها أو إطفاؤها كما هو مرغوب أثناء تطبيق طاقة الـ RF وأيضاً في أي طور من عملية القياس معاً.



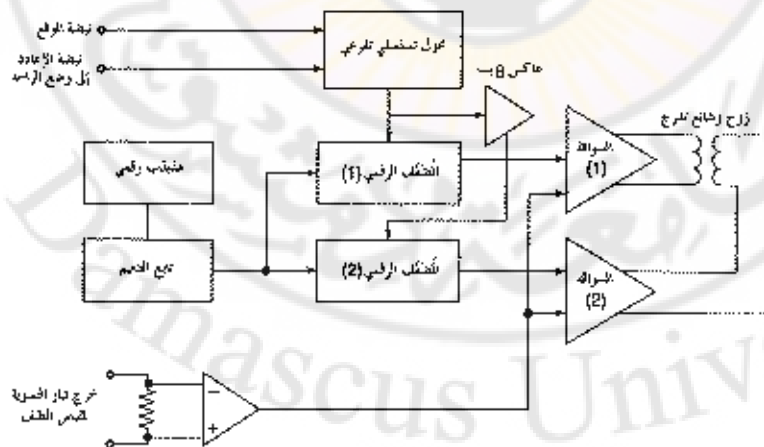
الشكل 5.22 : ترتيب تدرجات الحقل.

يبين الشكل 5.23 مبدأ لاستعمال حقل التدرج من أجل انتقاء مستوى ما. وكما وُصفَ سابقاً يتم استخدام تدرجات متزايدة بمكان ما بطريقة النقطة الحساسة، إن الغالية من التدرجات المتتالية هي تأمين مستوى متغير بالازم منفصل ولكن قابل للحركة (أو حساس) بحيث يمكن التحسس لعدة مواقع دون الحاجة إلى تحريك المكونات الفيزيائية للعينة أو نظام المغناطيسين. يستطيع المرء بواسطة زوج من وشائع الحقل ومن خلال تدرجات متممة متزايدة وضع مستوى حساس ما تحت التحكم المغناطيسي وبناء عليه تحت التحكم الإلكتروني. وكما هو مبين في الشكل 5.24 يستطيع المرء تحريك مستوى حساس ما إلى أي مكان بين ملفي التدرج من خلال التحكم بالمطال النصبي للإشارات لكل ملف.



الشكل 5.23 : استخدام مطال أثياب الجبلي لتحديد موضع المستوى الاتقاني.

يتم في المراجع وصف ترتيبات متعددة للدارات من أجل التحكم بدرجات الحرارة المعنطاطيسية. استخدم Fitzsimmons, 1982 كميكروبرأ للتحكم بمحمل التدرج. يبين الشكل 5.24 مخططًا صندوقياً لنظام المستخدم. يمكن تجزيء البيئة الصلبة (Hardware) إلى أربعة أنظمة جزئية.



الشكل 5.24: مخطط صندوقى لنظام التحكم بالدرج. كل زوج من الملفات X وY وZ يملك دارة التحكم الخاصة به.

يتضمن النظام الجزائري الأول واجهة المربيط بين الكمبيوتر ونظام التحكم بالتدريج. إن وظيفته الأولية هي السماح بالتوسيع المستقل للمستويات الثلاثة غير المتغيرة بالزمن (X و Y و Z). إن الدارة بشكل أساسي هي عبارة عن محول من تسلسلي إلى تفرعي بأزمنة إعادة مستقلة إلى وضع البداية. يحتاج ذلك إلى ستة خطوط تفاصيل فقط من الكمبيوتر الرئيسي. إن العدد الأعظمي لمواقع المستويات محدود على العدد 256 الكافي لمعظم تطبيقات التصوير.

تسمح مجموعة المفاتيح بما بالتحكم اليدوي أو المبرمج على كل موقع مستوى.

يتالف مولد الذبذبات الرقمي من الموقت 555 تلبيه مسجلات الإزاحة. تزير المسجلات الثنائي عشرة موجة جيبية بينما تزير الثنائي عشرة مسجلة الأخرى الموجة التجريبية. يسهل مولد الذبذبات الرقمي تغيير تردد الخرج عبر مجال عريض جداً خلال استعمال التحكم الوحيد. يمكن أيضاً تعديل مولد الذبذبات الرقمي بسهولة ليسمح بالتدريج المتحكم به بالكمبيوتر للخرج لينتاج أشعة جيبية وتجريبية معددة مسبقاً. يستخدم الدخل شمالي الخانات (8-بت) من دارة واجهة الربط مباشرة للتحكم بالمُخدم الأول بينما يتم عكس نفس الخانات الثمانية للتحكم بالمُخدم الثاني. ينتج عن ذلك خرجين لموجتين جيبيتين متتممتين لبعضهما البعض ويمكن تدريجهما من خلال 256 موقعاً، يعطي التيار الناتج I_0 بواسطة:

$$I_0 = I_{cell1} - I_{cell2} \quad 5-4$$

يُضخم بعدها خرج المُخدمات بالجهد بواسطة مضخمين عملياتيين قبل الدارات المقادمة. يتطلب التحكم بالتيار بواسطة ملف التسوية أن يكون التحكم المستخدم في ضبط ترددات الحقن الساكن متوفراً من أجل إصداد مستويات التيار المستمر (DC) والتي يتم تراكم التترجات المتتالية عليها. يخدم أحد المضخمات العملياتية في هبوط الجهد التفاضلي عبر حمل وهو مي (dummy) (يملك نفس مقاومة ملف التسوية) وينتج خرجاً ما يكون عندها ذا ترابط DC مع السوافات.

تستخدم صوارات التيار العالي التصميم التقليدي بمضخم عملياتي وحيد يؤمن الدخل للسوافة و لزوج متتم من فرانزستورات الطاقة لتأمين تيار كاف لملف التدرج.

تملك وشائعاً التدرج في المساحات التقليدية مقاومة كهربائية بحدود 1 أوم [Ω] وتحرص بيسلي 1 ملي هنري [mH]. إن حقول التدرج مطلوبة ليتم تحويلها من صفر إلى 10 ملي نتسلا/المتر في حوالي 5 ملي ثانية. يتحول التيار من صفر إلى حوالي 100 أمبير في هذا الفاصل. إن تقييد الاستطاعة أثناء فاصل التحويل هو بحدود 20 كيلو وات [kW]. يضع

هذا متطلبات صعبة على التزويد بالطاقة ومن الضروري في أغلب الأحيان لاستعمال التبريد بالماء لمنع التسخين الزائد لمفاتن التدرج.

إن متطلب التزويد بالطاقة مرتفع تماماً لأن سويفات التدرج X و Y تعمل في المجال من 4-6 أمبير . وبسبب وجود سويفتين لكل بعد فإن المتطلب الكلي يساوي على الأقل 20 أمبيراً. تحتاج السوافة Z إلى تيار أقل بكثير بسبب هندسة الملف و الموضع بالنسبة إلى الحقول الرئيسية.

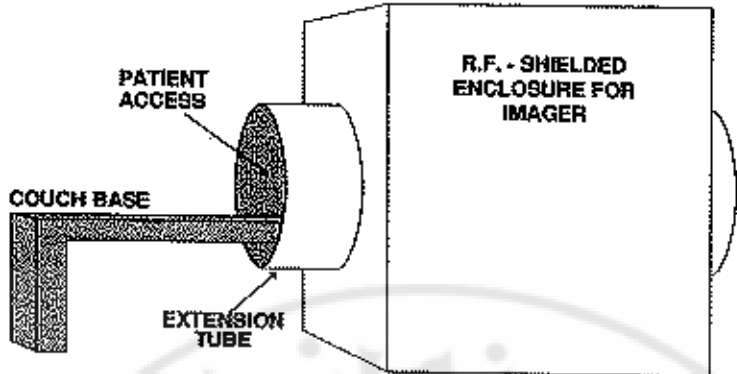
تتعلق متطلبات البرمجيات فقط بإعادة إعداد التدرج الفعلي ويعدّن ترسّل عدداً مناسباً من النبضات إلى واجهةربط التحكم بالتلدرج، يتطلب هذا ببساطة أن يكون المسجل مُحملًّا بعدد متطابق مع موقع المستوى المرغوب وأن يتم تنفيذ عد تزاري مخرج نبضة عند كل تلاقصن للمسجل. يتم في البرنامج تخزين السلسلة الكلية لإعدادات المستوى في ذاكرة بحيث يتم في كل مرة يستدعي البرنامج فيها من قبل المستخدم تحميل المؤشر الذي يختار العدد التالي في اللائحة وينقل المتحكم بالتلدرج خطوة تقريباً ويزيد المؤشر ويعود إلى برنامج الاستدعاء الرئيسي.

إن الدرجة العالية من الخطية في تدرجات الحقول المغناطيسية أساسية يقصد إعادة بناء صورة NMR دقيقة من الإسقاطات، من خلال الوشائع المصممة جيداً ستكون الأخطاء الناتجة عن التدرجات غير الخطية ربما غير جلية في الصورة الطبيعية لأن الصورة ستبقى واضحة وسوف لن تحتوي على أجسام ذات شكل صلب أو أجسام ذات حواف حادة من أجل مقارنة متقاربة.

ولكن يتم تصميم وسائل التدرج هذه عادة لتحقيق الخطية بشكل أمثل في مركز المنطقة، وتصبح خطية التدرج بعيداً عن المركز أسوأ بشكل تصاعدي، وبدون ترميم سوف لن تعطي الصورة معلومات دقيقة عن المناطق البعيدة. بناء عليه تؤدي تدرجات الحقول غير الخطية إلى تشويه هندسي للصورة التي يُعاد بناؤها من الإسقاطات.

5.10.5 تحجّب التردد الراديوّي:

يوضع الشكل 5.25 تحجّب RF جهاز التصوير بواسطة قناة توسيع.

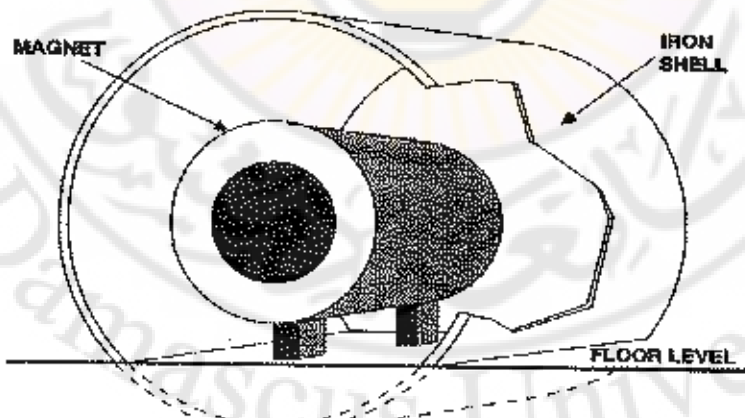


الشكل 5.25 : تحجيف RF جهاز التصوير بواسطة لفاف توسيع

عندما ينحني الفراغ ومن أجل أجهزة الحقل العالي عامةً فالحل الأفضل هو وضع جهاز التصوير في غرفة محجوبة بترس إلكترومغناطيسي والاحتياط بكل الأجهزة الإلكترونية والحواسيب خارجاً. وهذا أفضل من عرض المريض. حيث إن جهاز التصوير يمكن أن يكون مفتوحاً أكثر ويمكن أيضاً لممرضة مساعدة أن تبقى في الغرفة المحجوبة مع المريض.

5.10.6. تحجيف المغناطيس:

إن هذا يبدو هاماً لأجهزة التصوير ذات الحقل العالي حيث يكون الفراغ محدوداً. إن الحقل الخارجي من رتبة 2 نسلاً من مغناطيس الناقلة الفائقة ويمكن أن يؤثر بشكل خطير على التجهيزات في الغرف المجاورة. يوضح الشكل 5.26 تحجيف غرفة المغناطيس فائقة الناقلة.



الشكل 5.26 : تحجيف غرفة المغناطيس فائقة الناقلة.

5.5. تقنيات إعادة بناء الصورة

Image Reconstruction Techniques

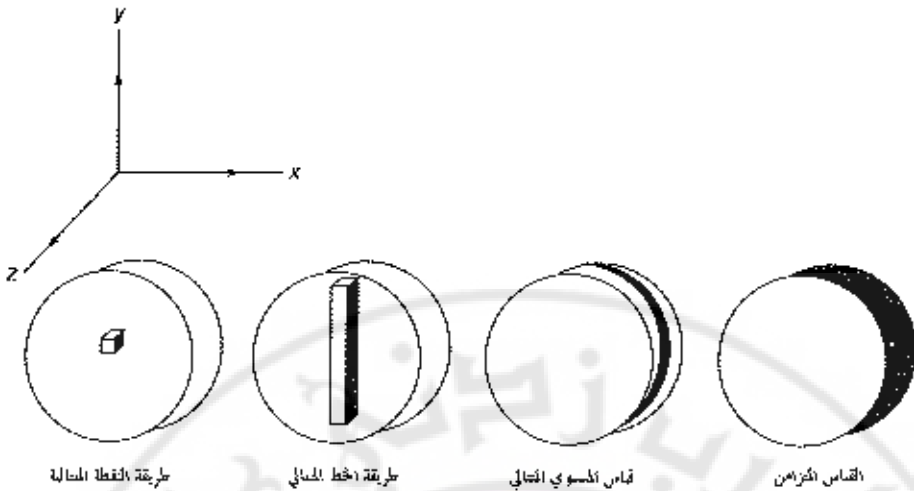
تم خلال العقود الماضيين افتراض و عرض تقنيات متعددة تتمكن من التمييز الحيزي ورسم خريطة لإشارات الرنين المغناطيسي النووي (NMR) في الأجسام المتغيرة المخواص. وكما شرح سابقا فإنه من الضروري، لإنتاج صور بواسطة \perp -NMR، التمييز بين إشارة \perp -NMR الناشئة عن مناطق مختلفة من العينة، ومن أجل هذا الغرض يتم تطبيق حقل مغناطيسي متدرج مع الحقل المغناطيسي الرئيسي المتغير بمساعدة وسائع إضافية للتيار.

وهكذا يكون تردد الرنين ثابتا في المستويات المتعامدة مع اتجاه التدرج. إذا تم تحليل طيف إشارات \perp -NMR المقاسة، يتطابق بعدد المطال الطيفي للتعدد الخاص مع مساهمة الإشارة لجميع العزوم المغزلي الناشئة الدورانية في مستوى مرافق عمودي على الحقل المتدرج المطبق.

إن المظاهر المثير للـ NMR هو متدرجه على إنتاج صور طيبة مبنية على أساس أربع خصائص منفصلة للنسيج، يمكن أن يتم تركيب إحدى صور \perp -NMR مبنية على أساس كثافة بروتون النسيج؛ ويمكن إنشاء صورة أخرى تمثل توزع زمن الاسترخاء T_1 لنفس المقطع، وبينس الطريقة يمكن توليد صورة ثالثة للمقطع مماثلة توزع زمن الاسترخاء T_2 ويمكن أيضاً إعادة بناء صورة NMR أخرى حساسة للجريان.

بالرغم من أن بعض تجهيزات التصوير بالـ NMR قادرة على إنتاج صور \perp - T_1 و T_2 ، فإن معظم صور \perp -NMR الحالية تمثل خليطاً من المعاملات الأربع لتحمين التشريح الوصفي أو الباثولوجي للعضو أو المنطقة ذات الاهتمام.

لقد تم استخدام عدة مخططات لتصنيف الطرق المتعددة للتصوير بالـ NMR. يوضح الشكل 5.27 بعض هذه التقنيات. إن نظام الإحداثيات المستخدم هو الذي يكون فيه المحور Z متطابق مع المحور الأسطواني لحجرة التصوير للمريض.



الشكل 5.27 : (1) طريقة النقطة المائية (2) طريقة الحفظ المائي (3) قياس المستوى المائي (4) قياس متزامن.

5.11.1 أساسيات بناء الصورة:

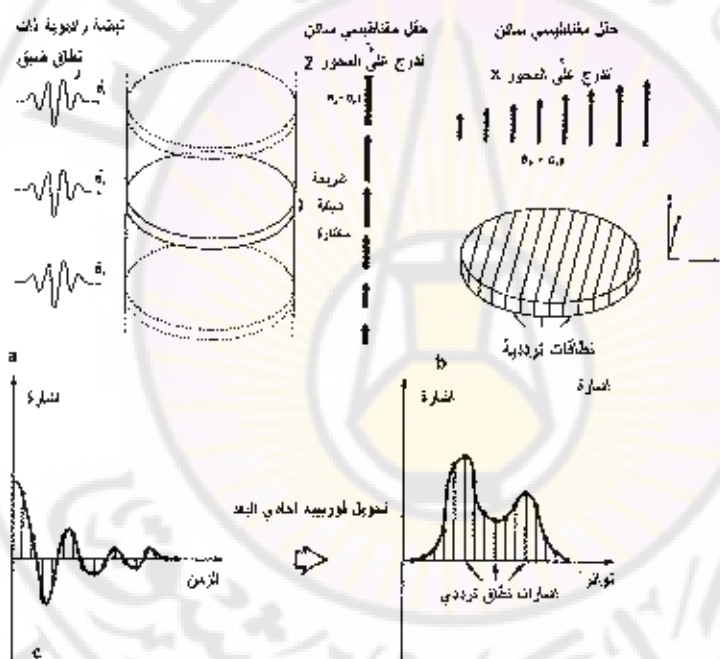
إن الطريقة الأكثر شيوعاً في جمع المعلومات وبناء الصورة في التصوير بالرنين المغناطيسي، هي بولاسطة تحويل فورييه ثانوي البعد. ففي التصوير باستخدام تحويل فورييه ثانوي البعد، يتم إثارة مستوى محدد من الأنسجة ومن ثم تحصل المعلومات من السطح ككل خلال قراءة الإشارة. يتم اختيار المستوى المطلوب أو المقطع من خلال إثارة النسيج بارسال ثبضات ذات ترددات راديوية بمجال ضيق من خلال المريض بينما يتم تطبيق تدرج مغناطيسي عبر اتجاه المقطع المختار والاتجاه يكون متزاماً مع المقطع المطلوب (تطبيقي تدرج على المحور Z سوف يتم اختيار مقطع محوري متزامد مع المحور Z الشكل 5.28a).

تدعى هذه الآلية بالإثارة الاختيارية. يقرر التموضع المعين للمقطع من خلال التماذل بين الترددات الراديوية المرسلة عبر المريض وتوافرت الرنين في المريض تبعاً للحقل المغناطيسي الساكن المطبق والمترافق.

تقرر شدة المقطع المختار من خلال شدة المقطع المختار بالمترافق ومجال التواترات (عرض النطاق) للنبضة الراديوية المرسلة عبر المريض، فالمقطع الرقيق ينتج من حالتين إما تدرج أكثر شدة (ميلاً) أو عرض نطاق تردد أضيق للنبضة الراديوية، وما أن يتم إثارة المقطع، يتم فصل تدرج اختيار المقطع.

أما الدقة (Resolution) ضمن المقطع المختار فتتم من خلال تطبيق تدرج مغناطيسي عبر المقطع نفسه (In-Plane) (على سبيل المثال في الاتجاهات x, y) قبل وخلال قياس الإشارة. بدون تطبيق التدرج فإن جميع الأنسجة ضمن المقطع المختار سوف ترن (Resonate) عند نفس التواتر.

على سبيل المثال إذا طبق تدرج القراءة، أو تميز التواتر على اتجاه المحور X خلال قياس الإشارة، فإن تواتر الرنين يتغير كتابع للمحور X ، موزعاً الإشارة في المستوى إلى مجال إشارات ترن بتوافرات رنين بسيطة الاختلاف تبعاً لموقعها على المحور X . أي إن هذا الفعل يقسم المستوى إلى مجموعة من النطاقات وكل نطاق يرن عند تواتر ذي اختلاف بسيط عن غيره (الشكل 5.28).



الشكل 5.28 - (a) يتم اختيار المقطع بإرسال بعثة راديوية عريضة النطاق داخل المريض يوجد تدرج اختيار المقطع (في هذه الحالة التدرج على المحور Z). (b) تحقق الدقة الجزيئية في اتجاه واحد ضمن المستوى المختار بتطبيق تميز تردددي، أو تدرج القراءة (في هذه الحالة التدرج على المحور X) خلال قياس الإشارة من المستوى كله، إن التأثير التدرج المتميز الترددي هو تقسيم المستوى إلى نطاقات أنسجة، كل منها يرن ب مجال ترددي مختلف قليلاً عن غيره. (c) إن لياث الإشارة بالنسبة للزمن (على اليسار) يمكن ترجمتها إلى شدة إشارة ضمن كل نطاق ترددي (على اليمين) وذلك باستخدام تحويل فورييه أحادي البعد للإشارة المرتبطة بالزمن.

إن الإشارة المعتمدة على الزمن من المستوى الكلي تقاس بفترات عدّة تتراوح من الفولت الثانية إلى العديد من عشرات الميلي ثانية.

يقوم تحويل فورييه أحادي البعد (الإشارة المعتمدة على الزمن) على تحويل الإشارة من إشارة معتمدة على الزمن إلى إشارة كتابع لتوافر الرنين (الشكل 5.28c).

ونظراً لأن التوافرات المختلفة تتشعب لأماكن مختلفة على الاتجاه X، فإن تحويل فورييه يقطع الإشارة من مستوى كامل إلى شدات الإشارة لكل نطاق تردد يضم من المستوى المختلط (الشكل 5.28c).

إن عدد النطاقات التردديّة هو مسليٌّ لعدد التقياسات للإشارة المعتمدة على الزمن (عادة 256) مقررة عدد عناصر الدقة الحيزية باتجاه ترميز التوافر.

على كل حال من خلال التحصيل لمستوى وحيد لا يمكن استخراج الإشارات من خلايا حجمية (Voxels) لكل نطاق تردد، كل ما يمكن معرفته من خلال تحصيل المعلومات للمستوى الوحدّي هو مجموع الإشارات من كل الخلايا الحجمية لكل نطاق.

لمعرفة الإشارة من كل خلية حجمية يجب تحصيل عدد من المستويات المختلفة (على سبيل المثال 128 أو 256)، كل منها يتم تحصيله من خلال شدة التدرج ذي الترميز الترددي (Frequency-encoding gradient strength).

وبالتالي يمكن فصل المستوى لنفس النطاقات التردديّة بكل إعادة للمتابعة.

بعد أن يتم قلب المغفطة إلى المستوى المتعامد مباشرةً وقبل القياس للإشارة لكل إعادة للمتابعة، يطبق تدرج في اتجاه المستوى نفسه (على سبيل المثال الاتجاه Z) وذلك لترميز الإشارات للخلايا الحجمية بموقع مختلف من خلال الكمية النسبية للحركة البدارية والازياح الطوري.

وبهذا يدعى التدرج بالتدريج ذي الترميز الطوري، وتقرر كمية الازياح الطوري من خلال شدة وزمن التدرج ذي الترميز الطوري المطبق وموضع التسريع عبر اتجاه الترميز الطوري (في هذه الحالة المحور Y).

إذا لم يطبق تدرج بترميز طوري، وبالتالي فإن جميع الخلايا الحجمية عبر كل نطاق تردد هي بنفس الطور. هذا يعني أن مغفطة كل الخلايا الحجمية تكون بنفس الاتجاه في لحظة معينة (الشكل 5.29a).

وبدون ترميز طوري، فإن الإشارة المقاسة من كل نطاق تردد هو مجموع الإشارات من كل خلية حجمية عبر ذلك النطاق.

بتطبيق تدرج بالاتجاه Z معرف الشدة والفتراء الزمنية قبل قياس الإشارة، وبالتالي حيث كمية معلومة من الانزياح الطوري بين كل خلية حجمية (Voxel). نتيجة لهذا الترميز الطوري يتكون فرق طوري يمكن التعبير عنه بين الخلايا الحجمية عبر كل نطاق تردد ينبع ل الواقعها على الاتجاه Z وتتقل الإشارات بشكل مختلف عما لو كان غالب الترميز الطوري (الشكل 5.29 a & b).

من خلال جمع 128 أو 256 مستويات (Planar)، وكل منها مطبق عليه شدة تدرج مرمز طورياً مختلف (Unique Phase-encoding strength)

أي لكل خلية حجمية انزياح طوري متميز وتنقىل للخلية الحجمية عبر كل نطاق تردد. إن عدد خطوات الترميز الطوري المميزة تقرر الدقة الحيزية في اتجاه الترميز الطوري (الشكل 5.29d). يتم استخدام تحويل فورييه ثانوي البعض لفك ترميز شدة الإشارة من كل خلية حجمية لمجموعة من العديد من التصصيلات السطحية، كل وبكمية مختلفة من الترميز الطوري. يمكن تلخيص تحويل فورييه ثانوي البعض لتصصيل الصورة بالشكل 5.30.

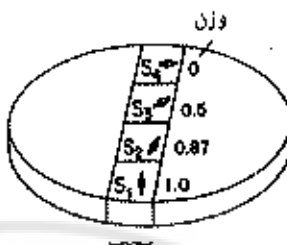
تدرج بدون ترميز طوري



$$S_{\text{Total}} = S_1 + S_2 + S_3 + S_4$$

a

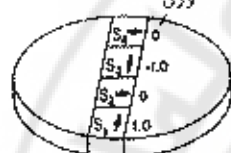
تدرج ضعيف مرمز طوري



$$S_{\text{Total}} = S_1 + 0.87S_2 + 0.5S_3$$

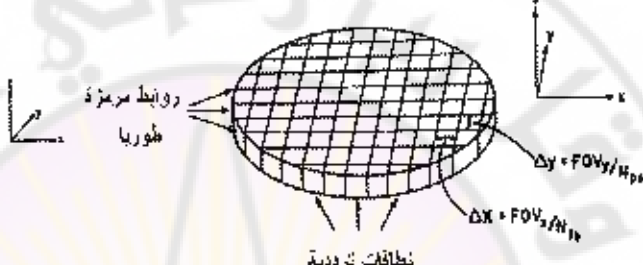
b

تدرج قوي مرمز طوري



$$S_{\text{Total}} = S_1 - S_3$$

c



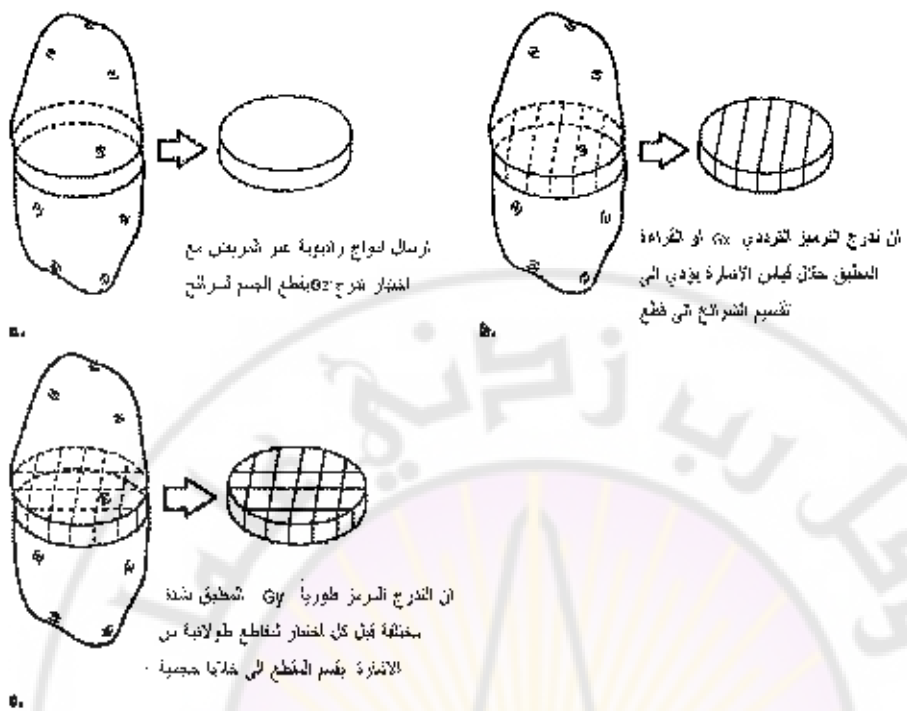
d

الشكل 5.29-(a) إن استهلال الإشارة (أ) من المستوي المختار دون ترميز طوري يترك الخلايا الحجمية المتصلة في كل نطاق فردي متوقفة طوريًا، وبالتالي فإن الإشارة المقاسة هي مجموع الإشارات من كل خلية حجمية.

(b) بتطبيق تدرج ترميز طوري ضعيف باتجاه y قبل فياس الإشارة يتيح كمية صغيرة من الاتزاح الطوري من خلية خلية، وبذلك توزن مختلف من كل نقطة لكن نطاق فردي معروف.

(c) بتطبيق تدرج ذاتي ترميز طوري أقوى يتيح اتزاح طوري أكبر من نقطة إلى نقطة أخرى وبوزن مختلف لشدة الإشارة من الخلية المختلفة.

(d) ويجعل المعلومات الكافية من العديد من المستويات كل ترميز طوري مختلف وبالتالي بوزن نسبي مختلف، وبالتالي يمكن الوصول للإشارات من النقاط المنفصلة ضمن كل نطاق تردددي. يقرر مقاييس البكسل في اتجاه (الترميز الترددي) Δx والذي يرمز له بـ H_{Pe} يقرر بمقابل المرقبة (FOV) في اتجاه x (FOV x) وعدد البكسلات في اتجاه x (N pe)، وبشكل مشابه ان مقاييس البكسل في اتجاه y Δy بالاتجاه الترميز الطوري والتي هي في كثير من الحالات تكون متساوية بعدد خطوط الترميز الطوري المميزة (N pe).



الشكل 5.30 - (a) اختيار المقطع، يتم خلال إرسال بعثة راديوية داخل المريض بوجود اختيار الشرحنة $\pi/2$ له تأثير قطع الشرحنة (b) تطبيق ترميز ترددی او تدرج القراءة خلال قراءة الإشارة له تأثير قطع الشرحنة إلى أصوات (c) قبل ليس الإشارة فإن تطبيق الترميز طوري (و بشدات مختلفة لكل مرحلة في المتابعة النصفية) له تأثير تقطيع الأصوات إلى حجمية مكعبية.

في العديد من وحدات التصوير، تكون نسبة الإشارة إلى الضجيج غير كافية لصورة منقطة ومتعدّل بناؤها بالطريقة الموصوفة سابقاً. وإحدى الطرق الشائعة لتحسين نسبة S/N هي تحصيل أكثر من مستوى واحد من الإشارة عند كل خطوة من المتدرج بالترميز الطوري. على سبيل المثال فإن تحصيل أربعة مستويات عند كل خطوة من الترميز الطوري وحساب معدلاتها، هذا يضاعف S/N في الصورة الناتجة. على كل حال فإن زمن التصوير الكلي يزداد متناسبًا مع عدد المستويات المحصلة عند كل خطوة بالترميز الطوري، ولهذا فإن تحصيل أربعة مستويات لكل خطوة ترميز طوري يزيد من زمن التصوير الكلي لأربع مرات.

كما في زمن TR وعدد خطوات الترميز الطوري تؤثر على زمن التصوير الكلي

كما يلي:

$$T_{\text{total}} = (N \text{ aqs})(Npe)(TR) \quad 5-5$$

Naqs : عدد المستويات المحصلة عند كل خطوة من الترميز الطوري.

Npe : عدد خطوات الترميز الطوري.

فعلى سبيل المثال، في الصورة ذات الاستعادة العكوسية (Inversion recovery) أو الحالة

SE حيث:

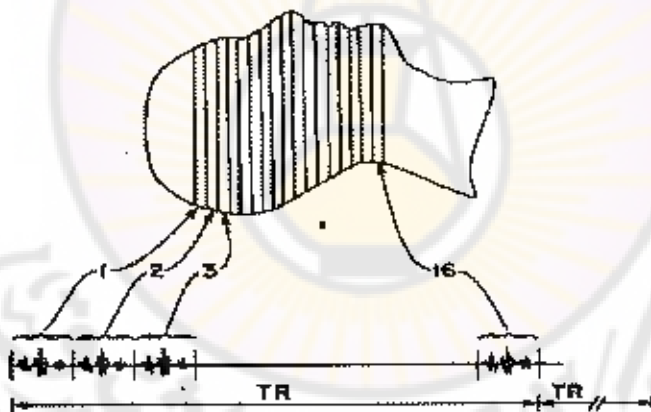
$$Naqs=2$$

$$Npe=256$$

$$TR=2 \text{ seconds}$$

$$Ttotal=2\times 256\times 2 \text{ sec.}=1024 \text{ Sec.}= 17.1 \text{ minutes}$$

يسمح تحويل فورييه ثانوي بعد لسطح متعدد المقاطع، بتحصيل عدد من المقاطع بنفس زمن التصوير الكلي والذي يتطلب تصوير مقطع واحد. يتم هذا من خلال إزاحة التولترات وإرسال نبضات لإثارة وقياس الإشارة من عدد من المقاطع بينما تنتظر حادثة الامتراء للمقاطع المثيرة سلباً. ما يحدد عدد المقاطع التي يمكن إثارتها هي TE، TR، والזמן الكلي اللازم للانتهاء من قياس الإشارة وتشغيل التدرج قبل الإثارة للمقطع التالي (الشكل 5.31).



الشكل 5.31 - تحصيل المعلومات من عدة مقاطع يمكن الحصول عليها بدون زيادة التصوير الكلي من خلال إثارة ومن ثم قياس الإشارة مقطع واحد من المريض، ومن ثم إزاحة التولتر بشكل بسيط وإثارة وقياس الإشارة من مقطع مختلف خلال فترة TR واحدة.

تقرر عدد المقاطع الاعظمي والتي يمكن الحصول عليها من SE أو التصوير بالصدى المتدرج (Gradient Echo) لأزمنة TE، TR بالمقدار:

$$TR/(TE+TC) = 5-6$$

حيث إن TC هو ثابت يمكن أن يتراوح من عدد من الميلي ثانية إلى عدة عشرات من الميلي ثانية $TC = 40 \text{ m sec}$. حتى 20 مقطع يمكن الحصول عليه بنفس زمن التصوير والذي هو ضروري لتحصيل مقطع واحد بنفس قيم N_{ags} , N_{pe} , TR . فإذا ما تم الحصول على أصداء متعددة فإن TE المستخدمة في المعادلة السابقة هي الأطول حيث TE (الزمن للصدى الأخير). مما سبق يمكن أن نخلص ما سبق:

5.11.1.1 طريقة النقطة المتتالية (الحساسة) :

إذا تم تقسيم حجم العينة إلى n_x و n_y و n_z عناصر حجمي (فوكسل) عبر المحاور الديكارتية الثلاثة، تكون عندئذ القيمة المقاسة n_x, n_y, n_z لإشارة π -NMR المطلوبة لإعادة بناء الصورة بشكل كامل ضمن هذا الحجم حيث يتم مسح كل النقاط في المستويات x ، y ، و z لمسح الحجم الكامل للمنطقة المراد تصویرها ، لذلك تم التعبير عن هذه الطريقة بطريقة النقطة المتتالية.

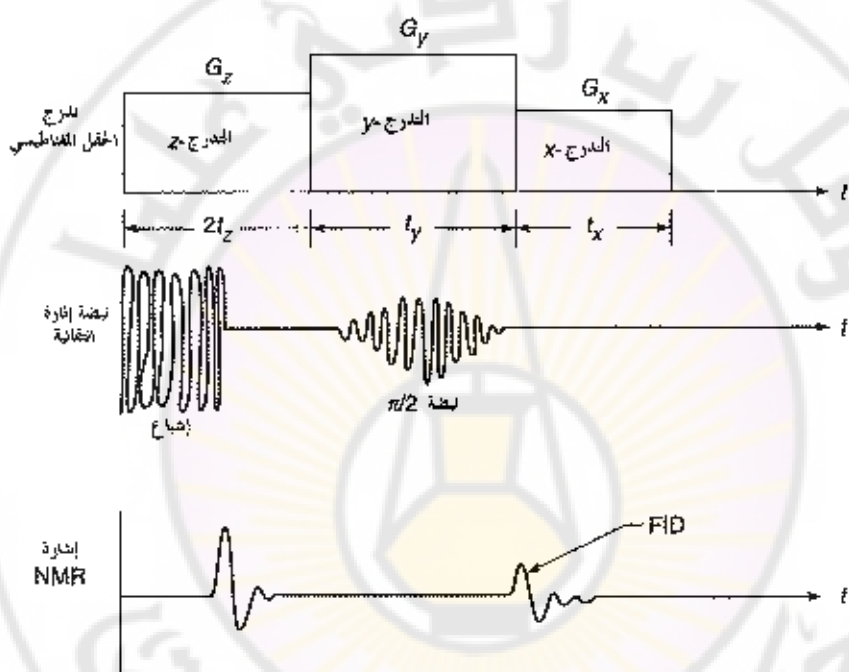
لقد لوحظ أنه يمكن الحصول على إشارة رنين مستمرة من خلال تعریض عينة إلى سلسلة مستمرة من نبضات π -RF. يجب أن تكون نبضات π -RF فريبة من تردد لازمور (Larmor) وأن يكون الفاصل بين النبضات قصير بالمقارنة مع لازمة استرخاء العينة. تدعى تقنية النبضة هذه "الدوران الحر للحالة الممتقرة (SSFP)". تنتج تقنية π -SSFP إشارة رنين مستمرة وكبيرة نسبياً وهذا مثالي من أجل تطبيق النقطة الحساسة. يتم تحقيق التوضع الجيزي في هذه الأبعاد بواسطة تطبيق ثلاثة حقول مغناطيسيّة ذات تدرج خطّي متعمدة تابعة للزمن بوجود سلسلة مستمرة من نبضات π -RF.

5.11.1.2 طريقة الخط المتتالي:

تم في طريقة الخط المتتالي مراقبة العناصر الحجمية على طول الخط المختار بالكامل، على سبيل المثال في الاتجاه Z ، في وقت واحد مخفضة بذلك العدد الكلي التجارب المطلوبة لصورة كاملة إلى $N=n_x, n_y, n_z$. وهكذا تستخدم الطريقة تدريجياً لحقلين مغناطيسيين تابعين للزمن ومتعامدين ومتتاليين لنبضة SIP وتوصيضاً للإشارة π تمرّكز حيزياً حساسية مستقبل π -NMR بالنسبة إلى خط ما كما في طريقة النقطة الحساسة. يتم تحديد توزع الدورانات المغزلية على طول الخط بواسطة تطبيق تدرج حقل مغناطيسي خطّي ثالث في اتجاه الخط التابع للزمن.

وهكذا سوف يكون تردد الـ NMR متطابقاً مباشراً مع توزع كثافة الدوران المغزلي على طول الخط ويمكن الحصول عليه بواسطة تحويل فورييه لإشارة FID موسّطة زمنياً.

الشكل 5.32 يبيّن طريقة مسح خط تستخدّم دورة تشعيّج تتضمّن هذه الطريقة ثلاثة فوائل $2t_z$ و t_y و t_x يتم خلالها تطبيق حقول التدرج Z و Y و X . يتم خلال t_z عزل مستوى متعدّد مع المحور Z من خلال إشباع جميع العينات بشكل انتقائي (مقطعة الدورانات المغزليّة) الواقعة خارجه بوجود G_2 .



الشكل 5.32: معايير لبعثة تصوير بالـ NMR مسح خط.

تم في الفاصل الثاني t_z بإثارة خط من العزوم الدوراني المغزلي ضمن المستوى غير المضطرب بشكل انتقائي بواسطة نبضة RF من النمط $\pi/2$ مطبقة بوجود التدرج G_2 . تم مراقبة الـ FID الناتجة عن إثارة الخط المختار في الفاصل t_x الذي يتم خلاله تطبيق التدرج (G_x) . ينتج تحويل فورييه للـ FID توزعاً لإشارة الـ NMR على طول الخط بالاتجاه X . يتم مسح الشريان الممتد إلكترونياً بواسطة تغيير تردد الإثارة للنبضات RF من النمط $\pi/2$ من خلال التحكم الحاسوبي.

5.11.1.3 طريقة المستوى المتتالي:

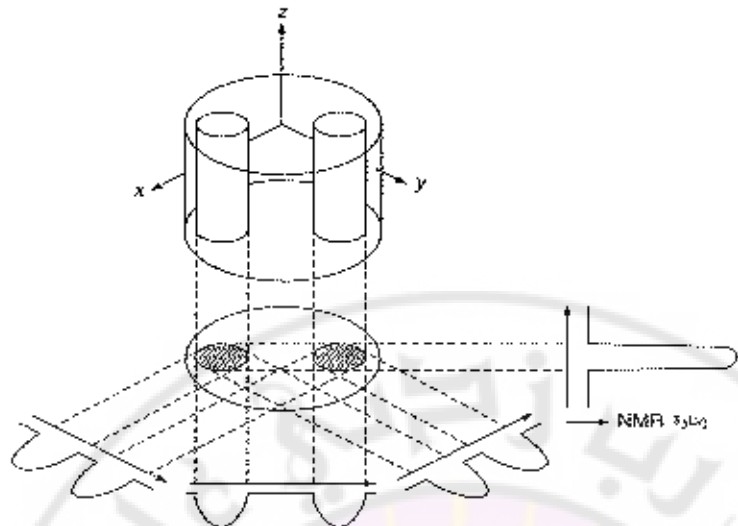
تسمح طرق المستوى المتتالي بمراقبة متزامنة لكامل مستوى التصوير ومن أجل هذا الموضوع يكون $N=n$. تحتاج المراقبة المتزامنة ودقة التمييز لمستوى كامل من النقاط إلى مجال ديناميكي بقدرة تساوي n_{try} ليحصل نضع متطلبات قاسية على التجهيزات وعرض الجرعة. لقد تم ابتكار عدد من المخططات للتغلب على هذه المشكلة. إن طرق المستوى المتتالي المستخدمة بشكل عام هي كما يلي:

- التصوير الجامع (Zeugmatography) بالإسقاط الخلفي:

تم وصف التصوير الجامع كما هو مطبق في تصوير H_2O NMR من قبل Lauterbur, 1973. وهذا التصوير مبني على حقيقة أنه يمكن إعادة بناء التغير الحيزي ثالثي الأبعاد أو صورة الفيزيائية لجسم ما من سلسلة من الإسقاطات أحديه بعد للمعامل الذي تم تسجيله عند اتجاهات مختلفة بالنسبة إلى العينة. وهذا المبدأ مستخدم في التصوير المقطعي المحوسب بالأشعة السينية.

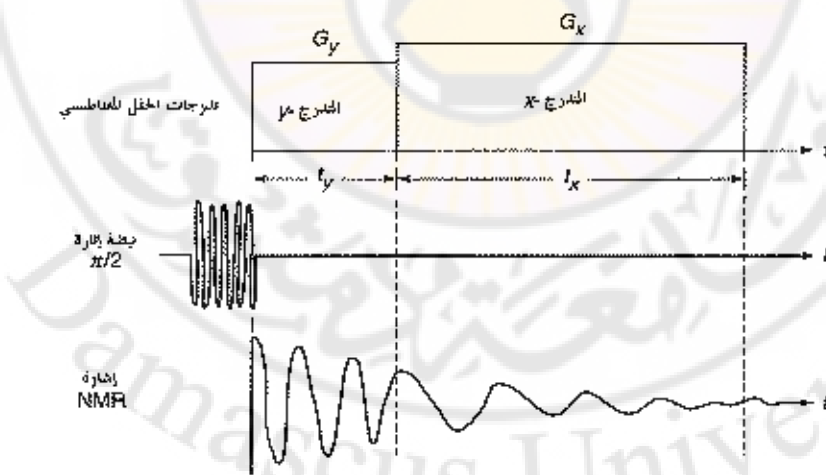
يمكن الحصول على إسقاط أحديي البعد بواسطة تسجيل طيف H_2O NMR بوجود تدرج حقل مغناطيسي خطي وذلك عند تطبيق التصوير بالـ NMR. يتم الحصول على إسقاطات متعددة من خلال تغيير الاتجاه النسبي للتدرج والبيانات (كتافة البروتون) المعالجة في كمبيوتر بواسطة لوغاريم إعادة بناء إسقاط معياري لتوليد صورة مميزة بأبعاد ثالثية.

يوضح الشكل 5.33 تقنية الإسقاط الراوح المرشح. يتم استخدام مطال إشارة H_2O NMR لتحديد كمية أو عدد النوى الموجودة ويستخدم تردد الإشارة لتحديد الموقع الحيزي. يتم الحصول على إسقاطات أو زوايا رؤية متعددة بواسطة الإسقاط الخلفي لهذه المساقط كما يمكن تمييز الأجسام المُختوّلة ضمن منطقة المسح.



الشكل 5.33 : تقنية إعادة بناء الصورة ثنائية الأبعاد بـ NMR.

إن الطريقة الأخرى لإعادة بناء الصورة الثنائية الأبعاد هي التصوير الجامع بفورييه ثنائية الأبعاد للـ NMR التي تستخدم طريقة مماثلة من تدرجات حقل مغناطيسي محول تم تطبيقه أشعة الـ FID بالاتحاد مع طرق تحويل فورييه ثنائية الأبعاد. يُبين الشكل 5.34 مماثلة النبضة في هذه التقنية.

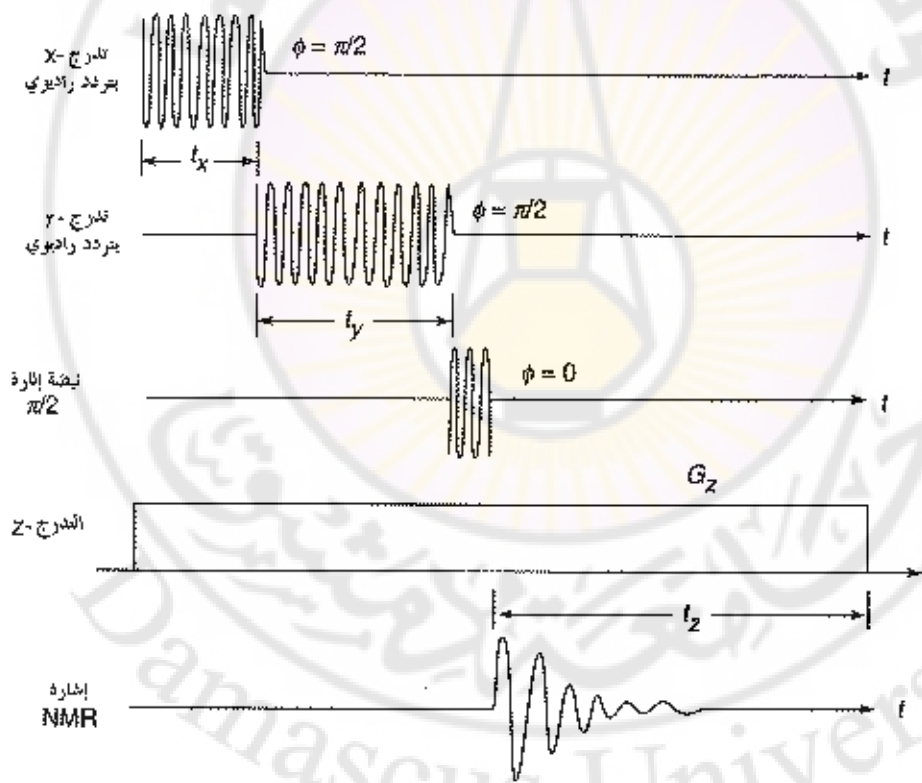


الشكل 5.34: تقنية إعادة بناء الصورة ثنائية الأبعاد بـ NMR.

* الطرق ثلاثية الأبعاد:

يتم في التصوير الجامع بالـ NMR ثلاثي الأبعاد حذف خطوة تمرير المستوى وبدلًا من ذلك تتم إعادة توجيه التدرج في المستويات الثلاثة كلها، تحتوي الإسقاطات أحاديد البعد الذي تم الحصول عليها من أجل كل توجيه تدرج على مكونات إشارة من كامل العينة. تتم إعادة بناء الصورة ثلاثية الأبعاد باستخدام نسخة ثلاثية الأبعاد للوغرافيت إعادة البناء وإظهار الصورة كسلسلة من المستويات في أي اتجاه مرغوب.

يبين الشكل 5.35 مخطط التوفيق من أجل التصوير الجامع بإطار دوار ثلاثي الأبعاد. تطبيق تدريجات حقل RH في الاتجاهات x و y من أجل فواصل متغيرة t_x و t_y . تتم مراقبة النبض t_z في تدرج Z الساكن وتتم إعادة بناء الصورة ثلاثية الأبعاد بواسطة تحويل فورييه ثلاثي الأبعاد بالنسبة إلى t_x و t_y و t_z .



الشكل 5.35 : مخطط التوفيق للتصوير الجامع ثلاثي الأبعاد.

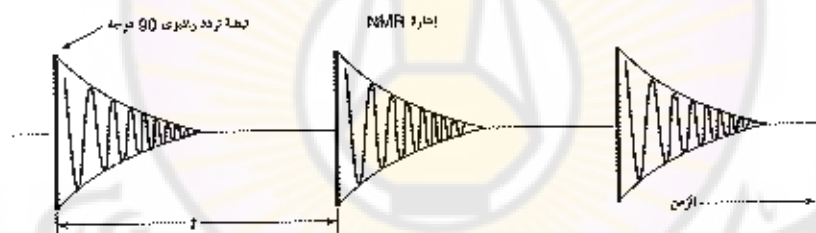
5.11.1.4. القياس المتزامن :

يمكن أن يكون لعمليات الاسترخاء أثر واضح على مقدار المغفطة و بالتالي على شدة (تبالين) الصورة، تقدم تبعية شدة الصورة هذه لمعدلات الاسترخاء إمكانية فريدة لاستخدام معدلات الاسترخاء كعامل تمييز.

- استرجاع الإشاع:

يتم في متالية نبضة استرجاع الإشاع المبينة في الشكل 5.36 تطبيق سلسلة من النبضات ذات النمط 90 درجة بفارق زمني مقداره τ (دور اقتباس البيانات) أطول من زمن التلاشي T_2 وتقريرًا نفس طول T_1 . عندما يتم تغيير قيمة τ فسوف تظهر التغيرات في T_1 في أجزاء مختلفة من العينة كاختلافات في شدة الصورة ويمكن أن يتم إنتاج خريطة لـ T_1 . إذا كانت τ أقصر بكثير من T_2 فسوف لن تتشاهي الإشارة إلى الصفر بين النبضات المتعاقبة مُنتجة حلة SSFP.

تأخذ تقنية استرجاع الإشاع معين الاعتبار الإشارات المضبوطة من المناطق التي يكون منها T_1 أطول من دور اقتباس البيانات ويمكن استخدام هذه الخاصية لإظهار السوائل المتحركة خلال الشريحة التي يتم تصويرها.



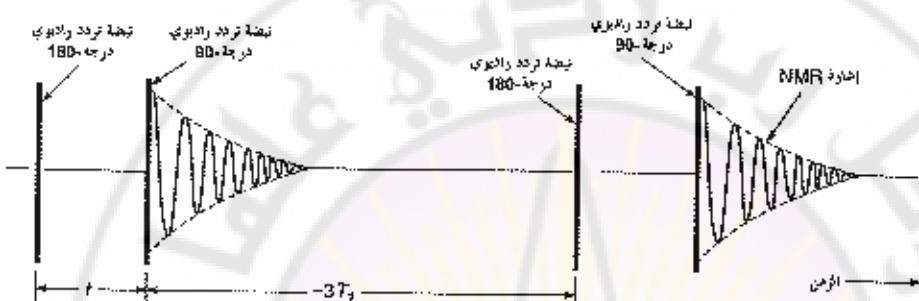
الشكل 5.36: متالية النبضة في طريقة استرجاع الإشاع.

- استرجاع الانقلاب:

تشبه متالية "استرجاع الانقلاب"متالية استرجاع الإشاع حيث أنه يمكن استغلال تغيرات T_2 في العينة للحصول على تباين أفضل. يتم في هذه التقنية عكس شعاع المغفطة من خلال تطبيق أولي لنبضة من النمط 180 درجة على العينة. ينشأ الاسترخاء T_1 خلال فاصل للنبضة مختار يتم بعده تطبيق نبضة "قراءة" من النمط 90 درجة. تُستخدم إشارة الـ FID التي تنتو. نبضة "القراءة" لإنتاج الصورة.

يبين الشكل 5.37 متالية النبضة في تقنية استرجاع الانقلاب. يشمل هذا النظام متالية إثارة نبضتين، إحداهما من النمط 180 درجة والثانية من النمط 90 درجة و يتم تطبيق التدرج خلال النبضة (90 درجة) الأخيرة في المتالية. سوف يثير التدرج $\pi/2$ بشكل انتقائي المستوى (X-Y) ذا المقطع العرضي.

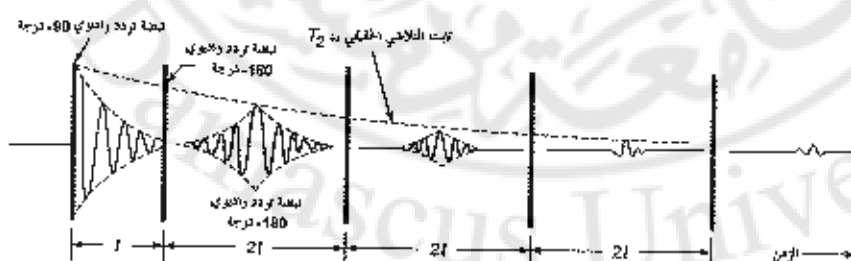
تؤدي متالية استرجاع الانقلاب صورة بتباين أعلى من متالية استرجاع الاشباع. من ناحية ثانية تحتاج متالية استرجاع الانقلاب إلى وقت أطول أو بقة تمييز مخفضة.



الشكل 5.37: متالية النبضة في طريقة استرجاع الانقلاب.

* تقنية التصوير بالصدى المغزلي:

إن تقنية التصوير بالصدى المغزلي مفيدة لإنتاج صور تكون بشكل أولى تابعة إلى T_2 . يوضح الشكل 5.38 متالية النبضة المستخدمة في هذه التقنية. تتالف هذه التقنية من تطبيق نبضة من النمط 90 درجة لتنوير المغناطة إلى المستوى Y-X. يتلو ذلك قلب المغناطة Y-X- $\pi/2$ بشكل دوري خلال 180 درجة بواسطة نبضة RF من النمط 180 درجة. تتحفظ الأصداء المترافقية بالحجم تدريجياً بسبب الاسترخاء المغزلي - المغزلي. سوف تتحفظ مساقمات الأصداء من تلك المناطق التي تملك T_2 قصير.



الشكل 5.38 : متالية النبضة المستخدمة في تقنية التصوير بالصدى المغزلي.

5.12. التأثيرات البيولوجية للتصوير بالرنين المغناطيسي النووي

Biological Effects of NMR Imaging

إن المظاهر الثلاثة للتصوير NMR التي قد تسبب خطراً صحيحاً محتملاً هي:

5.12.1. التسخين يسبب طاقة الـ RF:

إن زيادة الحرارة التي يتم إنتاجها في رأس التصوير بالـ NMR ستكون بحدود 0.3 درجة مئوية. ولا يبدو أن ذلك يطرح مشكلة على الأرجح.

5.12.2. الحقل المغناطيسي الساكن:

بالرغم من عدم وجود آثار هامة معروفة للحقل الساكن بالمستوى المستخدم في الـ NMR، إن الآثار الجانبية المحتملة للحقول الكهرومغناطيسية. يمكن أن يوجد انخفاض طفيف في المهارات المعرفية وتتأخر تقطي في القوالب الزجاجة وشفاء جروح متاخر ومصل دم ثالثي الغليسريد مرتفع.

5.12.3. تحرير التيار الكهربائي بسبب التغير السريع في الحقل المغناطيسي:

من المعتقد أن تدرجات الحقل المغناطيسي المتذبذب تستطيع أن تحدث تيارات كهربائية قوية كافية لكي تسبب رجفاناً بطيئاً. من ناحية ثالثة لم يتم الإخبار عن أضرار بسبب التعرضات للـ NMR. يُتصح بأنه ينبغي عدم تغيير الحقول عند معدل لسرع من 3 تسلل/الثانية.

5.13. ميزات نظام التصوير بالرنين المغناطيسي النووي

Advantages of NMR Imaging

إن ميزات نظام التصوير بالـ NMR هي:

1- تومن صورة الـ NMR تبايناً جوهرياً بين الأنسجة الطيرية المتطابقة تقريباً في التقنيات الموجودة. وتؤمن صور الـ NMR التي تظهر خصائص T_1 و T_2 للأنسجة تباينات هائلة بين الأنسجة الطيرية المتعددة وتقرب التباينات الممكنة في صور T_1 و T_2 من 150 %، بينما تكون التباينات الممكنة بين الأنسجة الطيرية بواسطة الأشعة السينية بضعة أجزاء من المائة فقط.

2- إن الصور بالمقطوع العرضية ممكنة بأي اتجاه في أنظمة التصوير بالـ NMR.

- 3- تومن آلية التباين البديلة للـ NMR إمكانية واحدة للتشخيصات الجديدة للباثولوجيات التي تكون صعبة أو مستحيلة بواسطة التقنيات الحالية.
- 4- إن معاملات التصوير بالـ NMR متأثرة بالترتبط الكيميائي ولذلك تقدم طاقة للتصوير الفيزيولوجي.
- 5- لا تستخدم NMR إشعاعاً مؤيناً وتستحسن الحد الأدنى من المخاطر، إذا وجدت، لمشغلي الآلات والمرضى.
- 6- بشكل مختلف عن الـ CT لا يحتاج التصوير بالـ NMR إلى أجزاء متحركة وقناطر أو كواشف بلورية متعددة. يمحى النظام بواسطة تراكم الحقوق المغناطيسية المنحكم بها كهربائياً. ونتيجة لذلك فإنه من الممكن المسح في أي اتجاه محدد مسبقاً.
- 7- يسمح الـ NMR، من خلال التقنيات الجديدة التي تم تطويرها، بتصوير أحجام ثلاثة الأبعاد كاملة في وقت واحد بدلاً من التصوير شريحة بشرىحة المستخدم في أنظمة التصوير الأخرى.

References:

المراجع

- [1] Webster. J.G., ' Encyclopedia Of Medical Devices And Instrumentation", 4 Volume Set, 1st edition. Wiley-inter-science, **1988**.
- [2] Krestel. E, "Imaging Systems for Medical Diagnosis": Wiley-VCH 1st edition **1990**.
- [3] Hendrick. R.E, Kanal. E, Osborn A.G, "Basic MR Physics" Magnetic Resonance Imaging, The Fifth International Course. Medical Services Department Printing Press For Saudi armed Forces Riyadh PP: 1-25: **1996**.
- [4] Hendee, W. R., Ritcenour E. R, " Medical Imaging Physics" Fourth Edition, John Willey & Sons INC., Publication, Wiley-Liss, Inc., New York, PP: 217-262, **2002** .
- [5] Blanchard. S, Bronzino. J, "Introduction to Biomedical Engineering" Second Edition. Ed. Enderle. J.D. Elsevier Academic Press Amsterdam Boston Heidelberg London New York Oxford Paris San Diego San Francisco Singapore Sydney Tokyo PP: 857-920: **2005**.
- [6] Webster. J.G., ' Encyclopedia Of Medical Devices And Instrumentation", 6 Volume Set, , 2nd Edition, Wiley-inter-science, **2006**.



الفصل السادس

المنظار العيني

المؤلف: د.م. محمد فراس الحناوي



المنظار العيني

6.1 . مقدمة:

يستخدم المنظار العيني (Ophthalmoscope) لفحص قاع العين وأوساطها المختلفة.

يقسم المنظار العيني إلى نوعين:

- 1- المنظار المباشر (Direct Ophthalmoscope) وفيه يراقب الطبيب قاع العين مباشرة.
- 2- المنظار غير المباشر (Indirect Ophthalmoscope) فإن المستخدم يراقب خيال الشبكية والذي يتم تشكيله من قبل عدسات المنظار.

6.2. المنظار العيني المباشر:

يتألف المنظار المباشر (Direct Ophthalmoscope) (الشكل رقم (6-1)) من قسمين أساسيين وهما:
نظام الإضاءة ونظام المراقبة:

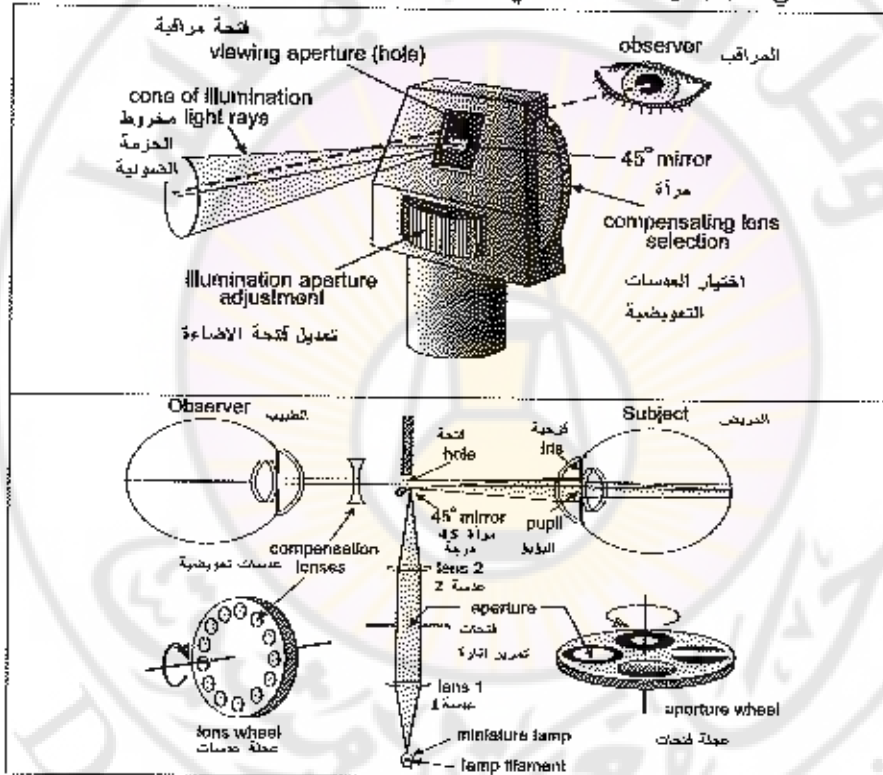
أ. يتتألف نظام الإضاءة من مصباح تنفستين، نظام تكثيف (Condenser System)، عدسة (Lens) وعاءس (Reflector) ويتم تركيز العدسة مسبقاً لتضمن التوضع الدقيق لخيال فتيل الإضاءة على سطح العاءس.

وتحوي بعض مصابيح المناظير على غاز الهالوجين مما يمكن أن يرفع درجة حرارة الفتيل إلى حرارة أعلى وبالتالي زيادة الخرج الضوئي. أما فيما يتعلق بنوع العاءس فيختلف من جهاز لأخر فلما أن يكون مخروطاً أو مرآة.

كما يوجد عدد من الفتحات مختلفة المقاس و الفلاتر تتوضع بين العدسات المركزية والعدسات العارضة. ويسمح حامل الفتحات المختلفة بتخفيف مقدار البقعة المضاءة على الشبكية وهي مزية هامة في فحص الطاخة الصفراء (Macula).

وفي بعض نماذج المناظير العينية (Ophthalmoscope) يمكن للمستخدم أن يدخل فلتر أخضر على نظام الإضاءة . هذا الفلتر يدعى بالفلتر خالي الضوء الأحمر (Red-Free Filters) وهذا يعود إلى إمكاناته عزل الأطوال الموجية الطويلة من نظام الإضاءة، وله تأثيرين لثنين : أولهما يزيد من التباين بين الأوعية الشبكية والخلفية. وثانيهما أنه يسمح للمستخدم للتعرف بين الآفات (Lesions) في الشبكية (Retinal) والغلاف المائي للعين (Choroidal) بحيث إن الآفات الشبكية تظهر سوداء أما المشيمية تظهر رمادية. هذه الاختلافات تعود لنبع الأضواء ذات الأطوال الموجية القصيرة من قبل الأنسجة الشبكية. هذه التغيرات في المظهر تفاصي العين تعود إلى المنبع الضوئي للمنظار الذي يبث كمية لا بأس بها من الضوء ذي الأطوال الموجية القصيرة. أما في يومنا هذا فإن جميع المناظير العينية تستخدم مصابيح ذات فتائل التنفستين

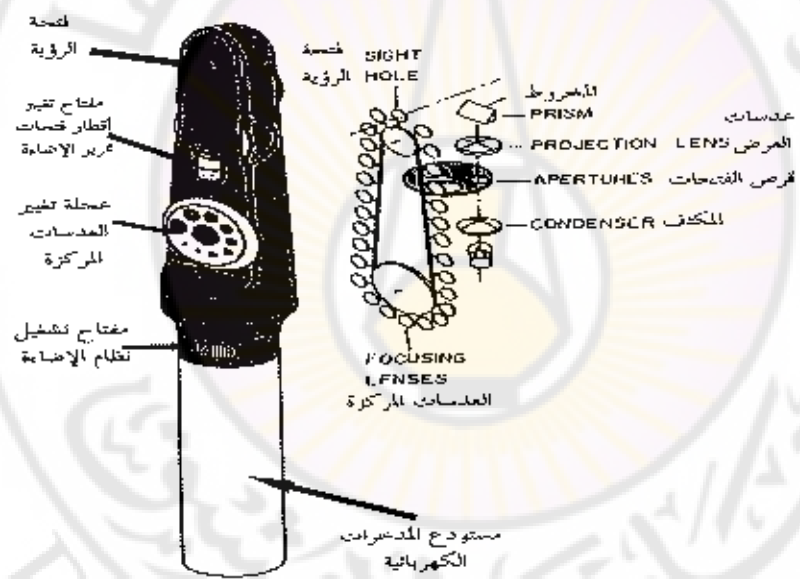
كمتابع ضوئي، بحيث إن متابيع الضوء هذه لها عدة مزايا عن تلك المستخدمة في الأجهزة القديمة، لكن إحدى سماتها أنها تعطي كمية قليلة من الضوء ذي الطول الموجي القصير. بحيث إنه إذا وضع فلتر خالي الضوء الأحمر أمامه، فإنه سيمتص الكمية الكبيرة من الضوء الساقط ويبقى جزء ضئيل من الضوء لإضاءة قعر عين المريض. مؤدياً إلى صعوبة في مراقبة قعر العين، ما لم يكن مستحيلاً، وللخلاص من هذه المشكلة فقد قام المصنعون بالوصول إلى حلول وسطية وذلك باسماح لكمية كبيرة من الضوء طويلاً الموجة بالدخول . هذا الحل يعني أن هناك زيادة صغيرة في التباين بين الأوعية الشبكية و الخلفية و بالتالي الصعوبة في التفريق بين الآفات في الشبكية والغلاف المشيمي للعين.



الشكل رقم (٦) المنظار العيني المباشر (الأطباء و العاملين).

بـ، أما فيما يتعلق بنظام المراقبة في المنظار العيني فيتألف من فتحة الرؤية (Sight Hole Focusing- Compensating lens) – ونظام التبيير (Viewing aperture selection)، حيث يسمح نظام التبيير المستخدم في التعييض عن الحالة الانكسارية لكل

من المراقب والمريض الحصول على مشهد واضح لغير عين المريض. ويتألف هذا النظام من مجموعة من العدسات بقوى مختلفة، بحيث تتوارد عدسة واحدة أمام عين المراقب، ويمكن للمستخدم أن يغير هذه بواسطة عجلة تدار بالإبهام وبالتالي الغائية من المناظير العينية تكون فيها العدسات التبlierية مركبة حول خارج العجلة كما هو مبين في الشكل (1-6) بينما الأجهزة الأخرى تربط بواسطة سلسلة كما هو مبين بالشكل (6-2) مما يسمح بتركيب عدد أكبر من العدسات وبالتالي قدرة أكبر من التبليير ، كما إن كثير من التجهيزات يمكن أن ترافق بعدسات ذات قوة انكسار عالية موجبة و سلبية بحيث إنها حينما تدمج مع السلسلة أو العجلة يمكن تكبير مجال التبليير . وبالتالي إذا كان الفاحص ذا خطأ انكسار (-10D) وبالتالي لا يمكنه أن ينظر المنظار إلا إذا كان المريض ذا خطأ انكسار من (+35D to +55D) ويمكن التخلص من هذا بإضافة عدسة تعادل خطأ الانكسار للمراقب بوضعها أمام فتحة المراقبة .



الشكل رقم (6-2) المنظار المباشر (لأطباء والأخصائيين)

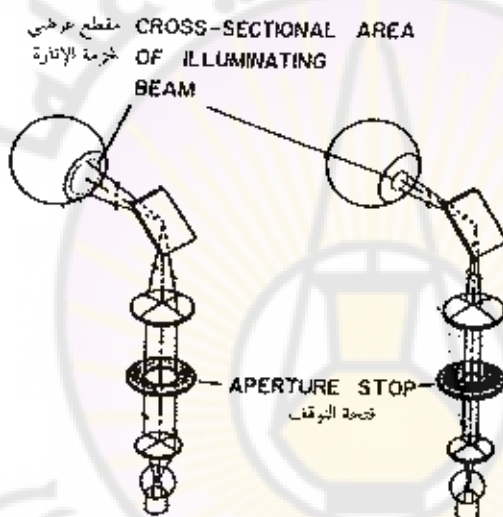
و عادةً ما تكون فتحة المراقبة للمنظار العيني ذات قطر 3 ملم ، وبمحور مزاج عن محور الإضاءة. هذا الترتيب يزيل الانعكاس عن القرنية والذي هو خيال مصباح المنظار

المتشكل من القرنية التي تعمل كمراة محدبة والذي سيقع في مركز حقل الرؤية مانعاً المراقب من رؤية قعر العين.

6.3. العوامل المؤثرة على شدة مكان تمركز الانعكاس :

6.3.1. الزاوية بين محوري الإضاءة والنظر:

إن زيادة هذه الزاوية يزيد من انزياح الانعكاس، ويختفي كمية التراكم على الشبكية بين أنظمة الإضاءة والمراقبة، (أي تخفيض من كمية الشبكية المضاء عبر فتحة المراقبة. لهذا السبب نبقى على زاوية صغيرة إلى حد ما).



الشكل رقم (3) يبين انه عند القراءة فإن المقطع العرضي للعزلة المصيحة تتحمّل على بعد الإيقاف خلال نظام الإضاءة

6.3.2. المسافة بين الطبيب والمريض:

تؤثر المسافة بين الطبيب و. المريض على الفاصل الفيزيائي، على القرنية، بين مساري الإضاءة والمشاهدة . فكلما اقترب الطبيب من المريض كلما زاد الفاصل بين الممسارين وكلما زاد بعد الانعكاس القرني عن محور التقطير. هذه الظاهرة يمكن ملاحظتها إذا أراد الطبيب مراقبة اللطخة الصفراء فعادة يبدأ من بعد 10 سم (حيث يكون الخيال في مركز حقل الرؤية) ومن ثم يقترب شيئاً فشيئاً مما يؤدي لابتعاد الانعكاس عن مركز محور الرؤية.

6.3.3. مقاييس فتحة مرور الإضاءة.

إن شدة المنعكсы القرني تعتمد على مقاييس فتحة مرور الإضاءة المتوضعة عبر نظام الإضاءة. فكلما كبرت الفتحة كلما كبرت مساحة المقطع للحزمة الضئيلة على القرنية وبالتالي تكبر كمية الضوء المنعكss إلى نظام المراقبة. يمكن الاستناد من هذه الظاهرة في حال ضرورة مراقبة البقعة الصفراء (Macula) و ذلك باستخدام فتحة صغيرة تتناسب مع حجم البقعة المذكورة.

6.3.4. مقاييس فتحة الرؤية:

إن منعكss القرنية يتشكل على بعد 4-5 ملم خلف القرنية. بحيث إن صورتها تكون غير مبارأة بالنسبة للطبيب. ومقاييس هذه البقعة يعتمد على قطر فتحة المراقبة. فبصغر فتحة المراقبة تصغر الصورة الغير مبارأة للمنعكss القرني وكذلك فإن تصغير فتحة المراقبة يقلل من كمية الضوء الداخلة للمراقبة وبالتالي فإن أغلب المناظير الحديثة تحافظ على فتحة مراقبة 3-4 ملم . هي مثالية .

6.3.5. تطبيق حقل الرؤية وحقل الإضاءة:

تساوي حقل الإنارة مع حقل الرؤية هو أمر مثالي، فزيادة حقل الإنارة بشكل أكبر من الرؤية يؤدي إلى دخول كمية من الضوء غير مرغوب فيها وهذا يؤدي إلى تصغير الحدقة وبالتالي تصغير حقل الرؤية مما يجعل عملية رؤية قاع العين عملية صعبة. بالإضافة إلى ذلك فكلما كبر حقل الإضاءة كلما زاد تأثير المنعكss القرني وبالتالي صعوبة فحص قاع العين.

إن حقل الرؤية في المناظير الحديثة لحدقة بمقاييس 3 ملم هو حوالي 12 درجة. لذلك يجب أن تكون فتحة تمرير الإضاءة متناسبة مع إعطاء حقل إضاءة متساوٍ لتلك القيمة. بحيث إنه عادة يتم فحص قاع العين بعدما يتم توسيع حدقة المريض بحيث يصبح حقل الرؤية حوالي 20 درجة (6 ملم قطر الحدقة) لذلك تجهز المناظير بفتحة تمرير أكبر لتزيد من حقل الإنارة إلى 20 درجة، وكذلك فإن الفتحة الصغيرة مفيدة لرؤية الطخة الصفراء. وبالتالي فإن المنظار المثالي يجب أن يحتوي على ثلاثة فتحات صغيرة لمراقبة الطخة الصفراء والوسطى لرؤية قاع العين بالحالة العادية والكبيرى لرؤية القاع بحالة توسيع حدقة المريض.

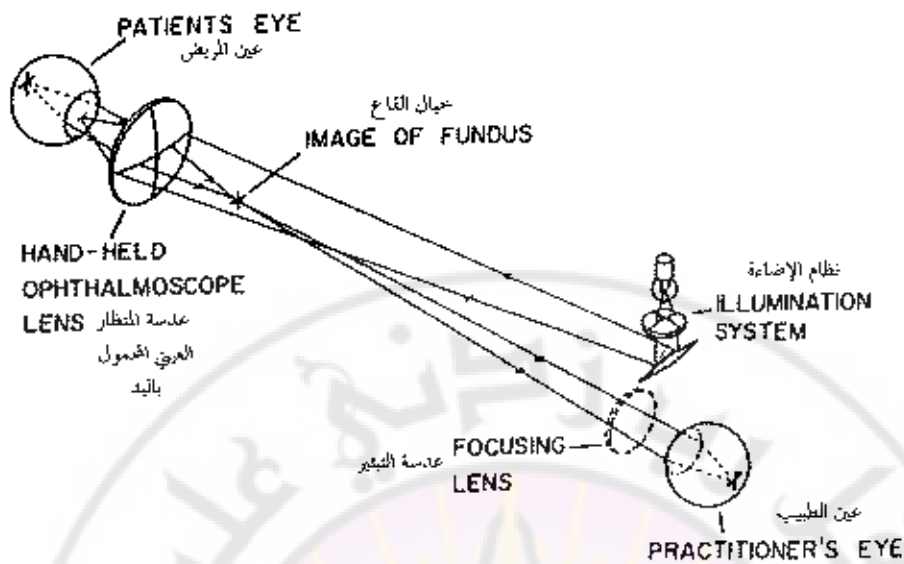
6.4. المناظير العينية الغير مباشرة:

تحتاج المناظير العينية الغير مباشرة عن المباشرة بحيث إن الطبيب ينظر إلى صورة القعر لا على القعر بحد ذاته. تختلف المناظير العينية مباشرة بحجمها وتعقيدتها. أما النموذج الأساسي للمنظار فهو موضح بالشكل (6-4)، وعادةً ما تتراوح الشدة الانكسارية لعدسات المنظار العيني ($+13$ to $+30D$) وهي محمولة يدوياً أمام عين المريض. وللعدسة مهمتان: أولهما تصوير يتيح الخروج لنظام الإضاءة ويتيح الدخول لنظام المشاهدة بعين المريض. وثانيهما تصوير قعر عين المريض في نقطة بين عدسة المنظار والمرآقب.

إن مكان شكل صورة قاع العين يختلف بالحالة الانكسارية للمريض وقوّة عدسة المنظار. فبالنسبة لمريض سوي النظر وعدسة منظار عيني بقوة ($+13D$) فإن الخيال سيتشكل عن بعد 77 ملم أمام عدسة المنظار. فإذا كان الطبيب على بعد 60 سم من عدسة المنظار، فهو يحتاج أن يبتعد حوالي ($2D$) من المطبقة كي تتضمن الرؤية لقاع العين، أما إذا كان المريض بعيد النظر أو إن الطبيب يرغب أن يتجه بالقرب من الخيال كي يزيد التكبير وبالتالي فإن هناك ضرورة لمطابقة أكثر يجب بذلك. وهي ليست دائماً ممكناً إذا كان الطبيب مصاباً بمد البصر الشيفي (Presbyopic).

إن عدسات المناظير ذات القوى الكبيرة تتقصّ من التكبير ومن أجل أقطار معروفة يزداد حقل الرؤية. ونتيجة للصعوبات التي تحيط بصناعة عدسات عالية الجودة وبنكبير كبير وبفتحة تمرير كبيرة، لذلك تكون العدسات ذات قوى التكبير العالية صغيرة القطر ولا تعطى بشكل واضح حقل رؤية كبير.

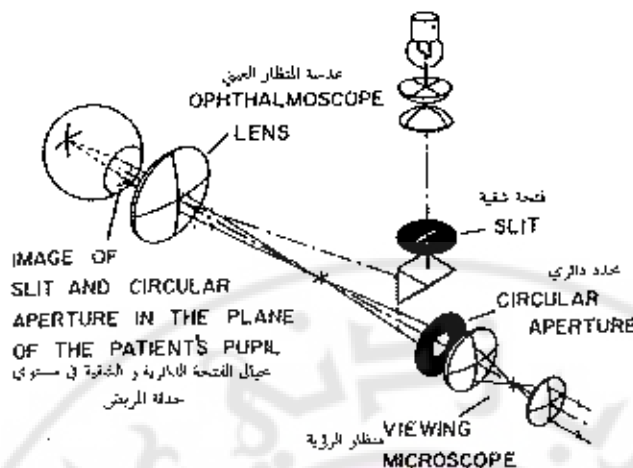
كما تصنع غالبية عدسات المناظير من سطوح لا كروية كي تخفف من التشوهات الكروية وتزيد من نوعية صورة القاع. وعادةً يكون الوجه الأكثر تحدياً مواده للطبيب.



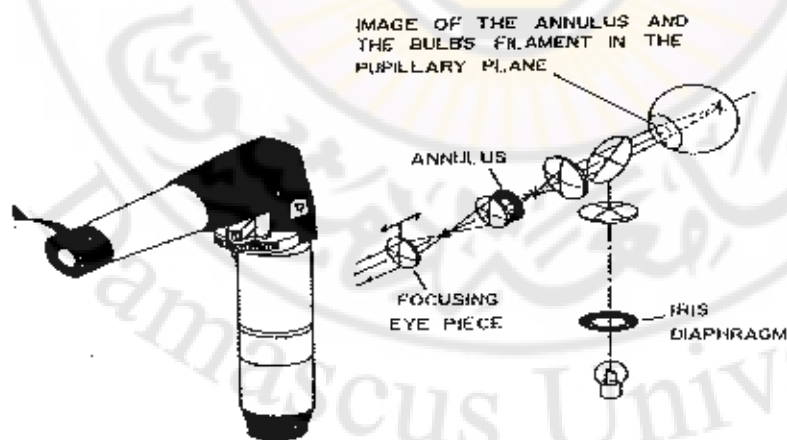
الشكل (4-6) المنظار العيني الغير مباشر غالباً ما يكون نظام الإضاءة مفصلاً عن الرأس الذي يرتديه الطبيب

ولما كان الم恭喜ن الضوئي يشع متالقاً عبر عدسة المنظار، فإن هناك زوج من الانعكاسات أولهما من أمام سطح العدسة والأخر من خلفها. وللإبقاء على شدة هذه الانعكاسات بحدودها الدنيا ، تطلى عدست المنظار بمادة مانعة للانعكاس. وأي بقايا للانعكاسات يمكن لزاحتها من حقل الرؤية وذلك بإتماله عدسة المنظار بالنسبة لكل من محاور الإضاءة والتنظير .

الميزة الأساسية للمنظار الغير مباشر هي حقل الرؤية الكبير نسبياً. حيث إن المقياس الزاوي يعتمد على موقع وفتحة عدسة المنظار . ففي الأنواع البسيطة (كما هو في الشكل (4-6)) حيث إن العدسة (16D) وبفتحة تمرير 40 ملم، فإن حقل الرؤية يكون بزاوية 32 درجة. وقد تعمت زيادته في بعض الموديلات الحديثة إلى 45 درجة و ذلك بزيادة فتحة التمرير لعدسة المنظار.



كما إن هناك مزايا لمناظير الغير مباشرة هي أنه وبالتصميم أمكن إزالة الانعكاس القرني من حقل الرؤية. حيث حقق العالم Gullstrand منظاراً خالياً من الانعكاسات. وقد حقق ذلك بفصل كل من مسار الإضاءة والتقطير عند عبورهما من القرنية والعدسة، فعندما يفصل المسارين فإن الضوء المنعكسة من سطح القرنية لا يدخل نظام التقطير. لكن هذا التصميم كان معقداً وباهظ الثمن حيث تم تعديله من قبل (Henker 1922) (الشكل (5-6)) والشكل (6-6).



الشكل (6-6) منظار العين لمبدأ غلستوند البسيط الخالي من الانعكاس كما هو مصنوع.

يتلخص مبدأ منظار غلسنرلاند المبسط بتمرير الضوء إلى العين من خلال فتحة شفافة والتي تتشكل صورتها في بؤبة المريض. تتم مراقبة قاع العين من خلال فتحة التمرير الداخلي وكذلك ظهر صورته في مستوى بؤبة العين المريض، ويتم فصل كل من صور بؤبة الخروج لنظام الإضاءة (الشفاف) وبؤبة الدخول لنظام الرؤية (فتحة التمرير الداخلي) (كما يظهر بالشكل (5-6)). ويرى بؤبة الدخول لنظام الرؤية في مركز البؤبة وذلك للمحافظة على نوعية من صورة القاع جيدة قدر المستطاع.

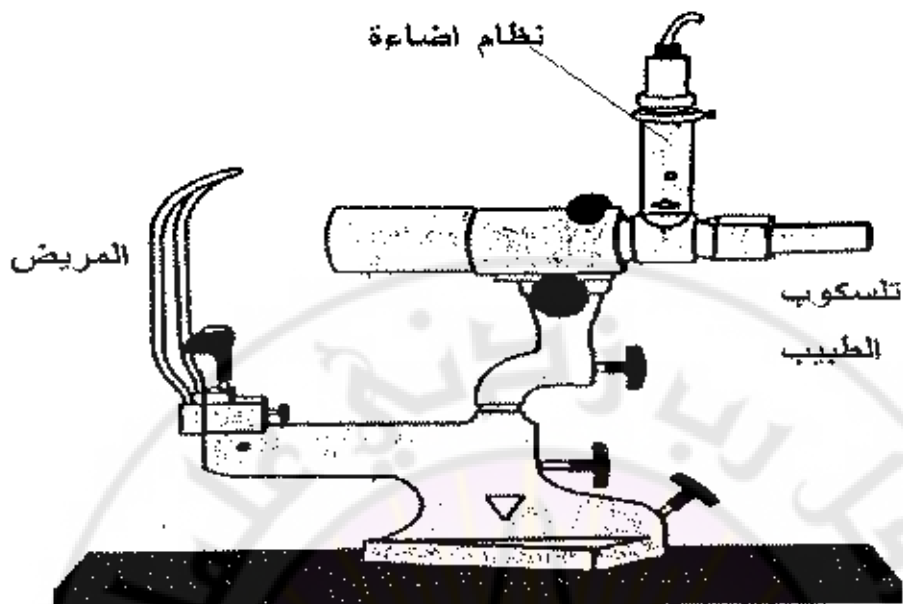
أما التكبير لقاع العين لمريض ذي حدة بصر سوية في منظار غلسنرلاند فيعطي بالعلاقة:

$$\frac{F}{F_0} \times B$$

حيث (F) تساوي قوة العين تحت الفحص ، و(F_0) هي قوة عدسة المنظار ، و(B) هو التكبير للعدسات الثانوية فتكبيرها ينقص من حقل الرؤية، وذلك في الصعوبات التي تواجهه صناعة أنظمة بفتحات تمرير كبيرة وتكبير كبير.

6.4.1. المنظار العيني الغير مباشر ذو الفتحة الواحدة:

الفرق الأساسي بين هذا المنظار الغير مباشر ذو الفتحة الواحدة (Monocular Indirect Ophthalmoscope) وغيره هو أن هذا التصميم هو غير محمول (شکل (6-7)) وبالتالي يمكن استخدامه أينما كان وتصميمه مطابق لجهاز غلسنرلاند. بحيث تشاهد فتيلة منبع الإضاءة في مستوى بؤبة المريض تحت صورة بؤبة الدخول لنظام الرؤية. أما منطقة القاع المضاءة من المنبع الضوئي الذي يتحكم بها بواسطة فتحة (Iris Diaphragm) و تتوضع داخل نظام الإضاءة و بواسطة هذا الحاجز فإنه يمكن إضافة منطقة من الشبكية متساوية لتلك المرئية عبر نظام التتلزير .



الشكل رقم (6-7) منظار العين الغير المباشر أحدى المسار المعاكس .

إن قطر عدسات المنظار العيني في هذا التمودج يكون أصغر من مثيلاتها في المناظير الأخرى لكن يبقى حقل الرؤية بحدود 20 درجة فيما تكون بالأجهزة الأخرى حوالي 30 أو حتى 45 درجة. لكن يبقى أكبر من الأجهزة المباشرة التي تكون حوالي 10 درجات.

أما الخيال الذي يتشكل لقاع العين يمكن رؤيته بواسطه العينية والتي تتحرك أماماً وخلفاً كي يحصل التبخير. إن استخدام микروسكوب المركب يعني أن الصورة ستكون مقلوبة أو قد أعيد قلبها.

6.4.2. المنظار العيني الغير مباشر ذو الفتحتين:

يعتمد الجهاز على وجود فتحتي مراقبة لعيني الطبيب بحيث يرى خيال قعر عين المريض بكلتا عيني الطبيب كما يبين الشكل رقم (6-8).



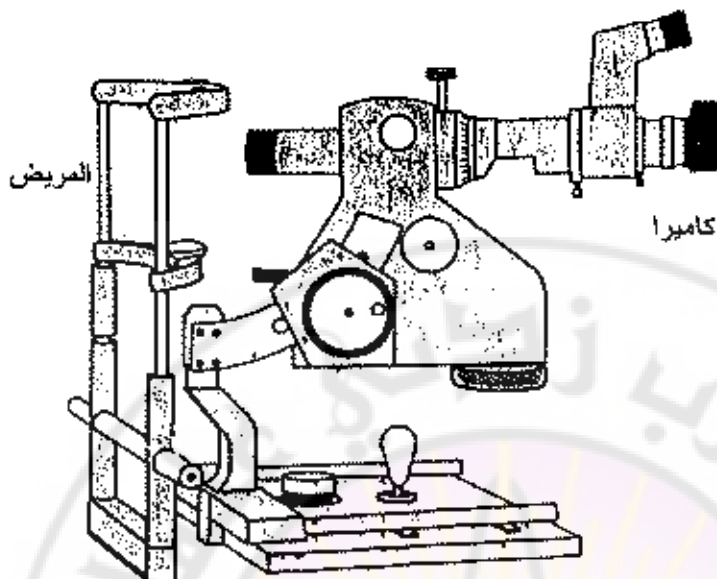
الشكل رقم (٦-٨) منظار العين الفيرو المعاشر ذو القصعين.

6.4.3. كاميرا قاع العين:

تعتبر كاميرا قاع العين (Fundus Camera) منظاراً غير محمول بحيث إنها نموذج بسيط لجهاز غلستراند (الشكل (٦-٩)) ويمكن الحصول على صور لقاع العين، ويتطلب بؤبؤاً متوسعاً.

يتالف الجهاز من متبعين صوبيين فقيل من التقتسيتين لرؤوية القاع و تبايني الجهاز أما لمتبع الثاني فهو الفلاش الضوء الومضاني لأخذ الصور للفوتوغرافية وكل المتبعين يتواحدان من خلال سطح شبه انعكاسي كما هو مبين بالشكل (٦-١٠).

يعبر كل من المتبعين الصوبيين عبر المحجلب الذي يتعديلته يتم التحكم بمقاس البقعة المضاءة على شبكة المريض. هذا العجاب يرى على مرآة منقوبة المركز، والتي بدورها ترى من قبل عدسات المنظار في مستوى بؤبؤ المريض.



الشكل (9-6) بين مخطط جهاز كاميرا قعر العين

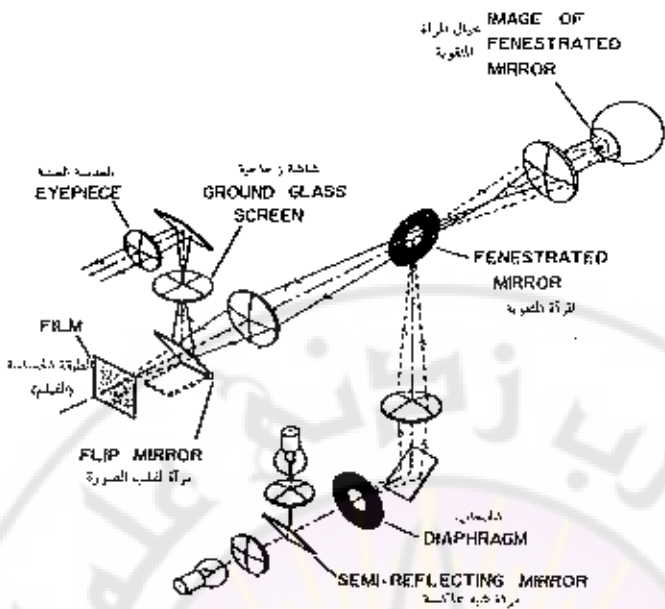
هذه العناصر البصرية تحدد من الحزمة المصيّنة إلى العرض الذي يتحكم به الحاجز

.(Annulus)

وينتاج المنظار خيال الواقع بين المرأة المتفوقة وعدسة المنظار. هذا الخيال الذي يمكن مشاهدته من خلال المرأة المتفوقة بواسطة ميكروسكوب مركب حيث تشكل العدسات الشبيهة بخيال الواقع العين عبر مرآة قلبة مارا إلى شاشة زجاجية والتي تتوضع في النقطة المحرفية لقطعة العينية التقطيرية. حين تلتقط الصورة تدور المرأة خارجة من مسار نظام التقطير والذي يسمح للصورة المنتجة من العدسة الشبيهة بالسقوط على الفيلم. ويتضمن الشاشة الزجاجية أن يكون الخيال المصور بنفس الوضوحية التي تظهر للمراقب.

أما المرأة المتفوقة والتي تظهر بعدسة المنظار في مستوى بؤبؤ المريض، تشكل بؤبؤ الدخول لنظام التقطير. فهي تحدد حزمة المنطقة المركزية المرئية من البؤبؤ وكذلك فإنها تحدد الحزمة المصيّنة المتوجهة لقعر العين. وبالتالي فإن كلًا من مسارات الإضاءة والتقطير يتم فصلها في مستوى بؤبؤ المريض جاعلاً الجهاز خالياً من الانعكاس. إن كاميرا قاع العين هي خير مثل للمنظار الغير مباشر ولو أنها غير صالحة للفحص الروتيني.

وفيما يلي جدولًا يبين أهم الفروق بين المنظار المباشر وغير المباشر:



الشكل (10-6) ناحظة البصرى لنظر العين.

الجدول رقم (1-6) يبين الفروقات بين المنظار المباشر وغير المباشر.

المنظار الغير مباشر (Indirect Ophthalmoscope)	المنظار المباشر (Direct Ophthalmoscope)
المستخدم برأس خيال التبكيه والذي يتم تشكيله من قبل عدسات المنظار	يراقب الطبيب قاع العين مباشرةً
أكثر تعقيداً	بسط { مصدر إلاره + عدسات، عوكس + نظام تثبيت }
مثبت على قاعدة أو محمول بالرأس	يحمل باليد
يصل حقل الرؤية حتى 60 درجة	حقل زاوية الرؤية أقل 10-12 درجة
تكبير متخصص 2-3 مرات، وربما يمكن أن يكون حتى 40 مرة في بعض الأنواع	التكبير يختلف حسب نوعية المنظار 15 مره
يمكن أن يرى المستخدم جزءاً صغيراً من قاع العين تحت تكبير صغير	يمكن أن يرى المستخدم كامل قاع العين تحت قاع العين تحت تكبير كبير
جيد لفحص المبدئي	7

- [1] Henson D.B. "Optometric Instrumentation" Butterworth-Heinemann Ltd; Reprinted edition (Dec 1982)
- [2] Smith, G.; Atchinson, D.A. "The Eye and Visual Optical Instruments". Cambridge: Cambridge University Press, 1997.
- [3] Kennedy G T., Timberlake M, " The Direct Ophthalmoscope How it Works and How to Use It" Department of Family Medicine University of Kansas Medical Center Available on:
[/www.kumc.edu/ophthalmology/timberlake/pdf/TheDirectOphthalmoscope.pdf](http://www.kumc.edu/ophthalmology/timberlake/pdf/TheDirectOphthalmoscope.pdf): 2005
- [4] Timberlake M, " The Indirect Ophthalmoscope " Department of Ophthalmology University of Kansas Medical Center Available on:
[/www.kumc.edu/ophthalmology/_/9-Indirect%20Ophthalmoscope.ppt](http://www.kumc.edu/ophthalmology/_/9-Indirect%20Ophthalmoscope.ppt): 2005

الفصل السابع

منظار الشبكية

المؤلف: د.م. محمد فراس الحناوي

7.1 مقدمة:

منظار الشبكية (Retinoscope) هو أداة بسيطة (Objective) للحصول على الخط الانكساري للعين و ذلك من خلال المراقبة البصرية تتألف مناظير الشبكية الحديثة من عدسة واحدة، منبع ضوئي، و مرآة. و تكون المرأة إما ذات فتحة مركبة أو شبه عاكسة بحيث يمكن لمنظار الشبكية أن ينظر عين للمريض مباشرة من نفس محور حزمة الضوء لمنظار الشبكية .
 (انظر الشكل (1-7)).



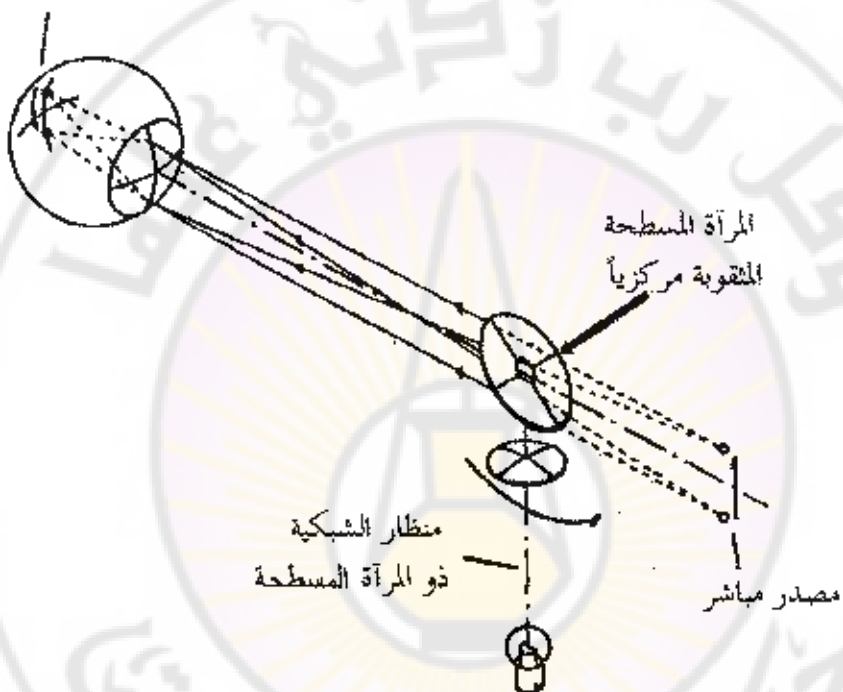
الشكل (1-7). منظار الشبكية

قبل وصف مناظير الشبكية بتفاصيل أكثر سوف نعمد إلى ذكر المبادئ الأساسية التي تعتمد عليها مناظير الشبكية و تقنياتها المختلفة لإيجاد محور الخطأ الانحرافي
 axis of astigmatic errors

7.2 مبادئ تنظير الشبكية :

في تطوير الشبكية فإن المراقب يرصد رقعة صغيرة من الضوء المشكك على قعر عين المريض . و بتحريك البقعة المسلطبة باتجاه معين و مراقبة الاتجاه الذي تظهر به بعد انكسارها من قبل عين المريض . و بالتالي يمكن للمراقب القول بأن شبكة المريض هي منمركزة (متوضعة) (focused) أمام أو خلف عينه . و يمكن قياس الخطأ الانكساري و ذلك بوضع عدسات أمام عين المريض حتى تكون شبكة المريض منمركزة مع عين المراقب .

بقعة غير مبأرة على شبكة المريض

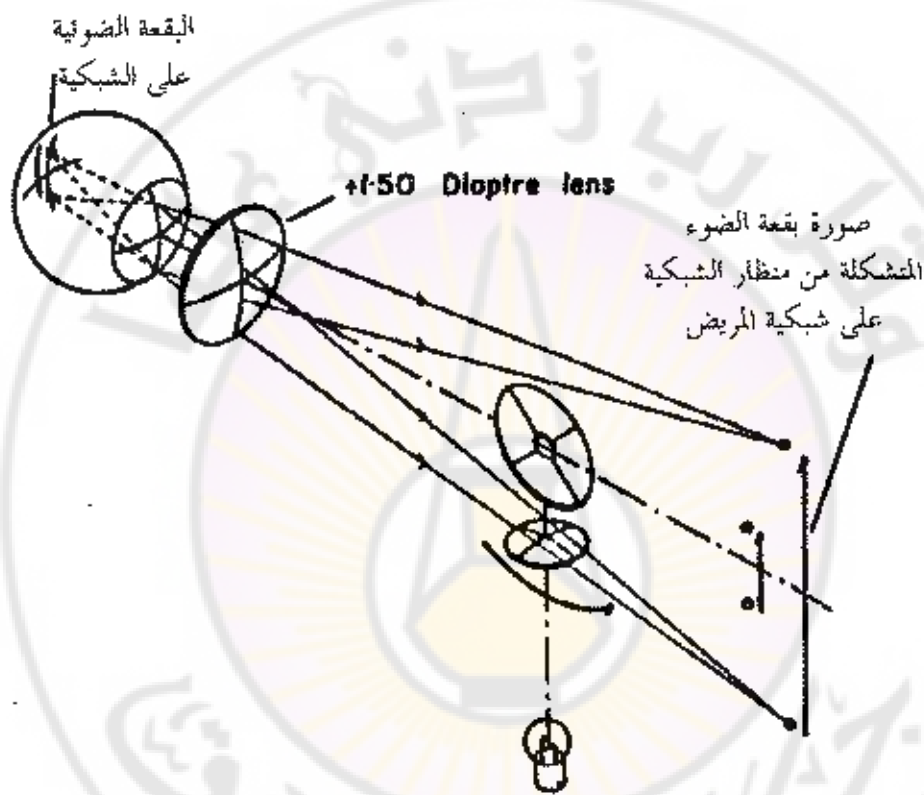


الشكل (2-7) تشكل البقعة المور مارة للضوء على شبكة المريض . ندل الأسمى على تأثير ميلان مرآة المنظار للأسفل لزودي إلى حركة البقعة المضوية على شبكة المريض للأسفل .

يظهر الشكل (2-7) تأثير منظار الشبكية ذي المرآة المسطحة (النموذج الأكثر استخداماً اليوم) الذي يشكل بقعة ضوئية غير مرکزة على قعر عين المريض . كذلك يظهر بأنه عندما تميل المرآة قليلاً إلى الأسفل فإن البقعة المشككة تتراوح للأسفل أيضاً . وهذا في حالة كون العين لا تعاني أي خطأ انكساري .

إن بقعة الضوء تكون الهدف في هاتين اثنين :

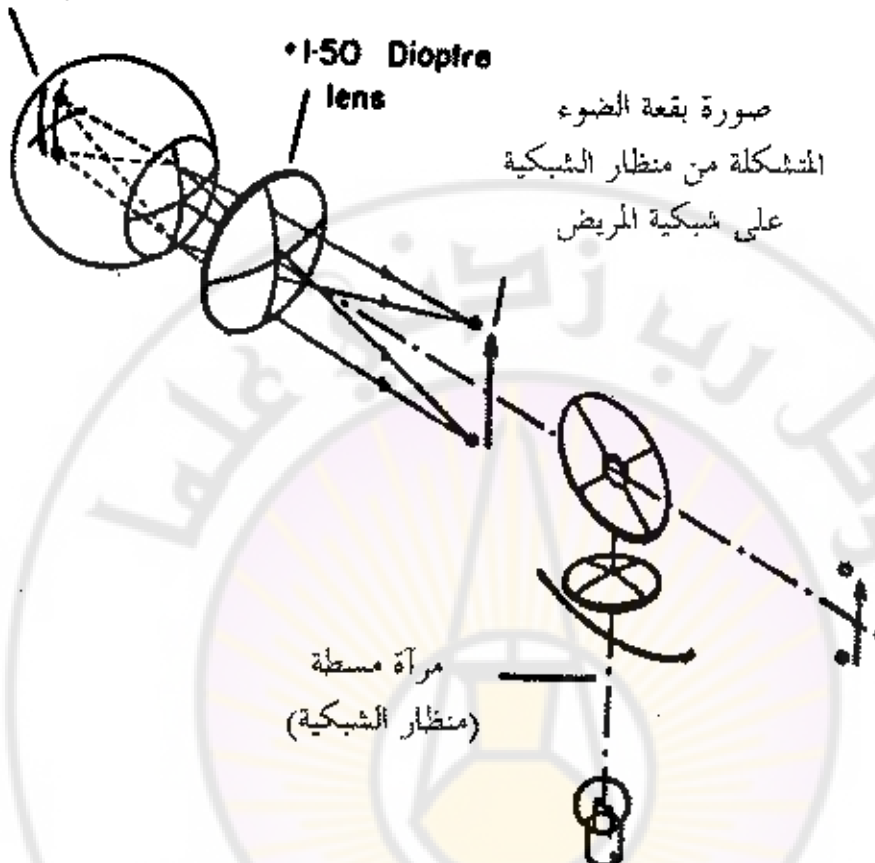
الأول (الشكل (7-3)) لعدسة ذات بعد بصر D = 1.50 ، والثاني (الشكل (7-4)) عدسة ذات قصر بصر، إن النقطة الثانية التي يجب ملاحظتها من هذين الشكلين هي أن هذه الصورة هوائية لبقة الشبكية المتشكلة إما خلف أو أمام عين مراقب الشبكية و إن هذه الصورة تتحرك بعكس الاتجاه لحركة بقعة الشبكية . لهذا فإذا تحركت بقعة الشبكية للأسفل فإن الصورة الهوائية ستتحرك للأعلى.



الشكل (7-3) تشكل الحال الهوائي للبقة الشبكية للصورة بعد نظر أقل من 1.5D تدل الأسهم على اتجاه حركة الحال بالغلاف مرآة منظار الشبكية للأسفل.

البُقْعَةُ الضَّوئِيَّةُ

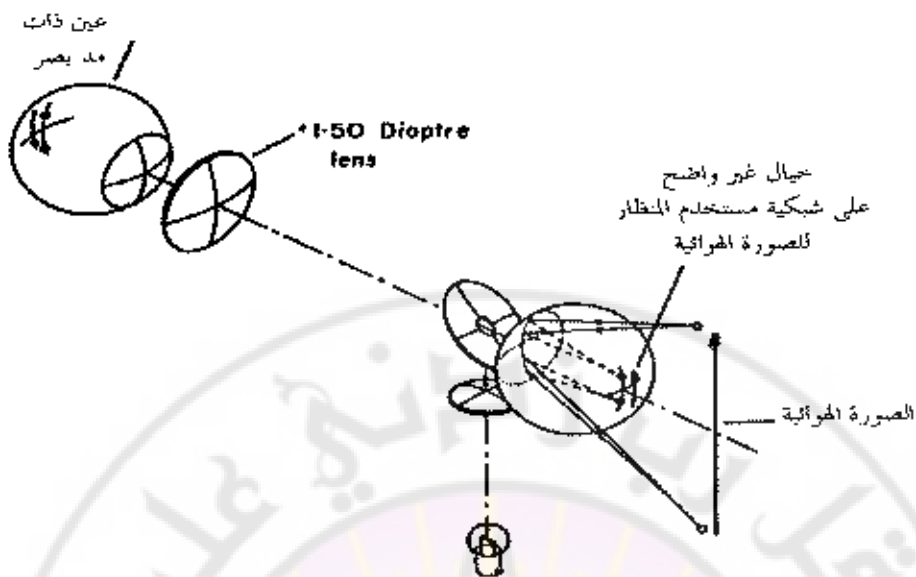
لِلشَّبَكَيَّةِ



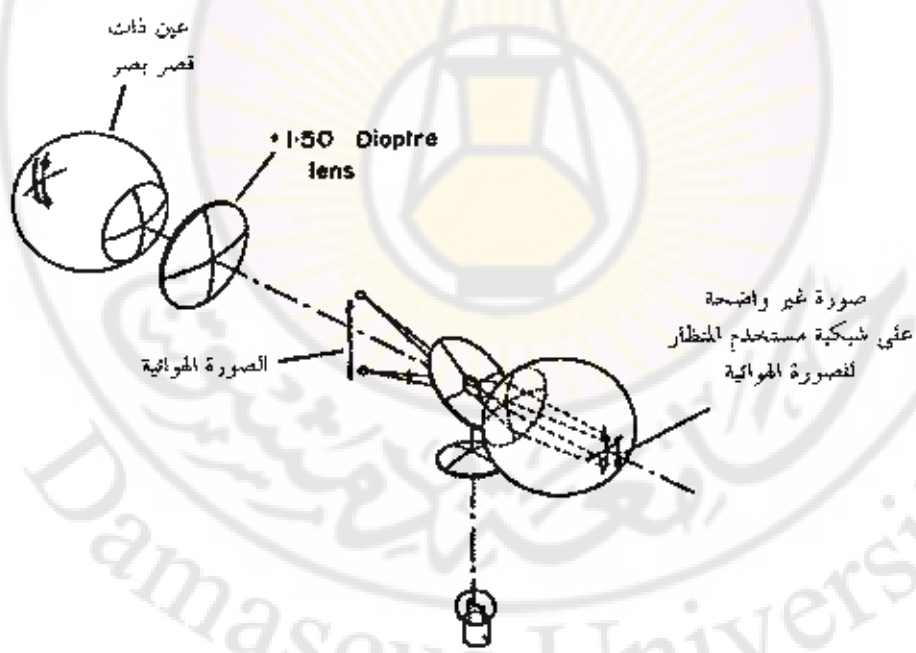
المشكل (7-4) تشكل الخيال الهوائي للبُقْعَةُ الضَّوئِيَّةِ المطلوب قصر بصر أقل من 1.50. دليل الأسماء على اتجاه حركة الخيال بالمرآف مرآة منظار الشبكية لأسفل.

يظهر الشكلان (5-7) و (7-6) كيف أن الصورة للهوائية تصبح هي الهدف للانكسار لعين مراقب الشبكية. مرة أخرى فإن الحالة الأولى تبعد النظر و الثانية تقصر النظر.

يمكن ملاحظة بأنه لحالة بعد النظر (الشكل (5-7)) فإن الخيال الهوائي الغير واضح يتشكل على شبكة المراقب و بحركة الخيال الهوائي للأعلى و بالتالي الخيال غير الواضح على شبكة المراقب. أما في حالة قصر النظر فإن الصورة غير الواضحة للخيال الهوائي تتشكل أيضاً على شبكة المراقب. و الفرق هنا بحركة الخيال الهوائي للأعلى فإن الخيال الشبكي يتحرك لأسفل.



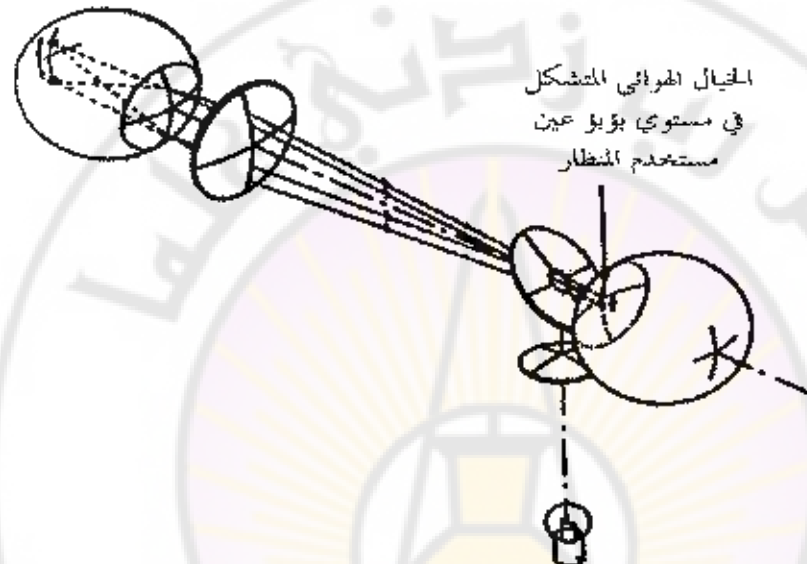
الشكل (5-7)- تشكيل العيال الغير واضح للصورة المهوائية بعد النظر أقل من $1.5D$ على شبكة مستخدم منظار الشبكة، بدل الأسمهم على اتجاه حركة الصورة يزيد مرآة المنظار للأعلى.



الشكل (5-6)- تشكيل العيال الغير واضح للصورة المهوائية حالة قصر البصر النظر أقل من $1.5D$ على شبكة مستخدم منظار الشبكة، بدل الأسمهم على اتجاه حركة حركة الصورة يزيد مرآة المنظار للأعلى.

و بالتالي يمكن تلخيص الحالات كما يلي :

1. الانزياح للأسفل للمرأة بسبب انزياحاً لبقة الضوء الصغيرة للأسفل على شبكته العريض .
2. إن الخيال الهوائي لبقة الضوء يتحرك في الاتجاه المعاكس .
3. ينافي المرافق الخيال الذي يتحرك للأعلى في حالة بعد النظر على شبكته و للأسفل في حالة قصر النظر .



الشكل (7-7) - نقطة التعكس في تنظير الشبكية .

يبين الشكل (7-7) - نقطة التعكس عندما يتشكل الخيال الهوائي في مستوى بؤبؤ مرافق الشبكية . في هذه النقطة ، يضاء كامل حقل الرؤية لمرافق الشبكية بشكل آني على سبيل المثال لا يرى فيه حركة .

7.3 تغير محور الانحراف بواسطة منظار الشبكية :

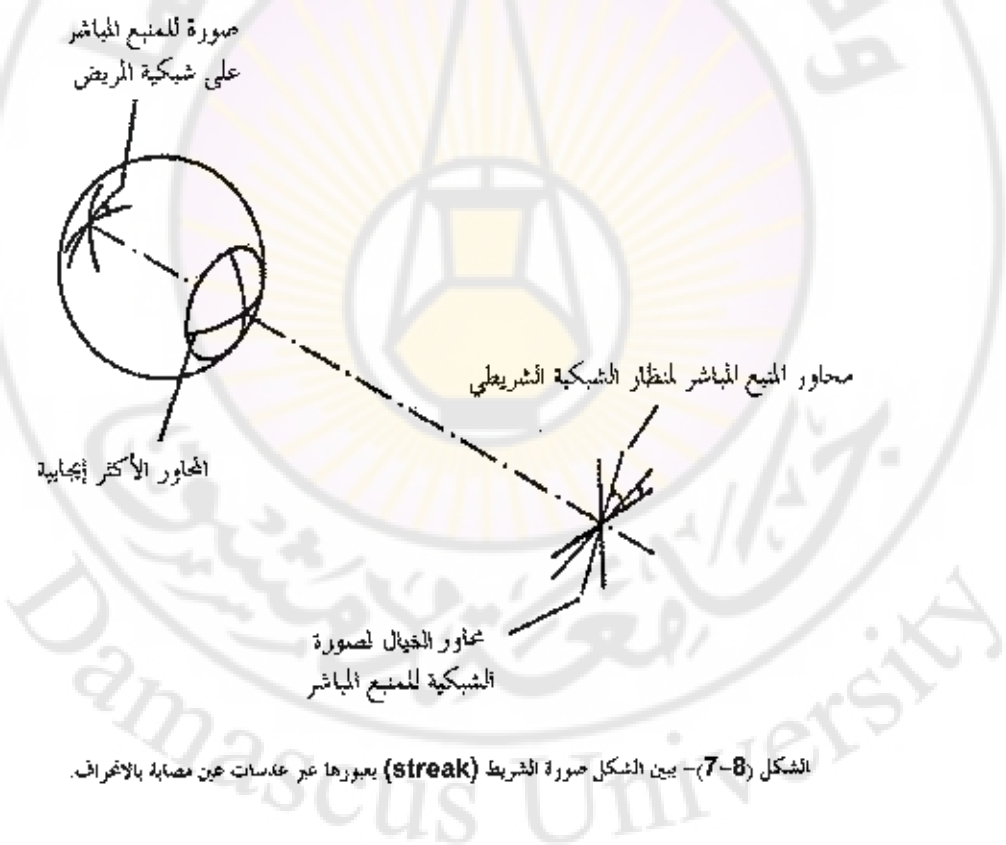
7.3.1 تنظير الشبكية النقطي :

تم العملية بواسطة منظار الشبكية النقطي و ذلك من خلال تحديد أحد (meridians) الاتجاهات الأساسية . ومن ثم بمراقبة المسافة المستقيمة (تقريباً) لبقة الضوء في البؤبؤ . و بالتالي تقييم محور الانحراف .

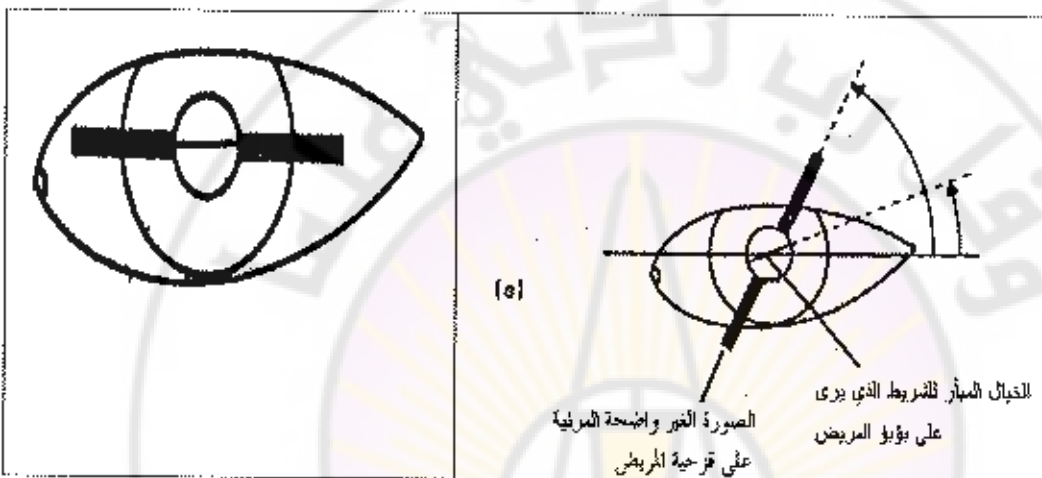
7.3.2 تطوير الشبكة الشريطي :

يمكن قياس محور الانحراف باستخدام منظار الشبكة الشريطي بطرفيتين :

تلخص الطريقة الأولى بتركيز الشريط على شبكة المريض و من ثم تدويره حتى يتطابق مع عمود الضوء الصافط على وجه المريض و يؤيده . لا تشبه هذه التقنية تلك التي تحدد محاور عدسات النظارات و ذلك بمرآفة إشارة (+) ، أو التي يمكن فهمها بالأخذ بعين الاعتبار ما الذي يحصل لصورة خيال الشريط بمروره عبر عدسة العين المصابة بالانحراف . في الشكل (7-8) لدينا صورة لمنظار شبكة شريطي و الذي تم توضعه بـ 60 درجة عن المستوى الأفقي . بين عين المريض هي المصابة بالانحراف حيث إن القوة الموجية الأكبر موجودة عبر المستوى الأفقي . و نظراً لطبيعة عين المريض المصابة بالانحراف فإن صورة الشبكة للشريط موف تدور بعيداً عن المحور الأفقي .



و بالعودة عكساً عبر العين المصابة بالانحراف، فإن صورة الشريط تدور مرة ثانية باتجاه المستوي الأفقي، لذلك سيرى الفاحص الصورة على شكل عمود من الضوء عبر حدقة المريض Iris و يواجهه بنفس الزاوية بالنسبة للمستوي الأفقي كمنبع مباشر، و صورة مبارة للشريط عبر حدقة المريض بزاوية أقرب للأفق (انظر الشكل (a) 7-9). و عندما تتم موازاة المنبع الآلي مع أحد المستويات الأساسية لعين المصابة بالانحراف، فإن الصورة المركزية (داخل البؤبة) سوف تتحادى مع عمود الضوء عبر الوجه انظر الشكل (b) 7.9).



(الشكل 7-9) a-مظهر عن المريض عندما لا تكون الصورة الشرطية متوافقة مع أحد المحاور الرئيسية المصابة بالانحراف .

b-مظهر عن المريض عندما تكون الصورة الشرطية متوافقة مع أحد المحاور الرئيسية .

أما الطريقة الثانية لتقدير المحاور فقد وضع أنسها العالم قبل (Francis 1973)، و تعتمد على معرفة أن دوران الشريط الم悲哀 (المراكز) بعيداً عن أحد الاتجاهات الرئيسية لعين ينتج ثمانية لصوره، و بالنظر لموقع و حيث إن عرض الشريط أصغر، فيمكن إيجاد محور الانحراف، و قد نوه Francis بأن زيادة الثمانية دوران الخط لن يكون نفسه لكل الأخطاء الانكسارية، و يمكن الحصول على زيادة في الثمانية أعظمياً و وبالتالي تحصل الحساسية عندما تصنع العين بشكل صناعي بحسر بصر بـ 1 في اتجاهها ذو مدد البصر الأكثر و عندما يتم تركيز منظار الشبكية الشريطي عبر هذا الاتجاه، يمكن الحصول على هذه الحالة بسهولة و ذلك بـ:

- 1) تحييد المحور ذي مد البصر الأعظمي .
- 2) بوضع عدسة بقوة $+0.5D$ + أمام عين المريض (هذا يفترض أن الناظار ثلاثية يعمل على بعد 66cm).
- 3) بتعديل الفراج الضوء الخارج من منظار الشبكية حتى يتم تركيز الخط عبر الاتجاه الذي يتم تحييده.

7.4 تصميم الجهاز :

هناك مجموعتان واسعتان من مناظير الشبكية :

- مناظير الشبكية الباعية .
- مناظير الشبكية الشرطيّة .

مربع «منظار الشبكية النقطي (البعي)» هو عبارة عن دائرة مضامدة بشكل متساوٍ ، بينما في منظار الشبكية الشرطي عبارة عن خط واحد و الذي يمكن تدويره عبر محور الجهاز . يزدوج هذا الشرط عادة عن مصباح ذي فتيل خطى . كذلك يسمح منظار الشبكية الشرطي الفاحص و من خلال زر بتعديل موقع العدسة و ذلك لتثبيت المربع على شبكيّة المريض . يستخدم هذا للتحكم بإمكانية تدوير المربع لتقريب محور الانحراف .

تستخدم المرأة في منظار الشبكية إما شبه العاكسة أو تلك التي تملك فتحة للنظر و التي تمكن الفاحص للنظر إلى المنعكس، فالمراة شبه العاكسة تفقد نسبة جيدة للضوء الواقع عليها لكن لديها ميزة عدم تشكيل خيال لفتحة الرؤية على عين المريض.

من الصعب تحرير أيهما أفضل . فليست هناك فوارق بصرية بين المعدات و ليست هناك أية أوراق عمل حول هذا الموضوع . و يكون الخيار لذلك حسول البنية الميكانيكية للجهاز (نموذج، قوته الميكانيكية، و فيما إذا أمكن استخدام نظارات للمستخدم) و تكلفته و توفرها.

7.5 أهمية بعض المواصفات على دقة منظار الشبكية :

أن مواصفات الجهاز يمكن أن تؤثر على دقة منظار الشبكية . و كذلك على سهولة تحري حركة الانعكاس، لذلك يجب أن تكون حواف المنعكس حادة و الحركة بطيئة . و هنا يمكن تحقيقه بـ:

1. إيقـاء فـتحة الرؤـية صـغـيرة و بالاقـرـاب من التـحـيـيد فإنـ المـنـعـكـس سـوـف يـبـلـى عـلـى أوـ بالقـرـب من عـيـنـ المـرـاقـبـ، حيثـ إنـ خـيـالـهـ عـلـى شبـكـيـةـ الـفـالـحـصـ سـوـفـ يـكـونـ غـيرـ مـيـارـ، بـتـصـغـيرـ مـقـالـسـ فـتحـةـ الرـؤـيـةـ نـخـفـضـ عـدـمـ وـضـوـجـيـهـ هـذـاـ خـيـالـ وـ بـالـتـالـيـ تـخـصـصـ حـوـافـ الـمـنـعـكـسـ . وـ لـسـوـءـ الحـظـ فـإـنـ تـخـفـيـضـ مـقـالـسـ فـتحـةـ الرـؤـيـةـ يـخـفـضـ مـنـ إـضـاءـةـ الـمـنـعـكـسـ، تـمـلـكـ بـعـضـ مـنـظـيـرـ الشـبـكـيـةـ سـلـسلـةـ مـنـ الـفـاحـصـاتـ وـ الـقـادـاتـ وـ الـقـادـاتـ الـمـنـعـكـسـ، هـذـاـ يـسـعـيـ الـفـالـحـصـ بـالـوصـولـ مـلـلـوـضـعـ الـمـثـالـيـ إـمـاـ فـيـ إـضـاءـةـ الـمـنـعـكـسـ (ـبـرـيقـ)ـ أـوـ حـدـوثـ حـوـافـ الـمـنـعـكـسـ، وـ فـيـ حـالـاتـ الـمـرـضـيـ ذـوـيـ الـأـوـسـطـلـ الـشـبـكـيـةـ يـتـمـ اـخـتـيـارـ فـتحـةـ الرـؤـيـةـ الـأـكـبـرـ لـلـحـصـولـ عـلـىـ مـنـعـكـسـ ذـيـ بـرـيقـ أـكـبـرـ، بـيـنـمـاـ فـيـ الـمـرـضـيـ الـطـبـيـعـيـنـ وـ حيثـ إنـ الـمـنـعـكـسـ عـضـاءـ وـشـكـلـ كـافـ لـذـكـ يـتـمـ اـخـتـيـارـ فـتحـاتـ صـغـيرـةـ كـفـالـيـةـ كـيـ تـكـونـ حـسـاسـةـ بـمـاـ فـيـهـ الـكـفـالـيـةـ.

2. عـدـ وـضـعـ مـيـنـعـ سـيـاشـرـ بـالـقـرـبـ مـنـ الـمـرـأـةـ وـحدـثـ تـكـثـيرـ لـهـاـسـانـ، الـأـولـ، سـوـفـ نـخـفـضـ مـسـرـعـةـ الـحـرـكـةـ، فـكـمـيـةـ الـحـرـكـةـ لـلـمـيـنـيـعـ سـيـاشـرـ بـدـورـانـ لـلـمـرـأـةـ يـتـنـاسـبـ مـعـ الـمـيـنـيـعـةـ حـنـ الـسـرـأـةـ،

الـثـانـيـ خـيـالـ الـمـيـنـيـعـ عـلـىـ عـيـنـ الـمـرـيـضـ سـوـفـهـ يـكـونـ أـكـثـرـ جـدـهـ كـلـمـاـ تـقـرـيـنـاـ مـنـ التـحـيـيدـ، هـذـاـ بـدـورـهـ سـوـفـ يـنـتـجـ مـنـعـكـسـ أـكـثـرـ هـذـهـ، كـمـاـ أـنـ بـقـاءـ مـقـالـسـ بـقـعـةـ قـعـرـ الـعـيـنـ صـغـيرـاـ، فـإـنـ العـدـودـ الـمـعـاكـرـةـ لـلـمـنـعـكـسـ، كـرـىـ بـتـقـالـبـ سـرـيعـ وـ الـذـيـ يـسـاعـدـهـ فـيـ تـميـزـ حـرـكـةـ الـمـنـعـكـسـ، وـ يـمـكـنـ إـنـجـازـ هـذـاـ بـأـفـضـلـ صـورـةـ وـ ذـلـكـ بـإـلـقاءـ قـطـرـ الـمـيـنـيـعـ صـغـيرـ، إـنـ مـنـظـيـرـ الشـبـكـيـةـ الشـرـبـيـطـيـ ذـاـ الـفـتـيلـ الخـطـيـ هوـ مـفـعـلـ أـصـغـرـ مـنـ مـكـالـهـ مـنـ مـنـظـيـرـ الشـبـكـيـةـ الـبـقـعـيـةـ وـهـوـ أـفـضـلـ، وـ بـالـتـالـيـ يـفـيـ بـالـظـاهـرـةـ الـمـطلـوبـةـ.

7.6 أـخـطـاءـ مـنـظـيـرـ الشـبـكـيـةـ :

أـظـهـرـتـ الـدـرـاسـاتـ عـلـىـ أـلـفـرـوـقـاتـ فـيـ تـنـظـيـرـ الشـبـكـيـةـ تـخـلـفـ مـعـ الـعـمـرـ، عـنـ الشـيـابـ، فـإـنـ تـنـظـيـرـ الشـبـكـيـةـ يـعـطـيـ تـقـدـيرـاتـ أـكـثـرـ إـيجـابـيـةـ لـلـأـخـطـاءـ الـانـكـسـارـيـةـ مـنـ الـتـقـيـيـاتـ Subjectiveـ، وـ عـنـ النـاسـ الـأـكـبـرـ عـمـراـ فـإـنـ الـحـالـةـ مـعـكـوسـةـ وـ مـيـعـدـيـ تـنـظـيـرـ الشـبـكـيـةـ تـقـدـيرـاتـ أـكـثـرـ سـلـيـةـ لـلـأـخـطـاءـ الـانـكـسـارـيـةـ.

وـ قـيـمـاـ يـلـيـ الـأـسـبـابـ الـتـيـ تـؤـديـ لـتـبـاـيـنـ بـيـنـ الـتـقـدـيرـيـنـ لـلـخـطـأـ الـانـكـسـارـيـ .

7.6.1 تـأـثـيرـ الـتـحـافـيـ:

إـنـهـ مـنـ الـمـسـتـحـيـلـ لـنـ يـكـونـ الـقـيـلـيـنـ بـعـدـ خـطـ الرـؤـيـةـ لـلـمـرـيـضـ فـيـ مـنـظـيـرـ الشـبـكـيـةـ الـدـكـوـنـيـ

(Static Retinoscopy). ولذلك فإن الخطأ الانكساري لا يقلس في النطخة الصفراء (fovea) و لكنه منحاز بشكل بسيط إلى أحد الاتجاهات، و عادة ما يكون الخطأ الذي يعود لعدم التحاذى صغيراً ما لم يبتعد الناظر للشبكة بعيداً عن مركز الرؤية أكثر من 8 درجات .

7.6.2 التشوهات الكروية :

إن التشوهات الكروية (Spherical Aberration) للعين هي في حقيقة الأمر بسيطة و في غالب الأمر تعود إلى نفطاخ (نقطح) لنصف قطر انحناء القرنية باتجاه الجوانب . وبالتالي فهي ليست مصدر خطأ واضح، لكنها قد تسبب حالة تكون فيها منعكـس في المركز الحدقة المريض مختلفة عن تلك التي تظهر فيها الحواف .

7.6.3 التشوهات اللونية :

تنتج التشوهات اللونية (Chromatic Abberation) حيث إن لون منعكـس الشبـكـية هو لون أحمر ، فـإن منظار الشبـكـية سوف يعطي نتيجة ذات مد بصر أكبر من الفحوص الذي تعتمـد على اللون الأبيض . لكن ذلك لا يؤثـر على تغيـرات الحـوـاف .

7.6.4 موقع المنعكـس :

وهـذا لافتراضاً في تنظير الشبـكـية يعتمد على أن منـشـأ المنعكـس يتوافق مع الخلايا البصرـية ، فإذا نـشـأ المنعكـس أمام الخلايا البصرـية فيـمـكن الوصول لـتنـانـج أـكـلـر إيجـابـيـة لـتنـظـير الشـبـكـية . أما في حال كـونـ المنـعـكـس يـنـتـجـ من طـبـقـات خـلـفـ الخـلـاـيـا البـصـرـيـة وهذا يـؤـديـ إلىـ خطـأـ قـصـرـ بـصـرـ .



[1] Henson D.B. "Optometric Instrumentation" Butterworth-Heinemann Ltd; Reprinted edition (Dec 1982)

[2] Smith, G.; Atchinson, D.A. The Eye and Visual Optical Instruments. Cambridge: CAMBRIDGE UNIVERSITY PRESS, 1997



جدول المصطلحات العلمية

المصطلح	المعنى
A	
Acoustic	صوتي
Actual Focal spot	دقعه المحرقة الفعلية
Air Grid	شبكة الهواء لينة
Amorphous	غير ميداور
Amorphous Silicon	الميلون غير متباور
Anatomical Programs	برامج تشريحية
Angiography	تصوير الأوعية الدموية
Anode	متصعد
Anode Heat Storage Capacity	قدرة التخزين الحراري للمتصعد
Antimony (Sb)	النحاسون
antimony cesium oxide (Sb-CsO)	أوكسيد سيريوم الانتيمون
Attenuation	تخادم
Automatic Exposure Control (AEC)	تحكم الآوتوماتيكي بالعرض
Axis of astigmatic errors	محور الخطأ الانحرافي
B	
Back Projected Additives Method	طريقة جمع النتائج المسخحة
Barium Fluoro Bromide	بروميد الباريوم الفلوري
Barium Platinocyanide	سيانيد البلاتين - باريوم
Battery Powered	تعذى بالطاقة من خلال بطارية
Beryllium	البيريليوم
Biopsy Stereotactic	جهاز أخذ الخزع
Bitewings	الاجنة المخصوصة

Bone	عظم
Bremsstrahlung	أشعاع الانكماхи
Brushes	فراشي
Bucky Diaphragm	مخطط بوكى
C	
Cadmium Zinc	توبياء الكلاديوم
Calcium Tungstate	ت Dixustات الكلاسيوم
Capacitor Discharge	تفريغ المكثفة
C-Arm Mobile	جهاز التصوير الشعاعي المقال التقطيري القوسي
Cathode	المهبط
Cathode's material	مادة المهبط
Cephalometry	صورة طبقية مقطعيه للراف
Cesium iodide	ايبوديد السيريزيوم
Characteristic	المميز
Characteristic Impedance	معانعة المميزة
Characteristics Of Piezoelectric Crystal	خصائص البلورة الکهرو إجهادية
Choroidal	غلاف المقيمي للعين
Chromatic Abberation	تشوهات اللونية
Cineradiography	التصوير السيني، السينيمائي
Classical Tomography	تصوير المقطعي التقليدي
Collimator	صندوق
Compression Plate	صفيحة ضاغطة
Computed Tomography	التصوير الطيفي المحوري المحوسب
Computer Radiography (CR)	تصوير الشعاعي المحوسب
Condenser System	نظام تكثيف

الإنجليزية	المعنى
Conduction	نقل الحرارة
Control Console	منصة التحكم
Convection	حمل الحرارة
Cooling	تبريد
Crossed Grids	الشبكات المتراسبة
CsI cesium iodide	بوريود الميزيوم
Curvilinear Arrays	محسّنات الخطية الموجية
D	
Data Acquisition System DAS	نظام تحصيل المعلومات
Deflection Coil	ملف الألاعيب
Dental Panoramic	جهاز التصوير البانورامي المفتوح
Dental X-ray	التصوير الشعاعي المفتوح
Detective Quantum Efficiency DQE	ف娑الية الحساسية عالية الكفاءة
Detectors Ring	حلقة المصامات
Diagnostic Ultrasound	أشواط فوق الصوتية التشخيصية
Digital Mammography	تصوير الثدي الرقمي
Digital Phosphore plate	صفيحة الفوسفورية الرقمية
Digital Radiography	تصوير الشعاعي الرقمي
Digital Subtraction Angiography DSA	تقاطير الأوعية بوندالة التراجمي الرقمي
Digitizer	مرقمن
Dipole	مزدوج القطبية
Direct Ophthalmoscope	منظار المباشر
Display and Control Console	منصة عرض الصورة والتحكم
Dominate	جهاز من
Doppler Equation	معادلة دوبلر
Doppler Ultrasonic Imaging Systems	أنظمة التصوير فوق الصوتية بطريقة دوبلر

Dose	الجرعة	الـ
Drift	ازياح	الـ
Dual-Field Intensifiers	مكثفات الصورة ثنائية الميدان	
Duty Factor in Percent (DF%)	معامل المهمة المئوي	
Dynamic Range	مجال الاريدناميكي	الـ
E		
Echo	صدى	الـ
Echocardiograph	تخطيط القلب	
Effective Focal Spot	بقعة المحرقية الفعالة	الـ
Electromagnets	مغناطيس الكهربائي	الـ
Electron Beam	الجسيمة الإلكترونية	الـ
Electron Beam Tomography EBT	التصوير الطيفي المجهوري ذو الجسيمة الإلكترونية	الـ
Electron Gun	مدفع الكتروني	
Electron-Hole Pairs	أزواج من الحفر الإلكترونية	
Emmetropic	ذات نظر سوي	
Encephalography	تصوير الدماغ	
Encyclopedia	موسوعة	
Exposure rate per second	معدل التصوير بالثانية	
External Shutter Collimator	مغلق الخارجي (المسدود)	الـ
F		
Filament	خشوة ، الفيل	
Filament Circuit	دورة الفيل	
Film holders	حوامل الأفلام	
Films Scanner	مسح الأفلام	
Floating	عائم	
Fluorescent Screens	شاشات الفلورسانسية (النافورة)	

Fluoroscopic system	جهاز التقطير
Focal Spot Track	مسار البقعة المحرقة
Focus Coil	ملف تباير
Focus Grid Distance	مسافة التبخير للشبكة
Focused Grids	الشبكات المبارزة
Focusing	نظام التبخير
Focusing Ultrasound Beam	تمحير حزمة الأمواج فوق الصوتية
Focusing Cup	كأس التباير
Fovea	لخلة الصفراء
Frames Per Second	اطار بالثانية
Fraunhofer Zone	منطقة الحقل البعيد
Fresnel Zone	منطقة الحقل القريب
Fundus Camera	كاميرا قاع العين
G	
Gantry	القنطرة
Gd2O2S	أكسيد الكبريت الغادويوم
Gradient Coil	ملف الحقل المستدرج
Gradient Echo	صدى المستدرج
Grid Cutoff	قطع الشبكة
Grid ratio	نسبة المخطط
Grid Strips	شرائح المخطط
H	
Heat	حرارة
Heat capacity	سعة الحرارية
Heel Effect	تأثير الكعب
Helical Scan	التصوير الأهليلي
High Energy Cathode - ray tube	أنبوب الأشعة المسمطية عالي الطاقة

High Frequency Generator	مولد عالي التردد
Image Intensifier	مكثف الصورة
Image Receptor	مسنبلات الصورة
Image-Shift Enlargement	تكبير بانزياح الفيلم
Improvement in Contrast	تحسين التباين
Increase In Exposure	زيادة في التعرض
Indirect Ophthalmoscope	منظار غير المباشر
Induction Decay	تخادم المستحسن (المحدث)
Intensifying screen	شاشة تكثيف او التركيز
Inter space material	مادة الفراغية الابيونية
Internal Shutter Collimator	منلاق الداخلي (المسدد)
Inverter	عاكس
Ion Detector	الحساس الأيونية
Ionization Chamber	حجرة التأين
Iris Diaphragm	فتحة العدالة
Iterative method	المطريقة التكرارية
Lambert's Law	قانون لامبرت
Lamp Collimator	مصباح (المسدد)
Large focal spot filament	غليظ البقعة المحرقة الكبيرة
Large Area Flat Panel Detectors	لوحة حساسات كبيرة المساحة مسطحة
Lead Content	محتوى الرصاص
Lead Iodide	بيود الريصادر
Lens	عدسة
Lesion	التشريح الورمي
Light Reflector Collimator	عاكس الضوء (المسدد)

Linear Grid	شبكة الخطية	الـ
Linear Phased Array	مصفوفات الطورية الخطية	الـ
Linear Sequential Arrays	مصفوفة المتتالية الخطية	الـ
M		
mA Control	تحكم بالميلى أمبير	الـ
Macula	القطعة الصفراء	الـ
MAGNETIC RESONANCE IMAGING SYSTEM	نظام التصوير بالرنين المغناطيسي	
Magnification	تكبير	الـ
Mammography	التصوير الشعاعي للثدي	الـ
MASK	القابع	
Mobile X-ray	جهاز الأشعة الفضائية	
Molybdenum	الموليبيدنيوم	الـ
Moments	عزم	
Monitors	شاشة مرآفة	
Monocular Indirect Ophthalmoscope	منظار العين غير مباشر ذو المفتحة الواحدة	
Multi Slice CT	الطيفي المحوري متعدد الشرائح	الـ
Multiple-Detector ,Translate-Rotate	عدة حساسات ، المساحات الازنقالية الدوران	
Muscle	عضلة	
N		
NiCad	نيكل كادميوم	الـ
Noise and Dose	ضجيج والجرعة	الـ
O		
Object Shift Enlargement	تكبير بانزياح الجسم المصور	الـ
Ophthalmoscope	منظار العيني	الـ
Optical density	الكثافة البصرية	الـ
optical density correction	تصحيح الكثافة البصرية	

Oscillating Grid	شبكة المهمنزة	الـ
P		
Parallel Grids	الشبكات المترادفة	الـ
Parenchyma	نسيج الرئة الأنسقجي	
Patient table	طاولة المريض	
Patient Table	طاولة المريض	
Permanent magnets	مagnets الدائمة	الـ
Phased Arrays	مصفوفة المراوربة	الـ
Phenomenon	ظاهر	
Phosphor	فوسفور	الـ
Photoconductor	ذائق ضوئي	
Photomultiplier Tube	أنبوب المضاعفين الضوئي	
Physics of Ultrasonic Waves	فيزيائية الأمواج فوق الصوتية	
Pitch	الخطورة	الـ
Power Generator for X-ray tube	موارد الطاقة لأنبوب الأشعة	
Precession	دوران المغزلي (الحركة اليداربة)	الـ
Presbyopic	مد للبصر الشيفي	
Primary Capacitor	مكثفة أولية	
Propagation	الانتشار	الـ
Pulse Width	عرض التبضة	
Q		
Quality Control	ضبط الجودة	
Quarter-Wave Matching	حلقة توافق، المعانسة الرباعية	
R		
Radiation	أشعاع	الـ
Rated anode Capacity	قدرة التقديرية للمصعد	الـ
Real-time	بالزمن الحقيقي	

Reciprocating Potter-Bucky Diaphragm	مكعب بوكى بورر الفيدي	
Rectifier	مقوّم	
Recovery Times	أزمنة العودة للحالة الأصلية	
Red-Free Filters	بالفلتر خالي الصفراء + الأحمر	
Reflection and Refraction Phenomena	ظواهر الانعكاس والانكسار	
Reflector	عاكس	
Relaxation Times	أزمنة الاسترخاء	
Remote Control Unit	جهاز التحكم عن بعد	
Resistive magnets	مغناطيس المقاومة	
Resonant Frequency	تردد الرنين	
Retinal	شبكي (من الشبكية)	
Retinoscope	منظار الشبكية	
RF Transmitting and Receiving Coils	ملفات الإرسال والامتصاص المغناطيسية	
Rhombic Crossed Grid	شبكة متقاطعة مربعة الشكل	
Ripple	كتوفيب	
Roentgen	العالن (رويتنجن)	
Root Canal	قناة الجذر	
Rotate -Only Stationary Detectors Scanners	دوران فقط حساسات ثابتة للماسحة	
Rotational Scanners	الماسحات الدورانية	
S		
Scanners Development	دوران الماسحات	
Scanning Equalization Radiography	تصوير الشعاعي التصويري المتساوي	
Scintillation Detectors	الحساسات الومنفاتورية	
Sector	مقطعي ، قطاعي	
Self-Lubricating slip-ring	السلقة المتنازة ذاتية الزيت	

Series Of exposure	عدد من التقطمات
Shielding fields	حقول التهديد
Sight Hole	فتحة الرؤية
Silver Bromide	بروميد الفضة
Single detector, Translate- Rotate Scanners	ممساس واحد ، ماسحات انتقالية دورانية
Single Exposure	لقطة واحدة
Single Phase- Single Pulse Generator	مولد أحادي التبضة أحادي الطور
Single Phase-TWO-PULSE GENERATOR	مولادات ثنائية التبضة - أحادية الطور
Six pulses three phase Generator	مولادات سداسية التبضات - ثلاثة الطور
Small focal spot filament	قثيل البقعة المهرقية الصغيرة
Sodium Iodide	بور الصوديوم
Solid State Radiation Detector (SSRD)	ممساس الأشعاعي في الساللة الصناعية
Source to Image Distance (SID)	المسافة بين المنبع والقديم
Source to Object Distance (SOD)	المسافة بين المنبع والجسم المصوّر
Space-charge limited	محدود الشحنة الفضائية
Spatial Resolution	الدقة الحيزية
Specified Heat	حرارة النوعية
Spherical Aberration	تشوهات الكروية
Spin Echo	صدى المغزلي
SPR : Scatter-to-Primary X-Ray Ratio	نسبة تيغتث فوتونات أشعة X إلى المفقرنات الأولية المسالمة من أشعة الإكس
Static Magnetic Field	الحقل المخاططيسي الساكن
Static Retinoscopy	منظطر التشكيك السكوني
Superconducting magnets	مغناط ذلت الشفافية الفائقة

T	
Target Rings	حلقات الهدف
Telluride	تلوريد ، صلادة كهربائية
Tempromandibular Joint disorder	اضطراب المفصل الصدغي
Temperature	درجة الحرارة
Thin Film transistor TFT	ترانزستور ذات طبقة رقيقة
Time-Gain Compensation	الـ تكميم بالربع الزمني
Timer Control	الـ تحكم بالوقت
Tissue Contrast	الـ تباين بين الأنسجة
Transit-Time	زمن العبور
Transverse	الـ مستعرض
Triple-Field Intensifiers	مكثفات الصورة ثلاثية الحقل
Tube Housing	بيت الأنودوب
Tube Housing temperature	درجة حرارة غلاف الأنودوب
Tungsten	تنقسيـن
Tungsten	التنقسيـن
TV Circuit	الـ دارة التلفزيونية
Twelve Pulses Three Phase Generator	موارد ذات الاثنى عشر نبضة - ثلاثة الطور
U	
ULTRASONIC IMAGING SYSTEMS	أنظمة التصوير فوق الصوتية
Ultrasound Transducers	مبدلـات الأمواج فوق الصوتية
V	
Velocity	الـ سرعة
Video Recorder	جهاز التسجيل الفيديوي
Voxel	خلية حجمية
W	
Wall Bucky	الـ الشبكة (بوكـي) الحائطية

Wavelength	موجة المدورة
X-ray tube	أشعة الأكسجين المسمومة
Xenon	غاز الزيون
ZnS:CuS	صوديوم كالسيوم الرانك



أَنْتَ أَنْتَ الْمُصْلِحُ فِي أَنْتَ الْمُنْهَى

إِنَّمَا يُنْهَى عَنِ الْمُسْتَقِرَّ مَنْ يُشَغِّلُ

عَنِ الْمُسْتَقِرَّ بِغَيْرِ حَقٍّ إِنَّمَا يُنْهَى

عَنِ الْمُسْتَقِرَّ كُلُّ ذَرَّةٍ إِنَّمَا يُنْهَى

عَنِ الْمُسْتَقِرَّ بِغَيْرِ حَقٍّ إِنَّمَا يُنْهَى

عَنِ الْمُسْتَقِرَّ بِغَيْرِ حَقٍّ إِنَّمَا يُنْهَى

عَنِ الْمُسْتَقِرَّ كُلُّ ذَرَّةٍ إِنَّمَا يُنْهَى

عَنِ الْمُسْتَقِرَّ بِغَيْرِ حَقٍّ إِنَّمَا يُنْهَى

الْمُؤْمِنُ بِالْمُؤْمِنِ

الْكُفَّارُ بِالْكُفَّارِ

— شَرُّ الْمُؤْمِنِ أَشَدُ مِنْ شَرِّ الْكُفَّارِ

شَرُّ الْكُفَّارِ أَشَدُ مِنْ شَرِّ الْمُؤْمِنِ

